

INSTYTUT GEODEZJI I KARTOGRAFII



ROCZNIK ASTRONOMICZNY

NA ROK
2015



INSTYTUT GEODEZJI I KARTOGRAFII

**ROCZNIK
ASTRONOMICZNY**

NA ROK 2015

LXX



WARSZAWA 2014

Redaktor naukowy Rocznika Astronomicznego

Jan Kryński

Sekretarz: Marcin Sękowski

Adres Redakcji:

Instytut Geodezji i Kartografii
02-679 Warszawa, ul. Modzelewskiego 27

*email: astro@igik.edu.pl
http://www.igik.edu.pl*

Prenumerata:

email: boi@igik.edu.pl

Projekt okładki Łukasz Źak

Przy projektowaniu okładki wykorzystano atlas nieba Jana Heweliusza

JOHANNIS HEVELII, URANOGRAPHIA, TOTUM COELUM STELLATUM, 1690

reprint wydawnictwa Uzbeckiej Akademii Nauk, Taszkent, 1968

Copyright © Instytut Geodezji i Kartografii

ISSN 0209-0341

INSTYTUT GEODEZJI I KARTOGRAFII

Wydanie w wersji elektronicznej przygotowane w CGiG IGiK

SPIS TREŚCI

Skróty stosowane w Roczniku Astronomicznym	4
Przedmowa	5
Dni świąteczne, pory roku, stałe precesyjne, obserwatoria astronomiczne	7
Czas gwiaźdowy Greenwich i Kąt Obrotu Ziemi	8÷11
Słońce, współrzędne równikowe, wschody i zachody w Warszawie	12÷19
Książyc, współrzędne równikowe, wschody i zachody w Warszawie	20÷27
Momenty wejść Słońca w znaki Zodiaku	28
Planety, współrzędne równikowe	28
Fazy Księżyca, apogeum i perigeum	29
Tablice do obliczania czasu wschodu i zachodu Słońca i Księżyca poza Warszawą	30÷31
Wschód i zachód Słońca w niektórych miastach Polski	32÷33
Wschód i zachód Słońca w niektórych stolicach europejskich	34
Kalendarz astronomiczny — wschody i zachody Słońca oraz wybranych planet w Warszawie ..	35
Konfiguracje planet	37
Zaćmienia Słońca i Księżyca	38÷39
Współrzędne bieguna CIP i poprawka do czasu uniwersalnego	40÷41
Sygnały czasu	42
Mapa deklinacji magnetycznej	43
Miejsca średnie gwiazd	44÷62
Pozycje gwiazd w systemie ICRS (BCRS) (J2000.0)	63÷81
Wielkości redukcyjne	82÷89
Miejsca pozorne gwiazd	90÷103
Miejsca pozorne Biegunowej i gwiazd okołobiegunowych	104÷113
Barycentryczne i heliocentryczne współrzędne Ziemi	114÷121
Współrzędne bieguna CIP (IAU2006) w odniesieniu do bieguna GCRS	122÷123
Miejsca pozorne (IRS) gwiazd	124÷137
Miejsca pozorne (IRS) gwiazd okołobiegunowych	138÷147
Przybliżony azymut Biegunowej	148
Przybliżona odległość zenitalna Biegunowej	149
Szerokość geograficzna z wysokości Biegunowej	150
Współczynniki do wzorów interpolacyjnych	151
Refrakcja i ekstynkcja	152÷153
Zestawienie gwiazdozbiorów	154÷155
Mapa nieba gwiaździstego	156÷159
Niektóre stałe, definicje i wzory astronomiczne i geodezyjne	160÷164
Objaśnienia — część ogólna	165÷182
Objaśnienia — część szczegółowa	183÷205

SKRÓTY STOSOWANE W ROCZNIKU

<i>BG</i>	— Borowa Góra
<i>BIH</i>	— Bureau International de l'Heure (Międzynarodowe Biuro Czasu)
<i>BIPM</i>	— Bureau International des Poids et Mesures (Międzynarodowe Biuro Wag i Miar)
<i>BCRS</i>	— Barycentric Celestial Reference System (Barycentryczny Niebieski System Odniesienia)
<i>CEO</i>	— Celestial Ephemeris Origin (Niebieski Efemerydalny Punkt Początkowy)
<i>CEP</i>	— Celestial Ephemeris Pole (Efemerydalny Biegun Niebieski)
<i>CIO</i>	— Celestial Intermediate Origin (Niebieski Pośredni Punkt Początkowy)
<i>CIO*</i>	— Conventional International Origin (międzynarodowy umowny średni biegun północny Ziemi)
<i>CIP</i>	— Celestial Intermediate Pole (Pośredni Biegun Niebieski)
<i>CRP</i>	— Conventional Reference Pole (Konwencjonalny Biegun Odniesienia)
<i>CSE</i>	— czas śródka europejski (str. 179)
<i>CTRS</i>	— Conventional Terrestrial Reference System (Konwencjonalny Ziemska System Odniesienia)
<i>DORIS</i>	— Doppler Orbit Determination and Radio Positioning Integrated on Satellite (francuski globalny system nawigacyjny dla obiektów naziemnych i kosmicznych)
<i>DUT1</i>	— różnica czasów <i>UT1</i> i <i>UTC</i>
<i>EOP</i>	— Earth Orientation Parameters (parametry ruchu obrotowego Ziemi)
<i>ERA</i>	— Earth Rotation Angle (Kąt Obrotu Ziemi) (str. 169)
<i>ET</i>	— Czas Efemeryd (str. 180)
<i>FK4</i>	— czwarty fundamentalny katalog gwiazd
<i>FK5</i>	— piąty fundamentalny katalog gwiazd
<i>FK6</i>	— szósty fundamentalny katalog gwiazd
<i>GCRS</i>	— Geocentric Celestial Reference System (Geocentryczny Niebieski System Odniesienia)
<i>GMT</i>	— czas słoneczny średni Greenwich (str. 176)
<i>GMST</i>	— średni czas gwiazdowy Greenwich (str. 177)
<i>GPS</i>	— Global Positioning System (Globalny System Nawigacyjny)
<i>GPST</i>	— GPS Time (czas GPS)
<i>GRS</i>	— Geodetic Reference System (Geodezyjny System Odniesienia)
<i>GSD</i>	— patrz <i>JSD</i>
<i>GST</i>	— prawdziwy czas gwiazdowy Greenwich (str. 177)
<i>GTRS</i>	— Geocentric Terrestrial Reference System (Geocentryczny Ziemska System Odniesienia)
<i>IAU</i>	— International Astronomical Union (Międzynarodowa Unia Astronomiczna)
<i>ICRS</i>	— International Celestial Reference System (Międzynarodowy Niebieski System Odniesienia)
<i>IERS</i>	— International Earth Rotation and Reference Systems Service (Międzynarodowa Służba Ruchu Obrotowego Ziemi i Systemów Odniesienia)
<i>ILS</i>	— International Latitude Service (Międzynarodowa Służba Szerokości)
<i>IPMS</i>	— International Polar Motion Service (Międzynarodowa Służba Ruchu Bieguna)
<i>IRM</i>	— IERS Reference Meridian (południk zerowy IERS)
<i>IRP</i>	— IERS Reference Pole (biegun odniesienia IERS)
<i>IRS</i>	— Intermediate Reference System (Pośredni System Odniesienia)
<i>ITRS</i>	— International Terrestrial Reference System (Międzynarodowy Ziemska System Odniesienia)
<i>IUGG</i>	— International Union of Geodesy and Geophysics (Międzynarodowa Unia Geodezji i Geofizyki)
<i>JD</i>	— data juliańska odniesiona do czasu ziemskiego (<i>TT</i>) (str. 182)
<i>JED</i>	— data juliańska odniesiona do skali Czasu Efemeryd (str. 182)
<i>JPL</i>	— Jet Propulsion Laboratory
<i>JSD</i>	— juliańska data gwiazdowa (str. 182)
<i>LLR</i>	— Lunar Laser Ranging (laserowe pomiary odległości do Księżyca)
<i>MJD</i>	— zmodyfikowana data juliańska (str. 182)
<i>NRO</i>	— Non-Rotating Origin (Nieobracający się Punkt Początkowy)
<i>RA</i>	— Rocznik Astronomiczny IGiK
<i>SAO</i>	— Smithsonian Astrophysical Observatory
<i>SDT</i>	— Dynamiczny Czas Gwiazdowy (str. 178)
<i>SI</i>	— Système International d'Unités (międzynarodowy system jednostek)
<i>SLR</i>	— Satellite Laser Ranging (laserowe pomiary odległości do sztucznych satelitów Ziemi)
<i>TAI</i>	— Międzynarodowy Czas Atomowy (str. 173)
<i>TCB</i>	— czas współrzędnych barycentrycznych (str. 175)
<i>TCG</i>	— czas współrzędnych geocentrycznych (str. 174)
<i>TDB</i>	— Barycentryczny Czas Dynamiczny (str. 175)
<i>TDT</i>	— Ziemska Czas Dynamiczny (str. 181)
<i>TEO</i>	— Terrestrial Ephemeris Origin (Ziemska Efemerydalny Punkt Początkowy)
<i>TIO</i>	— Terrestrial Intermediate Origin (Ziemska Pośredni Punkt Początkowy)
<i>TT</i>	— Czas Ziemska (str. 174)
<i>USNO</i>	— US Naval Observatory
<i>UT</i>	— czas uniwersalny (str. str. 176, 180)
<i>UT0</i>	— czas uniwersalny prawdziwy (str. 180)
<i>UT1</i>	— czas uniwersalny średni (str. str. 176, 180)
<i>UT2</i>	— czas uniwersalny quasi-jednostajny (str. 180)
<i>UTC</i>	— Czas Uniwersalny Koordynowany (str. 178)
<i>VLBI</i>	— Very Long Baseline Interferometry (interferometria długich baz)
<i>WGS</i>	— World Geodetic System (Światowy System Geodezyjny)
<i>ZT</i>	— czas strefowy (str. 179)

PRZEDMOWA

Niniejszy, LXX tom Rocznika Astronomicznego jest kontynuacją serii roczników astronomicznych opracowywanych i wydawanych nakładem Instytutu Geodezji i Kartografii w Warszawie od 1946 roku. Został on opracowany w ramach realizacji zadań statutowych Centrum Geodezji i Geodynamiki IGiK. Zespół autorski LXX tomu Rocznika Astronomicznego stanowią: Jan Kryński i Marcin Sękowski.

Podobnie jak w latach 2002–2014 Rocznik Astronomiczny na rok 2015 obok wersji drukowanej została opracowany także w formie elektronicznej, w formacie *pdf*. Począwszy od bieżącego wydania obie wersje są jednak różne. Wersja elektroniczna pozostała w swojej strukturze niezmieniona natomiast wersja drukowana Rocznika została istotnie skrócona w stosunku do wydań z poprzednich lat; ze względów edytorskich zmieniono w niej również układ tablic. Obie wersje Rocznika uzupełnia ponadto nowa forma prezentacji danych, jaką jest **Rocznik Astronomiczny „on-line”**.

Wprowadzone zmiany mają swoje źródło, przede wszystkim, w dążeniu do zapewnienia największej możliwej spójności pomiędzy dokładnościami danych zawartych w Roczniku a ich możliwym do osiągnięcia poziomem, wynikającym z dokładności danych źródłowych oraz stosowanych współcześnie modeli obliczeniowych. Dotyczy to przede wszystkim pozycji pozornych gwiazd w Nieskiskim Systemie Pośrednim (*IRS*) obliczanych przy wykorzystaniu tablic miejsc pozornych gwiazd w tym systemie. Dokładność wartości interpolowanych wewnątrz przedziału danych podawanych w tablicach przy przyjętym dla większości gwiazd 7-dniowym kroku tablicowania pozostawała na poziomie znaczaco niższym od wartości możliwych do osiągnięcia na drodze bezpośrednich obliczeń na zadany moment. Naturalnym rozwiązaniem tego problemu była więc rezygnacja z dotychczasowego sposobu tabelarycznej prezentacji części danych w wersji drukowanej Rocznika i przeniesienie ich do Internetu — Rocznika Astronomicznego „on-line”.

W wersji drukowanej Rocznika usunięto tablice miejsc pozornych gwiazd w systemie *IRS*, tablice miejsc pozornych gwiazd okolobiegunowych w systemie *IRS*, tablice pozycji gwiazd w systemie *ICRS* oraz tablice barycentrycznych i heliocentrycznych pozycji Ziemi. Zastąpił je **kalkulator pozycji pozornej gwiazd** zapewniający możliwość bezpośredniego obliczenia pozycji pozornej wybranej gwiazdy na dowolny zadany moment.

Zarówno wersja elektroniczna Rocznika (*pdf*), jak i Rocznik Astronomiczny „on-line” (kalkulator pozycji pozornej) są dostępne na stronach internetowych Centrum Geodezji i Geodynamiki IGiK (<http://www.igik.edu.pl>).

W kolejnych wydaniach Rocznikach, począwszy od wydania na 2004 rok, uwzględniono zmiany definicji nieskiskich systemów odniesienia, transformacji między tymi systemami oraz systemów czasu, dostosowujące je do precyzyj współczesnych technik obserwacyjnych (poniżej mikrosekundy łuku). Zmiany te, przyjęte przez Międzynarodową Unię Astronomiczną (IAU) w 2000 r. oraz przez Międzynarodową Unię Geodezji i Geofizyki (IUGG) w 2003 r. obowiązują od 1 stycznia 2003 roku. Stosując się do zaleceń IAU i IUGG wprowadzono również dalsze zmiany wynikające z rezolucji kolejnych Zgromadzeń Generalnych IAU (Praga, 2006; Rio de Janeiro, 2009) i IUGG (Perugia, 2007).

Zawarte w tablicach Rocznika na 2015 rok pozycje Słońca i Księżyca oraz pozycje gwiazd są wyrażone, zgodnie z zaleceniami IAU, zarówno w nowym Nieskiskim Pośrednim Systemie Odniesienia o początku *CIO*, jak i w ujęciu „klasycznym” związanym z punktem równonocy wiosennej.

W pracach nad Rocznikiem Astronomicznym na 2015 rok korzystano z materiałów z kolejnych Zgromadzeń Generalnych IAU i IUGG, zbiorów opracowań: IERS Technical Note 29 (zawierającą publikacje z Workshopu IERS „Implementation of the New IAU Resolutions”), który się odbył w kwietniu 2002 roku w Paryżu, „*IERS Conventions 1996*”, „*IERS Conventions 2003*”, opracowań Grup Roboczych Oddziału Astronomii Fundamentalnej IAU i szeregu publikacji, zaczerpniętych głównie z *Astronomy & Astrophysics*, a także z materiałów Workshopu Sekcji Dynamiki Ziemi Komitetu Geodezji PAN w Warszawie w maju 2004 roku.

Zawartość większości tablic w Roczniku stanowi wynik obliczeń wykonanych w Centrum Geodezji i Geodynamiki IGiK przy użyciu programów własnych, w których zostały wykorzystane procedury udostępnione przez IERS i SOFA — wszystkich opracowanych przez Marcina Sękowskiego. Do sporządzenia efemeryd Słońca, Księżyca i planet Układu Słonecznego posłużyły dane efemerydalne DE405/LE405.

Dane liczbowe dotyczące zaćmień Słońca i Księżyca zostały zaczerpnięte ze stron „*NASA Eclipse Web Site*”. Współrzędne bieguna północnego Ziemi *CIP* oraz różnice *UT1 – UTC* zaczerpnięto z wydawnictw Centralnego Biura Miedzynarodowej Służby Ruchu Obrotowego Ziemi (IERS) w Paryżu. Program do interpolacji izogon deklinacji magnetycznej oraz mapę tych deklinacji na rok 2015 sporządziła Elżbieta Welker. Informacje o radiowych sygnałach czasu oparte są na corocznie aktualnianych danych dostarczanych przez Bureau International des Poids et Mesures w Sèvres. W bieżącym wydaniu Rocznika zaktualizowano listę stacji nadawczych, ograniczając ją jednocześnie do stacji nadających sygnały w trybie całodobowym. Programy używane do tablicowania danych i formatowania Rocznika oraz skład całości Rocznika w systemie *TeX*, zarówno drukowanej wersji książkowej, jak

i elektronicznej *pdf* zostały wykonane przez Marcina Sękowskiego. Obliczenia kontrolne przykładów numerycznych zamieszczonych w części szczegółowej Rocznika wykonali Helena Bieniewska, Anna Jędrzejewska, Maciej Moskwiński, Marcin Sękowski i Łukasz Żak.

Definicje i wielkości stałych astronomicznych użyte w Roczniku odnoszą się do systemu IAU2009. Zostały one zaczerpnięte ze strony (<http://maia.usno.navy.mil/NSFA/CBE.html>). Dołączono również uzupełniającą listę stałych i wielkości pomocniczych — niektóre odniesione do poprzednio obowiązujących systemów. Mogą one być stosowane w obliczeniach nie wymagających najwyższych dokładności.

Algorytmy i programy opracowane do obliczania podanych w niniejszym Roczniku pozycji ciał niebieskich, wyrażonych w nowych systemach odniesienia, były poddane skrupulatnej kontroli wewnętrznej i weryfikacji. Ich poprawność została także potwierdzona zgodnością publikowanych danych z danymi zawartymi w innych wydawnictwach rocznikowych, w których w ostatnim okresie zostały wdrożone zalecenia IAU (Apparent Places of Fundamental Stars, Astronomisches Rechen-Institut, Heidelberg; Astronomičeskij Ježegodnik, Institut Prikladnoj Astronomii RAN, St. Petersburg; The Astronomical Almanac, Waszyngton/Londyn).

Jan Kryński
Redaktor naukowy Rocznika Astronomicznego

ROK 2015

DNI ŚWIĄTECZNE

Nowy Rok	czwartek	1	stycznia	Boże Ciało	czwartek	4	czerwca
Trzech Króli	wtorek	6	stycznia	Wniebowzięcie NMP	sobota	15	sierpnia
Wielkanoc	niedziela	5	kwietnia	Wszystkich Świętych	niedziela	1	listopada
Pon. Wielk.	poniedziałek	6	kwietnia	Nar. Św. Niepodległości	środa	11	listopada
Święto Pracy	piątek	1	maja	Boże Narodzenie	piątek	25	grudnia
Św. Narod. 3 Maja	niedziela	3	maja	Świętego Szczepana	sobota	26	grudnia
Zielone Świątki	niedziela	24	maja				

PORY ROKU

Słońce wstępuje w znak Barana, początek wiosny astronomicznej	20	marca	$22^h 45^m 2$	UT
Słońce wstępuje w znak Raka, początek lata astronomicznego	21	czerwca	16 37.9	"
Słońce wstępuje w znak Wagi, początek jesieni astronomicznej	23	września	8 20.6	"
Słońce wstępuje w znak Koziorożca, początek zimy astronomicznej	22	grudnia	4 48.0	"
Ziemia w perihelium	4	stycznia	6. ^h 6	"
Ziemia w aphelium	6	lipca	19.7	"

STAŁE PRECESYJNE(2015.5)

IAU1976

IAU2006

Roczna precesja w długości	<i>p</i>	50".2944	50.".2914
Roczna precesja równika	<i>p</i> ₁	50.3885	50.3815
Roczna precesja ekiptyki	<i>p</i> ₂	0.1026	0.0982
Roczna precesja w rektascensji	<i>m</i>	$46.1287 = 3^s 07525$	$46.1259 = 3^s 07506$
Roczna precesja w deklinacji	<i>n</i>	$20.0418 = 1.33612$	$20.0406 = 1.33604$
Średnie nachylenie ekiptyki do równika	ε	$23^\circ 26' 14'' 19$	$23^\circ 26' 14'' 15$

Współrzędne geograficzne Obserwatoriów w Polsce

Miejscowość	Nazwa	Punkt	φ	λ
Belsk	Centralne Obs. Geofizyczne IGF PAN		+51°50'12"	+1 ^h 23 ^m 10 ^s
Białków	Filia Obserw. Inst. Astr. UWr.	słup pawil. wyższego	+51 28 32	+1 06 38.38
Borowa Góra	Obserw. Geod.-Geofiz. IGiK	instr. przejściowy	+52 28 34	+1 24 08.914
Borowiec	Astrogeodyn. Obserw. CBK PAN	dawny instr. przejści. I	+52 16 38	+1 08 18.437
Chorzów	Obserwatorium Astronomiczne	refraktor	+50 17 31.8	+1 15 58.52
Fort Skała	Filia Obserw. Astr. UJ	radioteleskop	+50 03 15	+1 19 18.5
Grybów	Filia Obserw. Astr.-Geod. PW	słup centralny	+49 37 48.5	+1 23 48.28
Hel	Obserw. Geofizyczne IGF PAN		+54 36 24	+1 15 17.2
Józefosław	Obserw. Astr.-Geod. PW	instr. przejściowy	+52 05 54	+1 24 08.600
Kraków	Obserwatorium Astronomiczne UJ	koło południkowe	+50 03 51.9	+1 19 50.28
Książ	Dolnośl. Obs. Geofizyczne IGF PAN	stan. wahadeł płynw.	+50 50 41	+1 05 11
Lamkówek	Obserwatorium Satelitarne UWM	słup stacji perm. GPS	+53 53 32.631	+1 22 40.785
Ostrowik	Filia Obserw. Astr. UW	refraktor	+52 05 23	+1 25 40.8
Piwnice	Obserwatorium Astronomiczne UMK	słup centralny	+53 05 48	+1 14 13.1
Poznań	Obserwatorium Astronomiczne UAM	dawny instr. przejści.	+52 23 53.0	+1 07 30.99
Suhora	Obserw. Astr. UP w Krakowie		+49 34 09	+1 20 16.2
Świder	Obserw. Geofizyczne IGF PAN		+52 06.9	+1 25 01
Warszawa	Obserwatorium Astronomiczne PW	słup centralny	+52 13 21.0	+1 24 02.36
Warszawa	Obserwatorium Astronomiczne UW	dawne koło połudn.	+52 13 04.6	+1 24 07.25
Warszawa	Stacja Pływowa CBK PAN	słup grawimetryczny	+52 12 52	+1 20 17
Wrocław	Obserw. Inst. Astr. UWr.	instr. przejściowy	+51 06 42.1	+1 08 21.22

CZAS GWIAZDOWY GREENWICH I KĄT OBROTU ZIEMI 2015

Data	0^h UT1				Data	0^h UT1					
	GMST	Eq	GST	θ		GMST	Eq	GST	θ		
Styczeń	0	$6^h 37^m 22^s.5764$	+2957	22.8722	$6^h 36^m 36^s.4623$	Luty	15	$9^h 38^m 44.1234$	+3147	44.4381	$9^h 37^m 57.6220$
	1	6 41 19.1318	+2979	19.4297	6 40 33.0093		16	9 42 40.6787	+3190	40.9977	9 41 54.1689
	2	6 45 15.6872	+3023	15.9895	6 44 29.5562		17	9 46 37.2341	+3220	37.5561	9 45 50.7159
	3	6 49 12.2425	+3082	12.5507	6 48 26.1032		18	9 50 33.7895	+3223	34.1118	9 49 47.2628
	4	6 53 08.7979	+3147	09.1126	6 52 22.6501		19	9 54 30.3448	+3193	30.6641	9 53 43.8098
	5	6 57 05.3533	+3208	05.6741	6 56 19.1971		20	9 58 26.9002	+3133	27.2135	9 57 40.3567
	6	7 01 01.9086	+3257	02.2344	7 00 15.7440		21	10 02 23.4556	+3056	23.7611	10 01 36.9037
	7	7 04 58.4640	+3289	58.7929	7 04 12.2910		22	10 06 20.0109	+2980	20.3089	10 05 33.4506
	8	7 08 55.0194	+3300	55.3494	7 08 08.8379		23	10 10 16.5663	+2920	16.8583	10 09 29.9976
	9	7 12 51.5747	+3291	51.9039	7 12 05.3849		24	10 14 13.1217	+2885	13.4101	10 13 26.5445
	10	7 16 48.1301	+3267	48.4568	7 16 01.9318		25	10 18 09.6770	+2873	09.9643	10 17 23.0915
	11	7 20 44.6855	+3231	45.0086	7 19 58.4788		26	10 22 06.2324	+2879	06.5203	10 21 19.6384
	12	7 24 41.2409	+3192	41.5601	7 23 55.0257		27	10 26 02.7878	+2894	03.0772	10 25 16.1854
	13	7 28 37.7962	+3158	38.1120	7 27 51.5727		28	10 29 59.3432	+2909	59.6341	10 29 12.7323
	14	7 32 34.3516	+3135	34.6651	7 31 48.1196	Marzec	1	10 33 55.8985	+2916	56.1901	10 33 09.2793
	15	7 36 30.9070	+3131	31.2200	7 35 44.6666		2	10 37 52.4539	+2907	52.7446	10 37 05.8262
	16	7 40 27.4623	+3150	27.7774	7 39 41.2135		3	10 41 49.0093	+2880	49.2973	10 41 02.3732
	17	7 44 24.0177	+3195	24.3372	7 43 37.7605		4	10 45 45.5646	+2833	45.8480	10 44 58.9201
	18	7 48 20.5731	+3260	20.8990	7 47 34.3074		5	10 49 42.1200	+2769	42.3969	10 48 55.4671
	19	7 52 17.1284	+3334	17.4619	7 51 30.8544		6	10 53 38.6754	+2691	38.9445	10 52 52.0140
	20	7 56 13.6838	+3404	14.0241	7 55 27.4013		7	10 57 35.2307	+2605	35.4913	10 56 48.5610
	21	8 00 10.2392	+3451	10.5843	7 59 23.9483		8	11 01 31.7861	+2520	32.0381	11 00 45.1079
	22	8 04 06.7945	+3466	07.1411	8 03 20.4952		9	11 05 28.3415	+2442	28.5857	11 04 41.6549
	23	8 08 03.3499	+3447	03.6946	8 07 17.0422		10	11 09 24.8968	+2378	25.1347	11 08 38.2018
	24	8 11 59.9053	+3404	60.2457	8 11 13.5891		11	11 13 21.4522	+2334	21.6856	11 12 34.7488
	25	8 15 56.4606	+3353	56.7959	8 15 10.1361		12	11 17 18.0076	+2311	18.2386	11 16 31.2957
	26	8 19 53.0160	+3309	53.3469	8 19 06.6830		13	11 21 14.5629	+2308	14.7938	11 20 27.8427
	27	8 23 49.5714	+3283	49.8997	8 23 03.2300		14	11 25 11.1183	+2321	11.3504	11 24 24.3896
	28	8 27 46.1267	+3280	46.4547	8 26 59.7769		15	11 29 07.6737	+2341	07.9078	11 28 20.9366
	29	8 31 42.6821	+3298	43.0119	8 30 56.3239		16	11 33 04.2290	+2355	04.4646	11 32 17.4835
	30	8 35 39.2375	+3331	39.5706	8 34 52.8708		17	11 37 00.7844	+2352	01.0196	11 36 14.0305
	31	8 39 35.7928	+3372	36.1301	8 38 49.4178		18	11 40 57.3398	+2320	57.5717	11 40 10.5774
Luty	1	8 43 32.3482	+3411	32.6893	8 42 45.9647		19	11 44 53.8951	+2258	54.1209	11 44 07.1244
	2	8 47 28.9036	+3440	29.2476	8 46 42.5117		20	11 48 50.4505	+2173	50.6678	11 48 03.6713
	3	8 51 25.4590	+3452	25.8042	8 50 39.0586		21	11 52 47.0059	+2082	47.2141	11 52 00.2183
	4	8 55 22.0143	+3445	22.3588	8 54 35.6055		22	11 56 43.5613	+2002	43.7614	11 55 56.7652
	5	8 59 18.5697	+3417	18.9114	8 58 32.1525		23	12 00 40.1166	+1946	40.3112	11 59 53.3122
	6	9 03 15.1251	+3372	15.4622	9 02 28.6994		24	12 04 36.6720	+1917	36.8637	12 03 49.8591
	7	9 07 11.6804	+3314	12.0118	9 06 25.2464		25	12 08 33.2274	+1912	33.4186	12 07 46.4061
	8	9 11 08.2358	+3250	08.5608	9 10 21.7933		26	12 12 29.7827	+1921	29.9748	12 11 42.9530
	9	9 15 04.7912	+3187	05.1099	9 14 18.3403		27	12 16 26.3381	+1933	26.5314	12 15 39.5000
	10	9 19 01.3465	+3133	01.6599	9 18 14.8872		28	12 20 22.8935	+1938	23.0873	12 19 36.0469
	11	9 22 57.9019	+3095	58.2114	9 22 11.4342		29	12 24 19.4488	+1930	19.6418	12 23 32.5939
	12	9 26 54.4573	+3077	54.7650	9 26 07.9811		30	12 28 16.0042	+1903	16.1945	12 27 29.1408
	13	9 30 51.0126	+3082	51.3208	9 30 04.5281		31	12 32 12.5596	+1858	12.7454	12 31 25.6878
	14	9 34 47.5680	+3107	47.8787	9 34 01.0750	Kwiecień	1	12 36 09.1149	+1795	09.2944	12 35 22.2347
	15	9 38 44.1234	+3147	44.4381	9 37 57.6220		2	12 40 05.6703	+1718	05.8421	12 39 18.7817

CZAS GWIAZDOWY GREENWICH I KĄT OBROTU ZIEMI 2015

Data	0^h UT1				Data	0^h UT1			
	GMST	Eq	GST	θ		GMST	Eq	GST	θ
Kwiecień		0 ^s 0001			Maj		0 ^s 0001		
	1 12 ^h 36 ^m 09 ^s .1149	+1795	09.2944	12 ^h 35 ^m 22 ^s .2347		17 15 ^h 37 ^m 30.6619	+ 665	30.7284	15 ^h 36 ^m 43 ^s .3944
	2 12 40 05.6703	+1718	05.8421	12 39 18.7817		18 15 41 27.2172	+ 678	27.2850	15 40 39.9413
	3 12 44 02.2257	+1633	02.3889	12 43 15.3286		19 15 45 23.7726	+ 716	23.8442	15 44 36.4883
	4 12 47 58.7810	+1546	58.9357	12 47 11.8755		20 15 49 20.3280	+ 769	20.4049	15 48 33.0352
	5 12 51 55.3364	+1466	55.4830	12 51 08.4225		21 15 53 16.8833	+ 825	16.9658	15 52 29.5822
	6 12 55 51.8918	+1400	52.0318	12 55 04.9694		22 15 57 13.4387	+ 872	13.5259	15 56 26.1291
	7 12 59 48.4471	+1353	48.5825	12 59 01.5164		23 16 01 09.9941	+ 902	10.0843	16 00 22.6761
	8 13 03 45.0025	+1328	45.1353	13 02 58.0633		24 16 05 06.5494	+ 913	06.6407	16 04 19.2230
	9 13 07 41.5579	+1324	41.6903	13 06 54.6103		25 16 09 03.1048	+ 902	03.1951	16 08 15.7700
	10 13 11 38.1132	+1338	38.2470	13 10 51.1572		26 16 12 59.6602	+ 875	59.7477	16 12 12.3169
	11 13 15 34.6686	+1359	34.8045	13 14 47.7042		27 16 16 56.2156	+ 836	56.2991	16 16 08.8639
	12 13 19 31.2240	+1379	31.3619	13 18 44.2511		28 16 20 52.7709	+ 790	52.8500	16 20 05.4108
	13 13 23 27.7794	+1385	27.9179	13 22 40.7981		29 16 24 49.3263	+ 747	49.4010	16 24 01.9578
	14 13 27 24.3347	+1369	24.4716	13 26 37.3450		30 16 28 45.8817	+ 714	45.9530	16 27 58.5047
	15 13 31 20.8901	+1325	21.0226	13 30 33.8920		31 16 32 42.4370	+ 697	42.5067	16 31 55.0517
	16 13 35 17.4455	+1257	17.5712	13 34 30.4389	Czerwiec	1 16 36 38.9924	+ 702	39.0626	16 35 51.5986
	17 13 39 14.0008	+1177	14.1186	13 38 26.9859		2 16 40 35.5478	+ 731	35.6208	16 39 48.1455
	18 13 43 10.5562	+1102	10.6664	13 42 23.5328		3 16 44 32.1031	+ 781	32.1812	16 43 44.6925
	19 13 47 07.1116	+1046	07.2161	13 46 20.0798		4 16 48 28.6585	+ 845	28.7430	16 47 41.2394
	20 13 51 03.6669	+1019	03.7688	13 50 16.6267		5 16 52 25.2139	+ 912	25.3051	16 51 37.7864
	21 13 55 00.2223	+1020	00.3243	13 54 13.1737		6 16 56 21.7692	+ 970	21.8662	16 55 34.3333
	22 13 58 56.7777	+1042	56.8818	13 58 09.7206		7 17 00 18.3246	+1006	18.4252	16 59 30.8803
	23 14 02 53.3330	+1072	53.4403	14 02 06.2676		8 17 04 14.8800	+1016	14.9816	17 03 27.4272
	24 14 06 49.8884	+1100	49.9984	14 06 02.8145		9 17 08 11.4353	+1000	11.5354	17 07 23.9742
	25 14 10 46.4438	+1115	46.5553	14 09 59.3615		10 17 12 07.9907	+ 966	08.0873	17 11 20.5211
	26 14 14 42.9991	+1114	43.1105	14 13 55.9084		11 17 16 04.5461	+ 926	04.6387	17 15 17.0681
	27 14 18 39.5545	+1092	39.6637	14 17 52.4554		12 17 20 01.1014	+ 895	01.1910	17 19 13.6150
	28 14 22 36.1099	+1052	36.2151	14 21 49.0023		13 17 23 57.6568	+ 884	57.7452	17 23 10.1620
	29 14 26 32.6652	+ 997	32.7650	14 25 45.5493		14 17 27 54.2122	+ 900	54.3022	17 27 06.7089
	30 14 30 29.2206	+ 933	29.3139	14 29 42.0962		15 17 31 50.7676	+ 943	50.8618	17 31 03.2559
Maj	1 14 34 25.7760	+ 865	25.8625	14 33 38.6432	Lipiec	16 17 35 47.3229	+1004	47.4233	17 34 59.8028
	2 14 38 22.3313	+ 802	22.4116	14 37 35.1901		17 17 39 43.8783	+1072	43.9855	17 38 56.3498
	3 14 42 18.8867	+ 752	18.9619	14 41 31.7371		18 17 43 40.4337	+1137	40.5473	17 42 52.8967
	4 14 46 15.4421	+ 720	15.5141	14 45 28.2840		19 17 47 36.9890	+1187	37.1077	17 46 49.4437
	5 14 50 11.9975	+ 711	12.0685	14 49 24.8310		20 17 51 33.5444	+1217	33.6661	17 50 45.9906
	6 14 54 08.5528	+ 725	08.6253	14 53 21.3779		21 17 55 30.0998	+1225	30.2223	17 54 42.5376
	7 14 58 05.1082	+ 757	05.1839	14 57 17.9249		22 17 59 26.6551	+1214	26.7765	17 58 39.0845
	8 15 02 01.6636	+ 801	01.7436	15 01 14.4718		23 18 03 23.2105	+1187	23.3292	18 02 35.6315
	9 15 05 58.2189	+ 844	58.3033	15 05 11.0188		24 18 07 19.7659	+1152	19.8810	18 06 32.1784
	10 15 09 54.7743	+ 876	54.8619	15 09 07.5657		25 18 11 16.3212	+1115	16.4327	18 10 28.7254
	11 15 13 51.3297	+ 887	51.4184	15 13 04.1127		26 18 15 12.8766	+1084	12.9850	18 14 25.2723
	12 15 17 47.8850	+ 872	47.9722	15 17 00.6596		27 18 19 09.4320	+1067	09.5386	18 18 21.8193
	13 15 21 44.4404	+ 833	44.5237	15 20 57.2066		28 18 23 05.9873	+1068	06.0942	18 22 18.3662
	14 15 25 40.9958	+ 779	41.0737	15 24 53.7535		29 18 27 02.5427	+1093	02.6520	18 26 14.9132
	15 15 29 37.5511	+ 724	37.6235	15 28 50.3005		30 18 30 59.0981	+1140	59.2121	18 30 11.4601
	16 15 33 34.1065	+ 682	34.1747	15 32 46.8474		1	18 34 55.6534	+1205	55.7739
	17 15 37 30.6619	+ 665	30.7284	15 36 43.3944		2	18 38 52.2088	+1278	52.3366

CZAS GWIAZDOWY GREENWICH I KĄT OBROTU ZIEMI 2015

Data	0^h UT1				Data	0^h UT1					
	GMST	Eq	GST	θ		GMST	Eq	GST	θ		
Lipiec	1	$18^h 34^m 55^s.6534$	+1205	55.7739	$18^h 34^m 08^s.0071$	Sierpień	16	$21^h 36^m 17^s.2004$	+1338	17.3342	$21^h 35^m 29^s.1667$
	2	18 38 52.2088	+1278	52.3366	18 38 04.5540		17	21 40 13.7557	+1274	13.8831	21 39 25.7137
	3	18 42 48.7642	+1345	48.8987	18 42 01.1010		18	21 44 10.3111	+1203	10.4314	21 43 22.2606
	4	18 46 45.3195	+1394	45.4589	18 45 57.6479		19	21 48 06.8665	+1132	06.9797	21 47 18.8076
	5	18 50 41.8749	+1414	42.0163	18 49 54.1949		20	21 52 03.4219	+1069	03.5287	21 51 15.3545
	6	18 54 38.4303	+1405	38.5708	18 53 50.7418		21	21 55 59.9772	+1019	60.0791	21 55 11.9015
	7	18 58 34.9857	+1374	35.1230	18 57 47.2888		22	21 59 56.5326	+ 988	56.6314	21 59 08.4484
	8	19 02 31.5410	+1332	31.6742	19 01 43.8357		23	22 03 53.0880	+ 977	53.1856	22 03 04.9954
	9	19 06 28.0964	+1295	28.2259	19 05 40.3827		24	22 07 49.6433	+ 985	49.7419	22 07 01.5423
	10	19 10 24.6518	+1274	24.7792	19 09 36.9296		25	22 11 46.1987	+1009	46.2996	22 10 58.0893
	11	19 14 21.2071	+1278	21.3350	19 13 33.4766		26	22 15 42.7541	+1039	42.8580	22 14 54.6362
	12	19 18 17.7625	+1307	17.8932	19 17 30.0235		27	22 19 39.3094	+1063	39.4158	22 18 51.1832
	13	19 22 14.3179	+1355	14.4534	19 21 26.5705		28	22 23 35.8648	+1069	35.9717	22 22 47.7301
	14	19 26 10.8732	+1414	11.0146	19 25 23.1174		29	22 27 32.4202	+1046	32.5247	22 26 44.2771
	15	19 30 07.4286	+1471	07.5757	19 29 19.6644		30	22 31 28.9755	+ 992	29.0747	22 30 40.8240
	16	19 34 03.9840	+1518	04.1358	19 33 16.2113	Wrzesień	31	22 35 25.5309	+ 915	25.6224	22 34 37.3710
	17	19 38 00.5393	+1546	00.6940	19 37 12.7583		1	22 39 22.0863	+ 832	22.1694	22 38 33.9179
	18	19 41 57.0947	+1553	57.2500	19 41 09.3052		2	22 43 18.6416	+ 759	18.7175	22 42 30.4649
	19	19 45 53.6501	+1538	53.8039	19 45 05.8522		3	22 47 15.1970	+ 708	15.2679	22 46 27.0118
	20	19 49 50.2054	+1506	50.3560	19 49 02.3991		4	22 51 11.7524	+ 685	11.8209	22 50 23.5588
	21	19 53 46.7608	+1461	46.9069	19 52 58.9461		5	22 55 08.3077	+ 685	08.3762	22 54 20.1057
	22	19 57 43.3162	+1412	43.4574	19 56 55.4930		6	22 59 04.8631	+ 698	04.9329	22 58 16.6527
	23	20 01 39.8715	+1366	40.0081	20 00 52.0400		7	23 03 01.4185	+ 715	01.4900	23 02 13.1996
	24	20 05 36.4269	+1329	36.5599	20 04 48.5869		8	23 06 57.9738	+ 725	58.0463	23 06 09.7466
	25	20 09 32.9823	+1309	33.1132	20 08 45.1339		9	23 10 54.5292	+ 720	54.6012	23 10 06.2935
	26	20 13 29.5376	+1309	29.6686	20 12 41.6808		10	23 14 51.0846	+ 696	51.1542	23 14 02.8405
	27	20 17 26.0930	+1331	26.2262	20 16 38.2278		11	23 18 47.6400	+ 651	47.7050	23 17 59.3874
	28	20 21 22.6484	+1373	22.7857	20 20 34.7747		12	23 22 44.1953	+ 587	44.2540	23 21 55.9344
	29	20 25 19.2038	+1427	19.3465	20 24 31.3216		13	23 26 40.7507	+ 508	40.8015	23 25 52.4813
	30	20 29 15.7591	+1482	15.9074	20 28 27.8686		14	23 30 37.3061	+ 422	37.3482	23 29 49.0283
Sierpień	31	20 33 12.3145	+1525	12.4669	20 32 24.4155		15	23 34 33.8614	+ 334	33.8948	23 33 45.5752
	1	20 37 08.8699	+1541	09.0240	20 36 20.9625		16	23 38 30.4168	+ 252	30.4420	23 37 42.1222
	2	20 41 05.4252	+1526	05.5778	20 40 17.5094		17	23 42 26.9722	+ 183	26.9905	23 41 38.6691
	3	20 45 01.9806	+1483	02.1289	20 44 14.0564		18	23 46 23.5275	+ 131	23.5406	23 45 35.2161
	4	20 48 58.5360	+1424	58.6784	20 48 10.6033		19	23 50 20.0829	+ 99	20.0928	23 49 31.7630
	5	20 52 55.0913	+1365	55.2278	20 52 07.1503		20	23 54 16.6383	+ 87	16.6469	23 53 28.3100
	6	20 56 51.6467	+1319	51.7786	20 56 03.6972		21	23 58 13.1936	+ 90	13.2026	23 57 24.8569
	7	21 00 48.2021	+1297	48.3318	21 00 00.2442		22	0 02 09.7490	+ 102	09.7592	0 01 21.4039
	8	21 04 44.7574	+1300	44.8874	21 03 56.7911		23	0 06 06.3044	+ 114	06.3158	0 05 17.9508
	9	21 08 41.3128	+1323	41.4451	21 07 53.3381		24	0 10 02.8597	+ 114	02.8711	0 09 14.4978
	10	21 12 37.8682	+1357	38.0039	21 11 49.8850		25	0 13 59.4151	+ 92	59.4243	0 13 11.0447
	11	21 16 34.4235	+1393	34.5628	21 15 46.4320		26	0 17 55.9705	+ 41	55.9746	0 17 07.5916
	12	21 20 30.9789	+1419	31.1208	21 19 42.9789		27	0 21 52.5258	- 35	52.5224	0 21 04.1386
	13	21 24 27.5343	+1430	27.6773	21 23 39.5259		28	0 25 49.0812	- 125	49.0687	0 25 00.6855
	14	21 28 24.0896	+1420	24.2316	21 27 36.0728		29	0 29 45.6366	- 211	45.6154	0 28 57.2325
	15	21 32 20.6450	+1389	20.7839	21 31 32.6198		30	0 33 42.1919	- 278	42.1642	0 32 53.7794
	16	21 36 17.2004	+1338	17.3342	21 35 29.1667	Październik	1	0 37 38.7473	- 314	38.7159	0 36 50.3264

CZAS GWIAZDOWY GREENWICH I KĄT OBROTU ZIEMI 2015

Data	0^h UT1				Data	0^h UT1			
	GMST	Eq	GST	θ		GMST	Eq	GST	θ
Październik	1	$0^h 37^m 38.^s7473$	0 ^s 0001		Listopad	16	$3^h 39^m 00.^s2943$	0 ^s 0001	
	2	0 41 35.3027	-323	35.2704		17	3 42 56.8496	-1211	00. ^s 1731
	3	0 45 31.8581	-312	31.8269		18	3 46 53.4050	-1171	56.7325
	4	0 49 28.4134	-294	28.3841		19	3 50 49.9604	-1146	53.2904
	5	0 53 24.9688	-280	24.9408		20	3 54 46.5157	-1142	49.8461
	6	0 57 21.5242	-280	21.4962		21	3 58 43.0711	-1163	46.3994
	7	1 01 18.0795	-298	18.0497		22	4 02 39.6265	-1203	43.57 54.2208
	8	1 05 14.6349	-337	14.6012		23	4 06 36.1818	-1252	39.5013
	9	1 09 11.1903	-395	11.1507		24	4 10 32.7372	-1294	4 05 47.3147
	10	1 13 07.7456	-468	07.6988		25	4 14 29.2926	-1315	36.0525
	11	1 17 04.3010	-551	04.2459		26	4 18 25.8479	-1350	4 09 43.8616
	12	1 21 00.8564	-635	00.7929		27	4 22 22.4033	-1305	29.1621
	13	1 24 57.4117	-714	57.3403		28	4 26 18.9587	-1263	4 13 40.4086
	14	1 28 53.9671	-781	53.8890		29	4 30 15.5140	-12294	4 17 36.9555
	15	1 32 50.5225	-831	50.4394		30	4 34 12.0694	-1128	4 21 33.5025
	16	1 36 47.0778	-860	46.9918	Grudzień	1	4 38 08.6248	-1062	4 25 30.0494
	17	1 40 43.6332	-870	43.5462		2	4 42 05.1801	-1035	4 29 26.5964
	18	1 44 40.1886	-862	40.1024		3	4 46 01.7355	-1091	4 33 23.1433
	19	1 48 36.7439	-844	36.6595		4	4 49 58.2909	-1056	4 37 19.6903
	20	1 52 33.2993	-824	33.2169		5	4 53 54.8462	-1029	4 41 16.2372
	21	1 56 29.8547	-811	29.7736		6	4 57 51.4016	-1029	4 45 09.3311
	22	2 00 26.4100	-816	26.3284		7	5 01 47.9570	-1066	4 50 55.5189
	23	2 04 22.9654	-845	22.8809		8	5 05 44.5124	-1025	4 53 05.8781
	24	2 08 19.5208	-898	19.4310		9	5 09 41.0677	-1087	4 57 02.4250
	25	2 12 16.0762	-970	15.9792		10	5 13 37.6231	-1029	5 00 58.9720
	26	2 16 12.6315	-1045	12.5271		11	5 17 34.1785	-1029	5 04 55.5189
	27	2 20 09.1869	-1106	09.0763		12	5 21 30.7338	-1056	5 08 52.0659
	28	2 24 05.7423	-1140	05.6283		13	5 25 27.2892	-1029	5 12 48.6128
	29	2 28 02.2976	-1141	02.1835		14	5 29 23.8446	-1029	5 16 45.1598
	30	2 31 58.8530	-1115	58.7415		15	5 33 20.3999	-1029	5 20 41.7067
	31	2 35 55.4084	-1074	55.3009		16	5 37 16.9553	-1029	5 24 38.2537
Listopad	1	2 39 51.9637	-1033	51.8604		17	5 41 13.5107	-1029	5 28 34.8006
	2	2 43 48.5191	-1004	48.4187		18	5 45 10.0660	-1029	5 32 31.3476
	3	2 47 45.0745	-992	44.9752		19	5 49 06.6214	-1029	5 36 27.8945
	4	2 51 41.6298	-1003	41.5296		20	5 53 03.1768	-1029	5 40 24.4415
	5	2 55 38.1852	-1033	38.0819		21	5 56 59.7321	-1029	5 44 20.9884
	6	2 59 34.7406	-1080	34.6325		22	6 00 56.2875	-1029	5 48 17.5354
	7	3 03 31.2959	-1138	31.1822		23	6 04 52.8429	-1029	5 52 14.0823
	8	3 07 27.8513	-1199	27.7314		24	6 08 49.3982	-1029	5 56 10.6293
	9	3 11 24.4067	-1257	24.2810		25	6 12 45.9536	-1029	6 00 07.1762
	10	3 15 20.9620	-1303	20.8317		26	6 16 42.5090	-1029	6 04 03.7232
	11	3 19 17.5174	-1333	17.3841		27	6 20 39.0643	-1029	6 08 00.2701
	12	3 23 14.0728	-1343	13.9385		28	6 24 35.6197	-1029	6 12 46.4579
	13	3 27 10.6281	-1331	10.4950		29	6 28 32.1751	-1029	6 16 56.8171
	14	3 31 07.1835	-1301	07.0534		30	6 32 28.7305	-1029	6 20 49.9110
	15	3 35 03.7389	-1258	03.6131		31	6 36 25.2858	-1029	6 24 32.2701
	16	3 39 00.2943	-1211	00.1731		32	6 40 21.8412	-1029	6 30 36.0988

SŁÓŃCE 2015, STYCZEŃ – LUTY

Data	JD	0 ^h TT								CSE w Warszawie wsch. zach.	
		α_{app}^{CIO}	α_{app}^{γ}	δ_{app}	$V_{\delta}/1^h$	R	π	$E + 12^h$	$V_E/1^h$		
Styczeń	2457					16'					
	0 022.5	18 39 ^h 19 ^m 01 ^s .016	65. ^s 426	-23°06'53".97	+10".574	15." ⁹⁰	8."94	11 ^h 57 ^m 17 ^s .446	-1. ^s 1963	7 ^h 45 ^m	15 ^h 33 ^m
	1 023.5	18 43 44.129	90.549	-23 02 26.31	+11.726	15.93	8.94	11 56 48.881	-1.1838	7 45	15 34
	2 024.5	18 48 08.926	55.359	-22 57 31.07	+12.873	15.95	8.94	11 56 20.630	-1.1700	7 45	15 35
	3 025.5	18 52 33.380	79.828	-22 52 08.38	+14.014	15.96	8.94	11 55 52.723	-1.1552	7 45	15 36
	4 026.5	18 56 57.465	103.927	-22 46 18.40	+15.148	15.96	8.94	11 55 25.185	-1.1392	7 45	15 37
	5 027.5	19 01 21.154	67.631	-22 40 01.31	+16.275	15.96	8.94	11 54 58.043	-1.1222	7 44	15 38
	6 028.5	19 05 44.423	90.913	-22 33 17.28	+17.394	15.95	8.94	11 54 31.321	-1.1042	7 44	15 40
	7 029.5	19 10 07.247	53.749	-22 26 06.50	+18.505	15.94	8.94	11 54 05.044	-1.0852	7 44	15 41
	8 030.5	19 14 29.603	76.114	-22 18 29.16	+19.607	15.92	8.94	11 53 39.235	-1.0652	7 43	15 42
	9 031.5	19 18 51.466	97.985	-22 10 25.49	+20.700	15.89	8.94	11 53 13.919	-1.0442	7 43	15 44
	10 032.5	19 23 12.814	59.339	-22 01 55.70	+21.782	15.86	8.94	11 52 49.117	-1.0223	7 42	15 45
	11 033.5	19 27 33.626	80.156	-21 53 00.04	+22.855	15.82	8.94	11 52 24.853	-0.9995	7 41	15 46
	12 034.5	19 31 53.878	100.412	-21 43 38.75	+23.917	15.78	8.94	11 52 01.147	-0.9758	7 41	15 48
	13 035.5	19 36 13.551	60.090	-21 33 52.10	+24.967	15.73	8.94	11 51 38.021	-0.9512	7 40	15 49
	14 036.5	19 40 32.624	79.169	-21 23 40.37	+26.006	15.67	8.94	11 51 15.496	-0.9258	7 39	15 51
	15 037.5	19 44 51.076	97.629	-21 13 03.84	+27.033	15.61	8.94	11 50 53.590	-0.8995	7 38	15 53
	16 038.5	19 49 08.889	55.453	-21 02 02.82	+28.046	15.55	8.94	11 50 32.324	-0.8724	7 37	15 54
	17 039.5	19 53 26.043	72.620	-20 50 37.62	+29.047	15.48	8.94	11 50 11.718	-0.8445	7 37	15 56
	18 040.5	19 57 42.518	89.110	-20 38 48.58	+30.034	15.41	8.94	11 49 51.789	-0.8158	7 36	15 57
	19 041.5	20 01 58.295	104.902	-20 26 36.04	+31.006	15.34	8.94	11 49 32.559	-0.7864	7 35	15 59
	20 042.5	20 06 13.356	59.979	-20 14 00.34	+31.964	15.26	8.94	11 49 14.046	-0.7561	7 33	16 01
	21 043.5	20 10 27.680	74.316	-20 01 01.84	+32.907	15.17	8.94	11 48 56.269	-0.7250	7 32	16 02
	22 044.5	20 14 41.249	87.895	-19 47 40.91	+33.835	15.09	8.94	11 48 39.246	-0.6932	7 31	16 04
	23 045.5	20 18 54.046	100.698	-19 33 57.91	+34.747	15.00	8.93	11 48 22.997	-0.6607	7 30	16 06
	24 046.5	20 23 06.055	52.712	-19 19 53.20	+35.644	14.91	8.93	11 48 07.534	-0.6276	7 29	16 08
	25 047.5	20 27 17.264	63.924	-19 05 27.14	+36.525	14.81	8.93	11 47 52.872	-0.5941	7 27	16 10
	26 048.5	20 31 27.662	74.326	-18 50 40.12	+37.390	14.71	8.93	11 47 39.021	-0.5601	7 26	16 11
	27 049.5	20 35 37.241	83.911	-18 35 32.51	+38.239	14.61	8.93	11 47 25.989	-0.5258	7 25	16 13
	28 050.5	20 39 45.995	92.673	-18 20 04.70	+39.072	14.50	8.93	11 47 13.782	-0.4914	7 23	16 15
	29 051.5	20 43 53.921	100.609	-18 04 17.08	+39.889	14.39	8.93	11 47 02.403	-0.4568	7 22	16 17
	30 052.5	20 48 01.016	47.716	-17 48 10.04	+40.690	14.27	8.93	11 46 51.854	-0.4222	7 20	16 19
	31 053.5	20 52 07.282	53.994	-17 31 43.98	+41.475	14.14	8.93	11 46 42.136	-0.3876	7 19	16 20
Luty	1 054.5	20 56 12.718	59.443	-17 14 59.29	+42.244	14.01	8.93	11 46 33.247	-0.3531	7 17	16 22
	2 055.5	21 00 17.327	64.063	-16 57 56.36	+42.996	13.88	8.92	11 46 25.184	-0.3187	7 16	16 24
	3 056.5	21 04 21.114	67.860	-16 40 35.58	+43.732	13.74	8.92	11 46 17.945	-0.2845	7 14	16 26
	4 057.5	21 08 24.083	70.836	-16 22 57.35	+44.451	13.59	8.92	11 46 11.523	-0.2506	7 12	16 28
	5 058.5	21 12 26.240	72.999	-16 05 02.06	+45.154	13.44	8.92	11 46 05.913	-0.2169	7 11	16 30
	6 059.5	21 16 27.591	74.354	-15 46 50.11	+45.840	13.28	8.92	11 46 01.109	-0.1835	7 09	16 32
	7 060.5	21 20 28.144	74.909	-15 28 21.90	+46.509	13.12	8.92	11 45 57.102	-0.1504	7 07	16 34
	8 061.5	21 24 27.907	74.674	-15 09 37.82	+47.162	12.96	8.92	11 45 53.886	-0.1177	7 05	16 35
	9 062.5	21 28 26.889	73.659	-14 50 38.28	+47.797	12.78	8.91	11 45 51.451	-0.0853	7 04	16 37
	10 063.5	21 32 25.099	71.872	-14 31 23.68	+48.415	12.61	8.91	11 45 49.788	-0.0533	7 02	16 39
	11 064.5	21 36 22.547	69.324	-14 11 54.43	+49.017	12.43	8.91	11 45 48.887	-0.0218	7 00	16 41
	12 065.5	21 40 19.242	66.026	-13 52 10.95	+49.601	12.24	8.91	11 45 48.739	+0.0094	6 58	16 43
	13 066.5	21 44 15.195	61.988	-13 32 13.64	+50.167	12.05	8.91	11 45 49.333	+0.0401	6 56	16 45
	14 067.5	21 48 10.416	57.220	-13 12 02.93	+50.717	11.86	8.91	11 45 50.659	+0.0704	6 54	16 47
	15 068.5	21 52 04.915	51.731	-12 51 39.25	+51.249	11.66	8.90	11 45 52.707	+0.1003	6 52	16 49

SŁONCE 2015, LUTY – MARZEC

Data	JD	$0^h TT$								CSE w Warszawie wsch. zach.		
		α_{app}^{CIO}	α_{app}^γ	δ_{app}	$V_\delta/1^h$	R	π	$E + 12^h$	$V_E/1^h$			
	2457					$16'$						
Luty	15	068.5	$21^h 52^m 04.^s915$	51. ^s 731	$-12^\circ 51' 39.^s25$	+51. ^{''} 249	11. ^{''} 66	8. ^{''} 90	$11^h 45^m 52.^s707$	+0. ^s 1003	$6^h 52^m$	$16^h 49^m$
	16	069.5	21 55 58.701	105.530	-12 31 03.02	+51.763	11.47	8.90	11 45 55.468	+0.1298	6 50	16 51
	17	070.5	21 59 51.785	98.625	-12 10 14.69	+52.259	11.27	8.90	11 45 58.931	+0.1589	6 48	16 52
	18	071.5	22 03 44.173	91.022	-11 49 14.69	+52.737	11.06	8.90	11 46 03.090	+0.1877	6 46	16 54
	19	072.5	22 07 35.875	82.729	-11 28 03.45	+53.196	10.86	8.90	11 46 07.935	+0.2161	6 44	16 56
	20	073.5	22 11 26.898	73.755	-11 06 41.41	+53.638	10.65	8.89	11 46 13.458	+0.2442	6 42	16 58
	21	074.5	22 15 17.251	64.108	-10 45 08.99	+54.061	10.44	8.89	11 46 19.652	+0.2719	6 40	17 00
	22	075.5	22 19 06.944	53.802	-10 23 26.61	+54.467	10.23	8.89	11 46 26.507	+0.2992	6 38	17 02
	23	076.5	22 22 55.987	102.848	-10 01 34.69	+54.855	10.02	8.89	11 46 34.010	+0.3260	6 36	17 04
	24	077.5	22 26 44.394	91.260	- 9 39 33.66	+55.226	9.81	8.89	11 46 42.151	+0.3522	6 34	17 05
	25	078.5	22 30 32.179	79.052	- 9 17 23.91	+55.579	9.59	8.89	11 46 50.912	+0.3778	6 32	17 07
	26	079.5	22 34 19.359	66.241	- 8 55 05.87	+55.916	9.37	8.88	11 47 00.280	+0.4027	6 30	17 09
	27	080.5	22 38 05.950	52.842	- 8 32 39.94	+56.237	9.15	8.88	11 47 10.236	+0.4269	6 27	17 11
	28	081.5	22 41 51.971	98.873	- 8 10 06.52	+56.541	8.92	8.88	11 47 20.762	+0.4502	6 25	17 13
Marzec	1	082.5	22 45 37.441	84.352	- 7 47 26.01	+56.829	8.70	8.88	11 47 31.838	+0.4728	6 23	17 15
	2	083.5	22 49 22.380	69.298	- 7 24 38.80	+57.100	8.46	8.87	11 47 43.446	+0.4944	6 21	17 16
	3	084.5	22 53 06.810	53.734	- 7 01 45.27	+57.356	8.23	8.87	11 47 55.564	+0.5153	6 19	17 18
	4	085.5	22 56 50.750	97.678	- 6 38 45.80	+57.596	7.99	8.87	11 48 08.170	+0.5352	6 16	17 20
	5	086.5	23 00 34.223	81.153	- 6 15 40.77	+57.820	7.75	8.87	11 48 21.244	+0.5542	6 14	17 22
	6	087.5	23 04 17.250	64.180	- 5 52 30.56	+58.029	7.50	8.87	11 48 34.764	+0.5723	6 12	17 24
	7	088.5	23 07 59.854	106.784	- 5 29 15.53	+58.222	7.25	8.86	11 48 48.707	+0.5894	6 10	17 25
	8	089.5	23 11 42.058	88.988	- 5 05 56.05	+58.399	7.00	8.86	11 49 03.050	+0.6057	6 07	17 27
	9	090.5	23 15 23.883	70.814	- 4 42 32.49	+58.561	6.74	8.86	11 49 17.771	+0.6209	6 05	17 29
	10	091.5	23 19 05.354	52.287	- 4 19 05.22	+58.707	6.49	8.86	11 49 32.848	+0.6353	6 03	17 31
	11	092.5	23 22 46.491	93.428	- 3 55 34.61	+58.839	6.22	8.85	11 49 48.258	+0.6487	6 01	17 33
	12	093.5	23 26 27.318	74.261	- 3 32 01.02	+58.954	5.96	8.85	11 50 03.978	+0.6612	5 58	17 34
	13	094.5	23 30 07.856	54.807	- 3 08 24.83	+59.055	5.69	8.85	11 50 19.987	+0.6727	5 56	17 36
	14	095.5	23 33 48.128	95.089	- 2 44 46.41	+59.139	5.43	8.85	11 50 36.262	+0.6834	5 54	17 38
	15	096.5	23 37 28.154	75.125	- 2 21 06.13	+59.209	5.16	8.84	11 50 52.783	+0.6932	5 51	17 40
	16	097.5	23 41 07.954	54.935	- 1 57 24.39	+59.262	4.89	8.84	11 51 09.529	+0.7022	5 49	17 41
	17	098.5	23 44 47.549	94.538	- 1 33 41.56	+59.300	4.62	8.84	11 51 26.482	+0.7104	5 47	17 43
	18	099.5	23 48 26.955	73.949	- 1 09 58.04	+59.322	4.35	8.84	11 51 43.622	+0.7179	5 44	17 45
	19	100.5	23 52 06.190	53.187	- 0 46 14.20	+59.327	4.07	8.83	11 52 00.934	+0.7247	5 42	17 47
	20	101.5	23 55 45.270	92.267	- 0 22 30.44	+59.317	3.80	8.83	11 52 18.401	+0.7308	5 40	17 48
	21	102.5	23 59 24.210	71.206	+ 0 01 12.86	+59.290	3.53	8.83	11 52 36.008	+0.7363	5 37	17 50
	22	103.5	0 03 03.025	50.021	+ 0 24 55.34	+59.247	3.26	8.83	11 52 53.740	+0.7412	5 35	17 52
	23	104.5	0 06 41.730	88.729	+ 0 48 36.61	+59.188	2.99	8.82	11 53 11.582	+0.7455	5 33	17 54
	24	105.5	0 10 20.342	67.347	+ 1 12 16.28	+59.113	2.73	8.82	11 53 29.517	+0.7490	5 30	17 55
	25	106.5	0 13 58.878	105.891	+ 1 35 54.00	+59.023	2.46	8.82	11 53 47.528	+0.7518	5 28	17 57
	26	107.5	0 17 37.356	84.378	+ 1 59 29.39	+58.918	2.19	8.82	11 54 05.597	+0.7538	5 26	17 59
	27	108.5	0 21 15.795	62.826	+ 2 23 02.08	+58.798	1.92	8.81	11 54 23.705	+0.7550	5 23	18 01
	28	109.5	0 24 54.216	101.256	+ 2 46 31.71	+58.664	1.65	8.81	11 54 41.831	+0.7554	5 21	18 02
	29	110.5	0 28 32.639	79.687	+ 3 09 57.93	+58.515	1.38	8.81	11 54 59.955	+0.7548	5 19	18 04
	30	111.5	0 32 11.084	58.138	+ 3 33 20.39	+58.351	1.11	8.81	11 55 18.057	+0.7535	5 16	18 06
	31	112.5	0 35 49.574	96.632	+ 3 56 38.75	+58.174	0.84	8.80	11 55 36.114	+0.7512	5 14	18 07
Kwiecień	1	113.5	0 39 28.129	75.189	+ 4 19 52.66	+57.982	0.57	8.80	11 55 54.106	+0.7480	5 12	18 09
	2	114.5	0 43 06.772	53.832	+ 4 43 01.78	+57.776	0.30	8.80	11 56 12.010	+0.7439	5 09	18 11

SŁÓŃCE 2015, KWIECIEŃ – MAJ

Data	JD	$0^h TT$								CSE w Warszawie wsch. zach.	
		α_{app}^{CIO}	α_{app}^γ	δ_{app}	$V_\delta/1^h$	R	π	$E + 12^h$	$V_E/1^h$		
	2457					$15'$					
Kwiecień	1	113.5	$0^h 39^m 28^s.129$	75. ^s 189	+ 4° 19' 52".66	+57.982	60. ^s 57	8. ^s 80	11 ^h 55 ^m 54 ^s .106	+0. ^s 7480	5 ^h 12 ^m 18 ^h 09 ^m
	2	114.5	0 43 06.772	53.832	+ 4 43 01.78	+57.776	60.30	8.80	11 56 12.010	+0.7439	5 09 18 11
	3	115.5	0 46 45.524	92.584	+ 5 06 05.79	+57.556	60.02	8.80	11 56 29.805	+0.7389	5 07 18 13
	4	116.5	0 50 24.406	71.466	+ 5 29 04.36	+57.322	59.75	8.79	11 56 47.469	+0.7330	5 05 18 14
	5	117.5	0 54 03.442	50.503	+ 5 51 57.14	+57.075	59.47	8.79	11 57 04.980	+0.7261	5 03 18 16
	6	118.5	0 57 42.653	89.715	+ 6 14 43.83	+56.813	59.19	8.79	11 57 22.317	+0.7184	5 00 18 18
	7	119.5	1 01 22.060	69.126	+ 6 37 24.08	+56.538	58.92	8.79	11 57 39.456	+0.7098	4 58 18 20
	8	120.5	1 05 01.685	48.757	+ 6 59 57.59	+56.249	58.64	8.78	11 57 56.379	+0.7003	4 56 18 21
	9	121.5	1 08 41.549	88.629	+ 7 22 24.00	+55.947	58.36	8.78	11 58 13.062	+0.6899	4 53 18 23
	10	122.5	1 12 21.671	68.761	+ 7 44 43.01	+55.630	58.08	8.78	11 58 29.486	+0.6787	4 51 18 25
	11	123.5	1 16 02.073	49.173	+ 8 06 54.26	+55.300	57.80	8.78	11 58 45.631	+0.6666	4 49 18 26
	12	124.5	1 19 42.773	89.884	+ 8 28 57.42	+54.956	57.52	8.77	11 59 01.478	+0.6538	4 47 18 28
	13	125.5	1 23 23.788	70.908	+ 8 50 52.16	+54.598	57.25	8.77	11 59 17.010	+0.6403	4 44 18 30
	14	126.5	1 27 05.136	52.263	+ 9 12 38.11	+54.225	56.97	8.77	11 59 32.209	+0.6262	4 42 18 32
	15	127.5	1 30 46.831	93.962	+ 9 34 14.94	+53.839	56.69	8.77	11 59 47.061	+0.6114	4 40 18 33
	16	128.5	1 34 28.887	76.019	+ 9 55 42.30	+53.438	56.42	8.76	12 00 01.552	+0.5961	4 38 18 35
	17	129.5	1 38 11.316	58.449	+10 16 59.84	+53.022	56.15	8.76	12 00 15.670	+0.5803	4 36 18 37
	18	130.5	1 41 54.128	101.262	+10 38 07.21	+52.591	55.88	8.76	12 00 29.404	+0.5642	4 33 18 39
	19	131.5	1 45 37.334	84.470	+10 59 04.07	+52.145	55.62	8.76	12 00 42.746	+0.5476	4 31 18 40
	20	132.5	1 49 20.941	68.083	+11 19 50.08	+51.685	55.36	8.75	12 00 55.685	+0.5307	4 29 18 42
	21	133.5	1 53 04.959	52.110	+11 40 24.88	+51.210	55.10	8.75	12 01 08.215	+0.5134	4 27 18 44
	22	134.5	1 56 49.396	96.557	+12 00 48.12	+50.721	54.84	8.75	12 01 20.325	+0.4958	4 25 18 45
	23	135.5	2 00 34.261	81.434	+12 20 59.46	+50.218	54.59	8.75	12 01 32.007	+0.4777	4 23 18 47
	24	136.5	2 04 19.564	66.748	+12 40 58.56	+49.700	54.34	8.75	12 01 43.251	+0.4593	4 21 18 49
	25	137.5	2 08 05.315	52.509	+13 00 45.07	+49.169	54.09	8.74	12 01 54.046	+0.4403	4 19 18 51
	26	138.5	2 11 51.526	98.728	+13 20 18.67	+48.624	53.84	8.74	12 02 04.383	+0.4210	4 16 18 52
	27	139.5	2 15 38.206	85.414	+13 39 39.01	+48.066	53.59	8.74	12 02 14.250	+0.4012	4 14 18 54
	28	140.5	2 19 25.366	72.579	+13 58 45.78	+47.494	53.35	8.74	12 02 23.636	+0.3810	4 12 18 56
	29	141.5	2 23 13.018	60.234	+14 17 38.67	+46.909	53.11	8.73	12 02 32.532	+0.3603	4 10 18 57
	30	142.5	2 27 01.171	48.389	+14 36 17.34	+46.311	52.87	8.73	12 02 40.926	+0.3392	4 08 18 59
Maj	1	143.5	2 30 49.836	97.055	+14 54 41.50	+45.700	52.63	8.73	12 02 48.808	+0.3176	4 07 19 01
	2	144.5	2 34 39.023	86.244	+15 12 50.83	+45.076	52.39	8.73	12 02 56.168	+0.2957	4 05 19 02
	3	145.5	2 38 28.742	75.967	+15 30 45.04	+44.440	52.15	8.73	12 03 02.995	+0.2733	4 03 19 04
	4	146.5	2 42 19.003	66.233	+15 48 23.82	+43.790	51.92	8.72	12 03 09.282	+0.2506	4 01 19 06
	5	147.5	2 46 09.814	57.052	+16 05 46.88	+43.129	51.68	8.72	12 03 15.017	+0.2274	3 59 19 08
	6	148.5	2 50 01.186	48.433	+16 22 53.92	+42.455	51.45	8.72	12 03 20.192	+0.2039	3 57 19 09
	7	149.5	2 53 53.126	100.385	+16 39 44.64	+41.768	51.22	8.72	12 03 24.799	+0.1801	3 55 19 11
	8	150.5	2 57 45.642	92.914	+16 56 18.76	+41.070	50.99	8.71	12 03 28.830	+0.1559	3 54 19 12
	9	151.5	3 01 38.739	86.024	+17 12 35.98	+40.359	50.76	8.71	12 03 32.279	+0.1316	3 52 19 14
	10	152.5	3 05 32.424	79.720	+17 28 35.99	+39.636	50.53	8.71	12 03 35.141	+0.1070	3 50 19 16
	11	153.5	3 09 26.700	74.006	+17 44 18.51	+38.901	50.31	8.71	12 03 37.412	+0.0823	3 48 19 17
	12	154.5	3 13 21.570	68.883	+17 59 43.23	+38.154	50.09	8.71	12 03 39.090	+0.0575	3 47 19 19
	13	155.5	3 17 17.033	64.350	+18 14 49.85	+37.394	49.87	8.70	12 03 40.174	+0.0328	3 45 19 21
	14	156.5	3 21 13.088	60.408	+18 29 38.09	+36.623	49.65	8.70	12 03 40.665	+0.0082	3 43 19 22
	15	157.5	3 25 09.733	57.056	+18 44 07.66	+35.840	49.44	8.70	12 03 40.568	-0.0162	3 42 19 24
	16	158.5	3 29 06.960	54.287	+18 58 18.28	+35.045	49.23	8.70	12 03 39.887	-0.0404	3 40 19 25
	17	159.5	3 33 04.764	52.098	+19 12 09.66	+34.237	49.03	8.70	12 03 38.630	-0.0642	3 39 19 27

SŁOŃCE 2015, MAJ – CZERWIEC

Data	JD	$0^h TT$								CSE w Warszawie wsch. zach.	
		α_{app}^{CIO}	α_{app}^γ	δ_{app}	$V_\delta/1^h$	R	π	$E + 12^h$	$V_E/1^h$		
	2457					$15'$					
Maj	17	159.5	$3^h 33^m 04^s.764$	52. ⁰⁹⁸	+19°12'09".66	+34.".237	49." ⁰³	8." ⁷⁰	$12^h 03^m 38^s.630$	-0 ^s 0642	$3^h 39^m$
	18	160.5	3 37 03.135	50.479	+19 25 41.54	+33.418	48.83	8.69	12 03 36.807	-0.0876	3 37
	19	161.5	3 41 02.062	49.418	+19 38 53.64	+32.588	48.64	8.69	12 03 34.426	-0.1106	3 36
	20	162.5	3 45 01.536	48.906	+19 51 45.69	+31.746	48.45	8.69	12 03 31.499	-0.1331	3 35
	21	163.5	3 49 01.545	48.929	+20 04 17.42	+30.893	48.27	8.69	12 03 28.037	-0.1552	3 33
	22	164.5	3 53 02.079	49.476	+20 16 28.55	+30.030	48.09	8.69	12 03 24.050	-0.1768	3 32
	23	165.5	3 57 03.127	50.535	+20 28 18.84	+29.156	47.91	8.69	12 03 19.549	-0.1980	3 31
	24	166.5	4 01 04.677	52.095	+20 39 48.03	+28.271	47.74	8.68	12 03 14.546	-0.2188	3 29
	25	167.5	4 05 06.720	54.145	+20 50 55.87	+27.378	47.57	8.68	12 03 09.050	-0.2391	3 28
	26	168.5	4 09 09.244	56.675	+21 01 42.14	+26.474	47.41	8.68	12 03 03.073	-0.2589	3 27
	27	169.5	4 13 12.238	59.673	+21 12 06.60	+25.562	47.25	8.68	12 02 56.626	-0.2782	3 26
	28	170.5	4 17 15.690	63.129	+21 22 09.04	+24.640	47.09	8.68	12 02 49.720	-0.2971	3 25
	29	171.5	4 21 19.590	67.033	+21 31 49.26	+23.710	46.94	8.68	12 02 42.368	-0.3155	3 24
	30	172.5	4 25 23.925	71.373	+21 41 07.04	+22.772	46.78	8.68	12 02 34.580	-0.3333	3 23
	31	173.5	4 29 28.684	76.139	+21 50 02.21	+21.826	46.64	8.67	12 02 26.368	-0.3507	3 22
Czerwiec	1	174.5	4 33 33.853	81.317	+21 58 34.58	+20.872	46.49	8.67	12 02 17.746	-0.3676	3 21
	2	175.5	4 37 39.421	86.896	+22 06 43.98	+19.911	46.35	8.67	12 02 08.724	-0.3839	3 20
	3	176.5	4 41 45.375	92.864	+22 14 30.23	+18.943	46.21	8.67	12 01 59.317	-0.3997	3 20
	4	177.5	4 45 51.703	99.207	+22 21 53.19	+17.968	46.07	8.67	12 01 49.536	-0.4150	3 19
	5	178.5	4 49 58.391	105.910	+22 28 52.70	+16.987	45.93	8.67	12 01 39.395	-0.4297	3 18
	6	179.5	4 54 05.425	52.958	+22 35 28.60	+16.000	45.80	8.67	12 01 28.908	-0.4439	3 18
	7	180.5	4 58 12.790	60.335	+22 41 40.76	+15.008	45.67	8.67	12 01 18.090	-0.4574	3 17
	8	181.5	5 02 20.471	68.025	+22 47 29.04	+14.010	45.55	8.66	12 01 06.957	-0.4702	3 16
	9	182.5	5 06 28.449	76.010	+22 52 53.30	+13.008	45.42	8.66	12 00 55.525	-0.4822	3 16
	10	183.5	5 10 36.707	84.273	+22 57 53.42	+12.000	45.30	8.66	12 00 43.814	-0.4935	3 16
	11	184.5	5 14 45.223	92.794	+23 02 29.30	+10.989	45.19	8.66	12 00 31.845	-0.5038	3 15
	12	185.5	5 18 53.976	101.552	+23 06 40.83	+ 9.973	45.08	8.66	12 00 19.639	-0.5131	3 15
	13	186.5	5 23 02.941	50.524	+23 10 27.94	+ 8.954	44.97	8.66	12 00 07.221	-0.5214	3 15
	14	187.5	5 27 12.094	59.687	+23 13 50.55	+ 7.932	44.87	8.66	11 59 54.615	-0.5287	3 14
	15	188.5	5 31 21.406	69.012	+23 16 48.60	+ 6.907	44.78	8.66	11 59 41.849	-0.5348	3 14
	16	189.5	5 35 30.852	78.472	+23 19 22.03	+ 5.880	44.69	8.66	11 59 28.951	-0.5397	3 14
	17	190.5	5 39 40.402	88.038	+23 21 30.79	+ 4.850	44.61	8.66	11 59 15.947	-0.5435	3 14
	18	191.5	5 43 50.029	97.680	+23 23 14.84	+ 3.819	44.53	8.66	11 59 02.867	-0.5461	3 14
	19	192.5	5 47 59.705	107.369	+23 24 34.14	+ 2.787	44.46	8.65	11 58 49.738	-0.5476	3 14
	20	193.5	5 52 09.403	57.078	+23 25 28.66	+ 1.754	44.39	8.65	11 58 36.588	-0.5479	3 14
	21	194.5	5 56 19.095	66.780	+23 25 58.39	+ 0.721	44.33	8.65	11 58 23.443	-0.5472	3 14
	22	195.5	6 00 28.755	76.447	+23 26 03.32	- 0.312	44.27	8.65	11 58 10.329	-0.5453	3 15
	23	196.5	6 04 38.359	86.057	+23 25 43.45	- 1.345	44.22	8.65	11 57 57.272	-0.5425	3 15
	24	197.5	6 08 47.882	95.585	+23 24 58.80	- 2.376	44.17	8.65	11 57 44.297	-0.5386	3 15
	25	198.5	6 12 57.298	105.005	+23 23 49.40	- 3.407	44.13	8.65	11 57 31.427	-0.5337	3 16
	26	199.5	6 17 06.586	54.299	+23 22 15.27	- 4.435	44.09	8.65	11 57 18.686	-0.5278	3 16
	27	200.5	6 21 15.722	63.441	+23 20 16.48	- 5.462	44.05	8.65	11 57 06.097	-0.5210	3 16
	28	201.5	6 25 24.685	72.413	+23 17 53.07	- 6.486	44.02	8.65	11 56 53.681	-0.5133	3 17
	29	202.5	6 29 33.453	81.192	+23 15 05.13	- 7.507	44.00	8.65	11 56 41.460	-0.5048	3 18
	30	203.5	6 33 42.007	89.759	+23 11 52.71	- 8.524	43.97	8.65	11 56 29.454	-0.4954	3 18
Lipiec	1	204.5	6 37 50.327	98.094	+23 08 15.92	- 9.539	43.95	8.65	11 56 17.681	-0.4853	3 19
	2	205.5	6 41 58.395	106.178	+23 04 14.85	-10.549	43.93	8.65	11 56 06.159	-0.4745	3 19
											20 00

SŁONCE 2015, LIPIEC – SIERPIEŃ

Data	JD	0 ^h TT								CSE w Warszawie wsch. zach.	
		α_{app}^{CIO}	α_{app}^{γ}	δ_{app}	$V_{\delta}/1^h$	R	π	$E + 12^h$	$V_E/1^h$		
Lipiec	2457					15'					
Lipiec	1	204.5	6 37 ^m 50 ^s .327	98 ^s .094	+23°08'15".92	- 9".539	43".95	8".65	11 ^h 56 ^m 17 ^s .681	-0 ^s .4853	3 ^h 19 ^m 20 ^h 00 ^m
Lipiec	2	205.5	6 41 58.395	106.178	+23 04 14.85	-10.549	43.93	8.65	11 56 06.159	-0.4745	3 19 20 00
Lipiec	3	206.5	6 46 06.196	53.994	+22 59 49.60	-11.555	43.92	8.65	11 55 54.905	-0.4630	3 20 20 00
Lipiec	4	207.5	6 50 13.712	61.523	+22 55 00.28	-12.557	43.91	8.65	11 55 43.936	-0.4508	3 21 19 59
Lipiec	5	208.5	6 54 20.928	68.749	+22 49 46.99	-13.553	43.90	8.65	11 55 33.267	-0.4380	3 22 19 59
Lipiec	6	209.5	6 58 27.828	75.657	+22 44 09.84	-14.544	43.90	8.65	11 55 22.914	-0.4245	3 23 19 58
Lipiec	7	210.5	7 02 34.397	82.231	+22 38 08.98	-15.529	43.89	8.65	11 55 12.892	-0.4104	3 24 19 57
Lipiec	8	211.5	7 06 40.618	88.456	+22 31 44.52	-16.508	43.90	8.65	11 55 03.217	-0.3956	3 25 19 57
Lipiec	9	212.5	7 10 46.476	94.319	+22 24 56.64	-17.480	43.90	8.65	11 54 53.907	-0.3801	3 26 19 56
Lipiec	10	213.5	7 14 51.952	99.802	+22 17 45.48	-18.446	43.92	8.65	11 54 44.978	-0.3638	3 27 19 55
Lipiec	11	214.5	7 18 57.028	104.886	+22 10 11.23	-19.403	43.93	8.65	11 54 36.449	-0.3467	3 28 19 55
Lipiec	12	215.5	7 23 01.685	49.555	+22 02 14.08	-20.354	43.95	8.65	11 54 28.338	-0.3289	3 29 19 54
Lipiec	13	216.5	7 27 05.906	53.789	+21 53 54.23	-21.296	43.98	8.65	11 54 20.664	-0.3103	3 30 19 53
Lipiec	14	217.5	7 31 09.671	57.568	+21 45 11.88	-22.229	44.01	8.65	11 54 13.446	-0.2909	3 31 19 52
Lipiec	15	218.5	7 35 12.962	60.873	+21 36 07.24	-23.154	44.05	8.65	11 54 06.703	-0.2707	3 32 19 51
Lipiec	16	219.5	7 39 15.760	63.684	+21 26 40.53	-24.070	44.09	8.65	11 54 00.452	-0.2499	3 33 19 50
Lipiec	17	220.5	7 43 18.048	65.984	+21 16 51.96	-24.976	44.14	8.65	11 53 54.710	-0.2283	3 35 19 49
Lipiec	18	221.5	7 47 19.811	67.756	+21 06 41.76	-25.873	44.19	8.65	11 53 49.494	-0.2061	3 36 19 47
Lipiec	19	222.5	7 51 21.033	68.985	+20 56 10.16	-26.760	44.25	8.65	11 53 44.819	-0.1833	3 37 19 46
Lipiec	20	223.5	7 55 21.702	69.659	+20 45 17.38	-27.638	44.32	8.65	11 53 40.698	-0.1600	3 39 19 45
Lipiec	21	224.5	7 59 21.803	69.764	+20 34 03.66	-28.505	44.39	8.65	11 53 37.143	-0.1361	3 40 19 44
Lipiec	22	225.5	8 03 21.328	69.292	+20 22 29.24	-29.362	44.47	8.65	11 53 34.165	-0.1119	3 41 19 43
Lipiec	23	226.5	8 07 20.265	68.233	+20 10 34.38	-30.208	44.55	8.66	11 53 31.775	-0.0872	3 43 19 41
Lipiec	24	227.5	8 11 18.606	66.579	+19 58 19.32	-31.043	44.63	8.66	11 53 29.981	-0.0622	3 44 19 40
Lipiec	25	228.5	8 15 16.345	64.324	+19 45 44.33	-31.868	44.72	8.66	11 53 28.789	-0.0370	3 46 19 38
Lipiec	26	229.5	8 19 13.476	61.464	+19 32 49.66	-32.682	44.81	8.66	11 53 28.205	-0.0115	3 47 19 37
Lipiec	27	230.5	8 23 09.994	57.992	+19 19 35.59	-33.485	44.91	8.66	11 53 28.234	+0.0141	3 49 19 35
Lipiec	28	231.5	8 27 05.896	53.907	+19 06 02.38	-34.277	45.01	8.66	11 53 28.878	+0.0398	3 50 19 34
Lipiec	29	232.5	8 31 01.182	49.207	+18 52 10.30	-35.057	45.11	8.66	11 53 30.139	+0.0655	3 52 19 32
Lipiec	30	233.5	8 34 55.852	103.891	+18 37 59.64	-35.827	45.22	8.66	11 53 32.016	+0.0911	3 53 19 31
Sierpień	31	234.5	8 38 49.908	97.959	+18 23 30.65	-36.585	45.33	8.66	11 53 34.507	+0.1166	3 55 19 29
Sierpień	1	235.5	8 42 43.354	91.415	+18 08 43.62	-37.333	45.44	8.66	11 53 37.609	+0.1419	3 56 19 27
Sierpień	2	236.5	8 46 36.194	84.262	+17 53 38.79	-38.069	45.55	8.66	11 53 41.316	+0.1670	3 58 19 26
Sierpień	3	237.5	8 50 28.434	76.507	+17 38 16.45	-38.793	45.67	8.67	11 53 45.622	+0.1919	3 59 19 24
Sierpień	4	238.5	8 54 20.081	68.156	+17 22 36.85	-39.506	45.79	8.67	11 53 50.522	+0.2165	4 01 19 22
Sierpień	5	239.5	8 58 11.140	59.217	+17 06 40.27	-40.207	45.91	8.67	11 53 56.010	+0.2408	4 02 19 20
Sierpień	6	240.5	9 02 01.618	49.699	+16 50 26.99	-40.895	46.04	8.67	11 54 02.079	+0.2650	4 04 19 19
Sierpień	7	241.5	9 05 51.518	99.606	+16 33 57.33	-41.571	46.17	8.67	11 54 08.726	+0.2889	4 06 19 17
Sierpień	8	242.5	9 09 40.846	88.942	+16 17 11.57	-42.235	46.30	8.67	11 54 15.945	+0.3127	4 07 19 15
Sierpień	9	243.5	9 13 29.605	77.712	+16 00 10.04	-42.886	46.44	8.67	11 54 23.733	+0.3363	4 09 19 13
Sierpień	10	244.5	9 17 17.799	65.918	+15 42 53.05	-43.523	46.58	8.67	11 54 32.086	+0.3598	4 10 19 11
Sierpień	11	245.5	9 21 05.432	53.563	+15 25 20.92	-44.148	46.73	8.68	11 54 41.000	+0.3831	4 12 19 09
Sierpień	12	246.5	9 24 52.507	100.649	+15 07 33.98	-44.759	46.88	8.68	11 54 50.472	+0.4063	4 14 19 07
Sierpień	13	247.5	9 28 39.028	87.179	+14 49 32.55	-45.357	47.04	8.68	11 55 00.498	+0.4293	4 15 19 05
Sierpień	14	248.5	9 32 25.000	73.159	+14 31 16.94	-45.941	47.20	8.68	11 55 11.073	+0.4521	4 17 19 03
Sierpień	15	249.5	9 36 10.427	58.591	+14 12 47.48	-46.512	47.37	8.68	11 55 22.192	+0.4746	4 19 19 01
Sierpień	16	250.5	9 39 55.316	103.483	+13 54 04.49	-47.069	47.54	8.68	11 55 33.850	+0.4969	4 20 18 59

SŁONCE 2015, SIERPIEŃ – WRZESIEŃ

Data	JD	$0^h\ TT$								CSE w Warszawie wsch. zach.	
		α_{app}^{CIO}	α_{app}^γ	δ_{app}	$V_\delta/1^h$	R	π	$E + 12^h$	$V_E/1^h$		
	2457					$15'$					
Sierpień	16 250.5	9 ^h 39 ^m 55 ^s .316	103 ^s .483	+13°54'04".49	-47".069	47".54	8.68	11 ^h 55 ^m 33 ^s .850	+0 ^s .4969	4 ^h 20 ^m	18 ^h 59 ^m
	17 251.5	9 43 39.673	87.842	+13 35 08.29	-47.613	47.71	8.68	11 55 46.040	+0.5189	4 22	18 57
	18 252.5	9 47 23.506	71.677	+13 15 59.20	-48.143	47.89	8.69	11 55 58.755	+0.5406	4 24	18 55
	19 253.5	9 51 06.822	54.994	+12 56 37.54	-48.660	48.08	8.69	11 56 11.986	+0.5619	4 25	18 53
	20 254.5	9 54 49.630	97.804	+12 37 03.63	-49.163	48.26	8.69	11 56 25.725	+0.5829	4 27	18 51
	21 255.5	9 58 31.941	80.119	+12 17 17.80	-49.652	48.46	8.69	11 56 39.961	+0.6034	4 28	18 49
	22 256.5	10 02 13.765	61.948	+11 57 20.36	-50.129	48.65	8.69	11 56 54.683	+0.6234	4 30	18 47
	23 257.5	10 05 55.114	103.304	+11 37 11.64	-50.591	48.85	8.70	11 57 09.881	+0.6430	4 32	18 44
	24 258.5	10 09 36.001	84.201	+11 16 51.97	-51.041	49.06	8.70	11 57 25.542	+0.6620	4 33	18 42
	25 259.5	10 13 16.439	64.649	+10 56 21.66	-51.477	49.26	8.70	11 57 41.650	+0.6804	4 35	18 40
	26 260.5	10 16 56.443	104.665	+10 35 41.04	-51.901	49.47	8.70	11 57 58.193	+0.6981	4 37	18 38
	27 261.5	10 20 36.030	84.263	+10 14 50.42	-52.311	49.68	8.70	11 58 15.153	+0.7152	4 38	18 36
	28 262.5	10 24 15.217	63.459	+ 9 53 50.12	-52.709	49.89	8.70	11 58 32.513	+0.7314	4 40	18 33
	29 263.5	10 27 54.023	102.271	+ 9 32 40.45	-53.094	50.11	8.71	11 58 50.254	+0.7469	4 42	18 31
	30 264.5	10 31 32.468	80.719	+ 9 11 21.69	-53.467	50.32	8.71	11 59 08.356	+0.7615	4 43	18 29
	31 265.5	10 35 10.574	58.825	+ 8 49 54.14	-53.827	50.54	8.71	11 59 26.797	+0.7752	4 45	18 27
Wrzesień	1 266.5	10 38 48.362	96.614	+ 8 28 18.09	-54.175	50.76	8.71	11 59 45.556	+0.7879	4 47	18 24
	2 267.5	10 42 25.854	74.107	+ 8 06 33.83	-54.510	50.97	8.71	12 00 04.610	+0.7998	4 48	18 22
	3 268.5	10 46 03.071	51.327	+ 7 44 41.66	-54.833	51.20	8.72	12 00 23.940	+0.8109	4 50	18 20
	4 269.5	10 49 40.033	88.295	+ 7 22 41.90	-55.142	51.42	8.72	12 00 43.526	+0.8211	4 51	18 18
	5 270.5	10 53 16.759	65.030	+ 7 00 34.87	-55.438	51.64	8.72	12 01 03.347	+0.8306	4 53	18 15
	6 271.5	10 56 53.266	101.546	+ 6 38 20.89	-55.720	51.87	8.72	12 01 23.387	+0.8393	4 55	18 13
	7 272.5	11 00 29.572	77.862	+ 6 16 00.30	-55.988	52.10	8.72	12 01 43.628	+0.8473	4 56	18 11
	8 273.5	11 04 05.694	53.994	+ 5 53 33.45	-56.243	52.33	8.73	12 02 04.052	+0.8546	4 58	18 08
	9 274.5	11 07 41.649	89.957	+ 5 31 00.66	-56.484	52.57	8.73	12 02 24.645	+0.8613	5 00	18 06
	10 275.5	11 11 17.451	65.765	+ 5 08 22.28	-56.710	52.81	8.73	12 02 45.389	+0.8673	5 01	18 04
	11 276.5	11 14 53.119	101.437	+ 4 45 38.64	-56.923	53.05	8.73	12 03 06.268	+0.8726	5 03	18 01
	12 277.5	11 18 28.667	76.987	+ 4 22 50.09	-57.121	53.30	8.74	12 03 27.267	+0.8772	5 05	17 59
	13 278.5	11 22 04.113	52.433	+ 3 59 56.96	-57.305	53.54	8.74	12 03 48.369	+0.8812	5 06	17 57
	14 279.5	11 25 39.471	87.791	+ 3 36 59.59	-57.474	53.79	8.74	12 04 09.557	+0.8844	5 08	17 54
	15 280.5	11 29 14.759	63.079	+ 3 13 58.32	-57.629	54.05	8.74	12 04 30.816	+0.8870	5 10	17 52
	16 281.5	11 32 49.993	98.313	+ 2 50 53.49	-57.770	54.31	8.75	12 04 52.129	+0.8889	5 11	17 50
	17 282.5	11 36 25.191	73.512	+ 2 27 45.44	-57.897	54.57	8.75	12 05 13.478	+0.8901	5 13	17 47
	18 283.5	11 40 00.369	48.694	+ 2 04 34.52	-58.009	54.83	8.75	12 05 34.847	+0.8905	5 15	17 45
	19 284.5	11 43 35.546	83.876	+ 1 41 21.06	-58.107	55.09	8.75	12 05 56.217	+0.8902	5 16	17 43
	20 285.5	11 47 10.739	59.076	+ 1 18 05.41	-58.190	55.36	8.75	12 06 17.571	+0.8891	5 18	17 40
	21 286.5	11 50 45.967	94.313	+ 0 54 47.93	-58.260	55.63	8.76	12 06 38.889	+0.8873	5 19	17 38
	22 287.5	11 54 21.250	69.605	+ 0 31 28.94	-58.315	55.90	8.76	12 07 00.154	+0.8846	5 21	17 35
	23 288.5	11 57 56.606	104.971	+ 0 08 08.80	-58.356	56.17	8.76	12 07 21.345	+0.8811	5 23	17 33
	24 289.5	12 01 32.057	80.430	- 0 15 12.14	-58.383	56.44	8.76	12 07 42.441	+0.8767	5 24	17 31
	25 290.5	12 05 07.624	56.004	- 0 38 33.55	-58.396	56.72	8.77	12 08 03.420	+0.8714	5 26	17 28
	26 291.5	12 08 43.331	91.714	- 1 01 55.10	-58.395	56.99	8.77	12 08 24.260	+0.8651	5 28	17 26
	27 292.5	12 12 19.202	67.586	- 1 25 16.45	-58.381	57.26	8.77	12 08 44.937	+0.8578	5 29	17 24
	28 293.5	12 15 55.261	103.644	- 1 48 37.29	-58.354	57.54	8.77	12 09 05.425	+0.8494	5 31	17 21
	29 294.5	12 19 31.535	79.918	- 2 11 57.31	-58.313	57.81	8.78	12 09 25.697	+0.8399	5 33	17 19
	30 295.5	12 23 08.050	56.435	- 2 35 16.20	-58.258	58.08	8.78	12 09 45.729	+0.8293	5 34	17 17
Październik	1 296.5	12 26 44.831	93.220	- 2 58 33.64	-58.190	58.35	8.78	12 10 05.496	+0.8177	5 36	17 14

SŁONCE 2015, PAŹDZIERNIK – LISTOPAD

Data	JD	0 ^h TT								CSE w Warszawie wsch. zach.	
		α_{app}^{CIO}	α_{app}^{γ}	δ_{app}	$V_{\delta}/1^h$	R	π	$E + 12^h$	$V_E/1^h$		
Październik	2457					15'					
	1 296.5	12 ^h 26 ^m 44 ^s .831	93 ^s .220	– 2°58'33".64	–58".190	58".35	8.78	12 ^h 10 ^m 05 ^s .496	+0 ^s .8177	5 ^h 36 ^m	17 ^h 14 ^m
	2 297.5	12 30 21.902	70.299	– 3 21 49.29	–58.108	58.62	8.78	12 10 24.971	+0.8051	5 38	17 12
	3 298.5	12 33 59.287	107.694	– 3 45 02.80	–58.011	58.89	8.79	12 10 44.133	+0.7916	5 40	17 10
	4 299.5	12 37 37.007	85.424	– 4 08 13.84	–57.900	59.15	8.79	12 11 02.960	+0.7772	5 41	17 07
	5 300.5	12 41 15.083	63.510	– 4 31 22.03	–57.774	59.42	8.79	12 11 21.431	+0.7619	5 43	17 05
	6 301.5	12 44 53.535	101.970	– 4 54 27.01	–57.633	59.69	8.79	12 11 39.526	+0.7459	5 45	17 03
	7 302.5	12 48 32.382	80.824	– 5 17 28.40	–57.477	59.96	8.80	12 11 57.226	+0.7290	5 46	17 01
	8 303.5	12 52 11.641	60.087	– 5 40 25.85	–57.305	60.23	8.80	12 12 14.514	+0.7114	5 48	16 58
	9 304.5	12 55 51.332	99.781	– 6 03 18.97	–57.117	60.51	8.80	12 12 31.370	+0.6931	5 50	16 56
	10 305.5	12 59 31.470	79.920	– 6 26 07.39	–56.914	60.78	8.80	12 12 47.778	+0.6741	5 51	16 54
	11 306.5	13 03 12.074	60.524	– 6 48 50.74	–56.695	61.05	8.81	12 13 03.722	+0.6544	5 53	16 51
	12 307.5	13 06 53.158	101.608	– 7 11 28.62	–56.460	61.32	8.81	12 13 19.185	+0.6340	5 55	16 49
	13 308.5	13 10 34.739	83.190	– 7 34 00.67	–56.208	61.60	8.81	12 13 34.150	+0.6130	5 57	16 47
	14 309.5	13 14 16.833	65.285	– 7 56 26.49	–55.941	61.88	8.81	12 13 48.604	+0.5913	5 58	16 45
	15 310.5	13 17 59.454	107.910	– 8 18 45.70	–55.657	62.15	8.82	12 14 02.529	+0.5691	6 00	16 43
	16 311.5	13 21 42.618	91.079	– 8 40 57.92	–55.357	62.43	8.82	12 14 15.912	+0.5462	6 02	16 40
	17 312.5	13 25 26.339	74.808	– 9 03 02.74	–55.040	62.71	8.82	12 14 28.739	+0.5226	6 04	16 38
	18 313.5	13 29 10.631	59.109	– 9 24 59.78	–54.707	62.98	8.82	12 14 40.993	+0.4985	6 05	16 36
	19 314.5	13 32 55.510	103.998	– 9 46 48.63	–54.357	63.26	8.83	12 14 52.662	+0.4738	6 07	16 34
	20 315.5	13 36 40.989	89.488	–10 08 28.89	–53.991	63.54	8.83	12 15 03.730	+0.4485	6 09	16 32
	21 316.5	13 40 27.083	75.591	–10 30 00.17	–53.608	63.82	8.83	12 15 14.182	+0.4225	6 11	16 30
	22 317.5	13 44 13.807	62.323	–10 51 22.06	–53.209	64.09	8.83	12 15 24.005	+0.3959	6 13	16 28
	23 318.5	13 48 01.177	49.699	–11 12 34.16	–52.793	64.37	8.84	12 15 33.182	+0.3687	6 14	16 26
	24 319.5	13 51 49.209	97.734	–11 33 36.09	–52.362	64.64	8.84	12 15 41.697	+0.3408	6 16	16 23
	25 320.5	13 55 37.921	86.447	–11 54 27.44	–51.914	64.91	8.84	12 15 49.533	+0.3121	6 18	16 21
	26 321.5	13 59 27.329	75.856	–12 15 07.84	–51.450	65.18	8.84	12 15 56.671	+0.2827	6 20	16 19
	27 322.5	14 03 17.452	65.981	–12 35 36.92	–50.971	65.44	8.85	12 16 03.095	+0.2525	6 22	16 17
	28 323.5	14 07 08.310	56.844	–12 55 54.31	–50.476	65.70	8.85	12 16 08.784	+0.2216	6 23	16 15
	29 324.5	14 10 59.919	108.462	–13 15 59.63	–49.965	65.96	8.85	12 16 13.722	+0.1899	6 25	16 13
	30 325.5	14 14 52.297	100.851	–13 35 52.52	–49.437	66.22	8.85	12 16 17.891	+0.1575	6 27	16 12
	31 326.5	14 18 45.459	94.025	–13 55 32.58	–48.894	66.47	8.86	12 16 21.276	+0.1246	6 29	16 10
Listopad	1 327.5	14 22 39.419	87.998	–14 14 59.41	–48.334	66.72	8.86	12 16 23.863	+0.0910	6 31	16 08
	2 328.5	14 26 34.188	82.778	–14 34 12.62	–47.758	66.96	8.86	12 16 25.641	+0.0571	6 32	16 06
	3 329.5	14 30 29.778	78.377	–14 53 11.78	–47.165	67.21	8.86	12 16 26.598	+0.0227	6 34	16 04
	4 330.5	14 34 26.196	74.803	–15 11 56.50	–46.555	67.45	8.87	12 16 26.727	–0.0120	6 36	16 02
	5 331.5	14 38 23.451	72.063	–15 30 26.36	–45.928	67.69	8.87	12 16 26.019	–0.0470	6 38	16 01
	6 332.5	14 42 21.548	70.164	–15 48 40.96	–45.284	67.93	8.87	12 16 24.468	–0.0822	6 40	15 59
	7 333.5	14 46 20.493	69.112	–16 06 39.88	–44.623	68.17	8.87	12 16 22.071	–0.1176	6 41	15 57
	8 334.5	14 50 20.288	68.909	–16 24 22.72	–43.944	68.40	8.87	12 16 18.822	–0.1531	6 43	15 55
	9 335.5	14 54 20.936	69.560	–16 41 49.06	–43.249	68.63	8.88	12 16 14.721	–0.1886	6 45	15 54
	10 336.5	14 58 22.438	71.065	–16 58 58.51	–42.536	68.86	8.88	12 16 09.766	–0.2242	6 47	15 52
	11 337.5	15 02 24.794	73.427	–17 15 50.65	–41.807	69.09	8.88	12 16 03.958	–0.2597	6 49	15 51
	12 338.5	15 06 28.001	76.641	–17 32 25.08	–41.060	69.32	8.88	12 15 57.297	–0.2952	6 50	15 49
	13 339.5	15 10 32.057	80.707	–17 48 41.39	–40.296	69.55	8.88	12 15 49.788	–0.3304	6 52	15 47
	14 340.5	15 14 36.958	85.619	–18 04 39.18	–39.515	69.78	8.89	12 15 41.434	–0.3655	6 54	15 46
	15 341.5	15 18 42.699	91.373	–18 20 18.05	–38.718	70.00	8.89	12 15 32.240	–0.4004	6 56	15 45
	16 342.5	15 22 49.274	97.961	–18 35 37.59	–37.904	70.22	8.89	12 15 22.212	–0.4350	6 58	15 43

SŁONCE 2015, LISTOPAD – GRUDZIEŃ

Data	JD	0^h TT								CSE w Warszawie wsch. zach.	
		α_{app}^{CIO}	α_{app}^γ	δ_{app}	$V_\delta/1^h$	R	π	$E + 12^h$	$V_E/1^h$		
	2457					$16'$					
Listopad	16 342.5	15 22 ^m 49 ^s .274	97 ^s .961	-18°35'37".59	-37".904	10".22	8".89	12 ^h 15 ^m 22 ^s .212	-0 ^s .4350	6 ^h 58 ^m	15 ^h 43 ^m
	17 343.5	15 26 56.675	105.375	-18 50 37.41	-37.074	10.44	8.89	12 15 11.358	-0.4693	6 59	15 42
	18 344.5	15 31 04.896	53.606	-19 05 17.10	-36.227	10.66	8.89	12 14 59.684	-0.5033	7 01	15 40
	19 345.5	15 35 13.929	62.648	-19 19 36.27	-35.364	10.87	8.90	12 14 47.198	-0.5370	7 03	15 39
	20 346.5	15 39 23.765	72.491	-19 33 34.55	-34.486	11.08	8.90	12 14 33.909	-0.5703	7 05	15 38
	21 347.5	15 43 34.397	83.127	-19 47 11.54	-33.593	11.29	8.90	12 14 19.823	-0.6033	7 06	15 37
	22 348.5	15 47 45.818	94.552	-20 00 26.89	-32.684	11.49	8.90	12 14 04.950	-0.6360	7 08	15 36
	23 349.5	15 51 58.019	106.757	-20 13 20.24	-31.761	11.69	8.90	12 13 49.296	-0.6684	7 10	15 35
	24 350.5	15 56 10.993	59.737	-20 25 51.25	-30.823	11.89	8.91	12 13 32.869	-0.7004	7 11	15 33
	25 351.5	16 00 24.733	73.487	-20 37 59.60	-29.872	12.08	8.91	12 13 15.676	-0.7321	7 13	15 32
	26 352.5	16 04 39.229	87.995	-20 49 44.96	-28.907	12.26	8.91	12 12 57.726	-0.7635	7 14	15 31
	27 353.5	16 08 54.474	103.255	-21 01 07.02	-27.928	12.44	8.91	12 12 39.028	-0.7944	7 16	15 31
	28 354.5	16 13 10.457	59.253	-21 12 05.45	-26.937	12.61	8.91	12 12 19.593	-0.8249	7 17	15 30
	29 355.5	16 17 27.164	75.975	-21 22 39.96	-25.933	12.78	8.91	12 11 59.432	-0.8548	7 19	15 29
	30 356.5	16 21 44.582	93.407	-21 32 50.22	-24.916	12.94	8.92	12 11 38.562	-0.8841	7 20	15 28
Grudzień	1 357.5	16 26 02.694	51.530	-21 42 35.94	-23.888	13.10	8.92	12 11 16.997	-0.9127	7 22	15 27
	2 358.5	16 30 21.482	70.327	-21 51 56.82	-22.847	13.25	8.92	12 10 54.756	-0.9405	7 23	15 27
	3 359.5	16 34 40.925	89.776	-22 00 52.58	-21.795	13.40	8.92	12 10 31.859	-0.9673	7 25	15 26
	4 360.5	16 39 01.002	49.859	-22 09 22.94	-20.732	13.55	8.92	12 10 08.329	-0.9933	7 26	15 26
	5 361.5	16 43 21.690	70.552	-22 17 27.64	-19.658	13.69	8.92	12 09 44.189	-1.0182	7 27	15 25
	6 362.5	16 47 42.962	91.828	-22 25 06.43	-18.573	13.83	8.92	12 09 19.463	-1.0420	7 29	15 25
	7 363.5	16 52 04.793	53.665	-22 32 19.06	-17.479	13.96	8.93	12 08 54.179	-1.0647	7 30	15 24
	8 364.5	16 56 27.155	76.034	-22 39 05.31	-16.375	14.09	8.93	12 08 28.364	-1.0862	7 31	15 24
	9 365.5	17 00 50.018	98.906	-22 45 24.96	-15.263	14.22	8.93	12 08 02.048	-1.1064	7 32	15 24
	10 366.5	17 05 13.351	62.251	-22 51 17.82	-14.142	14.34	8.93	12 07 35.261	-1.1254	7 33	15 23
	11 367.5	17 09 37.123	86.036	-22 56 43.67	-13.013	14.46	8.93	12 07 08.037	-1.1429	7 35	15 23
	12 368.5	17 14 01.298	50.226	-23 01 42.36	-11.877	14.58	8.93	12 06 40.408	-1.1590	7 36	15 23
	13 369.5	17 18 25.844	74.787	-23 06 13.71	-10.733	14.69	8.93	12 06 12.410	-1.1737	7 37	15 23
	14 370.5	17 22 50.724	99.682	-23 10 17.56	-9.584	14.80	8.93	12 05 44.077	-1.1869	7 38	15 23
	15 371.5	17 27 15.902	64.873	-23 13 53.77	-8.429	14.90	8.93	12 05 15.446	-1.1986	7 38	15 23
	16 372.5	17 31 41.342	90.325	-23 17 02.21	-7.269	15.01	8.93	12 04 46.552	-1.2088	7 39	15 23
	17 373.5	17 36 07.008	55.999	-23 19 42.75	-6.105	15.11	8.94	12 04 17.433	-1.2175	7 40	15 24
	18 374.5	17 40 32.865	81.863	-23 21 55.30	-4.937	15.20	8.94	12 03 48.123	-1.2247	7 41	15 24
	19 375.5	17 44 58.877	107.880	-23 23 39.75	-3.766	15.29	8.94	12 03 18.658	-1.2304	7 41	15 24
	20 376.5	17 49 25.011	74.019	-23 24 56.05	-2.592	15.37	8.94	12 02 49.071	-1.2348	7 42	15 25
	21 377.5	17 53 51.234	100.249	-23 25 44.13	-1.417	15.45	8.94	12 02 19.396	-1.2378	7 43	15 25
	22 378.5	17 58 17.513	66.538	-23 26 03.98	-0.240	15.53	8.94	12 01 49.663	-1.2395	7 43	15 26
	23 379.5	18 02 43.819	92.856	-23 25 55.58	+ 0.937	15.60	8.94	12 01 19.904	-1.2400	7 44	15 26
	24 380.5	18 07 10.121	59.173	-23 25 18.93	+ 2.115	15.66	8.94	12 00 50.149	-1.2392	7 44	15 27
	25 381.5	18 11 36.390	85.458	-23 24 14.04	+ 3.291	15.71	8.94	12 00 20.427	-1.2372	7 44	15 27
	26 382.5	18 16 02.596	51.681	-23 22 40.94	+ 4.467	15.76	8.94	11 59 50.768	-1.2340	7 45	15 28
	27 383.5	18 20 28.710	77.810	-23 20 39.67	+ 5.640	15.80	8.94	11 59 21.201	-1.2295	7 45	15 29
	28 384.5	18 24 54.703	103.816	-23 18 10.28	+ 6.811	15.84	8.94	11 58 51.755	-1.2239	7 45	15 30
	29 385.5	18 29 20.544	69.667	-23 15 12.83	+ 7.979	15.87	8.94	11 58 22.461	-1.2170	7 45	15 31
	30 386.5	18 33 46.204	95.336	-23 11 47.38	+ 9.143	15.89	8.94	11 57 53.347	-1.2088	7 45	15 31
	31 387.5	18 38 11.653	60.791	-23 07 54.05	+ 10.303	15.91	8.94	11 57 24.446	-1.1993	7 45	15 32
	32 388.5	18 42 36.859	86.003	-23 03 32.93	+ 11.458	15.93	8.94	11 56 55.787	-1.1886	7 45	15 33

KSIEŻYC 2015, STYCZEŃ – LUTY

Data	$0^h\ TT$						wiek	CSE			
	α_{app}^{CIO}	α_{app}^γ	δ_{app}	$V_\delta/1^h$	R	π		w w Warszawie	wsch.	górow.	zach.
Styczeń	0	2 ^h 21 ^m 34 ^s .835	81. ^s 245	+12°10'35".41	+494. ^{''} 42	15'43".03	57'40".892	8. ^d 9	12 ^h 32 ^m	20 ^h 00 ^m	2 ^h 29 ^m
	1	3 15 05.505	51.925	+15 06 09.58	+379.93	15 34.63	57 10.061	9.9	13 08	20 52	3 38
	2	4 09 00.663	47.096	+17 12 11.47	+247.90	15 26.45	56 40.059	10.9	13 49	21 44	4 43
	3	5 03 02.587	49.035	+18 23 11.59	+106.24	15 18.55	56 11.046	11.9	14 37	22 35	5 42
	4	5 56 41.261	87.723	+18 37 07.67	- 35.86	15 10.97	55 43.231	12.9	15 30	23 26	6 33
	5	6 49 22.787	69.264	+17 55 39.61	-169.36	15 03.84	55 17.050	13.9	16 27	—	7 18
	6	7 40 38.914	85.404	+16 23 45.71	-287.03	14 57.35	54 53.244	14.9	17 28	0 15	7 55
	7	8 30 14.060	60.562	+14 08 45.00	-384.45	14 51.80	54 32.860	15.9	18 30	1 02	8 26
	8	9 18 07.978	54.489	+11 19 06.99	-460.08	14 47.52	54 17.177	16.9	19 33	1 47	8 54
	9	10 04 34.623	81.142	+ 8 03 31.53	-514.43	14 44.91	54 07.588	17.9	20 36	2 31	9 18
	10	10 49 59.144	105.669	+ 4 30 12.74	-548.96	14 44.33	54 05.463	18.9	21 39	3 14	9 41
	11	11 34 54.643	101.173	+ 0 46 49.08	-565.01	14 46.12	54 12.012	19.9	22 42	3 56	10 02
	12	12 19 59.516	106.050	- 2 59 24.36	-563.08	14 50.51	54 28.150	20.9	23 46	4 38	10 25
	13	13 05 55.280	101.819	- 6 41 07.84	-542.23	14 57.65	54 54.345	21.9	—	5 22	10 48
	14	13 53 24.235	70.780	-10 10 19.86	-499.90	15 07.49	55 30.452	22.9	0 52	6 07	11 15
	15	14 43 05.937	52.490	-13 17 39.94	-432.16	15 19.77	56 15.517	23.9	1 58	6 55	11 46
	16	15 35 31.434	77.998	-15 52 05.68	-334.72	15 33.95	57 07.573	24.9	3 04	7 46	12 23
	17	16 30 54.953	101.529	-17 41 07.38	-205.05	15 49.18	58 03.490	25.9	4 10	8 40	13 09
	18	17 29 04.938	51.529	-18 32 07.13	- 45.54	16 04.30	58 58.980	26.9	5 11	9 38	14 04
	19	18 29 19.606	66.213	-18 14 53.44	+133.68	16 17.91	59 48.903	27.9	6 07	10 37	15 10
	20	19 30 33.244	79.867	-16 44 54.95	+314.72	16 28.55	60 27.981	28.9	6 54	11 36	16 25
	21	20 31 34.106	80.742	-14 05 44.67	+476.13	16 35.05	60 51.823	0.3	7 35	12 35	17 44
	22	21 31 25.461	72.107	-10 29 07.79	+599.43	16 36.72	60 57.973	1.3	8 10	13 33	19 06
	23	22 29 38.359	85.012	- 6 12 43.99	+674.04	16 33.60	60 46.519	2.3	8 41	14 28	20 27
	24	23 26 11.742	58.399	- 1 36 39.42	+698.15	16 26.37	60 19.958	3.3	9 10	15 22	21 47
	25	0 21 24.007	70.667	+ 2 59 38.29	+676.23	16 16.13	59 42.389	4.3	9 38	16 14	23 04
	26	1 15 42.229	88.893	+ 7 19 11.65	+615.81	16 04.16	58 58.437	5.3	10 06	17 06	—
	27	2 09 32.773	79.442	+11 08 13.84	+524.96	15 51.59	58 12.329	6.3	10 37	17 58	0 18
	28	3 03 14.380	61.058	+14 16 07.43	+411.31	15 39.34	57 27.343	7.3	11 11	18 49	1 29
	29	3 56 53.928	100.616	+16 35 12.26	+282.08	15 27.98	56 45.656	8.3	11 50	19 41	2 36
	30	4 50 25.172	71.872	+18 00 40.07	+144.44	15 17.84	56 08.444	9.3	12 35	20 32	3 36
	31	5 43 30.897	77.610	+18 30 37.28	+ 5.76	15 09.04	55 36.134	10.3	13 25	21 22	4 29
Luty	1	6 35 48.178	94.903	+18 06 06.06	-126.78	15 01.56	55 08.685	11.3	14 20	22 11	5 15
	2	7 26 55.170	101.906	+16 50 51.83	-246.89	14 55.34	54 45.859	12.3	15 19	22 58	5 55
	3	8 16 37.144	83.890	+14 50 52.82	-349.89	14 50.32	54 27.435	13.3	16 20	23 44	6 28
	4	9 04 50.005	96.758	+12 13 37.00	-432.98	14 46.49	54 13.373	14.3	17 23	—	6 57
	5	9 51 40.946	87.704	+ 9 07 17.41	-495.14	14 43.91	54 03.896	15.3	18 26	0 28	7 23
	6	10 37 27.098	73.861	+ 5 40 16.34	-536.54	14 42.71	53 59.513	16.3	19 28	1 11	7 46
	7	11 22 33.355	80.120	+ 2 00 43.70	-557.91	14 43.11	54 00.977	17.3	20 31	1 54	8 08
	8	12 07 30.201	76.969	- 1 43 28.98	-559.96	14 45.35	54 09.191	18.3	21 35	2 36	8 30
	9	12 52 51.845	98.615	- 5 24 40.74	-542.78	14 49.68	54 25.081	19.3	22 38	3 19	8 53
	10	13 39 14.419	61.192	- 8 55 02.69	-505.58	14 56.31	54 49.431	20.3	23 43	4 02	9 18
	11	14 27 13.720	60.497	-12 06 13.67	-446.48	15 05.37	55 22.694	21.3	—	4 48	9 47
	12	15 17 21.755	68.538	-14 48 57.60	-362.87	15 16.84	56 04.762	22.3	0 47	5 36	10 20
	13	16 10 01.557	48.349	-16 52 55.30	-252.32	15 30.44	56 54.700	23.3	1 51	6 27	11 00
	14	17 05 20.566	67.370	-18 07 08.95	-114.41	15 45.64	57 50.475	24.3	2 53	7 21	11 49
	15	18 03 04.661	51.477	-18 21 17.67	+ 46.95	16 01.51	58 48.742	25.3	3 50	8 18	12 48

KSIEŻYC 2015, LUTY – MARZEC

Data	$0^h TT$						wiek	CSE			
	α_{app}^{CIO}	α_{app}^γ	δ_{app}	$V_\delta/1^h$	R	π		w wsch.	górów.	zach.	
Luty	15	18 03 04.661	51.477	-18°21'17".67	+ 46".95	16'01".51	58'48".742	25.3	3 ^h 50 ^m	8 ^h 18 ^m	12 ^h 48 ^m
	16	19 02 36.813	83.641	-17 27 48.13	+221.51	16 16.80	59 44.832	26.3	4 41	9 16	13 56
	17	20 03 03.934	50.774	-15 24 30.28	+392.84	16 29.95	60 33.106	27.3	5 25	10 15	15 12
	18	21 03 30.982	77.831	-12 16 34.67	+541.40	16 39.40	61 07.814	28.3	6 04	11 14	16 34
	19	22 03 15.706	62.561	- 8 16 47.58	+649.63	16 43.91	61 24.352	29.3	6 37	12 11	17 57
	20	23 01 56.658	103.515	- 3 43 46.11	+706.44	16 42.86	61 20.504	0.8	7 08	13 08	19 20
	21	23 59 32.097	78.954	+ 1 01 06.15	+709.09	16 36.49	60 57.100	1.8	7 38	14 03	20 41
	22	0 56 12.795	59.653	+ 5 36 53.08	+662.25	16 25.76	60 17.724	2.8	8 07	14 57	22 00
	23	1 52 13.167	60.028	+ 9 45 32.44	+575.25	16 12.11	59 27.643	3.8	8 38	15 51	23 15
	24	2 47 43.837	90.703	+13 13 13.08	+459.25	15 57.09	58 32.492	4.8	9 12	16 44	—
	25	3 42 47.111	93.983	+15 50 33.58	+325.34	15 42.03	57 37.233	5.8	9 51	17 36	0 25
	26	4 37 15.874	62.756	+17 32 25.89	+183.45	15 27.97	56 45.612	6.8	10 34	18 28	1 28
	27	5 30 55.778	102.670	+18 17 23.62	+ 42.07	15 15.55	56 00.048	7.8	11 22	19 19	2 25
	28	6 23 29.763	76.665	+18 07 04.47	- 91.96	15 05.13	55 21.796	8.8	12 16	20 08	3 13
Marzec	1	7 14 43.252	90.163	+17 05 30.11	-213.48	14 56.80	54 51.229	9.8	13 13	20 56	3 55
	2	8 04 28.271	75.190	+15 18 26.01	-318.97	14 50.51	54 28.125	10.8	14 13	21 42	4 30
	3	8 52 45.518	92.442	+12 52 45.03	-406.29	14 46.09	54 11.929	11.8	15 15	22 26	5 00
	4	9 39 44.394	91.322	+ 9 55 58.44	-474.32	14 43.38	54 01.980	12.8	16 17	23 10	5 27
	5	10 25 41.739	88.669	+ 6 35 56.05	-522.56	14 42.21	53 57.679	13.8	17 20	23 52	5 51
	6	11 11 00.063	46.993	+ 3 00 35.08	-550.85	14 42.47	53 58.619	14.8	18 23	—	6 14
	7	11 56 05.809	52.739	- 0 42 03.98	-559.04	14 44.11	54 04.658	15.8	19 26	0 35	6 36
	8	12 41 27.819	74.749	- 4 23 56.03	-546.86	14 47.19	54 15.935	16.8	20 30	1 17	6 59
	9	13 27 35.844	82.775	- 7 56 46.19	-513.76	14 51.79	54 32.828	17.8	21 33	2 01	7 23
	10	14 14 58.789	105.722	-11 12 02.48	-458.87	14 58.06	54 55.855	18.8	22 37	2 46	7 50
	11	15 04 02.299	49.236	-14 00 49.57	-381.16	15 06.14	55 25.512	19.8	23 40	3 32	8 21
	12	15 55 05.462	52.404	-16 13 49.58	-279.89	15 16.10	56 02.067	20.8	—	4 21	8 58
	13	16 48 16.853	63.804	-17 41 38.57	-155.47	15 27.88	56 45.303	21.8	0 41	5 13	9 42
	14	17 43 31.043	78.003	-18 15 28.07	- 10.66	15 41.21	57 34.231	22.8	1 38	6 06	10 35
	15	18 40 27.537	74.508	-17 48 16.48	+148.23	15 55.54	58 26.808	23.8	2 30	7 02	11 36
	16	19 38 34.070	81.051	-16 16 22.75	+310.79	16 09.96	59 19.747	24.8	3 16	7 58	12 46
Kwiecień	17	20 37 14.330	61.319	-13 40 59.81	+463.15	16 23.26	60 08.544	25.8	3 56	8 55	14 03
	18	21 35 57.308	104.303	-10 09 16.69	+589.92	16 33.98	60 47.910	26.8	4 31	9 52	15 23
	19	22 34 24.048	71.045	- 5 54 22.78	+676.95	16 40.73	61 12.666	27.8	5 03	10 48	16 46
	20	23 32 28.988	75.985	- 1 14 22.70	+714.24	16 42.44	61 18.965	28.8	5 34	11 45	18 09
	21	0 30 16.027	63.023	+ 3 29 50.75	+698.03	16 38.75	61 05.417	0.5	6 04	12 40	19 31
	22	1 27 51.563	98.559	+ 7 57 19.02	+631.57	16 30.07	60 33.564	1.5	6 35	13 36	20 50
	23	2 25 17.329	64.328	+11 49 36.82	+524.09	16 17.51	59 47.457	2.5	7 09	14 31	22 05
	24	3 22 25.547	72.552	+14 52 50.35	+388.54	16 02.56	58 52.567	3.5	7 46	15 26	23 14
	25	4 18 58.147	105.159	+16 58 34.45	+238.91	15 46.74	57 54.533	4.5	8 29	16 20	—
	26	5 14 30.434	77.456	+18 03 47.60	+ 87.86	15 31.41	56 58.235	5.5	9 17	17 13	0 16
	27	6 08 37.676	84.708	+18 09 59.50	- 54.85	15 17.53	56 07.322	6.5	10 10	18 04	1 09
	28	7 01 01.745	48.786	+17 21 53.36	-182.86	15 05.77	55 24.150	7.5	11 06	18 52	1 53
	29	7 51 35.313	82.361	+15 46 06.26	-292.93	14 56.45	54 49.938	8.5	12 06	19 39	2 31
	30	8 40 22.752	69.806	+13 30 05.75	-383.92	14 49.66	54 25.018	9.5	13 07	20 24	3 03
	31	9 27 38.545	85.602	+10 41 30.59	-455.86	14 45.32	54 09.086	10.5	14 09	21 08	3 31
Kwiecień	1	10 13 44.601	91.660	+ 7 27 54.64	-509.02	14 43.23	54 01.423	11.5	15 11	21 50	3 56
	2	10 59 07.586	54.647	+ 3 56 47.39	-543.43	14 43.14	54 01.088	12.5	16 14	22 33	4 19

KSIEŻYC 2015, KWIECIEŃ – MAJ

Data	0 ^h TT						wiek	CSE w Warszawie		
	α_{app}^{CIO}	α_{app}^{γ}	δ_{app}	$V_{\delta}/1^h$	R	π		wsch.	górow.	zach.
Kwiecień	1 10 13 44.601	91.660	+ 7°27'54".64	-509".02	14'43".23	54'01".423	11.5	15 ^h 11 ^m	21 ^h 50 ^m	3 ^h 56 ^m
	2 10 59 07.586	54.647	+ 3 56 47.39	-543.43	14 43.14	54 01.088	12.5	16 14	22 33	4 19
	3 11 44 16.723	63.783	+ 0 15 43.80	-558.59	14 44.77	54 07.072	13.5	17 17	23 15	4 41
	4 12 29 42.042	89.102	- 3 27 23.20	-553.51	14 47.87	54 18.437	14.5	18 21	23 59	5 04
	5 13 15 52.787	99.848	- 7 04 12.11	-526.85	14 52.22	54 34.424	15.5	19 25	—	5 28
	6 14 03 15.581	62.643	-10 25 47.93	-477.21	14 57.70	54 54.521	16.5	20 30	0 44	5 54
	7 14 52 12.047	59.113	-13 22 46.04	-403.60	15 04.23	55 18.483	17.5	21 34	1 30	6 24
	8 15 42 55.872	102.944	-15 45 28.35	-306.00	15 11.80	55 46.273	18.5	22 35	2 19	6 59
	9 16 35 29.819	76.899	-17 24 34.80	-186.06	15 20.43	56 17.950	19.5	23 33	3 09	7 40
	10 17 29 43.928	91.017	-18 11 51.05	-47.69	15 30.11	56 53.468	20.5	—	4 01	8 29
	11 18 25 16.465	63.565	-18 01 08.03	+102.58	15 40.72	57 32.438	21.5	0 26	4 55	9 26
	12 19 21 38.553	85.663	-16 49 22.43	+255.89	15 52.01	58 13.861	22.5	1 12	5 50	10 32
	13 20 18 21.592	68.712	-14 37 24.68	+401.77	16 03.46	58 55.888	23.5	1 53	6 44	11 43
	14 21 15 04.764	51.890	-11 30 25.16	+529.19	16 14.31	59 35.708	24.5	2 28	7 39	12 59
	15 22 11 39.611	86.742	- 7 37 57.45	+627.40	16 23.56	60 09.658	25.5	3 01	8 34	14 18
	16 23 08 10.171	57.304	- 3 13 40.70	+686.84	16 30.10	60 33.668	26.5	3 30	9 28	15 39
	17 0 04 48.960	96.093	+ 1 25 22.05	+700.31	16 32.93	60 44.035	27.5	4 00	10 23	17 00
	18 1 01 50.157	97.291	+ 5 59 58.23	+664.49	16 31.38	60 38.367	28.5	4 30	11 18	18 21
	19 1 59 21.680	68.816	+10 10 38.03	+581.46	16 25.38	60 16.336	0.3	5 02	12 14	19 39
	20 2 57 18.223	65.365	+13 39 53.49	+459.28	16 15.45	59 39.894	1.3	5 38	13 10	20 53
	21 3 55 17.953	65.104	+16 14 33.90	+311.01	16 02.63	58 52.848	2.3	6 19	14 06	22 00
	22 4 52 45.218	92.379	+17 47 16.80	+152.07	15 48.23	57 59.993	3.3	7 06	15 01	22 58
	23 5 48 59.249	106.421	+18 16 44.32	- 3.12	15 33.57	57 06.173	4.3	7 58	15 54	23 48
	24 6 43 25.315	72.499	+17 46 43.22	-143.93	15 19.79	56 15.587	5.3	8 55	16 45	—
	25 7 35 43.260	90.454	+16 24 18.71	-264.48	15 07.75	55 31.430	6.3	9 55	17 34	0 29
	26 8 25 50.505	97.707	+14 18 05.36	-362.97	14 58.05	54 55.825	7.3	10 56	18 20	1 04
	27 9 14 00.126	47.335	+11 36 47.36	-440.10	14 51.00	54 29.920	8.3	11 59	19 04	1 34
	28 10 00 36.548	83.761	+ 8 28 38.51	-497.47	14 46.67	54 14.058	9.3	13 01	19 47	2 00
	29 10 46 11.128	58.344	+ 5 01 16.01	-536.39	14 45.01	54 07.946	10.3	14 04	20 30	2 23
	30 11 31 18.673	65.891	+ 1 21 55.59	-557.27	14 45.79	54 10.806	11.3	15 07	21 12	2 46
Maj	1 12 16 34.933	82.152	- 2 22 03.23	-559.38	14 48.70	54 21.506	12.3	16 10	21 56	3 08
	2 13 02 34.576	81.797	- 6 02 50.86	-540.98	14 53.38	54 38.684	13.3	17 15	22 40	3 31
	3 13 49 49.008	96.233	- 9 31 47.53	-499.73	14 59.43	55 00.874	14.3	18 20	23 26	3 57
	4 14 38 43.495	90.725	-12 39 16.62	-433.37	15 06.45	55 26.634	15.3	19 25	—	4 25
	5 15 29 33.443	80.681	-15 14 58.99	-340.80	15 14.09	55 54.681	16.3	20 28	0 15	4 59
	6 16 22 20.474	67.721	-17 08 33.99	-223.21	15 22.07	56 23.983	17.3	21 29	1 05	5 38
	7 17 16 49.991	97.250	-18 10 47.17	- 85.02	15 30.20	56 53.810	18.3	22 24	1 58	6 25
	8 18 12 32.543	79.815	-18 14 52.53	+ 65.88	15 38.34	57 23.689	19.3	23 12	2 51	7 20
	9 19 08 50.266	97.550	-17 17 45.61	+219.16	15 46.40	57 53.280	20.3	23 54	3 46	8 23
	10 20 05 06.957	54.253	-15 20 42.27	+363.79	15 54.28	58 22.173	21.3	—	4 40	9 32
	11 21 00 57.772	105.078	-12 29 13.52	+489.76	16 01.77	58 49.667	22.3	0 31	5 34	10 45
	12 21 56 14.656	61.968	- 8 52 29.03	+588.90	16 08.55	59 14.573	23.3	1 03	6 27	12 01
	13 22 51 06.196	53.513	- 4 42 32.51	+654.81	16 14.16	59 35.146	24.3	1 32	7 20	13 19
	14 23 45 53.087	100.407	- 0 13 44.79	+682.43	16 17.99	59 49.198	25.3	2 00	8 12	14 37
	15 0 41 01.058	48.381	+ 4 17 47.63	+668.07	16 19.41	59 54.439	26.3	2 29	9 06	15 56
	16 1 36 52.612	99.939	+ 8 34 54.55	+610.32	16 17.93	59 48.993	27.3	2 59	10 00	17 14
	17 2 33 38.561	85.895	+12 20 32.89	+511.46	16 13.29	59 31.958	28.3	3 32	10 55	18 29

KSIEŻYC 2015, MAJ – CZERWIEC

Data	0 ^h TT						wiek	CSE			
	α_{app}^{CIO}	α_{app}^{γ}	δ_{app}	$V_{\delta}/1^h$	R	π		w wsch.	górów.	zach.	
Maj	17	2 33 ^m 38 ^s .561	85. ^s 895	+12°20'32".89	+511".46	16'13".29	59'31".958	28. ^d 3	3 ^h 32 ^m	10 ^h 55 ^m	18 ^h 29 ^m
	18	3 31 11.085	58.428	+15 19 32.62	+378.76	16 05.62	59 03.808	29.3	4 10	11 51	19 40
	19	4 29 01.305	48.661	+17 20 39.54	+224.43	15 55.44	58 26.448	1.0	4 54	12 47	20 44
	20	5 26 24.230	71.599	+18 18 13.08	+ 63.55	15 43.58	57 42.926	2.0	5 44	13 42	21 39
	21	6 22 30.635	78.019	+18 12 34.08	- 89.46	15 31.04	56 56.891	3.0	6 40	14 35	22 25
	22	7 16 40.874	88.270	+17 09 07.22	-224.12	15 18.82	56 12.025	4.0	7 39	15 25	23 03
	23	8 08 34.232	81.640	+15 16 26.69	-335.14	15 07.80	55 31.594	5.0	8 42	16 13	23 35
	24	8 58 11.001	58.419	+12 44 16.80	-421.70	14 58.70	54 58.184	6.0	9 45	16 59	—
	25	9 45 48.979	96.404	+ 9 42 06.80	-485.55	14 52.00	54 33.617	7.0	10 48	17 43	0 03
	26	10 31 57.916	105.347	+ 6 18 32.04	-529.16	14 48.01	54 18.961	8.0	11 51	18 26	0 27
	27	11 17 14.461	61.897	+ 2 41 13.18	-554.45	14 46.82	54 14.596	9.0	12 54	19 08	0 50
	28	12 02 18.462	65.901	- 1 02 40.80	-562.07	14 48.37	54 20.285	10.0	13 57	19 51	1 12
	29	12 47 50.351	97.795	- 4 45 58.52	-551.16	14 52.44	54 35.236	11.0	15 01	20 35	1 35
	30	13 34 28.814	76.263	- 8 20 50.73	-519.48	14 58.69	54 58.149	12.0	16 06	21 20	1 59
	31	14 22 47.853	95.308	-11 38 22.57	-463.92	15 06.63	55 27.285	13.0	17 12	22 08	2 26
Czerwiec	1	15 13 12.578	60.042	-14 28 24.34	-381.58	15 15.69	56 00.562	14.0	18 17	22 58	2 57
	2	16 05 53.795	101.271	-16 39 54.04	-271.31	15 25.27	56 35.707	15.0	19 20	23 50	3 35
	3	17 00 42.865	90.353	-18 02 02.00	-135.56	15 34.74	57 10.468	16.0	20 18	—	4 19
	4	17 57 09.960	57.464	-18 25 54.50	+ 18.35	15 43.56	57 42.852	17.0	21 10	0 45	5 12
	5	18 54 29.017	76.536	-17 46 29.22	+178.69	15 51.32	58 11.336	18.0	21 55	1 40	6 14
	6	19 51 49.586	97.119	-16 03 56.34	+331.69	15 57.77	58 34.986	19.0	22 34	2 36	7 22
	7	20 48 31.007	78.551	-13 23 49.01	+464.70	16 02.79	58 53.435	20.0	23 08	3 30	8 35
	8	21 44 12.371	59.925	- 9 56 04.86	+568.55	16 06.41	59 06.722	21.0	23 38	4 24	9 50
	9	22 38 54.832	102.394	- 5 53 35.56	+637.84	16 08.68	59 15.041	22.0	—	5 16	11 07
	10	23 32 57.411	104.977	- 1 30 45.96	+669.98	16 09.62	59 18.493	23.0	0 05	6 08	12 23
	11	0 26 49.480	97.051	+ 2 57 17.65	+663.92	16 09.19	59 16.932	24.0	0 33	7 00	13 40
	12	1 21 02.298	49.874	+ 7 15 15.94	+619.61	16 07.29	59 09.949	25.0	1 01	7 52	14 57
	13	2 16 00.535	48.118	+11 08 02.41	+538.31	16 03.77	58 57.020	26.0	1 32	8 46	16 11
	14	3 11 54.379	101.972	+14 21 28.37	+423.81	15 58.53	58 37.775	27.0	2 06	9 40	17 23
	15	4 08 33.789	81.395	+16 43 37.89	+283.52	15 51.58	58 12.284	28.0	2 46	10 35	18 29
	16	5 05 27.748	75.369	+18 06 20.75	+128.72	15 43.13	57 41.282	29.0	3 33	11 30	19 28
	17	6 01 50.764	98.400	+18 26 28.30	- 27.15	15 33.58	57 06.228	0.4	4 26	12 23	20 18
	18	6 56 55.378	103.029	+17 46 11.20	-171.46	15 23.49	56 29.196	1.4	5 24	13 15	21 00
	19	7 50 05.315	52.979	+16 12 03.97	-295.21	15 13.53	55 52.632	2.4	6 26	14 05	21 36
	20	8 41 03.550	51.226	+13 53 20.65	-394.13	15 04.39	55 19.068	3.4	7 29	14 52	22 05
	21	9 29 53.387	101.072	+11 00 06.88	-467.96	14 56.70	54 50.863	4.4	8 33	15 38	22 31
	22	10 16 54.693	102.385	+ 7 42 03.25	-518.73	14 51.02	54 30.010	5.4	9 36	16 21	22 55
	23	11 02 38.614	86.311	+ 4 07 50.97	-549.10	14 47.76	54 18.029	6.4	10 40	17 04	23 17
	24	11 47 42.953	90.656	+ 0 25 12.97	-561.11	14 47.18	54 15.906	7.4	11 43	17 46	23 39
	25	12 32 48.825	96.533	- 3 18 41.98	-555.50	14 49.40	54 24.061	8.4	12 46	18 29	—
	26	13 18 38.169	85.881	- 6 56 43.48	-531.38	14 54.37	54 42.318	9.4	13 50	19 13	0 02
	27	14 05 51.241	98.960	-10 21 01.30	-486.36	15 01.88	55 09.866	10.4	14 55	19 59	0 28
	28	14 55 03.112	50.840	-13 22 34.58	-417.08	15 11.51	55 45.213	11.4	16 00	20 48	0 56
	29	15 46 38.450	86.189	-15 51 01.69	-320.44	15 22.67	56 26.172	12.4	17 04	21 39	1 30
	30	16 40 44.874	92.626	-17 35 08.22	-195.52	15 34.59	57 09.918	13.4	18 06	22 34	2 11
Lipiec	1	17 37 07.044	54.811	-18 24 07.75	- 45.93	15 46.37	57 53.169	14.4	19 02	23 30	3 01
	2	18 35 05.705	53.487	-18 09 50.87	+118.75	15 57.09	58 32.519	15.4	19 51	—	3 59

KSIĘŻYC 2015, LIPIEC – SIERPIEŃ

Data	$0^h TT$						wiek	CSE w Warszawie			
	α_{app}^{CIO}	α_{app}^γ	δ_{app}	$V_\delta/1^h$	R	π		wsch.	górow.	zach.	
Lipiec	1	17 ^h 37 ^m 07 ^s .044	54. ⁸¹¹	-18°24'07".75	- 45".93	15' ⁴⁶ "37	57'53" ¹⁶⁹	14. ^d	19 ^h 02 ^m	23 ^h 30 ^m	3 ^h 01 ^m
	2	18 35 05.705	53.487	-18 09 50.87	+118.75	15 57.09	58 32.519	15.4	19 51	—	3 59
	3	19 33 45.369	93.167	-16 49 04.20	+283.82	16 05.92	59 04.904	16.4	20 34	0 26	5 06
	4	20 32 09.587	57.398	-14 24 56.26	+432.89	16 12.23	59 28.084	17.4	21 10	1 23	6 19
	5	21 29 36.837	84.658	-11 06 45.70	+552.14	16 15.75	59 40.983	18.4	21 42	2 19	7 36
	6	22 25 49.413	97.242	- 7 08 22.06	+633.03	16 16.51	59 43.765	19.4	22 11	3 13	8 54
	7	23 20 53.023	100.857	- 2 45 53.36	+672.41	16 14.83	59 37.599	20.4	22 39	4 06	10 12
	8	0 15 10.033	57.872	+ 1 44 05.87	+670.89	16 11.18	59 24.226	21.4	23 07	4 58	11 29
	9	1 09 10.470	58.313	+ 6 05 43.24	+631.12	16 06.07	59 05.481	22.4	23 36	5 50	12 45
	10	2 03 23.170	71.019	+10 04 21.51	+556.62	15 59.93	58 42.937	23.4	—	6 42	14 00
	11	2 58 07.909	55.768	+13 26 58.52	+451.85	15 53.06	58 17.726	24.4	0 08	7 35	15 11
	12	3 53 29.173	77.042	+16 02 35.76	+322.82	15 45.66	57 50.559	25.4	0 45	8 28	16 18
	13	4 49 13.026	60.909	+17 43 04.91	+177.75	15 37.85	57 21.877	26.4	1 28	9 22	17 19
	14	5 44 49.071	96.968	+18 24 02.12	+ 27.00	15 29.72	56 52.065	27.4	2 17	10 15	18 12
	15	6 39 38.081	85.993	+18 05 23.95	-118.40	15 21.44	56 21.655	28.4	3 13	11 07	18 57
	16	7 33 02.933	50.857	+16 51 19.69	-248.79	15 13.21	55 51.460	29.4	4 12	11 58	19 35
	17	8 24 38.301	86.237	+14 49 15.33	-357.63	15 05.35	55 22.620	0.8	5 15	12 46	20 07
	18	9 14 15.604	63.549	+12 08 29.48	-442.05	14 58.25	54 56.552	1.8	6 19	13 32	20 35
	19	10 02 02.791	50.742	+ 8 58 52.05	-502.13	14 52.34	54 34.836	2.8	7 23	14 17	20 59
	20	10 48 21.021	68.978	+ 5 29 47.44	-539.69	14 48.04	54 19.079	3.8	8 26	15 00	21 22
	21	11 33 40.565	88.526	+ 1 49 49.10	-556.97	14 45.78	54 10.774	4.8	9 29	15 42	21 44
	22	12 18 37.311	85.275	- 1 53 18.96	-555.70	14 45.89	54 11.174	5.8	10 32	16 24	22 07
	23	13 03 50.143	98.111	- 5 32 21.70	-536.51	14 48.62	54 21.182	6.8	11 35	17 07	22 31
	24	13 49 58.774	106.747	- 9 00 02.16	-498.60	14 54.08	54 41.241	7.8	12 39	17 52	22 57
	25	14 37 41.228	89.207	-12 08 27.82	-439.83	15 02.25	55 11.211	8.8	13 43	18 38	23 28
	26	15 27 30.152	78.140	-14 48 43.76	-357.28	15 12.88	55 50.233	9.8	14 46	19 28	—
	27	16 19 47.407	95.406	-16 50 46.42	-248.43	15 25.51	56 36.588	10.8	15 49	20 20	0 05
	28	17 14 37.496	85.507	-18 03 55.69	-113.14	15 39.40	57 27.584	11.8	16 47	21 15	0 49
	29	18 11 42.281	90.306	-18 18 20.27	+ 44.04	15 53.57	58 19.577	12.8	17 40	22 11	1 43
	30	19 10 21.154	69.193	-17 27 11.27	+212.37	16 06.81	59 08.195	13.8	18 27	23 09	2 46
	31	20 09 39.686	87.737	-15 29 04.53	+375.91	16 17.89	59 48.860	14.8	19 07	—	3 57
Sierpień	1	21 08 44.731	92.792	-12 29 27.29	+517.09	16 25.71	60 17.559	15.8	19 42	0 06	5 14
	2	22 06 58.808	106.876	- 8 40 21.88	+621.27	16 29.56	60 31.668	16.8	20 13	1 03	6 34
	3	23 04 06.976	55.049	- 4 18 32.83	+679.87	16 29.24	60 30.516	17.8	20 43	1 58	7 54
	4	0 00 14.893	62.968	+ 0 17 09.78	+690.88	16 25.13	60 15.432	18.8	21 11	2 52	9 14
	5	0 55 41.339	89.416	+ 4 48 12.44	+657.35	16 18.00	59 49.256	19.8	21 41	3 45	10 33
	6	1 50 49.153	97.235	+ 8 57 54.04	+585.27	16 08.82	59 15.541	20.8	22 12	4 39	11 49
	7	2 45 56.993	105.080	+12 32 15.64	+481.97	15 58.53	58 37.782	21.8	22 48	5 32	13 02
	8	3 41 13.045	61.141	+15 20 22.75	+355.44	15 47.93	57 58.869	22.8	23 28	6 25	14 10
	9	4 36 31.662	79.769	+17 14 39.54	+214.26	15 37.57	57 20.865	23.8	—	7 18	15 13
	10	5 31 33.904	82.023	+18 11 02.81	+ 67.53	15 27.81	56 45.027	24.8	0 15	8 11	16 08
	11	6 25 52.299	100.429	+18 09 09.90	- 75.61	15 18.80	56 11.986	25.8	1 07	9 03	16 55
	12	7 18 58.455	106.597	+17 12 08.20	-206.98	15 10.63	55 41.991	26.8	2 04	9 53	17 35
	13	8 10 30.683	78.834	+15 25 59.66	-320.34	15 03.32	55 15.155	27.8	3 05	10 42	18 09
	14	9 00 18.933	67.092	+12 58 46.31	-411.96	14 56.92	54 51.648	28.8	4 08	11 28	18 38
	15	9 48 26.110	74.274	+ 9 59 31.09	-480.43	14 51.52	54 31.835	0.1	5 12	12 13	19 04
	16	10 35 06.559	54.726	+ 6 37 28.19	-526.09	14 47.29	54 16.323	1.1	6 15	12 56	19 27

KSIEŻYC 2015, SIERPIEŃ – WRZESIEN

Data	$0^h TT$						wiek	CSE w Warszawie			
	α_{app}^{CIO}	α_{app}^γ	δ_{app}	$V_\delta/1^h$	R	π		wsch.	górow.	zach.	
Sierpień	16	10 ^h 35 ^m 06 ^s .559	54 [°] 726	+ 6° 37' 28" 19	-526" 09	14' 47" 29	54' 16" 323	1. ^d	6 ^h 15 ^m	12 ^h 56 ^m	19 ^h 27 ^m
	17	11 20 43.302	91.471	+ 3 01 30.87	-550.22	14 44.47	54 05.956	2.1	7 18	13 39	19 50
	18	12 05 45.245	93.416	- 0 40 02.17	-554.30	14 43.32	54 01.743	3.1	8 21	14 21	20 12
	19	12 50 44.876	93.048	- 4 19 24.36	-539.45	14 44.14	54 04.756	4.1	9 23	15 04	20 35
	20	13 36 16.400	64.575	- 7 49 07.08	-505.99	14 47.20	54 16.004	5.1	10 26	15 47	21 00
	21	14 22 53.897	102.075	-11 01 38.50	-453.32	14 52.73	54 36.282	6.1	11 29	16 32	21 29
	22	15 11 08.911	57.094	-13 49 01.30	-379.98	15 00.83	55 06.015	7.1	12 31	17 19	22 02
	23	16 01 26.990	75.181	-16 02 37.69	-284.18	15 11.47	55 45.054	8.1	13 33	18 09	22 42
	24	16 54 03.078	51.278	-17 33 13.38	-164.89	15 24.38	56 32.461	9.1	14 32	19 01	23 29
	25	17 48 56.673	104.884	-18 11 34.53	-23.49	15 39.05	57 26.277	10.1	15 26	19 56	—
	26	18 45 49.003	97.225	-17 49 46.88	+134.49	15 54.59	58 23.342	11.1	16 16	20 52	0 26
	27	19 44 05.069	53.302	-16 23 10.65	+298.35	16 09.84	59 19.292	12.1	16 59	21 49	1 32
	28	20 43 01.768	50.009	-13 52 20.00	+452.92	16 23.34	60 08.864	13.1	17 37	22 46	2 46
	29	21 41 59.492	107.740	-10 24 19.55	+581.43	16 33.63	60 46.632	14.1	18 10	23 43	4 05
	30	22 40 31.825	80.076	- 6 12 38.73	+669.22	16 39.48	61 08.100	15.1	18 41	—	5 27
	31	23 38 29.053	77.305	- 1 35 38.03	+707.12	16 40.22	61 10.811	16.1	19 11	0 39	6 49
Wrzesień	1	0 35 55.096	103.347	+ 3 06 03.84	+692.86	16 35.91	60 55.002	17.1	19 42	1 35	8 11
	2	1 33 00.422	48.674	+ 7 32 14.31	+630.65	16 27.32	60 23.460	18.1	20 14	2 30	9 31
	3	2 29 54.121	102.377	+11 25 21.21	+529.29	16 15.66	59 40.664	19.1	20 49	3 25	10 48
	4	3 26 37.574	85.837	+14 31 56.79	+400.01	16 02.30	58 51.630	20.1	21 28	4 20	12 00
	5	4 23 01.383	49.654	+16 43 13.40	+254.67	15 48.49	58 00.937	21.1	22 13	5 14	13 06
	6	5 18 46.390	94.671	+17 55 02.42	+104.48	15 35.20	57 12.151	22.1	23 04	6 07	14 03
	7	6 13 28.415	76.705	+18 07 27.40	- 40.89	15 23.08	56 27.660	23.1	24 00	7 00	14 53
	8	7 06 44.824	93.124	+17 23 58.86	-173.94	15 12.48	55 48.786	24.1	—	7 50	15 35
	9	7 58 20.359	68.667	+15 50 38.45	-289.56	15 03.56	55 16.033	25.1	0 59	8 39	16 11
	10	8 48 10.331	58.645	+13 35 02.82	-384.88	14 56.29	54 49.362	26.1	2 01	9 26	16 41
	11	9 36 20.891	69.209	+10 45 36.25	-458.72	14 50.60	54 28.462	27.1	3 03	10 11	17 08
	12	10 23 07.298	55.617	+ 7 30 57.26	-510.96	14 46.38	54 12.969	28.1	4 06	10 55	17 32
	13	11 08 51.424	99.745	+ 3 59 38.97	-542.09	14 43.56	54 02.631	29.1	5 09	11 37	17 55
	14	11 53 59.381	107.701	+ 0 20 00.56	-552.75	14 42.14	53 57.417	0.6	6 12	12 20	18 17
	15	12 38 59.580	107.900	- 3 19 53.47	-543.47	14 42.18	53 57.561	1.6	7 15	13 02	18 40
	16	13 24 21.182	69.502	- 6 52 09.14	-514.57	14 43.81	54 03.550	2.6	8 17	13 45	19 05
	17	14 10 32.624	80.946	-10 08 55.63	-466.00	14 47.22	54 16.048	3.6	9 20	14 29	19 32
	18	14 57 59.896	108.221	-13 02 17.29	-397.43	14 52.59	54 35.782	4.6	10 22	15 15	20 03
	19	15 47 04.277	52.607	-15 24 08.82	-308.44	15 00.11	55 03.383	5.6	11 23	16 03	20 39
	20	16 37 59.550	107.887	-17 06 19.09	-199.07	15 09.87	55 39.177	6.6	12 21	16 53	21 22
	21	17 30 49.189	97.535	-18 00 50.95	- 70.61	15 21.79	56 22.950	7.6	13 16	17 45	22 14
	22	18 25 24.688	73.044	-18 00 43.11	+ 73.41	15 35.61	57 13.667	8.6	14 06	18 38	23 14
	23	19 21 26.500	74.865	-17 00 54.79	+226.37	15 50.74	58 09.200	9.6	14 50	19 33	—
	24	20 18 28.396	76.769	-14 59 45.09	+378.26	16 06.25	59 06.125	10.6	15 30	20 29	0 21
	25	21 16 04.346	52.725	-12 00 09.29	+516.24	16 20.86	59 59.744	11.6	16 05	21 25	1 36
	26	22 13 55.243	103.626	- 8 10 29.97	+626.20	16 33.05	60 44.491	12.6	16 37	22 21	2 55
	27	23 11 52.531	100.915	- 3 44 41.71	+695.02	16 41.32	61 14.831	13.6	17 07	23 17	4 17
	28	0 09 57.217	105.600	+ 0 58 44.88	+713.27	16 44.50	61 26.525	14.6	17 38	—	5 40
	29	1 08 14.781	63.164	+ 5 38 41.61	+677.56	16 42.13	61 17.806	15.6	18 10	0 14	7 03
	30	2 06 47.899	96.284	+ 9 54 05.05	+591.73	16 34.53	60 49.936	16.6	18 44	1 10	8 24
Październik	1	3 05 29.644	78.033	+13 26 45.34	+466.14	16 22.79	60 06.816	17.6	19 24	2 07	9 41

KSIĘŻYC 2015, PAŹDZIERNIK – LISTOPAD

Data	$0^h TT$						wiek	CSE w Warszawie		
	α_{app}^{CIO}	α_{app}^γ	δ_{app}	$V_\delta/1^h$	R	π		wsch.	górow.	zach.
Październik	1 3 05 29.644	78.033	+13°26'45".34	+466".14	16'22".79	60'06".816	17. ^d .6	19 ^h 24 ^m	2 ^h 07 ^m	9 ^h 41 ^m
	2 4 04 00.027	48.424	+16 03 38.21	+315.40	16 08.36	59 13.874	18.6	20 08	3 04	10 52
	3 5 01 47.958	96.364	+17 37 49.49	+155.21	15 52.81	58 16.782	19.6	20 58	4 00	11 55
	4 5 58 18.355	66.772	+18 08 23.71	– 0.67	15 37.46	57 20.467	20.6	21 53	4 54	12 49
	5 6 53 01.327	49.754	+17 39 12.31	-142.30	15 23.34	56 28.616	21.6	22 52	5 46	13 35
	6 7 45 39.274	87.709	+16 17 13.20	-264.04	15 11.07	55 43.595	22.6	23 54	6 36	14 12
	7 8 36 09.520	57.961	+14 10 55.20	-363.75	15 01.00	55 06.622	23.6	—	7 24	14 44
	8 9 24 42.857	91.303	+11 29 09.55	-441.46	14 53.21	54 38.033	24.6	0 56	8 09	15 12
	9 10 11 39.986	88.434	+ 8 20 33.76	-498.10	14 47.63	54 17.555	25.6	1 59	8 53	15 37
	10 10 57 27.701	76.150	+ 4 53 21.59	-534.62	14 44.09	54 04.562	26.6	3 01	9 36	16 00
	11 11 42 35.792	84.242	+ 1 15 28.58	-551.55	14 42.37	53 58.276	27.6	4 04	10 18	16 22
	12 12 27 34.796	83.246	– 2 25 16.06	-548.88	14 42.28	53 57.943	28.6	5 07	11 01	16 45
	13 13 12 54.312	102.763	– 6 00 57.78	-526.21	14 43.65	54 02.967	0.1	6 10	11 43	17 09
	14 13 59 01.481	49.933	– 9 23 29.10	-482.92	14 46.38	54 12.992	1.1	7 12	12 27	17 35
	15 14 46 19.273	67.729	-12 24 28.72	-418.52	14 50.46	54 27.943	2.1	8 15	13 13	18 05
	16 15 35 04.453	52.914	-14 55 29.05	-333.05	14 55.92	54 47.995	3.1	9 16	14 00	18 39
	17 16 25 25.432	73.901	-16 48 14.11	-227.52	15 02.87	55 13.488	4.1	10 16	14 49	19 20
	18 17 17 20.688	69.166	-17 55 08.44	-104.37	15 11.39	55 44.770	5.1	11 11	15 39	20 08
	19 18 10 38.781	87.269	-18 09 55.94	+ 32.19	15 21.53	56 21.985	6.1	12 02	16 31	21 03
	20 19 05 00.860	49.359	-17 28 24.02	+176.09	15 33.20	57 04.813	7.1	12 47	17 24	22 06
	21 20 00 05.613	54.121	-15 49 06.05	+319.62	15 46.10	57 52.185	8.1	13 27	18 18	23 15
	22 20 55 35.341	83.857	-13 13 56.62	+453.80	15 59.68	58 42.012	9.1	14 02	19 11	—
	23 21 51 20.990	69.511	– 9 48 37.57	+568.72	16 13.04	59 31.028	10.1	14 34	20 05	0 30
	24 22 47 24.307	72.832	– 5 42 55.21	+654.00	16 24.98	60 14.880	11.1	15 04	21 00	1 48
	25 23 43 56.353	104.879	– 1 10 44.09	+699.53	16 34.17	60 48.591	12.1	15 33	21 55	3 08
	26 0 41 12.575	61.102	+ 3 30 17.05	+697.07	16 39.31	61 07.470	13.1	16 04	22 51	4 30
	27 1 39 25.238	73.767	+ 7 59 57.67	+642.64	16 39.53	61 08.261	14.1	16 37	23 49	5 52
	28 2 38 34.721	83.255	+11 57 47.32	+538.90	16 34.59	60 50.129	15.1	17 14	—	7 13
	29 3 38 22.503	71.046	+15 05 51.14	+396.14	16 25.01	60 14.987	16.1	17 57	0 47	8 30
	30 4 38 09.883	58.437	+17 11 40.34	+230.74	16 11.94	59 27.010	17.1	18 46	1 45	9 39
	31 5 37 05.208	53.774	+18 09 53.97	+ 61.17	15 56.84	58 31.574	18.1	19 41	2 42	10 39
Listopad	1 6 34 17.663	66.242	+18 02 11.32	– 96.73	15 41.18	57 34.110	19.1	20 40	3 37	11 30
	2 7 29 10.921	59.511	+16 55 26.63	-232.85	15 26.24	56 39.268	20.1	21 42	4 29	12 12
	3 8 21 30.307	78.906	+14 59 22.56	-343.10	15 12.95	55 50.513	21.1	22 46	5 19	12 46
	4 9 11 22.186	70.793	+12 24 23.20	-427.74	15 01.94	55 10.075	22.1	23 49	6 06	13 16
	5 9 59 08.657	57.269	+ 9 20 17.84	-489.05	14 53.50	54 39.099	23.1	—	6 51	13 42
	6 10 45 21.301	69.917	+ 5 55 54.88	-529.58	14 47.71	54 17.865	24.1	0 52	7 34	14 05
	7 11 30 36.139	84.758	+ 2 19 09.51	-551.12	14 44.48	54 06.016	25.1	1 55	8 16	14 28
	8 12 15 30.192	78.813	– 1 22 32.10	-554.27	14 43.59	54 02.749	26.1	2 57	8 58	14 50
	9 13 00 39.162	87.785	– 5 01 44.73	-538.54	14 44.75	54 06.988	27.1	4 00	9 41	15 13
	10 13 46 35.522	84.150	– 8 30 40.73	-502.63	14 47.62	54 17.536	28.1	5 03	10 25	15 38
	11 14 33 46.380	95.013	-11 40 57.31	-445.02	14 51.89	54 33.215	29.1	6 07	11 10	16 07
	12 15 22 30.825	79.465	-14 23 39.86	-364.72	14 57.28	54 52.993	0.5	7 09	11 57	16 40
	13 16 12 57.006	105.655	-16 29 45.47	-262.18	15 03.57	55 16.080	1.5	8 10	12 46	17 18
	14 17 04 59.927	108.589	-17 50 47.13	-140.05	15 10.63	55 41.975	2.5	9 08	13 37	18 04
	15 17 58 21.544	70.218	-18 19 52.72	– 3.59	15 18.39	56 10.447	3.5	10 01	14 28	18 57
	16 18 52 34.464	83.151	-17 52 44.47	+139.71	15 26.83	56 41.427	4.5	10 47	15 21	19 57

KSIĘŻYC 2015, LISTOPAD – GRUDZIEŃ

Data	$0^h TT$						wiek	CSE w Warszawie			
	α_{app}^{CIO}	α_{app}^γ	δ_{app}	$V_\delta/1^h$	R	π		wsch.	górow.	zach.	
Listopad	16	18 ^h 52 ^m 34 ^s .464	83.151	-17°52'44".47	+139".71	15°26".83	56'41".427	4.5	10 ^h 47 ^m	15 ^h 21 ^m	19 ^h 57 ^m
	17	19 47 09.083	57.783	-16 28 21.16	+281.18	15 35.93	57 14.829	5.5	11 28	16 13	21 04
	18	20 41 41.910	90.620	-14 09 11.68	+412.17	15 45.59	57 50.301	6.5	12 04	17 05	22 15
	19	21 36 01.991	50.710	-11 01 03.59	+524.84	15 55.58	58 26.966	7.5	12 36	17 58	23 29
	20	22 30 13.390	62.115	- 7 12 41.71	+612.21	16 05.45	59 03.195	8.5	13 05	18 50	—
	21	23 24 33.535	82.265	- 2 55 32.57	+667.70	16 14.53	59 36.508	9.5	13 33	19 42	0 46
	22	0 19 28.383	77.116	+ 1 36 22.12	+684.98	16 21.94	60 03.695	10.5	14 02	20 36	2 04
	23	1 15 25.253	73.990	+ 6 06 35.78	+658.51	16 26.72	60 21.239	11.5	14 32	21 31	3 24
	24	2 12 43.845	92.589	+10 16 56.29	+585.42	16 28.02	60 26.021	12.5	15 06	22 28	4 44
	25	3 11 26.462	75.215	+13 48 59.21	+467.99	16 25.33	60 16.142	13.5	15 45	23 26	6 02
	26	4 11 10.427	59.193	+16 26 38.43	+315.63	16 18.63	59 51.554	14.5	16 30	—	7 16
	27	5 11 07.709	56.490	+17 58 57.57	+144.39	16 08.46	59 14.223	15.5	17 23	0 24	8 22
	28	6 10 15.227	64.024	+18 22 09.89	- 26.83	15 55.79	58 27.747	16.5	18 22	1 22	9 19
	29	7 07 32.845	81.657	+17 39 42.63	-181.64	15 41.85	57 36.587	17.5	19 25	2 17	10 07
	30	8 02 19.865	68.690	+16 00 24.31	-310.03	15 27.87	56 45.258	18.5	20 29	3 09	10 46
Grudzień	1	8 54 22.302	71.138	+13 35 39.33	-408.82	15 14.91	55 57.707	19.5	21 34	3 59	11 18
	2	9 43 50.528	99.372	+10 37 05.41	-479.62	15 03.82	55 16.985	20.5	22 39	4 45	11 46
	3	10 31 12.011	60.862	+ 7 15 12.62	-526.04	14 55.15	54 45.158	21.5	23 42	5 30	12 10
	4	11 17 03.868	52.725	+ 3 39 01.39	-551.67	14 49.21	54 23.381	22.5	—	6 13	12 33
	5	12 02 07.334	56.196	- 0 03 41.09	-558.92	14 46.12	54 12.019	23.5	0 45	6 55	12 55
	6	12 47 04.205	53.072	- 3 45 46.48	-548.58	14 45.78	54 10.782	24.5	1 48	7 37	13 17
	7	13 32 34.404	83.276	- 7 20 07.03	-519.95	14 47.98	54 18.838	25.5	2 51	8 21	13 41
	8	14 19 13.659	62.538	-10 39 02.98	-471.16	14 52.36	54 34.913	26.5	3 55	9 05	14 08
	9	15 07 30.520	79.408	-13 34 03.72	-400.00	14 58.48	54 57.397	27.5	4 58	9 51	14 39
	10	15 57 42.436	91.336	-15 55 51.92	-305.02	15 05.86	55 24.472	28.5	6 00	10 40	15 16
	11	16 49 51.568	100.480	-17 34 58.93	-186.95	15 13.98	55 54.263	29.5	7 01	11 31	15 59
	12	17 43 42.225	91.153	-18 22 53.37	- 49.99	15 22.36	56 25.020	0.6	7 57	12 23	16 50
	13	18 38 42.544	91.487	-18 13 30.38	+ 97.89	15 30.60	56 55.295	1.6	8 47	13 16	17 49
	14	19 34 11.802	60.760	-17 04 32.60	+246.01	15 38.44	57 24.062	2.6	9 30	14 10	18 55
	15	20 29 31.639	80.610	-14 58 10.03	+383.17	15 45.71	57 50.736	3.6	10 08	15 03	20 05
	16	21 24 16.612	65.594	-12 00 45.00	+499.84	15 52.34	58 15.082	4.6	10 41	15 55	21 18
	17	22 18 19.935	68.926	- 8 21 57.39	+589.14	15 58.32	58 37.005	5.6	11 11	16 47	22 33
	18	23 11 53.282	102.279	- 4 13 41.58	+646.59	16 03.57	58 56.299	6.6	11 38	17 38	23 49
	19	0 05 22.226	71.229	+ 0 10 39.16	+669.09	16 07.96	59 12.409	7.6	12 06	18 29	—
	20	0 59 19.379	68.388	+ 4 36 35.18	+654.14	16 11.20	59 24.311	8.6	12 34	19 22	1 06
	21	1 54 16.288	65.303	+ 8 48 42.79	+599.84	16 12.90	59 30.550	9.6	13 05	20 16	2 23
	22	2 50 34.391	83.416	+12 31 11.10	+506.10	16 12.62	59 29.496	10.6	13 40	21 12	3 40
	23	3 48 15.905	64.942	+15 28 47.72	+376.57	16 09.96	59 19.751	11.6	14 20	22 08	4 54
	24	4 46 57.517	106.569	+17 28 51.81	+220.40	16 04.75	59 00.615	12.6	15 08	23 06	6 03
	25	5 45 51.472	100.540	+18 23 28.61	+ 52.03	15 57.08	58 32.450	13.6	16 04	—	7 05
	26	6 43 56.693	105.778	+18 11 06.04	-111.80	15 47.36	57 56.790	14.6	17 05	0 02	7 57
	27	7 40 16.312	65.412	+16 56 36.03	-256.59	15 36.29	57 16.169	15.6	18 09	0 56	8 41
	28	8 34 12.864	61.977	+14 49 34.63	-373.49	15 24.73	56 33.726	16.6	19 16	1 48	9 17
	29	9 25 34.532	83.655	+12 01 53.35	-459.92	15 13.56	55 52.746	17.6	20 22	2 37	9 47
	30	10 14 32.588	81.719	+ 8 45 28.20	-517.69	15 03.62	55 16.258	18.6	21 27	3 23	10 14
	31	11 01 34.581	83.719	+ 5 11 02.75	-550.63	14 55.59	54 46.776	19.6	22 31	4 07	10 37
	32	11 47 17.470	66.614	+ 1 27 45.82	-562.55	14 49.97	54 26.165	20.6	23 34	4 50	11 00

Momenty wejścia Słońca w znaki Zodiaku w 2015 roku

Data TT		Znak Zodiaku	λ_{\odot}
Styczeń	20 ^d 9 ^h 7	Wodnik	300°
Luty	18 23.8	Ryby	330
Marzec	20 22.8	Baran	0
Kwiecień	20 9.7	Byk	30
Maj	21 8.7	Bliźnięta	60
Czerwiec	21 16.6	Rak	90

Data TT		Znak Zodiaku	λ_{\odot}
Lipiec	23 ^d 3 ^h 5	Lew	120°
Sierpień	23 10.6	Panna	150
Wrzesień	23 8.3	Waga	180
Paźdz.	23 17.8	Skorpion	210
Listopad	22 15.4	Strzelec	240
Grudzień	22 4.8	Koziorożec	270

Symboliczne oznaczenia Słońca, Księżyca i planet

☉ Słońce, ☽ Księżyca, ♀ Merkury, ♀ Wenus, ☿ Ziemia, ♂ Mars, ♄ Jowisz, ♃ Saturn, ☇ Uran, ☮ Neptun

Planety 2015, 0^h TT

Data	Merkury				Wenus				Mars			
	α_{app}^{CIO}	δ_{app}	π	R	α_{app}^{CIO}	δ_{app}	π	R	α_{app}^{CIO}	δ_{app}	π	R
I	19 42 ^m 54 ^s .1	-23°27'56"	6.9	2.6	19 ^h 55 ^m 21 ^s .3	-22°08'24"	5.4	5.2	21 ^h 34 ^m 28 ^s .9	-15°33'16"	4 ^h 5	2.4
	20 44 56.5	-19 19 01	8.2	3.1	20 47 38.1	-19 24 41	5.5	5.3	22 04 46.4	-12 50 06	4.4	2.3
	21 15 52.6	-14 42 37	10.8	4.1	21 37 47.0	-15 45 30	5.7	5.4	22 34 23.6	-9 55 01	4.3	2.3
	31 20 44 20.9	-14 24 19	13.4	5.1	22 25 48.8	-11 23 27	5.8	5.5	23 03 25.3	-6 51 32	4.2	2.2
II	10 20 11 27.0	-17 06 09	12.1	4.6	23 12 03.8	-6 31 39	6.0	5.7	23 31 57.4	-3 43 05	4.1	2.2
	20 27 03.6	-18 16 19	9.9	3.8	23 57 06.9	-1 22 55	6.2	5.8	0 00 08.4	-0 32 51	4.0	2.1
III	2 21 09 40.8	-17 10 18	8.4	3.2	0 41 37.4	+ 3 50 12	6.4	6.0	0 28 06.2	+ 2 36 02	3.9	2.1
	12 22 03 43.7	-13 50 57	7.5	2.9	1 26 14.3	+ 8 55 25	6.6	6.3	0 55 58.1	+ 5 40 34	3.9	2.1
	22 23 03 37.7	-8 25 27	6.9	2.6	2 11 35.3	+13 40 44	6.9	6.6	1 23 52.6	+ 8 38 06	3.8	2.0
IV	1 0 08 39.5	-1 03 49	6.6	2.5	2 58 07.2	+17 54 08	7.3	6.9	1 51 55.9	+11 26 00	3.7	2.0
	11 1 20 31.8	+ 7 47 54	6.6	2.5	3 46 00.4	+21 23 55	7.7	7.3	2 20 12.8	+14 01 51	3.7	2.0
	21 2 38 00.1	+16 35 19	7.3	2.8	4 35 06.5	+23 59 45	8.2	7.8	2 48 48.0	+16 23 30	3.6	1.9
V	1 3 47 46.4	+22 28 33	8.9	3.4	5 24 49.2	+25 33 49	8.8	8.3	3 17 42.7	+18 28 56	3.6	1.9
	11 4 33 08.9	+24 22 36	11.5	4.4	6 14 07.0	+26 02 10	9.5	9.0	3 46 56.3	+20 16 24	3.5	1.9
	21 4 45 09.5	+23 00 02	14.5	5.5	7 01 48.4	+25 25 53	10.4	9.9	4 16 27.0	+21 44 30	3.5	1.9
	31 4 28 59.8	+19 37 36	16.0	6.1	7 46 37.8	+23 51 10	11.5	10.9	4 46 09.2	+22 52 08	3.5	1.8
VI	10 4 13 15.8	+17 05 39	14.6	5.6	8 27 24.5	+21 28 22	12.9	12.2	5 15 56.2	+23 38 37	3.4	1.8
	20 4 22 43.1	+17 34 36	11.8	4.5	9 03 07.4	+18 30 36	14.6	13.8	5 45 40.9	+24 03 41	3.4	1.8
	30 5 01 33.5	+20 17 12	9.3	3.6	9 32 32.5	+15 13 35	16.8	15.9	6 15 13.7	+24 07 31	3.4	1.8
VII	10 6 08 47.4	+22 59 25	7.6	2.9	9 53 53.9	+11 55 36	19.6	18.6	6 44 26.1	+23 50 44	3.4	1.8
	20 7 37 19.8	+22 47 36	6.7	2.6	10 04 45.7	+ 8 58 57	23.0	21.8	7 13 11.2	+23 14 18	3.4	1.8
	30 9 04 52.4	+18 29 51	6.6	2.5	10 02 09.1	+ 6 53 05	26.7	25.4	7 41 21.6	+22 19 32	3.4	1.8
VIII	9 10 17 21.6	+11 53 01	6.9	2.6	9 45 21.5	+ 6 09 18	29.7	28.2	8 08 53.3	+21 07 57	3.4	1.8
	19 11 15 48.7	+ 4 43 36	7.5	2.9	9 21 11.9	+ 6 55 06	30.4	28.8	8 35 44.2	+19 41 17	3.5	1.8
	29 12 02 56.6	- 1 57 49	8.5	3.2	9 02 42.4	+ 8 31 35	28.2	26.7	9 01 52.4	+18 01 21	3.5	1.9
IX	8 12 37 41.6	- 7 19 55	9.9	3.8	8 58 52.0	+10 01 22	24.6	23.4	9 27 19.3	+16 09 59	3.5	1.9
	18 12 51 41.9	- 9 53 49	11.9	4.5	9 09 57.7	+10 49 11	21.1	20.0	9 52 07.4	+14 09 01	3.6	1.9
	28 12 31 05.1	- 6 51 51	13.5	5.2	9 32 16.8	+10 42 18	18.2	17.2	10 16 18.7	+12 00 18	3.7	1.9
X	8 12 03 18.8	- 0 28 50	11.6	4.4	10 02 11.5	+ 9 38 25	15.8	15.0	10 39 57.8	+ 9 45 33	3.7	2.0
	18 12 25 54.3	- 0 48 56	8.6	3.3	10 36 54.7	+ 7 41 11	13.9	13.2	11 03 08.6	+ 7 26 30	3.8	2.0
	28 13 20 32.8	- 6 34 32	7.0	2.7	11 14 36.4	+ 4 57 54	12.5	11.8	11 25 54.5	+ 5 04 52	3.9	2.1
XI	7 14 22 04.4	-13 12 35	6.3	2.4	11 54 17.7	+ 1 37 50	11.3	10.7	11 48 20.2	+ 2 42 10	4.1	2.2
	17 15 25 16.4	-18 55 45	6.1	2.3	12 35 28.9	- 2 07 45	10.3	9.7	12 10 29.0	+ 0 20 00	4.2	2.2
	27 16 30 29.3	-23 06 17	6.1	2.3	13 18 02.9	- 6 06 31	9.5	9.0	12 32 23.1	- 2 00 04	4.4	2.3
XII	7 17 37 57.9	-25 20 24	6.4	2.4	14 02 10.8	-10 05 45	8.8	8.3	12 54 05.5	- 4 16 39	4.6	2.4
	17 18 45 40.4	-25 16 58	7.0	2.7	14 48 06.1	-13 51 55	8.2	7.8	13 15 36.3	- 6 28 17	4.8	2.6
	27 19 45 30.6	-22 51 10	8.4	3.2	15 36 00.0	-17 11 22	7.8	7.4	13 36 54.6	- 8 33 36	5.1	2.7

Planety 2015, 0^h TT

Data		JOWISZ				SATURN			
		α_{app}^{CIO}	δ_{app}	π	R	α_{app}^{CIO}	δ_{app}	π	R
I	1	9 ³⁶ 53 ^s 3	+15°03'36"	1.9	20''3	15 ⁵⁵ 47 ^s 7	-18°26'20"	0''8	6''9
	21	9 29 13.3	+15 45 15	2.0	21.0	16 03 22.6	-18 46 10	0.8	7.1
II	10	9 19 03.0	+16 35 52	2.0	21.2	16 09 00.4	-18 58 45	0.9	7.3
	22	9 09 15.4	+17 20 56	2.0	20.8	16 12 10.4	-19 03 50	0.9	7.5
III	2	9 02 34.4	+17 49 18	1.9	19.9	16 12 34.9	-19 01 36	0.9	7.8
	22	9 00 35.5	+17 56 12	1.8	18.8	16 10 15.8	-18 52 50	1.0	8.0
IV	11	9 03 35.3	+17 41 40	1.7	17.7	16 05 42.2	-18 38 58	1.0	8.2
	21	9 10 59.8	+17 07 41	1.6	16.7	15 59 48.9	-18 22 24	1.0	8.2
VI	10	9 21 54.6	+16 16 44	1.5	15.8	15 53 47.4	-18 06 24	1.0	8.2
	30	9 35 23.0	+15 11 18	1.4	15.2	15 48 48.8	-17 54 27	1.0	8.0
VII	20	9 50 34.4	+13 54 00	1.4	14.7	15 45 48.8	-17 49 26	0.9	7.8
VIII	9	10 06 45.5	+12 27 42	1.4	14.5	15 45 18.8	-17 52 49	0.9	7.6
	29	10 23 18.7	+10 55 38	1.4	14.4	15 47 26.7	-18 04 34	0.9	7.3
IX	18	10 39 39.0	+ 9 21 30	1.4	14.5	15 52 02.5	-18 23 22	0.8	7.1
X	8	10 55 11.5	+ 7 49 41	1.4	14.8	15 58 44.9	-18 47 08	0.8	6.9
	28	11 09 18.1	+ 6 25 10	1.5	15.3	16 07 05.4	-19 13 25	0.8	6.8
XI	17	11 21 15.6	+ 5 13 37	1.5	16.0	16 16 30.7	-19 39 49	0.8	6.7
XII	7	11 30 14.5	+ 4 21 10	1.6	16.9	16 26 24.6	-20 04 14	0.8	6.7
	27	11 35 23.9	+ 3 53 44	1.7	18.0	16 36 08.7	-20 25 05	0.8	6.8
Data		URAN				NEPTUN			
		α_{app}^{CIO}	δ_{app}	π	R	α_{app}^{CIO}	δ_{app}	π	R
I	1	0 ⁴⁶ 40 ^s 2	+ 4°22'22"	0.4	1''.8	22 ²⁹ 07.1	-10°13'03"	0''3	1''.1
	21	0 47 54.7	+ 4 31 04	0.4	1.7	22 31 16.7	-10 00 14	0.3	1.1
II	10	0 50 18.3	+ 4 46 53	0.4	1.7	22 33 54.3	- 9 44 46	0.3	1.1
	22	0 53 37.1	+ 5 08 16	0.4	1.7	22 36 44.6	- 9 28 06	0.3	1.1
III	2	0 57 32.9	+ 5 33 11	0.4	1.7	22 39 32.2	- 9 11 48	0.3	1.1
	22	1 01 45.6	+ 5 59 30	0.4	1.7	22 42 01.9	- 8 57 20	0.3	1.1
IV	1	1 05 54.6	+ 6 25 04	0.4	1.7	22 44 01.0	- 8 46 01	0.3	1.1
	21	1 09 40.2	+ 6 47 51	0.4	1.7	22 45 19.1	- 8 38 52	0.3	1.1
VI	10	1 12 44.4	+ 7 06 09	0.4	1.7	22 45 50.3	- 8 36 29	0.3	1.1
	30	1 14 52.0	+ 7 18 31	0.4	1.7	22 45 32.9	- 8 38 58	0.3	1.1
VII	20	1 15 52.1	+ 7 24 00	0.4	1.8	22 44 30.9	- 8 45 53	0.3	1.1
VIII	9	1 15 40.0	+ 7 22 13	0.5	1.8	22 42 53.5	- 8 56 11	0.3	1.2
	29	1 14 18.7	+ 7 13 34	0.5	1.8	22 40 55.0	- 9 08 23	0.3	1.2
IX	18	1 12 00.8	+ 6 59 20	0.5	1.8	22 38 53.0	- 9 20 39	0.3	1.2
X	8	1 09 08.0	+ 6 41 43	0.5	1.8	22 37 06.3	- 9 31 10	0.3	1.1
	28	1 06 08.6	+ 6 23 38	0.5	1.8	22 35 51.7	- 9 38 17	0.3	1.1
XI	17	1 03 33.1	+ 6 08 10	0.5	1.8	22 35 21.6	- 9 40 54	0.3	1.1
	7	1 01 48.2	+ 5 58 03	0.5	1.8	22 35 42.4	- 9 38 26	0.3	1.1
XII	27	1 01 12.1	+ 5 55 09	0.4	1.8	22 36 53.8	- 9 31 01	0.3	1.1

Fazy Księżyca 2015 w TT

Razy Księżyca 2013 w T1						
Miesiąc	Pelnia	III kwadra	Nów (lunacja)	I kwadra	Pełnia	
Styczeń	05 ^d 04 ^h 55 ^m	13 09 47 ^m	20 13 15 ^m (1139)	27 04 49 ^m	^d —	^h —
Luty	03 23 10	12 03 51	18 23 48 (1140)	25 17 15	—	—
Marzec	05 18 06	13 17 49	20 09 37 (1141)	27 07 44	—	—
Kwiecień	04 12 06	12 03 46	18 18 58 (1142)	25 23 56	—	—
Maj	04 03 43	11 10 37	18 04 14 (1143)	25 17 20	—	—
Czerwiec	02 16 20	09 15 42	16 14 07 (1144)	24 11 03	—	—
Lipiec	02 02 21	08 20 25	16 01 26 (1145)	24 04 05	31 10 44	
Sierpień	—	07 02 04	14 14 54 (1146)	22 19 32	29 18 36	
Wrzesień	—	05 09 55	13 06 42 (1147)	21 09 01	28 02 51	
Paźdz.	—	04 21 08	13 00 06 (1148)	20 20 33	27 12 06	
Listopad	—	03 12 25	11 17 48 (1149)	19 06 28	25 22 45	
Grudzień	—	03 07 41	11 10 31 (1150)	18 15 15	25 11 13	

Perigeum Księżyca 2015

w ***TT***

Apogeum Księżyca 2015

Styczeń	21 ^d 20 ^h	Sierpień	2 ^d 10 ^h	Styczeń	9 ^d 18 ^h	Lipiec	21 ^d 11 ^h
Luty	19 07	Sierpień	30 15	Luty	6 06	Sierpień	18 03
Marzec	19 20	Wrzesień	28 02	Marzec	5 08	Wrzesień	14 11
Kwiecień	17 04	Paźdz.	26 13	Kwiecień	1 13	Paźdz.	11 13
Maj	15 00	Listopad	23 20	Kwiecień	29 04	Listopad	7 22
Czerwiec	10 05	Grudzień	21 09	Maj	26 22	Grudzień	5 15
Lipiec	5 19			Czerwiec	23 17		

Tablice do obliczania czasu wschodu i zachodu (w CSE) Słońca poza Warszawą

Data	φ	wschód							zachód						
		49°	50°	51°	52°	53°	54°	55°	49°	50°	51°	52°	53°	54°	55°
I	1	-15 ^m 2	-10 ^m 7	-6 ^m 1	-1 ^m 1	+4.1	+ 9.6	+15 ^m 6	+15 ^m 2	+10 ^m 7	+6 ^m 1	+1 ^m 1	-4 ^m 1	- 9.6	-15 ^m 5
	11	-14.0	- 9.9	-5.6	-1.0	+3.8	+ 8.9	+14.3	+14.0	+ 9.9	+5.6	+1.0	-3.8	- 8.8	-14.3
	21	-12.3	- 8.7	-4.9	-0.9	+3.3	+ 7.8	+12.5	+12.3	+ 8.7	+4.9	+0.9	-3.3	- 7.7	-12.4
	31	-10.3	- 7.3	-4.1	-0.8	+2.8	+ 6.5	+10.4	+10.3	+ 7.2	+4.1	+0.8	-2.7	- 6.4	-10.3
II	10	- 8.2	- 5.8	-3.2	-0.6	+2.2	+ 5.1	+ 8.2	+ 8.1	+ 5.7	+3.2	+0.6	-2.1	- 5.0	- 8.1
	20	- 6.0	- 4.2	-2.4	-0.4	+1.6	+ 3.7	+ 5.9	+ 5.9	+ 4.1	+2.3	+0.4	-1.5	- 3.6	- 5.8
	22	- 3.7	- 2.6	-1.5	-0.3	+1.0	+ 2.3	+ 3.7	+ 3.6	+ 2.6	+1.4	+0.3	-1.0	- 2.2	- 3.6
III	12	- 1.5	- 1.1	-0.6	-0.1	+0.4	+ 0.9	+ 1.5	+ 1.4	+ 1.0	+0.6	+0.1	-0.4	- 0.9	- 1.4
	22	+ 0.7	+ 0.5	+0.3	+0.1	-0.2	- 0.4	- 0.7	- 0.8	- 0.6	-0.3	-0.1	+0.2	+ 0.5	+ 0.8
	IV	1	+ 2.9	+ 2.0	+1.2	+0.2	-0.8	- 1.8	- 2.9	- 3.0	- 2.1	-1.2	-0.2	+0.8	+ 1.9
V	11	+ 5.1	+ 3.6	+2.0	+0.4	-1.4	- 3.2	- 5.1	- 5.3	- 3.7	-2.1	-0.4	+1.4	+ 3.3	+ 5.2
	21	+ 7.4	+ 5.2	+2.9	+0.5	-2.0	- 4.6	- 7.3	- 7.5	- 5.3	-3.0	-0.6	+2.0	+ 4.7	+ 7.5
	1	+ 9.6	+ 6.8	+3.8	+0.7	-2.6	- 6.0	- 9.6	- 9.7	- 6.9	-3.9	-0.7	+2.6	+ 6.1	+ 9.8
	11	+11.8	+ 8.3	+4.7	+0.9	-3.1	- 7.4	-11.9	-11.9	- 8.4	-4.7	-0.9	+3.2	+ 7.5	+12.1
	21	+13.8	+ 9.8	+5.5	+1.0	-3.7	- 8.8	-14.1	-13.9	- 9.9	-5.6	-1.0	+3.7	+ 8.8	+14.3
VI	31	+15.5	+11.0	+6.2	+1.2	-4.2	- 9.9	-16.0	-15.6	-11.1	-6.3	-1.2	+4.2	+10.0	+16.1
	10	+16.7	+11.8	+6.7	+1.3	-4.5	-10.7	-17.4	-16.8	-11.9	-6.7	-1.3	+4.6	+10.8	+17.5
	20	+17.2	+12.2	+6.9	+1.3	-4.7	-11.1	-18.0	-17.2	-12.2	-6.9	-1.3	+4.7	+11.1	+18.0
	30	+16.9	+12.0	+6.8	+1.3	-4.6	-10.9	-17.7	-16.9	-12.0	-6.8	-1.3	+4.6	+10.9	+17.6
VII	10	+15.9	+11.3	+6.4	+1.2	-4.3	-10.2	-16.5	-15.8	-11.2	-6.4	-1.2	+4.3	+10.1	+16.4
	20	+14.4	+10.2	+5.7	+1.1	-3.9	- 9.1	-14.7	-14.2	-10.1	-5.7	-1.1	+3.8	+ 9.1	+14.6
VIII	30	+12.4	+ 8.8	+5.0	+0.9	-3.3	- 7.8	-12.6	-12.3	- 8.7	-4.9	-0.9	+3.3	+ 7.8	+12.5
	9	+10.3	+ 7.3	+4.1	+0.8	-2.7	- 6.4	-10.4	-10.2	- 7.2	-4.0	-0.8	+2.7	+ 6.4	+10.2
	19	+ 8.1	+ 5.7	+3.2	+0.6	-2.1	- 5.0	- 8.1	- 8.0	- 5.6	-3.2	-0.6	+2.1	+ 5.0	+ 8.0
	29	+ 5.9	+ 4.1	+2.3	+0.4	-1.6	- 3.6	- 5.8	- 5.7	- 4.1	-2.3	-0.4	+1.5	+ 3.6	+ 5.7
	IX	8	+ 3.7	+ 2.6	+1.5	+0.3	-1.0	- 2.3	- 3.6	- 3.6	- 2.5	-1.4	-0.3	+0.9	+ 2.2
X	18	+ 1.5	+ 1.0	+0.6	+0.1	-0.4	- 0.9	- 1.5	- 1.4	- 1.0	-0.5	-0.1	+0.4	+ 0.8	+ 1.4
	28	- 0.7	- 0.5	-0.3	-0.1	+0.2	+ 0.4	+ 0.7	+ 0.8	+ 0.6	+0.3	+0.1	-0.2	- 0.5	- 0.8
	8	- 2.9	- 2.0	-1.1	-0.2	+0.8	+ 1.8	+ 2.8	+ 3.0	+ 2.1	+1.2	+0.2	-0.8	- 1.8	- 2.9
	18	- 5.1	- 3.6	-2.0	-0.4	+1.3	+ 3.1	+ 5.0	+ 5.2	+ 3.7	+2.1	+0.4	-1.4	- 3.2	- 5.1
XI	28	- 7.3	- 5.1	-2.9	-0.5	+1.9	+ 4.5	+ 7.2	+ 7.4	+ 5.2	+2.9	+0.5	-2.0	- 4.6	- 7.3
	7	- 9.5	- 6.7	-3.8	-0.7	+2.5	+ 5.9	+ 9.5	+ 9.6	+ 6.7	+3.8	+0.7	-2.5	- 6.0	- 9.6
	17	-11.5	- 8.2	-4.6	-0.9	+3.1	+ 7.2	+11.6	+11.6	+ 8.2	+4.6	+0.9	-3.1	- 7.3	-11.7
	27	-13.4	- 9.5	-5.3	-1.0	+3.6	+ 8.4	+13.6	+13.4	+ 9.5	+5.4	+1.0	-3.6	- 8.5	-13.7
XII	7	-14.8	-10.5	-5.9	-1.1	+4.0	+ 9.4	+15.1	+14.8	+10.5	+5.9	+1.1	-4.0	- 9.4	-15.2
	17	-15.5	-11.0	-6.2	-1.2	+4.2	+ 9.9	+16.0	+15.5	+11.0	+6.2	+1.2	-4.2	- 9.9	-16.0
	27	-15.5	-11.0	-6.2	-1.2	+4.2	+ 9.9	+15.9	+15.5	+11.0	+6.2	+1.2	-4.2	- 9.9	-15.9
	37	-14.7	-10.4	-5.9	-1.1	+4.0	+ 9.3	+15.1	+14.7	+10.4	+5.9	+1.1	-3.9	- 9.3	-15.0

Uwaga: oprócz poprawki z tej tablicy, należy odjąć różnicę długości geograficznej $\lambda_i - \lambda_{W-wa}$.

Tablice do obliczania czasu wschodu i zachodu (w CSE) Księżyca poza Warszawą

τ	Szerokość geograficzna φ						
	+49°	+50°	+51°	+52°	+53°	+54°	+55°
3 ^h 00 ^m	-24.8	-17.7	-10.1	-1.9	+7.0	+16.8	+27.6
10	-23.0	-16.4	-9.3	-1.8	+6.4	+15.3	+25.1
20	-21.3	-15.1	-8.6	-1.6	+5.9	+14.0	+22.9
30	-19.6	-14.0	-7.9	-1.5	+5.4	+12.8	+20.8
40	-18.1	-12.8	-7.3	-1.4	+4.9	+11.7	+19.0
3 50	-16.6	-11.8	-6.7	-1.3	+4.5	+10.7	+17.3
4 00	-15.2	-10.8	-6.1	-1.1	+4.1	+9.7	+15.7
10	-13.9	-9.8	-5.5	-1.0	+3.7	+8.8	+14.2
20	-12.6	-8.9	-5.0	-0.9	+3.4	+7.9	+12.8
30	-11.3	-8.0	-4.5	-0.8	+3.0	+7.1	+11.4
40	-10.1	-7.1	-4.0	-0.8	+2.7	+6.3	+10.2
4 50	-8.9	-6.3	-3.6	-0.7	+2.4	+5.6	+8.9
5 00	-7.8	-5.5	-3.1	-0.6	+2.1	+4.8	+7.8
10	-6.7	-4.7	-2.6	-0.5	+1.8	+4.1	+6.6
20	-5.6	-3.9	-2.2	-0.4	+1.5	+3.4	+5.5
30	-4.5	-3.2	-1.8	-0.3	+1.2	+2.8	+4.4
40	-3.4	-2.4	-1.4	-0.3	+0.9	+2.1	+3.4
5 50	-2.4	-1.7	-0.9	-0.2	+0.6	+1.5	+2.3
6 00	-1.3	-0.9	-0.5	-0.1	+0.3	+0.8	+1.3
10	-0.3	-0.2	-0.1	0.0	+0.1	+0.2	+0.3
20	+0.8	+0.6	+0.3	+0.1	-0.2	-0.5	-0.8
30	+1.8	+1.3	+0.7	+0.1	-0.5	-1.1	-1.8
40	+2.9	+2.0	+1.1	+0.2	-0.8	-1.8	-2.9
6 50	+4.0	+2.8	+1.6	+0.3	-1.0	-2.4	-3.9
7 00	+5.0	+3.5	+2.0	+0.4	-1.3	-3.1	-5.0
10	+6.1	+4.3	+2.4	+0.5	-1.6	-3.8	-6.1
20	+7.2	+5.1	+2.9	+0.5	-1.9	-4.5	-7.2
30	+8.4	+5.9	+3.3	+0.6	-2.2	-5.2	-8.4
40	+9.5	+6.7	+3.8	+0.7	-2.5	-5.9	-9.6
7 50	+10.7	+7.6	+4.3	+0.8	-2.9	-6.7	-10.8
8 00	+12.0	+8.4	+4.8	+0.9	-3.2	-7.5	-12.1
10	+13.2	+9.4	+5.3	+1.0	-3.5	-8.4	-13.5
20	+14.5	+10.3	+5.8	+1.1	-3.9	-9.2	-14.9
30	+15.9	+11.3	+6.4	+1.2	-4.3	-10.2	-16.4
40	+17.4	+12.3	+7.0	+1.3	-4.7	-11.2	-18.1
8 50	+18.9	+13.4	+7.6	+1.4	-5.2	-12.2	-19.9
9 00	+20.4	+14.5	+8.3	+1.6	-5.6	-13.4	-21.8
10	+22.1	+15.8	+9.0	+1.7	-6.2	-14.7	-24.0
20	+23.9	+17.1	+9.7	+1.8	-6.7	-16.0	-26.3
9 30	+25.8	+18.4	+10.5	+2.0	-7.3	-17.6	-29.0

τ odstęp czasu między górowaniem a wschodem lub zachodem a górowaniem Księżyca.

Znaki tablic odnoszą się do wschodu. Dla zachodu należy zmienić znaki na przeciwe.

Uwaga: oprócz poprawki z tej tablicy, należy odjąć różnicę długości geograficznej $\lambda_i - \lambda_{W-wa}$.

Poprawki do obliczeń momentów początku i końca zmierzchu cywilnego w Warszawie

Miesiąc Dzień	I	II	III	IV	V	VI	VII	VIII	IX	X	XI	XII	Miesiąc Dzień
1	51 ^m	46 ^m	43 ^m	43 ^m	49 ^m	61 ^m	63 ^m	53 ^m	45 ^m	42 ^m	45 ^m	50 ^m	1
11	49	45	42	45	53	63	60	50	44	43	46	51	11
21	48	43	43	47	57	65	57	47	43	43	48	51	21

początek brzasku = wschód Słońca – poprawka

koniec zmierzchu = zachód Słońca + poprawka

Wschód i zachód Słońca w 2015 roku w niektórych miastach Polski
w CSE

Data	Białystok wsch. zach.	Bydgoszcz wsch. zach.	Gdańsk wsch. zach.	Katowice wsch. zach.	Kielce wsch. zach.	Koszalin wsch. zach.	Kraków wsch. zach.	Lublin wsch. zach.
I	4 7 41 ^m 15 24 ^m	8 01 ^m 15 44 ^m	8 06 ^m 15 35 ^m	7 43 ^m 15 54 ^m	7 40 ^m 15 45 ^m	8 15 ^m 15 46 ^m	7 39 ^m 15 52 ^m	7 34 ^m 15 36 ^m
	11 7 37 15 33	7 58 15 54	8 02 15 45	7 41 16 03	7 37 15 54	8 11 15 56	7 36 16 00	7 31 15 45
	18 7 31 15 45	7 52 16 05	7 55 15 57	7 35 16 13	7 31 16 05	8 04 16 08	7 31 16 11	7 25 15 55
	25 7 23 15 57	7 43 16 18	7 46 16 10	7 28 16 25	7 24 16 16	7 55 16 21	7 24 16 22	7 18 16 07
II	1 7 12 16 11	7 32 16 31	7 34 16 24	7 19 16 37	7 14 16 28	7 44 16 35	7 15 16 34	7 08 16 19
	8 7 00 16 24	7 20 16 45	7 21 16 38	7 08 16 49	7 03 16 41	7 31 16 49	7 04 16 46	6 57 16 32
	15 6 46 16 38	7 07 16 58	7 07 16 53	6 56 17 01	6 51 16 53	7 16 17 03	6 52 16 58	6 44 16 45
	22 6 31 16 51	6 52 17 12	6 52 17 07	6 43 17 13	6 37 17 06	7 01 17 17	6 39 17 10	6 30 16 57
III	1 6 16 17 05	6 36 17 25	6 35 17 21	6 28 17 25	6 23 17 18	6 45 17 31	6 25 17 22	6 16 17 10
	8 6 00 17 18	6 20 17 39	6 19 17 35	6 14 17 37	6 08 17 30	6 28 17 45	6 10 17 33	6 00 17 22
	15 5 43 17 31	6 04 17 51	6 01 17 48	5 59 17 48	5 52 17 41	6 11 17 58	5 55 17 44	5 45 17 34
	22 5 26 17 44	5 47 18 04	5 44 18 02	5 43 17 59	5 37 17 53	5 54 18 12	5 40 17 56	5 29 17 45
IV	29 5 10 17 56	5 30 18 17	5 26 18 15	5 28 18 11	5 21 18 05	5 36 18 25	5 24 18 07	5 13 17 57
	5 4 53 18 09	5 13 18 29	5 09 18 28	5 13 18 22	5 06 18 16	5 19 18 38	5 09 18 18	4 58 18 09
	12 4 36 18 21	4 57 18 42	4 52 18 42	4 58 18 33	4 50 18 27	5 02 18 51	4 55 18 29	4 42 18 20
	19 4 21 18 34	4 41 18 54	4 35 18 55	4 43 18 44	4 36 18 39	4 46 19 04	4 40 18 40	4 27 18 32
V	26 4 05 18 46	4 26 19 07	4 20 19 08	4 30 18 55	4 22 18 50	4 30 19 18	4 27 18 51	4 13 18 43
	3 3 51 18 59	4 12 19 19	4 05 19 21	4 17 19 06	4 09 19 01	4 15 19 31	4 14 19 01	4 00 18 55
	10 3 38 19 11	3 58 19 31	3 51 19 34	4 05 19 16	3 57 19 12	4 01 19 43	4 02 19 12	3 48 19 06
	17 3 26 19 22	3 47 19 43	3 38 19 46	3 55 19 27	3 46 19 23	3 49 19 55	3 52 19 22	3 37 19 16
VI	24 3 16 19 33	3 37 19 54	3 28 19 58	3 46 19 36	3 37 19 32	3 39 20 06	3 44 19 31	3 28 19 26
	31 3 09 19 42	3 29 20 03	3 20 20 07	3 40 19 44	3 30 19 40	3 30 20 16	3 37 19 39	3 21 19 35
	7 3 03 19 50	3 24 20 10	3 14 20 15	3 35 19 51	3 26 19 47	3 25 20 24	3 33 19 46	3 16 19 42
	14 3 00 19 55	3 21 20 16	3 11 20 21	3 33 19 55	3 23 19 52	3 22 20 30	3 30 19 51	3 14 19 46
VII	21 3 00 19 58	3 21 20 18	3 10 20 24	3 33 19 58	3 24 19 55	3 21 20 33	3 31 19 53	3 14 19 49
	28 3 03 19 58	3 24 20 19	3 13 20 24	3 36 19 58	3 26 19 55	3 24 20 33	3 33 19 54	3 16 19 49
	5 3 08 19 55	3 29 20 16	3 18 20 21	3 40 19 56	3 31 19 53	3 29 20 30	3 38 19 52	3 21 19 47
	12 3 15 19 50	3 36 20 11	3 26 20 15	3 47 19 52	3 37 19 48	3 37 20 24	3 44 19 47	3 28 19 42
VIII	19 3 24 19 42	3 45 20 03	3 36 20 07	3 54 19 45	3 45 19 41	3 46 20 16	3 52 19 41	3 36 19 36
	26 3 34 19 33	3 55 19 53	3 46 19 56	4 03 19 37	3 54 19 33	3 57 20 05	4 01 19 32	3 45 19 27
	2 3 45 19 21	4 06 19 41	3 58 19 44	4 13 19 26	4 04 19 22	4 09 19 53	4 10 19 22	3 55 19 16
	9 3 57 19 08	4 18 19 28	4 10 19 30	4 23 19 15	4 15 19 10	4 21 19 39	4 20 19 10	4 06 19 04
IX	16 4 09 18 53	4 30 19 14	4 23 19 15	4 34 19 02	4 26 18 57	4 33 19 25	4 31 18 58	4 17 18 50
	23 4 21 18 38	4 42 18 59	4 36 18 59	4 44 18 48	4 36 18 43	4 46 19 09	4 41 18 44	4 28 18 36
	30 4 33 18 22	4 54 18 43	4 48 18 43	4 55 18 33	4 47 18 28	4 59 18 52	4 51 18 29	4 39 18 21
	6 4 45 18 06	5 06 18 26	5 01 18 25	5 05 18 18	4 58 18 13	5 11 18 35	5 02 18 15	4 50 18 06
X	13 4 57 17 49	5 18 18 09	5 14 18 08	5 16 18 03	5 09 17 57	5 24 18 18	5 12 17 59	5 01 17 50
	20 5 09 17 32	5 30 17 52	5 26 17 50	5 26 17 48	5 20 17 41	5 36 18 00	5 23 17 44	5 12 17 34
	27 5 21 17 15	5 42 17 36	5 39 17 33	5 37 17 32	5 31 17 25	5 49 17 43	5 33 17 28	5 23 17 18
	4 5 33 16 58	5 54 17 19	5 52 17 15	5 48 17 17	5 42 17 10	6 02 17 25	5 44 17 13	5 34 17 02
XI	11 5 46 16 42	6 06 17 02	6 05 16 58	5 59 17 02	5 53 16 55	6 15 17 08	5 55 16 58	5 46 16 46
	18 5 58 16 26	6 19 16 47	6 19 16 42	6 10 16 47	6 05 16 40	6 28 16 52	6 06 16 44	5 58 16 32
	25 6 11 16 11	6 32 16 31	6 32 16 26	6 22 16 34	6 17 16 26	6 42 16 36	6 18 16 30	6 10 16 17
	1 6 25 15 57	6 45 16 17	6 46 16 11	6 33 16 21	6 29 16 13	6 56 16 21	6 29 16 18	6 22 16 04
XII	8 6 38 15 44	6 58 16 04	7 00 15 57	6 45 16 09	6 41 16 01	7 09 16 08	6 41 16 06	6 34 15 52
	15 6 51 15 33	7 11 15 53	7 14 15 45	6 57 16 00	6 52 15 51	7 23 15 56	6 52 15 57	6 46 15 42
	22 7 03 15 23	7 24 15 44	7 27 15 35	7 08 15 51	7 04 15 43	7 36 15 46	7 04 15 49	6 58 15 34
	29 7 15 15 16	7 35 15 37	7 39 15 28	7 18 15 45	7 14 15 36	7 48 15 39	7 14 15 43	7 08 15 27
XIII	6 7 25 15 11	7 45 15 32	7 49 15 23	7 28 15 42	7 24 15 33	7 58 15 34	7 23 15 39	7 18 15 23
	13 7 33 15 10	7 53 15 30	7 58 15 21	7 35 15 41	7 31 15 31	8 07 15 32	7 30 15 38	7 25 15 22
	20 7 39 15 11	7 59 15 32	8 04 15 22	7 40 15 42	7 37 15 33	8 13 15 33	7 36 15 40	7 31 15 23
	27 7 41 15 15	8 02 15 36	8 06 15 26	7 43 15 47	7 40 15 37	8 15 15 37	7 39 15 44	7 34 15 28

**Wschód i zachód Słońca w 2015 roku w niektórych miastach Polski
w CSE**

Data	Łódź		Olsztyn		Opole		Poznań		Rzeszów		Szczecin		Wrocław		Zielona Góra	
	wsch.	zach.	wsch.													
I 4	7 ^h 49 ^m	15 ^h 46 ^m	7 ^h 55 ^m	15 ^h 31 ^m	7 ^h 49 ^m	15 ^h 57 ^m	8 ^h 02 ^m	15 ^h 53 ^m	7 ^h 30 ^m	15 ^h 43 ^m	8 ^h 17 ^m	15 ^h 57 ^m	7 ^h 55 ^m	15 ^h 58 ^m	8 ^h 05 ^m	16 ^h 01 ^m
11	7 45	15 55	7 51	15 41	7 47	16 06	7 59	16 02	7 28	15 52	8 13	16 06	7 52	16 07	8 02	16 10
18	7 40	16 06	7 45	15 52	7 41	16 16	7 53	16 13	7 23	16 02	8 07	16 18	7 47	16 18	7 56	16 21
25	7 32	16 18	7 36	16 05	7 34	16 28	7 44	16 25	7 15	16 14	7 58	16 31	7 39	16 30	7 48	16 33
II 1	7 22	16 30	7 25	16 19	7 24	16 40	7 34	16 38	7 06	16 25	7 47	16 44	7 30	16 42	7 38	16 45
	8 7 10	16 43	7 12	16 33	7 13	16 52	7 22	16 51	6 55	16 37	7 35	16 58	7 18	16 54	7 27	16 58
	15 6 57	16 56	6 58	16 47	7 01	17 04	7 09	17 05	6 43	16 50	7 21	17 12	7 06	17 07	7 14	17 11
	22 6 43	17 09	6 43	17 01	6 48	17 17	6 55	17 18	6 30	17 02	7 06	17 25	6 52	17 20	7 00	17 24
III 1	6 29	17 21	6 27	17 15	6 33	17 29	6 40	17 31	6 16	17 13	6 50	17 39	6 37	17 32	6 45	17 37
	8 6 13	17 34	6 11	17 28	6 18	17 41	6 24	17 43	6 02	17 25	6 34	17 52	6 22	17 44	6 29	17 49
	15 5 57	17 46	5 54	17 41	6 03	17 52	6 08	17 56	5 47	17 36	6 17	18 05	6 07	17 56	6 13	18 02
	22 5 41	17 58	5 37	17 54	5 48	18 04	5 51	18 08	5 32	17 47	6 01	18 18	5 51	18 08	5 57	18 14
IV 5	5 25	18 10	5 20	18 07	5 32	18 15	5 35	18 21	5 16	17 58	5 44	18 31	5 35	18 19	5 41	18 26
	5 5 09	18 22	5 03	18 20	5 17	18 26	5 19	18 33	5 01	18 09	5 27	18 44	5 20	18 31	5 25	18 38
	12 4 54	18 34	4 46	18 33	5 02	18 38	5 03	18 45	4 46	18 20	5 10	18 56	5 04	18 42	5 09	18 50
	19 4 38	18 45	4 30	18 46	4 47	18 49	4 47	18 57	4 32	18 31	4 54	19 09	4 50	18 54	4 54	19 02
V 3	4 24	18 57	4 14	18 59	4 33	19 00	4 32	19 09	4 18	18 42	4 39	19 22	4 35	19 05	4 39	19 14
	10 3 58	19 20	3 46	19 24	4 08	19 22	4 06	19 33	3 54	19 04	4 11	19 46	4 10	19 27	4 13	19 37
	17 3 47	19 31	3 34	19 36	3 58	19 32	3 54	19 44	3 44	19 14	3 59	19 58	3 59	19 38	4 02	19 48
	24 3 38	19 41	3 24	19 47	3 49	19 42	3 45	19 54	3 35	19 23	3 49	20 09	3 51	19 48	3 53	19 58
VI 7	3 31	19 50	3 16	19 57	3 42	19 50	3 37	20 03	3 29	19 31	3 41	20 18	3 44	19 56	3 46	20 06
	14 3 26	19 57	3 10	20 04	3 38	19 57	3 32	20 10	3 24	19 38	3 36	20 26	3 39	20 03	3 41	20 14
	21 3 23	20 02	3 07	20 10	3 35	20 02	3 30	20 16	3 22	19 42	3 33	20 31	3 36	20 08	3 38	20 19
	28 3 23	20 04	3 07	20 13	3 35	20 05	3 30	20 18	3 22	19 45	3 33	20 34	3 37	20 11	3 38	20 21
VII 5	3 26	20 05	3 10	20 13	3 38	20 05	3 32	20 19	3 25	19 45	3 36	20 34	3 39	20 11	3 41	20 22
	12 3 31	20 02	3 15	20 10	3 43	20 03	3 37	20 16	3 29	19 43	3 41	20 31	3 44	20 09	3 45	20 19
	19 3 37	19 57	3 22	20 04	3 49	19 58	3 44	20 11	3 36	19 39	3 48	20 26	3 50	20 04	3 52	20 14
	26 3 46	19 50	3 31	19 56	3 57	19 51	3 53	20 04	3 43	19 32	3 57	20 18	3 59	19 57	4 01	20 07
VIII 2	4 55	19 41	3 42	19 46	4 06	19 43	4 03	19 54	3 52	19 24	4 07	20 08	4 08	19 48	4 10	19 58
	9 4 06	19 30	3 53	19 34	4 16	19 32	4 13	19 43	4 02	19 14	4 19	19 56	4 18	19 37	4 21	19 47
	16 4 17	19 18	4 05	19 21	4 26	19 20	4 25	19 30	4 12	19 02	4 30	19 43	4 28	19 25	4 32	19 34
	23 4 28	19 04	4 18	19 06	4 37	19 07	4 36	19 16	4 22	18 49	4 42	19 29	4 39	19 12	4 43	19 20
IX 6	4 39	18 50	4 30	18 50	4 48	18 53	4 48	19 01	4 33	18 36	4 55	19 13	4 50	18 58	4 54	19 06
	30 4 50	18 34	4 42	18 34	4 58	18 39	4 59	18 46	4 43	18 21	5 07	18 57	5 01	18 43	5 06	18 50
	6 5 02	18 19	4 55	18 17	5 09	18 23	5 11	18 30	4 54	18 06	5 19	18 40	5 12	18 27	5 17	18 35
	13 5 13	18 02	5 07	18 00	5 20	18 08	5 23	18 13	5 04	17 51	5 31	18 23	5 23	18 12	5 29	18 18
X 4	5 24	17 46	5 19	17 43	5 31	17 52	5 34	17 57	5 15	17 36	5 43	18 06	5 34	17 56	5 40	18 02
	27 5 36	17 30	5 32	17 25	5 42	17 36	5 46	17 40	5 25	17 20	5 56	17 49	5 45	17 40	5 51	17 46
	11 5 47	17 14	5 44	17 08	5 53	17 21	5 58	17 24	5 36	17 05	6 08	17 32	5 56	17 24	6 03	17 30
	18 5 59	16 58	5 57	16 52	6 04	17 06	6 10	17 08	5 47	16 50	6 21	17 16	6 08	17 09	6 15	17 14
XI 1	6 11	16 43	6 10	16 35	6 15	16 51	6 22	16 52	5 58	16 36	6 33	17 00	6 20	16 54	6 27	16 59
	25 6 23	16 29	6 24	16 20	6 27	16 37	6 35	16 37	6 09	16 22	6 47	16 44	6 31	16 40	6 39	16 44
	8 6 36	16 15	6 37	16 05	6 39	16 24	6 47	16 24	6 21	16 10	7 00	16 30	6 44	16 27	6 52	16 31
	15 6 48	16 03	6 51	15 52	6 51	16 13	7 00	16 11	6 33	15 58	7 13	16 17	6 56	16 15	7 04	16 18
XII 6	7 00	15 52	7 04	15 41	7 03	16 03	7 13	16 00	6 44	15 48	7 26	16 06	7 08	16 05	7 17	16 08
	22 7 12	15 44	7 17	15 31	7 14	15 54	7 25	15 51	6 55	15 40	7 39	15 56	7 19	15 56	7 29	15 59
	29 7 23	15 37	7 29	15 23	7 24	15 48	7 36	15 44	7 06	15 34	7 51	15 49	7 30	15 50	7 40	15 52
	13 7 33	15 33	7 39	15 19	7 34	15 44	7 46	15 40	7 15	15 31	8 01	15 44	7 39	15 46	7 49	15 48
XII 13	7 40	15 32	7 47	15 17	7 41	15 43	7 54	15 39	7 22	15 30	8 09	15 43	7 47	15 45	7 57	15 47
	20 7 46	15 33	7 53	15 18	7 47	15 45	7 59	15 40	7 27	15 32	8 15	15 44	7 52	15 46	8 03	15 48
	27 7 49	15 37	7 56	15 22	7 49	15 49	8 02	15 44	7 30	15 36	8 17	15 48	7 55	15 50	8 06	15 52

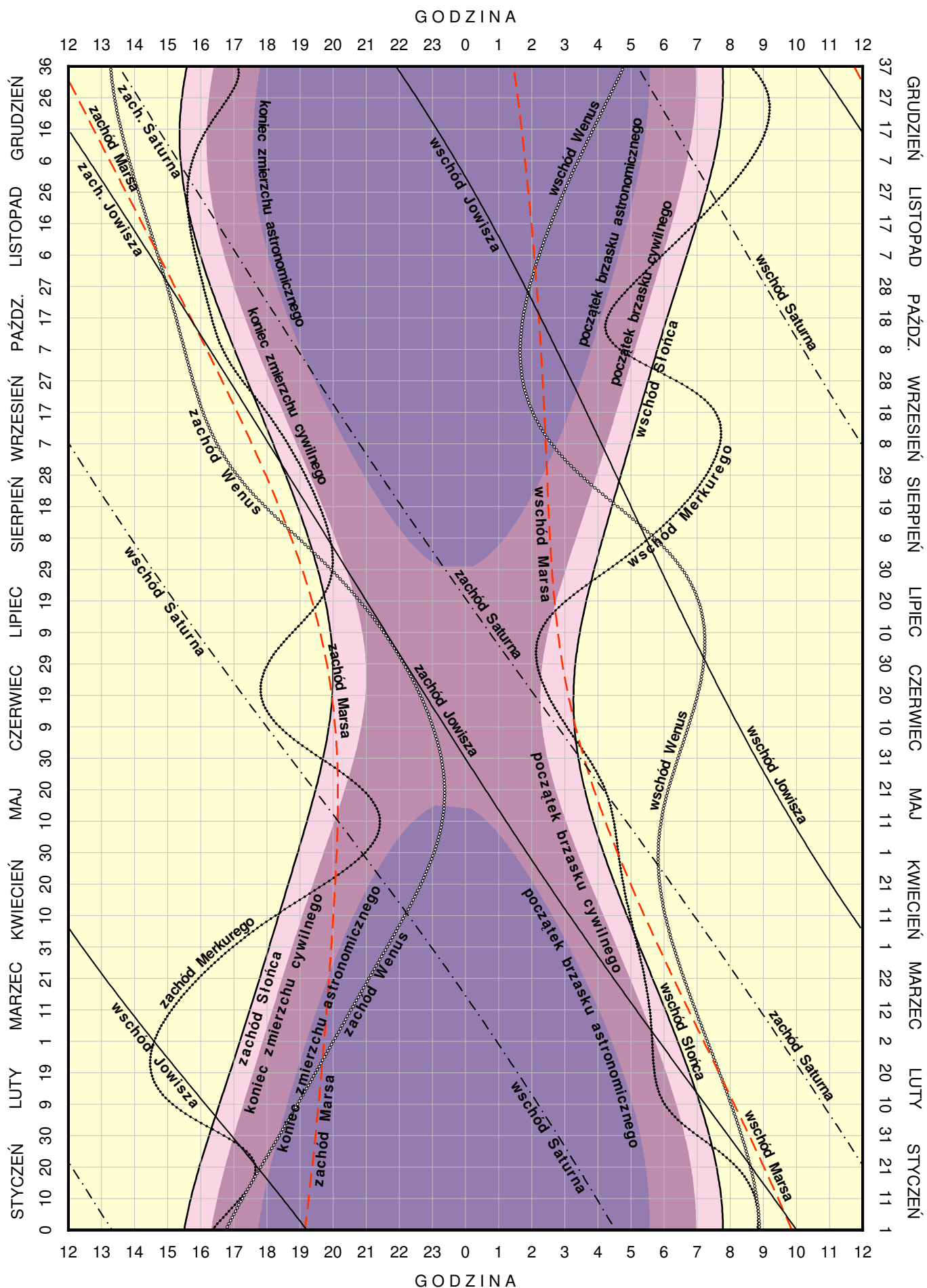
Wschód i zachód Słońca w 2015 roku w niektórych stolicach europejskich
w CSE

Data	Ateny		Belgrad		Berlin		Budapeszt		Bukareszt		Helsinki		Lizbona		Londyn	
	wsch.	zach.														
I 7	6 ^h 41 ^m	16 ^h 21 ^m	7 ^h 15 ^m	16 ^h 13 ^m	8 ^h 15 ^m	16 ^h 10 ^m	7 ^h 31 ^m	16 ^h 09 ^m	6 ^h 52 ^m	15 ^h 52 ^m	8 ^h 20 ^m	14 ^h 33 ^m	8 ^h 55 ^m	18 ^h 31 ^m	9 ^h 05 ^m	17 ^h 09 ^m
22	6 37	16 37	7 08	16 32	8 03	16 33	7 22	16 29	6 44	16 10	7 58	15 07	8 50	18 46	8 53	17 32
II 7	6 24	16 54	6 51	16 54	7 38	17 03	7 02	16 54	6 27	16 33	7 21	15 48	8 37	19 05	8 30	18 00
22	6 07	17 11	6 28	17 16	7 09	17 32	6 38	17 17	6 05	16 53	6 41	16 28	8 19	19 22	8 01	18 28
III 7	5 49	17 24	6 06	17 33	6 40	17 56	6 14	17 37	5 43	17 11	6 03	17 01	8 01	19 35	7 33	18 51
22	5 26	17 38	5 39	17 52	6 05	18 22	5 44	17 59	5 16	17 30	5 17	17 39	7 38	19 50	7 00	19 16
IV 7	5 02	17 53	5 09	18 13	5 28	18 50	5 12	18 21	4 47	17 50	4 29	18 18	7 13	20 05	6 23	19 43
22	4 41	18 07	4 43	18 31	4 54	19 17	4 43	18 42	4 21	18 08	3 44	18 55	6 51	20 20	5 51	20 08
V 7	4 23	18 21	4 20	18 50	4 25	19 42	4 19	19 03	3 59	18 26	3 02	19 33	6 33	20 34	5 22	20 33
22	4 10	18 34	4 03	19 07	4 01	20 06	3 59	19 22	3 42	18 43	2 27	20 08	6 19	20 47	5 00	20 55
VI 7	4 03	18 45	3 53	19 21	3 46	20 25	3 48	19 38	3 32	18 57	2 01	20 38	6 12	20 59	4 45	21 14
22	4 03	18 51	3 52	19 28	3 43	20 33	3 47	19 45	3 31	19 04	1 54	20 50	6 12	21 05	4 43	21 22
VII 7	4 09	18 51	4 00	19 26	3 52	20 30	3 54	19 43	3 38	19 02	2 08	20 41	6 18	21 04	4 52	21 18
22	4 20	18 43	4 13	19 16	4 10	20 14	4 09	19 31	3 51	18 52	2 36	20 16	6 29	20 56	5 09	21 04
VIII 7	4 33	18 28	4 30	18 57	4 35	19 48	4 29	19 10	4 09	18 33	3 13	19 37	6 43	20 41	5 33	20 39
22	4 46	18 10	4 48	18 33	5 00	19 18	4 49	18 44	4 26	18 10	3 50	18 55	6 56	20 22	5 57	20 09
IX 7	5 00	17 46	5 07	18 05	5 26	18 41	5 10	18 13	4 45	17 42	4 28	18 07	7 11	19 58	6 22	19 34
22	5 12	17 23	5 25	17 37	5 52	18 06	5 30	17 43	5 02	17 14	5 03	17 21	7 24	19 34	6 46	19 00
X 7	5 26	17 00	5 43	17 09	6 17	17 31	5 50	17 12	5 20	16 46	5 39	16 36	7 38	19 11	7 10	18 26
22	5 40	16 39	6 02	16 43	6 44	16 57	6 12	16 44	5 39	16 21	6 16	15 52	7 52	18 49	7 36	17 53
XI 7	5 57	16 21	6 24	16 19	7 13	16 26	6 36	16 18	6 00	15 58	6 58	15 09	8 10	18 30	8 04	17 24
22	6 13	16 09	6 44	16 04	7 40	16 05	6 58	16 01	6 20	15 43	7 35	14 37	8 26	18 19	8 30	17 03
XII 7	6 27	16 05	7 01	15 57	8 02	15 53	7 17	15 53	6 38	15 36	8 07	14 16	8 41	18 15	8 51	16 52
22	6 38	16 09	7 13	16 00	8 15	15 54	7 29	15 55	6 49	15 39	8 24	14 13	8 51	18 19	9 04	16 54

Data	Madryt		Moskwa		Paryż		Praga		Rzym		Sofia		Sztokholm		Wiedeń	
	wsch.	zach.														
I 7	8 ^h 38 ^m	18 ^h 04 ^m	6 ^h 57 ^m	14 ^h 15 ^m	8 ^h 43 ^m	17 ^h 11 ^m	8 ^h 00 ^m	16 ^h 17 ^m	7 ^h 38 ^m	16 ^h 55 ^m	6 ^h 57 ^m	16 ^h 09 ^m	8 ^h 40 ^m	15 ^h 08 ^m	7 ^h 44 ^m	16 ^h 17 ^m
22	8 32	18 20	6 41	14 42	8 33	17 32	7 49	16 39	7 32	17 12	6 50	16 26	8 19	15 40	7 35	16 38
II 7	8 18	18 40	6 12	15 16	8 13	17 58	7 28	17 06	7 17	17 32	6 35	16 47	7 45	16 20	7 15	17 03
22	7 59	18 58	5 39	15 48	7 47	18 22	7 01	17 32	6 57	17 51	6 14	17 07	7 06	16 58	6 50	17 27
III 7	7 40	19 12	5 07	16 16	7 22	18 43	6 34	17 54	6 36	18 07	5 53	17 23	6 29	17 30	6 25	17 47
22	7 16	19 29	4 28	16 46	6 50	19 06	6 02	18 18	6 11	18 24	5 27	17 41	5 45	18 06	5 54	18 10
IV 7	6 50	19 45	3 46	17 19	6 17	19 30	5 27	18 43	5 44	18 42	5 00	17 59	4 58	18 44	5 22	18 33
22	6 27	20 01	3 09	17 49	5 47	19 52	4 56	19 07	5 20	18 58	4 35	18 16	4 15	19 20	4 53	18 55
V 7	6 07	20 16	2 35	18 19	5 21	20 14	4 29	19 30	4 59	19 15	4 14	18 33	3 35	19 55	4 27	19 16
22	5 53	20 30	2 07	18 46	5 01	20 34	4 08	19 51	4 44	19 30	3 58	18 49	3 01	20 29	4 07	19 36
VI 7	5 45	20 43	1 48	19 09	4 49	20 51	3 54	20 08	4 35	19 43	3 49	19 02	2 37	20 57	3 55	19 52
22	5 45	20 49	1 45	19 18	4 47	20 58	3 53	20 16	4 35	19 49	3 49	19 08	2 31	21 08	3 54	19 59
VII 7	5 51	20 48	1 55	19 13	4 55	20 55	4 01	20 13	4 42	19 48	3 56	19 07	2 44	21 00	4 02	19 56
22	6 03	20 39	2 16	18 55	5 11	20 43	4 17	19 59	4 54	19 39	4 08	18 58	3 10	20 37	4 17	19 44
VIII 7	6 17	20 23	2 45	18 24	5 32	20 21	4 39	19 36	5 09	19 22	4 24	18 40	3 46	20 00	4 37	19 22
22	6 32	20 03	3 14	17 50	5 53	19 54	5 02	19 08	5 25	19 01	4 40	18 18	4 20	19 20	4 58	18 56
IX 7	6 47	19 38	3 45	17 09	6 15	19 21	5 25	18 34	5 42	18 34	4 57	17 52	4 57	18 33	5 20	18 25
22	7 02	19 13	4 14	16 30	6 37	18 50	5 48	18 01	5 57	18 08	5 13	17 25	5 31	17 49	5 40	17 53
X 7	7 17	18 48	4 43	15 51	6 58	18 18	6 11	17 29	6 13	17 42	5 30	16 59	6 06	17 05	6 02	17 22
22	7 33	18 25	5 14	15 14	7 21	17 49	6 35	16 58	6 30	17 19	5 48	16 34	6 41	16 22	6 24	16 54
XI 7	7 51	18 05	5 47	14 38	7 47	17 22	7 01	16 30	6 49	16 58	6 08	16 13	7 21	15 41	6 48	16 27
22	8 08	17 53	6 18	14 13	8 10	17 03	7 26	16 10	7 08	16 44	6 26	15 59	7 57	15 10	7 11	16 09
XII 7	8 24	17 48	6 43	13 58	8 29	16 54	7 46	16 01	7 24	16 39	6 43	15 53	8 27	14 50	7 30	16 01
22	8 35	17 52	6 58	13 58	8 42	16 57	7 59	16 03	7 35	16 42	6 54	15 56	8 44	14 49	7 43	16 03

KALENDARZ ASTRONOMICZNY NA ROK 2015

WSCHODY I ZACHODY SŁOŃCA ORAZ JASNYCH PLANET W WARSZAWIE W CSE



Konfiguracje planet 2015

Data TT		Zjawisko	Data TT		Zjawisko
I	8 5 ³⁹ "	Jowisz w koniunkcji z Księżykiem	4.9 N	VI	Saturn w koniunkcji z Księżykiem
11	1 01	Merkury w koniunkcji z Wenus	0.6 N	VII	1 3 50 Wenus w koniunkcji z Jowiszem
14	20 32	Merkury w elongacji wsch.	18.9	6	6 54 Neptun w koniunkcji z Księżykiem
16	12 01	Saturn w koniunkcji z Księżykiem	1.8 S	9	3 11 Uran w koniunkcji z Księżykiem
20	0 15	Mars w koniunkcji z Neptunem	0.2 S	16	4 30 Merkury w koniunkcji z Marsem
21	16 33	Merkury w koniunkcji z Księżykiem	2.9 S	18	15 26 Jowisz w koniunkcji z Księżykiem
22	2 22	Wenus w koniunkcji z Księżykiem	5.4 S	19	0 55 Wenus w koniunkcji z Księżykiem
22	22 53	Neptun w koniunkcji z Księżykiem	3.7 S	23	17 29 Merkury w koniunkcji d. ze Słońcem
23	2 41	Mars w koniunkcji z Księżykiem	3.7 S	26	9 03 Saturn w koniunkcji z Księżykiem
25	11 33	Uran w koniunkcji z Księżykiem	0.6 S	VIII	2 13 51 Neptun w koniunkcji z Księżykiem
30	11 47	Merkury w koniunkcji g. ze Słońcem		5	9 15 Uran w koniunkcji z Księżykiem
II	1 17 47	Wenus w koniunkcji z Neptunem	0.8 S	7	7 35 Merkury w koniunkcji z Jowiszem
4	6 03	Jowisz w koniunkcji z Księżykiem	5.0 N	14	17 47 Wenus w koniunkcji z Księżykiem
6	18 19	Jowisz w opozycji do Słońca		15	10 02 Jowisz w koniunkcji z Księżykiem
13	0 21	Saturn w koniunkcji z Księżykiem	2.1 S	16	13 18 Merkury w koniunkcji z Księżykiem
17	5 08	Merkury w koniunkcji z Księżykiem	3.4 S	22	17 48 Saturn w koniunkcji z Księżykiem
19	11 15	Neptun w koniunkcji z Księżykiem	3.6 S	26	22 01 Jowisz w koniunkcji ze Słońcem
20	23 51	Wenus w koniunkcji z Księżykiem	1.9 S	29	22 44 Neptun w koniunkcji z Księżykiem
21	0 43	Mars w koniunkcji z Księżykiem	1.5 S	IX	1 3 39 Neptun w opozycji do Słońca
21	22 08	Uran w koniunkcji z Księżykiem	0.3 S	1	16 30 Uran w koniunkcji z Księżykiem
22	6 23	Wenus w koniunkcji z Marsem	0.4 S	4	10 20 Merkury w elongacji wsch.
24	16 24	Merkury w elongacji zach.	26.7	10	7 09 Wenus w koniunkcji z Księżykiem
26	4 56	Neptun w koniunkcji ze Słońcem		10	20 43 Mars w koniunkcji z Księżykiem
III	3 5 25	Jowisz w koniunkcji z Księżykiem	5.3 N	12	4 18 Jowisz w koniunkcji z Księżykiem
4	18 43	Wenus w koniunkcji z Uranem	0.1 N	15	9 33 Merkury w koniunkcji z Księżykiem
11	15 58	Mars w koniunkcji z Uranem	0.3 N	19	3 26 Saturn w koniunkcji z Księżykiem
12	8 36	Saturn w koniunkcji z Księżykiem	2.2 S	26	8 36 Neptun w koniunkcji z Księżykiem
18	8 24	Merkury w koniunkcji z Neptunem	1.5 S	29	1 23 Uran w koniunkcji z Księżykiem
19	0 12	Neptun w koniunkcji z Księżykiem	3.5 S	30	18 35 Merkury w koniunkcji g. ze Słońcem
19	2 15	Merkury w koniunkcji z Księżykiem	4.9 S	X	8 20 08 Wenus w koniunkcji z Księżykiem
21	11 16	Uran w koniunkcji z Księżykiem	0.1 S	9	14 44 Mars w koniunkcji z Księżykiem
21	22 43	Mars w koniunkcji z Księżykiem	0.9 N	9	21 54 Jowisz w koniunkcji z Księżykiem
22	21 05	Wenus w koniunkcji z Księżykiem	2.8 N	11	11 22 Merkury w koniunkcji z Księżykiem
IV	6 14 09	Uran w koniunkcji ze Słońcem		12	3 51 Uran w opozycji do Słońca
8	12 45	Merkury w koniunkcji z Uranem	0.5 S	16	3 17 Merkury w elongacji zach.
8	13 18	Saturn w koniunkcji z Księżykiem	2.1 S	16	13 52 Saturn w koniunkcji z Księżykiem
10	6 34	Merkury w koniunkcji d. ze Słońcem		17	22 38 Mars w koniunkcji z Jowiszem
15	11 20	Neptun w koniunkcji z Księżykiem	3.5 S	23	17 42 Neptun w koniunkcji z Księżykiem
18	0 36	Uran w koniunkcji z Księżykiem	0.0 N	25	23 39 Wenus w koniunkcji z Jowiszem
19	12 31	Merkury w koniunkcji z Księżykiem	3.4 N	26	7 12 Wenus w elongacji zach.
19	20 14	Mars w koniunkcji z Księżykiem	3.0 N	26	10 51 Uran w koniunkcji z Księżykiem
22	19 46	Merkury w koniunkcji z Marsem	1.3 N	XI	3 7 39 Wenus w koniunkcji z Marem
26	15 38	Jowisz w koniunkcji z Księżykiem	5.3 N	6	14 29 Jowisz w koniunkcji z Księżykiem
V	5 16 27	Saturn w koniunkcji z Księżykiem	2.0 S	7	8 46 Mars w koniunkcji z Księżykiem
7	4 51	Merkury w elongacji wsch.	21.2	7	13 03 Wenus w koniunkcji z Księżykiem
12	19 30	Neptun w koniunkcji z Księżykiem	3.3 S	11	9 14 Merkury w koniunkcji z Księżykiem
15	12 03	Uran w koniunkcji z Księżykiem	0.2 N	13	1 35 Saturn w koniunkcji z Księżykiem
18	17 00	Mars w koniunkcji z Księżykiem	4.6 N	17	13 01 Merkury w koniunkcji d. ze Słońcem
23	1 39	Saturn w opozycji do Słońca		20	0 51 Neptun w koniunkcji z Księżykiem
24	4 39	Jowisz w koniunkcji z Księżykiem	5.0 N	22	19 10 Uran w koniunkcji z Księżykiem
27	2 56	Merkury w koniunkcji z Marem	1.6 S	25	1 58 Merkury w koniunkcji z Saturnem
30	11 10	Merkury w koniunkcji g. ze Słońcem		30	0 19 Saturn w koniunkcji ze Słońcem
VI	1 20 11	Saturn w koniunkcji z Księżykiem	1.9 S	XII	4 5 19 Jowisz w koniunkcji z Księżykiem
6	18 31	Wenus w elongacji wsch.	45.4	6	2 39 Mars w koniunkcji z Księżykiem
9	1 23	Neptun w koniunkcji z Księżykiem	3.1 S	7	17 20 Wenus w koniunkcji z Księżykiem
11	20 42	Uran w koniunkcji z Księżykiem	0.5 N	10	14 53 Saturn w koniunkcji z Księżykiem
14	14 18	Mars w koniunkcji ze Słońcem		17	6 42 Neptun w koniunkcji z Księżykiem
15	2 28	Merkury w koniunkcji z Księżykiem	0.0 N	20	1 27 Uran w koniunkcji z Księżykiem
20	21 12	Jowisz w koniunkcji z Księżykiem	4.5 N	29	3 13 Merkury w elongacji wsch.
24	17 09	Merkury w elongacji zach.	22.5	31	17 06 Jowisz w koniunkcji z Księżykiem

Tabela zawiera wszystkie koniunkcje, w których odległość kątowa ciał niebieskich nie przekracza 5°4'.

Zaćmienia Słońca, Księżyca w 2015 roku

1. Całkowite zaćmienie Słońca 20 marca 2015 roku.

Zaćmienie będzie widoczne we wschodniej części Atlantyku, w Europie, w północnej Afryce, na Bliskim Wschodzie oraz w północno-zachodniej części Azji.

Moment koniunkcji Słońca i Księżyca w rektascensji: 2015 marzec $20^d\ 10^h17^m04^s.8\ UT$.

Fazy zaćmienia	UT	Szer. geogr.	Dług. geogr.
Wejście w półcień	marzec $20^d\ 7^h40^m8$		
Początek częściowego zaćmienia	9 09.5		
Moment największego zaćmienia	9 45.6	64°26'.3 N	6°38'.0 W
Koniec częściowego zaćmienia	10 21.3		
Wyjście z półcienia	11 50.2		

Równikowa horyzontalna paralaksa Słońca = $8.^s8$, Księżyca = $61'15.^s8$ w momencie koniunkcji.

Kątowy geocentryczny promień tarczy Słońca = $16'03.^s7$, Księżyca = $16'41.^s6$ w momencie koniunkcji.

2. Całkowite zaćmienie Księżyca 4 kwietnia 2015 roku.

Początek zaćmienia będzie widoczny we wschodniej części Australii i wschodniej części archipelagu wysp Sundajskich, w Japonii, na dalekim wschodzie Rosji, na całym obszarze Pacyfiku, w Ameryce Północnej, w Ameryce Południowej z wyjątkiem jej wschodniego krańca i zachodniej części Atlantyku.

Koniec zaćmienia będzie widoczny w środkowej i wschodniej części Azji, na Madagaskarze, Oceanie Indyjskim, w Australii i Oceanii, w zachodniej i środkowej części Oceanu Spokojnego oraz na Alasce.

Moment opozycji Słońca i Księżyca w rektascensji: 2015 kwiecień $4^d\ 12^h05^m32^s.7\ UT$.

Fazy zaćmienia	UT
Wejście Księżyca w półcień	kwiecień $4^d\ 9^h01^m5$
Początek częściowego zaćmienia	10 15.8
Początek całkowitego zaćmienia	11 57.9
Moment największej fazy	12 00.2
Koniec całkowitego zaćmienia	12 02.6
Koniec częściowego zaćmienia	13 44.8
Wyjście Księżyca z półcienia	14 59.0

Kątowy promień półcienia = $4267.^s08$, kątowy promień cienia = $2347.^s92$.

Wielkość największej fazy zaćmienia = 1.0008 średnicy tarczy Księżyca.

Równikowa horyzontalna paralaksa Słońca = $8.^s8$, Księżyca = $54'25.^s9$ w momencie opozycji.

Kątowy geocentryczny promień tarczy Słońca = $15'59.^s6$, Księżyca = $14'49.^s9$ w momencie opozycji.

3. Częściowe zaćmienie Słońca 13 września 2015 roku.

Zaćmienie widoczne będzie w południowej części Oceanu Indyjskiego, w Antarktyce i na Antarktydzie, w południowej części Afryki i południowej części Madagaskaru oraz na południowo-wschodnim skraju Oceanu Atlantyckiego.

Moment koniunkcji Słońca i Księżyca w rektascensji: 2015 wrzesień $13^d\ 7^h35^m14^s.2\ UT$.

Fazy zaćmienia	UT
Wejście w półcień	wrzesień $13^d\ 4^h41^m6$
Moment największej fazy	6 54.1
Wyjście z półcienia	9 06.3

Równikowa horyzontalna paralaksa Słońca = $8.^s7$, Księżyca = $54'00.^s6$ w momencie koniunkcji.

Kątowy geocentryczny promień tarczy Słońca = $15'53.^s6$, Księżyca = $14'43.^s0$ w momencie koniunkcji.

4. Całkowite zaćmienie Księżyca 28 września 2015 roku.

Początek zaćmienia będzie widoczny we wschodniej części Ameryki Północnej, na południowo-wschodnim wybrzeżu Pacyfiku, w Ameryce Południowej, na Oceanie Atlantyckim, w Europie, w Afryce, w Azji Środkowej oraz w zachodniej części Oceanu Indyjskiego.

Koniec zaćmienia będzie widoczny we wschodniej części Oceanu Spokojnego, w Ameryce Północnej i Południowej, na Atlantyku z wyjątkiem jego południowo-wschodniego wybrzeża oraz w zachodniej części Europy i Afryki.

Moment opozycji Słońca i Księżyca w rektascensji: 2015 wrzesień $28^d\ 2^h50^m29^s.0$ UT.

Fazy zaćmienia	UT
Wejście Księżyca w półcień	wrzesień $28^d\ 0^h11^m.8$
Początek częściowego zaćmienia	1 07.2
Początek całkowitego zaćmienia	2 11.2
Moment największej fazy	2 47.1
Koniec całkowitego zaćmienia	3 23.1
Koniec częściowego zaćmienia	4 27.1
Wyjście Księżyca z półcienia	5 22.5

Kątowy promień półcienia = $4689''.72$, kątowy promień cienia = $2774''.52$.

Wielkość największej fazy zaćmienia = 1.2764 średnicy tarczy Księżyca.

Równikowa horyzontalna paralaksa Słońca = $8.8''$, Księżyca = $61'26''.6$ w momencie opozycji.

Kątowy geocentryczny promień tarczy Słońca = $15'57''.6$, Księżyca = $16'44''.5$ w momencie opozycji.

**Współrzędne bieguna CIP („chwilowego” bieguna północnego Ziemi) w odniesieniu do IRP
oraz poprawka do czasu uniwersalnego, 0^h UTC**

Data	MJD	x_{IERS}	y_{IERS}	$UT1 - UTC$	Data	MJD	x_{IERS}	y_{IERS}	$UT1 - UTC$	
2013		0 ⁰ 00001	0 ⁰ 00001	0 ⁰ .000001	2014		0 ⁰ 00001	0 ⁰ 00001	0 ⁰ 000001	
X	14	56579	+11386	+28452	IV	22	56769	+ 6381	+43863	
	19	56584	+10596	+28314		27	56774	+ 7180	+44174	
	24	56589	+ 9688	+28249	V	2	56779	+ 7975	+44355	
	29	56594	+ 9121	+28363		7	56784	+ 8740	+44550	
				- 20615					-254805	
XI	3	56599	+ 8551	+28479		12	56789	+ 9545	+44666	
	8	56604	+ 7983	+28663		17	56794	+10394	+44804	
	13	56609	+ 7310	+28496		22	56799	+11085	+44803	
	18	56614	+ 6665	+28681		27	56804	+11807	+44633	
	23	56619	+ 6091	+28950					-279933	
	28	56624	+ 5788	+29279						
				- 57784	VI	1	56809	+12938	+44290	
						6	56814	+13633	+43784	
XII	3	56629	+ 5721	+29560		11	56819	+14574	+43472	
	8	56634	+ 5697	+30153		16	56824	+15420	+43068	
	13	56639	+ 5651	+30727		21	56829	+16094	+42727	
	18	56644	+ 4995	+30807		26	56834	+16682	+42145	
	23	56649	+ 4429	+31044					-300713	
	28	56654	+ 4049	+31594						
				- 91960	VII	1	56839	+17058	+41498	
						6	56844	+17635	+40985	
2014							11	56849	+18005	
I	2	56659	+ 3839	+31956			16	56854	+18358	
	7	56664	+ 3527	+32279			21	56859	+18776	
	12	56669	+ 3163	+32892			26	56864	+19039	
	17	56674	+ 2658	+33372			31	56869	+19469	
	22	56679	+ 2408	+33899					+38174	
	27	56684	+ 2421	+34259					-314467	
				-123826	VIII	5	56874	+19858	+37453	
						10	56879	+20427	+36911	
II	1	56689	+ 2374	+34877			15	56884	+20883	
	6	56694	+ 2432	+35369			20	56889	+20973	
	11	56699	+ 2401	+36175			25	56894	+20947	
	16	56704	+ 2100	+37037			30	56899	+20943	
	21	56709	+ 2033	+37735					+33946	
	26	56714	+ 1877	+38358					-326047	
				-156384	IX	4	56904	+20903	+33151	
						9	56909	+20795	+32403	
III	3	56719	+ 2044	+38934			14	56914	+20335	
	8	56724	+ 2012	+39506			19	56919	+20049	
	13	56729	+ 2032	+40018			24	56924	+19666	
	18	56734	+ 2489	+40558			29	56929	+19213	
	23	56739	+ 2945	+40978					+29184	
	28	56744	+ 3679	+41598					-349867	
				-198098	X	4	56934	+18458	+28510	
						9	56939	+17448	+27799	
IV	2	56749	+ 4473	+42250			14	56944	+16320	+27159
	7	56754	+ 4773	+42641			19	56949	+15617	+26639
	12	56759	+ 5423	+43049			24	56954	+14937	+26156
	17	56764	+ 5828	+43334			29	56959	+13888	+25674
				-225940					-383604	

Dane stanowią wynik obliczeń prowadzonych na bieżąco przez IERS, aktualizowanych dwa razy w tygodniu i publikowanych jako tzw. rozwiązanie C04. Tablica zawiera dane dostępne w chwili wydawania Rocznika.

Dane są na bieżąco dostępne na serwerze IERS pod adresem <ftp://ftp.iers.org/products/eop/long-term/>.

**Przewidywane współrzędne bieguna CIP („chwilowego” bieguna północnego Ziemi) w odniesieniu do IRP
oraz poprawka do czasu uniwersalnego, 0^h UTC**

Data	MJD	x_{IERS}	y_{IERS}	$UT1 - UTC$	Data	MJD	x_{IERS}	y_{IERS}	$UT1 - UTC$		
2014					2015						
XI	28	56989	+0. ["] 09	+0. ["] 25	-0. ^s 42	V	27	57169	+0. ["] 11	+0. ["] 47	-0. ^s 64
XII	3	56994	+0.08	+0.26	-0.43	VI	1	57174	+0.13	+0.47	-0.65
	8	56999	+0.07	+0.26	-0.43		6	57179	+0.14	+0.47	-0.65
	13	57004	+0.06	+0.26	-0.43		11	57184	+0.15	+0.47	-0.66
	18	57009	+0.06	+0.26	-0.44		16	57189	+0.16	+0.46	-0.66
	23	57014	+0.05	+0.27	-0.44		21	57194	+0.17	+0.46	-0.66
	28	57019	+0.04	+0.27	-0.45		26	57199	+0.18	+0.45	-0.67
2015					VII	1	57204	+0.19	+0.45	-0.67	
I	2	57024	+0.03	+0.28	-0.45		6	57209	+0.20	+0.44	-0.67
	7	57029	+0.03	+0.28	-0.46		11	57214	+0.21	+0.44	-0.67
	12	57034	+0.02	+0.29	-0.46		16	57219	+0.22	+0.43	-0.67
	17	57039	+0.01	+0.29	-0.47		21	57224	+0.22	+0.42	-0.67
	22	57044	+0.01	+0.30	-0.47		26	57229	+0.23	+0.41	-0.67
	27	57049	+0.00	+0.31	-0.48		31	57234	+0.24	+0.40	-0.67
II	1	57054	-0.00	+0.32	-0.48	VIII	5	57239	+0.24	+0.39	-0.68
	6	57059	-0.00	+0.32	-0.49		10	57244	+0.25	+0.38	-0.68
	11	57064	-0.01	+0.33	-0.49		15	57249	+0.25	+0.37	-0.68
	16	57069	-0.01	+0.34	-0.50		20	57254	+0.25	+0.36	-0.68
	21	57074	-0.01	+0.35	-0.51		25	57259	+0.25	+0.35	-0.68
	26	57079	-0.01	+0.36	-0.51		30	57264	+0.25	+0.34	-0.68
III	3	57084	-0.01	+0.37	-0.52	IX	4	57269	+0.25	+0.33	-0.68
	8	57089	-0.01	+0.38	-0.53		9	57274	+0.25	+0.32	-0.69
	13	57094	-0.00	+0.39	-0.53		14	57279	+0.25	+0.31	-0.69
	18	57099	-0.00	+0.40	-0.54		19	57284	+0.25	+0.29	-0.69
	23	57104	+0.00	+0.40	-0.55		24	57289	+0.24	+0.28	-0.70
	28	57109	+0.01	+0.41	-0.56		29	57294	+0.24	+0.27	-0.71
IV	2	57114	+0.01	+0.42	-0.57	X	4	57299	+0.23	+0.26	-0.71
	7	57119	+0.02	+0.43	-0.58		9	57304	+0.22	+0.25	-0.72
	12	57124	+0.03	+0.43	-0.58		14	57309	+0.21	+0.24	-0.72
	17	57129	+0.04	+0.44	-0.59		19	57314	+0.21	+0.24	-0.73
	22	57134	+0.04	+0.45	-0.60		24	57319	+0.20	+0.23	-0.73
	27	57139	+0.05	+0.45	-0.61		29	57324	+0.19	+0.22	-0.74
V	2	57144	+0.06	+0.46	-0.61	XI	3	57329	+0.18	+0.22	-0.75
	7	57149	+0.07	+0.46	-0.62		8	57334	+0.16	+0.21	-0.76
	12	57154	+0.08	+0.46	-0.63		13	57339	+0.15	+0.21	-0.76
	17	57159	+0.09	+0.47	-0.63		18	57344	+0.14	+0.20	-0.77
	22	57164	+0.10	+0.47	-0.64		23	57349	+0.13	+0.20	-0.78

Tablica zawiera wartości przewidywane, publikowane przez IERS Rapid Service/Prediction Center w USNO, w wydawanych co kilka dni tzw. biuletynach A. Tablica przedstawia wartości opracowane w oparciu o dane dostępne w chwili wydawania Rocznika.

Bieżące przewidywane współrzędne bieguna i poprawki do czasu uniwersalnego są dostępne pod adresem <ftp://maia.usno.navy.mil/ser7/ser7.dat>.

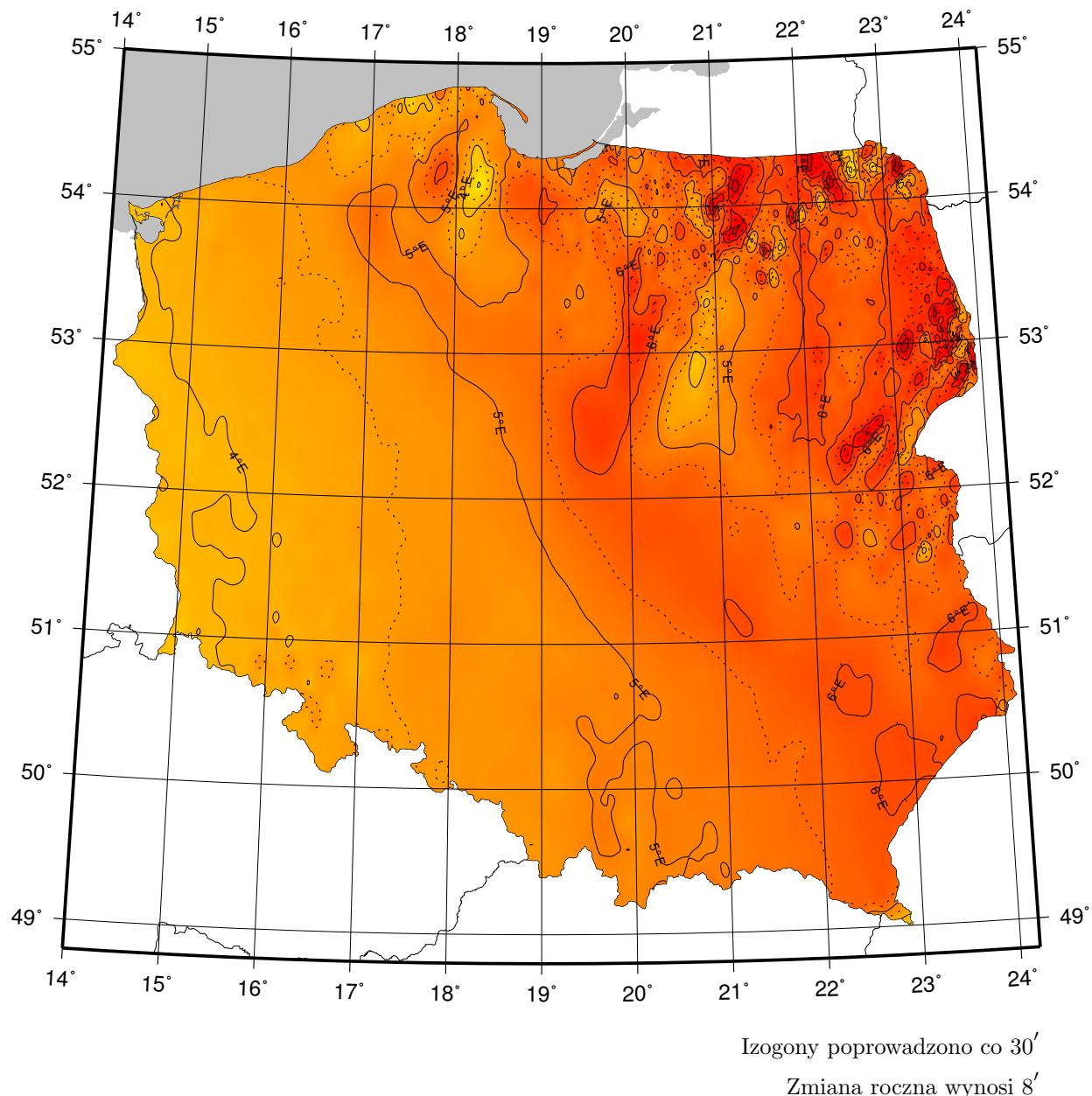
Sygnały czasu

wybrane stacje nadawcze

Znak stacji	Położenie stacji	Szerokość i długość geogr.	Częstotliwość (kHz)	Godziny nadawania w czasie UTC	Skrócony opis sygnalów
BPM	Pucheng, Chiny	35°00'N 109°31'E	2500 5000 10000 15000	7 ^h 30 ^m – 1 ^h 00 ^m Przez całą dobę Przez całą dobę od 1 ^h 00 ^m – 9 ^h 30 ^m	Modulowany sygnał 1 kHz. Impulsy sekundowe (10 ms) i minutowe (300 ms). Sygnały zgodne z chińskim czasem urzędowym UTC + 8 h, wyprzedzają UTC o 20 ms. Pomiędzy 0 – 10, 15 – 25, 30 – 40 i 45 – 50 minutą sygnały UTC. Pomiędzy 25 – 29 i 55 – 59 minutą sygnały UT1
CHU	Ottawa, Kanada	45°18'N 75°45'W	3330 7850 14670	Przez całą dobę	Impulsy sekundowe (300 okresów modulacji 1 kHz), 29 oraz od 51 do 59 każdej minuty opuszczone. Impulsy minutowe o długości 0.5 s, godzinne 1 s. Co minutę informacja głosowa. Poprawka DUT1 kodowana
DCF77	Mainflingen, Niemcy	50°01'N 9°00'E	77.5	Przez całą dobę	Sygnały czasu zgodne z niemieckim czasem urzędowym UTC + 1 h lub UTC + 2 h. Redukcje do 15% amplitudy fali nośnej o czasie trwania 0.1 s lub 0.2 s (odpowiednio bit 0 lub 1) na początku każdej sekundy, za wyjątkiem 59. Kodowana (BCD) informacja o dacie, godzinie, minucie i sekundzie oraz czasie letnim
MIKES	Espoo, Finlandia	60°11'N 24°50'E	25000	Przez całą dobę	Modulacja sygnałów taka sama jak w DCF77; sygnały czasu UTC
MSF	Anthorn, Wielka Brytania	54°54'N 3°16'W	60	Przez całą dobę z przerwą w drugi czwartek marca i grudnia 10 ^h – 14 ^h oraz czerwca i września 9 ^h – 13 ^h	Przerwy w fali nośnej o długości 100 ms co sekundę i 500 ms co minutę. Data, godzina, minuta i sekunda, poprawka DUT1 oraz informacja o czasie letnim kodowana (BCD)
RBU	Moskwa, Rosja	56°44'N 37°40'E	200/3	Przez całą dobę	Sygnały typu DXXXW 0.1 s; data, godzina, minuta, sekunda, a także różnica UTC i czasu lokalnego oraz poprawka DUT1 kodowana
RWM	Moskwa, Rosja	56°44'N 37°38'E	4996 9996 14996	Stacja działa jednocześnie na trzech częstotliwościach	Impulsy sekundowe typu A1X i A1N. A1X pomiędzy 10 i 20 oraz 40 i 50 minutą. A1N pomiędzy 20 a 30 minutą. Poprawka DUT1 kodowana
TDF	Allouis, Francja	47°10'N 2°12'E	162	Przez całą dobę z wyjątkiem wtorków między 1 ^h 00 ^m a 5 ^h 00 ^m	Sygnały w modulacji fazowej, zgodne z francuskim czasem urzędowym. Kodowane informacje o czasie letnim oraz świętach państwowych
WWVH	Kauai, USA	21°59'N 159°46'W	2500 5000 10000 15000	Przez całą dobę	Impulsy sekundowe o długości 5 ms i modulacji 1200 Hz; 29 i 59 sekunda opuszczona. Godziny i minuty: 8 ms, 1500 Hz oraz 8 ms, 1200 Hz. Poprawka DUT1 zakodowana (BCD)

Opracowano na podstawie: *BIPM Annual Report on Time Activities, Vol. 8, 2013*.

MAPA DEKLINACJI MAGNETYCZNEJ NA EPOKĘ 2015.5



Przykład obliczania wartości deklinacji magnetycznej.

Dla punktu o współrzędnych $\varphi = 21^{\circ}00'$ i $\lambda = 51^{\circ}00'$
 wartość deklinacji wschodniej na epokę 2015.5 wynosi

$$D_{2015.5} \approx 5^{\circ}42'$$

Obliczenie wartości deklinacji magnetycznej na epokę 2015.9

$$D_{2015.9} = D_{2015.5} + (\text{zmiana roczna} \times (2015.9 - 2015.5))$$

$$D_{2015.9} \approx 5^{\circ}45'$$

MIEJSCA ŚREDNIE GWIAZD 2015.5

FK5	magn.	Sp	π	$\alpha_{2015.5}$	przemiana roczna VA_α	μ_α	$\delta_{2015.5}$	przemiana roczna VA_δ	μ_δ
902	4.03	F5	0"012	0 00 06.522	+3.086	+ 103	+ 6°56'56"69	+19"93	- 115
903	4.71	B9	0.000	0 00 42.694	+3.074	+ 76	-65 29 27.44	+20.02	- 24
904	4.73	K0	0.011	0 02 22.256	+2.997	- 187	-76 58 48.66	+19.86	- 177
1630	4.66	M3	0.043	0 02 45.326	+3.077	+ 34	- 5 55 40.70	+20.00	- 41
905	4.62	A0	0.000	0 04 31.967	+3.069	+ 18	-17 14 59.12	+20.03	- 9
1002	4.68	K0	0.000	0 06 07.748	+3.071	- 6	- 5 37 15.47	+20.12	+ 89
1	2.15	A0p	0.024	0 09 11.533	+3.116	+ 104	+29 10 33.48	+19.86	- 163
2 *	2.27	F5	0.072	0 10 00.872	+3.242	+ 684	+59 14 06.76	+19.84	- 181
3	3.94	K0	0.059	0 10 11.599	+3.026	+ 118	-45 39 43.22	+19.84	- 181
4	5.08	F0	0.000	0 11 07.940	+3.144	+ 7	+46 09 30.53	+20.02	+ 0
6	5.19	F5	0.027	0 12 31.127	+3.038	+ 141	-35 02 47.11	+20.13	+ 119
7	2.87	B2	0.000	0 14 02.156	+3.098	+ 2	+15 16 10.72	+19.99	- 12
1004	4.94	M0	0.000	0 15 24.435	+3.115	+ 66	+20 17 34.05	+20.00	- 0
1005	4.51	A2	0.015	0 19 08.515	+3.154	- 53	+36 52 15.90	+19.93	- 41
9	3.75	K0	0.010	0 20 13.047	+3.056	- 9	- 8 44 17.20	+19.93	- 36
10	4.34	F8	0.134	0 20 52.128	+3.084	+2669	-64 47 01.79	+21.12	+1164
1009	5.20	F5	0.015	0 21 56.538	+3.180	+ 50	+38 03 15.62	+19.91	- 40
11	2.90	G0	0.153	0 26 32.671	+3.062	+6647	-77 10 01.75	+20.23	+ 324
12	2.44	K0	0.035	0 27 02.793	+2.951	+ 183	-42 13 19.39	+19.51	- 396
15	4.88	A2	0.019	0 32 09.610	+2.877	+ 145	-48 43 04.72	+19.86	+ 17
16	4.24	B0	0.000	0 33 53.557	+3.462	+ 4	+63 01 01.70	+19.82	- 3
18	4.47	B3	0.000	0 37 42.784	+3.223	+ 12	+33 48 16.12	+19.77	- 4
17	3.72	B3	0.000	0 37 50.611	+3.380	+ 22	+53 58 55.31	+19.76	- 9
19	4.52	G5	0.031	0 39 22.715	+3.187	- 174	+29 23 44.54	+19.49	- 254
20	3.49	K2	0.024	0 40 09.664	+3.226	+ 106	+30 56 44.01	+19.64	- 92
21 *	2.23	K0	0.000	0 41 23.791	+3.446	+ 64	+56 37 19.68	+19.68	- 32
1015	4.65	K0	0.000	0 42 03.335	+2.821	- 13	-46 00 00.50	+19.70	- 1
23	4.53	A0	0.039	0 44 02.733	+2.676	- 8	-57 22 41.85	+19.68	+ 11
22 *	2.04	K0	0.053	0 44 22.011	+3.009	+ 164	-17 54 06.36	+19.70	+ 32
25	4.70	B2	0.000	0 45 35.773	+3.374	+ 20	+48 22 08.25	+19.64	- 8
27	4.30	K0	0.032	0 48 09.816	+3.194	- 73	+24 21 04.41	+19.52	- 83
31	4.96	K5	0.017	0 49 07.356	+2.060	+ 331	-74 50 21.14	+19.55	- 33
28	4.55	K5	0.016	0 49 29.292	+3.120	+ 57	+ 7 40 08.89	+19.52	- 52
1021	4.42	B3	0.000	0 50 40.476	+3.333	+ 20	+41 09 46.99	+19.53	- 19
1022	4.92	K0	0.000	0 53 48.078	+3.070	+ 5	- 1 03 37.47	+19.48	- 17
33	3.94	A2	0.032	0 57 37.154	+3.353	+ 130	+38 34 59.14	+19.44	+ 33
32 *	2.80	B0p	0.034	0 57 39.379	+3.674	+ 36	+60 48 01.15	+19.41	- 5
35	4.39	B5	0.000	0 59 21.093	+2.885	+ 17	-29 16 26.41	+19.38	+ 4
36	4.45	K0	0.029	1 03 44.983	+3.121	- 53	+ 7 58 23.53	+19.29	+ 23
1031	5.15	A3	0.010	1 08 30.214	+2.732	+ 33	-41 24 15.89	+19.16	+ 10
40	3.60	K0	0.032	1 09 22.190	+3.019	+ 147	-10 06 01.62	+18.99	- 138
42 *	2.06	M0	0.043	1 10 36.300	+3.381	+ 146	+35 42 08.40	+18.98	- 114
1032	4.89	K0	0.013	1 12 17.381	+3.238	+ 27	+21 07 00.06	+19.04	- 11
43	4.70	K0	0.035	1 12 31.098	+3.322	+ 56	+30 10 17.57	+19.01	- 35
45	4.67	A2	0.014	1 20 19.339	+3.314	+ 19	+27 20 42.29	+18.81	- 13
1035	4.99	K0	0.025	1 23 15.601	+3.563	+ 31	+45 36 34.36	+18.74	+ 9
47	3.83	K0	0.034	1 24 47.921	+3.001	- 53	- 8 06 13.85	+18.47	- 218
48 *	2.68	A5	0.029	1 26 50.585	+3.982	+ 400	+60 18 55.04	+18.57	- 51
46	4.97	K0	0.012	1 27 02.941	+4.328	+ 134	+68 12 37.25	+18.64	+ 26
1040	4.96	F5	0.024	1 28 35.429	+3.621	+ 334	+45 29 10.56	+18.46	- 107
49	3.40	K5	0.000	1 29 02.225	+2.598	- 13	-43 14 21.21	+18.34	- 208

MIEJSCA ŚREDNIE GWIAZD 2015.5

FK5	magn.	Sp	π	$\alpha_{2015.5}$	przemiana roczna VA_α	μ_α	$\delta_{2015.5}$	przemiana roczna VA_δ	μ_δ
1043	5.13	A0	0°021	1 30 20.725	+2.877	+ 40	-21°32'58.50	+18.51	+ 6
1044	3.96	K0	0.023	1 31 53.729	+2.490	+ 144	-48 59 33.24	+18.60	+151
50	3.72	G5	0.018	1 32 18.931	+3.222	+ 19	+15 25 30.74	+18.43	- 6
1045	4.18	G0	0.062	1 37 42.799	+3.549	- 153	+41 28 56.82	+17.87	-382
54	0.60	B5	0.023	1 38 17.372	+2.226	+ 117	-57 09 30.03	+18.19	- 35
52	3.77	K0	0.021	1 38 57.135	+3.718	+ 65	+48 42 22.21	+18.09	-113
56	4.68	K0	0.034	1 42 14.400	+3.130	- 14	+ 5 33 55.81	+18.08	+ 2
57	4.19	B0p	0.018	1 44 38.463	+3.799	+ 27	+50 45 58.39	+17.97	- 14
59	3.65	K0	0.275	1 44 47.314	+2.789	-1190	-15 51 22.64	+18.84	+858
60	4.50	K0	0.018	1 46 12.863	+3.177	+ 50	+ 9 14 06.68	+17.98	+ 48
1051	4.77	F0	0.041	1 50 20.819	+2.949	- 99	-10 36 36.95	+17.67	- 93
62	3.92	K0	0.038	1 52 13.583	+2.964	+ 28	-10 15 32.41	+17.65	- 39
64	3.58	F5	0.050	1 53 58.179	+3.439	+ 9	+29 39 13.49	+17.38	-235
67	4.41	M3	0.000	1 54 15.968	+2.400	- 83	-46 13 37.73	+17.52	- 87
65	4.84	K0	0.000	1 54 21.590	+3.113	+ 15	+ 3 15 48.37	+17.62	+ 23
1053	5.00	B9	0.000	1 55 00.580	+2.485	- 26	-42 25 17.16	+17.54	- 31
69	4.72	K0	0.008	1 55 19.777	+1.527	+ 130	-67 34 16.74	+17.63	+ 74
66	2.72	A5	0.063	1 55 29.966	+3.328	+ 68	+20 52 59.41	+17.44	-111
63 *	3.38	B3	0.000	1 55 31.605	+4.388	+ 48	+63 44 44.34	+17.53	- 21
68	3.73	G5	0.052	1 56 33.604	+2.329	+ 730	-51 31 55.93	+17.80	+291
72	3.02	F0	0.041	1 59 15.482	+1.889	+ 369	-61 29 41.31	+17.42	+ 26
71	4.18	M0	0.000	2 00 44.127	+2.827	+ 97	-21 00 11.79	+17.30	- 24
1054	4.99	B8	0.000	2 03 20.671	+4.042	+ 40	+54 33 42.33	+17.21	- 2
70	4.06	A2	0.000	2 04 47.371	+5.260	- 99	+72 29 43.24	+17.17	+ 22
73 pr	2.28	K0	0.000	2 04 51.445	+3.712	+ 40	+42 24 12.21	+17.09	- 52
1055	4.74	A0p	0.000	2 05 11.105	+2.688	+ 9	-29 13 22.75	+17.13	+ 8
74 *	2.00	K2	0.043	2 08 03.040	+3.398	+ 138	+23 32 06.09	+16.85	-148
75	3.08	A5	0.012	2 10 28.277	+3.593	+ 122	+35 03 35.61	+16.84	- 40
1056	5.92	M0	0.000	2 11 29.330	+3.339	+ 62	+19 34 21.99	+16.80	- 28
1058	4.54	G5	0.015	2 13 49.422	+3.189	- 15	+ 8 55 07.54	+16.71	- 9
82	3.78	B8	0.000	2 17 03.805	+2.142	+ 102	-51 26 27.51	+16.54	- 27
79	4.07	A0	0.036	2 18 14.459	+3.589	+ 38	+33 55 05.40	+16.45	- 51
1063	5.12	A0	0.012	2 20 17.274	+3.906	- 58	+47 27 02.40	+16.39	- 8
1065	4.26	A2	0.042	2 22 01.765	+1.087	- 92	-68 35 20.82	+16.32	+ 2
1066	4.90	A0	0.022	2 26 41.977	+2.902	- 7	-12 13 16.40	+16.07	- 9
86	4.44	B5	0.000	2 27 33.212	+2.198	+ 23	-47 38 05.47	+16.02	- 10
85	4.34	A0	0.022	2 28 59.115	+3.199	+ 27	+ 8 31 43.69	+15.95	- 9
1071	4.82	F5	0.023	2 32 49.352	+2.846	- 49	-15 10 38.05	+15.63	-120
1072	5.04	G5	0.000	2 36 41.392	+3.157	- 18	+ 5 39 36.40	+15.51	- 25
95	4.26	B9	0.000	2 39 49.975	+0.945	+ 155	-68 12 02.79	+15.36	- 2
91	4.04	B2	0.000	2 40 16.716	+3.082	+ 9	+ 0 23 40.60	+15.33	- 4
1075	4.06	K0	0.030	2 41 16.731	+2.367	+ 120	-39 47 22.90	+15.25	- 32
94	4.58	B3	0.000	2 44 21.927	+3.538	+ 6	+27 46 20.04	+15.09	- 12
97	4.39	B5	0.000	2 44 51.655	+2.859	- 5	-13 47 37.59	+15.06	- 15
93	4.22	F8	0.077	2 45 16.014	+4.135	+ 343	+49 17 34.89	+14.96	- 90
98	4.36	F0	0.040	2 45 46.948	+3.253	+ 192	+10 10 43.44	+14.99	- 36
101	4.50	K0	0.018	2 49 44.358	+2.512	+ 71	-32 20 29.42	+14.95	+155
100	3.68	B8	0.031	2 50 54.005	+3.549	+ 50	+27 19 24.62	+14.61	-118
102	4.81	K0	0.024	2 51 44.538	+2.724	- 33	-20 56 27.05	+14.65	- 19
99	3.95	K0	0.000	2 51 50.318	+4.425	+ 20	+55 57 31.46	+14.65	- 14

MIEJSCA ŚREDNIE GWIAZD 2015.5

FK5	magn.	Sp	π	$\alpha_{2015.5}$	przemiana roczna VA_α	μ_α	$\delta_{2015.5}$	przemiana roczna VA_δ	μ_δ
103	4.06	G0+A5	0°012	2 55 ^h 21 ^m .968 ^s	+4.296	- 0	+52°49'29".45	+14".45	- 5
104	4.05	K0	0.027	2 57 11.145	+2.936	+ 53	- 8 50 14.10	+14.13	-220
106 <i>pr</i>	3.42	A2	0.028	2 58 50.970	+2.276	- 39	-40 14 35.62	+14.26	+ 19
1082	4.97	K0	0.000	3 00 01.597	+3.739	- 38	+35 14 39.44	+14.18	+ 6
1083	4.69	B5	0.000	3 00 32.872	+3.225	+ 3	+ 8 58 05.84	+14.12	- 14
1085	4.16	A3	0.051	3 03 04.536	+2.647	- 105	-23 33 51.79	+13.93	- 54
107	2.82	M0	0.000	3 03 05.494	+3.144	- 6	+ 4 08 58.80	+13.90	- 78
110	5.16	F0	0.018	3 03 58.847	+1.422	- 97	-59 40 41.03	+13.86	- 66
108	3.08	F5+A3	0.011	3 05 55.730	+4.388	- 0	+53 33 57.69	+13.80	- 5
109	3.3-4.1	M3	0.000	3 06 10.522	+3.869	+ 111	+38 53 57.53	+13.68	-106
111	2.2-3.5	B8	0.031	3 09 10.996	+3.930	+ 3	+41 00 51.61	+13.59	- 1
112	4.17	G0	0.084	3 10 11.637	+4.367	+1301	+49 40 16.71	+13.43	- 93
114	4.53	K0	0.025	3 12 31.116	+3.444	+ 107	+19 47 03.69	+13.37	- 11
116	5.14	F8	0.049	3 13 33.990	+3.068	+ 131	- 1 08 20.23	+13.24	- 67
1089	4.95	A0	0.015	3 15 47.732	+3.462	- 20	+21 06 03.40	+13.09	- 73
1091	4.90	A3	0.020	3 16 35.266	+2.919	- 1	- 8 45 46.72	+13.16	+ 46
1093	4.96	G5	0.105	3 20 10.582	+3.155	+ 181	+ 3 25 33.94	+12.96	+ 92
119	4.30	G5	0.156	3 20 32.807	+2.396	+2775	-43 00 40.65	+13.57	+720
1094	5.17	B3	0.000	3 22 07.497	+3.477	+ 18	+21 12 06.97	+12.72	- 24
120 *	1.79	F5	0.029	3 25 26.232	+4.318	+ 25	+49 54 54.53	+12.49	- 25
121	3.80	G5	0.011	3 25 38.971	+3.238	- 45	+ 9 04 56.86	+12.42	- 78
123	3.75	B8	0.000	3 28 00.688	+3.261	+ 40	+ 9 47 08.82	+12.30	- 39
126	4.80	F5	0.052	3 29 39.142	+1.064	+ 562	-62 52 59.69	+12.60	+371
122	4.44	B9p	0.000	3 30 20.183	+4.912	- 3	+59 59 34.45	+12.17	- 4
1097	4.80	B9	0.000	3 31 23.275	+2.983	+ 10	- 5 01 22.36	+12.11	+ 7
124	4.55	K0	0.000	3 31 40.487	+4.262	+ 4	+48 02 51.10	+12.10	+ 20
125	4.28	K0	0.000	3 31 43.865	+3.323	+ 13	+12 59 19.72	+12.08	- 2
127	3.81	K0	0.303	3 33 39.731	+2.832	- 658	- 9 24 23.83	+11.97	+ 22
1099	4.32	B8	0.000	3 34 28.401	+2.653	+ 34	-21 34 54.15	+11.86	- 27
130	4.58	K0	0.000	3 37 39.090	+2.156	- 5	-40 13 28.18	+11.63	- 30
1101	4.40	G5	0.054	3 37 39.924	+3.068	- 156	+ 0 26 59.61	+11.18	-483
133	4.93	B5	0.000	3 42 51.939	+2.389	+ 7	-31 53 22.57	+11.30	+ 14
135	3.72	K0	0.109	3 43 59.528	+2.880	- 62	- 9 42 42.56	+11.95	+745
131	3.10	B5	0.000	3 44 02.119	+4.301	+ 28	+47 50 09.07	+11.17	- 34
141	3.80	K0	0.042	3 44 23.914	+0.772	+ 490	-64 45 30.52	+11.25	+ 75
137	5.09	B8	0.000	3 45 17.827	+3.054	+ 1	- 1 06 54.65	+11.11	- 7
136	3.81	B5p	0.019	3 45 47.942	+3.576	+ 14	+24 09 39.51	+11.03	- 46
134	3.93	F5	0.014	3 46 15.146	+4.100	- 13	+42 37 34.45	+11.04	- 2
146	3.17	M0	0.000	3 47 00.870	-0.860	+ 116	-74 11 28.31	+11.10	+114
140	4.33	F8	0.053	3 47 30.938	+2.584	- 115	-23 12 17.04	+10.42	-529
139	2.96	B5p	0.000	3 48 24.537	+3.580	+ 14	+24 09 06.92	+10.84	- 46
143	4.24	K0	0.018	3 50 02.097	+2.248	- 38	-36 09 14.37	+10.71	- 51
142	3.80	B8	0.000	3 50 05.220	+3.581	+ 13	+24 05 58.86	+10.72	- 47
138 *	4.63	A0	0.000	3 52 01.156	+6.442	+ 34	+71 22 41.06	+10.58	- 43
144	2.91	B1	0.000	3 55 06.605	+3.788	+ 4	+31 55 42.45	+10.38	- 10
149	3.19	K5	0.000	3 58 45.208	+2.803	+ 42	-13 27 55.22	+10.00	-111
147	2.96	B1	0.000	3 58 53.920	+4.047	+ 16	+40 03 13.55	+10.08	- 26
1110	4.41	M0	0.000	3 58 59.657	+0.964	+ 15	-61 21 24.47	+10.08	- 18
148	4.05	O5e	0.000	3 59 58.491	+3.911	+ 2	+35 50 03.54	+10.02	+ 0
150	3.8-4.1	B3	0.000	4 01 32.468	+3.333	- 4	+12 31 59.07	+ 9.89	- 12

MIEJSCA ŚREDNIE GWIAZD 2015.5

FK5	magn.	Sp	π	$\alpha_{2015.5}$	przemiana roczna VA_α	μ_α	$\delta_{2015.5}$	przemiana roczna VA_δ	μ_δ
151	3.94	A0	0''.022	4 03 ^h 58 ^m 952 ^s	+3.199	+ 3	+ 6°01'52".55	+9''.71	- 3
1112	4.50	K0	0.013	4 05 36.852	+3.559	+ 65	+22 07 23.22	+9.53	- 59
1113	4.33	A0	0.000	4 07 44.714	+4.498	- 15	+50 23 30.87	+9.39	- 36
152	4.03	B3p	0.015	4 09 47.557	+4.382	+ 20	+47 45 08.99	+9.24	- 31
154	4.14	F2	0.028	4 12 37.403	+2.934	+ 7	- 6 47 53.29	+9.13	+ 82
155	3.87	K0	0.019	4 14 30.994	+1.992	+ 42	-42 15 24.93	+8.69	-209
156	3.36	G5	0.000	4 14 37.676	+0.788	+ 65	-62 26 07.18	+8.94	+ 45
1117	4.28	G0	0.012	4 16 02.489	+4.431	+ 5	+48 26 50.16	+8.76	- 18
1118	4.32	B3	0.000	4 16 22.665	+3.266	+ 14	+ 8 55 48.29	+8.73	- 24
157	4.36	F5	0.053	4 16 26.055	+1.578	+114	-51 26 53.21	+8.93	+182
159	3.86	K0	0.000	4 20 40.650	+3.423	+ 80	+15 39 50.02	+8.39	- 25
158	5.10	G5	0.000	4 21 25.238	+3.911	- 20	+34 36 10.35	+8.35	- 5
163	5.18	K0	0.000	4 22 03.627	+0.666	+133	-63 20 59.46	+8.48	+173
162	3.93	K0	0.016	4 23 49.850	+3.469	+ 75	+17 34 39.64	+8.14	- 30
1121	4.06	K5	0.000	4 24 37.194	+2.257	+ 56	-33 58 54.03	+8.15	+ 50
164	3.63	K0	0.018	4 29 31.429	+3.513	+ 76	+19 12 48.92	+7.67	- 38
167	5.16	B3	0.000	4 31 18.661	+1.842	+ 6	-44 55 16.25	+7.56	- 8
171	3.47	A0p	0.011	4 34 19.981	+1.304	+ 60	-55 00 48.62	+7.31	- 4
1125	4.75	A5	0.022	4 34 43.803	+3.413	+ 71	+14 52 32.90	+7.26	- 27
170	3.88	K0	0.000	4 36 09.246	+2.336	- 35	-30 31 53.09	+7.16	- 12
168 *	0.85	K5	0.048	4 36 48.709	+3.451	+ 44	+16 32 21.32	+6.93	-190
169	4.12	B2	0.000	4 37 05.675	+3.003	+ 1	- 3 19 18.54	+7.09	- 5
172	3.98	K0	0.036	4 38 53.447	+2.751	- 52	-14 16 28.43	+6.79	-155
1129	4.52	F2	0.038	4 41 03.724	+1.937	-126	-41 50 05.71	+6.69	- 77
1130	5.08	F5	0.051	4 42 36.421	+2.125	+ 41	-37 06 53.42	+6.83	+193
174	4.33	B5	0.000	4 43 10.649	+3.610	- 1	+22 59 07.43	+6.58	- 16
176	4.18	B5	0.000	4 46 16.714	+3.005	+ 10	- 3 13 38.24	+6.32	- 13
1134	3.31	F8	0.125	4 50 40.980	+3.263	+313	+ 6 59 13.79	+5.98	+ 11
1133	5.10	K2	0.026	4 50 57.418	+4.052	- 32	+37 30 51.28	+5.99	+ 40
179	3.78	B3	0.000	4 52 01.972	+3.201	- 1	+ 5 37 49.64	+5.86	+ 1
1135	5.12	F0	0.000	4 52 16.970	+3.518	+ 56	+18 51 53.93	+5.80	- 35
1136	5.19	M0	0.000	4 53 24.671	+3.401	+ 0	+14 16 30.85	+5.68	- 57
180	3.87	B3	0.000	4 55 03.605	+3.130	+ 0	+ 2 27 53.71	+5.60	- 0
178	4.38	B0	0.000	4 55 36.082	+6.009	- 1	+66 22 00.88	+5.56	+ 6
181	2.90	K2	0.015	4 58 00.326	+3.918	+ 3	+33 11 21.33	+5.34	- 18
183	3.1–3.8	F5p	0.000	5 03 05.058	+4.319	- 1	+43 50 40.86	+4.92	- 4
1137	3.94v	K0+B1	0.000	5 03 33.864	+4.206	+ 8	+41 05 49.06	+4.86	- 22
184	4.70	A5	0.000	5 04 01.429	+3.594	+ 47	+21 36 38.88	+4.80	- 42
182	4.22	G0p	0.000	5 04 48.194	+5.364	- 9	+60 27 46.80	+4.76	- 16
187	4.92	K5	0.000	5 05 22.185	+1.559	+ 73	-49 33 26.65	+4.73	- 3
1140	4.65	B9	0.012	5 05 27.371	+3.435	+ 11	+15 25 27.95	+4.69	- 34
189	4.76	F8	0.078	5 05 46.704	+1.036	- 37	-57 27 07.15	+4.81	+115
186	3.29	K5	0.000	5 06 07.071	+2.543	+ 18	-22 21 04.15	+4.59	- 74
185	3.28	B3	0.013	5 07 36.267	+4.219	+ 26	+41 15 14.22	+4.47	- 68
188	2.92	A3	0.042	5 08 36.745	+2.953	- 63	- 5 04 02.90	+4.38	- 81
190	4.34	B2	0.000	5 09 53.341	+2.875	+ 1	- 8 44 06.96	+4.34	- 4
1144	3.30	A0p	0.018	5 13 37.705	+2.698	+ 30	-16 11 17.48	+4.00	- 26
196	4.78	K0	0.000	5 13 44.940	-0.031	+ 33	-67 10 04.31	+4.05	+ 36
192	4.78	A3	0.019	5 14 29.493	+4.116	- 16	+38 30 04.95	+3.88	- 75
194 *	0.12	B8p	0.000	5 15 17.008	+2.887	+ 0	- 8 11 05.27	+3.88	- 1

MIEJSCA ŚREDNIE GWIAZD 2015.5

FK5	magn.	Sp	π	$\alpha_{2015.5}$	przemiana roczna VA_α	μ_α	$\delta_{2015.5}$	przemiana roczna VA_δ	μ_δ
193 *	0.08	G0	0 ["] 073	5 17 ^h 50 ^m 20 ^s 208	+4.443	+ 72	+46°00'43"91	+3 ["] 24	-425
197	4.91	K0	0.012	5 18 02.659	+2.167	+ 72	-34 52 51.17	+3.31	-337
195	3.68	B5	0.000	5 18 21.595	+2.917	- 10	- 6 49 43.35	+3.61	- 8
1145	4.85	G0	0.066	5 20 14.009	+4.229	+451	+40 06 40.67	+2.79	-665
1146	4.29	B1	0.000	5 20 17.408	+2.767	- 1	-13 09 42.48	+3.45	- 3
1147	4.65	B3	0.000	5 22 33.273	+3.067	- 0	- 0 22 06.02	+3.26	- 1
201	1.70	B2	0.026	5 25 57.793	+3.222	- 6	+ 6 21 45.05	+2.95	- 14
202	1.78	B8	0.018	5 27 16.381	+3.799	+ 17	+28 37 08.82	+2.68	-175
204	2.96	G0	0.014	5 28 54.605	+2.573	- 3	-20 44 53.00	+2.62	- 89
214	5.06	K0	0.012	5 31 16.559	-2.343	+319	-76 19 44.85	+2.79	+282
206	2.48	B0	0.000	5 32 47.958	+3.069	+ 1	- 0 17 19.60	+2.37	- 2
207	2.69	F0	0.000	5 33 24.857	+2.649	+ 1	-17 48 43.81	+2.32	+ 2
1151	4.88	B1	0.000	5 33 44.287	+3.911	- 1	+32 12 07.44	+2.29	- 3
212	3.81v	F5p	0.000	5 33 45.685	+0.528	+ 3	-62 28 47.76	+2.30	+ 9
208	4.53	B0	0.000	5 35 40.349	+3.298	+ 1	+ 9 29 55.78	+2.12	- 4
209	2.89	O5e	0.021	5 36 11.508	+2.938	+ 0	- 5 54 02.87	+2.08	+ 1
210 *	1.70	B0	0.000	5 37 00.043	+3.048	+ 1	- 1 11 35.40	+2.01	- 2
211	3.00	B3p	0.000	5 38 34.320	+3.590	+ 0	+21 09 02.36	+1.85	- 21
215	2.75	B5p	0.000	5 40 12.666	+2.176	+ 5	-34 04 00.25	+1.70	- 26
1154	4.52	A5	0.019	5 44 48.119	+0.114	- 49	-65 43 47.22	+1.34	+ 8
217	3.80	F8	0.122	5 45 06.583	+2.503	-212	-22 26 39.43	+0.93	-369
219	3.67	A2	0.042	5 47 39.508	+2.721	- 11	-14 49 01.93	+1.08	- 1
220	2.20	B0	0.000	5 48 29.530	+2.848	+ 1	- 9 39 54.70	+1.00	- 2
1156	4.38	K0	0.011	5 50 06.605	+1.094	+ 99	-56 09 47.69	+0.79	- 76
1159	4.98	K0	0.016	5 51 14.311	+1.360	+ 6	-52 06 21.21	+0.69	- 78
223	3.22	K0	0.023	5 51 30.426	+2.118	+ 49	-35 45 48.09	+1.14	+401
222	3.90	K0	0.022	5 51 59.306	+2.582	+162	-20 52 43.64	+0.05	-649
221	4.18	K0	0.017	5 52 33.897	+4.162	- 4	+39 09 05.47	+0.66	+ 7
1158	4.54	A0	0.019	5 54 18.143	+3.774	+ 2	+27 36 52.13	+0.49	- 12
224 *	0.4-1.3	M0	0.000	5 56 00.690	+3.251	+ 17	+ 7 24 31.46	+0.36	+ 9
1157	4.92	A2	0.012	5 56 08.773	+5.033	- 15	+55 42 31.57	+0.36	+ 20
226	3.77	F0	0.061	5 57 06.681	+2.735	- 28	-14 09 57.32	+0.39	+139
1160	4.36	B3	0.000	5 58 05.221	+2.130	- 0	-35 16 56.80	+0.18	+ 9
229	4.03	K0	0.014	5 59 37.313	+1.839	+ 20	-42 48 54.22	+0.02	- 14
227 *	1.90	A0p	0.037	6 00 39.973	+4.403	- 54	+44 56 50.65	-0.06	+ 0
225	3.88	K0	0.020	6 00 48.245	+4.943	+ 92	+54 17 02.78	-0.20	-126
1163	4.30	G5	0.026	6 05 03.761	+3.649	- 6	+23 15 40.39	-0.54	-100
232	4.40	B2	0.000	6 08 27.448	+3.428	+ 4	+14 45 55.21	-0.76	- 21
239	5.14	K0	0.115	6 09 46.638	-1.794	+295	-74 45 27.92	-1.07	-214
235	4.84	B1	0.000	6 10 36.041	+1.171	- 4	-54 58 21.31	-0.92	+ 5
1168	4.45	K0	0.016	6 16 21.950	+3.823	- 57	+29 29 27.39	-1.69	-262
238	4.51	K0	0.019	6 17 06.249	+2.137	- 0	-35 08 47.47	-1.41	+ 86
1169	5.11	F5	0.042	6 17 18.859	+3.371	+ 56	+12 15 59.73	-1.33	+186
1170	5.13	B3	0.000	6 20 27.618	+2.892	- 3	- 7 49 49.76	-1.79	+ 0
234	4.73	A0	0.013	6 20 33.107	+6.599	+ 2	+69 18 42.94	-1.90	-107
240	3.10	B3	0.000	6 20 54.526	+2.306	+ 7	-30 04 16.12	-1.82	+ 3
237	4.42	A0	0.035	6 20 59.372	+5.289	- 10	+59 00 12.41	-1.81	+ 26
243	1.99	B1	0.014	6 23 22.947	+2.644	- 4	-17 57 52.54	-2.04	+ 0
241	3.19	M0	0.021	6 23 53.883	+3.630	+ 39	+22 30 15.37	-2.20	-111
245	-0.86	F0	0.018	6 24 17.785	+1.333	+ 25	-52 42 16.82	-2.10	+ 21
244	4.48	A5	0.024	6 24 35.382	+3.181	- 12	+ 4 35 01.70	-2.14	+ 11

MIEJSKA ŚREDNIE GWIAZD 2015.5

FK5	magn.	Sp	π	$\alpha_{2015.5}$	przemiana roczna VA_α	μ_α	$\delta_{2015.5}$	przemiana roczna VA_δ	μ_δ
242	5.10v	K2	0''000	6 ^h 26 ^m 05 ^s .468	+4.617	- 2	+49°16'42"03	-2''28	- 1
246	4.98	B3	0.000	6 28 43.507	+2.964	- 4	- 4 46 22.03	-2.51	- 1
1173	4.06	B5	0.013	6 29 52.997	+3.562	- 5	+20 12 03.57	-2.62	- 14
1174	4.50	A0p	0.000	6 33 44.528	+3.245	- 1	+ 7 19 13.48	-2.95	- 6
1175	5.02	B3	0.000	6 34 25.131	+3.047	- 2	- 1 13 59.06	-3.02	- 21
249	4.54	A0	0.017	6 35 42.374	+2.516	+ 8	-22 58 40.88	-3.09	+ 16
252	3.18	B8	0.000	6 38 14.156	+1.838	+ 2	-43 12 36.87	-3.33	- 6
251	1.93	A0	0.031	6 38 36.443	+3.465	+ 29	+16 23 05.30	-3.40	- 42
254	3.18	G5	0.000	6 44 53.111	+3.689	- 4	+25 06 51.88	-3.91	- 13
257 * _{cg}	-1.46	A0	0.375	6 45 49.836	+2.643	-386	-16 44 17.92	-5.19	-1205
256	3.40	F5	0.051	6 46 09.548	+3.367	- 79	+12 52 39.49	-4.20	- 191
262	3.30	A5	0.046	6 48 20.941	+0.613	- 97	-61 57 29.73	-3.93	+ 269
258	4.70	K0	0.015	6 48 40.135	+3.129	- 12	+ 2 23 38.52	-4.24	- 12
263	2.83	K0	0.000	6 50 19.262	+1.490	+ 38	-50 38 01.22	-4.44	- 70
1180	3.78	B2p	0.000	6 50 25.223	+2.243	- 5	-32 31 37.95	-4.37	+ 4
261	3.64	A2	0.021	6 53 48.567	+3.950	- 2	+33 56 28.10	-4.71	- 48
266	4.25	K2	0.021	6 54 54.619	+2.789	- 93	-12 03 32.58	-4.77	- 13
259	5.13	B5	0.000	6 55 22.016	+6.432	+ 6	+68 52 04.82	-4.79	+ 8
268	1.63	B1	0.000	6 59 14.122	+2.360	+ 3	-28 59 38.46	-5.12	+ 3
260 *	4.55	K5	0.020	7 02 18.291	+8.651	+210	+76 57 16.56	-5.40	- 14
1183	3.68	K5	0.017	7 02 20.219	+2.392	- 4	-27 57 28.43	-5.38	+ 5
270	3.12	B5p	0.000	7 03 40.315	+2.507	- 3	-23 51 24.69	-5.49	+ 3
271	4.07	B5	0.000	7 04 27.573	+2.715	- 1	-15 39 25.64	-5.57	- 8
269	3.7-4.1	G0p	0.000	7 05 01.637	+3.555	- 6	+20 32 46.62	-5.61	- 0
1189	3.87	K0	0.000	7 08 36.699	-0.530	+ 47	-70 31 26.40	-5.80	+ 106
273	1.98	F8p	0.000	7 09 01.316	+2.441	- 2	-26 25 07.22	-5.94	+ 4
1186	5.02	K0	0.021	7 10 59.877	+2.980	+ 0	- 4 15 44.59	-5.89	+ 215
1187	4.09	A0	0.015	7 12 39.344	+3.064	- 1	- 0 31 10.24	-6.24	+ 5
274	5.07	K2	0.022	7 12 43.162	+4.118	+ 38	+39 17 37.76	-6.25	+ 3
275	4.47	F0	0.040	7 13 00.172	+1.712	-128	-46 47 09.24	-6.17	+ 103
281	4.02	F5	0.000	7 16 49.111	-0.047	- 12	-67 59 08.15	-6.59	+ 5
278	2.74	K5	0.023	7 17 41.422	+2.121	- 8	-37 07 33.97	-6.66	+ 4
277	3.65	A2	0.041	7 18 58.972	+3.445	- 33	+16 30 40.36	-6.81	- 37
279	3.52	F0	0.059	7 21 02.845	+3.579	- 19	+21 57 09.10	-6.95	- 12
283	2.43	B5p	0.000	7 24 42.507	+2.375	- 3	-29 20 02.99	-7.23	+ 5
282	3.89	K0	0.031	7 26 41.263	+3.720	- 93	+27 45 57.53	-7.49	- 86
285	3.09	B8	0.020	7 27 59.443	+3.252	- 35	+ 8 15 25.07	-7.55	- 38
1194	3.28	K5	0.013	7 29 43.375	+1.905	- 50	-43 20 00.62	-7.46	+ 187
286	4.18	F0	0.059	7 30 06.409	+3.851	+121	+31 45 08.19	-7.50	+ 175
1193	4.85	K0	0.025	7 30 39.508	+3.337	+ 0	+11 58 24.18	-7.74	- 19
288	4.52	F8	0.047	7 34 43.006	+2.570	- 29	-22 19 49.73	-8.00	+ 46
287 * _{cg}	{ ^{1.99} _{2.85} } { ^{A0} _{A0} }		0.072	7 35 35.236	+3.821	-135	+31 51 11.77	-8.22	- 98
1198	4.92	K5	0.000	7 36 02.714	+1.483	+ 26	-52 34 08.52	-8.17	- 16
1196	4.22	K5	0.012	7 36 52.552	+3.690	- 26	+26 51 36.10	-8.33	- 106
290	4.62	B8	0.000	7 37 56.532	+2.222	- 18	-35 00 14.81	-8.29	+ 14
289	5.17	F5	0.027	7 38 02.919	+2.983	- 45	- 4 08 47.79	-8.30	+ 17
291 * _{cg}	0.48	F5	0.288	7 40 06.750	+3.137	-476	+ 5 11 03.28	-9.50	-1022
297	3.89	K0	0.011	7 41 37.228	-0.780	+ 67	-72 38 34.96	-8.58	+ 18
293	4.07	K0	0.019	7 41 59.269	+2.867	- 49	- 9 35 17.76	-8.65	- 19
292	4.96	A2	0.017	7 44 18.626	+5.042	- 48	+58 40 20.86	-8.86	- 51
294	3.70	G5	0.025	7 45 22.889	+3.615	- 24	+24 21 34.61	-8.95	- 52

MIEJSCA ŚREDNIE GWIAZD 2015.5

FK5	magn.	Sp	π	$\alpha_{2015.5}$	przemiana roczna VA_α	μ_α	$\delta_{2015.5}$	przemiana roczna VA_δ	μ_δ
0°0001	0°001								
295 *	1.14	K0	0°093	7 46 ^h 15 ^m 738 ^s	+3.663	-474	+27°59'15.20	- 9°01	- 45
1202	5.11	F0	0.023	7 46 39.693	+2.763	- 8	-14 36 08.65	- 8.99	+ 6
1200	5.02	K2	0.016	7 47 01.217	+3.468	- 53	+18 28 15.83	- 9.08	- 58
1204	3.47	G0p	0.000	7 49 56.789	+2.525	- 2	-24 53 58.33	- 9.25	- 2
1205	5.11	B8	0.000	7 52 30.185	+3.110	- 10	+ 1 43 34.64	- 9.45	- 3
301	3.76	G5	0.023	7 52 45.037	+2.064	- 8	-40 36 59.47	- 9.46	+ 3
1207	4.99	A2	0.000	7 54 26.601	+3.663	- 26	+26 43 28.08	- 9.63	- 31
303	3.60	B3	0.000	7 57 10.338	+1.524	- 32	-53 01 27.87	- 9.78	+ 21
1210	4.85	A2	0.019	7 58 17.212	+2.394	- 4	-30 22 37.35	- 9.88	+ 7
304	5.06	K0	0.025	8 00 30.596	+2.996	- 36	- 3 43 22.21	-10.06	- 3
1212	4.64	A2	0.015	8 00 33.735	+2.690	- 2	-18 26 33.52	-10.10	- 39
306	2.27	Od	0.000	8 04 07.764	+2.111	- 24	-40 02 51.29	-10.32	+ 12
305	5.04	K0	0.014	8 04 28.061	+3.675	- 19	+27 44 58.79	-10.40	- 42
308	2.88	F5	0.031	8 08 12.272	+2.557	- 61	-24 20 59.17	-10.59	+ 49
307	4.87	A2	0.000	8 09 37.007	+4.485	- 63	+51 27 38.11	-10.74	- 4
309	1.92	Oap	0.000	8 10 00.643	+1.850	- 4	-47 22 58.47	-10.76	+ 6
311	5.05	G5	0.020	8 14 02.718	+2.758	- 9	-15 50 08.93	-11.07	- 4
312	3.76	K2	0.014	8 17 21.307	+3.250	- 30	+ 9 08 12.38	-11.35	- 49
313	4.43	A5	0.036	8 19 08.163	+2.248	- 88	-36 42 29.08	-11.34	+ 97
318	4.26	K0	0.027	8 20 09.051	-1.914	-412	-77 32 02.09	-11.46	+ 42
1217	5.16	F5	0.061	8 21 00.200	+3.634	- 14	+27 09 59.01	-11.94	-378
1219	4.94	K0	0.021	8 21 59.691	+2.365	- 7	-33 06 15.78	-11.63	+ 4
315	1.74	K0+B	0.000	8 22 49.840	+1.226	- 35	-59 33 35.43	-11.68	+ 14
314	4.43	K5	0.020	8 23 53.501	+4.086	- 20	+43 08 13.92	-11.87	- 96
319	3.65	K0	0.033	8 25 54.063	+0.635	- 60	-66 11 20.01	-12.07	-155
316	3.95	A0	0.019	8 26 26.079	+2.997	- 44	- 3 57 28.34	-11.97	- 23
317	3.47	G0	0.000	8 31 32.433	+4.934	-182	+60 39 53.69	-12.41	-107
324	4.13	A5	0.012	8 38 11.390	+2.112	- 5	-43 02 38.26	-12.75	+ 8
1223	4.18	A0	0.027	8 38 28.554	+3.173	- 44	+ 5 38 55.67	-12.79	- 7
1224	4.54	K0	0.025	8 39 34.010	+3.133	- 12	+ 3 17 09.87	-12.87	- 18
1227	3.68	B3	0.000	8 40 44.245	+1.719	- 24	-52 58 39.02	-12.91	+ 20
325	5.15	K2	0.022	8 40 45.529	+2.843	- 55	-12 31 51.61	-12.94	- 2
1226	4.06	F5p	0.023	8 41 08.491	+1.994	+ 0	-46 42 16.13	-12.96	+ 3
1228	4.73	A0	0.000	8 44 10.834	+3.463	- 76	+21 24 42.37	-13.20	- 39
327	3.70	B2	0.000	8 44 12.958	+2.414	- 9	-33 14 34.56	-13.15	+ 11
326	4.17	K0	0.015	8 45 33.836	+3.402	- 13	+18 05 46.96	-13.48	-228
328	4.20	G5	0.021	8 47 37.913	+3.618	- 19	+28 42 08.00	-13.43	- 42
1230	5.19	B9	0.000	8 50 08.439	+3.014	- 14	- 3 30 04.94	-13.57	- 23
332	4.19	K2	0.025	8 51 11.445	+2.549	- 98	-27 46 04.97	-13.53	+ 87
336	3.98	B8	0.000	8 55 23.845	+1.355	- 28	-60 42 15.19	-13.85	+ 38
334	3.30	K0	0.029	8 56 12.735	+3.168	- 66	+ 5 53 08.50	-13.92	+ 15
337	4.27	A3	0.018	8 59 20.005	+3.275	+ 23	+11 47 48.69	-14.16	- 31
335 *	3.14	A5	0.066	9 00 15.709	+4.078	-443	+47 58 47.17	-14.41	-226
1234	4.42	F8	0.023	9 00 40.190	+2.244	- 35	-41 18 52.84	-14.17	+ 45
339 _{eg}	4.09	F5	0.070	9 01 38.451	+3.872	-393	+41 43 13.41	-14.52	-245
343	4.18	A5	0.044	9 02 41.278	+0.932	- 3	-66 27 29.59	-14.43	- 96
338	4.99	M0	0.000	9 03 55.331	+5.321	- 37	+67 34 04.21	-14.39	+ 19
341	3.68	A0	0.010	9 04 40.626	+4.068	- 32	+47 05 39.11	-14.51	- 54
342	3.69	K0	0.014	9 04 41.420	+2.073	- 44	-47 09 36.07	-14.47	- 13
1237	4.71	G5	0.019	9 07 30.646	+3.796	- 24	+38 23 21.41	-14.64	- 14

MIEJSCA ŚREDNIE GWIAZD 2015.5

FK5	magn.	Sp	π	$\alpha_{2015.5}$	przemiana roczna VA_α	μ_α	$\delta_{2015.5}$	przemiana roczna VA_δ	μ_δ
345	2.22	K5	0°015	9 08 ^h 34 ^m 044 ^s	+2.211	- 17	-43°29'44".64	-14".68	+ 13
1238	5.14	B8	0.000	9 08 35.113	+3.244	- 14	+10 36 17.94	-14.70	- 10
348	1.80	A0	0.038	9 13 21.811	+0.633	- 311	-69 46 52.30	-14.87	+108
347	3.84	A0	0.019	9 15 10.212	+3.118	+ 86	+ 2 14 53.07	-15.39	-310
351	2.25	F0	0.011	9 17 30.286	+1.605	- 26	-59 20 26.53	-15.20	+ 8
352	3.30	K5	0.021	9 21 59.719	+3.638	- 179	+34 19 34.18	-15.45	+ 19
1243	4.93	M0	0.000	9 22 10.818	+2.660	- 8	-26 01 55.37	-15.48	- 8
353	2.63	B3	0.000	9 22 35.668	+1.861	- 10	-55 04 38.48	-15.49	+ 9
1244	4.61	K0	0.000	9 25 33.242	+3.482	- 25	+26 06 53.19	-15.71	- 48
354 *	1.98	K2	0.017	9 28 20.947	+2.948	- 9	- 8 43 35.42	-15.78	+ 33
356	4.64	K2	0.000	9 29 53.184	+2.482	- 18	-36 01 11.21	-15.89	+ 1
361	3.04	K5	0.015	9 31 41.621	+1.826	- 39	-57 06 11.45	-15.99	+ 4
355	3.75	F0	0.034	9 32 44.101	+4.662	+ 160	+62 59 34.92	-16.02	+ 27
1246	5.12	G5	0.027	9 32 46.780	+3.228	- 64	+11 13 49.59	-16.13	- 82
358	3.26	F8p	0.052	9 33 53.111	+3.976	-1024	+51 36 20.94	-16.63	-530
1247	5.16	K0	0.045	9 33 55.327	+2.766	- 14	-21 11 05.88	-16.09	+ 15
360	4.62	G5	0.000	9 35 10.083	+3.656	+ 5	+36 19 40.53	-16.19	- 22
357	4.57	G0	0.039	9 35 49.595	+5.195	- 122	+69 45 39.79	-16.13	+ 78
1249	4.78	K0	0.000	9 39 15.756	+3.126	- 109	+ 4 34 42.94	-16.43	- 51
1250	4.10	K0	0.020	9 40 38.834	+3.062	+ 32	- 1 12 50.04	-16.51	- 64
364	4.96	B3	0.000	9 41 02.966	+2.878	- 19	-14 24 11.71	-16.49	- 20
365	3.76	F5+A3	0.028	9 41 58.597	+3.197	- 96	+ 9 49 16.04	-16.55	- 37
366	4.98	F5p	0.045	9 44 53.633	+2.679	- 36	-27 50 27.73	-16.62	+ 35
1254	3.6–4.8	G0	0.019	9 45 40.360	+1.649	- 20	-62 34 47.02	-16.69	+ 7
367	3.12	G0p	0.000	9 46 43.700	+3.394	- 34	+23 42 07.77	-16.76	- 11
1255	5.20	G0	0.066	9 49 34.965	+3.841	+ 215	+45 56 52.85	-16.98	- 92
368	3.89	F0	0.036	9 52 04.768	+4.213	- 379	+58 57 53.99	-17.15	-151
371	4.10	K0	0.022	9 53 38.536	+3.400	- 160	+25 55 59.74	-17.13	- 56
373	5.16	M0	0.000	9 55 36.119	+2.833	- 33	-19 05 00.21	-17.20	- 37
375	3.70	B5	0.000	9 57 24.513	+2.114	- 12	-54 38 31.18	-17.24	+ 3
374	5.19	F5	0.038	9 58 37.689	+3.651	- 103	+40 58 52.16	-17.32	- 24
378	4.89	M0	0.016	10 01 01.892	+3.166	- 21	+ 7 58 09.30	-17.42	- 23
1261	4.72	B8	0.000	10 05 52.786	+2.924	- 25	-13 08 25.27	-17.59	+ 18
379	3.58	A0p	0.000	10 08 10.542	+3.263	- 1	+16 41 11.40	-17.70	- 0
380 *	1.35	B8	0.039	10 09 11.758	+3.189	- 169	+11 53 27.20	-17.74	+ 7
381	3.83	K0	0.014	10 11 20.648	+2.927	- 138	-12 25 52.25	-17.92	- 88
385	3.56	B8	0.000	10 14 06.232	+1.421	- 76	-70 06 54.43	-17.93	+ 7
382	4.09	A2	0.028	10 15 23.341	+2.528	- 131	-42 11 57.30	-17.94	+ 45
384	3.65	F0	0.000	10 17 32.979	+3.326	+ 13	+23 20 22.27	-18.08	- 7
1264	3.44	K5	0.000	10 17 36.156	+2.013	- 34	-61 24 36.32	-18.07	+ 5
383	3.52	A2	0.021	10 18 01.540	+3.594	- 149	+42 50 11.09	-18.13	- 38
1268	4.99	K5	0.017	10 22 59.637	+2.584	- 20	-41 43 42.41	-18.22	+ 56
386	3.21	K5	0.031	10 23 14.824	+3.551	- 72	+41 25 15.67	-18.25	+ 35
391	4.08	F5	0.079	10 24 41.887	+1.174	- 52	-74 06 38.31	-18.36	- 26
387	4.92	A0	0.040	10 25 13.879	+4.251	- 13	+65 29 14.50	-18.37	- 22
389	4.06	K5	0.013	10 26 50.462	+2.906	- 89	-16 54 57.23	-18.49	- 80
392	4.42	K5	0.017	10 27 51.786	+2.753	- 58	-31 08 49.65	-18.43	+ 11
393	4.08	F0	0.000	10 28 27.037	+2.215	- 17	-58 49 08.15	-18.46	- 0
390	4.41	K0	0.021	10 28 46.525	+3.450	- 98	+36 37 38.35	-18.58	-101
394	4.84	F5	0.080	10 31 36.510	+3.797	- 209	+55 54 01.95	-18.60	- 30

MIEJSKA ŚREDNIE GWIAZD 2015.5

FK5	magn.	Sp	π	$\alpha_{2015.5}$	przemiana roczna VA_α	μ_α	$\delta_{2015.5}$	przemiana roczna VA_δ	μ_δ
397	3.58	B5p	0°000	10 32 ^h 34 ^m 688 ^s	+2.146	- 27	-61°45'55.38	-18.59	+ 9
1273	5.14	K0	0.000	10 33 36.312	+2.544	- 18	-47 05 00.92	-18.63	+ 3
396	3.85	B0p	0.000	10 33 37.577	+3.155	- 4	+ 9 13 34.97	-18.64	- 3
401	4.10	M0	0.000	10 35 38.358	+0.657	-143	-78 41 17.56	-18.69	+ 14
398	5.16	F0	0.023	10 36 08.982	+3.820	+ 82	+57 00 08.31	-18.68	+ 39
395 *	4.84	G5	0.024	10 36 22.210	+4.928	- 82	+75 37 56.61	-18.73	- 3
1275	4.77	G0	0.015	10 39 35.339	+3.361	+ 0	+31 53 42.96	-18.81	+ 8
402	4.37	G0	0.015	10 39 55.619	+2.403	- 22	-55 41 03.49	-18.83	+ 5
406	3.03	B0	0.000	10 43 30.746	+2.155	- 35	-64 28 33.32	-18.93	+ 10
405	5.05	A2	0.013	10 44 15.373	+3.252	- 84	+23 06 24.72	-18.95	+ 9
411	4.62	B3	0.000	10 45 54.482	+0.485	-200	-80 37 19.07	-19.00	+ 8
410	3.32	K0	0.022	10 50 23.446	+2.965	+ 65	-16 16 30.44	-18.92	+200
412	3.92	K0	0.017	10 54 10.481	+3.339	+ 70	+34 07 51.46	-19.50	-279
414	4.70	K0	0.017	10 57 26.565	+2.808	+ 65	-37 13 17.25	-19.43	-128
1282	5.14	G0	0.073	11 00 19.773	+3.340	-278	+40 20 49.83	-19.31	+ 57
1283	4.20	K0	0.024	11 00 31.860	+2.929	-323	-18 22 53.76	-19.24	+130
415	4.56	A2	0.000	11 00 52.148	+2.767	+ 25	-42 18 33.55	-19.38	+ 3
1284	5.05	K0	0.000	11 01 21.658	+3.097	+ 10	+ 3 32 02.20	-19.41	- 16
416 *	2.37	A0	0.042	11 02 46.046	+3.580	+ 99	+56 17 56.31	-19.39	+ 34
417 *	1.79	K0	0.031	11 04 40.347	+3.651	-167	+61 40 00.69	-19.53	- 66
418	4.66	F0	0.014	11 05 48.969	+3.092	-229	+ 7 15 06.97	-19.53	- 46
419	5.06	F5	0.033	11 06 04.851	+2.900	-141	-27 22 39.01	-19.49	- 4
1289	4.02	F8p	0.000	11 09 15.400	+2.585	- 9	-59 03 33.22	-19.55	- 0
420	3.15	K0	0.000	11 10 31.758	+3.350	- 60	+44 24 50.85	-19.60	- 28
421	4.52	A2	0.045	11 12 25.344	+2.959	+ 2	-22 54 38.53	-19.71	-100
422	2.58	A3	0.040	11 14 55.841	+3.183	+101	+20 26 18.73	-19.79	-130
423	3.41	A0	0.019	11 15 03.121	+3.142	- 42	+15 20 40.55	-19.74	- 79
1292	4.58	A5	0.014	11 17 27.007	+3.052	- 72	- 3 44 11.67	-19.73	- 36
425	3.71	K0	0.013	11 19 18.774	+3.226	- 20	+33 00 34.21	-19.70	+ 28
1293	4.78	A2	0.021	11 19 58.349	+3.252	- 48	+38 06 01.11	-19.80	- 68
426	3.82	K0	0.019	11 20 07.028	+3.005	- 84	-14 51 45.49	-19.53	+208
428	4.26	B5	0.000	11 21 43.148	+2.759	- 41	-54 34 34.16	-19.77	- 6
427	4.13	A0	0.000	11 21 56.126	+3.092	- 62	+ 5 56 39.06	-19.78	- 12
431	4.14	A5	0.022	11 25 39.482	+3.004	- 69	-17 46 09.50	-19.81	+ 4
1297	5.18	K0	0.031	11 28 44.069	+3.085	+ 12	+ 2 46 14.47	-19.87	- 12
433	4.06	M0	0.024	11 32 18.508	+3.493	- 73	+69 14 43.29	-19.91	- 17
434	3.72	G5	0.019	11 33 46.047	+2.964	-162	-31 56 36.69	-19.95	- 39
436	3.34	B9	0.000	11 36 30.180	+2.800	- 61	-63 06 20.37	-19.94	- 5
1299	4.81	B9	0.000	11 37 28.156	+3.048	- 41	- 9 53 17.14	-19.94	+ 8
437	4.47	K0	0.015	11 37 44.573	+3.073	+ 3	- 0 54 34.13	-19.90	+ 43
439	4.88	B8	0.000	11 40 59.189	+2.995	- 34	-34 49 50.36	-19.97	+ 0
1301	4.90	G5	0.022	11 45 33.039	+3.049	+ 22	-18 26 13.20	-20.03	- 30
442	3.80	A5	0.000	11 46 20.831	+2.872	-174	-66 48 52.97	-19.97	+ 37
1302	4.20	M0	0.013	11 46 39.350	+3.083	- 12	+ 6 26 32.60	-20.19	-184
441	3.85	K0	0.014	11 46 51.817	+3.146	-136	+47 41 36.24	-19.98	+ 30
443	4.22	G0	0.000	11 47 16.248	+2.936	- 37	-61 15 52.62	-20.03	- 15
1304	4.54	F8	0.028	11 48 47.014	+3.089	-106	+20 07 57.81	-20.02	- 3
444	2.23	A2	0.076	11 49 50.961	+3.056	-342	+14 29 07.25	-20.14	-114
445	3.80	F8	0.098	11 51 30.178	+3.126	+495	+ 1 40 38.23	-20.30	-271
446	4.71	K0	0.016	11 51 55.488	+3.021	- 67	-45 15 35.33	-20.04	- 10
447 *	2.44	A0	0.020	11 54 38.374	+3.128	+107	+53 36 30.75	-20.02	+ 12

MIEJSKA ŚREDNIE GWIAZD 2015.5

FK5	magn.	Sp	π	$\alpha_{2015.5}$	przemiana roczna VA_α	μ_α	$\delta_{2015.5}$	przemiana roczna VA_δ	μ_δ
1309	5.16	A0	"036	11 ^h 56 ^m 48 ^s .458	+3.066	- 36	-17°14'13"74	-20"05	- 6
1311	4.57	A3	0.017	12 01 40.043	+3.074	+ 1	+ 6 31 40.31	-20.07	- 30
450	4.24	G5	0.037	12 05 59.894	+3.055	-148	+ 8 38 48.73	-19.99	+ 46
452	2.88	B3p	0.020	12 09 10.093	+3.137	- 36	-50 48 31.30	-20.03	- 8
453	3.21	K0	0.020	12 10 55.467	+3.097	- 51	-22 42 21.27	-20.01	+ 13
454	5.12	A5	0.027	12 12 54.481	+2.738	+ 29	+77 31 48.66	-19.99	+ 22
455	3.08	B3	0.000	12 15 58.584	+3.224	- 53	-58 50 06.16	-20.00	- 9
456	3.44	A2	0.052	12 16 11.224	+2.943	+127	+56 56 47.65	-19.98	+ 9
457	2.78	B8	0.000	12 16 36.320	+3.095	-112	-17 37 40.49	-19.97	+ 23
459	4.38	B5	0.000	12 19 17.141	+3.658	-174	-79 23 53.27	-19.95	+ 17
460	4.00	A0	0.010	12 20 41.980	+3.073	- 42	- 0 45 10.23	-19.98	- 18
1317	5.10	K0	0.000	12 21 08.240	+3.049	-195	+ 3 13 34.65	-20.02	- 65
1318	4.78	F5	0.011	12 23 16.967	+3.009	- 8	+25 45 36.83	-19.95	- 9
462	1.58	B1	0.000	12 27 28.267	+3.386	- 53	-63 11 05.27	-19.91	- 12
464	4.16	B3	0.000	12 28 53.091	+3.274	- 32	-50 18 58.96	-19.90	- 15
465	3.11	A0	0.018	12 30 40.104	+3.114	-146	-16 36 05.66	-20.00	- 138
468	1.61	M3	0.000	12 32 02.047	+3.367	+ 29	-57 11 59.28	-20.11	- 262
469	4.04	B5	0.000	12 33 24.654	+3.668	-126	-72 13 06.13	-19.83	- 2
472	3.88	B5p	0.010	12 34 08.192	+2.528	-113	+69 42 10.52	-19.81	+ 12
470	4.32	G0	0.108	12 34 28.540	+2.837	-625	+41 16 24.20	-19.52	+ 292
471	2.84	G5	0.027	12 35 12.263	+3.164	+ 2	-23 28 56.23	-19.86	- 54
1323	4.78	A0	0.000	12 35 37.337	+2.985	- 47	+22 32 38.52	-19.78	+ 21
473 ^{sq}	5.18	K0	0.000	12 35 54.350	+3.006	- 4	+18 17 30.75	-19.77	+ 23
474	2.94	B3	0.000	12 38 07.390	+3.649	- 90	-69 13 14.63	-19.78	- 13
475	4.78	K0	0.014	12 40 02.861	+3.103	- 51	- 8 04 50.63	-19.76	- 25
1326	4.95	A0	0.000	12 42 40.131	+3.037	+ 57	+10 09 01.35	-19.79	- 90
1327	4.8–6.0	N3	0.000	12 45 51.361	+2.806	- 1	+45 21 20.66	-19.63	+ 15
481	1.50	B1	0.000	12 48 38.208	+3.552	- 63	-59 46 23.49	-19.61	- 14
1331	5.01	A0	0.012	12 51 31.898	+3.275	- 23	-34 05 00.94	-19.56	- 20
1332	5.07	G0	0.010	12 52 27.141	+2.917	- 9	+27 27 23.68	-19.53	- 8
482	4.34	A5	0.047	12 54 18.008	+3.346	+ 55	-40 15 46.61	-19.50	- 22
483 *	1.77	A0p	0.000	12 54 42.424	+2.622	+133	+55 52 33.42	-19.48	- 6
1335	4.91	M3	0.014	12 55 09.629	+3.128	- 17	- 9 37 22.35	-19.48	- 15
484	3.66	M0	0.017	12 56 23.098	+3.025	-313	+ 3 18 48.48	-19.49	- 54
485 ^{sq}	2.90	A0p	0.023	12 56 45.040	+2.797	-198	+38 14 05.78	-19.37	+ 56
488	2.95	K0	0.036	13 02 56.902	+2.987	-185	+10 52 34.03	-19.27	+ 20
487	3.63	K2	0.023	13 03 21.562	+4.228	+543	-71 37 55.26	-19.30	- 21
1337	5.11	B9	0.000	13 06 27.833	+2.798	- 25	+35 42 58.55	-19.18	+ 21
489	4.40	B3	0.000	13 07 49.399	+3.537	- 27	-49 59 20.00	-19.18	- 12
490	4.45	A0	0.022	13 10 45.242	+3.113	- 21	- 5 37 17.06	-19.13	- 33
492	4.32	G0	0.120	13 12 35.732	+2.795	-604	+27 47 59.71	-18.16	+ 881
493	4.94	B8	0.000	13 16 19.029	+4.148	- 74	-67 58 34.43	-18.95	- 9
494	4.66	F0	0.014	13 18 14.132	+2.682	-110	+40 29 28.88	-18.86	+ 21
1344	5.01	M0	0.011	13 18 23.290	+3.033	- 4	+ 5 23 18.82	-18.87	+ 13
1345	4.80	G5	0.115	13 19 13.130	+3.151	-751	-18 23 49.56	-19.92	-1066
495	3.33	G5	0.021	13 19 46.043	+3.276	+ 47	-23 15 10.58	-18.88	- 45
496	2.91	A2	0.046	13 21 28.402	+3.395	-284	-36 47 37.08	-18.87	- 86
1347	4.62	B5	0.000	13 23 38.756	+3.933	- 53	-61 04 08.69	-18.74	- 14
497 ^{pr}	2.27	A2p	0.037	13 24 32.839	+2.405	+141	+54 50 41.16	-18.71	- 20
498 *	0.98	B2	0.021	13 26 00.705	+3.170	- 28	-11 14 30.39	-18.68	- 28
1349	5.16	G0	0.041	13 29 11.309	+2.936	-162	+13 41 46.93	-19.12	- 577

MIEJSCA ŚREDNIE GWIAZD 2015.5

FK5	magn.	Sp	π	$\alpha_{2015.5}$	przemiana roczna VA_α	μ_α	$\delta_{2015.5}$	przemiana roczna VA_δ	μ_δ	
1351	4.93	A2p	0."016	13 34 ^h 55 ^m 11.17	+3.045	+	30	+ 3°34'47".15	-18."37	- 24
501	3.44	A2	0.035	13 35 29.047	+3.063	-	190	- 0 40 29.04	-18.29	+ 42
502	4.96	F0	0.019	13 35 29.256	+2.673	+	72	+37 06 12.28	-18.34	- 9
504	2.56	B1	0.000	13 40 52.734	+3.843	-	32	-53 32 40.58	-18.15	- 17
1355	5.16	M0	0.011	13 42 25.712	+3.158	-	64	- 8 46 50.69	-18.03	+ 40
506	4.36	F5	0.045	13 46 34.369	+3.429	-	367	-33 07 17.77	-18.06	- 146
507	4.51	F5	0.056	13 47 59.942	+2.852	-	336	+17 22 48.03	-17.82	+ 40
509 *	1.86	B3	0.029	13 48 08.998	+2.358	-	125	+49 14 10.89	-17.86	- 11
508	3.32	B2p	0.000	13 50 33.398	+3.642	-	21	-42 33 01.34	-17.77	- 20
510	5.11	K0	0.038	13 50 42.989	+3.272	-	70	-18 12 39.07	-17.79	- 38
511	4.77	M0	0.014	13 51 53.089	+1.753	+	1	+64 38 49.20	-17.70	- 2
513	2.80	G0	0.102	13 55 25.363	+2.857	-	44	+18 19 13.84	-17.91	- 358
512	3.06	B2p	0.000	13 56 30.859	+3.776	-	56	-47 21 50.47	-17.55	- 42
514	4.68	K0	0.025	13 58 47.113	+4.412	-	67	-63 45 42.68	-17.44	- 30
515	5.17	B8	0.000	13 59 23.550	+3.382	-	36	-25 02 50.28	-17.41	- 29
516	4.34	A2	0.015	14 02 26.203	+3.059	+	12	+ 1 28 12.27	-17.27	- 21
521	3.64	A0p	0.011	14 04 48.576	+1.628	-	84	+64 18 07.47	-17.12	+ 18
518	0.86	B1	0.016	14 04 55.842	+4.293	-	43	-60 26 49.11	-17.16	- 19
519	3.48	K0	0.039	14 07 15.494	+3.434	+	33	-26 45 22.97	-17.17	- 139
520	2.26	K0	0.059	14 07 35.995	+3.554	-	429	-36 26 44.15	-17.53	- 519
524 *	4.82	K0	0.000	14 08 48.581	-0.140	-	98	+77 28 28.65	-16.93	+ 34
522	4.82	F5	0.041	14 11 06.348	+2.736	-	16	+25 01 07.49	-16.91	- 61
523	4.31	K0	0.017	14 13 43.495	+3.210	+	6	-10 20 42.83	-16.59	+ 140
526 *	-0.04	K0	0.090	14 16 22.126	+2.739	-	770	+19 06 08.19	-18.60	-1999
528	4.87	A5	0.044	14 16 42.825	+2.122	-	160	+51 17 46.38	-16.49	+ 92
525	4.16	F5	0.039	14 16 49.806	+3.155	-	2	- 6 04 25.96	-17.01	- 432
527	4.26	A0	0.043	14 16 58.338	+2.278	-	179	+46 01 03.43	-16.41	+ 161
1370	4.83	K0	0.000	14 18 39.106	+2.535	+	3	+35 26 18.76	-16.47	+ 16
1371	4.60	A2	0.010	14 19 57.064	+3.257	-	11	-13 26 30.37	-16.39	+ 30
529	4.41	B5	0.000	14 21 25.154	+4.240	-	16	-56 27 25.53	-16.36	- 9
1373	4.17	A0	0.000	14 21 30.331	+3.673	-	53	-37 57 21.11	-16.35	- 12
1375	5.08	A3	0.023	14 24 57.693	+2.991	-	52	+ 5 45 01.55	-16.16	+ 5
531	4.06	F8	0.067	14 25 43.449	+2.042	-	253	+51 46 46.45	-16.52	- 398
1377	4.65	B3	0.000	14 27 08.352	+3.882	-	12	-45 17 26.59	-16.06	- 13
1379	4.37	K2	0.017	14 27 30.602	-0.051	+	23	+75 37 37.43	-16.01	+ 23
533	4.99	K0	0.043	14 29 00.159	+3.098	-	93	- 2 17 48.31	-15.96	- 2
532	5.00	B8	0.000	14 29 05.147	+3.532	-	18	-29 33 37.81	-15.97	- 23
534	3.78	K0	0.025	14 32 29.867	+2.585	-	77	+30 18 14.30	-15.65	+ 119
535	3.00	F0	0.016	14 32 42.106	+2.415	-	97	+38 14 27.64	-15.60	+ 153
1380	4.48	F0	0.063	14 35 21.311	+2.612	+	145	+29 40 42.25	-15.48	+ 133
537	2.65	B3p+A2p	0.000	14 36 29.860	+3.837	-	31	-42 13 30.35	-15.58	- 35
538 _{cg}	{ 0.33 }	{ G ⁰ } { K ₅ }	0.752	14 40 39.717	+4.124	-4997	-60 53 54.50	-14.62	+ 694	
541	2.89	B2	0.000	14 42 58.071	+4.023	-	21	-47 27 13.62	-15.20	- 18
539	3.42	F0	0.049	14 43 46.627	+4.926	-	302	-65 02 29.32	-15.37	- 232
545	3.95	F5	0.039	14 43 52.757	+3.170	+	73	- 5 43 29.38	-15.45	- 316
1383	4.93v	M0	0.000	14 44 06.251	+2.638	-	10	+26 27 45.17	-15.14	- 17
544	4.13	K0	0.000	14 44 36.612	+3.691	-	52	-35 14 22.50	-15.27	- 180
547	3.76	A0	0.030	14 47 02.034	+3.039	-	76	+ 1 49 41.66	-14.98	- 27
546	5.20	K0	0.015	14 48 06.911	+4.237	-	17	-52 26 53.40	-14.97	- 82
542	3.81	K5	0.020	14 49 51.344	+7.759	-	41	-79 06 31.48	-14.80	- 16

MIEJSKA ŚREDNIE GWIAZD 2015.5

FK5	magn.	Sp	π	$\alpha_{2015.5}$	przemiana roczna VA_α	μ_α	$\delta_{2015.5}$	przemiana roczna VA_δ	μ_δ
550 *	2.08	K5	0"31	14 ^h 50 ^m 40 ^s .534	-0.110	- 76	+74°05'31".56	-14".72	+ 12
548	2.90	A3	0.049	14 51 44.320	+3.331	- 73	-16 06 19.30	-14.74	- 67
554	4.86v	M3	0.011	14 57 50.047	+0.973	-129	+65 52 15.43	-14.27	+ 32
552	2.81	B2p	0.000	14 59 33.222	+3.957	- 32	-43 11 43.59	-14.24	- 39
553	3.35	B3	0.000	15 00 10.558	+3.930	- 17	-42 09 55.73	-14.19	- 24
1394	4.8-5.9	A0	0.021	15 01 48.167	+3.215	- 43	- 8 34 46.69	-14.06	- 5
555	3.63	G5	0.022	15 02 31.799	+2.261	- 36	+40 19 48.16	-14.04	- 28
556	3.41	M3	0.056	15 04 58.860	+3.527	- 54	-25 20 31.08	-13.90	- 43
557	4.67	K0	0.016	15 05 06.618	+2.573	-130	+26 53 16.30	-13.86	- 6
1396	5.03	F0	0.061	15 07 58.943	+2.637	+136	+24 48 34.18	-13.83	- 165
1398	4.14	B9	0.000	15 13 01.189	+4.204	- 96	-48 47 44.44	-13.39	- 49
559	4.66	A0p	0.023	15 13 06.476	+3.433	- 25	-19 50 58.07	-13.38	- 39
558	3.50	K0	0.036	15 13 24.438	+4.348	-122	-52 09 25.53	-13.39	- 73
1399	4.95	F0	0.000	15 15 34.555	+3.694	- 4	-31 34 33.72	-13.18	+ 1
563	3.54	K0	0.028	15 16 07.686	+2.421	+ 69	+33 15 27.57	-13.25	- 112
564	2.74	B8	0.000	15 17 50.589	+3.238	- 65	- 9 26 21.18	-13.05	- 19
561	4.16	A3	0.046	15 18 44.350	+4.748	-129	-58 51 28.23	-13.10	- 137
560	3.06	A0	0.000	15 20 22.665	+5.696	-132	-68 44 06.92	-12.89	- 31
569 *	3.05	A2	0.000	15 20 42.915	-0.046	- 40	+71 46 43.87	-12.81	+ 20
1402	3.43	B2	0.000	15 22 23.701	+3.962	- 13	-40 42 09.52	-12.75	- 26
566	3.59	K5	0.000	15 22 47.674	+3.828	- 74	-36 18 59.63	-12.78	- 84
1403	4.69	B3	0.000	15 24 09.056	+3.854	- 15	-36 54 46.96	-12.63	- 23
568 pr	4.47	F0	0.030	15 25 04.591	+2.268	-122	+37 19 24.46	-12.45	+ 87
571	3.47	K0	0.032	15 25 16.583	+1.344	- 12	+58 54 43.76	-12.51	+ 17
572	3.72	F0p	0.031	15 28 28.110	+2.476	-137	+29 03 10.82	-12.22	+ 86
573	5.15	K5	0.020	15 31 29.198	+2.157	+ 10	+40 46 51.11	-12.10	- 7
576	4.17	B5	0.020	15 33 33.315	+2.421	- 15	+31 18 26.93	-11.96	- 11
1409	4.83	K0	0.024	15 35 01.663	+3.288	+209	-10 07 00.15	-12.08	- 234
578 *	2.23	A0	0.043	15 35 20.684	+2.543	+ 91	+26 39 47.89	-11.92	- 88
577	4.02	K0	0.033	15 36 23.743	+3.366	+ 45	-14 50 24.91	-11.74	+ 9
579	3.78	K2	0.037	15 37 58.128	+3.657	- 7	-28 11 07.06	-11.64	+ 3
574	4.11	K0	0.030	15 38 09.363	+5.566	+ 39	-66 22 03.31	-11.68	- 55
1413	4.96	K5	0.032	15 42 50.541	+3.468	- 26	-19 43 41.00	-11.39	- 103
590 *	4.32	A2	0.011	15 43 32.094	-2.012	+ 62	+77 44 46.15	-11.24	- 1
582	2.75	K0	0.046	15 45 01.963	+2.960	+ 92	+ 6 22 40.05	-11.09	+ 47
583	3.74	A2	0.034	15 46 54.234	+2.773	+ 46	+15 22 27.02	-11.04	- 45
587	5.13	A2	0.013	15 46 54.384	+0.930	+ 57	+62 33 06.99	-11.05	- 55
584	4.28	K5	0.019	15 49 26.293	+2.704	- 36	+18 05 40.28	-10.90	- 88
585	3.63	A0	0.000	15 50 25.854	+3.138	- 57	- 3 28 36.07	-10.76	- 24
588	3.75	A2	0.035	15 51 35.402	+2.996	+ 86	+ 4 25 55.28	-10.59	+ 63
1414	4.77	K0	0.036	15 51 49.017	+2.264	- 5	+35 36 36.03	-10.98	- 347
586	4.11	B9	0.000	15 51 56.868	+3.830	- 5	-33 40 23.56	-10.65	- 30
1416	4.61	G0	0.056	15 53 12.726	+2.077	+396	+42 24 31.91	- 9.90	+ 633
1415	5.06	B3	0.000	15 54 14.203	+3.494	- 8	-20 12 44.43	-10.48	- 24
589	3.04	F0	0.078	15 56 31.289	+5.345	-283	-63 28 36.73	-10.68	- 398
591	3.86	F5	0.069	15 57 10.207	+2.776	+217	+15 36 42.96	-11.52	-1281
595	4.96	A5	0.019	15 58 09.601	+1.431	-173	+54 42 23.24	-10.05	+ 109
593	4.22	K0	0.021	15 58 13.799	+2.487	- 57	+26 50 01.61	-10.22	- 62
1417	4.68	B3p	0.000	15 59 03.581	+3.369	- 8	-14 19 22.90	-10.11	- 15
592	3.00	B2	0.000	15 59 47.557	+3.642	- 8	-26 09 27.27	-10.06	- 26
1418	5.07	G5	0.014	16 00 33.895	+4.107	- 36	-41 47 15.64	-10.00	- 18

MIEJSKA ŚREDNIE GWIAZD 2015.5

FK5	magn.	Sp	π	$\alpha_{2015.5}$	przemiana roczna VA_α	μ_α	$\delta_{2015.5}$	przemiana roczna VA_δ	μ_δ
594	2.54	B0	0''000	16 ^h 01 ^m 15. ^s 156	+3.559	- 8	-22°39'52.78	-9''.95	- 22
598	4.11	F8	0.046	16 02 10.895	+1.134	-410	+58 31 27.22	-9.52	+335
597 <i>pr</i>	2.90	B1	0.000	16 06 20.451	+3.499	- 4	-19 50 48.16	-9.56	- 19
596	4.84	A3p	0.012	16 07 35.478	+4.263	+ 2	-45 12 50.19	-9.41	+ 28
599	4.33	B3	0.000	16 07 36.848	+3.957	-14	-36 50 35.66	-9.47	- 29
601	4.26	B9p	0.012	16 09 15.530	+1.894	- 24	+44 53 41.67	-9.27	+ 38
1423	4.94	K0	0.027	16 09 32.340	+2.196	- 45	+36 27 08.04	-8.96	+333
600	5.09	K0	0.016	16 14 42.535	+4.764	- 3	-54 40 08.67	-8.91	- 24
603	3.03	M0	0.029	16 15 09.567	+3.151	-29	- 3 43 59.47	-8.99	-143
602	4.03	G0	0.022	16 16 51.620	+5.512	+ 3	-63 43 24.49	-8.73	- 11
612	5.04	F0	0.038	16 17 04.204	-1.677	-233	+75 43 08.24	-8.45	+252
605	3.34	K0	0.036	16 19 08.585	+3.181	+ 57	- 4 43 45.20	-8.50	+ 41
608	3.91	B5	0.027	16 20 12.450	+1.807	- 11	+46 16 37.51	-8.41	+ 40
604	4.14	K0	0.037	16 21 00.384	+4.515	-161	-50 11 31.58	-8.44	- 54
607	3.10v	B1	0.000	16 22 07.997	+3.658	- 8	-25 37 43.74	-8.32	- 21
609	3.79	F0	0.015	16 22 36.287	+2.650	- 33	+19 07 03.37	-8.22	+ 43
1424	4.78	M3	0.013	16 22 42.699	+9.181	- 47	-78 43 54.63	-8.29	- 35
1427	4.80	F0	0.035	16 22 51.524	+3.044	-104	+ 0 59 37.04	-8.19	+ 50
613	4.53	A0p	0.033	16 26 07.934	+2.773	+ 30	+13 59 54.67	-8.04	- 59
619	4.98	B8p	0.031	16 27 57.572	-0.089	- 46	+68 44 04.44	-7.80	+ 36
610	4.93	G0	0.083	16 30 09.175	+6.528	+383	-70 07 02.04	-7.55	+109
616 <i>cg</i>	{ ^{1.22v} _{5.2} }	{ ^{M0} _{A3} }	0.019	16 30 21.609	+3.689	- 7	-26 27 54.49	-7.66	- 20
618 *	2.77	K0	0.017	16 30 53.222	+2.582	- 70	+21 27 24.14	-7.61	- 15
1431	4.33	B3	0.000	16 32 23.898	+3.934	- 7	-34 44 12.38	-7.49	- 17
621	4.25	A0	0.000	16 34 36.219	+1.938	- 10	+42 24 20.60	-7.25	+ 45
611	3.90	K0	0.048	16 35 52.453	+9.404	-452	-78 55 43.86	-7.27	- 77
620	2.91	B0	0.014	16 36 51.002	+3.746	- 6	-28 14 48.93	-7.14	- 22
622	2.70	B0	0.000	16 38 00.842	+3.310	+ 9	-10 35 50.47	-6.99	+ 26
1434	5.14	M0	0.017	16 39 10.159	+1.633	- 48	+48 53 55.10	-6.89	+ 31
624	5.04	K0	0.038	16 42 28.284	+3.478	- 14	-17 46 15.53	-6.65	- 1
626	3.61	K0	0.053	16 43 25.700	+2.060	+ 32	+38 53 36.81	-6.65	- 82
627	4.88	F0	0.042	16 45 35.548	+1.146	+ 22	+56 45 16.52	-6.33	+ 66
625	1.88	K2	0.024	16 50 19.103	+6.408	+ 26	-69 03 14.42	-6.03	- 34
1438	4.73	F5	0.013	16 50 41.568	+3.325	+ 65	-10 48 33.42	-6.06	- 93
1435	3.68	K5	0.017	16 51 07.851	+5.210	+ 49	-59 04 02.39	-5.96	- 28
628	2.36	K0	0.049	16 51 10.210	+3.897	-493	-34 19 12.24	-6.19	-256
1440	5.20	K0	0.010	16 52 23.855	+2.490	+ 8	+24 37 52.48	-5.82	+ 6
1439	3.09v	B3p	0.000	16 52 55.400	+4.076	- 9	-38 04 21.43	-5.81	- 25
1442	4.29	B8	0.024	16 54 44.535	+2.842	- 34	+10 08 26.86	-5.67	- 36
633	3.42	K0	0.026	16 58 24.170	+2.843	-197	+ 9 21 06.95	-5.33	- 11
631	3.06	K5	0.036	16 59 54.471	+4.987	- 23	-56 00 46.44	-5.23	- 36
632	4.15	K2	0.000	17 00 49.457	+4.801	+ 4	-53 10 57.70	-5.10	+ 17
634	3.92	A0	0.022	17 00 53.000	+2.298	- 36	+30 54 15.89	-5.09	+ 28
1445	5.00	K0	0.014	17 01 52.703	+3.169	- 27	- 4 14 41.07	-5.10	- 75
635	4.91	A3	0.018	17 06 05.864	+2.785	+ 35	+12 43 14.01	-4.68	- 10
639	3.22	B5	0.017	17 08 50.070	+0.187	- 33	+65 41 44.32	-4.42	+ 22
638	3.44	F2	0.063	17 13 15.976	+4.309	+ 23	-43 15 29.08	-4.35	-287
643	3.36	K5	0.020	17 15 35.269	+2.093	- 22	+36 47 32.88	-3.86	+ 4
641	3.16	A2	0.034	17 15 40.150	+2.467	- 15	+24 49 18.60	-4.01	-157
1454	5.17	M0	0.000	17 20 59.895	+2.647	+ 6	+18 02 31.62	-3.45	- 55

MIEJSKA ŚREDNIE GWIAZD 2015.5

FK5	magn.	Sp	π	$\alpha_{2015.5}$	przemiana roczna VA_α	μ_α	$\delta_{2015.5}$	przemiana roczna VA_δ	μ_δ
644	3.37	B3	0''000	17 ^h 22 ^m 57.778	+3.690	- 3	-25°00'49.18	-3''.24	- 20
645	2.80	K2	0.026	17 26 35.491	+5.001	- 10	-55 32 33.99	-2.94	- 25
1459	4.44	K0	0.000	17 27 17.072	+2.980	+ 3	+ 4 07 40.62	-2.84	+ 7
1457	4.28	F0	0.043	17 27 19.089	+3.669	+ 0	-24 11 17.72	-2.96	-116
647	4.61	F0	0.027	17 27 27.276	+3.187	- 62	- 5 05 56.94	-2.88	- 43
646	4.37	F5	0.015	17 28 20.755	+3.837	+ 16	-29 52 47.08	-2.90	-139
653 *	2.79	G0	0.000	17 30 47.020	+1.359	- 17	+52 17 25.62	-2.53	+ 15
1460	4.48	K0	0.012	17 31 21.938	+2.427	+ 15	+26 05 59.54	-2.48	+ 18
649	2.80	B3	0.000	17 31 49.160	+4.086	- 1	-37 18 24.32	-2.49	- 31
655	4.98	A5	0.026	17 32 28.925	+1.186	+ 171	+55 10 26.87	-2.34	+ 57
648	3.79	B8	0.000	17 32 30.045	+5.431	- 80	-60 41 41.31	-2.50	- 96
657	4.95	A5	0.026	17 32 34.401	+1.186	+ 173	+55 09 46.18	-2.34	+ 57
651	2.97	B3p	0.000	17 33 02.525	+4.647	- 32	-49 53 12.64	-2.42	- 70
652	1.71	B2	0.000	17 34 39.765	+4.080	- 1	-37 06 49.16	-2.24	- 29
656	2.14	A5	0.056	17 35 39.282	+2.788	+ 82	+12 32 59.21	-2.35	-226
664	4.87	F5	0.039	17 36 51.751	-0.343	+ 1	+68 45 02.48	-1.70	+323
654	2.04	F0	0.020	17 38 26.060	+4.317	+ 14	-43 00 22.18	-1.88	- 2
658	3.64	A5	0.026	17 38 28.501	+3.439	- 29	-15 24 25.42	-1.94	- 58
663	3.79	B3	0.000	17 39 54.185	+1.697	- 5	+45 59 55.48	-1.75	+ 5
670 pr	4.90	F5	0.046	17 41 40.001	-1.053	+ 57	+72 08 27.11	-1.87	-267
660	2.51	B2	0.000	17 43 33.678	+4.155	- 5	-39 02 11.49	-1.46	- 27
665	2.94	K0	0.023	17 44 14.331	+2.966	- 27	+ 4 33 42.87	-1.22	+159
1463	4.89	F5	0.054	17 44 21.577	+3.599	- 68	-21 41 21.99	-1.41	- 43
667	3.48	G5	0.108	17 47 03.957	+2.351	- 233	+27 42 44.77	-1.88	-752
661	3.58	K0	0.017	17 47 15.386	+5.899	- 22	-64 43 44.91	-1.17	- 54
1464	4.4-5.0	F5-G0	0.028	17 48 32.221	+3.780	- 1	-27 50 07.27	-1.01	- 10
666	3.14	F5p	0.013	17 48 40.184	+4.200	- 0	-40 07 53.57	-1.00	- 8
668	3.74	A0	0.032	17 48 40.228	+3.011	- 15	+ 2 42 09.17	-1.06	- 74
675	5.04	F5	0.031	17 48 45.504	-2.676	+ 103	+76 57 35.35	-0.73	+248
669	3.25	K2	0.032	17 50 54.842	+4.087	+ 41	-37 02 48.37	-0.76	+ 33
671	3.90	K0	0.031	17 53 47.843	+1.040	+ 114	+56 52 14.21	-0.46	+ 80
672	3.99	K0	0.000	17 56 47.108	+2.060	+ 4	+37 14 57.28	-0.27	+ 6
676 *	2.23	K5	0.017	17 56 57.995	+1.396	- 8	+51 29 15.55	-0.28	- 19
674	3.82	K0	0.018	17 58 22.062	+2.334	+ 64	+29 14 49.58	-0.16	- 17
673	3.50	K0	0.015	17 59 52.823	+3.305	- 4	- 9 46 27.64	-0.13	-116
1469	4.71	K0	0.000	18 00 44.840	+2.673	- 5	+16 45 03.67	+0.06	- 10
677	3.95	B5p	0.000	18 01 25.325	+3.007	+ 1	+ 2 55 54.87	+0.12	- 8
679	3.07	K0	0.018	18 06 48.249	+3.855	- 41	-30 25 21.01	+0.41	-185
1471	3.90	B1p	0.000	18 07 50.260	+4.671	- 10	-50 05 19.98	+0.67	- 14
680	3.73	A3	0.037	18 08 05.101	+2.846	- 41	+ 9 34 01.57	+0.79	+ 80
681	3.83	A0	0.000	18 08 08.858	+2.342	+ 1	+28 45 55.79	+0.72	+ 10
1473	4.60	K0	0.016	18 12 22.787	+4.453	- 16	-45 57 00.40	+1.05	- 37
685	5.03	F5	0.047	18 13 59.153	+0.345	+ 538	+64 24 09.63	+1.26	+ 36
682	4.01	B8p	0.000	18 14 41.436	+3.589	+ 1	-21 03 12.50	+1.29	+ 1
683	3.16	M3	0.038	18 18 40.562	+4.059	- 106	-36 45 20.16	+1.46	-167
1477	4.34	K0	0.000	18 20 24.329	+2.105	- 13	+36 04 20.37	+1.82	+ 43
695 *	3.57	F8	0.120	18 20 46.535	-1.087	+1198	+72 44 21.25	+1.47	-347
1476	4.92	G5	0.016	18 21 38.513	+2.997	+ 0	+ 3 23 06.64	+1.90	+ 11
687	2.84	K0	0.039	18 21 59.182	+3.840	+ 27	-29 49 12.68	+1.89	- 28
688	3.42	K0	0.054	18 22 06.743	+3.106	- 364	- 2 53 37.22	+1.23	-701

MIEJSCA ŚREDNIE GWIAZD 2015.5

FK5	magn.	Sp	π	$\alpha_{2015.5}$	przemiana roczna VA_α	μ_α	$\delta_{2015.5}$	przemiana roczna VA_δ	μ_δ
690	3.92	K0	0''.016	18 ^h 24 ^m 21 ^s .544	+2.559	+141	+21°46'39".84	+1''.88	-242
686	4.25	K2	0.010	18 24 39.192	+5.520	+ 2	-61 29 05.65	+2.15	+ 3
689	1.95	A0	0.015	18 25 12.032	+3.981	- 31	-34 22 33.26	+2.08	-124
691	3.76	B3	0.000	18 28 07.326	+4.445	- 15	-45 57 30.01	+2.40	- 54
692	2.94	K0	0.046	18 28 55.626	+3.702	- 32	-25 24 42.56	+2.34	-185
696	4.73	A3	0.017	18 30 04.859	+3.419	+ 2	-14 33 16.89	+2.62	- 2
697	4.69	G5	0.000	18 34 36.528	+4.280	+ 28	-42 17 59.44	+2.99	- 22
1482	4.06	K0	0.013	18 36 03.047	+3.265	- 10	- 8 13 55.37	+2.83	-312
699 *	0.03	A0	0.123	18 37 27.836	+2.033	+172	+38 47 55.81	+3.55	+286
1486	4.70v	F0	0.020	18 43 07.346	+3.285	+ 6	- 9 02 11.63	+3.75	+ 2
702	5.09	G5	0.013	18 44 21.900	+3.267	+ 15	- 8 15 31.49	+3.86	+ 8
698	4.10	K0	0.027	18 44 50.226	+6.972	- 8	-71 24 44.46	+3.74	-156
703	4.26	F5	0.049	18 46 19.771	+2.584	- 5	+20 33 43.46	+3.69	-335
1487	3.30	B8	0.000	18 46 37.446	+3.745	+ 40	-26 58 24.69	+4.05	+ 0
1488	4.92	K0	0.023	18 46 41.975	+2.419	+ 13	+26 40 46.44	+4.08	+ 24
1491	4.37	A3	0.045	18 47 42.348	+2.651	+ 51	+18 11 58.94	+4.26	+116
1489	4.47	G0	0.016	18 47 59.820	+3.183	- 3	- 4 43 48.57	+4.15	- 16
705	3.4–4.3	B8p+B2p	0.000	18 50 39.155	+2.217	+ 3	+33 22 53.33	+4.39	- 3
707	4.85	K0	0.000	18 51 25.766	+0.882	+104	+59 24 27.52	+4.49	+ 27
704	4.42	B2	0.000	18 53 38.862	+5.536	- 8	-62 10 04.47	+4.63	-14
714 *	4.82	K0	0.010	18 54 12.170	-0.756	+102	+71 19 03.52	+4.74	+ 44
711	4.0–4.5	M3	0.000	18 55 48.423	+1.827	+ 21	+43 58 01.86	+4.91	+ 83
706 *	2.02	B3	0.000	18 56 13.532	+3.716	+ 10	-26 16 34.25	+4.81	- 54
709 pr	4.50	A5	0.026	18 56 59.425	+2.983	+ 32	+ 4 13 29.34	+4.96	+ 31
710	3.61	K0	0.000	18 58 39.231	+3.576	+ 24	-21 05 06.12	+5.06	- 12
713	3.30	A0p	0.011	18 59 31.428	+2.246	- 2	+32 42 41.86	+5.15	+ 2
708	5.03	B9	0.000	18 59 41.935	+4.784	+ 11	-52 55 00.11	+5.15	- 11
712	4.21	K0	0.025	19 00 19.582	+2.724	- 35	+15 05 25.03	+5.14	- 73
716	3.02	A0	0.036	19 06 07.363	+2.758	- 3	+13 53 14.87	+5.61	- 96
717	3.55	B9	0.025	19 07 04.278	+3.183	- 11	- 4 51 29.44	+5.69	- 90
719	5.13	B5	0.000	19 07 51.335	+2.143	+ 1	+36 07 30.84	+5.84	- 4
1496	3.42	K0	0.038	19 07 54.405	+3.741	- 40	-27 38 47.37	+5.60	-251
718	4.12	A2	0.029	19 10 31.483	+4.073	+ 71	-37 52 44.32	+5.97	- 98
720	3.02	F2	0.016	19 10 41.084	+3.564	- 0	-20 59 51.90	+6.05	- 35
723	3.24	K0	0.028	19 12 33.275	-0.002	+164	+67 41 19.72	+6.33	+ 93
729 *	4.45	K0	0.013	19 15 14.543	-1.196	-327	+73 23 01.67	+6.57	+106
724	4.46	K0	0.010	19 16 54.391	+2.084	- 1	+38 09 43.47	+6.60	+ 4
726	3.98	K0	0.023	19 17 27.620	+1.385	+ 66	+53 23 51.26	+6.77	+125
722	5.03	K0	0.000	19 18 32.428	+3.506	- 8	-18 55 27.13	+6.72	- 14
725	5.14	A5	0.000	19 18 32.660	+2.817	+ 2	+11 37 27.63	+6.75	+ 13
727	4.58	B8p+F2p	0.000	19 22 36.831	+3.432	+ 1	-15 55 29.17	+7.06	- 6
1502	4.31	B8	0.000	19 23 44.962	+4.299	+ 9	-44 25 42.28	+7.14	- 20
728	4.11	B8	0.000	19 24 57.434	+4.145	+ 27	-40 35 07.62	+7.14	-123
730	3.44	F0	0.062	19 26 16.780	+3.024	+171	+ 3 08 48.16	+7.45	+ 83
1508	4.63	M0	0.012	19 29 21.046	+2.498	- 92	+24 41 49.68	+7.51	-106
733 *	3.79	A2	0.000	19 30 05.774	+1.511	+ 22	+51 45 48.03	+7.81	+130
732 pr	3.24	K0+A0	0.010	19 31 20.823	+2.421	+ 2	+27 59 34.98	+7.78	- 2
1510	4.85	B3	0.000	19 32 20.896	+2.231	+ 1	+34 29 12.15	+7.86	- 3
1511	4.65	K0	0.038	19 34 50.789	+2.931	+146	+ 7 24 46.20	+7.90	-156
735	5.02	K0	0.000	19 36 21.715	+4.432	- 9	-48 03 51.74	+8.14	- 38

MIEJSKA ŚREDNIE GWIAZD 2015.5

FK5	magn.	Sp	π	$\alpha_{2015.5}$	przemiana roczna VA_α	μ_α	$\delta_{2015.5}$	przemiana roczna VA_δ	μ_δ
738	4.64	F5	0''.066	19 ^h 36 ^m 51.420	+1.608	- 19	+50°15'26".95	+ 8''.48	+ 257
736	4.66	B9	0.000	19 37 38.925	+3.644	+ 51	-24 50 53.46	+ 8.26	- 21
737	5.04	B0	0.000	19 37 43.443	+3.225	+ 2	- 6 59 31.06	+ 8.29	- 4
1513	4.45	K0	0.020	19 41 44.718	+2.695	+ 7	+17 30 46.25	+ 8.58	- 32
1514	5.10	F0	0.031	19 43 24.259	+3.427	+ 47	-16 05 11.65	+ 8.73	- 9
740	5.02	K0	0.018	19 44 50.168	+2.165	+ 63	+37 23 33.05	+ 8.89	+ 35
741	2.80	K2	0.000	19 46 59.793	+2.852	+ 12	+10 39 07.12	+ 9.02	- 2
1517	5.06	K0	0.018	19 47 15.901	+3.494	- 91	-19 43 21.79	+ 8.95	- 89
743	3.78	M0+A0	0.000	19 48 04.744	+2.676	+ 5	+18 34 24.18	+ 9.11	+ 8
745 *	0.77	A5	0.198	19 51 32.363	+2.926	+ 363	+ 8 54 36.86	+ 9.76	+ 387
746	3.7-4.4	G0p	0.000	19 53 15.722	+3.054	+ 7	+ 1 02 47.14	+ 9.50	- 7
749	3.90	K0	0.070	19 56 04.472	+2.947	+ 33	+ 6 26 47.07	+ 9.24	- 482
1520	4.21	K0	0.028	19 56 19.609	+4.122	+ 15	-41 49 34.82	+ 9.80	+ 56
1521	4.03	K0	0.000	19 56 53.286	+2.252	- 26	+35 07 31.23	+ 9.76	- 27
1522	5.05	A0	0.046	19 58 49.697	+3.397	+ 12	-15 26 57.55	+ 9.83	- 100
752	3.71	K5	0.011	19 59 26.794	+2.669	+ 46	+19 32 06.43	+10.00	+ 24
751	4.39	B3	0.000	20 00 44.523	+3.892	+ 5	-35 13 59.53	+10.05	- 26
1523	4.74	A5	0.025	20 01 44.370	+2.472	+ 44	+27 47 49.99	+10.16	+ 5
748	4.10	A0	0.010	20 02 21.469	+6.823	+ 170	-72 52 02.80	+10.07	- 132
753	4.60	M3	0.020	20 03 36.535	+3.679	+ 27	-27 39 56.15	+10.31	+ 17
759 *	4.39	B9	0.000	20 08 20.401	-2.138	+ 35	+77 45 26.75	+10.67	+ 24
755	4.86	M0	0.000	20 08 33.982	+4.566	- 15	-52 50 06.17	+10.67	+ 8
1525	4.82	B2p	0.000	20 10 00.186	+2.230	+ 4	+36 53 09.46	+10.78	+ 14
754	3.64	G5	0.170	20 10 13.925	+5.821	+1996	-66 08 26.63	+ 9.66	-1127
756	3.37	A0	0.000	20 12 06.233	+3.093	+ 26	- 0 46 28.37	+10.93	+ 4
758	4.32	A3	0.016	20 13 45.435	+1.391	+ 76	+56 36 56.15	+11.13	+ 83
757	3.95v	K0+B8	0.000	20 14 07.200	+1.890	+ 4	+46 47 20.23	+11.07	+ 3
1526	4.96	A0	0.020	20 14 59.662	+2.776	+ 40	+15 14 44.32	+11.19	+ 57
1527	4.55	G0p	0.000	20 18 30.337	+3.320	+ 15	-12 27 33.44	+11.39	+ 1
761	3.77	G5	0.033	20 18 54.778	+3.323	+ 44	-12 29 44.87	+11.42	+ 4
762	3.25	G0+A0	0.000	20 21 52.831	+3.364	+ 29	-14 43 53.18	+11.63	+ 2
765	2.32	F8p	0.000	20 22 47.106	+2.155	+ 4	+40 18 25.10	+11.69	+ 0
764	2.12	B3	0.000	20 26 51.862	+4.706	+ 8	-56 41 02.70	+11.89	- 89
767	4.28	A5	0.032	20 29 50.341	+0.996	+ 65	+63 02 47.33	+12.18	- 13
1534	4.09	F5p	0.000	20 30 01.761	+2.453	+ 5	+30 25 15.65	+12.20	+ 0
1533	5.11	K0	0.000	20 30 27.563	+3.132	+ 48	- 2 49 59.01	+12.21	- 21
770	5.18	A2p	0.000	20 31 17.150	-0.864	+ 14	+75 00 27.04	+12.27	- 15
768	3.98	B5	0.016	20 33 57.206	+2.866	+ 9	+11 21 24.42	+12.45	- 22
769	3.21	K0	0.039	20 38 39.078	+4.193	+ 52	-47 14 10.68	+12.86	+ 66
1539	4.78	A0	0.000	20 39 12.887	+2.681	+ 51	+21 15 22.95	+12.84	+ 5
774	3.86	B8	0.000	20 40 21.496	+2.787	+ 46	+15 58 02.94	+12.90	- 2
777 *	1.25	A2p	0.000	20 41 57.648	+2.047	+ 3	+45 20 10.79	+13.02	+ 2
778	4.53	A5	0.000	20 44 10.960	+2.801	- 13	+15 07 51.38	+13.12	- 43
776	4.70	F0	0.029	20 45 10.153	+4.371	+ 171	-51 51 52.25	+13.17	- 58
783	3.59	K0	0.071	20 45 36.157	+1.210	+ 120	+61 53 57.62	+14.07	+ 819
782	4.63	G0	0.041	20 45 44.171	+1.487	- 79	+57 38 08.78	+13.03	- 237
775	3.60	A5	0.026	20 46 20.191	+5.328	- 76	-66 08 45.77	+13.31	+ 11
780	2.64	K0	0.044	20 46 50.350	+2.430	+ 286	+34 01 44.39	+13.66	+ 328
779	4.26	F8	0.090	20 47 00.647	+3.541	- 37	-25 12 51.30	+13.19	- 157
1541 <i>sq</i>	4.49	G5	0.022	20 47 22.654	+2.784	- 22	+16 10 51.26	+13.17	- 197

MIEJSCA ŚREDNIE GWIAZD 2015.5

FK5	magn.	Sp	π	$\alpha_{2015.5}$	przemiana roczna VA_α	μ_α	$\delta_{2015.5}$	przemiana roczna VA_δ	μ_δ
0 ^s 0001	0 ⁰⁰¹								
781	3.83	A0	0 ⁰¹⁵	20 48 ^h 30. ^m 825	+3.242	+ 24	- 9°26'17" ^{''} 31	+13 ^{''} 41	- 34
1543	4.60	M0	0.000	20 48 33.255	+3.162	+ 2	- 4 58 12.35	+13.41	- 40
1542	5.14	F0	0.043	20 49 31.873	+4.043	+ 171	-43 55 51.39	+13.40	- 106
1546	4.24	M0	0.000	20 52 44.629	+3.568	- 5	-26 51 36.79	+13.71	- 1
1547	4.80	A3	0.012	20 53 29.324	+3.231	+ 30	- 8 55 27.47	+13.73	- 30
785	3.72	K0	0.000	20 56 00.579	+4.639	+ 21	-58 23 40.18	+13.90	- 26
788	4.04	A0	0.000	20 57 45.139	+2.240	+ 11	+41 13 38.86	+14.02	- 16
1551	4.88	B0p	0.000	21 00 21.221	+2.043	+ 6	+47 34 55.32	+14.20	+ 2
1550	4.71	G5	0.026	21 02 14.287	+3.664	- 2	-32 11 46.49	+14.31	+ 5
792	3.92	K5	0.000	21 05 29.743	+2.186	+ 8	+43 59 24.91	+14.51	+ 1
1552	4.19	A0	0.010	21 06 48.993	+3.364	+ 58	-17 10 13.45	+14.53	- 60
791	4.60	M0	0.016	21 08 01.911	+3.497	- 17	-24 56 34.90	+14.62	- 43
794	4.52	K0	0.014	21 10 26.224	+3.262	+ 65	-11 18 29.30	+14.79	- 15
1555	4.76	F0p	0.021	21 11 05.742	+2.918	+ 38	+10 11 40.89	+14.69	- 153
797	3.40	K0	0.021	21 13 35.815	+2.557	+ 1	+30 17 28.21	+14.93	- 56
1554	5.08	M0	0.000	21 14 46.158	+5.514	+ 78	-70 03 42.46	+15.03	- 24
800	4.14	F8+A3	0.013	21 16 35.910	+2.998	+ 39	+ 5 18 45.54	+15.07	- 88
1558	4.28	A0p	0.000	21 18 01.544	+2.361	+ 1	+39 27 36.80	+15.24	- 3
1559	4.42	B3p	0.016	21 18 33.378	+2.471	+ 12	+34 57 45.08	+15.27	- 2
801	4.79	A0	0.027	21 18 52.463	+3.622	+ 46	-32 06 25.10	+15.26	- 26
803 *	2.44	A5	0.063	21 18 56.904	+1.427	+ 218	+62 39 05.75	+15.34	+ 50
802	4.92	A2p	0.000	21 21 44.801	+3.814	+ 61	-40 44 35.54	+15.45	- 5
804	4.27	K0	0.013	21 22 48.237	+2.777	+ 75	+19 52 17.34	+15.57	+ 64
1561	4.30	K0	0.024	21 23 06.466	+3.332	+ 23	-16 46 04.12	+15.53	+ 5
806	3.86	G5p	0.000	21 27 32.975	+3.414	+ 1	-22 20 36.39	+15.79	+ 23
805	4.30	F8	0.111	21 27 42.359	+4.879	+ 124	-65 17 42.01	+16.58	+ 799
809 *	3.23	B1	0.000	21 28 51.252	+0.749	+ 21	+70 37 44.15	+15.85	+ 7
1565	4.76	K5	0.011	21 30 39.069	+2.721	+ 18	+23 42 26.61	+15.94	+ 4
808	3.07	G0	0.000	21 32 22.432	+3.154	+ 14	- 5 30 08.30	+16.02	- 8
1568	4.22	K0	0.000	21 34 33.914	+2.262	- 22	+45 39 39.11	+16.05	- 94
811	5.09	A5	0.015	21 37 34.340	+2.411	- 1	+40 29 01.29	+16.31	+ 13
1569	4.78	A5	0.000	21 38 34.548	+3.189	+ 78	- 7 47 02.56	+16.32	- 25
812	3.80	F0p	0.025	21 40 56.862	+3.315	+ 132	-16 35 29.88	+16.44	- 23
817 *	4.56	K0	0.000	21 42 08.593	+0.855	+ 243	+71 22 58.82	+16.62	+ 99
810	3.74	K0	0.045	21 43 08.610	+6.428	+ 139	-77 19 11.65	+16.33	- 240
815 *	0.7-3.5	K0	0.000	21 44 56.844	+2.947	+ 21	+ 9 56 47.89	+16.66	- 1
814	4.35	A0	0.032	21 45 51.973	+3.556	+ 27	-32 57 15.72	+16.61	- 94
1572	4.46	A2p	0.000	21 45 53.787	+1.733	- 4	+61 11 33.64	+16.70	- 3
821	4.26	B3	0.000	21 47 22.065	+2.224	+ 4	+49 22 54.29	+16.78	- 2
819	2.98	A5	0.065	21 47 53.661	+3.303	+ 183	-16 03 22.72	+16.51	- 296
1575	5.00	A0	0.000	21 50 31.909	+2.660	+ 15	+30 14 48.87	+16.90	- 27
823	5.05	B3	0.000	21 53 46.150	+2.735	+ 7	+25 59 54.87	+17.08	- 2
1577	5.18	F0	0.041	21 54 08.381	+3.264	+ 215	-13 28 41.56	+17.11	+ 13
822	3.16	B8	0.000	21 54 51.756	+3.612	+ 86	-37 17 28.77	+17.11	- 21
824	4.56	F0	0.015	21 58 57.768	+4.039	+ 55	-54 55 05.50	+17.30	- 7
825	4.74	K5	0.285	22 04 32.101	+4.540	+4818	-56 43 17.19	+15.02	-2531
827	3.19	G0	0.000	22 06 34.771	+3.079	+ 13	- 0 14 38.49	+17.63	- 10
1581	4.60	K2	0.000	22 07 02.639	+3.594	- 19	-39 28 04.59	+17.53	- 124
828	4.35	B8	0.000	22 07 16.354	+3.233	+ 29	-13 47 38.07	+17.61	- 56
831	3.96	F5	0.074	22 07 44.041	+2.798	+ 220	+25 25 16.60	+17.71	+ 25

MIEJSKA ŚREDNIE GWIAZD 2015.5

FK5	magn.	Sp	π	$\alpha_{2015.5}$	przemiana roczna VA_α	μ_α	$\delta_{2015.5}$	przemiana roczna VA_δ	μ_δ
829	2.16	B5	0''051	22 09 ^h 12.197 ^m _s	+3.751	+126	-46°53'07"18	+17.59	-151
832	4.62	A2	0.023	22 09 17.040	+3.483	+ 63	-32 54 44.33	+17.72	- 31
837 *	4.79	G5	0.011	22 10 06.083	+1.137	+ 72	+72 25 04.02	+17.78	+ 3
835	4.38	F5	0.000	22 10 40.644	+2.672	- 11	+33 15 16.97	+17.78	- 21
834	3.70	A2	0.042	22 10 58.898	+3.026	+185	+ 6 16 28.61	+17.84	+ 27
836	3.62	K0	0.019	22 11 23.677	+2.091	+ 19	+58 16 40.82	+17.84	+ 4
1583	4.64	K2	0.018	22 14 32.777	+2.584	+ 33	+39 47 31.95	+17.97	+ 13
840	4.32	K0	0.017	22 17 39.053	+3.161	+ 82	- 7 42 20.30	+18.05	- 22
841	2.91	K2	0.019	22 19 33.048	+4.055	- 96	-60 10 54.27	+18.10	- 43
839	5.11	M3	0.000	22 21 40.766	+6.365	+171	-80 21 41.83	+18.18	- 45
843	4.93	B3p	0.000	22 22 16.893	+2.956	+ 6	+12 17 01.40	+18.25	+ 6
842	3.97	A0	0.040	22 22 27.380	+3.097	+ 88	- 1 18 31.61	+18.26	+ 7
844	4.58	K0	0.018	22 24 10.364	+2.372	- 14	+52 18 25.45	+18.13	-186
1585	4.64	B1p	0.000	22 26 04.106	+3.063	+ 13	+ 1 27 23.24	+18.38	+ 1
847	3.7-4.4	F5-G0	0.000	22 29 44.976	+2.241	+ 19	+58 29 41.37	+18.51	+ 1
846	4.02	B5	0.017	22 30 11.420	+3.561	+ 26	-43 24 57.34	+18.52	- 5
1591	4.89	A0	0.016	22 31 27.963	+3.170	+ 2	-10 35 53.58	+18.53	- 30
848	3.85	A0	0.036	22 31 55.992	+2.485	+144	+50 21 45.18	+18.60	+ 19
1592	4.40	A0	0.015	22 32 22.999	+3.395	+ 51	-32 15 58.04	+18.58	- 18
850	4.13	B8	0.017	22 36 09.152	+3.082	+ 61	- 0 02 13.97	+18.66	- 56
852	4.91	O5e	0.000	22 39 57.569	+2.703	+ 1	+39 07 52.68	+18.83	- 5
854	4.22	B8	0.000	22 41 30.619	+3.306	+ 23	-26 57 44.64	+18.88	- 1
855	3.61	B8	0.017	22 42 14.149	+2.995	+ 55	+10 54 45.43	+18.89	- 12
856	2.24	M3	0.000	22 43 35.205	+3.554	+133	-46 48 11.47	+18.93	- 8
857	3.10	G0	0.000	22 43 43.859	+2.821	+ 11	+30 18 09.58	+18.92	- 25
859	4.14	K0	0.037	22 47 16.775	+2.897	+ 42	+23 38 51.19	+19.03	- 10
860	3.69	A2	0.038	22 49 29.015	+3.591	+115	-51 14 05.97	+19.03	- 71
863	3.68	K0	0.036	22 50 14.162	+2.153	-108	+66 16 55.83	+19.00	-125
861	4.21	K5	0.011	22 50 24.658	+3.170	- 8	-13 30 37.75	+19.09	- 38
862	3.67	K0	0.032	22 50 45.190	+2.903	+108	+24 41 01.49	+19.09	- 42
864	3.84	M0	0.012	22 53 25.328	+3.126	+ 8	- 7 29 48.54	+19.24	+ 37
866	3.51	A2	0.039	22 55 28.274	+3.177	- 28	-15 44 17.07	+19.23	- 25
867 *	1.16	A3	0.144	22 58 30.252	+3.301	+255	-29 32 23.26	+19.16	-165
868	4.18	G5	0.031	23 01 47.244	+3.508	- 74	-52 40 14.58	+19.38	- 14
869	3.63v	B5+A2p	0.000	23 02 38.255	+2.775	+ 20	+42 24 34.26	+19.41	- 6
1601	5.13	F0	0.044	23 04 21.052	+3.304	+ 61	-34 39 55.39	+19.53	+ 80
870	2.61v	M0	0.015	23 04 31.679	+2.918	+143	+28 10 01.71	+19.60	+137
1602	4.58	B5p	0.000	23 04 39.958	+3.054	+ 9	+ 3 54 13.49	+19.45	- 11
871 *	2.49	A0	0.030	23 05 32.051	+2.994	+ 44	+15 17 20.04	+19.44	- 42
1603	4.69	M0	0.011	23 07 47.161	+3.026	+ 8	+ 9 29 36.38	+19.51	- 14
873	3.80	K0	0.000	23 10 16.264	+3.190	+ 40	-21 05 16.89	+19.60	+ 31
1605	4.10	K0	0.023	23 11 13.862	+3.372	+129	-45 09 45.19	+19.56	- 30
1606	5.15	A3	0.023	23 12 31.192	+3.032	- 4	+ 8 48 16.20	+19.61	- 6
1607	4.40	M0	0.000	23 15 07.496	+3.105	+ 28	- 5 57 54.83	+19.46	-196
1608	4.48	K0	0.043	23 16 42.181	+3.140	+251	- 9 00 11.08	+19.67	- 16
878	3.85	K0	0.025	23 17 58.175	+3.112	+509	+ 3 22 01.79	+19.72	+ 17
877	4.10	F2	0.035	23 18 19.477	+3.461	- 37	-58 09 01.97	+19.79	+ 79
879	4.51	K0	0.037	23 19 39.462	+3.226	+ 15	-32 26 50.50	+19.66	- 70
1609	5.16	A0	0.000	23 19 46.014	+3.118	+ 32	- 9 31 32.80	+19.73	- 2
880	4.65	A5	0.034	23 21 24.403	+2.979	+ 24	+23 49 31.31	+19.75	- 7

MIEJSKA ŚREDNIE GWIAZD 2015.5

FK5	magn.	Sp	π	$\alpha_{2015.5}$	przemiana roczna VA_α	μ_α	$\delta_{2015.5}$	przemiana roczna VA_δ	μ_δ
1612	4.20	K0	0".029	23 ^h 23 ^m 46.961	+ 3.143	- 85	-20°00'56".78	+19".70	- 96
882	5.20	K5	0.000	23 25 31.969	+ 2.694	+ 15	+62 22 05.00	+19.80	- 12
881	4.57	G0	0.028	23 26 09.334	+ 3.004	+ 140	+23 29 22.57	+19.86	+ 37
884	4.94	A2p	0.036	23 27 43.646	+ 3.077	+ 59	+ 1 20 26.07	+19.75	- 97
1614	4.45	G5	0.014	23 28 45.321	+ 3.047	- 82	+ 6 27 51.24	+19.81	- 45
885	4.67	K0	0.000	23 29 56.413	+ 3.040	+ 44	+12 50 46.34	+19.90	+ 27
886	4.46	B9	0.000	23 33 47.900	+ 3.201	+ 74	-37 43 57.40	+19.93	+ 21
1617	4.80	A2p	0.000	23 35 54.324	+ 3.208	+ 42	-42 31 45.53	+19.93	- 1
890	4.00v	K0	0.043	23 38 19.664	+ 2.958	+ 157	+46 32 32.12	+19.53	-421
889	4.86	A2	0.000	23 38 40.766	+ 3.208	+ 69	-45 24 23.52	+19.94	- 14
891	4.28	B8	0.000	23 38 54.090	+ 2.962	+ 27	+43 21 14.37	+19.96	- 1
893 *	3.21	K0	0.064	23 39 59.764	+ 2.519	- 212	+77 43 08.58	+20.12	+151
892	4.28	F8	0.064	23 40 44.922	+ 3.089	+ 253	+ 5 42 37.29	+19.53	-438
1619	4.33	A0	0.012	23 41 10.607	+ 2.976	+ 78	+44 25 11.46	+19.96	- 19
1620	4.61	A5	0.024	23 42 50.291	+ 3.063	- 86	+ 1 51 55.50	+19.83	-155
894	4.62	A0	0.035	23 43 31.515	+ 3.107	+ 70	-14 27 32.85	+19.92	- 66
1622	5.09	K0+A5	0.000	23 46 48.448	+ 2.995	+ 10	+46 30 23.13	+20.00	- 5
895	5.02	A0	0.012	23 48 39.864	+ 2.915	+ 26	+67 53 34.79	+20.02	- 1
896	4.64	A0	0.033	23 49 43.863	+ 3.115	+ 79	-28 02 40.40	+19.92	-106
899	4.4-5.1	F8p	0.016	23 55 09.959	+ 3.031	- 3	+57 35 08.43	+20.04	- 2
1629	4.75	M0	0.000	23 58 33.082	+ 3.069	- 25	+25 13 39.11	+20.01	- 33
900	5.07	K0	0.026	23 59 28.010	+ 3.072	- 34	- 3 28 12.04	+19.97	- 72
901	5.14	K0	0.000	23 59 43.604	+ 3.083	+ 61	-52 39 33.36	+20.10	+ 61

gwiazdy okołobiegunkowe północne

906	4.52	K0	0".000	1 ^h 11 ^m 09 ^s .825	+ 9.536	0".0001	+86°20'21".60	+19".07	0".001
907 *	2.02v	F8v	0.000	2 50 52.266	+80.777	+2107	+89 19 47.45	+14.71	- 18
1636	5.78	K0	0.022	3 36 16.568	+15.393	+ 461	+84 57 42.13	+11.62	-137
909	5.26	M0	0.000	7 47 12.752	+25.638	- 581	+86 58 56.01	- 9.06	- 27
1640	6.26	F0	0.000	9 18 21.190	+11.498	+ 180	+84 06 56.67	-15.25	+ 14
910 *	4.29	K2	0.014	9 39 11.216	+ 8.075	- 83	+81 15 21.88	-16.39	- 14
911	5.34	F2	0.043	10 32 50.673	+ 6.789	- 423	+82 28 43.56	-18.58	+ 32
1643	6.16	G5	0.000	13 42 01.180	- 1.382	+ 182	+82 40 27.70	-18.13	- 41
1644	5.73	G0	0.016	14 49 23.546	- 3.623	+ 903	+82 26 50.37	-15.03	-221
912 *	4.23	G5	0.014	16 44 25.932	- 5.922	+ 81	+82 00 34.71	- 6.48	+ 6
913 *	4.36	A0	0.000	17 27 17.032	-19.017	+ 81	+86 34 31.30	- 2.80	+ 56
1646	6.15	A2	0.000	18 22 04.688	- 8.043	+ 85	+83 11 02.08	+ 1.90	- 26
915	5.69	A0	0.000	20 41 22.498	- 4.737	+ 147	+82 35 14.43	+13.00	+ 24
1648	5.38	A0	0.000	22 11 39.946	- 5.996	+ 512	+86 11 06.45	+17.89	+ 46
1649 *	4.71	K5	0.000	22 54 13.828	- 0.739	+ 632	+84 25 44.89	+19.25	+ 26

gwiazdy okołobiegunkowe południowe

918	5.38	F0	0".000	8 ^h 54 ^m 08 ^s .882	- 9.980	0".0001	-85°43'21".90	-13".77	0".001
919	5.38	K0	0.000	12 56 46.142	+ 7.032	+ 495	-85 12 25.12	-19.40	+ 28
922	5.22	K0	0.000	19 03 30.528	+33.486	- 546	-87 35 04.08	+ 5.34	-140
923	5.48	F0	0.000	21 21 41.438	+47.149	+ 790	-88 53 29.45	+15.45	+ 6
924	4.34	F0	0.000	22 47 33.252	+ 5.760	- 294	-81 17 58.98	+19.05	- 2

POZYCJE GWIAZD W SYSTEMIE ICRS (BCRS) J2000.0

HIP	FK5	magn.	α_{ICRF}	δ_{ICRF}	μ_α [mas/rok]	μ_δ [mas/rok]	π [mas]	V_R [km/s]	Sp
122	904	4.78	0 ^h 01 ^m 35 ^s .7037	-77°03'56"608	-16.8344	-176.9483	14.770	23.70	K2III
154	1630	4.37	0 01 57.6190	- 6 00 50.660	3.1252	-41.3201	7.860	-11.80	M3III
301	905	4.55	0 03 44.3898	-17 20 09.556	1.9953	-7.2800	14.310	-5.00	B9IVn
443 _{cg}	1002	4.61	0 05 20.1409	- 5 42 27.426	-0.5554	88.1902	25.380	-6.10	K1III
677 _{cg}	1	2.07	0 08 23.2586	+29 05 25.555	10.3511	-162.9516	33.600	-11.70	B9p
746*	2	2.28	0 09 10.6851	+59 08 59.207	68.0423	-180.4372	59.890	11.80	F2III-IV
765	3	3.88	0 09 24.6420	-45 44 50.734	11.6698	-180.1300	23.280	-9.20	K0III
841	4	5.01	0 10 19.2458	+46 04 20.178	0.4334	0.2100	3.240	-5.40	F2II
950	6	5.24	0 11 44.0086	-35 07 59.230	13.7773	113.7511	45.850	-2.20	F3/F5V
1067	7	2.83	0 13 14.1528	+15 11 00.945	0.3247	-8.2400	9.790	4.10	B2IV
1168	1004	4.79	0 14 36.1645	+20 12 24.126	6.4404	1.8799	10.010	-45.80	M2III
1473	1005	4.51	0 18 19.6569	+36 47 06.807	-5.5364	-42.4803	23.110	-8.00	A2V
1562	9	3.56	0 19 25.6746	- 8 49 26.117	-0.9695	-37.8399	11.260	18.60	K2III
1599	10	4.23	0 20 04.2601	-64 52 29.246	268.0727	1165.6009	116.379	9.41	F9V
1686	1009	5.16	0 21 07.2690	+37 58 06.971	4.9318	-39.6500	20.420	9.10	F5III
2021	11	2.82	0 25 45.0719	-77 15 15.284	670.7790	325.2762	133.776	23.31	G2IV
2081	12	2.40	0 26 17.0510	-42 18 21.533	20.9809	-353.6180	42.139	74.60	K0III...
2472	15	4.76	0 31 24.9807	-48 48 12.652	14.2455	19.4710	18.970	-5.00	A0V
2599	16	4.17	0 32 59.9917	+62 55 54.418	0.5845	-2.1000	0.790	-2.30	B1Ia
2912 _{cg}	18	4.34	0 36 52.8497	+33 43 09.637	1.2207	-3.5600	4.970	8.70	B5V
2920	17	3.69	0 36 58.2846	+53 53 48.874	2.0105	-9.1500	5.460	2.00	B2IV
3031	19	4.34	0 38 33.3458	+29 18 42.305	-17.5400	-254.0886	19.340	-83.60	G5III...
3092	20	3.27	0 39 19.6758	+30 51 39.686	8.9607	-83.0507	32.190	-7.30	K3III...
3179*	21	2.24	0 40 30.4405	+56 32 14.392	6.0888	-32.1702	14.270	-3.80	K0II-IIIvar
3245	1015	4.59	0 41 19.5517	-46 05 06.025	-2.7797	1.0400	13.190	18.80	G8III
3405	23	4.36	0 43 21.2384	-57 27 47.016	-0.6396	15.5000	13.570	10.00	A0IV
3419*	22	2.04	0 43 35.3711	-17 59 11.777	16.3166	32.7105	34.040	12.90	K0III
3504 _{cg}	25	4.48	0 44 43.5177	+48 17 03.711	1.7823	-7.6200	3.600	-8.00	B5III
3693	27	4.08	0 47 20.3254	+24 16 01.841	-7.4028	-81.8908	17.980	-23.70	K1II
3781	31	5.09	0 48 35.4173	-74 55 24.375	34.1421	-34.5871	15.940	9.50	K5III
3786	28	4.44	0 48 40.9443	+ 7 35 06.285	5.5916	-50.4797	10.690	32.30	K5III
3881	1021	4.53	0 49 48.8473	+41 04 44.079	2.0058	-18.0501	4.800	-23.90	B5V SB
4147	1022	4.78	0 53 00.4943	- 1 08 39.337	0.4328	-16.2900	6.280	15.80	M0III
4427*	32	2.15	0 56 42.5317	+60 43 00.265	3.4960	-3.8201	5.320	-6.80	B0IV:evar
4436	33	3.86	0 56 45.2116	+38 29 57.641	13.0145	36.8191	23.930	7.60	A5V
4577	35	4.30	0 58 36.3609	-29 21 26.817	1.7164	6.3000	4.850	10.20	B7IIIp
4906	36	4.27	1 02 56.6084	+ 7 53 24.488	-5.4227	25.8799	17.140	7.00	K0III
5300 _{ph}	1031	5.21	1 07 47.8533	-41 29 12.898	3.2038	7.8500	16.480	9.00	A3V
5364	40	3.46	1 08 35.3916	-10 10 56.151	14.6175	-138.3288	27.730	11.90	K2III
5447*	42	2.07	1 09 43.9236	+35 37 14.008	14.4004	-112.2309	16.360	0.30	M0IIIvar
5571	1032	4.66	1 11 27.2202	+21 02 04.740	2.9756	-10.5500	7.420	15.80	K0III
5586	43	4.51	1 11 39.6368	+30 05 22.698	5.7240	-37.6097	20.110	29.80	K0III-IV...
6193	45	4.74	1 19 27.9951	+27 15 50.611	1.9657	-11.6200	10.490	8.00	A3V
6411	1035	4.87	1 22 20.4198	+45 31 43.600	3.0652	8.7300	16.680	-11.70	K0III-IV
6537	47	3.60	1 24 01.4050	- 8 10 59.724	-5.2790	-206.8782	28.480	16.50	K0III
6686*	48	2.66	1 25 48.9523	+60 14 07.019	39.9159	-49.4964	32.810	6.70	A5Vv SB
6692	46	4.72	1 25 56.0217	+68 07 48.045	13.4354	26.8195	16.890	-11.50	K0III
6813	1040	4.83	1 27 39.3817	+45 24 24.074	33.8984	-109.3247	35.330	10.80	F5IV
6867 _{cg}	49	3.41	1 28 21.9271	-43 19 05.642	-1.6686	-207.7087	13.940	25.70	K5II-III
6960	1043	5.11	1 29 36.1352	-21 37 45.620	3.9903	3.2201	14.720	-7.70	A0V
7083	1044	3.93	1 31 15.1046	-49 04 21.728	14.0660	154.2014	22.150	-7.30	K0III-IV

POZYCJE GWIAZD W SYSTEMIE ICRS (BCRS) J2000.0

HIP	FK5	magn.	α_{ICRF}	δ_{ICRF}	μ_α [ms/rok]	μ_δ [mas/rok]	π [mas]	V_R [km/s]	Sp
7097 _A	50	3.62	1 ^h 31 ^m 29 ^s .0094	+15°20'44".963	1.7787	-3.2900	11.090	14.80	G8III
7513	1045	4.10	1 36 47.8428	+41 24 19.652	-15.3389	-381.0257	74.251	-28.90	F8V
7588	54	0.45	1 37 42.8466	-57 14 12.327	10.8431	-40.0792	22.680	19.00	B3Vp
7607	52	3.59	1 37 59.5561	+48 37 41.567	6.1427	-112.4196	18.760	16.10	K3III
7884	56	4.45	1 41 25.8942	+ 5 29 15.408	-1.5223	3.6100	8.860	0.40	K3III
8068	57	4.01	1 43 39.6375	+50 41 19.437	2.5339	-13.5900	4.550	0.80	B2Vpe
8102	59	3.49	1 44 04.0829	-15 56 14.928	-119.3853	854.1772	274.181	-17.00	G8V
8198	60	4.26	1 45 23.6306	+ 9 09 27.849	4.7823	38.9898	12.630	13.60	K0III
8497	1051	4.66	1 49 35.1027	-10 41 11.077	-10.1019	-94.4699	42.350	-0.90	F3III
8645	62	3.74	1 51 27.6336	-10 20 06.136	2.6280	-38.0399	12.590	9.00	K2III
8796	64	3.42	1 53 04.9079	+29 34 43.785	0.9214	-233.6927	50.870	-12.60	F6IV
8833 _{cg}	65	4.61	1 53 33.3504	+ 3 11 15.132	1.5818	23.8998	17.110	30.30	K0III SB
8837	67	4.39	1 53 38.7417	-46 18 09.607	-8.9147	-91.4596	10.150	1.50	M4III SB
8882 _{cg}	1053	5.12	1 54 22.0332	-42 29 49.020	-3.1032	-28.3399	10.550	12.00	A3V
8886*	63	3.35	1 54 23.7255	+63 40 12.365	4.8068	-18.6601	7.380	-8.10	B2pvar
8903 _{cg}	66	2.64	1 54 38.4092	+20 48 28.926	6.8694	-108.8004	54.740	-1.90	A5V...
8928	69	4.68	1 54 56.1314	-67 38 50.292	13.3225	73.1709	15.040	-16.20	G5III
9007	68	3.69	1 55 57.4724	-51 36 32.025	73.1299	284.2567	57.190	-6.30	G5IV
9236 _{cg}	72	2.86	1 58 46.1935	-61 34 11.493	36.7633	26.8852	45.740	7.00	F0V
9347	71	3.99	2 00 00.3080	-21 04 40.194	9.5031	-24.5296	10.840	18.00	K5/M0III
9505	1054	4.99	2 02 18.1081	+54 29 15.148	3.8780	-3.4001	4.410	-2.00	B8III
9598	70	3.95	2 03 26.1054	+72 25 16.660	-9.7126	22.5099	20.120	-14.30	A2V
9640 _A	73	2.10	2 03 53.9531	+42 19 47.009	3.8849	-50.8502	9.190	-11.70	B8V
9677	1055	4.68	2 04 29.4385	-29 17 48.548	0.9601	8.5400	9.030	18.50	B9.5p (Si)
9884*	74	2.01	2 07 10.4071	+23 27 44.723	13.8615	-145.7726	49.480	-14.80	K2III
10064 _{cg}	75	3.00	2 09 32.6269	+34 59 14.269	12.1065	-39.1305	26.240	9.90	A5III
10155	1056	5.68	2 10 37.5969	+19 30 01.216	6.2753	-27.1000	4.900	60.20	M3III
10324 _{cg}	1058	4.36	2 12 59.9955	+ 8 50 48.182	-1.7697	-14.4000	9.010	-4.20	G8II:
10602	82	3.56	2 16 30.5853	-51 30 43.793	9.7212	-21.8995	21.060	10.20	B8IV-V
10670	79	4.03	2 17 18.8673	+33 50 49.897	3.6049	-52.4198	27.730	9.90	A1Vnn
10819	1063	5.31	2 19 16.7959	+47 22 47.903	-5.9122	-6.0602	12.770	-29.60	A1V
11001	1065	4.08	2 21 44.9427	-68 39 33.905	-9.1726	2.3803	24.100	6.00	A3V
11345	1066	4.88	2 25 57.0053	-12 17 25.727	-0.7990	-11.3700	6.170	10.00	A0V
11407	86	4.24	2 26 59.1223	-47 42 13.825	1.9783	-5.4400	6.170	27.70	B5IV
11484	85	4.30	2 28 09.5425	+ 8 27 36.193	2.8119	-14.4600	18.530	11.20	B9III
11783	1071	4.74	2 32 05.2283	-15 14 40.837	-5.5915	-146.8429	38.730	-29.20	F5V
12093	1072	4.87	2 35 52.4721	+ 5 35 35.687	-1.9352	-22.7600	8.770	5.00	G8III
12387	91	4.08	2 39 28.9567	+ 0 19 42.638	0.9627	-2.5300	5.040	13.00	B2IV
12394	95	4.12	2 39 35.3614	-68 16 01.006	15.7357	0.5608	21.270	6.00	B9III
12486	1075	4.11	2 40 40.0344	-39 51 19.352	11.7387	-27.3395	22.420	-9.30	K0III
12719 _{cg}	94	4.65	2 43 27.1128	+27 42 25.728	0.2643	-9.9700	8.820	19.00	B3V
12770	97	4.24	2 44 07.3499	-13 51 31.307	-0.5205	-8.4000	7.400	15.40	B7IV
12777	93	4.10	2 44 11.9863	+49 13 42.412	34.0982	-89.9619	89.028	25.00	F7V
12828	98	4.27	2 44 56.5423	+10 06 50.925	19.3110	-30.4000	38.710	28.80	F1III-IV
13147	101	4.45	2 49 05.4196	-32 24 21.232	6.8666	158.9593	19.310	16.80	G8III
13209	100	3.61	2 49 59.0323	+27 15 37.825	4.9100	-116.5899	20.450	4.00	B8Vn
13268	99	3.77	2 50 41.8101	+55 53 43.786	1.9785	-13.7600	2.450	-1.00	K3Ib comp SB
13288	102	4.76	2 51 02.3215	-21 00 14.470	-2.7851	-16.6300	17.850	-8.60	K0III
13531 _{cg}	103	3.93	2 54 15.4606	+52 45 44.924	-0.2192	-4.5300	13.150	2.20	G4III...
13701	104	3.89	2 56 25.6497	- 8 53 53.320	5.2452	-219.9919	24.490	-20.30	K1III-IV

POZYCJE GWIAZD W SYSTEMIE ICRS (BCRS) J2000.0

HIP	FK5	magn.	α_{ICRF}	δ_{ICRF}	μ_α [ms/rok]	μ_δ [mas/rok]	π [mas]	V_R [km/s]	Sp
13847 _A	106	2.88	2 ^h 58 ^m 15 ^s .6747	-40°18'16.821	-4.6795	25.7100	20.220	11.90	A4III+...
13905	1082	4.94	2 59 03.6766	+35 10 59.262	-3.7921	5.8100	9.310	-36.00	K2III
13954	1083	4.71	2 59 42.9018	+ 8 54 26.513	0.6222	-14.9200	7.690	10.20	B6III
14135	107	2.54	3 02 16.7722	+ 4 05 23.042	-0.7894	-78.7605	14.820	-26.10	M2III
14146	1085	4.08	3 02 23.5002	-23 37 28.098	-10.6209	-55.7600	37.850	-9.80	A4V
14240	110	5.12	3 03 36.8194	-59 44 15.991	-9.6317	-63.8891	23.670	17.30	F0IV
14328 _{cg}	108	2.91	3 04 47.7907	+53 30 23.184	0.0560	-4.1900	12.720	2.50	G8III+...
14354	109	3.32	3 05 10.5934	+38 50 24.986	11.0146	-106.6100	10.030	28.20	M3IIIvar
14576 _{cg}	111	2.09	3 08 10.1316	+40 57 20.332	0.2110	-1.4400	35.140	4.00	B8V
14632	112	4.05	3 09 04.0196	+49 36 47.799	129.8651	-91.6018	94.926	49.40	G0V
14838	114	4.35	3 11 37.7655	+19 43 36.039	10.9499	-8.3903	19.440	24.70	K2IIIvar
14954	116	5.07	3 12 46.4365	- 1 11 45.964	12.8980	-69.2290	44.690	18.30	F8V
15110	1089	4.87	3 14 54.0961	+21 02 39.988	-2.1308	-77.1499	9.590	7.00	A1V
15197	1091	4.80	3 15 50.0245	- 8 49 11.027	-0.2577	45.5202	27.180	-7.00	A5m
15457	1093	4.84	3 19 21.6960	+ 3 22 12.712	17.9557	93.5264	109.178	18.80	G5Vvar
15510	119	4.26	3 19 55.6505	-43 04 11.221	277.1751	726.5259	165.000	83.91	G8V
15627 _A	1094	5.27	3 21 13.6245	+21 08 49.510	1.5497	-22.4100	7.060	14.00	B5IV
15863*	120	1.79	3 24 19.3704	+49 51 40.247	2.4934	-26.0100	5.510	-2.40	F5Ib
15900	121	3.61	3 24 48.7938	+ 9 01 43.931	-5.0121	-80.3105	15.420	-21.00	G8III
16083 _A	123	3.73	3 27 10.1526	+ 9 43 57.647	3.6262	-38.1200	14.680	-2.00	B9Vn
16228 _A	122	4.21	3 29 04.1335	+59 56 25.188	-0.1091	-1.8500	0.760	-6.80	B9Ia
16245	126	4.71	3 29 22.6776	-62 56 15.099	56.1270	373.1184	46.650	12.00	F5IV-V
16335	124	4.36	3 30 34.4836	+47 59 42.778	0.1554	18.1300	9.230	15.90	K3III
16341	1097	4.74	3 30 37.0577	- 5 04 30.524	0.8908	7.3400	8.570	15.00	B9Vs
16369 _{cg}	125	4.14	3 30 52.3783	+12 56 12.041	1.2956	-1.5500	9.050	14.70	K0II-III...
16537	127	3.72	3 32 55.8442	- 9 27 29.744	-65.9875	17.9752	310.737	15.40	K2V
16611	1099	4.26	3 33 47.2761	-21 37 58.378	3.2209	-27.4699	11.020	14.00	B9V
16852	1101	4.29	3 36 52.3832	+ 0 24 05.982	-15.5125	-481.9825	72.889	27.90	F9V
16870	130	4.57	3 37 05.6802	-40 16 28.363	0.2420	-14.2300	14.880	11.50	K0III
17304	133	4.99	3 42 14.9027	-31 56 18.101	0.4054	14.2300	4.450	26.00	B5III
17358 _A	131	3.01	3 42 55.5028	+47 47 15.185	2.3645	-41.9301	6.180	-9.00	B5III SB
17378	135	3.52	3 43 14.9018	- 9 45 48.221	-6.2039	742.2398	110.581	-6.60	K0IV
17440 _{cg}	141	3.84	3 44 11.9775	-64 48 24.850	48.2969	78.7262	32.709	51.10	K0IV SB
17457	137	5.24	3 44 30.5101	- 1 09 47.128	0.2414	-5.2600	4.990	27.00	B7V
17499	136	3.72	3 44 52.5373	+24 06 48.021	1.5740	-44.9199	8.800	12.40	B6III
17529	134	3.77	3 45 11.6319	+42 34 42.775	-1.3209	1.7500	5.860	-12.70	F5IIvar
17651	140	4.22	3 46 50.8875	-23 14 59.002	-11.5993	-528.5361	55.790	6.50	F3/F5V
17678	146	3.26	3 47 14.3412	-74 14 20.264	12.5341	115.2699	15.230	15.80	M2III
17702	139	2.85	3 47 29.0765	+24 06 18.494	1.4132	-43.1099	8.870	10.10	B7III
17847 _{cg}	142	3.62	3 49 09.7426	+24 03 12.296	1.2973	-44.6999	8.570	8.50	B8III
17874	143	4.17	3 49 27.2452	-36 12 00.901	-4.0828	-56.6299	15.540	2.00	G8III
17959*	138	4.59	3 50 21.5091	+71 19 56.156	3.8053	-42.0000	9.730	-1.00	A2IVn
18246	144	2.84	3 54 07.9215	+31 53 01.088	0.3462	-9.1500	3.320	20.60	B1Ib
18532	147	2.90	3 57 51.2307	+40 00 36.773	1.0976	-24.0600	6.060	-1.00	B0.5V
18543	149	2.97	3 58 01.7664	-13 30 30.655	4.1487	-111.3381	14.750	61.70	M1IIIb Ca-1
18597	1110	4.56	3 58 44.7494	-61 24 00.668	1.3634	-14.3900	6.150	-1.40	M2III
18614	148	3.98	3 58 57.9011	+35 47 27.717	0.1578	2.3000	1.840	70.10	O7.5Iab:
18724	150	3.41	4 00 40.8157	+12 29 25.248	-0.5565	-11.9800	8.810	14.80	B3V + A
18907	151	3.91	4 03 09.3800	+ 5 59 21.498	0.3700	-1.6300	25.240	-5.70	A1V
19038	1112	4.36	4 04 41.7156	+22 04 54.932	6.5994	-58.5200	18.040	9.10	K0III

POZYCJE GWIAZD W SYSTEMIE ICRS (BCRS) J2000.0

HIP	FK5	magn.	α_{ICRF}	δ_{ICRF}	μ_α [ms/rok]	μ_δ [mas/rok]	π [mas]	V_R [km/s]	Sp
19167	1113	4.25	4 ^h 06 ^m 35. ^s 0434	+50°21'04".543	-1.3614	-36.3700	9.410	6.10	A0IVn
19343	152	3.96	4 08 39.6908	+47 42 45.046	2.0004	-33.2600	5.890	3.00	B3Ve
19587	154	4.04	4 11 51.9402	- 6 50 15.292	0.8004	81.2796	25.980	11.00	F2II-III
19747	155	3.85	4 14 00.1143	-42 17 39.725	3.7754	-203.6477	27.850	21.70	K1III
19780	156	3.33	4 14 25.4837	-62 28 25.889	6.0066	49.7195	19.980	35.60	G7III
19812	1117	4.12	4 14 53.8622	+48 24 33.591	0.5062	-17.3500	4.510	7.70	G0Ib...
19860	1118	4.27	4 15 32.0573	+ 8 53 32.485	1.3759	-21.7500	7.500	17.30	B3IV
19893	157	4.26	4 16 01.5856	-51 29 11.933	10.7668	184.2264	49.259	25.20	F4III
20205	159	3.65	4 19 47.6037	+15 37 39.512	7.9809	-23.8598	21.170	38.50	G8III
20252	158	4.93	4 20 24.6384	+34 34 00.211	-2.0199	-7.0001	14.420	-27.40	G8III
20384	163	5.24	4 21 53.3267	-63 23 11.009	12.6791	174.3694	8.580	45.00	G7III
20455	162	3.77	4 22 56.0933	+17 32 33.051	7.5336	-28.8397	21.290	38.40	G8III
20535	1121	3.97	4 24 02.2173	-34 01 00.647	5.9333	57.5699	11.950	24.10	K4III
20889	164	3.53	4 28 36.9995	+19 10 49.554	7.5687	-36.7696	21.040	39.00	K0III
21060	167	5.07	4 30 50.0997	-44 57 13.498	0.2299	-2.4800	4.590	14.20	B2IV-V
21273 _{cg}	1125	4.65	4 33 50.9178	+14 50 39.928	7.1512	-25.9397	21.390	37.50	A8V
21281 _A	171	3.30	4 33 59.7776	-55 02 41.909	6.7558	12.7301	18.560	25.60	A0V:
21393	170	3.81	4 35 33.0386	-30 33 44.429	-3.7875	-12.7500	15.620	-4.00	G8III
21421*	168	0.87	4 35 55.2387	+16 30 33.485	4.3651	-189.3509	50.089	54.10	K5III
21444	169	3.93	4 36 19.1416	- 3 21 08.853	0.1155	-4.5400	5.560	14.90	B2III SB
21594 _A	172	3.86	4 38 10.8241	-14 18 14.471	-5.3566	-178.0560	29.840	41.80	K1III
21770	1129	4.44	4 40 33.7125	-41 51 49.509	-12.6381	-74.9493	49.670	-1.30	F2V
21861	1130	5.04	4 42 03.4806	-37 08 39.468	3.9224	193.1367	36.160	26.80	F3V
21881 _{ph}	174	4.27	4 42 14.7017	+22 57 24.934	-0.2056	-20.3300	8.140	14.60	B3V
22109	176	4.01	4 45 30.1511	- 3 15 16.767	1.1532	-13.5100	6.130	7.00	B5IV
22449	1134	3.19	4 49 50.4106	+ 6 57 40.592	31.1238	11.6183	124.597	24.30	F6V
22453	1133	4.89	4 49 54.6383	+37 29 17.789	-3.2263	38.4801	6.180	-23.30	K4II
22549	179	3.68	4 51 12.3639	+ 5 36 18.374	-0.2425	1.0300	2.590	23.30	B2III SB
22565	1135	5.08	4 51 22.4624	+18 50 23.500	5.6112	-32.7597	17.270	36.80	A7IV-V
22667 _{ph}	1136	4.71	4 52 31.9621	+14 15 02.311	-0.1802	-56.1300	6.020	-6.90	M3Sv
22783	178	4.26	4 54 03.0113	+66 20 33.641	0.0814	7.3100	0.470	6.10	O9.5Ia SB:
22797	180	3.71	4 54 15.0965	+ 2 26 26.419	0.0954	0.2300	2.430	23.40	B2III SB
23015	181	2.69	4 56 59.6188	+33 09 57.925	0.2891	-18.5400	6.370	17.50	K3IIvar
23416 _{cg}	183	3.03	5 01 58.1342	+43 49 23.910	0.0166	-2.3100	1.600	-2.50	F0Ia
23453 _{cg}	1137	3.69	5 02 28.6869	+41 04 33.015	0.7853	-21.4300	4.140	12.80	K4II comp
23497	184	4.62	5 03 05.7473	+21 35 23.865	4.9427	-40.8495	20.010	40.60	A7V
23522	182	4.03	5 03 25.0901	+60 26 32.084	-0.8257	-14.7800	3.270	-1.70	G0Ib
23607	1140	4.65	5 04 34.1495	+15 24 14.779	1.2724	-30.9899	8.150	16.80	A0p Si
23649	187	5.05	5 04 58.0144	-49 34 40.215	7.0675	-3.0298	6.880	36.00	M2IIIvar
23685	186	3.19	5 05 27.6642	-22 22 15.717	1.3892	-72.3500	14.390	1.00	K4III
23693	189	4.71	5 05 30.6558	-57 28 21.734	-3.9514	117.4203	85.830	-1.40	F7V
23767	185	3.18	5 06 30.8928	+41 14 04.108	2.7127	-68.4099	14.870	7.30	B3V
23875	188	2.78	5 07 50.9851	- 5 05 11.206	-5.5813	-75.4404	36.710	-9.20	A3IIIvar
23972	190	4.25	5 09 08.7830	- 8 45 14.691	0.0000	-2.0100	1.860	3.00	B2IVn
24305	1144	3.29	5 12 55.9008	-16 12 19.686	3.1699	-16.1298	17.690	27.70	B9IV: HgMn
24340	192	4.82	5 13 25.7177	+38 29 04.193	-1.5892	-72.4094	20.080	23.00	A4m
24372	196	4.81	5 13 45.4542	-67 11 06.918	3.1257	38.9600	5.970	10.50	K2III
24436*	194	0.18	5 14 32.2723	- 8 12 05.906	0.1260	-0.5600	4.220	20.70	B8Ia
24608 _{cg}	193	0.08	5 16 41.3591	+45 59 52.768	7.2470	-427.1124	77.288	30.20	M1: comp
24659	197	4.81	5 17 29.0900	-34 53 42.747	7.6168	-336.5260	29.630	21.10	K0/K1III/IV

POZYCJE GWIAZD W SYSTEMIE ICRS (BCRS) J2000.0

HIP	FK5	magn.	α_{ICRF}	δ_{ICRF}	μ_α [ms/rok]	μ_δ [mas/rok]	π [mas]	V_R [km/s]	Sp
24674	195	3.59	5 17 ^h 36 ^m .3899	- 6°50'39"874	-1.0280	-9.5700	5.880	20.10	B5III
24813	1145	4.69	5 19 08.4744	+40 05 56.586	45.2614	-664.7372	79.076	66.40	G0V
24845	1146	4.29	5 19 34.5245	-13 10 36.439	-0.1705	-4.7400	3.030	20.20	B0.5IV
25044	1147	4.72	5 21 45.7479	- 0 22 56.875	0.0300	1.6700	2.530	28.80	B2IV-V
25336	201	1.64	5 25 07.8631	+ 6 20 58.928	-0.5869	-13.2799	13.420	18.20	B2III
25428	202	1.65	5 26 17.5134	+28 36 26.820	1.7678	-174.2194	24.890	8.00	B7III
25606	204	2.81	5 28 14.7232	-20 45 33.988	-0.3586	-85.9204	20.490	-13.50	G5II
25918	214	5.18	5 31 53.0156	-76 20 27.470	40.4240	287.7441	32.429	56.70	K4III
25930 _{ph}	206	2.25	5 32 00.4007	- 0 17 56.731	0.1113	0.5600	3.560	16.00	O9.5II
25984	1151	4.71	5 32 43.6730	+32 11 31.278	-0.1426	-4.0000	0.800	-0.20	B5Iab
25985	207	2.58	5 32 43.8159	-17 49 20.239	0.2290	1.5400	2.540	24.70	F0Ib
26069 _{ph}	212	3.76	5 33 37.5177	-62 29 23.371	0.1530	12.5600	3.140	6.80	F6Ia
26176	208	4.39	5 34 49.2371	+ 9 29 22.485	-0.0838	-2.4900	3.310	33.20	B0IV...
26241	209	2.75	5 35 25.9825	- 5 54 35.645	0.1521	-0.6200	2.460	21.50	O9III
26311*	210	1.69	5 36 12.8134	- 1 12 06.911	0.0994	-1.0600	2.430	25.90	B0Ia
26451 _{ph}	211	2.97	5 37 38.6858	+21 08 33.177	0.1708	-18.0399	7.820	24.30	B4IIIp
26634	215	2.65	5 39 38.9399	-34 04 26.788	-0.0080	-24.0498	12.160	35.00	B7IV
27072	217	3.59	5 44 27.7904	-22 26 54.176	-21.0936	-368.4556	111.491	-9.70	F7V
27100	1154	4.34	5 44 46.3788	-65 44 07.893	-4.6040	6.1201	22.480	-3.00	A7V
27288	219	3.55	5 46 57.3408	-14 49 19.020	-1.0234	-1.1800	46.470	18.60	A2Vann
27366	220	2.07	5 47 45.3889	- 9 40 10.577	0.1048	-1.2000	4.520	20.50	B0.5Iavar
27530	1156	4.50	5 49 49.6623	-56 09 59.987	9.7717	-71.7692	18.780	15.70	K1III
27621	1159	5.16	5 50 53.2209	-52 06 31.942	0.2627	-76.2900	12.330	1.30	G8III
27628	223	3.12	5 50 57.5929	-35 46 05.911	4.5795	404.6557	37.939	88.90	K1.5III
27654	222	3.76	5 51 19.2958	-20 52 44.719	16.3361	-647.9257	29.049	99.30	G8III/IV
27673	221	3.97	5 51 29.3990	+39 08 54.529	0.7290	0.3900	15.170	9.70	K0III
27830	1158	4.56	5 53 19.6461	+27 36 44.143	0.2874	-9.5800	7.450	-16.10	A0V
27949	1157	4.96	5 54 50.7821	+55 42 25.008	-0.4319	17.2000	13.540	-11.80	A2V
27989*	224	0.45	5 55 10.3053	+ 7 24 25.426	1.8373	10.8600	7.630	21.00	M2Ib
28103	226	3.71	5 56 24.2929	-14 10 03.721	-2.9037	139.0203	66.470	-1.50	F1V
28199	1160	4.36	5 57 32.2100	-35 16 59.807	-0.2164	11.1900	3.820	-7.00	B2.5IV
28328	229	3.96	5 59 08.8053	-42 48 54.488	1.6840	-11.4500	6.140	17.00	K0III
28358	225	3.72	5 59 31.6366	+54 17 04.762	9.8567	-134.0500	23.220	8.20	K0III
28360 _{cg} *	227	1.90	5 59 31.7229	+44 56 50.758	-5.3136	-0.8801	39.720	-18.20	A2V
28734 _{ph}	1163	4.16	6 04 07.2149	+23 15 48.028	-0.1887	-119.7191	21.640	20.20	G7III
29038	232	4.42	6 07 34.3248	+14 46 06.498	0.3413	-21.1799	6.100	22.10	B3IV
29271	239	5.08	6 10 14.4736	-74 45 10.963	30.8861	-212.8046	98.537	34.90	G5V
29276	235	4.72	6 10 17.9089	-54 58 07.121	-0.4773	6.5300	1.970	-2.00	B0.5IV
29696	1168	4.32	6 15 22.6891	+29 29 53.074	-5.4306	-261.7283	19.310	20.30	G8IIIvar
29800	1169	5.04	6 16 26.6196	+12 16 19.787	5.6675	186.2785	51.000	8.70	F5IV-V
29807	238	4.37	6 16 33.1356	-35 08 25.867	0.0318	87.5793	17.830	24.20	G8II
29997	234	4.76	6 18 50.7771	+69 19 11.234	-0.3096	-101.6502	18.550	-7.00	A0Vn
30060 _{cg}	237	4.44	6 19 37.3868	+59 00 39.472	-0.4545	24.4300	21.880	-3.60	A2Vs
30073	1170	5.27	6 19 42.7984	- 7 49 22.471	-0.2900	0.7000	3.960	29.00	B2.5V
30122	240	3.02	6 20 18.7925	-30 03 48.122	0.6162	3.8100	9.700	32.20	B2.5V
30324	243	1.98	6 22 41.9853	-17 57 21.304	-0.2418	-0.4700	6.530	33.70	B1III/III
30343	241	2.87	6 22 57.6270	+22 30 48.909	4.1019	-108.7886	14.070	54.80	M3IIIvar
30419 _A	244	4.39	6 23 46.0855	+ 4 35 34.314	-1.3965	10.7499	25.390	15.80	A5IV
30438	245	-0.62	6 23 57.1099	-52 41 44.378	2.1989	23.6699	10.430	20.50	F0Ib
30520	242	4.92	6 24 53.9027	+49 17 16.415	0.0838	-2.4800	0.850	4.70	K5Iabvar
30772	246	5.06	6 27 57.5695	- 4 45 43.756	-0.2830	-3.1400	2.410	24.50	B2V

POZYCJE GWIAZD W SYSTEMIE ICRS (BCRS) J2000.0

HIP	FK5	magn.	α_{ICRF}	δ_{ICRF}	μ_α [ms/rok]	μ_δ [mas/rok]	π [mas]	V_R [km/s]	Sp
30883	1173	4.13	6 ^h 28 ^m 57 ^s .7867	+20°12'43".679	-0.4248	-14.0799	6.490	39.40	B6III
31216	1174	4.47	6 32 54.2273	+ 7 19 58.674	-0.2615	-5.8000	2.160	12.30	A0Ib
31278	1175	5.09	6 33 37.9220	- 1 13 12.553	0.1427	-17.6800	6.080	25.00	B5Vn
31416	249	4.54	6 35 03.3882	-22 57 53.255	0.9492	16.5199	7.920	32.00	A0III
31681	251	1.93	6 37 42.7011	+16 23 57.308	-0.1418	-66.9205	31.120	-12.50	A0IV
31685	252	3.17	6 37 45.6713	-43 11 45.361	-0.0393	-3.9900	7.710	28.20	B8III SB
32246	254	3.06	6 43 55.9260	+25 07 52.047	-0.4367	-12.8100	3.610	9.90	A3mA6-A9
32349 [*] _{cg}	257	-1.44	6 45 08.9173	-16 42 58.017	-38.0093	-1223.1393	379.220	-7.60	A0m...
32362	256	3.35	6 45 17.3646	+12 53 44.128	-7.8758	-190.9051	57.019	25.60	F5IV
32578 _{cg}	258	4.48	6 47 51.6493	+ 2 24 43.773	-0.8654	-12.3600	8.740	11.30	K0III
32607	262	3.24	6 48 11.4523	-61 56 29.010	-9.6927	242.0274	32.960	20.60	A7IV
32759	1180	3.50	6 49 50.4591	-32 30 30.520	-0.7257	4.0400	4.130	14.00	B1.5IVne
32768 _{cg}	263	2.94	6 49 56.1683	-50 36 52.415	3.5963	-65.8492	17.850	36.40	K0III...
33018	261	3.60	6 52 47.3382	+33 57 40.514	-0.2138	-47.6697	16.590	21.00	A3III
33104	259	5.11	6 53 42.2484	+68 53 17.914	0.8385	7.3000	3.260	-21.00	B7III
33160	266	4.08	6 54 11.3978	-12 02 19.060	-9.4776	-14.4695	12.940	97.30	K4III
33579	268	1.50	6 58 37.5484	-28 58 19.501	0.2004	2.2900	7.570	27.40	B2II
33694*	260	4.55	7 00 04.0374	+76 58 38.668	21.6508	-13.8811	17.430	-26.20	K4III
33856	1183	3.49	7 01 43.1477	-27 56 05.389	-0.4535	4.6400	2.680	21.50	K4III
33977	270	3.02	7 03 01.4726	-23 49 59.847	-0.1137	4.2800	1.270	48.40	B3Ia
34045	271	4.11	7 03 45.4927	-15 37 59.830	-0.0561	-11.1999	8.110	32.00	B8II
34088	269	4.01	7 04 06.5318	+20 34 13.069	-0.4073	-0.9600	2.790	6.70	G3Ibv SB
34444	273	1.83	7 08 23.4843	-26 23 35.519	-0.2047	3.3300	1.820	34.30	F8Ia
34481 _A	1189	3.78	7 08 44.8660	-70 29 56.154	4.7350	108.0599	23.020	2.80	G8IIIvar
34622	1186	4.91	7 10 13.6819	- 4 14 13.582	0.0000	217.8453	15.450	78.80	K0III
34752	274	4.91	7 11 39.3257	+39 19 13.976	3.8064	2.0899	7.020	-27.00	K4II-III
34769	1187	4.15	7 11 51.8602	- 0 29 33.952	-0.0147	6.6800	8.700	15.00	A2V
34834	275	4.49	7 12 33.6255	-46 45 33.498	-13.1958	106.7909	47.220	-0.60	F0IV
35228	281	3.97	7 16 49.8244	-67 57 25.747	-0.7301	8.5000	4.940	22.50	F6II
35264 _A	278	2.71	7 17 08.5564	-37 05 50.892	-0.8835	7.0000	2.980	15.80	K3Ib
35350	277	3.58	7 18 05.5787	+16 32 25.379	-3.2053	-37.9002	34.590	-9.20	A3V...
35550 _{cg}	279	3.50	7 20 07.3776	+21 58 56.354	-1.3458	-7.7600	55.450	2.60	F0IV...
35904	283	2.45	7 24 05.7025	-29 18 11.173	-0.2874	6.6600	1.020	41.10	B5Ia
36046	282	3.78	7 25 43.5961	+27 47 53.089	-9.1401	-84.4300	25.900	8.40	G9III+...
36188	285	2.89	7 27 09.0427	+ 8 17 21.536	-3.3874	-38.4497	19.160	22.00	B8Vvar
36366	286	4.16	7 29 06.7190	+31 47 04.381	12.4961	193.8204	54.060	-5.70	F0V...
36377 _{cg}	1194	3.25	7 29 13.8303	-43 18 05.157	-5.4833	188.7249	17.740	88.10	K5III SB
36425	1193	4.55	7 29 47.7828	+12 00 23.631	0.0859	-19.2600	5.820	-15.40	K2III
36795	288	4.44	7 34 03.1805	-22 17 45.841	-2.9094	46.8380	38.909	61.40	F6V
36850 _A	287	1.58	7 34 35.8628	+31 53 17.795	-16.2001	-148.1801	63.270	6.00	A2Vm
36942	1198	4.93	7 35 39.7227	-52 32 01.810	2.5689	-11.5699	8.280	62.00	K3III
36962	1196	4.06	7 35 55.3464	+26 53 44.667	-2.9587	-108.0806	13.570	-20.60	K5III
37088	289	5.14	7 37 16.6911	- 4 06 39.526	-4.5055	17.7398	16.110	46.00	F6III
37096 _A	290	4.53	7 37 22.1103	-34 58 06.709	-1.1105	16.5299	9.100	24.00	B8IV/V
37279 _{cg}	291	0.40	7 39 18.1183	+ 5 13 29.975	-47.9713	-1034.5989	285.932	-3.20	F5IV-V
37447	293	3.94	7 41 14.8324	- 9 33 04.071	-5.0567	-19.6399	22.610	10.50	K0III
37504	297	3.93	7 41 49.2612	-72 36 21.953	7.4439	15.2898	24.360	48.10	K0III
37609	292	4.93	7 43 00.4161	+58 42 37.297	-4.7481	-52.1100	13.750	8.70	A3IVn
37740	294	3.57	7 44 26.8542	+24 23 52.773	-1.6434	-56.2395	22.730	20.60	G8III
37826*	295	1.16	7 45 18.9504	+28 01 34.315	-47.2537	-45.9586	96.740	3.30	K0IIIvar
37891	1202	5.03	7 45 56.8700	-14 33 49.698	-0.7694	6.2800	13.800	-2.00	F2V

POZYCJE GWIAZD W SYSTEMIE ICRS (BCRS) J2000.0

HIP	FK5	magn.	α_{ICRF}	δ_{ICRF}	μ_α [ms/rok]	μ_δ [mas/rok]	π [mas]	V_R [km/s]	Sp
37908	1200	4.89	7 46 ^h 07.4472	+18°30'36.157	-5.3114	-51.5294	9.550	81.10	K5III
38170	1204	3.34	7 49 17.6552	-24 51 35.229	-0.4085	-0.7100	2.420	2.70	G6Ia
38373	1205	5.12	7 51 41.9886	+ 1 46 00.726	-0.9318	-3.7800	7.760	32.30	B8II
38414	301	3.71	7 52 13.0348	-40 34 32.830	-1.2191	5.3000	9.460	24.00	G5III...
38538 _{cg}	1207	4.97	7 53 29.8143	+26 45 56.818	-2.5402	-31.1700	12.820	8.00	A3V
38827	303	3.46	7 56 46.7143	-52 58 56.496	-3.1425	16.7600	8.430	19.10	B3IVp
38901	1210	4.76	7 57 40.1063	-30 20 04.451	-0.6264	7.1400	2.260	28.40	A7III
39079	304	4.93	7 59 44.1525	- 3 40 46.498	-3.6856	-1.8400	13.060	-28.70	K2III
39095	1212	4.61	7 59 52.0507	-18 23 57.220	-0.5122	-35.0701	13.690	-12.00	A1V
39424	305	4.94	8 03 31.0803	+27 47 39.596	-2.1501	-35.2501	12.660	-10.90	K2III
39429	306	2.21	8 03 35.0467	-40 00 11.332	-2.6823	16.7701	2.330	-24.00	O5Iaf
39757	308	2.83	8 07 32.6488	-24 18 15.567	-6.0924	46.3781	51.989	46.60	F2mF5IIp
39847	307	4.78	8 08 27.4472	+51 30 24.014	-6.4372	-2.1502	14.960	5.00	A2V
39953	309	1.75	8 09 31.9502	-47 20 11.716	-0.5834	9.9000	3.880	35.00	WC8 + O9I
40259	311	4.99	8 13 19.9681	-15 47 17.597	-0.7981	-2.8500	2.650	16.60	G5Ib/II
40526	312	3.53	8 16 30.9206	+ 9 11 07.961	-3.1605	-48.6498	11.230	22.30	K4III
40706	313	4.44	8 18 33.3123	-36 39 33.438	-9.2470	100.6201	35.060	5.10	A4m...
40843	1217	5.13	8 20 03.8603	+27 13 03.745	-1.3778	-376.2477	55.169	33.00	F6V
40888	318	4.34	8 20 38.5404	-77 29 04.118	-39.7125	40.7828	21.220	21.90	K0III-IV
40945	1219	4.83	8 21 23.0265	-33 03 15.718	-0.8996	2.3800	3.890	33.20	K2/K3III
41037 _A	315	1.86	8 22 30.8356	-59 30 34.139	-3.3294	22.7200	5.160	11.50	K3III+B2V
41075	314	4.25	8 22 50.1096	+43 11 17.270	-2.3426	-99.4397	8.390	24.40	K5III
41307	316	3.91	8 25 39.6323	- 3 54 23.125	-4.4136	-24.1999	26.090	10.00	A0V
41312	319	3.77	8 25 44.1946	-66 08 12.805	-5.9045	-152.1476	30.210	27.40	K2IIIvar
41704	317	3.35	8 30 15.8700	+60 43 05.409	-18.3066	-107.7307	17.760	19.80	G4III-III
42312	324	4.11	8 37 38.6331	-42 59 20.690	-0.9460	9.4700	2.270	18.70	A6II
42313	1223	4.14	8 37 39.3662	+ 5 42 13.614	-4.7080	-6.9900	18.210	11.30	A1Vnn
42402	1224	4.45	8 38 45.4377	+ 3 20 29.167	-1.2708	-16.2899	9.250	26.50	K2III
42509	325	4.98	8 40 01.4716	-12 28 31.340	-5.4541	0.9301	7.780	-10.60	K3III
42536	1227	3.60	8 40 17.5854	-52 55 18.794	-2.7224	35.0900	6.590	17.10	B3IV
42570	1226	3.77	8 40 37.5699	-46 38 55.480	-0.6118	4.2900	1.050	25.30	F3Ia
42806	1228	4.66	8 43 17.1461	+21 28 06.602	-7.6608	-39.2498	20.580	28.70	A1IV
42828	327	3.68	8 43 35.5375	-33 11 10.988	-1.1375	10.6000	3.860	15.30	B1.5III
42911	326	3.94	8 44 41.0996	+18 09 15.511	-1.1997	-228.4583	23.970	17.10	K0III
43103 _A	328	4.03	8 46 41.8205	+28 45 35.634	-1.5734	-43.9499	10.940	16.00	G8Iab:
43305	1230	5.30	8 49 21.7262	- 3 26 34.884	-1.3070	-21.6999	7.450	32.60	B9MNp...
43409	332	4.02	8 50 31.9234	-27 42 35.440	-10.0521	88.1598	15.630	24.50	K3III
43783	336	3.84	8 55 02.8281	-60 38 40.593	-3.8322	42.2399	10.450	25.00	B8III
43813	334	3.11	8 55 23.6263	+ 5 56 44.028	-6.6866	14.6498	21.640	22.80	G8III-IV
44066	337	4.26	8 58 29.2217	+11 51 27.723	2.8236	-29.2202	18.790	-13.80	A5m
44127*	335	3.12	8 59 12.4539	+48 02 30.575	-43.9841	-215.2160	68.320	12.20	A7IV
44191	1234	4.45	9 00 05.4086	-41 15 12.979	-3.6065	54.5902	16.190	-6.50	Fp
44248 _A	339	3.96	9 00 38.3707	+41 46 58.480	-43.5983	-219.2927	60.859	26.40	F5V
44382	343	4.00	9 02 26.7959	-66 23 45.876	-0.3347	-95.7998	26.240	4.90	Am
44390	338	4.74	9 02 32.6921	+67 37 46.628	-3.8677	18.1499	11.350	4.60	M3III
44471 _{ph}	341	3.57	9 03 37.5267	+47 09 23.489	-3.6637	-55.3900	7.710	4.00	A1Vn
44511	342	3.75	9 04 09.2804	-47 05 51.853	-4.5851	-9.5699	10.550	24.30	K2III
44700	1237	4.56	9 06 31.7669	+38 27 07.975	-2.4151	-14.3400	4.810	17.30	G8Ib-II
44798	1238	5.23	9 07 44.8123	+10 40 05.488	-1.3812	-9.9600	6.740	24.20	B8IIIMNp
44816	345	2.23	9 07 59.7585	-43 25 57.322	-2.1308	14.2800	5.690	18.40	K4Ib-II

POZYCJE GWIAZD W SYSTEMIE ICRS (BCRS) J2000.0

HIP	FK5	magn.	α_{ICRF}	δ_{ICRF}	μ_α [ms/rok]	μ_δ [mas/rok]	π [mas]	V_R [km/s]	Sp
45238	348	1.67	9 ^h 13 ^m 11 ^s .9755	-69°43'01".948	-30.3201	108.9132	29.340	-5.20	A2IV
45336	347	3.89	9 14 21.8590	+ 2 18 51.409	7.5108	-306.0711	25.340	-8.00	B9.5V
45556	351	2.21	9 17 05.4067	-59 16 30.825	-2.4831	13.1100	4.710	13.30	A8Ib
45860	352	3.14	9 21 03.3013	+34 23 33.223	-17.9998	14.7784	14.690	37.60	M0IIIvar
45902	1243	4.71	9 21 29.5908	-25 57 55.580	-0.9106	-9.2000	6.250	20.00	M0III
45941	353	2.47	9 22 06.8183	-55 00 38.405	-1.2463	11.2400	6.050	21.90	B2IV
46146	1244	4.47	9 24 39.2591	+26 10 56.367	-2.3126	-48.0596	15.280	28.20	K2III
46390*	354	1.99	9 27 35.2433	- 8 39 30.969	-0.9771	33.2500	18.400	-4.30	K3III
46515	356	4.51	9 29 14.7196	-35 57 04.808	-2.0374	5.0700	4.660	22.20	K3III
46701	361	3.16	9 31 13.3188	-57 02 03.757	-3.9917	6.0801	13.720	-13.90	K5III
46733	355	3.65	9 31 31.7081	+63 03 42.699	15.8270	26.8592	43.200	-9.50	F0IV
46771	1246	4.99	9 31 56.7388	+11 17 59.376	-6.1131	-83.9995	13.670	29.40	K0IIIvar
46853	358	3.17	9 32 51.4343	+51 40 38.281	-101.8146	-535.6372	74.149	15.40	F6IV
46880	1247	5.02	9 33 12.4599	-21 06 56.601	-1.4429	15.0900	9.760	15.70	K0III
46952	360	4.54	9 34 13.3819	+36 23 51.208	0.5649	-22.8901	18.520	-11.70	G8III
46977	357	4.54	9 34 28.8598	+69 49 49.234	-12.3552	77.5907	30.890	-27.40	G4III-IV
47310	1249	4.68	9 38 27.2883	+ 4 38 57.454	-11.0663	-49.9296	11.900	45.20	K3III
47431	1250	3.90	9 39 51.3619	- 1 08 34.117	3.1880	-62.9197	11.830	23.20	K3IIIvar
47452	364	5.07	9 40 18.3633	-14 19 56.252	-1.8110	-19.2500	6.330	18.00	B4IV/V
47508	365	3.52	9 41 09.0328	+ 9 53 32.309	-9.7224	-37.4497	24.120	27.00	A5V+...
47758 _{ph}	366	4.78	9 44 12.0952	-27 46 10.096	-3.9977	37.7599	8.490	24.00	A7V+...
47854	1254	3.69	9 45 14.8113	-62 30 28.451	-1.8601	8.2800	2.160	3.30	G5Iab/Ib
47908	367	2.97	9 45 51.0730	+23 46 27.317	-3.3576	-9.5700	13.010	4.30	G0II
48113	1255	5.08	9 48 35.3714	+46 01 15.629	21.3201	-92.6217	54.260	5.10	G2V
48319	368	3.78	9 50 59.3578	+59 02 19.448	-38.1556	-151.7538	28.350	30.70	F0IV
48455	371	3.88	9 52 45.8173	+26 00 25.025	-16.0438	-54.9206	24.520	13.80	K0III
48615	373	4.94	9 54 52.2087	-19 00 33.696	-3.2499	-37.0398	4.620	50.00	K5III
48774	375	3.52	9 56 51.7416	-54 34 04.046	-1.5099	2.8300	1.690	14.10	B5Ib
48833	374	5.11	9 57 41.0540	+41 03 20.281	-10.3386	-26.2607	34.610	-9.80	F6Vs
49029	378	4.68	10 00 12.8066	+ 8 02 39.203	-2.0239	-22.1099	6.210	23.40	M2III
49402	1261	4.60	10 05 07.4700	-13 03 52.654	-2.5650	19.8999	11.770	28.00	B8V
49583	379	3.48	10 07 19.9523	+16 45 45.592	-0.1351	-0.5300	1.530	2.90	A0Ib
49669*	380	1.36	10 08 22.3107	+11 58 01.945	-16.9960	4.9094	42.090	3.50	B7V
49841 _{cg}	381	3.61	10 10 35.2775	-12 21 14.699	-13.6718	-100.2786	28.440	19.40	K0III
50099	385	3.29	10 13 44.2179	-70 02 16.452	-6.9772	7.5501	8.810	7.00	B8III
50191	382	3.85	10 14 44.1553	-42 07 18.990	-13.5432	49.8407	31.720	7.40	A2V
50335	384	3.43	10 16 41.4169	+23 25 02.318	1.4414	-7.3000	12.560	-15.60	F0III
50371	1264	3.39	10 17 04.9758	-61 19 56.295	-3.3700	6.3800	4.430	8.60	K3II
50372	383	3.45	10 17 05.7915	+42 54 51.714	-15.4847	-42.6408	24.270	18.30	A2IV
50799	1268	4.82	10 22 19.5848	-41 38 59.857	-2.4294	60.7697	16.260	20.90	K1IIIvar
50801	386	3.06	10 22 19.7406	+41 29 58.259	-7.1629	34.0999	13.110	-20.50	M0III SB
50933	387	4.94	10 24 07.8462	+65 33 59.123	-1.4393	-20.8300	10.840	-0.10	A0sp...
50954	391	3.99	10 24 23.7063	-74 01 53.803	-3.9064	-27.6301	61.670	-4.80	F2IV
51069	389	3.83	10 26 05.4267	-16 50 10.646	-8.9509	-80.0590	13.140	39.60	K4III
51172	392	4.28	10 27 09.1011	-31 04 04.004	-6.2591	9.6301	8.900	12.20	K4III
51232	393	3.81	10 27 52.7302	-58 44 21.851	-1.7022	2.2100	3.130	9.40	F2II
51233 _{ph}	390	4.20	10 27 52.9997	+36 42 25.962	-10.6041	-109.6203	22.340	5.60	G8III-IV
51459	394	4.82	10 30 37.5798	+55 58 49.931	-21.0933	-33.4515	77.820	9.20	F8V
51576	397	3.30	10 32 01.4634	-61 41 07.197	-2.3318	11.4200	6.560	26.00	B4Vne
51624	396	3.84	10 32 48.6718	+ 9 18 23.708	-0.3763	-3.5900	0.570	42.00	B1Ib SB

POZYCJE GWIAZD W SYSTEMIE ICRS (BCRS) J2000.0

HIP	FK5	magn.	α_{ICRF}	δ_{ICRF}	μ_α [ms/rok]	μ_δ [mas/rok]	π [mas]	V_R [km/s]	Sp
51635 _A	1273	5.02	10 ^h 32 ^m 56. ^s 8602	-47°00'12"069	-2.3501	6.8300	3.380	4.20	K4III
51808*	395	4.86	10 35 05.4806	+75 42 46.612	-12.3132	-14.9603	12.680	16.60	K0III
51814	398	5.16	10 35 09.6929	+57 04 57.492	8.0539	37.1100	37.800	-10.60	F1V
51839	401	4.11	10 35 28.1062	-78 36 28.029	-12.8254	11.5303	7.890	-22.40	M0III
52098	1275	4.68	10 38 43.2127	+31 58 34.455	0.0079	7.1800	6.880	-6.80	G0II
52154	402	4.29	10 39 18.3930	-55 36 11.767	-2.2269	4.3100	3.620	20.00	G2II
52419 _{cg}	406	2.74	10 42 57.4013	-64 23 40.020	-2.9109	12.0600	7.430	24.00	B0Vp
52457	405	5.08	10 43 24.9558	+23 11 18.256	-8.4608	8.2697	15.720	18.50	A3Vn
52633	411	4.45	10 45 47.0033	-80 32 24.676	-15.1419	6.1903	8.970	22.60	B2.5IV
52943	410	3.11	10 49 37.4884	-16 11 37.134	6.4402	199.0202	23.540	-1.20	K0/K1III
53229	412	3.79	10 53 18.7051	+34 12 53.536	7.4547	-286.0575	33.400	16.10	K0III-IV
53502	414	4.60	10 56 43.0512	-37 08 15.956	6.2687	-124.4998	16.400	-0.20	K0III
53721	1282	5.03	10 59 27.9737	+40 25 48.925	-27.6684	55.1456	71.040	11.30	G0V
53740	1283	4.08	10 59 46.4647	-18 17 55.620	-32.4673	129.1110	18.710	46.80	K1III
53773	415	4.37	11 00 09.2640	-42 13 33.091	2.0707	4.5000	15.990	-5.10	A3IV
53807	1284	4.84	11 00 33.6486	+ 3 37 02.979	1.0461	-16.2400	9.540	6.40	K1III
53910*	416	2.34	11 01 50.4768	+56 22 56.736	9.8331	33.7399	41.070	-12.00	A1V
54061 _A	417	1.81	11 03 43.6687	+61 45 03.720	-19.2209	-35.2516	26.380	-8.90	F7V comp
54182	418	4.62	11 05 01.0273	+ 7 20 09.626	-23.1501	-47.4005	34.540	4.70	F2III-IVvar
54204 _{cg}	419	4.92	11 05 19.9074	-27 17 37.004	-14.3090	-6.8692	22.980	17.00	F3IV/V
54463	1289	3.93	11 08 35.3899	-58 58 30.133	-0.6506	2.0900	0.550	7.20	G0Ia0
54539	420	3.00	11 09 39.8084	+44 29 54.553	-5.8276	-27.3802	22.210	-3.80	K1III
54682	421	4.46	11 11 39.4893	-22 49 33.050	0.3421	-99.0599	12.260	6.40	A1V
54872	422	2.56	11 14 06.5014	+20 31 25.381	10.2017	-130.4330	56.521	-20.20	A4V
54879	423	3.33	11 14 14.4052	+15 25 46.453	-4.0811	-79.3698	18.360	7.60	A2V
55084	1292	4.45	11 16 39.7009	- 3 39 05.764	-7.2247	-35.7600	16.690	-3.00	A7IVn
55219	425	3.49	11 18 28.7368	+33 05 39.500	-2.1175	27.5100	7.740	-9.20	K3III SB
55266 _{cg}	1293	4.76	11 19 07.9010	+38 11 08.004	-4.8472	-68.1002	17.820	-3.00	A2V
55282	426	3.56	11 19 20.4476	-14 46 42.749	-8.5819	206.6105	16.750	-5.20	K0III
55425 _A	428	3.90	11 21 00.4068	-54 29 27.669	-4.0540	-2.1999	10.150	16.00	B5Vn
55434	427	4.05	11 21 08.1943	+ 6 01 45.558	-6.1514	-12.8301	15.240	-5.30	B9.5Vs
55705	431	4.06	11 24 52.9238	-17 41 02.435	-6.7881	3.2201	38.900	1.00	A9V
55945	1297	4.95	11 27 56.2400	+ 2 51 22.555	1.1561	-10.4100	5.250	-9.10	G8II-III
56211	433	3.82	11 31 24.2205	+69 19 51.873	-7.7703	-18.7902	9.760	7.20	M0IIIvar
56343	434	3.54	11 33 00.1154	-31 51 27.451	-16.4116	-41.5989	25.230	-4.60	G8III
56561	436	3.11	11 35 46.8848	-63 01 11.430	-4.9726	-6.8699	7.960	7.90	B9II:
56633	1299	4.70	11 36 40.9134	- 9 48 08.089	-4.0133	2.8200	10.700	1.00	B9.5Vn
56647	437	4.30	11 36 56.9306	- 0 49 25.495	0.0867	43.4300	18.310	1.00	G9III
56922	439	4.70	11 40 12.7891	-34 44 40.775	-3.5731	-1.8399	6.590	5.90	B9V
57283 _{ph}	1301	4.71	11 44 45.7756	-18 21 02.428	1.9070	-24.5600	9.310	-4.60	G8III
57363 _{cg}	442	3.63	11 45 36.4191	-66 43 43.546	-16.9447	33.2107	25.420	16.30	A7III
57380	1302	4.04	11 45 51.5590	+ 6 31 45.755	-1.3185	-180.0183	10.420	50.70	M0III
57399	441	3.69	11 46 03.0140	+47 46 45.861	-13.7285	28.3692	16.640	-8.80	K0III
57439	443	4.11	11 46 30.8226	-61 10 42.235	-3.0216	-16.2300	7.510	-3.50	G0II
57565 _{cg}	1304	4.50	11 47 59.1359	+20 13 08.153	-10.3348	-4.0403	14.400	0.20	A comp SB
57632	444	2.14	11 49 03.5776	+14 34 19.417	-34.3737	-113.7828	90.160	-0.10	A3Vvar
57757	445	3.59	11 50 41.7186	+ 1 45 52.985	49.4204	-271.1788	91.740	4.40	F8V
57803	446	4.47	11 51 08.6917	-45 10 24.494	-6.8486	-8.6198	7.030	2.20	K4III
58001*	447	2.41	11 53 49.8475	+53 41 41.136	12.1335	11.1594	38.990	-12.60	A0V SB
58188	1309	5.17	11 56 00.9536	-17 09 02.983	-3.4236	-8.2299	11.420	15.00	A0V
58590 _{cg}	1311	4.65	12 00 52.3901	+ 6 36 51.561	-0.0168	-29.7101	9.160	-23.00	A5V

POZYCJE GWIAZD W SYSTEMIE ICRS (BCRS) J2000.0

HIP	FK5	magn.	α_{ICRF}	δ_{ICRF}	μ_α [ms/rok]	μ_δ [mas/rok]	π [mas]	V_R [km/s]	Sp
58948	450	4.12	12 ^h 05 ^m 12 ^s .5396	+ 8°43'58"748	-14.8604	57.5203	19.080	-31.30	G8III
59196 _{ph}	452	2.58	12 08 21.4998	-50 43 20.732	-5.0052	-6.4199	8.250	9.00	B2IVne
59316	453	3.02	12 10 07.4807	-22 37 11.159	-5.1653	10.5501	10.750	4.90	K2III
59504	454	5.14	12 12 11.9418	+77 36 58.469	3.2734	20.1800	29.700	-0.20	A5m
59747	455	2.79	12 15 08.7157	-58 44 56.140	-4.7135	-10.7199	8.960	22.20	B2IV
59774	456	3.32	12 15 25.5601	+57 01 57.421	12.6875	7.8094	40.050	-13.40	A3Vvar
59803	457	2.58	12 15 48.3702	-17 32 30.946	-11.1575	22.3104	19.780	-4.20	B8III
60000	459	4.24	12 18 20.8242	-79 18 44.063	-13.6850	12.0003	12.050	23.00	B5Vn
60129	460	3.89	12 19 54.3569	- 0 40 00.492	-3.9429	-23.1300	13.060	2.30	A2IV
60172	1317	4.97	12 20 20.9809	+ 3 18 45.267	-19.6206	-62.8498	11.430	35.70	K1III
60351	1318	4.78	12 22 30.3122	+25 50 46.177	-0.7963	-8.8500	11.930	0.50	F8:p...
60718 _A	462	0.77	12 26 35.8958	-63 05 56.730	-5.2117	-14.7299	10.170	-11.20	B0.5IV
60823	464	3.91	12 28 02.3820	-50 13 50.286	-3.3860	-12.4099	7.360	8.00	B3V
60965	465	2.94	12 29 51.8554	-16 30 55.557	-14.6003	-139.2986	37.110	9.00	B9.5V
61084	468	1.59	12 31 09.9593	-57 06 47.562	3.4305	-264.3263	37.090	20.60	M4III
61199	469	3.84	12 32 28.0148	-72 07 58.758	-10.9927	-5.1597	10.070	2.50	B5V
61281	472	3.85	12 33 28.9443	+69 47 17.656	-11.2189	11.4196	6.550	-11.40	B6IIIp
61317	470	4.24	12 33 44.5446	+41 21 26.927	-62.6215	292.9071	119.459	6.90	G0V
61359	471	2.65	12 34 23.2346	-23 23 48.333	0.0625	-56.0002	23.340	-7.60	G5II
61394 _{ph}	1323	4.80	12 34 51.0815	+22 37 45.332	-4.1473	28.5300	8.940	-16.00	A0IV
61418 _A	473	5.03	12 35 07.7597	+18 22 37.408	-0.3217	23.3000	5.310	3.90	K2III
61585	474	2.69	12 37 11.0184	-69 08 08.030	-7.4630	-12.4398	10.670	18.00	B2IV-V
61740	475	4.66	12 39 14.7669	- 7 59 44.032	-5.2039	-24.6601	10.240	-19.70	K2III
61960	1326	4.88	12 41 53.0565	+10 14 08.251	5.5971	-89.5100	27.100	1.60	A0V
62223	1327	5.42	12 45 07.8270	+45 26 24.922	-0.2090	13.0500	4.590	11.70	C7Iab
62434	481	1.25	12 47 43.2631	-59 41 19.549	-6.3721	-12.8198	9.250	20.00	B0.5III
62683	1331	4.90	12 50 41.1665	-33 59 57.489	-2.3408	-14.2899	8.390	18.00	B9V
62763	1332	4.93	12 51 41.9216	+27 32 26.565	-0.7143	-8.8200	10.620	-1.40	G0III
62896	482	4.25	12 53 26.1992	-40 10 43.938	6.0765	-21.8298	21.030	-2.50	A4IV
62956*	483	1.76	12 54 01.7494	+55 57 35.356	13.3078	-8.9908	40.300	-9.30	A0p
62985	1335	4.77	12 54 21.1633	- 9 32 20.380	-1.2344	-19.7199	7.820	17.60	M3IIIvar
63090	484	3.39	12 55 36.2078	+ 3 23 50.893	-31.4848	-52.8108	16.110	-17.80	M3III
63125 _A	485	2.89	12 56 01.6674	+38 19 06.167	-19.8349	54.9783	29.600	-3.30	A0spe...
63608	488	2.85	13 02 10.5971	+10 57 32.941	-18.6774	19.9595	31.900	-14.60	G8IIIvar
63613 _{cg}	487	3.61	13 02 16.2633	-71 32 55.879	55.5193	-23.2706	35.910	36.50	K2III
63901	1337	5.20	13 05 44.4360	+35 47 56.035	-3.0207	19.3200	11.550	-13.00	B9V
64004	489	4.27	13 06 54.6393	-49 54 22.486	-2.7162	-12.4299	7.920	14.30	B1.5V
64238 _A	490	4.38	13 09 56.9915	- 5 32 20.435	-2.3496	-32.8000	7.860	-2.90	A1V
64394	492	4.23	13 11 52.3935	+27 52 41.459	-60.4826	882.6766	109.229	5.20	G0V
64661	493	4.79	13 15 14.9406	-67 53 40.521	-6.5407	-10.6298	8.040	5.00	B8V
64844	494	4.72	13 17 32.5406	+40 34 21.387	-11.0297	18.4494	11.390	7.50	F3III
64852	1344	4.78	13 17 36.2827	+ 5 28 11.530	-0.4795	10.0000	6.030	-26.80	M2III
64924	1345	4.74	13 18 24.3146	-18 18 40.306	-75.1334	-1063.7820	117.301	-8.10	G5V
64962	495	2.99	13 18 55.2968	-23 10 17.444	4.9609	-41.0900	24.690	-5.40	G8III
65109	496	2.75	13 20 35.8176	-36 42 44.262	-28.3384	-87.9763	55.640	0.10	A2V
65271	1347	4.52	13 22 37.9371	-60 59 18.215	-4.8798	-15.1898	9.200	26.00	B3V
65378 _A	497	2.23	13 23 55.5429	+54 55 31.302	14.0645	-22.0110	41.730	-9.00	A2V
65474*	498	0.98	13 25 11.5793	-11 09 40.759	-2.8880	-31.7300	12.440	1.00	B1V
65721	1349	4.97	13 28 25.8094	+13 46 43.634	-16.1177	-576.1879	55.220	4.70	G5V
66200	1351	4.92	13 34 07.9309	+ 3 39 32.280	2.9320	-24.0301	17.790	-11.90	A1p SrCrEu
66249	501	3.38	13 34 41.5920	- 0 35 44.953	-18.5939	48.5605	44.550	-13.20	A3V

POZYCJE GWIAZD W SYSTEMIE ICRS (BCRS) J2000.0

HIP	FK5	magn.	α_{ICRF}	δ_{ICRF}	μ_α [mas/rok]	μ_δ [mas/rok]	π [mas]	V_R [km/s]	Sp
66257	502	4.91	13 ^h 34 ^m 47.8083	+37°10'56.694	7.0874	-9.8102	22.460	7.40	F2IV SB
66657	504	2.29	13 39 53.2584	-53 27 59.018	-1.6350	-12.7900	8.680	5.60	B1III
66803	1355	5.03	13 41 36.7766	- 8 42 10.743	-6.1812	40.2802	7.130	-36.60	M2III
67153	506	4.23	13 45 41.2452	-33 02 37.397	-36.7320	-146.1671	51.910	-21.80	F3V
67275	507	4.50	13 47 15.7429	+17 27 24.862	-33.5687	54.1779	64.121	-15.60	F7V
67301*	509	1.85	13 47 32.4376	+49 18 47.754	-12.3972	-15.5608	32.390	-10.90	B3V SB
67472	508	3.47	13 49 36.9890	-42 28 25.434	-2.1557	-19.2200	6.190	12.60	B2IV-Ve
67494	510	4.96	13 49 52.2835	-18 08 03.004	-6.9689	-37.7102	13.480	-39.70	K0III
67627	511	4.58	13 51 25.9396	+64 43 23.778	0.2264	-4.5500	8.330	-10.70	M3III
67927 _{cg}	513	2.68	13 54 41.0787	+18 23 51.781	-4.2822	-358.1001	88.170	-0.10	G0IV
68002	512	2.55	13 55 32.3858	-47 17 18.150	-5.6159	-44.7498	8.480	6.50	B2.5IV
68191	514	4.71	13 57 38.8836	-63 41 12.105	-6.0834	-32.8297	15.610	22.20	K4III
68269	515	5.20	13 58 31.1460	-24 58 20.095	-3.6712	-29.2899	9.610	5.00	B8V
68520	516	4.23	14 01 38.7933	+ 1 32 40.315	1.1611	-21.2000	14.940	-2.00	A3V
68702 _A	518	0.61	14 03 49.4045	-60 22 22.942	-4.5798	-25.0599	6.210	-12.00	B1III
68756 _{cg}	521	3.67	14 04 23.3498	+64 22 33.062	-8.7129	17.1898	10.560	-16.00	A0III SB
68895	519	3.25	14 06 22.2971	-26 40 56.500	3.2120	-140.8178	32.170	26.70	K2III
68933	520	2.06	14 06 40.9485	-36 22 11.836	-42.9951	-517.8609	53.520	1.30	K0IIIb
69112 _{cg} *	524	4.80	14 08 50.9269	+77 32 51.051	-9.3865	33.3898	6.520	10.50	K3III
69226	522	4.82	14 10 23.9336	+25 05 30.037	-1.6946	-60.0697	27.270	10.80	F9IVw
69427	523	4.18	14 12 53.7458	-10 16 25.326	0.5447	140.7901	14.590	-4.00	K3III
69673 _{ph} *	526	-0.05	14 15 39.6720	+19 10 56.677	-77.1804	-1999.4342	88.850	-5.19	K2IIIp
69701	525	4.07	14 16 00.8698	- 6 00 01.968	-1.7321	-419.8356	46.740	12.50	F7V
69713	528	4.75	14 16 09.9294	+51 22 02.033	-16.0154	89.4197	33.540	-17.00	A9V
69732	527	4.18	14 16 23.0187	+46 05 17.900	-18.0158	159.0092	33.580	-8.10	A0sh
69879 _{cg}	1370	4.80	14 17 59.8196	+35 30 34.219	0.4029	14.1801	14.630	-25.60	K1III
69974	1371	4.52	14 19 06.5916	-13 22 15.942	-1.1731	29.3901	17.470	-10.90	A1V
70069	529	4.30	14 20 19.5430	-56 23 11.391	-1.1188	-7.5700	2.750	4.20	B6Ib
70090	1373	4.05	14 20 33.4316	-37 53 07.061	-5.4483	-11.3899	13.190	-4.00	A0IV
70400	1375	5.10	14 24 11.3447	+ 5 49 12.470	-5.2209	6.4900	21.560	-10.00	A5V
70497	531	4.04	14 25 11.7964	+51 51 02.677	-25.4766	-399.0784	68.630	-10.90	F7V
70574	1377	4.56	14 26 08.2239	-45 13 17.127	-1.2787	-14.0200	3.150	-21.50	B2IV
70692	1379	4.25	14 27 31.5431	+75 41 45.574	2.3502	22.0899	9.460	10.10	K4III
70753	532	4.97	14 28 10.4267	-29 29 29.895	-1.9048	-23.8100	7.850	6.00	B7/B8V
70755 _A	533	4.81	14 28 12.1381	- 2 13 40.646	-9.4031	-2.9200	24.150	-9.50	G2III
71053	534	3.57	14 31 49.7899	+30 22 17.174	-7.7611	120.2204	21.920	-13.70	K3III
71075	535	3.04	14 32 04.6719	+38 18 29.709	-9.8174	151.8732	38.291	-35.50	A7IIIvar
71284	1380	4.47	14 34 40.8170	+29 44 42.468	14.4599	132.7190	64.660	0.80	F3Vwvar
71352	537	2.33	14 35 30.4238	-42 09 28.168	-3.1755	-32.4400	10.570	-0.20	B1Vn + A
71681 _B	538	1.35	14 39 35.0802	-60 50 13.761	-492.6738	953.3766	742.229	-22.20	K1V
71860	541	2.30	14 41 55.7556	-47 23 17.520	-2.0826	-24.2200	5.950	7.30	B1.5III
71908	539	3.18	14 42 30.4194	-64 58 30.499	-30.3605	-234.0647	60.970	7.40	F1Vp
71957	545	3.87	14 43 03.6234	- 5 39 29.544	6.9827	-319.8984	53.540	5.20	F2III
71995	1383	4.80	14 43 25.3632	+26 31 40.261	-0.9903	-16.6800	3.670	5.60	M3III
72010	544	4.06	14 43 39.4400	-35 10 25.159	-4.9694	-176.8218	15.890	-38.10	K3III
72220	547	3.73	14 46 14.9241	+ 1 53 34.388	-7.7402	-21.7501	25.350	-6.10	A0V
72290	546	5.22	14 47 01.2935	-52 23 00.664	-1.9584	-82.3204	12.580	-20.80	G6III
72370	542	3.83	14 47 51.7088	-79 02 41.103	-1.9890	-15.7500	7.930	-0.10	K5III
72607*	550	2.07	14 50 42.3264	+74 09 19.818	-7.8844	11.9098	25.790	16.80	K4IIIvar
72622	548	2.75	14 50 52.7131	-16 02 30.401	-7.3315	-69.0004	42.250	-10.00	A3IV

POZYCJE GWIAZD W SYSTEMIE ICRS (BCRS) J2000.0

HIP	FK5	magn.	α_{ICRF}	δ_{ICRF}	μ_α [ms/rok]	μ_δ [mas/rok]	π [mas]	V_R [km/s]	Sp
73199 _{cg}	554	4.63	14 57 ^b 35. ^s 0072	+65°55'56." ^s 857	-12.7935	32.4794	8.200	7.30	M5III
73273	552	2.68	14 58 31.9268	-43 08 02.256	-3.1115	-38.3000	6.230	0.20	B2III
73334 _{ph}	553	3.13	14 59 09.6850	-42 06 15.098	-1.5958	-21.3300	6.050	9.10	B2IV
73473	1394	4.91	15 00 58.3486	- 8 31 08.195	-4.4626	-3.4000	10.720	-38.70	B9.5V
73555	555	3.49	15 01 56.7623	+40 23 26.036	-3.5187	-29.2202	14.910	-19.90	G8III
73714	556	3.25	15 04 04.2156	-25 16 55.073	-5.2974	-44.6899	11.170	-4.20	M3/M4III
73745	557	4.52	15 04 26.7417	+26 56 51.536	-13.1858	-4.5207	13.040	-25.50	K2III
73996	1396	4.93	15 07 18.0659	+24 52 09.104	13.5800	-163.5121	50.700	-9.80	F5V
74376 _A	1398	3.88	15 11 56.0757	-48 44 16.147	-9.7568	-47.9695	17.890	3.00	B9V
74392	559	4.54	15 12 13.2901	-19 47 30.158	-2.5216	-32.5500	8.660	-11.60	Asp...
74395	558	3.41	15 12 17.0950	-52 05 57.290	-12.3655	-70.9996	28.060	-9.70	G8III
74604	1399	4.91	15 14 37.3192	-31 31 08.836	-0.7601	1.8300	2.860	-22.80	F3III
74666	563	3.46	15 15 30.1630	+33 18 53.401	6.7683	-110.5709	27.940	-12.20	G8III
74785	564	2.61	15 17 00.4148	- 9 22 58.503	-6.5132	-20.7602	20.380	-35.20	B8V
74824	561	4.07	15 17 30.8494	-58 48 04.349	-12.6626	-135.4585	33.750	9.60	A3V
74946	560	2.87	15 18 54.5822	-68 40 46.362	-12.1898	-31.9996	17.850	-3.00	A1V
75097*	569	3.00	15 20 43.7155	+71 50 02.458	-3.8554	17.6800	6.790	-3.90	A3II-III
75141	1402	3.22	15 21 22.3217	-40 38 51.064	-1.6791	-24.0500	6.390	2.00	B1.5IV
75177	566	3.57	15 21 48.3700	-36 15 40.955	-7.5942	-86.0302	9.990	-29.40	K5III
75304	1403	4.54	15 23 09.3501	-36 51 30.559	-1.5039	-21.5300	5.380	2.30	B4V
75411	568	4.31	15 24 29.4278	+37 22 37.800	-12.3895	84.6897	26.960	-9.50	F0V
75458	571	3.29	15 24 55.7747	+58 57 57.836	-1.0694	17.3001	31.920	-11.10	K2III
75695 _{cg}	572	3.66	15 27 49.7308	+29 06 20.530	-13.8405	86.8401	28.600	-18.70	F0p
75973	573	5.04	15 30 55.7593	+40 49 58.968	0.9710	-8.8100	3.740	-10.40	K5III
76127 _A	576	4.14	15 32 55.7825	+31 21 32.880	-1.5318	-8.9401	10.490	-25.00	B6Vnn
76219	1409	4.61	15 34 10.7008	-10 03 52.303	20.6925	-234.1124	34.539	47.70	K1IV
76267 _{cg} *	578	2.22	15 34 41.2681	+26 42 52.895	8.9843	-89.4402	43.650	1.70	A0V
76333	577	3.91	15 35 31.5790	-14 47 22.333	4.5281	6.9301	21.420	-27.50	K0III
76440	574	4.11	15 36 43.2225	-66 19 01.335	4.0680	-54.6602	15.090	-15.50	K0III
76470	579	3.60	15 37 01.4498	-28 08 06.286	-1.0025	-3.4800	16.760	-24.90	K3III
76880	1413	4.75	15 41 56.7981	-19 40 43.781	-2.3513	-104.3300	8.160	-3.80	K5III
77055*	590	4.29	15 44 03.5193	+77 47 40.175	6.3287	-2.5001	8.680	-13.10	A3Vn
77070	582	2.63	15 44 16.0748	+ 6 25 32.257	9.0341	44.1398	44.540	2.90	K2III
77233	583	3.65	15 46 11.2564	+15 25 18.572	4.7400	-41.3101	21.310	-0.80	A3V
77277	587	5.19	15 46 40.0053	+62 35 58.405	5.7945	-56.5402	12.000	-6.30	A2IV
77450	584	4.09	15 48 44.3768	+18 08 29.629	-3.6326	-88.7206	9.360	-38.70	M1III
77516	585	3.54	15 49 37.2084	- 3 25 48.748	-6.5498	-27.4101	20.940	-9.40	A0V
77622	588	3.71	15 50 48.9661	+ 4 28 39.829	8.5582	61.8704	46.390	-9.40	A2m
77634	586	3.97	15 50 57.5376	-33 37 37.796	-0.4740	-24.9101	15.860	-18.00	B9.5III-IV
77655	1414	4.79	15 51 13.9316	+35 39 26.575	-0.6621	-347.4148	32.130	-24.00	K0III-IV
77760 _{cg}	1416	4.60	15 52 40.5415	+42 27 05.465	39.6656	629.5518	63.082	-55.20	F9V
77811	1415	5.04	15 53 20.0586	-20 10 01.345	-0.2564	-19.0000	9.150	-4.00	B3V
77952	589	2.83	15 55 08.5623	-63 25 50.616	-28.0893	-401.9172	81.240	-0.30	F2III
78072	591	3.85	15 56 27.1828	+15 39 41.821	21.5461	-1282.1577	89.919	6.50	F6V
78159	593	4.14	15 57 35.2518	+26 52 40.368	-5.7214	-60.2406	14.200	-30.50	K3III
78180	595	4.96	15 57 47.4411	+54 44 59.145	-17.3476	106.4693	29.570	-11.00	F0IV
78207	1417	4.95	15 58 11.3689	-14 16 45.691	-0.8455	-16.7700	6.360	-5.60	B8Ia/Iab
78265	592	2.89	15 58 51.1129	-26 06 50.779	-0.8909	-25.7100	7.100	-3.00	B1V + B2V
78323	1418	4.99	15 59 30.2663	-41 44 39.970	-3.3739	-16.5100	8.590	-27.00	G8III
78401 _{ph}	594	2.29	16 00 20.0063	-22 37 18.156	-0.6262	-36.9001	8.120	-14.00	B0.2IV
78527	598	4.01	16 01 53.3457	+58 33 54.905	-40.9157	334.9553	47.790	-8.50	F8IV-V

POZYCJE GWIAZD W SYSTEMIE ICRS (BCRS) J2000.0

HIP	FK5	magn.	α_{ICRF}	δ_{ICRF}	μ_α [mas/rok]	μ_δ [mas/rok]	π [mas]	V_R [km/s]	Sp
78820 _A	597	2.56	16 05 26.2307	-19° 48' 19" 632	-0.4783	-24.8900	6.150	-6.60	B0.5V
78914	596	4.73	16 06 29.4381	-45 10 23.467	1.6521	37.0303	26.410	-15.50	Am
78918 _{cg}	599	4.22	16 06 35.5448	-36 48 08.238	-1.3188	-31.0599	7.940	14.60	B2.5Vn
79101 _{cg}	601	4.23	16 08 46.1779	+44 56 05.662	-2.4466	35.8601	14.270	-15.60	B9MNp...
79119	1423	4.73	16 08 58.2990	+36 29 27.399	-3.3759	343.4732	28.840	-18.20	K0III-IV
79509	600	4.95	16 13 28.7289	-54 37 49.683	-0.6139	-22.4800	7.450	-13.50	G4III
79593	603	2.73	16 14 20.7395	-3 41 39.563	-3.0617	-142.9110	19.160	-19.90	M1III
79664	602	3.86	16 15 26.2708	-63 41 08.454	0.5279	-13.4900	5.250	-4.70	G5II
79822	612	4.95	16 17 30.2878	+75 45 19.190	-24.3689	257.8001	33.520	-9.50	F5V
79882	605	3.23	16 18 19.2890	-4 41 33.038	5.5112	40.0802	30.340	-10.30	G8III
79992	608	3.91	16 19 44.4368	+46 18 48.119	-1.2692	39.3101	10.370	-13.80	B5IV
80000	604	4.01	16 19 50.4225	-50 09 19.828	-16.5820	-52.8394	25.580	-29.20	G8III
80047	1424	4.68	16 20 20.8056	-78 41 44.682	-3.3705	-36.5900	4.260	-12.00	M5III
80112 _A	607	2.90	16 21 11.3160	-25 35 34.067	-0.7414	-18.0300	4.440	-0.40	B1III
80170	609	3.74	16 21 55.2144	+19 09 11.269	-3.3480	44.6104	16.690	-35.30	A9III
80179	1427	4.82	16 22 04.3490	+1 01 44.541	-10.4027	48.0914	36.560	-45.50	F0V
80463	613	4.57	16 25 24.9533	+14 01 59.770	2.7068	-59.8901	13.870	-6.60	B9p Cr
80650	619	4.94	16 27 59.0137	+68 46 05.294	-4.5157	33.8200	6.640	-6.70	A0III
80686	610	4.90	16 28 28.1436	-70 05 03.843	39.1200	110.7733	82.609	8.50	F9V
80763	616	1.06	16 29 24.4609	-26 25 55.209	-0.7564	-23.2100	5.400	-3.20	M1Ib + B2.5V
80816 _{cg}	618	2.78	16 30 13.2000	+21 29 22.608	-7.0523	-14.4903	22.070	-25.50	G8III
80911	1431	4.24	16 31 22.9333	-34 42 15.718	-0.9334	-18.5600	4.370	1.00	B2III-IV
81065	611	3.86	16 33 27.0835	-78 53 49.732	-43.5102	-77.5864	20.440	6.10	K0IV SB
81126	621	4.20	16 34 06.1821	+42 26 13.348	-0.8157	59.8001	10.790	-10.90	B9Vvar
81266	620	2.82	16 35 52.9537	-28 12 57.658	-0.6499	-22.5000	7.590	2.00	B0V
81377	622	2.54	16 37 09.5378	-10 34 01.524	0.8864	25.4400	7.120	-15.00	O9.5V
81497	1434	4.86	16 38 44.8453	+48 55 42.033	-4.8808	26.8101	8.670	-55.20	M2.5III
81724	624	4.91	16 41 34.3830	-17 44 31.801	-1.5161	-0.9200	8.340	-24.40	G8II/III
81833	626	3.48	16 42 53.7652	+38 55 20.116	3.0488	-84.9797	29.110	8.10	G8III-IV
82020 _{cg}	627	4.84	16 45 17.8177	+56 46 54.686	3.2017	69.9600	37.410	0.00	F2V
82273	625	1.91	16 48 39.8949	-69 01 39.774	3.3248	-32.9200	7.850	-3.30	K2IIb-IIIa
82363	1435	3.77	16 49 47.1563	-59 02 28.961	5.1307	-25.2798	10.410	9.00	K5III
82369	1438	4.64	16 49 50.0288	-10 46 58.799	6.3590	-81.9400	27.040	-0.60	F7IV
82396	628	2.29	16 50 09.8130	-34 17 35.634	-49.3716	-255.8597	49.850	-2.50	K2IIIb
82504	1440	5.03	16 51 45.2620	+24 39 23.158	0.7556	5.4500	4.300	-15.70	K2II-III
82514 _{ph}	1439	3.00	16 51 52.2323	-38 02 50.567	-0.7484	-21.6000	3.970	-25.00	B1.5IV + B
82673	1442	4.39	16 54 00.4715	+10 09 55.293	-3.6405	-34.6802	13.950	-21.00	B8V
83000	633	3.19	16 57 40.0974	+ 9 22 30.118	-19.8005	-9.7010	37.991	-55.60	K2IIIvar
83081	631	3.12	16 58 37.2117	-55 59 24.507	-2.1824	-35.2900	5.680	-6.00	K5III
83153	632	4.06	16 59 35.0477	-53 09 37.576	0.1245	21.5299	10.720	23.10	K4III
83207	634	3.92	17 00 17.3738	+30 55 35.057	-3.7055	26.8902	20.040	-25.10	A0V
83262	1445	4.82	17 01 03.6020	-4 13 21.517	-2.6926	-77.9201	8.110	-6.70	K4III
83613	635	4.89	17 05 22.6905	+12 44 26.980	3.4605	-11.0200	22.680	-4.20	A4IV
83895	639	3.17	17 08 47.1956	+65 42 52.860	-3.3651	19.1500	9.600	-14.10	B6III
84143	638	3.32	17 12 09.1935	-43 14 21.080	2.0142	-287.4163	45.560	-27.00	F3p
84379	641	3.12	17 15 01.9106	+24 50 21.135	-1.5530	-157.6848	41.551	-41.00	A3IVv SB
84380	643	3.16	17 15 02.8343	+36 48 32.983	-2.2774	2.7000	8.890	-25.70	K3IIvar
84833 _{ph}	1454	5.01	17 20 18.8712	+18 03 25.490	0.6304	-55.6903	6.900	-46.00	M2III
84970	644	3.27	17 22 00.5784	-24 59 58.364	-0.6503	-23.6400	5.790	-3.60	B2IV
85258	645	2.84	17 25 17.9887	-55 31 47.583	-0.9694	-24.7100	5.410	-0.40	K3Ib-II

POZYCJE GWIAZD W SYSTEMIE ICRS (BCRS) J2000.0

HIP	FK5	magn.	α_{ICRF}	δ_{ICRF}	μ_α [ms/rok]	μ_δ [mas/rok]	π [mas]	V_R [km/s]	Sp
85340	1457	4.16	17 ^h 26 ^m 22 ^s .2161	-24°10'31"114	-0.1440	-117.6931	38.961	-37.20	A3IV:m
85355	1459	4.34	17 26 30.8803	+ 4 08 25.295	0.0836	7.0900	2.780	-27.10	K3IIvar
85365	647	4.53	17 26 37.8814	- 5 05 11.745	-6.1261	-42.7500	33.280	0.40	F3V
85423	646	4.28	17 27 21.2737	-29 52 01.320	1.1055	-137.4073	29.260	37.30	F3III
85670*	653	2.79	17 30 25.9620	+52 18 04.994	-1.6996	11.5700	9.020	-20.00	G2II
85693	1460	4.41	17 30 44.3100	+26 06 38.323	1.3653	16.7801	8.880	-26.40	K3IIIvar
85696	649	2.70	17 30 45.8357	-37 17 44.920	-0.3511	-29.1400	6.290	8.00	B2IV
85727 _{cg}	648	3.60	17 31 05.9130	-60 41 01.853	-7.3049	-99.3694	17.420	12.00	B8V
85792	651	2.84	17 31 50.4933	-49 52 34.121	-3.2348	-67.1500	13.460	-2.00	B2Vne
85819	655	4.89	17 32 10.5697	+55 11 03.273	17.3436	54.2391	32.960	-15.20	Am...
85829	657	4.86	17 32 16.0258	+55 10 22.651	16.7760	62.4593	32.640	-16.00	Am
85927	652	1.62	17 33 36.5200	-37 06 13.756	-0.7440	-29.9500	4.640	0.00	B1.5IV+...
86032	656	2.08	17 34 56.0706	+12 33 36.125	7.5185	-222.6066	69.839	12.70	A5III
86201	664	4.77	17 36 57.0921	+68 45 28.691	0.2466	321.0534	42.620	-14.00	F5V
86228 _A	654	1.86	17 37 19.1306	-42 59 52.166	0.5524	-0.9500	11.990	1.40	F1II
86263	658	3.54	17 37 35.2015	-15 23 54.806	-2.7176	-61.2714	30.930	-42.80	F0IIIip
86414	663	3.82	17 39 27.8864	+46 00 22.795	-0.6882	3.9700	6.580	-20.00	B3V SB
86614 _A	670	4.57	17 41 56.3577	+72 08 55.836	5.7847	-269.7723	45.380	-10.30	F5IV-V
86670	660	2.39	17 42 29.2749	-39 01 47.939	-0.5570	-25.5500	7.030	-14.00	B1.5III
86736	1463	4.86	17 43 25.7935	-21 40 59.498	-7.0257	-44.5694	57.000	9.60	F6/F7V
86742	665	2.76	17 43 28.3531	+ 4 34 02.290	-2.7200	158.8014	39.780	-12.60	K2III
86929	661	3.61	17 45 43.9873	-64 43 25.937	-1.7300	-56.3701	8.790	-7.60	K1III
86974	667	3.42	17 46 27.5269	+27 43 14.434	-21.9473	-750.0268	119.052	-15.60	G5IV
87072	1464	4.53	17 47 33.6247	-27 49 50.839	-0.2729	-10.6700	3.030	-13.00	F7II
87073	666	2.99	17 47 35.0815	-40 07 37.191	0.0384	-6.4000	1.820	-27.60	F3Ia
87108	668	3.75	17 47 53.5605	+ 2 42 26.194	-1.5451	-75.1202	34.420	-5.00	A0V
87234	675	5.02	17 49 27.0334	+76 57 46.371	11.0328	247.9829	31.130	-23.00	F6IV-Vs
87261	669	3.19	17 49 51.4820	-37 02 35.893	3.5155	27.7697	25.710	24.70	K0/K1III
87585	671	3.73	17 53 31.7295	+56 52 21.514	11.4244	78.4405	29.260	-25.70	K2III
87808	672	3.86	17 56 15.1805	+37 15 01.941	0.2295	7.2400	4.870	-27.20	K1IIvar
87833*	676	2.24	17 56 36.3699	+51 29 20.022	-0.9122	-23.0503	22.100	-27.60	K5III
87933	674	3.70	17 57 45.8857	+29 14 52.367	6.2906	-18.7302	24.120	-1.50	K0III
88048	673	3.32	17 59 01.5915	- 9 46 25.075	-0.6975	-116.1194	21.350	12.60	K0III
88128	1469	4.67	18 00 03.4161	+16 45 03.308	-0.5242	-10.6100	4.970	-23.50	K0II-III
88192	677	3.93	18 00 38.7158	+ 2 55 53.643	0.0274	-8.2200	2.300	-4.40	B5Ib
88635	679	2.98	18 05 48.4869	-30 25 26.729	-4.3101	-181.5275	33.940	22.00	K0III
88714	1471	3.65	18 06 37.8711	-50 05 29.318	-0.8760	-9.2600	3.220	3.40	B2Ib
88771	680	3.71	18 07 20.9842	+ 9 33 49.850	-4.1646	79.7113	39.400	-23.90	A4IVs
88794	681	3.84	18 07 32.5507	+28 45 44.959	-0.0129	7.5100	9.390	-29.50	B9.5V
89112	1473	4.52	18 11 13.7626	-45 57 15.903	-1.5611	-37.2601	7.980	-26.30	G5III
89341	682	3.84	18 13 45.8098	-21 03 31.801	0.1229	-1.3900	0.110	-6.00	B2III:
89348	685	4.99	18 13 53.8332	+64 23 50.233	54.2479	36.0400	42.561	-35.60	F5V
89642	683	3.10	18 17 37.6350	-36 45 42.070	-10.7573	-166.6094	21.870	0.50	M2III
89826	1477	4.33	18 19 51.7096	+36 03 52.371	-1.3311	41.3202	13.710	-22.30	K2IIIvar
89918	1476	4.85	18 20 52.0631	+ 3 22 37.795	0.1142	8.4500	12.110	4.80	G8III
89931	687	2.72	18 20 59.6418	-29 49 41.172	2.3024	-26.3801	10.670	-20.00	K3III
89937 _{cg}	695	3.55	18 21 03.3826	+72 43 58.235	119.2648	-351.6031	124.106	32.50	F7Vvar
89962	688	3.23	18 21 18.6008	- 2 53 55.770	-36.5512	-700.7138	52.810	8.40	K0III-IV
90098	686	4.35	18 23 13.6212	-61 29 38.043	0.0740	1.7000	7.760	12.20	M1III SB
90139	690	3.85	18 23 41.8896	+21 46 11.107	14.0374	-242.9270	25.400	-57.50	K2III

POZYCJE GWIAZD W SYSTEMIE ICRS (BCRS) J2000.0

HIP	FK5	magn.	α_{ICRF}	δ_{ICRF}	μ_α [ms/rok]	μ_δ [mas/rok]	π [mas]	V_R [km/s]	Sp
90185	689	1.79	18 ^h 24 ^m 10 ^s .3183	-34°23'04".618	-3.1998	-124.0505	22.550	-11.00	B9.5III
90422	691	3.49	18 26 58.4163	-45 58 06.452	-1.5999	-53.3300	13.080	-0.20	B3IV
90496	692	2.82	18 27 58.2406	-25 25 18.120	-3.3077	-186.2961	42.201	-43.50	K1IIIb
90595	696	4.67	18 29 11.8538	-14 33 56.928	0.2115	-3.4800	11.190	-41.00	A1IV/V
90982	697	4.62	18 33 30.1857	-42 18 45.035	2.9282	-21.0300	3.760	-2.10	G5III
91117	1482	3.85	18 35 12.4267	-8 14 38.662	-1.2785	-314.6262	18.720	35.80	K2III
91262*	699	0.03	18 36 56.3364	+38 47 01.291	17.1926	287.4676	128.932	-13.50	A0Vvar
91726	1486	4.70	18 42 16.4268	-9 03 09.175	0.5313	2.0200	17.440	-45.30	F2IIIp d Del
91792	698	4.01	18 43 02.1361	-71 25 41.208	0.2616	-158.2907	15.550	-17.00	K2III
91845	702	4.88	18 43 31.2528	-8 16 30.773	1.4343	11.5800	6.240	-10.60	G8II
92041	1487	3.17	18 45 39.3865	-26 59 26.802	3.8268	0.4501	14.140	21.50	B8.5III
92043	703	4.19	18 45 39.7254	+20 32 46.708	-0.6585	-335.6425	52.369	23.70	F6V
92088	1488	4.83	18 46 04.4803	+26 39 43.667	1.3935	24.3901	12.960	-16.70	K3III
92161	1491	4.34	18 47 01.2738	+18 10 53.468	5.8762	119.0132	35.170	-44.60	A5III
92175 _{cg}	1489	4.22	18 47 10.4728	-4 44 52.322	-0.5158	-15.8900	4.730	-21.50	G5II...
92420	705	3.52	18 50 04.7947	+33 21 45.601	0.0878	-4.4600	3.700	-19.20	A8:V comp SB
92512 _{cg}	707	4.63	18 51 12.0955	+59 23 18.063	10.1542	25.4297	10.120	-19.50	K0II-III SB
92609	704	4.22	18 52 13.0349	-62 11 15.337	-0.1900	-13.5300	1.800	9.00	B2II-III
92782*	714	4.82	18 54 23.8547	+71 17 49.891	10.1022	42.1098	9.470	-7.10	K0III
92855*	706	2.05	18 55 15.9257	-26 17 48.200	1.0314	-52.6501	14.540	-11.20	B2.5V
92862	711	4.08	18 55 20.1013	+43 56 45.919	1.8463	80.6004	9.330	-28.30	M5IIIvar
92946 _A	709	4.62	18 56 13.1824	+4 12 12.942	2.5195	26.9805	24.730	-45.00	A5V
93085	710	3.52	18 57 43.8016	-21 06 23.955	2.4947	-12.3300	8.760	-19.90	G8/K0II/III
93148	708	4.85	18 58 27.7664	-52 56 19.064	1.2754	-8.8100	6.140	-2.00	A0V
93194	713	3.25	18 58 56.6227	+32 41 22.407	-0.2186	1.7700	5.140	-21.50	B9III
93244 _{cg}	712	4.02	18 59 37.3574	+15 04 05.873	-3.6371	-73.8114	21.220	-48.00	K2III
93747	716	2.99	19 05 24.6082	+13 51 48.521	-0.4834	-95.3118	39.180	-26.30	A0Vn
93805	717	3.43	19 06 14.9384	-4 52 57.195	-1.3168	-90.3705	26.050	-12.00	B9Vn
93864 _{cg}	1496	3.32	19 06 56.4089	-27 40 13.523	-3.8232	-250.5044	27.090	45.40	K1/K2III
93903	719	5.25	19 07 18.1290	+36 06 00.566	-0.0528	-4.2800	3.920	-18.00	B6IV
94114	718	4.11	19 09 28.3417	-37 54 16.108	7.2435	-96.6506	25.150	-18.40	A0/A1V
94141	720	2.88	19 09 45.8330	-21 01 25.013	-0.0836	-36.8300	7.410	-9.80	F2II/III
94376	723	3.07	19 12 33.3000	+67 39 41.549	16.5737	92.2977	32.540	24.80	G9III
94648*	729	4.45	19 15 33.0562	+73 21 19.685	-27.1391	104.2493	21.730	-29.70	K3III
94713	724	4.35	19 16 22.0951	+38 08 01.431	-0.0415	1.2300	4.240	-30.90	K0II
94779	726	3.80	19 17 06.1688	+53 22 06.454	6.7286	122.9315	26.480	-29.30	K0III
94820	722	4.88	19 17 38.0794	-18 57 10.469	-0.7084	-10.6400	6.090	15.20	K0III
94834	725	5.28	19 17 48.9986	+11 35 43.519	0.0170	12.6200	7.720	-14.30	F0IV
95176	727	4.52	19 21 43.6231	-15 57 18.063	0.1241	-6.2700	1.950	8.90	F2p
95241	1502	3.96	19 22 38.2925	-44 27 32.273	0.6828	-22.4300	8.620	-8.60	B9V
95347	728	3.96	19 23 53.1765	-40 36 57.384	2.8692	-120.8100	19.200	-0.70	B8V
95501 _{cg}	730	3.36	19 25 29.9005	+3 06 53.191	16.8962	80.6727	65.051	-29.90	F0IV
95771	1508	4.44	19 28 42.3299	+24 39 53.657	-9.2765	-106.9921	11.000	-85.50	M0 comp
95853*	733	3.76	19 29 42.3590	+51 43 47.204	2.2518	128.1212	26.630	-19.50	A5Vn
95947 _A	732	3.05	19 30 43.2806	+27 57 34.852	-0.5351	-5.6300	8.460	-24.00	K3II+...
96052	1510	4.74	19 31 46.3218	+34 27 10.686	0.0857	-3.5800	5.200	-21.80	B3IV
96229	1511	4.45	19 34 05.3529	+7 22 44.189	14.3026	-155.3922	29.500	-23.90	K3III
96341	735	4.88	19 35 12.9876	-48 05 57.126	-0.7028	-37.4299	8.190	22.30	G9III
96441	738	4.49	19 36 26.5350	+50 13 15.970	-0.8492	262.9871	53.781	-28.00	F4V
96465	736	4.59	19 36 42.4332	-24 53 01.043	5.0487	-23.1900	17.240	-19.00	B8/B9V

POZYCJE GWIAZD W SYSTEMIE ICRS (BCRS) J2000.0

HIP	FK5	magn.	α_{ICRF}	δ_{ICRF}	μ_α [mas/rok]	μ_δ [mas/rok]	π [mas]	V_R [km/s]	Sp
96483	737	4.93	19 ^h 36 ^m 53.4493	- 7°01'38.918	0.0867	-2.6900	2.240	-19.40	B0.5III
96837	1513	4.39	19 41 02.9392	+17 28 33.748	0.6332	-33.9001	6.990	-22.40	G8II
96950	1514	5.06	19 42 31.1338	-16 07 26.387	4.7037	-9.2300	18.670	-28.00	F3IV/V
97118	740	4.89	19 44 16.6049	+37 21 15.678	6.0872	35.1400	11.700	-24.40	G8III
97278	741	2.72	19 46 15.5795	+10 36 47.740	1.0662	-3.0800	7.080	-2.10	K3II
97290	1517	4.87	19 46 21.7394	-19 45 40.007	-9.1303	-89.8092	15.920	19.80	K0III
97365 _{ph}	743	3.68	19 47 23.2624	+18 32 03.430	-0.3220	11.1000	7.280	2.50	M2II + B6
97649*	745	0.76	19 50 46.9990	+ 8 52 05.959	36.2244	385.5734	194.449	-26.30	A7IV-V
97804	746	3.87	19 52 28.3679	+ 1 00 20.378	0.4627	-7.3000	2.780	-14.80	F6Ibv SB
98032	1520	4.12	19 55 15.6974	-41 52 05.837	2.0921	51.5995	17.240	35.80	K0III
98036	749	3.71	19 55 18.7934	+ 6 24 24.348	3.1096	-481.3450	72.952	-39.80	G8IVvar
98110	1521	3.89	19 56 18.3719	+35 05 00.325	-2.7699	-27.6003	23.400	-26.50	K0IIIvar
98258	1522	5.01	19 57 57.0311	-15 29 29.365	1.2335	-93.6601	11.180	-4.00	A2V
98337	752	3.51	19 58 45.4275	+19 29 31.732	4.5523	22.5801	11.900	-32.80	K5III
98412	751	4.37	19 59 44.1786	-35 16 34.700	0.4916	-25.1500	5.280	0.90	B2.5IV
98495	748	3.97	20 00 35.5532	-72 54 37.813	18.2718	-131.3392	30.730	-1.50	A0V
98543	1523	4.66	20 01 06.0483	+27 45 12.863	4.3686	3.7599	14.670	-20.90	A4III
98688	753	4.43	20 02 39.4806	-27 42 35.441	2.4308	14.3500	7.280	9.90	M4III
99120	755	4.93	20 07 23.1563	-52 52 50.855	-1.4052	6.8800	2.600	36.00	M1II
99240	754	3.55	20 08 43.6084	-66 10 55.446	199.8353	-1130.2698	163.735	-21.30	G5IV-Vvar
99255 _A	759	4.38	20 08 53.3469	+77 42 41.110	3.4800	23.7201	9.970	-22.70	B9III
99303	1525	4.93	20 09 25.6190	+36 50 22.638	0.2624	12.9600	3.790	-13.60	B2.5V
99473 _{cg}	756	3.24	20 11 18.2855	- 0 49 17.260	2.3656	6.0500	11.360	-27.30	B9.5III
99655	758	4.28	20 13 23.8656	+56 34 03.800	7.3631	82.2603	21.410	-18.00	A3IV-Vn
99675 _{cg}	757	3.80	20 13 37.9063	+46 44 28.783	0.4086	1.8700	2.410	-6.90	K2II+...
99742	1526	4.94	20 14 16.6193	+15 11 51.391	3.8472	57.9805	21.240	-23.00	A2V
100027 _A	1527	4.30	20 17 38.8694	-12 30 29.564	1.5187	0.7500	4.750	-25.90	G3Ib
100064	761	3.58	20 18 03.2554	-12 32 41.467	4.2194	2.8500	30.010	0.40	G6/G8III
100345 _{cg}	762	3.05	20 21 00.6756	-14 46 52.922	3.3385	14.0001	9.480	-18.90	A5:n
100453	765	2.23	20 22 13.7019	+40 15 24.045	0.2123	-0.9300	2.140	-7.50	F8Ib
100751	764	1.94	20 25 38.8578	-56 44 06.324	0.9371	-86.1499	17.800	2.00	B2IV
101076	1534	4.01	20 29 23.7356	+30 22 06.798	0.5308	-0.6400	4.300	-18.40	F5II
101093 _{cg}	767	4.21	20 29 34.8851	+62 59 38.778	6.6067	-13.3102	24.040	-8.00	A7III
101101	1533	4.91	20 29 39.0006	- 2 53 07.911	4.7981	-22.3901	17.080	-23.30	K2III
101260	770	5.18	20 31 30.4132	+74 57 16.630	1.6334	-16.4700	7.820	9.20	A0p...
101421	768	4.03	20 33 12.7712	+11 18 11.746	0.7308	-28.5401	9.090	-19.30	B6III
101772	769	3.11	20 37 34.0320	-47 17 29.406	4.8358	66.0702	32.210	-1.10	K0III
101867	1539	4.81	20 38 31.3389	+21 12 04.225	5.3187	-2.4801	15.270	-18.40	A0V
101958 _{ph}	774	3.77	20 39 38.2874	+15 54 43.459	3.7531	7.9100	13.550	-6.00	B9V
102098*	777	1.25	20 41 25.9147	+45 16 49.217	0.1478	1.5500	1.010	-4.50	A2Ia
102281	778	4.43	20 43 27.5339	+15 04 28.491	-1.3539	-41.7399	16.030	9.30	A7IIIp d Del
102333	776	4.51	20 44 02.3338	-51 55 15.495	16.8076	-53.6388	41.380	-1.60	A6:var
102395	775	3.42	20 44 57.4944	-66 12 11.565	-7.0054	10.5701	23.710	9.80	A5IV
102422	783	3.41	20 45 17.3750	+61 50 19.615	12.1615	817.9785	69.734	-87.30	K0IV
102431	782	4.52	20 45 21.1281	+57 34 47.012	-7.8278	-235.5651	36.870	-31.40	F8IV-V
102485	779	4.13	20 46 05.7330	-25 16 15.231	-3.7877	-156.6550	68.159	25.80	F5V
102488	780	2.48	20 46 12.6827	+33 58 12.922	28.6309	330.2791	45.260	-10.30	K0III
102532 _A	1541	4.27	20 46 39.5023	+16 07 27.466	-1.7960	-196.2708	32.140	-6.60	K1IV
102618	781	3.78	20 47 40.5514	- 9 29 44.793	2.1555	-35.3201	14.210	-16.00	A1V
102624	1543	4.43	20 47 44.2360	- 5 01 39.723	-0.2208	-40.2401	7.330	-22.00	M3IIIvar

POZYCJE GWIAZD W SYSTEMIE ICRS (BCRS) J2000.0

HIP	FK5	magn.	α_{ICRF}	δ_{ICRF}	μ_α [mas/rok]	μ_δ [mas/rok]	π [mas]	V_R [km/s]	Sp
102693	1542	5.11	20 ^h 48 ^m 29 ^s .1421	-43°59'18".758	16.2879	-112.1696	24.350	-18.20	F1IV
102978	1546	4.12	20 51 49.2910	-26 55 08.877	-0.5959	-2.5400	5.190	9.00	K4III
103045	1547	4.73	20 52 39.2336	- 8 58 59.944	3.1763	-32.9101	21.010	-9.10	A3m
103227	785	3.67	20 54 48.6031	-58 27 14.957	2.6836	-24.7500	5.410	-4.90	K0III
103413 _{ph}	788	3.94	20 57 10.4182	+41 10 01.688	0.7536	-23.9701	9.170	-27.00	A1Vn
103632 _{ph}	1551	4.74	20 59 49.5565	+47 31 15.424	0.7157	2.4700	2.900	1.00	B1ne
103738	1550	4.67	21 01 17.4602	-32 15 27.962	-0.1648	-0.1900	14.590	17.60	G8III
104060	792	3.72	21 04 55.8628	+43 55 40.267	0.7961	0.3500	2.770	-19.70	K5Ibv SB
104139	1552	4.08	21 05 56.8280	-17 13 58.299	5.5589	-61.6402	20.610	-10.90	A1V
104234	791	4.49	21 07 07.6679	-25 00 21.072	-2.0001	-43.3698	6.240	31.90	K5/M0III
104459	794	4.50	21 09 35.6477	-11 22 18.095	6.2773	-15.7600	19.930	-11.80	G8III
104521 _A	1555	4.70	21 10 20.5002	+10 07 53.686	3.3232	-151.8513	28.380	-17.00	F0p
104732	797	3.21	21 12 56.1862	+30 13 36.897	0.5301	-68.1195	21.620	17.40	G8II SB
104755	1554	5.06	21 13 20.5095	-70 07 34.560	8.1228	-20.3398	3.670	-19.00	M2III
104987	800	3.92	21 15 49.4317	+ 5 14 52.241	3.9921	-94.3305	17.510	-16.20	G0III+...
105102	1558	4.22	21 17 24.9529	+39 23 40.853	0.0371	-3.6100	0.720	-4.10	B9Iab
105138	1559	4.41	21 17 55.0764	+34 53 48.832	0.9721	6.8500	3.620	4.00	B2Vne
105140	801	4.71	21 17 56.2848	-32 10 21.141	4.3681	-22.1199	19.760	-1.00	A0V
105199*	803	2.45	21 18 34.7715	+62 35 08.061	21.7065	48.2688	66.841	-11.50	A7IV-V
105382 _{ph}	802	4.80	21 20 45.6423	-40 48 34.076	6.7099	17.6602	17.490	2.30	A2p
105502	804	4.08	21 22 05.1996	+19 48 16.229	7.5069	62.6116	21.190	-76.20	K1III
105515	1561	4.28	21 22 14.7962	-16 50 04.353	2.1474	5.2600	15.130	11.50	G8III
105858	805	4.21	21 26 26.6056	-65 21 58.314	12.9679	800.7263	108.503	-29.40	F6V
105881	806	3.77	21 26 40.0261	-22 24 40.797	-0.1882	18.8800	8.190	3.00	G4Ibp...
106032*	809	3.23	21 28 39.5971	+70 33 38.578	2.5240	8.7300	5.480	-8.20	B2IIIv SB
106140	1565	4.52	21 29 56.8952	+23 38 19.816	1.7749	3.5200	7.370	-18.90	M1III
106278	808	2.90	21 31 33.5340	- 5 34 16.220	1.5265	-6.7000	5.330	6.50	G0Ib
106481	1568	3.98	21 33 58.8525	+45 35 30.615	-2.3322	-93.8797	26.200	6.90	G8III
106711 _{cg}	811	5.04	21 36 56.9759	+40 24 48.675	-0.1313	12.4700	15.790	7.00	A5V
106786	1569	4.68	21 37 45.1094	- 7 51 15.125	7.6915	-24.4401	18.260	-18.00	A7V
106985 _{cg}	812	3.69	21 40 05.4563	-16 39 44.308	13.0404	-22.3298	23.480	-31.20	A7III:mp...
107089	810	3.73	21 41 28.6463	-77 23 24.167	19.7976	-240.3722	47.219	34.40	K0III
107119*	817	4.55	21 41 55.2936	+71 18 41.100	24.8593	94.4894	18.550	-36.60	K0III
107315*	815	2.38	21 44 11.1581	+ 9 52 30.041	2.0314	1.3800	4.850	4.70	K2Ibvar
107380	814	4.35	21 44 56.8099	-33 01 32.814	2.5278	-93.9999	15.930	1.90	B9.5V
107418	1572	4.25	21 45 26.9256	+61 07 14.901	-0.4252	-1.8600	0.640	-20.80	A2Iavar
107533 _{ph}	821	4.23	21 46 47.6091	+49 18 34.453	0.3691	-1.8600	2.820	-12.30	B3III
107556	819	2.85	21 47 02.4451	-16 07 38.229	18.2699	-296.2320	84.580	-6.30	A5mF2 (IV)
107763	1575	5.07	21 49 50.6947	+30 10 27.174	1.4567	-26.1401	10.780	-22.90	A1Vs
108022	823	5.09	21 53 03.7685	+25 55 30.503	0.6760	0.3400	6.370	-12.00	B3V
108036	1577	5.08	21 53 17.7717	-13 33 06.365	21.4666	13.6712	36.150	-21.50	F3IV
108085	822	3.00	21 53 55.7245	-37 21 53.468	8.0424	-12.0997	16.070	-2.10	B8III
108431 _{ph}	824	4.40	21 57 55.0747	-54 59 33.272	4.9969	-3.6699	17.650	15.00	F0IV
108870	825	4.69	22 03 21.6571	-56 47 09.514	482.1257	-2538.3198	275.787	-39.58	K5V
109074	827	2.95	22 05 47.0357	- 0 19 11.463	1.1934	-9.9300	4.300	7.50	G2Ib
109111	1581	4.47	22 06 06.8854	-39 32 36.072	-2.0887	-125.1688	13.200	38.80	M0III
109139	828	4.29	22 06 26.2297	-13 52 10.845	2.7777	-57.1602	18.900	-10.00	B8V
109176	831	3.77	22 07 00.6661	+25 20 42.402	21.8891	26.9284	85.060	-4.30	F5V
109268	829	1.73	22 08 13.9855	-46 57 39.512	12.4640	-147.9083	32.160	11.80	B7IV
109285	832	4.50	22 08 23.0089	-32 59 18.486	6.3624	-28.8797	25.010	11.60	A2V

POZYCJE GWIAZD W SYSTEMIE ICRS (BCRS) J2000.0

HIP	FK5	magn.	α_{ICRF}	δ_{ICRF}	μ_α [ms/rok]	μ_δ [mas/rok]	π [mas]	V_R [km/s]	Sp
109400*	837	4.79	22 ⁰⁹ ₀₉ ^m 48 ₄₃₁₂ ^s	+72°20'28"345	7.3381	3.0899	8.640	-14.80	G8III
109410	835	4.28	22 09 59.2440	+33 10 41.606	-0.9829	-17.9400	12.960	2.00	F5III
109427	834	3.52	22 10 11.9852	+ 6 11 52.314	18.9079	31.2297	33.770	-6.00	A2V
109492	836	3.39	22 10 51.2767	+58 12 04.539	1.6890	4.4900	4.490	-18.40	K1Ibv SB
109754 _A	1583	4.50	22 13 52.7300	+39 42 53.737	3.2630	15.5500	5.790	-10.60	K3III
110003	840	4.17	22 16 50.0364	- 7 46 59.845	8.0038	-21.9100	17.040	-14.70	G8III-IV
110130 _{cg}	841	2.87	22 18 30.0942	-60 15 34.515	-9.6061	-38.1491	16.420	42.20	K3III
110256	839	5.09	22 20 01.6782	-80 26 23.089	22.6232	-42.7791	12.150	11.70	M6III
110386	843	4.82	22 21 31.0750	+12 12 18.670	0.4236	5.5400	3.360	9.60	B2IV-V
110395	842	3.86	22 21 39.3754	- 1 23 14.393	8.6186	8.9001	20.670	-15.00	A0V
110538	844	4.42	22 23 33.6235	+52 13 44.567	-1.4759	-186.3707	19.210	-10.40	G9III
110672	1585	4.80	22 25 16.6232	+ 1 22 38.642	1.2257	3.3500	2.960	4.00	B1Ve
110991	847	4.07	22 29 10.2663	+58 24 54.715	2.0964	3.5500	3.320	-16.80	G2Ibvar
110997	846	3.97	22 29 16.1747	-43 29 44.033	2.3545	-4.2300	11.030	4.90	G6/G8III
111123 _A	1591	4.82	22 30 38.8161	-10 40 40.620	0.1214	-26.2599	12.290	11.00	A0IVs
111169	848	3.76	22 31 17.5010	+50 16 56.969	14.3161	17.1491	31.860	-4.00	A1V
111188	1592	4.29	22 31 30.3307	-32 20 45.864	4.7063	-18.6999	21.990	6.30	A1V
111497	850	4.04	22 35 21.3806	- 0 07 02.991	5.9040	-56.1001	17.770	-8.00	B9IV-Vn
111841	852	4.89	22 39 15.6787	+39 03 00.969	-0.0249	-5.7000	3.080	-9.70	O9V
111954	854	4.18	22 40 39.3400	-27 02 37.021	1.6475	-0.8800	4.380	3.00	B8V
112029	855	3.41	22 41 27.7208	+10 49 52.912	5.2522	-10.9800	15.640	7.00	B8.5V
112122	856	2.07	22 42 40.0507	-46 53 04.477	13.2344	-4.5092	19.170	1.60	M5III
112158 _{cg}	857	2.93	22 43 00.1374	+30 13 16.483	1.0115	-26.1100	15.180	4.30	G2II-III..
112440	859	3.97	22 46 31.8787	+23 33 56.354	4.1450	-10.4601	8.260	-4.10	G8II-III
112623	860	3.49	22 48 33.2984	-51 19 00.710	11.5699	-65.9294	25.160	-0.10	A3V
112716	861	4.05	22 49 35.5023	-13 35 33.475	-0.8628	-38.8000	8.580	1.00	K5III
112724	863	3.50	22 49 40.8166	+66 12 01.468	-10.9200	-124.7412	28.270	-12.90	K0III
112748	862	3.51	22 50 00.1928	+24 36 05.685	10.5664	-43.4401	27.950	14.10	M2III
112961 _{ph}	864	3.73	22 52 36.8759	- 7 34 46.557	1.3121	32.7100	8.330	-8.80	M2IIIvar
113136	866	3.27	22 54 39.0125	-15 49 14.953	-3.0543	-24.8098	20.440	18.00	A3V
113368*	867	1.17	22 57 39.0465	-29 37 20.050	25.2475	-164.2149	130.079	6.50	A3V
113638	868	4.11	23 00 52.8116	-52 45 14.893	-7.1697	-12.9098	28.990	-1.10	G8III
113726 _{ph}	869	3.62	23 01 55.2642	+42 19 33.525	2.0262	0.2400	4.710	-14.00	B6pv SB
113860 _{cg}	1601	5.12	23 03 29.8161	-34 44 57.883	6.0691	84.4509	34.980	-14.00	A9V
113881	870	2.44	23 03 46.4575	+28 04 58.041	14.1877	137.6089	16.370	8.70	M2II-IIIvar
113889	1602	4.48	23 03 52.6140	+ 3 49 12.163	0.8592	-10.1300	6.620	0.30	B6Ve
113963*	871	2.49	23 04 45.6538	+15 12 18.952	4.2211	-42.5601	23.360	-2.20	B9.5III
114144	1603	4.54	23 07 00.2598	+ 9 24 34.170	0.4548	-12.7600	10.130	-5.40	M2III
114341	873	3.68	23 09 26.7971	-21 10 20.675	4.0028	31.2499	13.960	21.10	K1III
114421 _{cg}	1605	3.88	23 10 21.5377	-45 14 48.161	12.5388	-26.2693	17.630	-4.40	K0III SB
114520	1606	5.15	23 11 44.1896	+ 8 43 12.416	-0.6023	-5.0500	12.890	10.00	A5Vn
114724	1607	4.22	23 14 19.3596	- 6 02 56.410	3.0986	-195.8500	14.680	-0.40	M2III
114855	1608	4.24	23 15 53.4947	- 9 05 15.853	24.8833	-17.0193	21.970	-26.40	K0III
114971	878	3.70	23 17 09.9379	+ 3 16 56.240	50.7736	17.9587	24.920	-13.60	G7III
114996	877	3.99	23 17 25.7733	-58 14 08.643	-4.4235	79.5889	45.400	18.40	F1III
115102	879	4.41	23 18 49.4404	-32 31 55.296	1.5538	-78.5696	18.240	15.50	K1III
115115	1609	4.99	23 18 57.6766	- 9 36 38.700	2.9393	-7.8000	13.100	-10.00	A0V
115250	880	4.58	23 20 38.2426	+23 44 25.213	2.2198	-9.1400	19.500	16.00	A5V
115438	1612	3.96	23 22 58.2268	-20 06 02.088	-8.5381	-96.7000	20.140	-6.50	K0III
115590	882	4.96	23 24 50.2624	+62 16 58.104	1.7544	-13.2500	4.230	-37.30	M1III

POZYCJE GWIAZD W SYSTEMIE *ICRS* (*BCRS*) J2000.0

HIP	FK5	magn.	α_{ICRF}	δ_{ICRF}	μ_α [ms/rok]	μ_δ [mas/rok]	π [mas]	V_R [km/s]	Sp
115623	881	4.42	23 ^h 25 ^m 22.7842	+23°24'14.764	14.0289	36.4695	18.830	-11.30	F8IV
115738	884	4.95	23 26 55.9553	+ 1 15 20.189	5.7080	-94.4302	20.120	-4.40	A0p
115830	1614	4.27	23 27 58.0951	+ 6 22 44.372	-8.3067	-43.2600	20.540	5.80	K1III
115919	885	4.54	23 29 09.2960	+12 45 37.993	4.0753	25.1801	18.340	-14.80	G8III
116231	886	4.38	23 32 58.2593	-37 49 05.763	8.1346	37.5803	18.280	1.70	B9.5IVMNpe.
116389	1617	4.69	23 35 04.5640	-42 36 54.269	3.8211	10.7800	11.920	19.40	A2V
116584	890	3.81	23 37 33.8425	+46 27 29.347	15.4081	-421.4591	38.740	6.80	G8III-IV
116602	889	4.74	23 37 50.9947	-45 29 32.465	6.7864	-12.3397	16.260	10.00	A2V
116631	891	4.29	23 38 08.2013	+43 16 05.063	2.5379	-1.2100	6.490	-0.50	B8V
116727*	893	3.21	23 39 20.8490	+77 37 56.193	-15.2061	127.1865	72.502	-42.40	K1IV
116771	892	4.13	23 39 57.0409	+ 5 37 34.650	25.2092	-436.9975	72.510	5.40	F7V
116805	1619	4.15	23 40 24.5081	+44 20 02.154	7.5803	-18.9603	19.220	-9.00	B9IVn
116928	1620	4.49	23 42 02.8062	+ 1 46 48.147	-8.6408	-154.8689	32.380	12.40	A7V
116971	894	4.49	23 42 43.3441	-14 32 41.657	6.7738	-66.7798	21.160	3.00	B9V
117221 _{ph}	1622	4.97	23 46 02.0466	+46 25 12.993	0.8752	-6.2500	2.490	-24.80	G5Ib
117371	895	5.05	23 47 54.7701	+67 48 24.509	2.5680	-1.8900	10.960	10.00	A1Vn
117452	896	4.59	23 48 55.5461	-28 07 48.964	7.5619	-104.0392	22.730	14.00	A0V
117863	899	4.51	23 54 23.0324	+57 29 57.776	-0.5633	-3.4500	0.280	-43.10	F8Iavar
118131	1629	4.63	23 57 45.5264	+25 08 29.044	-2.6556	-32.2500	7.540	-4.20	M3III
118209	900	4.88	23 58 40.3775	- 3 33 21.540	-3.7753	-72.3400	14.580	-0.20	G9III
118234	901	5.13	23 58 55.7793	-52 44 44.905	6.3798	61.4604	12.700	-14.10	K1III
118268	902	4.03	23 59 18.6896	+ 6 51 47.956	9.9708	-112.1600	30.780	1.90	F4IV
118322	903	4.49	23 59 54.9787	-65 34 37.675	7.8410	-22.3297	8.710	11.00	B9IV

gwiazdy okołobiegunowe północne

5372	906	4.24	1 ^h 08 ^m 44.8773	+86°15'25.525	82.0463	-11.3642	10.430	8.50	K2II-III
11767 _{cg} *	907	1.97	2 31 48.8460	+89 15 50.773	211.8224	-15.2255	7.560	-17.40	F7:Ib-IIv SB
16489	1636	5.62	3 32 20.1251	+84 54 39.743	46.8651	-133.0411	9.180	33.10	G3IIp...
37391	909	5.05	7 40 30.4914	+87 01 12.328	-68.5816	-26.8524	6.530	-25.20	M2III
45421	1640	6.30	9 15 21.4261	+84 10 51.648	21.5547	10.2996	11.100	-6.00	F2III
47193*	910	4.28	9 37 05.2871	+81 19 34.975	-7.4135	-15.9501	3.030	-5.10	K3III
51502	911	5.25	10 31 04.6638	+82 33 30.915	-40.7735	20.4278	46.540	7.00	F2V
66878	1643	5.92	13 42 23.0949	+82 45 08.668	17.2641	-42.5107	8.960	-50.00	G9III
72573	1644	5.63	14 50 20.4227	+82 30 42.999	90.8795	-223.3443	23.080	-44.40	F9V
82080 _{ph} *	912	4.21	16 45 58.2438	+82 02 14.143	9.4036	4.6699	9.410	-11.40	G5IIIvar
85822*	913	4.35	17 32 13.0004	+86 35 11.258	11.8016	53.9701	17.850	-7.60	A1Vn
90182	1646	6.16	18 24 09.2709	+83 10 31.439	10.3172	-23.4001	5.950	-11.20	A2V
102208	915	5.75	20 42 35.2379	+82 31 52.171	15.7812	21.6798	9.110	-20.00	A0V
109693	1648	5.27	22 13 10.6155	+86 06 28.637	50.3964	40.3183	12.750	4.00	B9.5Vn
113116*	1649	4.70	22 54 24.9673	+84 20 46.236	66.6215	23.8858	8.350	2.90	K4III

gwiazdy okołobiegunowe południowe

43908	918	5.43	8 ^h 56 ^m 40.9864	-85°39'47.348	-102.5020	33.7476	20.730	-3.60	F0III
63031 _A	919	5.45	12 54 58.8107	-85 07 24.127	52.9101	22.1121	8.790	53.40	K0III
92824	922	5.29	18 54 47.1361	-87 36 21.037	-58.5610	-135.2176	13.060	33.60	K3III
104382	923	5.45	21 08 46.8456	-88 57 23.396	95.0300	5.0216	12.070	11.90	F0III
112405	924	4.13	22 46 03.5079	-81 22 53.815	-24.6239	0.8808	23.230	23.90	A9IV/V

WIELKOŚCI REDUKCYJNE 2015

UT1		Juliańska data gwiazdowa	τ	0^h SDT						
				$A + A'$	$B + B'$	C	D	E	A'	B'
Styczeń	0.722	2463 751.0	-0.5014	-8.117	+9.533	- 3.324	+20.509	+ 7	-55	+10
	1.719	752.0	0.4987	8.038	9.561	3.650	20.442	+ 7	-43	+44
	2.717	753.0	0.4960	7.947	9.579	3.976	20.369	+ 7	-19	+68
	3.714	754.0	0.4933	7.851	9.583	4.299	20.290	+ 7	+10	+78
	4.711	755.0	0.4905	7.755	9.571	4.622	20.205	+ 7	+39	+73
	5.708	756.0	-0.4878	-7.666	+9.545	- 4.943	+20.114	+ 7	+62	+56
	6.706	757.0	0.4851	7.587	9.509	5.263	20.017	+ 7	+75	+28
	7.703	758.0	0.4823	7.521	9.468	5.582	19.915	+ 7	+75	- 3
	8.700	759.0	0.4796	7.469	9.428	5.899	19.806	+ 7	+63	-34
	9.697	760.0	0.4769	7.427	9.394	6.214	19.692	+ 7	+40	-58
	10.695	761.0	-0.4741	-7.394	+9.368	- 6.528	+19.572	+ 7	+ 9	-73
	11.692	762.0	0.4714	7.364	9.354	6.840	19.445	+ 7	-25	-75
	12.689	763.0	0.4687	7.333	9.352	7.150	19.313	+ 7	-58	-65
	13.687	764.0	0.4660	7.296	9.361	7.458	19.175	+ 7	-84	-43
	14.684	765.0	0.4632	7.248	9.379	7.764	19.031	+ 7	-99	-12
	15.681	766.0	-0.4605	-7.186	+9.401	- 8.069	+18.880	+ 7	-98	+23
	16.678	767.0	0.4578	7.107	9.419	8.370	18.724	+ 7	-81	+56
	17.676	768.0	0.4550	7.014	9.426	8.670	18.561	+ 7	-49	+78
	18.673	769.0	0.4523	6.912	9.416	8.967	18.392	+ 7	- 7	+82
	19.670	770.0	0.4496	6.810	9.385	9.261	18.217	+ 8	+35	+67
	20.667	771.0	-0.4468	-6.719	+9.335	- 9.552	+18.036	+ 8	+67	+33
	21.665	772.0	0.4441	6.647	9.276	9.840	17.849	+ 8	+80	-10
	22.662	773.0	0.4414	6.598	9.219	10.124	17.656	+ 8	+72	-50
	23.659	774.0	0.4386	6.567	9.176	10.405	17.457	+ 8	+46	-77
	24.657	775.0	0.4359	6.544	9.152	10.681	17.253	+ 7	+11	-83
	25.654	776.0	-0.4332	-6.521	+9.149	-10.954	+17.043	+ 7	-21	-69
	26.651	777.0	0.4305	6.488	9.161	11.223	16.829	+ 7	-44	-39
	27.648	778.0	0.4277	6.440	9.180	11.488	16.610	+ 7	-51	- 2
	28.646	779.0	0.4250	6.378	9.197	11.749	16.386	+ 7	-43	+33
	29.643	780.0	0.4223	6.305	9.206	12.006	16.158	+ 7	-23	+60
	30.640	781.0	-0.4195	-6.225	+9.202	-12.260	+15.925	+ 7	+ 4	+75
Luty	31.637	782.0	0.4168	6.144	9.184	12.509	15.687	+ 8	+33	+76
	1.635	783.0	0.4141	6.067	9.152	12.754	15.446	+ 8	+58	+62
	2.632	784.0	0.4113	6.000	9.110	12.996	15.200	+ 8	+74	+39
	3.629	785.0	0.4086	5.946	9.061	13.234	14.949	+ 8	+79	+ 9
	4.627	786.0	-0.4059	-5.904	+9.011	-13.467	+14.695	+ 8	+71	-22
	5.624	787.0	0.4032	5.875	8.966	13.697	14.436	+ 8	+52	-49
	6.621	788.0	0.4004	5.855	8.929	13.923	14.174	+ 7	+23	-67
	7.618	789.0	0.3977	5.841	8.903	14.144	13.907	+ 7	-10	-74
	8.616	790.0	0.3950	5.828	8.890	14.362	13.636	+ 7	-44	-69
	9.613	791.0	-0.3922	-5.811	+8.889	-14.575	+13.361	+ 7	-73	-52
	10.610	792.0	0.3895	5.785	8.897	14.785	13.081	+ 7	-92	-25
	11.607	793.0	0.3868	5.747	8.911	14.989	12.798	+ 7	-99	+ 7
	12.605	794.0	0.3840	5.695	8.926	15.190	12.511	+ 7	-91	+40
	13.602	795.0	0.3813	5.629	8.935	15.386	12.220	+ 7	-68	+66
	14.599	796.0	-0.3786	-5.551	+8.931	-15.577	+11.925	+ 7	-33	+80
	15.596	797.0	-0.3758	-5.469	+8.909	-15.764	+11.626	+ 7	+ 7	+76

WIELKOŚCI REDUKCYJNE 2015

UT1		0^h SDT								
		Juliańska data gwiazdowa	τ	$A + A'$	$B + B'$	C	D	E	A'	B'
Luty	15.596	797.0	-0.3758	-5.469	+8.909	-15.764	+11.626	+ 7	+ 7	+76
	16.594	798.0	0.3731	5.390	8.868	15.945	11.323	+ 7	+44	+52
	17.591	799.0	0.3704	5.325	8.813	16.122	11.016	+ 7	+68	+13
	18.588	800.0	0.3677	5.281	8.753	16.293	10.705	+ 7	+72	-30
	19.586	801.0	0.3649	5.258	8.701	16.458	10.391	+ 7	+55	-66
	20.583	802.0	-0.3622	-5.250	+8.668	-16.618	+10.074	+ 7	+24	-84
	21.580	803.0	0.3595	5.247	8.658	16.772	9.754	+ 7	-11	-79
	22.577	804.0	0.3567	5.236	8.668	16.921	9.432	+ 7	-38	-54
	23.575	805.0	0.3540	5.211	8.690	17.064	9.107	+ 6	-50	-18
	24.572	806.0	0.3513	5.170	8.715	17.201	8.780	+ 6	-47	+21
	25.569	807.0	-0.3485	-5.116	+8.733	-17.332	+ 8.450	+ 6	-29	+52
	26.566	808.0	0.3458	5.053	8.739	17.458	8.119	+ 6	- 2	+72
	27.564	809.0	0.3431	4.988	8.732	17.579	7.786	+ 6	+28	+76
	28.561	810.0	0.3404	4.926	8.711	17.694	7.452	+ 6	+55	+67
Marzec	1.558	811.0	0.3376	4.872	8.679	17.804	7.115	+ 6	+74	+47
	2.556	812.0	-0.3349	-4.829	+8.640	-17.909	+ 6.777	+ 6	+82	+19
	3.553	813.0	0.3322	4.799	8.600	18.009	6.438	+ 6	+79	-12
	4.550	814.0	0.3294	4.782	8.562	18.103	6.097	+ 6	+63	-40
	5.547	815.0	0.3267	4.774	8.532	18.192	5.755	+ 6	+37	-61
	6.545	816.0	0.3240	4.773	8.512	18.275	5.411	+ 6	+ 6	-72
	7.542	817.0	-0.3212	-4.774	+8.506	-18.354	+ 5.066	+ 6	-28	-71
	8.539	818.0	0.3185	4.773	8.512	18.427	4.720	+ 5	-59	-58
	9.536	819.0	0.3158	4.764	8.529	18.495	4.373	+ 5	-82	-34
	10.534	820.0	0.3130	4.745	8.553	18.558	4.024	+ 5	-94	- 4
	11.531	821.0	0.3103	4.711	8.580	18.615	3.674	+ 5	-92	+28
	12.528	822.0	-0.3076	-4.664	+8.604	-18.667	+ 3.323	+ 5	-76	+56
	13.525	823.0	0.3049	4.605	8.618	18.714	2.971	+ 5	-48	+74
	14.523	824.0	0.3021	4.539	8.618	18.755	2.618	+ 5	-12	+77
	15.520	825.0	0.2994	4.472	8.601	18.790	2.264	+ 5	+24	+63
	16.517	826.0	0.2967	4.414	8.569	18.820	1.909	+ 5	+52	+32
	17.515	827.0	-0.2939	-4.370	+8.527	-18.844	+ 1.553	+ 5	+65	- 8
	18.512	828.0	0.2912	4.346	8.486	18.861	1.197	+ 5	+59	-49
	19.509	829.0	0.2885	4.340	8.458	18.873	0.840	+ 5	+34	-77
	20.506	830.0	0.2857	4.344	8.452	18.879	0.483	+ 5	+ 0	-85
	21.504	831.0	0.2830	4.346	8.468	18.878	+ 0.127	+ 5	-32	-70
	22.501	832.0	-0.2803	-4.336	+8.503	-18.871	- 0.229	+ 4	-52	-37
	23.498	833.0	0.2776	4.309	8.547	18.858	0.585	+ 4	-55	+ 3
	24.495	834.0	0.2748	4.264	8.588	18.840	0.940	+ 4	-41	+41
	25.493	835.0	0.2721	4.208	8.619	18.815	1.293	+ 4	-15	+67
	26.490	836.0	0.2694	4.146	8.635	18.785	1.646	+ 4	+17	+77
	27.487	837.0	-0.2666	-4.085	+8.636	-18.749	- 1.997	+ 4	+47	+73
	28.485	838.0	0.2639	4.030	8.625	18.708	2.347	+ 4	+71	+55
	29.482	839.0	0.2612	3.986	8.605	18.662	2.695	+ 4	+84	+29
	30.479	840.0	0.2584	3.955	8.583	18.610	3.042	+ 4	+85	- 2
	31.476	841.0	0.2557	3.935	8.562	18.553	3.388	+ 4	+73	-31
Kwiecień	1.474	842.0	-0.2530	-3.926	+8.547	-18.491	- 3.732	+ 4	+50	-55
	2.471	843.0	-0.2503	-3.924	+8.542	-18.424	- 4.075	+ 4	+20	-70

WIELKOŚCI REDUKCYJNE 2015

UT1		Juliańska data gwiazdowa	τ	$0^h SDT$						
				$A + A'$	$B + B'$	C	D	E	A'	B'
Kwiecień	2463									
	1.474	842.0	-0.2530	-3.926	+8.547	-18.491	- 3.732	+ 4	+50	-55
	2.471	843.0	0.2503	3.924	8.542	18.424	4.075	+ 4	+20	-70
	3.468	844.0	0.2475	3.926	8.549	18.351	4.416	+ 4	-13	-73
	4.465	845.0	0.2448	3.926	8.569	18.274	4.756	+ 3	-45	-63
	5.463	846.0	0.2421	3.919	8.601	18.192	5.094	+ 3	-71	-43
	6.460	847.0	-0.2393	-3.902	+8.642	-18.105	- 5.430	+ 3	-87	-14
	7.457	848.0	0.2366	3.871	8.687	18.013	5.765	+ 3	-89	+18
	8.454	849.0	0.2339	3.826	8.729	17.916	6.098	+ 3	-78	+48
	9.452	850.0	0.2311	3.769	8.764	17.814	6.429	+ 3	-54	+69
	10.449	851.0	0.2284	3.702	8.786	17.707	6.759	+ 3	-22	+77
	11.446	852.0	-0.2257	-3.633	+8.792	-17.595	- 7.086	+ 3	+13	+68
	12.444	853.0	0.2229	3.569	8.783	17.478	7.412	+ 3	+42	+44
	13.441	854.0	0.2202	3.516	8.763	17.356	7.736	+ 3	+59	+ 8
	14.438	855.0	0.2175	3.480	8.739	17.228	8.058	+ 3	+59	-32
	15.435	856.0	0.2148	3.461	8.722	17.096	8.377	+ 3	+42	-65
	16.433	857.0	-0.2120	-3.454	+8.721	-16.958	- 8.694	+ 3	+12	-83
	17.430	858.0	0.2093	3.452	8.741	16.814	9.008	+ 3	-23	-80
	18.427	859.0	0.2066	3.442	8.783	16.665	9.320	+ 2	-51	-56
	19.424	860.0	0.2038	3.415	8.839	16.511	9.628	+ 2	-63	-18
	20.422	861.0	0.2011	3.370	8.898	16.352	9.932	+ 2	-56	+23
	21.419	862.0	-0.1984	-3.308	+8.951	-16.188	-10.234	+ 2	-34	+57
	22.416	863.0	0.1956	3.236	8.989	16.020	10.531	+ 2	- 1	+76
	23.414	864.0	0.1929	3.162	9.010	15.847	10.825	+ 2	+33	+78
	24.411	865.0	0.1902	3.092	9.017	15.669	11.114	+ 2	+62	+65
	25.408	866.0	0.1875	3.031	9.012	15.487	11.400	+ 2	+81	+41
	26.405	867.0	-0.1847	-2.983	+9.001	-15.301	-11.683	+ 2	+87	+11
	27.403	868.0	0.1820	2.947	8.990	15.111	11.961	+ 2	+80	-21
	28.400	869.0	0.1793	2.922	8.984	14.917	12.235	+ 2	+62	-47
	29.397	870.0	0.1765	2.906	8.986	14.720	12.506	+ 2	+34	-66
	30.394	871.0	0.1738	2.895	8.999	14.518	12.773	+ 2	+ 1	-73
Maj	1.392	872.0	-0.1711	-2.883	+9.024	-14.313	-13.035	+ 2	-32	-68
	2.389	873.0	0.1683	2.867	9.062	14.104	13.294	+ 2	-61	-51
	3.386	874.0	0.1656	2.840	9.110	13.892	13.549	+ 2	-81	-24
	4.383	875.0	0.1629	2.801	9.162	13.676	13.800	+ 2	-88	+ 8
	5.381	876.0	0.1601	2.746	9.215	13.457	14.047	+ 2	-80	+39
	6.378	877.0	-0.1574	-2.677	+9.261	-13.234	-14.291	+ 2	-59	+64
	7.375	878.0	0.1547	2.598	9.294	13.008	14.530	+ 2	-28	+77
	8.373	879.0	0.1520	2.514	9.311	12.778	14.766	+ 2	+ 6	+74
	9.370	880.0	0.1492	2.433	9.312	12.545	14.997	+ 2	+38	+54
	10.367	881.0	0.1465	2.362	9.300	12.308	15.225	+ 2	+59	+21
	11.364	882.0	-0.1438	-2.306	+9.282	-12.067	-15.448	+ 2	+64	-17
	12.362	883.0	0.1410	2.268	9.266	11.823	15.668	+ 2	+51	-53
	13.359	884.0	0.1383	2.243	9.262	11.576	15.883	+ 2	+24	-77
	14.356	885.0	0.1356	2.224	9.277	11.324	16.093	+ 2	-10	-83
	15.353	886.0	0.1328	2.203	9.311	11.069	16.299	+ 2	-42	-68
	16.351	887.0	-0.1301	-2.171	+9.362	-10.811	-16.500	+ 1	-62	-36
	17.348	888.0	-0.1274	-2.120	+9.421	-10.549	-16.695	+ 1	-66	+ 4

WIELKOŚCI REDUKCYJNE 2015

UT1		$0^h SDT$								
		Juliańska data gwiazdowa	τ	$A + A'$	$B + B'$	C	D	E	A'	B'
Maj	17.348	2463 888.0	-0.1274	-2''.120	+9''.421	-10''.549	-16''.695	+ 1	-66	+ 4
	18.345	889.0	0.1247	2.051	9.478	10.284	16.886	+ 2	-51	+42
	19.343	890.0	0.1219	1.967	9.524	10.016	17.071	+ 2	-23	+69
	20.340	891.0	0.1192	1.877	9.554	9.746	17.250	+ 2	+12	+80
	21.337	892.0	0.1165	1.787	9.566	9.472	17.424	+ 2	+46	+74
	22.334	893.0	-0.1137	-1.705	+9.564	- 9.197	-17.593	+ 2	+72	+54
	23.332	894.0	0.1110	1.634	9.552	8.919	17.756	+ 2	+85	+25
	24.329	895.0	0.1083	1.577	9.536	8.639	17.914	+ 2	+84	- 7
	25.326	896.0	0.1055	1.533	9.523	8.357	18.066	+ 2	+71	-37
	26.323	897.0	0.1028	1.499	9.516	8.073	18.213	+ 2	+46	-60
	27.321	898.0	-0.1001	-1.472	+9.520	- 7.787	-18.355	+ 2	+15	-73
	28.318	899.0	0.0973	1.446	9.535	7.499	18.491	+ 2	-19	-73
	29.315	900.0	0.0946	1.418	9.562	7.210	18.622	+ 2	-51	-60
	30.313	901.0	0.0919	1.382	9.600	6.919	18.748	+ 2	-75	-37
	31.310	902.0	0.0892	1.334	9.645	6.627	18.869	+ 2	-87	- 5
Czerwiec	1.307	903.0	-0.0864	-1.271	+9.692	- 6.334	-18.984	+ 2	-85	+28
	2.304	904.0	0.0837	1.193	9.734	6.039	19.095	+ 2	-69	+57
	3.302	905.0	0.0810	1.103	9.765	5.742	19.200	+ 2	-40	+76
	4.299	906.0	0.0782	1.005	9.780	5.444	19.301	+ 2	- 4	+79
	5.296	907.0	0.0755	0.908	9.777	5.145	19.396	+ 2	+31	+64
	6.293	908.0	-0.0728	-0.819	+9.758	- 4.845	-19.486	+ 2	+58	+35
	7.291	909.0	0.0700	0.745	9.730	4.543	19.571	+ 2	+69	- 4
	8.288	910.0	0.0673	0.689	9.701	4.239	19.651	+ 2	+62	-42
	9.285	911.0	0.0646	0.649	9.681	3.934	19.726	+ 2	+39	-71
	10.282	912.0	0.0619	0.618	9.678	3.627	19.796	+ 2	+ 6	-83
	11.280	913.0	-0.0591	-0.589	+9.693	- 3.320	-19.859	+ 2	-28	-75
	12.277	914.0	0.0564	0.551	9.726	3.010	19.917	+ 2	-54	-50
	13.274	915.0	0.0537	0.499	9.769	2.700	19.970	+ 2	-66	-13
	14.272	916.0	0.0509	0.428	9.814	2.389	20.016	+ 2	-60	+26
	15.269	917.0	0.0482	0.342	9.851	2.076	20.056	+ 2	-38	+58
Lipiec	16.266	918.0	-0.0455	-0.246	+9.875	- 1.763	-20.090	+ 2	- 6	+77
	17.263	919.0	0.0427	0.147	9.881	1.450	20.118	+ 2	+29	+79
	18.261	920.0	0.0400	-0.052	9.870	1.136	20.140	+ 3	+59	+65
	19.258	921.0	0.0373	+0.032	9.848	0.823	20.156	+ 3	+78	+39
	20.255	922.0	0.0346	0.102	9.818	0.509	20.166	+ 3	+84	+ 7
	21.252	923.0	-0.0318	+0.159	+9.787	- 0.195	-20.170	+ 3	+76	-25
	22.250	924.0	0.0291	0.204	9.761	+ 0.118	20.168	+ 3	+56	-51
	23.247	925.0	0.0264	0.240	9.744	0.430	20.160	+ 3	+27	-69
	24.244	926.0	0.0236	0.271	9.738	0.743	20.147	+ 3	- 6	-74
	25.242	927.0	0.0209	0.302	9.744	1.054	20.128	+ 2	-39	-67
	26.239	928.0	-0.0182	+0.338	+9.761	+ 1.365	-20.103	+ 2	-67	-49
	27.236	929.0	0.0154	0.385	9.787	1.676	20.073	+ 2	-86	-20
	28.233	930.0	0.0127	0.444	9.818	1.985	20.037	+ 2	-90	+13
	29.231	931.0	0.0100	0.518	9.847	2.293	19.996	+ 2	-80	+45
	30.228	932.0	0.0072	0.607	9.867	2.601	19.950	+ 3	-56	+70
Lipiec	1.225	933.0	-0.0045	+0.705	+9.873	+ 2.908	-19.899	+ 3	-21	+81
	2.222	934.0	-0.0018	+0.807	+9.861	+ 3.214	-19.842	+ 3	+17	+74

WIELKOŚCI REDUKCYJNE 2015

UT1		$0^h SDT$								
		Juliańska data gwiazdowa	τ	$A + A'$	$B + B'$	C	D	E	A'	B'
Lipiec	1.225	2463 933.0	-0.0045	+0.705	+9.873	+ 2.908	-19.899	+ 3	-21	+81
	2.222	934.0	-0.0018	0.807	9.861	3.214	19.842	+ 3	+17	+74
	3.220	935.0	+0.0009	0.904	9.830	3.518	19.781	+ 3	+50	+49
	4.217	936.0	0.0037	0.986	9.787	3.823	19.714	+ 3	+69	+12
	5.214	937.0	0.0064	1.050	9.739	4.126	19.643	+ 3	+70	-28
	6.211	938.0	+0.0091	+1.096	+9.698	+ 4.429	-19.566	+ 3	+53	-62
	7.209	939.0	0.0119	1.128	9.670	4.730	19.484	+ 3	+23	-81
	8.206	940.0	0.0146	1.155	9.663	5.031	19.396	+ 3	-12	-80
	9.203	941.0	0.0173	1.188	9.673	5.332	19.304	+ 3	-42	-60
	10.201	942.0	0.0201	1.232	9.696	5.631	19.205	+ 3	-59	-27
	11.198	943.0	+0.0228	+1.293	+9.724	+ 5.929	-19.101	+ 3	-60	+12
	12.195	944.0	0.0255	1.369	9.748	6.225	18.991	+ 3	-44	+46
	13.192	945.0	0.0282	1.457	9.760	6.520	18.875	+ 3	-17	+70
	14.190	946.0	0.0310	1.550	9.756	6.813	18.753	+ 3	+16	+78
	15.187	947.0	0.0337	1.641	9.737	7.105	18.626	+ 3	+47	+71
	16.184	948.0	+0.0364	+1.724	+9.703	+ 7.394	-18.493	+ 3	+71	+50
	17.181	949.0	0.0392	1.795	9.660	7.681	18.355	+ 3	+83	+21
	18.179	950.0	0.0419	1.851	9.614	7.966	18.211	+ 3	+80	-11
	19.176	951.0	0.0446	1.894	9.571	8.248	18.061	+ 3	+65	-41
	20.173	952.0	0.0474	1.926	9.535	8.528	17.907	+ 3	+40	-62
	21.171	953.0	+0.0501	+1.952	+9.509	+ 8.805	-17.747	+ 3	+ 7	-73
	22.168	954.0	0.0528	1.974	9.495	9.079	17.582	+ 3	-26	-71
	23.165	955.0	0.0556	2.000	9.493	9.351	17.413	+ 3	-57	-58
	24.162	956.0	0.0583	2.033	9.501	9.619	17.238	+ 3	-80	-34
	25.160	957.0	0.0610	2.076	9.516	9.885	17.059	+ 3	-92	- 3
	26.157	958.0	+0.0637	+2.134	+9.532	+10.148	-16.875	+ 3	-89	+30
	27.154	959.0	0.0665	2.205	9.544	10.407	16.687	+ 3	-72	+59
	28.151	960.0	0.0692	2.288	9.545	10.664	16.494	+ 3	-43	+77
	29.149	961.0	0.0719	2.379	9.530	10.917	16.297	+ 3	- 5	+80
	30.146	962.0	0.0747	2.468	9.496	11.168	16.096	+ 3	+32	+63
	31.143	963.0	+0.0774	+2.549	+9.446	+11.415	-15.891	+ 3	+60	+31
Sierpień	1.140	964.0	0.0801	2.611	9.387	11.660	15.682	+ 3	+71	-10
	2.138	965.0	0.0829	2.654	9.329	11.902	15.468	+ 3	+62	-50
	3.135	966.0	0.0856	2.679	9.284	12.141	15.251	+ 3	+37	-76
	4.132	967.0	0.0883	2.694	9.259	12.377	15.029	+ 3	+ 3	-83
	5.130	968.0	+0.0910	+2.712	+9.254	+12.611	-14.803	+ 3	-30	-70
	6.127	969.0	0.0938	2.739	9.266	12.841	14.573	+ 3	-51	-39
	7.124	970.0	0.0965	2.781	9.285	13.069	14.337	+ 3	-57	- 1
	8.121	971.0	0.0992	2.839	9.303	13.293	14.098	+ 3	-46	+35
	9.119	972.0	0.1020	2.910	9.312	13.513	13.854	+ 3	-22	+63
	10.116	973.0	+0.1047	+2.988	+9.307	+13.730	-13.605	+ 3	+ 9	+76
	11.113	974.0	0.1074	3.065	9.286	13.944	13.352	+ 3	+40	+74
	12.110	975.0	0.1102	3.136	9.251	14.153	13.095	+ 3	+66	+58
	13.108	976.0	0.1129	3.196	9.206	14.358	12.833	+ 3	+81	+31
	14.105	977.0	0.1156	3.243	9.157	14.559	12.568	+ 3	+84	+ 0
	15.102	978.0	+0.1183	+3.276	+9.108	+14.756	-12.298	+ 3	+73	-30
	16.100	979.0	+0.1211	+3.297	+9.066	+14.948	-12.025	+ 3	+51	-54
	17.097	980.0	+0.1238	+3.309	+9.033	+15.136	-11.748	+ 3	+21	-69

WIELKOŚCI REDUKCYJNE 2015

UT1		Juliańska data gwiazdowa	$0^h SDT$							
			τ	$A + A'$	$B + B'$	C	D	E	A'	B'
Sierpień	17.097	980.0	+0.1238	+3.309	+9.033	+15.136	-11.748	+ 3	+21	-69
	18.094	981.0	0.1265	3.318	9.012	15.319	11.467	+ 3	-12	-72
	19.091	982.0	0.1293	3.327	9.004	15.498	11.184	+ 3	-45	-63
	20.089	983.0	0.1320	3.341	9.006	15.672	10.896	+ 2	-71	-43
	21.086	984.0	0.1347	3.365	9.017	15.842	10.606	+ 2	-88	-16
	22.083	985.0	+0.1375	+3.400	+9.031	+16.007	-10.313	+ 2	-92	+16
	23.080	986.0	0.1402	3.449	9.045	16.167	10.017	+ 2	-82	+46
	24.078	987.0	0.1429	3.511	9.051	16.322	9.718	+ 2	-60	+69
	25.075	988.0	0.1457	3.581	9.045	16.473	9.416	+ 2	-28	+79
	26.072	989.0	0.1484	3.655	9.023	16.619	9.113	+ 2	+ 9	+72
	27.069	990.0	+0.1511	+3.725	+8.984	+16.760	- 8.807	+ 2	+41	+48
	28.067	991.0	0.1538	3.782	8.931	16.897	8.498	+ 2	+62	+11
	29.064	992.0	0.1566	3.821	8.875	17.030	8.188	+ 2	+64	-31
	30.061	993.0	0.1593	3.839	8.825	17.158	7.875	+ 2	+46	-67
	31.059	994.0	0.1620	3.844	8.794	17.282	7.560	+ 2	+15	-84
Wrzesień	1.056	995.0	+0.1648	+3.845	+8.785	+17.401	- 7.243	+ 2	-19	-79
	2.053	996.0	0.1675	3.853	8.798	17.516	6.923	+ 2	-45	-54
	3.050	997.0	0.1702	3.876	8.823	17.627	6.601	+ 2	-57	-16
	4.048	998.0	0.1730	3.917	8.851	17.733	6.276	+ 2	-50	+23
	5.045	999.0	0.1757	3.971	8.871	17.835	5.949	+ 2	-29	+55
	6.042	000.0	+0.1784	+4.035	+8.879	+17.931	- 5.620	+ 2	+ 2	+73
	7.039	001.0	0.1811	4.100	8.871	18.022	5.288	+ 2	+34	+76
	8.037	002.0	0.1839	4.161	8.849	18.108	4.954	+ 2	+63	+64
	9.034	003.0	0.1866	4.212	8.816	18.189	4.618	+ 2	+81	+40
	10.031	004.0	0.1893	4.251	8.778	18.265	4.280	+ 2	+88	+10
	11.029	005.0	+0.1921	+4.276	+8.739	+18.335	- 3.940	+ 1	+81	-20
	12.026	006.0	0.1948	4.289	8.705	18.399	3.598	+ 1	+63	-47
	13.023	007.0	0.1975	4.293	8.680	18.458	3.256	+ 1	+35	-65
	14.020	008.0	0.2003	4.291	8.667	18.511	2.912	+ 1	+ 3	-72
	15.018	009.0	0.2030	4.289	8.666	18.559	2.566	+ 1	-31	-67
Paźdz.	16.015	010.0	+0.2057	+4.291	+8.677	+18.601	- 2.220	+ 1	-59	-51
	17.012	011.0	0.2085	4.301	8.698	18.637	1.873	+ 0	-80	-26
	18.009	012.0	0.2112	4.322	8.724	18.668	1.526	+ 0	-89	+ 4
	19.007	013.0	0.2139	4.356	8.751	18.693	1.178	+ 0	-85	+34
	20.004	014.0	0.2166	4.403	8.774	18.712	0.829	+ 0	-69	+59
	21.001	015.0	+0.2194	+4.460	+8.787	+18.726	- 0.481	+ 0	-42	+74
	21.999	016.0	0.2221	4.522	8.786	18.734	- 0.132	+ 0	- 9	+75
	22.996	017.0	0.2248	4.585	8.770	18.737	+ 0.216	+ 0	+23	+60
	23.993	018.0	0.2276	4.639	8.740	18.734	0.565	+ 0	+48	+29
	24.990	019.0	0.2303	4.680	8.701	18.727	0.912	+ 0	+58	-11
	25.988	020.0	+0.2330	+4.702	+8.664	+18.714	+ 1.260	+ 0	+50	-50
	26.985	021.0	0.2358	4.708	8.638	18.696	1.607	- 0	+26	-78
	27.982	022.0	0.2385	4.704	8.633	18.673	1.954	- 0	- 8	-85
	28.979	023.0	0.2412	4.702	8.652	18.645	2.300	- 0	-40	-70
	29.977	024.0	0.2439	4.714	8.690	18.612	2.647	- 1	-59	-36
Paźdz.	30.974	025.0	+0.2467	+4.744	+8.737	+18.575	+ 2.993	- 1	-60	+ 6
	1.971	026.0	+0.2494	+4.793	+8.781	+18.532	+ 3.339	- 1	-41	+45
	2.968	027.0	+0.2521	+4.855	+8.812	+18.483	+ 3.685	- 1	-11	+70

WIELKOŚCI REDUKCYJNE 2015

UT1		0^h SDT								
		Juliańska data gwiazdowa	τ	$A + A'$	$B + B'$	C	D	E	A'	B'
Paźdz.	1.971	2464 026.0	+0.2494	+4.793	+8.781	+18.532	+ 3.339	- 1	-41	+45
	2.968	027.0	0.2521	4.855	8.812	18.483	3.685	- 1	-11	+70
	3.966	028.0	0.2549	4.921	8.828	18.430	4.030	- 1	+24	+78
	4.963	029.0	0.2576	4.985	8.827	18.371	4.376	- 1	+57	+70
	5.960	030.0	0.2603	5.040	8.814	18.306	4.720	- 1	+80	+49
	6.958	031.0	+0.2631	+5.083	+8.794	+18.235	+ 5.064	- 1	+91	+21
	7.955	032.0	0.2658	5.113	8.772	18.159	5.407	- 1	+89	-11
	8.952	033.0	0.2685	5.131	8.753	18.078	5.749	- 1	+74	-39
	9.949	034.0	0.2713	5.138	8.742	17.990	6.089	- 1	+49	-61
	10.947	035.0	0.2740	5.140	8.743	17.897	6.428	- 1	+18	-71
	11.944	036.0	+0.2767	+5.140	+8.755	+17.798	+ 6.766	- 1	-16	-70
	12.941	037.0	0.2794	5.143	8.781	17.693	7.102	- 2	-47	-57
	13.938	038.0	0.2822	5.154	8.816	17.583	7.436	- 2	-70	-34
	14.936	039.0	0.2849	5.175	8.858	17.467	7.767	- 2	-83	- 5
	15.933	040.0	0.2876	5.210	8.902	17.346	8.097	- 2	-84	+25
	16.930	041.0	+0.2904	+5.258	+8.944	+17.219	+ 8.424	- 2	-72	+52
	17.928	042.0	0.2931	5.316	8.976	17.086	8.749	- 2	-49	+70
	18.925	043.0	0.2958	5.383	8.997	16.949	9.070	- 2	-19	+76
	19.922	044.0	0.2986	5.451	9.003	16.806	9.389	- 2	+12	+66
	20.919	045.0	0.3013	5.514	8.995	16.658	9.705	- 2	+38	+42
	21.917	046.0	+0.3040	+5.567	+8.976	+16.505	+10.018	- 2	+52	+ 7
	22.914	047.0	0.3067	5.604	8.954	16.347	10.328	- 2	+51	-32
	23.911	048.0	0.3095	5.626	8.938	16.185	10.635	- 2	+33	-65
	24.908	049.0	0.3122	5.635	8.938	16.018	10.938	- 2	+ 3	-83
	25.906	050.0	0.3149	5.640	8.959	15.847	11.238	- 2	-32	-80
	26.903	051.0	+0.3177	+5.654	+9.002	+15.672	+11.536	- 2	-59	-55
	27.900	052.0	0.3204	5.685	9.060	15.492	11.830	- 3	-70	-16
	28.897	053.0	0.3231	5.737	9.122	15.308	12.122	- 3	-60	+27
	29.895	054.0	0.3259	5.807	9.175	15.119	12.410	- 2	-33	+61
	30.892	055.0	0.3286	5.887	9.212	14.926	12.696	- 2	+ 5	+79
	31.889	056.0	+0.3313	+5.969	+9.231	+14.728	+12.978	- 2	+42	+78
Listopad	1.887	057.0	0.3340	6.044	9.233	14.526	13.257	- 2	+73	+61
	2.884	058.0	0.3368	6.107	9.225	14.318	13.533	- 2	+91	+33
	3.881	059.0	0.3395	6.157	9.213	14.106	13.805	- 2	+94	+ 1
	4.878	060.0	0.3422	6.193	9.202	13.890	14.074	- 2	+84	-30
	5.876	061.0	+0.3450	+6.218	+9.197	+13.668	+14.339	- 2	+62	-55
	6.873	062.0	0.3477	6.236	9.203	13.442	14.599	- 2	+32	-70
	7.870	063.0	0.3504	6.251	9.220	13.212	14.856	- 3	- 1	-73
	8.867	064.0	0.3532	6.268	9.249	12.977	15.108	- 3	-34	-64
	9.865	065.0	0.3559	6.291	9.289	12.737	15.356	- 3	-60	-44
	10.862	066.0	+0.3586	+6.325	+9.337	+12.493	+15.599	- 3	-77	-16
	11.859	067.0	0.3614	6.372	9.389	12.245	15.837	- 3	-82	+16
	12.857	068.0	0.3641	6.432	9.438	11.993	16.071	- 3	-73	+45
	13.854	069.0	0.3668	6.505	9.479	11.737	16.299	- 3	-53	+67
	14.851	070.0	0.3695	6.586	9.509	11.477	16.522	- 3	-25	+76
	15.848	071.0	+0.3723	+6.671	+9.523	+11.213	+16.740	- 3	+ 6	+71
	16.846	072.0	+0.3750	+6.753	+9.523	+10.946	+16.952	- 3	+34	+52

WIELKOŚCI REDUKCYJNE 2015

UT1		Juliańska data gwiazdowa	τ	0^h SDT					
				$A + A'$	$B + B'$	C	D	E	A'
		2464							
Listopad	16.846	072.0	+0.3750	+6.753	+9.523	+10.946	+16.952	- 3	+34
	17.843	073.0	0.3777	6.826	9.511	10.675	17.159	- 3	+52
	18.840	074.0	0.3805	6.886	9.492	10.401	17.361	- 3	+55
	19.837	075.0	0.3832	6.929	9.475	10.124	17.557	- 3	+42
	20.835	076.0	0.3859	6.960	9.469	9.844	17.747	- 3	+16
	21.832	077.0	+0.3887	+6.983	+9.481	+ 9.562	+17.932	- 3	-18
	22.829	078.0	0.3914	7.009	9.513	9.277	18.112	- 3	-51
	23.826	079.0	0.3941	7.047	9.563	8.989	18.287	- 3	-71
	24.824	080.0	0.3968	7.105	9.621	8.699	18.456	- 3	-73
	25.821	081.0	0.3996	7.183	9.677	8.407	18.620	- 3	+45
	26.818	082.0	+0.4023	+7.277	+9.721	+ 8.112	+18.779	- 3	-22
	27.816	083.0	0.4050	7.378	9.746	7.814	18.933	- 3	+18
	28.813	084.0	0.4078	7.477	9.752	7.514	19.082	- 2	+56
	29.810	085.0	0.4105	7.566	9.743	7.211	19.225	- 2	+82
	30.807	086.0	0.4132	7.640	9.724	6.906	19.363	- 2	+94
Grudzień	1.805	087.0	+0.4160	+7.700	+9.704	+ 6.598	+19.495	- 2	+91
	2.802	088.0	0.4187	7.746	9.688	6.287	19.622	- 2	+74
	3.799	089.0	0.4214	7.783	9.681	5.975	19.743	- 2	+46
	4.796	090.0	0.4242	7.815	9.685	5.659	19.857	- 2	-74
	5.794	091.0	0.4269	7.846	9.700	5.342	19.966	- 2	-70
	6.791	092.0	+0.4296	+7.881	+9.727	+ 5.023	+20.069	- 2	-50
	7.788	093.0	0.4323	7.926	9.763	4.701	20.165	- 3	-71
	8.786	094.0	0.4351	7.982	9.803	4.378	20.255	- 3	-81
	9.783	095.0	0.4378	8.052	9.843	4.053	20.339	- 2	+35
	10.780	096.0	0.4405	8.135	9.877	3.726	20.416	- 2	+61
	11.777	097.0	+0.4433	+8.229	+9.900	+ 3.398	+20.486	- 2	-33
	12.775	098.0	0.4460	8.328	9.907	3.068	20.549	- 2	- 1
	13.772	099.0	0.4487	8.426	9.898	2.738	20.606	- 2	+30
	14.769	100.0	0.4515	8.516	9.875	2.407	20.656	- 2	+52
	15.766	101.0	0.4542	8.593	9.842	2.075	20.700	- 2	+61
	16.764	102.0	+0.4569	+8.653	+9.809	+ 1.743	+20.736	- 2	+53
	17.761	103.0	0.4596	8.698	9.784	1.410	20.766	- 2	+30
	18.758	104.0	0.4624	8.734	9.774	1.077	20.789	- 2	- 2
	19.755	105.0	0.4651	8.768	9.782	0.745	20.806	- 2	-36
	20.753	106.0	0.4678	8.809	9.807	0.413	20.817	- 2	-63
	21.750	107.0	+0.4706	+8.866	+9.845	+ 0.080	+20.821	- 2	-74
	22.747	108.0	0.4733	8.942	9.884	- 0.251	20.820	- 2	-67
	23.745	109.0	0.4760	9.035	9.916	0.583	20.812	- 2	-42
	24.742	110.0	0.4788	9.140	9.933	0.914	20.798	- 2	- 5
	25.739	111.0	0.4815	9.247	9.930	1.245	20.779	- 1	+34
	26.736	112.0	+0.4842	+9.348	+9.910	- 1.576	+20.753	- 1	+67
	27.734	113.0	0.4870	9.437	9.877	1.907	20.721	- 1	+87
	28.731	114.0	0.4897	9.509	9.837	2.237	20.684	- 1	+92
	29.728	115.0	0.4924	9.567	9.799	2.567	20.640	- 1	+81
	30.725	116.0	0.4951	9.611	9.767	2.896	20.590	- 1	+58
	31.723	117.0	+0.4979	+9.648	+9.746	- 3.225	+20.534	- 1	+27
	32.720	118.0	+0.5006	+9.681	+9.737	- 3.553	+20.471	- 1	- 7
									-73

MIEJSKA POZORNE GWIAZD 2015
w momencie ich górowania w południku Greenwich

UT1	β Cassiopeiae		α Cassiopeiae		β Ceti		γ Cassiopeiae	
	2 ^m 27	F5	2 ^m 23	K0	2 ^m 04	K0	2 ^m 80 var.	B0p
	α_{app}^γ	δ_{app}	α_{app}^γ	δ_{app}	α_{app}^γ	δ_{app}	α_{app}^γ	δ_{app}
Styczeń		0 ^h 09 ^m	+59°13'	0 ^h 41 ^m	+56°37'	0 ^h 44 ^m	-17°53'	0 ^h 57 ^m
	-0.3	60. ^s 336	75.40	23. ^s 431	26.62	20. ^s 655	83.83	39.288
	9.7	60.011	74.70	23.135	26.27	20.523	84.41	38.945
	19.7	59.691	73.49	22.833	25.42	20.390	84.76	38.590
Luty	29.6	59.395	71.77	22.541	24.07	20.262	84.84	38.240
	8.6	59.134	69.67	22.272	22.31	20.145	84.66	37.913
	18.6	58.918	67.23	22.035	20.19	20.042	84.22	37.617
Marzec	28.6	58.764	64.55	21.847	17.78	19.961	83.51	37.373
	10.5	58.677	61.77	21.718	15.23	19.908	82.53	37.194
	20.5	58.665	58.98	21.654	12.59	19.885	81.31	37.086
	30.5	58.737	56.30	21.667	10.01	19.902	79.82	37.064
Kwiecień	9.5	58.888	53.86	21.755	07.60	19.958	78.12	37.127
	19.4	59.118	51.71	21.919	05.42	20.056	76.21	37.277
	29.4	59.425	49.97	22.161	03.58	20.199	74.13	37.515
	9.4	59.795	48.70	22.467	02.15	20.382	71.93	37.829
Maj	19.3	60.220	47.91	22.834	01.16	20.603	69.63	38.213
	29.3	60.689	47.67	23.251	00.67	20.859	67.31	38.657
Czerwiec	8.3	61.184	47.95	23.701	00.67	21.140	65.01	39.143
	18.3	61.695	48.74	24.176	01.16	21.441	62.79	39.662
	28.2	62.206	50.05	24.661	02.16	21.754	60.72	40.197
Lipiec	8.2	62.702	51.80	25.141	03.59	22.069	58.84	40.731
	18.2	63.174	53.97	25.609	05.44	22.379	57.21	41.256
Sierpień	28.2	63.608	56.51	26.048	07.67	22.675	55.88	41.756
	7.1	63.994	59.32	26.451	10.19	22.949	54.86	42.219
	17.1	64.329	62.38	26.812	12.97	23.197	54.20	42.642
Wrzesień	27.1	64.602	65.61	27.121	15.95	23.411	53.90	43.009
	6.0	64.814	68.91	27.377	19.04	23.589	53.95	43.321
	16.0	64.963	72.27	27.578	22.22	23.729	54.34	43.574
Paźdz.	26.0	65.044	75.57	27.717	25.38	23.829	55.04	43.760
	6.0	65.065	78.76	27.801	28.48	23.892	55.99	43.885
	15.9	65.025	81.80	27.829	31.48	23.919	57.16	43.946
Listopad	25.9	64.927	84.59	27.800	34.27	23.911	58.47	43.942
	4.9	64.779	87.07	27.722	36.81	23.876	59.86	43.881
	14.9	64.582	89.21	27.594	39.07	23.813	61.28	43.759
Grudzień	24.8	64.343	90.90	27.420	40.93	23.729	62.65	43.582
	4.8	64.071	92.15	27.210	42.40	23.629	63.92	43.357
	14.8	63.767	92.88	26.961	43.40	23.514	65.06	43.084
	24.7	63.447	93.05	26.687	43.89	23.389	66.00	42.776
	34.7	63.117	92.70	26.394	43.88	23.259	66.73	42.440
	44.7	62.786	91.80	26.088	43.35	23.125	67.23	42.084
Miejsce śr. 2015.5	60. ^s 872	66. ^m 76	23. ^s 791	19. ^m 68	22. ^s 011	66. ^m 36	39.379	61. ^m 15
sec δ	tan δ	+1.955	+1.680	+1.818	+1.518	+1.051	-0.323	+2.050
dwukrotne górowanie		IX.23		X.01		X.02		X.06
a	a'	+0.158	+0.999	+0.172	+0.984	+0.149	+0.981	+0.183
b	b'	+0.112	-0.044	+0.100	-0.180	-0.021	-0.192	+0.116
								-0.249

MIEJSKA POZORNE GWIAZD 2015
w momencie ich górowania w południku Greenwich

UT1	β Andromedae		δ Cassiopeiae		ε Cassiopeiae		α Arietis	
	2 ^m 06 M0		2 ^m 68 A5		3 ^m 38 B3		2 ^m 00 K2	
	α_{app}^{γ}	δ_{app}	α_{app}^{γ}	δ_{app}	α_{app}^{γ}	δ_{app}	α_{app}^{γ}	δ_{app}
Styczeń		1 ^h 10 ^m	+35°41'	1 ^h 26 ^m	+60°18'	1 ^h 55 ^m	+63°44'	2 ^h 08 ^m
	-0.2	35 ^s .637	68''.73	50 ^s .646	60''.92	32 ^s .052	49''.52	02 ^s .501
	9.7	35.471	68.32	50.323	61.19	31.699	50.22	02.379
	19.7	35.295	67.59	49.978	60.94	31.310	50.40	02.236
Luty	29.7	35.116	66.55	49.625	60.15	30.900	50.02	02.078
	8.7	34.945	65.26	49.284	58.89	30.493	49.13	01.916
	18.6	34.786	63.75	48.964	57.19	30.098	47.75	01.753
Marzec	28.6	34.653	62.09	48.686	55.11	29.742	45.92	01.601
	10.6	34.552	60.37	48.465	52.76	29.441	43.76	01.470
	20.6	34.491	58.64	48.308	50.23	29.207	41.34	01.366
	30.5	34.478	57.00	48.234	47.62	29.059	38.75	01.300
Kwiecień	9.5	34.517	55.53	48.243	45.06	29.002	36.12	01.277
	19.5	34.608	54.28	48.337	42.62	29.041	33.54	01.301
	29.4	34.756	53.33	48.522	40.42	29.182	31.11	01.376
	9.4	34.954	52.71	48.787	38.54	29.416	28.94	01.499
Maj	19.4	35.198	52.44	49.127	37.01	29.738	27.07	01.670
	29.4	35.485	52.57	49.534	35.94	30.142	25.61	01.886
Czerwiec	8.3	35.801	53.07	49.991	35.33	30.609	24.57	02.138
	18.3	36.143	53.94	50.489	35.18	31.130	23.97	02.421
	28.3	36.499	55.16	51.012	35.53	31.691	23.86	02.727
Lipiec	8.3	36.857	56.67	51.544	36.34	32.271	24.22	03.046
	18.2	37.213	58.46	52.077	37.59	32.863	25.03	03.372
	28.2	37.554	60.47	52.594	39.27	33.448	26.30	03.696
Sierpień	7.2	37.872	62.63	53.083	41.30	34.011	27.94	04.008
	17.1	38.166	64.91	53.540	43.66	34.549	29.96	04.307
	27.1	38.425	67.26	53.949	46.29	35.044	32.31	04.583
Wrzesień	6.1	38.648	69.60	54.309	49.11	35.491	34.90	04.834
	16.1	38.834	71.93	54.617	52.10	35.887	37.72	05.058
	26.0	38.980	74.17	54.862	55.19	36.219	40.70	05.249
Paźdz.	6.0	39.088	76.30	55.050	58.29	36.490	43.76	05.410
	16.0	39.157	78.29	55.176	61.38	36.695	46.88	05.540
Listopad	26.0	39.189	80.08	55.237	64.37	36.827	49.96	05.636
	4.9	39.188	81.66	55.241	67.19	36.893	52.95	05.702
	14.9	39.154	83.01	55.182	69.81	36.886	55.79	05.737
Grudzień	24.9	39.088	84.07	55.062	72.12	36.806	58.39	05.741
	4.8	38.996	84.86	54.890	74.10	36.659	60.70	05.716
	14.8	38.877	85.34	54.663	75.67	36.443	62.64	05.660
	24.8	38.736	85.47	54.391	76.76	36.165	64.14	05.576
	34.8	38.577	85.29	54.083	77.37	35.836	65.19	05.467
	44.7	38.403	84.76	53.743	77.46	35.461	65.71	05.334
Miejsce śr. 2015.5	36 ^s .300	68''.40	50 ^s .585	55''.04	31 ^s .605	44''.34	03 ^s .040	66''.09
sec δ	tan δ	+1.231	+0.719	+2.019	+1.754	+2.261	+2.027	+1.091
dwukrotne górowanie		X.09		X.13		X.20		X.23
a	a'	+0.168	+0.953	+0.197	+0.929	+0.219	+0.876	+0.169
b	b'	+0.046	-0.303	+0.109	-0.370	+0.118	-0.483	+0.025
								-0.530

MIEJSKA POZORNE GWIAZD 2015
w momencie ich górowania w południku Greenwich

UT1	α Persei		γ Camelopardalis		α Tauri		β Orionis		
	1 ^m 79	F5	4 ^m 63	A0	0 ^m 85	Aldebaran	K5	0 ^m 12	Rigel
	α_{app}	δ_{app}	α_{app}	δ_{app}	α_{app}	δ_{app}	α_{app}	δ_{app}	
Styczeń		3 ^h 25 ^m	+49°54'	3 ^h 51 ^m	+71°22'	4 ^h 36 ^m	+16°32'	5 ^h 15 ^m	-8°11'
	-0.1	26 ^s .418	52.83	62 ^s .849	41.05	48 ^s .638	11.24	17 ^s .141	18".50
	9.8	26.278	53.90	62.541	43.16	48.614	10.97	17.135	20.11
	19.8	26.088	54.65	62.127	44.88	48.548	10.70	17.087	21.54
Luty	29.8	25.856	55.02	61.620	46.11	48.441	10.44	16.996	22.76
	8.8	25.597	55.01	61.052	46.82	48.302	10.18	16.870	23.75
	18.7	25.319	54.63	60.439	47.00	48.136	09.91	16.712	24.50
Marzec	28.7	25.039	53.85	59.813	46.60	47.953	09.63	16.533	25.00
	10.7	24.773	52.76	59.208	45.69	47.765	09.34	16.342	25.24
	20.6	24.532	51.37	58.643	44.30	47.580	09.06	16.148	25.24
Kwiecień	30.6	24.333	49.75	58.153	42.46	47.411	08.81	15.963	24.97
	9.6	24.187	47.99	57.759	40.31	47.268	08.59	15.797	24.47
	19.6	24.100	46.14	57.472	37.88	47.156	08.44	15.655	23.72
Maj	29.5	24.083	44.30	57.316	35.30	47.087	08.38	15.548	22.73
	9.5	24.135	42.56	57.291	32.67	47.063	08.42	15.479	21.53
	19.5	24.255	40.94	57.395	30.06	47.084	08.59	15.452	20.12
Czerwiec	29.5	24.445	39.54	57.636	27.58	47.154	08.90	15.470	18.53
	8.4	24.694	38.39	57.995	25.31	47.269	09.35	15.530	16.81
	18.4	24.997	37.53	58.466	23.29	47.425	09.93	15.631	14.97
Lipiec	28.4	25.347	36.99	59.039	21.62	47.621	10.63	15.773	13.07
	8.3	25.730	36.78	59.687	20.31	47.848	11.44	15.947	11.17
	18.3	26.141	36.89	60.404	19.37	48.101	12.31	16.151	09.30
Sierpień	28.3	26.567	37.33	61.171	18.88	48.376	13.23	16.381	07.56
	7.3	26.997	38.05	61.963	18.79	48.662	14.15	16.629	05.97
	17.2	27.428	39.06	62.775	19.11	48.958	15.05	16.892	04.61
Wrzesień	27.2	27.848	40.33	63.585	19.87	49.256	15.88	17.165	03.53
	6.2	28.249	41.81	64.377	20.99	49.551	16.61	17.442	02.77
	16.2	28.631	43.48	65.146	22.49	49.843	17.23	17.721	02.35
Paźdz.	26.1	28.984	45.31	65.869	24.34	50.123	17.71	17.995	02.32
	6.1	29.305	47.24	66.540	26.47	50.391	18.05	18.263	02.64
	16.1	29.593	49.28	67.149	28.89	50.644	18.25	18.521	03.34
Listopad	26.0	29.838	51.37	67.677	31.52	50.877	18.32	18.763	04.37
	5.0	30.044	53.47	68.122	34.32	51.088	18.28	18.987	05.67
	15.0	30.203	55.56	68.469	37.25	51.275	18.15	19.188	07.21
Grudzień	25.0	30.310	57.58	68.704	40.21	51.430	17.96	19.360	08.92
	4.9	30.366	59.49	68.829	43.14	51.553	17.72	19.502	10.71
	14.9	30.367	61.25	68.831	45.98	51.638	17.47	19.607	12.53
	24.9	30.310	62.79	68.707	48.61	51.681	17.21	19.670	14.30
	34.9	30.200	64.07	68.468	50.97	51.684	16.96	19.693	15.97
	44.8	30.036	65.05	68.112	52.98	51.642	16.72	19.670	17.49
Miejsce sr. 2015.5	26 ^s .232	54".53	61 ^s .156	41.06	48 ^s .709	21.32	17 ^s .008	05".27	
sec δ	tan δ	+1.553	+1.188	+3.132	+2.968	+1.043	+0.297	+1.010	-0.144
dwukrotne górowanie		XI.12		XI.19		XI.30		XII.10	
a	a'	+0.215	+0.624	+0.321	+0.530	+0.172	+0.355	+0.144	+0.194
b	b'	+0.049	-0.781	+0.105	-0.848	+0.007	-0.935	-0.002	-0.981

MIEJSKA POZORNE GWIAZD 2015
w momencie ich górowania w południku Greenwich

UT1	α Aurigae			ε Orionis		α Orionis		β Aurigae		
	0 ^m 08	<i>Capella</i>	G0	1 ^m 70	B0	0 ^m 60	<i>Betelgeuse</i>	M0	1 ^m 90	A0p
	α_{app}^γ	δ_{app}		α_{app}^γ	δ_{app}	α_{app}^γ	δ_{app}		α_{app}^γ	δ_{app}
		5 ^h 17 ^m	+46°00'	5 ^h 36 ^m	-1°11'	5 ^h 55 ^m	+7°24'	6 ^h 00 ^m	+44°56'	
Styczeń	-0.1	50 ^s .413	37".25	60 ^s .152	47".13	60 ^s .754	20".91	40.126	42".35	
	9.9	50.417	38.62	60.172	48.45	60.798	20.03	40.188	43.71	
	19.9	50.358	39.89	60.148	49.63	60.795	19.26	40.184	45.06	
	29.9	50.236	40.99	60.077	50.64	60.743	18.61	40.113	46.33	
Luty	8.8	50.063	41.87	59.969	51.46	60.651	18.09	39.983	47.46	
	18.8	49.844	42.50	59.827	52.11	60.520	17.69	39.801	48.40	
	28.8	49.593	42.82	59.658	52.56	60.360	17.41	39.576	49.10	
Marzec	10.8	49.326	42.84	59.474	52.82	60.182	17.24	39.325	49.53	
	20.7	49.054	42.56	59.284	52.91	59.993	17.17	39.058	49.67	
	30.7	48.795	41.97	59.098	52.79	59.806	17.20	38.793	49.51	
Kwiecień	9.7	48.564	41.13	58.928	52.49	59.632	17.33	38.546	49.08	
	19.6	48.369	40.07	58.780	52.02	59.478	17.56	38.325	48.40	
	29.6	48.225	38.83	58.665	51.35	59.354	17.91	38.145	47.48	
Maj	9.6	48.136	37.49	58.586	50.51	59.266	18.36	38.014	46.41	
	19.6	48.107	36.08	58.547	49.49	59.216	18.93	37.936	45.20	
	29.5	48.142	34.66	58.551	48.32	59.210	19.62	37.918	43.91	
Czerwiec	8.5	48.238	33.30	58.597	47.03	59.245	20.40	37.957	42.60	
	18.5	48.391	32.03	58.684	45.61	59.321	21.29	38.053	41.30	
	28.5	48.601	30.88	58.811	44.13	59.437	22.24	38.206	40.05	
Lipiec	8.4	48.857	29.90	58.971	42.62	59.587	23.23	38.406	38.90	
	18.4	49.154	29.09	59.161	41.11	59.769	24.25	38.651	37.84	
	28.4	49.487	28.47	59.379	39.68	59.979	25.23	38.937	36.92	
Sierpień	7.3	49.844	28.04	59.616	38.37	60.210	26.15	39.252	36.14	
	17.3	50.223	27.80	59.870	37.21	60.460	26.96	39.595	35.49	
	27.3	50.616	27.77	60.136	36.28	60.724	27.63	39.959	35.01	
Wrzesień	6.3	51.013	27.90	60.409	35.59	60.996	28.12	40.336	34.67	
	16.2	51.415	28.20	60.687	35.20	61.277	28.41	40.726	34.48	
	26.2	51.812	28.68	60.964	35.11	61.560	28.46	41.120	34.45	
Paźdz.	6.2	52.199	29.31	61.238	35.33	61.842	28.30	41.513	34.56	
	16.2	52.576	30.09	61.506	35.86	62.122	27.90	41.904	34.83	
	26.1	52.931	31.01	61.762	36.68	62.392	27.30	42.283	35.26	
Listopad	5.1	53.262	32.06	62.003	37.73	62.651	26.53	42.646	35.85	
	15.1	53.562	33.25	62.225	38.98	62.893	25.61	42.986	36.61	
	25.0	53.822	34.55	62.420	40.37	63.112	24.61	43.292	37.54	
Grudzień	5.0	54.039	35.93	62.587	41.84	63.302	23.56	43.560	38.61	
	15.0	54.203	37.39	62.718	43.33	63.459	22.51	43.780	39.83	
	25.0	54.306	38.86	62.808	44.78	63.574	21.52	43.942	41.14	
	34.9	54.351	40.30	62.856	46.15	63.647	20.60	44.045	42.52	
	44.9	54.329	41.68	62.859	47.40	63.672	19.78	44.081	43.92	
Miejsce śr. 2015.5		50 ^s .208	43".91	60 ^s .043	35".40	60 ^s .690	31".46	39 ^s .973	50".65	
sec δ	tan δ	+1.440	+1.036	+1.000	-0.021	+1.008	+0.130	+1.413	+0.998	
dwukrotne górowanie		XII.11		XII.15		XII.20		XII.21		
a	a'	+0.221	+0.183	+0.152	+0.100	+0.162	+0.017	+0.220	-0.003	
b	b'	+0.013	-0.983	-0.000	-0.995	+0.000	-1.000	-0.000	-1.000	

MIEJSKA POZORNE GWIAZD 2015
w momencie ich górowania w południku Greenwich

UT1	α Canis Maioris A*)			24H Camelopardalis		β Geminorum		ι Ursae Maioris			
	-1 ^m 46		Sirius	A0	4 ^m 55	K5	1 ^m 14	Pollux	K0	3 ^m 14	A5
	α_{app}^{γ}	δ_{app}			α_{app}^{γ}	δ_{app}	α_{app}^{γ}	δ_{app}		α_{app}^{γ}	δ_{app}
Styczeń		6 ^h 45 ^m	-16° 44'		7 ^h 02 ^m	+76° 56'	7 ^h 46 ^m	+27° 58'		9 ^h 00 ^m	+47° 58'
	0.0	50.029	26.91	20.146	66.81	15 ^s 605	66".13	15.235	36".24		
	10.0	50.095	29.29	20.437	69.64	15.774	66.21	15.536	37.05		
	20.0	50.112	31.51	20.531	72.55	15.890	66.49	15.777	38.21		
Luty	29.9	50.078	33.49	20.413	75.41	15.946	66.93	15.946	39.66		
	8.9	49.998	35.20	20.105	78.08	15.947	67.49	16.042	41.32		
	18.9	49.876	36.62	19.618	80.52	15.892	68.15	16.064	43.14		
Marzec	28.8	49.718	37.71	18.971	82.57	15.787	68.84	16.014	45.01		
	10.8	49.536	38.48	18.210	84.17	15.644	69.52	15.901	46.83		
	20.8	49.337	38.94	17.359	85.28	15.470	70.15	15.735	48.55		
	30.8	49.132	39.04	16.462	85.83	15.277	70.70	15.525	50.07		
Kwiecień	9.7	48.933	38.84	15.568	85.84	15.078	71.13	15.289	51.34		
	19.7	48.746	38.34	14.700	85.31	14.881	71.44	15.036	52.33		
	29.7	48.582	37.52	13.905	84.24	14.699	71.61	14.781	52.96		
	9.7	48.448	36.44	13.214	82.72	14.541	71.65	14.537	53.26		
Maj	19.6	48.345	35.09	12.640	80.79	14.410	71.57	14.311	53.22		
	29.6	48.282	33.51	12.218	78.51	14.315	71.38	14.114	52.83		
	8.6	48.258	31.75	11.951	75.99	14.259	71.09	13.954	52.13		
	18.5	48.271	29.83	11.844	73.27	14.239	70.73	13.830	51.14		
Czerwiec	28.5	48.326	27.81	11.911	70.45	14.262	70.30	13.751	49.87		
	8.5	48.416	25.75	12.135	67.61	14.321	69.82	13.716	48.40		
	18.5	48.541	23.69	12.515	64.78	14.417	69.29	13.725	46.73		
	28.4	48.699	21.72	13.048	62.07	14.549	68.72	13.780	44.89		
Sierpień	7.4	48.883	19.91	13.708	59.53	14.710	68.11	13.877	42.95		
	17.4	49.094	18.30	14.494	57.18	14.902	67.45	14.018	40.90		
	27.4	49.326	16.99	15.389	55.11	15.123	66.74	14.201	38.80		
	6.3	49.575	16.02	16.367	53.34	15.365	65.98	14.423	36.69		
Wrzesień	16.3	49.841	15.43	17.425	51.89	15.632	65.17	14.685	34.57		
	26.3	50.117	15.29	18.539	50.83	15.919	64.31	14.985	32.51		
	6.2	50.399	15.58	19.685	50.15	16.222	63.41	15.319	30.53		
	16.2	50.686	16.32	20.857	49.89	16.542	62.49	15.687	28.67		
Paźdz.	26.2	50.970	17.51	22.019	50.08	16.871	61.57	16.083	27.00		
	5.2	51.246	19.07	23.153	50.70	17.205	60.69	16.500	25.52		
	15.1	51.510	20.98	24.239	51.77	17.539	59.86	16.934	24.32		
	25.1	51.752	23.17	25.237	53.28	17.863	59.15	17.371	23.43		
Grudzień	5.1	51.968	25.53	26.130	55.18	18.171	58.56	17.803	22.88		
	15.1	52.150	28.02	26.890	57.46	18.453	58.15	18.217	22.71		
	25.0	52.290	30.52	27.481	60.02	18.697	57.94	18.598	22.94		
	35.0	52.387	32.95	27.898	62.80	18.899	57.92	18.935	23.54		
	45.0	52.434	35.26	28.117	65.72	19.048	58.11	19.217	24.51		
Miejsce śr. 2015.5		49 ^s 609	18".65	18 ^s 291	76".56	15 ^s 738	75".20	15 ^s 709	47".17		
sec δ		+1.044	-0.301	+4.430	+4.316	+1.132	+0.531	+1.494	+1.110		
dwukrotne górowanie		I.02		I.06		I.17		II.05			
a	a'	+0.134	-0.199	+0.431	-0.269	+0.185	-0.447	+0.206	-0.708		
b	b'	+0.004	-0.980	-0.077	-0.963	-0.016	-0.894	-0.052	-0.706		

*) Podwójna; efemerydy dotyczą gwiazdy jaśniejszej.

MIEJSKA POZORNE GWIAZD 2015
w momencie ich górowania w południku Greenwich

UT1	α Hydrael		α Leonis		9H Draconis		β Ursae Maioris	
	1 ^m 98	K2	1 ^m 35	Regulus	B8	4 ^m 84	G5	2 ^m 37
	α_{app}^γ	δ_{app}	α_{app}^γ	δ_{app}	α_{app}^γ	δ_{app}	α_{app}^γ	δ_{app}
Styczeń	9 ^h 28 ^m	-8°43'	10 ^h 09 ^m	+11°53'	10 ^h 36 ^m	+75°37'	11 ^h 02 ^m	+56°17'
	0.1	20.851	34.07	11.194	25.15	20.667	42.94	44.657
	10.1	21.081	36.33	11.465	23.71	21.567	43.94	45.130
	20.1	21.271	38.50	11.701	22.51	22.370	45.49	45.562
Luty	30.0	21.411	40.51	11.891	21.58	23.035	47.57	45.934
	9.0	21.501	42.31	12.032	20.92	23.544	50.03	46.236
	19.0	21.542	43.88	12.124	20.54	23.887	52.82	46.463
	29.0	21.534	45.20	12.163	20.42	24.044	55.80	46.606
Marzec	10.9	21.484	46.26	12.158	20.52	24.025	58.83	46.667
	20.9	21.397	47.06	12.112	20.81	23.838	61.83	46.652
	30.9	21.281	47.60	12.030	21.26	23.489	64.64	46.562
	9.8	21.146	47.91	11.924	21.80	23.011	67.16	46.413
Kwiecień	19.8	20.998	47.98	11.798	22.42	22.422	69.33	46.213
	29.8	20.846	47.83	11.662	23.08	21.746	71.03	45.971
	9.8	20.698	47.48	11.524	23.74	21.025	72.23	45.707
	19.7	20.557	46.94	11.387	24.39	20.271	72.91	45.425
Czerwiec	29.7	20.430	46.21	11.259	25.00	19.520	73.02	45.139
	8.7	20.322	45.33	11.144	25.56	18.800	72.60	44.861
	18.7	20.232	44.31	11.044	26.07	18.119	71.65	44.595
	28.6	20.166	43.17	10.963	26.50	17.508	70.19	44.351
Lipiec	8.6	20.124	41.96	10.902	26.85	16.980	68.29	44.136
	18.6	20.106	40.70	10.861	27.11	16.539	65.98	43.951
	28.5	20.116	39.43	10.845	27.25	16.209	63.30	43.806
	7.5	20.152	38.21	10.853	27.28	15.987	60.35	43.700
Sierpień	17.5	20.215	37.06	10.886	27.16	15.878	57.15	43.638
	27.5	20.309	36.08	10.947	26.88	15.897	53.78	43.626
	6.4	20.430	35.29	11.036	26.42	16.033	50.34	43.662
	16.4	20.583	34.75	11.156	25.77	16.294	46.83	43.753
Wrzesień	26.4	20.766	34.51	11.309	24.90	16.684	43.38	43.902
	6.4	20.978	34.60	11.493	23.83	17.187	40.05	44.105
	16.3	21.221	35.05	11.711	22.54	17.813	36.88	44.370
	26.3	21.488	35.86	11.960	21.05	18.548	34.01	44.692
Paźdz.	5.3	21.777	37.02	12.236	19.41	19.376	31.45	45.067
	15.2	22.083	38.52	12.538	17.63	20.295	29.29	45.493
	25.2	22.395	40.31	12.855	15.78	21.274	27.63	45.959
	5.2	22.708	42.31	13.180	13.90	22.291	26.48	46.453
Listopad	15.2	23.012	44.49	13.506	12.07	23.326	25.92	46.967
	25.1	23.294	46.75	13.818	10.35	24.335	25.97	47.477
	35.1	23.547	49.02	14.109	08.79	25.294	26.60	47.972
	45.1	23.763	51.24	14.369	07.45	26.172	27.83	48.435
Miejsce śr. 2015.5	20. ^s 947	35. ^{''} 42	11. ^s 758	27. ^{''} 20	22. ^s 210	56. ^{''} 61	46. ^s 046	56. ^{''} 31
sec δ	tan δ	+1.012	-0.153	+1.022	+0.211	+4.030	+3.904	+1.802
dwukrotne górowanie		II.12		II.22		III.01		III.08
a	a'	+0.147	-0.789	+0.160	-0.885	+0.246	-0.934	+0.178
b	b'	+0.008	-0.614	-0.012	-0.465	-0.243	-0.357	-0.097
								-0.247

MIEJSKA POZORNE GWIAZD 2015
w momencie ich górowania w południku Greenwich

UT1	α Ursae Maioris			γ Ursae Maioris		ε Ursae Maioris		ζ Ursae Maioris	
	1 ^m 79	Dubhe	K0	2 ^m 44	A0	1 ^m 77	A0p	2 ^m 27	A2p
	α_{app}^γ	δ_{app}		α_{app}^γ	δ_{app}		α_{app}^γ	δ_{app}	
Styczeń		11 ^h 04 ^m	+61°39'	11 ^h 54 ^m	+53°36'	12 ^h 54 ^m	+55°52'	13 ^h 24 ^m	+54°50'
	0.2	38. ^s 853	48."78	36.659	21."33	40. ^s 244	25."63	30.515	34."75
	10.2	39.390	48.94	37.128	20.64	40.734	24.29	30.987	33.05
	20.1	39.883	49.68	37.574	20.52	41.221	23.54	31.463	31.93
Luty	30.1	40.307	50.97	37.978	20.99	41.684	23.44	31.927	31.46
	9.1	40.653	52.72	38.327	21.99	42.108	23.94	32.361	31.61
	19.0	40.912	54.87	38.616	23.49	42.483	25.02	32.756	32.37
Marzec	1.0	41.073	57.34	38.832	25.43	42.795	26.65	33.097	33.72
	11.0	41.141	59.98	38.975	27.67	43.039	28.71	33.376	35.56
	21.0	41.119	62.72	39.048	30.14	43.213	31.13	33.593	37.81
	30.9	41.010	65.41	39.048	32.74	43.313	33.81	33.739	40.40
Kwiecień	9.9	40.829	67.95	38.987	35.33	43.344	36.60	33.820	43.16
	19.9	40.587	70.27	38.871	37.84	43.312	39.43	33.838	46.03
	29.9	40.296	72.26	38.707	40.15	43.219	42.17	33.793	48.88
Maj	9.8	39.974	73.85	38.509	42.19	43.077	44.71	33.697	51.59
	19.8	39.631	75.02	38.282	43.91	42.891	47.00	33.553	54.12
Czerwiec	29.8	39.281	75.71	38.037	45.22	42.668	48.94	33.367	56.33
	8.7	38.940	75.92	37.786	46.12	42.422	50.48	33.150	58.17
	18.7	38.610	75.66	37.530	46.59	42.154	51.60	32.905	59.63
Lipiec	28.7	38.307	74.90	37.281	46.58	41.875	52.23	32.640	60.62
	8.7	38.038	73.71	37.046	46.13	41.593	52.40	32.365	61.14
Sierpień	18.6	37.804	72.10	36.825	45.25	41.312	52.09	32.081	61.20
	28.6	37.617	70.09	36.630	43.94	41.041	51.29	31.800	60.75
	7.6	37.478	67.77	36.462	42.25	40.787	50.05	31.528	59.84
Wrzesień	17.6	37.391	65.14	36.326	40.19	40.554	48.37	31.268	58.47
	27.5	37.363	62.26	36.230	37.81	40.354	46.27	31.034	56.66
	6.5	37.393	59.21	36.176	35.16	40.189	43.83	30.830	54.46
Paźdz.	16.5	37.487	56.00	36.169	32.26	40.068	41.04	30.664	51.89
	26.4	37.648	52.74	36.217	29.18	40.001	37.99	30.548	48.99
	6.4	37.873	49.47	36.319	25.98	39.990	34.72	30.483	45.84
Listopad	16.4	38.169	46.24	36.481	22.69	40.043	31.28	30.481	42.46
	26.4	38.531	43.17	36.705	19.43	40.166	27.77	30.547	38.95
	5.3	38.953	40.29	36.987	16.25	40.355	24.25	30.680	35.38
Grudzień	15.3	39.435	37.69	37.327	13.21	40.615	20.79	30.886	31.81
	25.3	39.961	35.48	37.719	10.44	40.941	17.52	31.161	28.37
	5.3	40.521	33.68	38.150	07.98	41.324	14.50	31.497	25.13
	15.2	41.103	32.38	38.615	05.92	41.758	11.83	31.890	22.19
	25.2	41.682	31.64	39.094	04.36	42.227	09.63	32.326	19.67
	35.2	42.245	31.44	39.573	03.31	42.716	07.92	32.789	17.62
	45.1	42.773	31.84	40.040	02.84	43.211	06.79	33.269	16.12
Miejsce śr. 2015.5	40. ^s 347	60." ⁶⁹	38. ^s 374	30." ⁷⁵	42. ^s 424	33." ⁴²	32. ^s 839	41." ¹⁶	
sec δ	tan δ	+2.107	+1.855	+1.685	+1.357	+1.783	+1.476	+1.737	+1.420
dwukrotne górowanie		III.08		III.21		IV.05		IV.13	
a	a'	+0.183	-0.971	+0.156	-1.000	+0.130	-0.972	+0.119	-0.933
b	b'	-0.120	-0.239	-0.090	-0.023	-0.096	+0.236	-0.088	+0.361

MIEJSKA POZORNE GWIAZD 2015
w momencie ich górowania w południku Greenwich

UT1	α Virginis			η Ursae Maioris		4 Ursae Minoris		α Bootis	
	0 ^m 98		Spica	B2	1 ^m 86		B3	4 ^m 82	
	α_{app}^{γ}	δ_{app}	α_{app}^{γ}	δ_{app}	α_{app}^{γ}	δ_{app}	α_{app}^{γ}	δ_{app}	α_{app}^{γ}
		13 ^h 25 ^m	-11°14'	13 ^h 48 ^m	+49°13'	14 ^h 08 ^m	+77°28'	14 ^h 16 ^m	+19°05'
Styczeń	0.3	59 ^s 234	16.76	06.728	66.58	43.686	21.63	20.227	73.73
	10.3	59.563	18.71	07.146	64.55	44.686	19.81	20.543	71.44
	20.2	59.889	20.68	07.574	63.05	45.753	18.60	20.868	69.41
	30.2	60.199	22.61	07.997	62.18	46.844	18.09	21.189	67.76
Luty	9.2	60.486	24.42	08.398	61.91	47.911	18.24	21.497	66.50
	19.1	60.745	26.09	08.770	62.25	48.931	19.06	21.786	65.68
Marzec	1.1	60.970	27.57	09.099	63.20	49.854	20.53	22.047	65.32
	11.1	61.159	28.82	09.378	64.66	50.652	22.54	22.276	65.40
	21.1	61.313	29.85	09.606	66.60	51.310	25.02	22.473	65.88
	31.0	61.431	30.65	09.774	68.91	51.793	27.89	22.634	66.74
Kwiecień	10.0	61.515	31.23	09.886	71.47	52.100	30.97	22.760	67.89
	20.0	61.570	31.62	09.944	74.20	52.231	34.20	22.853	69.29
	30.0	61.594	31.81	09.947	76.98	52.174	37.42	22.911	70.86
	9.9	61.594	31.84	09.903	79.70	51.951	40.52	22.940	72.50
Maj	19.9	61.570	31.73	09.815	82.30	51.570	43.44	22.939	74.19
	29.9	61.523	31.49	09.686	84.65	51.040	46.02	22.910	75.83
Czerwiec	8.8	61.459	31.15	09.526	86.70	50.395	48.22	22.857	77.36
	18.8	61.376	30.71	09.336	88.41	49.641	49.99	22.780	78.77
	28.8	61.277	30.19	09.122	89.69	48.804	51.25	22.680	79.99
Lipiec	8.8	61.167	29.60	08.894	90.56	47.915	51.99	22.563	80.99
	18.7	61.045	28.95	08.650	90.98	46.980	52.21	22.429	81.77
Sierpień	28.7	60.919	28.26	08.402	90.91	46.034	51.86	22.282	82.27
	7.7	60.791	27.56	08.155	90.41	45.097	51.00	22.129	82.52
	17.7	60.665	26.85	07.913	89.45	44.181	49.62	21.970	82.48
Wrzesień	27.6	60.550	26.17	07.688	88.03	43.320	47.74	21.817	82.15
	6.6	60.452	25.56	07.485	86.22	42.527	45.44	21.673	81.53
	16.6	60.375	25.04	07.311	84.00	41.820	42.71	21.545	80.62
Paźdz.	26.5	60.331	24.66	07.178	81.43	41.229	39.62	21.444	79.41
	6.5	60.322	24.46	07.089	78.57	40.761	36.26	21.374	77.92
Listopad	16.5	60.355	24.47	07.055	75.43	40.436	32.65	21.342	76.15
	26.5	60.436	24.74	07.082	72.10	40.278	28.90	21.357	74.11
Grudzień	5.4	60.564	25.27	07.170	68.65	40.281	25.08	21.419	71.86
	15.4	60.740	26.09	07.325	65.13	40.465	21.26	21.532	69.39
Grudzień	25.4	60.962	27.20	07.546	61.67	40.831	17.59	21.696	66.79
	5.4	61.222	28.56	07.824	58.33	41.362	14.13	21.904	64.11
	15.3	61.516	30.17	08.158	55.22	42.061	10.98	22.155	61.42
	25.3	61.831	31.96	08.535	52.46	42.901	08.28	22.439	58.81
	35.3	62.158	33.87	08.942	50.11	43.852	06.08	22.746	56.35
	45.2	62.488	35.85	09.369	48.26	44.896	04.47	23.069	54.12
Miejsce sr. 2015.5		60 ^s 705	30.39	08.998	70.89	48 ^s 581	28.65	22 ^s 126	68.19
sec δ	tan δ	+1.020	-0.199	+1.532	+1.160	+4.611	+4.501	+1.058	+0.346
dwukrotne górowanie		IV.13		IV.19		IV.24		IV.26	
a	a'	+0.158	-0.930	+0.118	-0.891	-0.006	-0.846	+0.141	-0.828
b	b'	+0.012	+0.367	-0.069	+0.455	-0.254	+0.533	-0.019	+0.561

MIEJSKA POZORNE GWIAZD 2015
w momencie ich górowania w południku Greenwich

UT1	β Ursae Minoris		γ Ursae Minoris		α Coronae Borealis		ζ Ursae Minoris	
	2 ^m 08	K5	3 ^m 05	A2	2 ^m 23	A0	4 ^m 32	A2
	α_{app}^γ	δ_{app}	α_{app}^γ	δ_{app}	α_{app}^γ	δ_{app}	α_{app}^γ	δ_{app}
Styczeń		14 ^h 50 ^m	+74°05'	15 ^h 20 ^m	+71°46'	15 ^h 35 ^m	+26°39'	15 ^h 43 ^m
	0.3	36. ^s 135	26.95	38.775	41.09	18. ^s 376	52.53	26.495
	10.3	36.870	24.59	39.372	38.38	18.659	49.91	27.246
	20.3	37.682	22.78	40.050	36.18	18.965	47.57	28.136
Luty	30.3	38.541	21.64	40.786	34.61	19.285	45.61	29.134
	9.2	39.407	21.16	41.544	33.68	19.608	44.10	30.190
	19.2	40.261	21.36	42.309	33.43	19.927	43.07	31.280
Marzec	1.2	41.066	22.26	43.047	33.90	20.233	42.58	32.357
	11.2	41.792	23.75	43.733	35.00	20.520	42.62	33.378
	21.1	42.428	25.81	44.354	36.70	20.785	43.15	34.321
	31.1	42.942	28.35	44.881	38.95	21.021	44.18	35.143
Kwiecień	10.1	43.328	31.21	45.305	41.60	21.226	45.59	35.822
	20.0	43.583	34.34	45.622	44.58	21.402	47.36	36.349
	30.0	43.692	37.58	45.815	47.77	21.542	49.39	36.695
	10.0	43.666	40.81	45.891	51.03	21.649	51.58	36.866
Maj	20.0	43.510	43.97	45.851	54.29	21.723	53.88	36.860
	29.9	43.223	46.90	45.692	57.41	21.760	56.18	36.671
Czerwiec	8.9	42.830	49.52	45.432	60.29	21.765	58.40	36.323
	18.9	42.335	51.80	45.072	62.89	21.735	60.52	35.817
	28.9	41.751	53.63	44.623	65.08	21.670	62.43	35.167
Lipiec	8.8	41.103	54.98	44.104	66.85	21.577	64.10	34.403
	18.8	40.395	55.85	43.519	68.16	21.453	65.51	33.530
	28.8	39.652	56.15	42.886	68.94	21.303	66.59	32.574
Sierpień	7.7	38.893	55.95	42.225	69.21	21.134	67.35	31.566
	17.7	38.126	55.22	41.540	68.96	20.947	67.77	30.512
	27.7	37.379	53.95	40.858	68.16	20.752	67.81	29.450
Wrzesień	6.7	36.667	52.22	40.193	66.88	20.555	67.50	28.403
	16.6	36.003	50.01	39.557	65.10	20.364	66.82	27.385
	26.6	35.416	47.38	38.977	62.85	20.189	65.77	26.438
Paźdz.	6.6	34.914	44.40	38.463	60.21	20.039	64.37	25.577
	16.5	34.517	41.08	38.032	57.17	19.921	62.62	24.824
Listopad	26.5	34.246	37.53	37.707	53.83	19.846	60.55	24.216
	5.5	34.103	33.81	37.492	50.27	19.816	58.21	23.757
	15.5	34.105	29.98	37.402	46.51	19.839	55.60	23.475
Grudzień	25.4	34.259	26.19	37.448	42.71	19.917	52.80	23.386
	5.4	34.554	22.51	37.622	38.95	20.047	49.89	23.484
	15.4	34.996	19.03	37.932	35.30	20.228	46.92	23.783
	25.4	35.569	15.90	38.367	31.94	20.455	44.00	24.273
	35.3	36.250	13.19	38.907	28.92	20.718	41.22	24.931
	45.3	37.028	11.00	39.545	26.36	21.012	38.66	25.749
Miejsce śr. 2015.5		40. ^s 534	31.56	42. ^s 915	43.87	20. ^s 684	47.89	32. ^s 094
sec δ	tan δ	+3.648	+3.509	+3.198	+3.038	+1.119	+0.502	+4.712
dwukrotne górowanie		V.05		V.12		V.16		V.18
a	a'	-0.005	-0.735	-0.002	-0.640	+0.126	-0.590	-0.101
b	b'	-0.172	+0.678	-0.130	+0.768	-0.020	+0.807	-0.172
								+0.828

MIEJSKA POZORNE GWIAZD 2015
w momencie ich górowania w południku Greenwich

UT1	β Herculis		β Draconis		γ Draconis		χ Draconis	
	2 ^m 77	K0	2 ^m 79	G0	2 ^m 23	K5	3 ^m 57	F8
	α_{app}^{γ}	δ_{app}	α_{app}^{γ}	δ_{app}	α_{app}^{γ}	δ_{app}	α_{app}^{γ}	δ_{app}
Styczeń		16 ^h 30 ^m	+21°27'	17 ^h 30 ^m	+52°17'	17 ^h 56 ^m	+51°29'	18 ^h 20 ^m
	0.4	50. ^s 815	30." ⁷⁸	44.194	30." ⁶²	55. ^s 230	21." ⁵⁶	42.491
	10.4	51.049	28.20	44.384	27.18	55.380	18.10	42.599
	20.4	51.313	25.80	44.634	23.94	55.591	14.78	42.845
Luty	30.3	51.599	23.71	44.939	21.05	55.859	11.76	43.230
	9.3	51.897	21.97	45.282	18.62	56.170	09.15	43.728
	19.3	52.201	20.65	45.659	16.70	56.519	07.01	44.329
Marzec	1.2	52.504	19.83	46.058	15.42	56.897	05.47	45.014
	11.2	52.797	19.49	46.464	14.78	57.289	04.56	45.750
	21.2	53.079	19.65	46.872	14.79	57.691	04.29	46.522
	31.2	53.342	20.30	47.268	15.48	58.088	04.70	47.302
Kwiecień	10.1	53.584	21.37	47.642	16.77	58.470	05.72	48.058
	20.1	53.804	22.82	47.990	18.62	58.834	07.33	48.780
	30.1	53.995	24.59	48.299	20.96	59.165	09.47	49.434
Maj	10.1	54.157	26.57	48.565	23.66	59.458	12.01	50.006
	20.0	54.290	28.73	48.784	26.68	59.709	14.91	50.485
Czerwiec	30.0	54.386	30.96	48.946	29.88	59.907	18.05	50.849
	9.0	54.450	33.19	49.052	33.15	60.052	21.31	51.095
	18.9	54.477	35.37	49.100	36.43	60.139	24.64	51.219
Lipiec	28.9	54.466	37.41	49.085	39.60	60.164	27.90	51.210
	8.9	54.420	39.27	49.013	42.58	60.131	31.02	51.080
	18.9	54.338	40.93	48.882	45.33	60.037	33.95	50.825
Sierpień	28.8	54.223	42.31	48.695	47.74	59.884	36.58	50.449
	7.8	54.080	43.42	48.461	49.77	59.682	38.87	49.974
	17.8	53.910	44.23	48.182	51.41	59.429	40.80	49.398
Wrzesień	27.8	53.723	44.69	47.868	52.57	59.137	42.27	48.742
	6.7	53.525	44.84	47.530	53.27	58.816	43.29	48.025
	16.7	53.323	44.65	47.175	53.47	58.472	43.84	47.256
Paźdz.	26.7	53.129	44.10	46.818	53.15	58.120	43.86	46.463
	6.6	52.951	43.22	46.471	52.35	57.772	43.41	45.666
Listopad	16.6	52.798	41.99	46.142	51.03	57.437	42.43	44.879
	26.6	52.680	40.43	45.850	49.22	57.131	40.94	44.135
	5.6	52.602	38.57	45.602	46.98	56.864	38.99	43.448
Grudzień	15.5	52.572	36.42	45.407	44.31	56.644	36.59	42.838
	25.5	52.594	34.03	45.278	41.29	56.485	33.80	42.334
	5.5	52.666	31.46	45.214	38.00	56.388	30.69	41.940
	15.5	52.790	28.76	45.223	34.49	56.359	27.32	41.675
	25.4	52.962	26.03	45.305	30.91	56.401	23.82	41.554
	35.4	53.173	23.34	45.453	27.36	56.509	20.29	41.570
	45.4	53.421	20.78	45.668	23.94	56.683	16.82	41.732
Miejsce śr. 2015.5		53. ^s 222	24." ¹⁴	47.020	25." ⁶²	57. ^s 995	15." ⁵⁵	46. ^s 535
sec δ	tan δ	+1.074	+0.393	+1.635	+1.293	+1.606	+1.257	+3.370
dwukrotne górowanie		V.30		VI.14		VI.21		VI.27
a	a'	+0.129	-0.379	+0.068	-0.127	+0.070	-0.013	-0.060
b	b'	-0.010	+0.925	-0.011	+0.992	-0.001	+1.000	+0.019
								+0.996

MIEJSKA POZORNE GWIAZD 2015
w momencie ich górowania w południku Greenwich

UT1	α Lyrae			ν Draconis		σ Sagittarii		τ Draconis	
	0 ^m 03	Vega	A0	4 ^m 82	K0	2 ^m 02	B3	4 ^m 45	K0
	α_{app}^γ	δ_{app}		α_{app}^γ	δ_{app}		α_{app}^γ	δ_{app}	
Styczeń	18 ^h 37 ^m	+38°47'		18 ^h 54 ^m	+71°18'	18 ^h 56 ^m	-26°16'	19 ^h 15 ^m	+73°22'
	25. ^s 321	62".63		08. ^s 603	71".96	10. ^s 420	29".02	10.940	71".00
	25.423	59.51		08.606	68.44	10.552	28.71	10.858	67.54
	25.572	56.44		08.737	64.90	10.723	28.41	10.921	64.02
Luty	25.768	53.56		09.001	61.52	10.930	28.10	11.135	60.59
	26.001	50.99		09.377	58.42	11.165	27.80	11.482	57.39
	26.268	48.80		09.860	55.69	11.425	27.47	11.956	54.50
Marzec	26.562	47.12		10.436	53.48	11.706	27.11	12.544	52.09
	26.874	45.98		11.076	51.85	12.000	26.70	13.215	50.21
	27.201	45.41		11.767	50.83	12.308	26.25	13.958	48.92
	27.534	45.48		12.485	50.51	12.623	25.77	14.742	48.31
Kwiecień	27.865	46.13		13.202	50.83	12.941	25.25	15.538	48.35
	28.190	47.34		13.904	51.80	13.261	24.71	16.330	49.03
	28.499	49.07		14.563	53.39	13.575	24.19	17.085	50.36
Maj	28.786	51.23		15.159	55.50	13.879	23.70	17.779	52.22
	29.048	53.77		15.685	58.07	14.168	23.27	18.403	54.59
Czerwiec	29.274	56.58		16.113	61.02	14.435	22.92	18.925	57.38
	29.461	59.57		16.441	64.22	14.674	22.68	19.339	60.46
	29.605	62.67		16.661	67.63	14.880	22.55	19.636	63.80
Lipiec	29.700	65.77		16.758	71.11	15.045	22.54	19.799	67.26
	29.746	68.79		16.741	74.57	15.169	22.65	19.834	70.75
Sierpień	29.741	71.69		16.607	77.96	15.245	22.87	19.737	74.22
	29.684	74.36		16.354	81.16	15.271	23.19	19.506	77.55
	29.580	76.76		15.999	84.11	15.251	23.58	19.158	80.68
Wrzesień	29.430	78.86		15.542	86.78	15.183	24.02	18.692	83.56
	29.239	80.58		14.997	89.05	15.072	24.47	18.121	86.08
	29.018	81.91		14.385	90.92	14.926	24.90	17.469	88.24
Paźdz.	28.769	82.83		13.710	92.35	14.750	25.29	16.738	89.97
	28.507	83.28		12.997	93.26	14.557	25.60	15.955	91.21
	28.241	83.30		12.266	93.68	14.356	25.82	15.143	91.97
Listopad	27.978	82.84		11.529	93.55	14.157	25.95	14.313	92.19
	27.735	81.91		10.816	92.86	13.973	25.97	13.498	91.85
	27.517	80.54		10.142	91.67	13.815	25.90	12.715	90.99
Grudzień	27.334	78.73		09.525	89.92	13.690	25.74	11.983	89.56
	27.196	76.51		08.993	87.68	13.607	25.52	11.334	87.62
	27.105	73.96		08.552	85.02	13.569	25.26	10.778	85.21
	27.066	71.11		08.220	81.96	13.579	24.97	10.334	82.37
	27.083	68.06		08.015	78.63	13.639	24.67	10.025	79.20
	27.151	64.92		07.932	75.12	13.742	24.39	09.849	75.80
	27.271	61.75		07.983	71.52	13.889	24.11	09.821	72.26
Miejsce śr. 2015.5	27. ^s 836	55." ^s 81		12. ^s 170	63." ^s 52	13. ^s 532	34." ^s 25	14. ^s 543	61." ^s 67
sec δ	+1.283	+0.804		+3.122	+2.957	+1.115	-0.494	+3.497	+3.351
dwukrotne górowanie	VII.01			VII.05		VII.06		VII.11	
a	a'	+0.101	+0.163	-0.038	+0.234	+0.185	+0.243	-0.058	+0.322
b	b'	+0.009	+0.987	+0.046	+0.972	-0.008	+0.970	+0.072	+0.947

MIEJSKA POZORNE GWIAZD 2015
w momencie ich górowania w południku Greenwich

UT1	ι Cygni		α Aquilae		κ Cephei		α Cygni		
	3 ^m 79	A2	0 ^m 77	Altair	A5	4 ^m 39	B9	1 ^m 25	Deneb
	α_{app}^γ	δ_{app}	α_{app}^γ	δ_{app}	α_{app}^γ	δ_{app}	α_{app}^γ		δ_{app}
Styczeń		19 ^h 30 ^m	+51°45'	19 ^h 51 ^m	+8°54'	20 ^h 08 ^m	+77°45'	20 ^h 41 ^m	+45°19'
	0.5	03.298	56.61	29.897	40.85	16.804	38.16	55.560	79.50
	10.5	03.305	53.32	29.949	39.22	16.432	35.01	55.493	76.72
	20.5	03.374	49.97	30.036	37.59	16.245	31.65	55.474	73.75
Luty	30.5	03.507	46.69	30.159	36.02	16.264	28.21	55.508	70.72
	9.4	03.697	43.63	30.311	34.61	16.475	24.85	55.592	67.75
	19.4	03.940	40.87	30.491	33.40	16.875	21.65	55.725	64.93
Marzec	1.4	04.233	38.55	30.699	32.47	17.458	18.78	55.909	62.41
	11.3	04.563	36.76	30.927	31.87	18.190	16.35	56.137	60.28
	21.3	04.927	35.52	31.176	31.61	19.053	14.41	56.406	58.60
	31.3	05.315	34.95	31.442	31.75	20.019	13.08	56.713	57.48
Kwiecień	10.3	05.713	35.00	31.719	32.26	21.041	12.38	57.046	56.93
	20.2	06.118	35.68	32.006	33.14	22.100	12.30	57.403	56.97
	30.2	06.514	36.98	32.295	34.36	23.150	12.89	57.772	57.62
Maj	10.2	06.892	38.80	32.581	35.86	24.156	14.07	58.143	58.81
	20.2	07.246	41.12	32.860	37.60	25.100	15.81	58.509	60.53
Czerwiec	30.1	07.562	43.85	33.123	39.52	25.938	18.07	58.858	62.72
	9.1	07.834	46.86	33.366	41.55	26.652	20.73	59.182	65.28
	19.1	08.056	50.12	33.582	43.64	27.230	23.75	59.473	68.17
Lipiec	29.0	08.219	53.51	33.764	45.72	27.641	27.04	59.719	71.29
	9.0	08.322	56.92	33.908	47.73	27.888	30.47	59.919	74.54
Sierpień	19.0	08.361	60.31	34.012	49.65	27.964	34.01	60.066	77.87
	29.0	08.334	63.57	34.070	51.41	27.858	37.54	60.153	81.18
	7.9	08.246	66.62	34.084	52.99	27.589	40.98	60.185	84.39
Wrzesień	17.9	08.097	69.44	34.054	54.38	27.152	44.30	60.158	87.47
	27.9	07.891	71.91	33.982	55.52	26.559	47.37	60.075	90.31
	6.9	07.641	74.02	33.875	56.44	25.836	50.15	59.943	92.88
Paźdz.	16.8	07.349	75.73	33.736	57.12	24.986	52.60	59.764	95.13
	26.8	07.028	76.95	33.574	57.54	24.036	54.63	59.547	96.99
	6.8	06.690	77.72	33.399	57.72	23.015	56.22	59.304	98.44
Listopad	16.7	06.343	77.97	33.216	57.65	21.934	57.32	59.039	99.45
	26.7	06.003	77.69	33.039	57.32	20.832	57.86	58.766	99.96
	5.7	05.681	76.90	32.874	56.77	19.734	57.88	58.494	100.01
Grudzień	15.7	05.385	75.58	32.729	55.97	18.661	57.32	58.230	99.53
	25.6	05.130	73.75	32.614	54.96	17.658	56.18	57.987	98.54
	5.6	04.921	71.49	32.530	53.74	16.741	54.52	57.771	97.09
	15.6	04.765	68.80	32.482	52.33	15.939	52.32	57.588	95.16
	25.6	04.670	65.80	32.473	50.80	15.289	49.68	57.447	92.84
	35.5	04.635	62.57	32.501	49.17	14.797	46.68	57.349	90.20
	45.5	04.664	59.20	32.566	47.49	14.488	43.39	57.298	87.30
Miejsce śr. 2015.5	05. ^s 774	48.03	32. ^s 363	36. ⁸⁶	20. ^s 401	26. ⁷⁵	57. ^s 648	70. ⁷⁹	
sec δ	tan δ	+1.616	+1.269	+1.012	+0.157	+4.716	+4.609	+1.423	+1.012
dwukrotne górowanie		VII.14		VII.20		VII.24		VIII.02	
a	a'	+0.075	+0.383	+0.144	+0.468	-0.107	+0.531	+0.102	+0.649
b	b'	+0.032	+0.924	+0.005	+0.884	+0.163	+0.847	+0.044	+0.761

MIEJSKA POZORNE GWIAZD 2015
w momencie ich górowania w południku Greenwich

UT1	α Cephei		β Cephei		11 Cephei		ε Pegasi	
	2 ^m 44	A5	3 ^m 23	B1	4 ^m 56	K0	0 ^m 7–3 ^m 5	K0
	α_{app}^γ	δ_{app}	α_{app}^γ	δ_{app}	α_{app}^γ	δ_{app}	α_{app}^γ	δ_{app}
Styczeń		21 ^h 18 ^m	+62°38'	21 ^h 28 ^m	+70°37'	21 ^h 42 ^m	+71°22'	21 ^h 44 ^m
	0.6	54. ^s 971	77".03	49.329	56".53	06. ^s 809	71".32	54.794
	10.6	54.743	74.37	48.947	53.99	06.382	68.93	54.745
	20.6	54.583	71.37	48.657	51.07	06.046	66.12	54.721
Luty	30.5	54.504	68.16	48.480	47.87	05.823	63.01	54.728
	9.5	54.506	64.89	48.418	44.56	05.717	59.75	54.765
	19.5	54.590	61.64	48.473	41.22	05.733	56.41	54.831
Marzec	1.4	54.761	58.57	48.655	38.01	05.881	53.17	54.930
	11.4	55.010	55.81	48.949	35.07	06.148	50.16	55.061
	21.4	55.335	53.43	49.352	32.46	06.532	47.45	55.224
	31.4	55.728	51.57	49.856	30.35	07.025	45.21	55.420
Kwiecień	10.3	56.173	50.27	50.434	28.77	07.601	43.48	55.643
	20.3	56.663	49.56	51.078	27.77	08.252	42.31	55.894
	30.3	57.182	49.50	51.764	27.42	08.953	41.78	56.167
Maj	10.3	57.711	50.05	52.465	27.68	09.677	41.86	56.456
	20.2	58.242	51.19	53.171	28.55	10.412	42.55	56.756
Czerwiec	30.2	58.752	52.92	53.851	30.03	11.127	43.86	57.059
	9.2	59.230	55.11	54.486	32.01	11.802	45.68	57.356
	19.1	59.666	57.76	55.066	34.47	12.425	48.00	57.642
Lipiec	29.1	60.041	60.77	55.566	37.34	12.970	50.76	57.906
	9.1	60.350	64.03	55.977	40.51	13.428	53.83	58.144
Sierpień	19.1	60.587	67.51	56.293	43.94	13.790	57.19	58.348
	29.0	60.740	71.09	56.498	47.52	14.040	60.74	58.513
	8.0	60.815	74.68	56.597	51.16	14.182	64.37	58.636
Wrzesień	18.0	60.806	78.25	56.585	54.82	14.210	68.06	58.715
	28.0	60.713	81.68	56.462	58.38	14.122	71.68	58.748
	6.9	60.549	84.91	56.240	61.79	13.932	75.17	58.741
Paźdz.	16.9	60.312	87.89	55.919	64.98	13.638	78.47	58.693
	26.9	60.012	90.52	55.511	67.86	13.249	81.48	58.610
	6.8	59.665	92.78	55.032	70.39	12.784	84.16	58.500
Listopad	16.8	59.272	94.60	54.488	72.50	12.247	86.46	58.367
	26.8	58.853	95.91	53.898	74.12	11.656	88.26	58.221
	5.8	58.418	96.72	53.280	75.23	11.031	89.58	58.070
Grudzień	15.7	57.977	96.97	52.644	75.78	10.379	90.34	57.919
	25.7	57.548	96.62	52.014	75.73	09.727	90.50	57.776
	5.7	57.141	95.73	51.405	75.11	09.089	90.09	57.646
	15.7	56.766	94.26	50.832	73.87	08.480	89.06	57.533
	25.6	56.440	92.27	50.320	72.08	07.928	87.45	57.444
	35.6	56.167	89.83	49.877	69.81	07.441	85.34	57.377
	45.6	55.960	86.99	49.522	67.07	07.040	82.74	57.336
Miejsce śr. 2015.5		56. ^s 904	65".75	51.252	44".15	08. ^s 593	58".82	56.844
sec δ	tan δ	+2.177	+1.933	+3.015	+2.844	+3.132	+2.969	+1.015
dwukrotne górowanie		VIII.11		VIII.14		VIII.17		VIII.18
a	a'	+0.070	+0.763	+0.037	+0.790	+0.041	+0.824	+0.147
b	b'	+0.098	+0.646	+0.150	+0.613	+0.163	+0.566	+0.010
								+0.556

MIEJSKA POZORNE GWIAZD 2015
w momencie ich górowania w południku Greenwich

UT1	24 Cephei		α Piscis Austrini		α Pegasi		γ Cephei	
	4 ^m 79	G5	1 ^m 16	Fomalhaut A3	2 ^m 49	A0	3 ^m 21	K0
	α_{app}^γ	δ_{app}	α_{app}^γ	δ_{app}	α_{app}^γ	δ_{app}	α_{app}^γ	δ_{app}
Styczeń		22 ^h 10 ^m	+72°24'	22 ^h 58 ^m	-29°32'	23 ^h 05 ^m	+15°17'	23 ^h 39 ^m
	0.6	04. ^s 667	76."71	27.905	39."02	30. ^s 458	18."12	60.045
	10.6	04.157	74.64	27.800	38.74	30.355	16.97	59.130
	20.6	03.729	72.10	27.715	38.19	30.267	15.69	58.264
Luty	30.6	03.413	69.19	27.657	37.36	30.200	14.34	57.494
	9.5	03.213	66.05	27.627	36.28	30.156	13.01	56.848
	19.5	03.138	62.76	27.626	34.96	30.138	11.71	56.344
Marzec	1.5	03.202	59.48	27.661	33.41	30.154	10.55	56.021
	11.5	03.397	56.36	27.729	31.68	30.203	09.58	55.881
	21.4	03.721	53.47	27.834	29.77	30.288	08.84	55.933
	31.4	04.169	50.98	27.980	27.71	30.414	08.40	56.188
Kwiecień	10.4	04.718	48.96	28.162	25.55	30.577	08.29	56.623
	20.3	05.357	47.44	28.382	23.32	30.777	08.52	57.232
	30.3	06.066	46.55	28.638	21.07	31.013	09.13	57.997
Maj	10.3	06.814	46.25	28.923	18.85	31.276	10.07	58.878
	20.3	07.588	46.55	29.234	16.70	31.564	11.34	59.861
Czerwiec	30.2	08.357	47.49	29.564	14.70	31.868	12.92	60.907
	9.2	09.098	48.97	29.902	12.88	32.179	14.73	61.980
	19.2	09.798	50.97	30.244	11.30	32.492	16.75	63.061
Lipiec	29.2	10.428	53.45	30.577	10.00	32.795	18.91	64.108
	9.1	10.976	56.30	30.893	09.00	33.080	21.15	65.095
Sierpień	19.1	11.432	59.48	31.185	08.35	33.343	23.42	66.009
	29.1	11.778	62.92	31.443	08.05	33.574	25.65	66.813
	8.0	12.014	66.49	31.662	08.09	33.769	27.80	67.501
Wrzesień	18.0	12.135	70.18	31.837	08.48	33.926	29.84	68.059
	28.0	12.134	73.87	31.962	09.18	34.039	31.70	68.468
	7.0	12.025	77.47	32.040	10.14	34.111	33.36	68.734
Paźdz.	16.9	11.803	80.96	32.069	11.34	34.142	34.82	68.848
	26.9	11.476	84.20	32.051	12.70	34.134	36.03	68.804
	6.9	11.063	87.17	31.995	14.15	34.094	37.00	68.620
Listopad	16.9	10.563	89.78	31.902	15.65	34.024	37.73	68.287
	26.8	09.996	91.95	31.780	17.10	33.929	38.20	67.816
	5.8	09.380	93.67	31.641	18.45	33.819	38.42	67.227
Grudzień	15.8	08.721	94.84	31.486	19.65	33.694	38.40	66.517
	25.7	08.046	95.43	31.328	20.63	33.564	38.13	65.715
	5.7	07.370	95.44	31.173	21.38	33.432	37.64	64.842
	15.7	06.707	94.82	31.023	21.87	33.301	36.93	63.908
	25.7	06.088	93.61	30.889	22.06	33.179	36.01	62.956
	35.6	05.523	91.85	30.771	21.98	33.067	34.94	62.008
	45.6	05.034	89.55	30.672	21.61	32.967	33.71	61.091
Miejsce śr. 2015.5	06. ^s 083	64.02	30. ^s 252	23."26	32. ^s 051	20."04	59. ^s 764	68."58
sec δ	tan δ	+3.310	+3.156	+1.149	-0.567	+1.037	+0.273	+4.701
dwukrotne górowanie		VIII.24		IX.05		IX.07		IX.16
a	a'	+0.056	+0.887	+0.163	+0.964	+0.149	+0.972	+0.127
b	b'	+0.187	+0.461	-0.036	+0.265	+0.018	+0.235	+0.305
								+0.087

MIEJSKA POZORNE Biegunowej (2^m02) 2015
w momencie jej górowania w południku Greenwich

UT1		α_{app}^γ	δ_{app}	UT1		α_{app}^γ	δ_{app}	UT1		α_{app}^γ	δ_{app}	UT1		α_{app}^γ	δ_{app}
		$2^h 50^m$	$+89^\circ 19'$			$2^h 49^m$	$+89^\circ 19'$			$2^h 49^m$	$+89^\circ 19'$			$2^h 49^m$	$+89^\circ 19'$
Styczeń	0.8	124. ^s 78	52. ^{''} 34	Luty	15.7	106. ^s 17	56. ^{''} 56	Kwiecień	2.6	39. ^s 10	48. ^{''} 13	Maj	18.5	35. ^s 81	33. ^{''} 98
	1.8	123.60	52.55		16.7	104.36	56.55		3.6	38.12	47.83		19.5	36.75	33.69
	2.8	122.40	52.78		17.7	102.45	56.53		4.6	37.24	47.51		20.5	37.68	33.43
	3.8	121.13	53.01		18.7	100.44	56.48		5.6	36.46	47.19		21.5	38.56	33.18
	4.8	119.78	53.24		19.7	98.40	56.41		6.6	35.79	46.87		22.5	39.37	32.93
	5.8	118.32	53.47		20.7	96.40	56.31		7.6	35.21	46.55		23.5	40.14	32.68
	6.8	116.77	53.70		21.7	94.50	56.19		8.6	34.71	46.25		24.4	40.87	32.43
	7.8	115.13	53.92		22.7	92.72	56.05		9.6	34.24	45.95		25.4	41.58	32.17
	8.8	113.42	54.12		23.7	91.07	55.91		10.6	33.79	45.67		26.4	42.32	31.90
	9.8	111.67	54.30		24.7	89.50	55.78		11.6	33.30	45.41		27.4	43.10	31.62
	10.8	109.92	54.46		25.7	87.97	55.65		12.6	32.75	45.14		28.4	43.96	31.34
	11.8	108.19	54.61		26.7	86.44	55.53		13.6	32.14	44.87		29.4	44.91	31.05
	12.8	106.50	54.74		27.7	84.86	55.42		14.6	31.48	44.59		30.4	45.96	30.76
	13.8	104.87	54.87		28.7	83.24	55.31		15.6	30.82	44.29		31.4	47.11	30.48
	14.8	103.30	55.00	Marzec	1.7	81.55	55.20		16.6	30.22	43.96	Czerwiec	1.4	48.35	30.22
	15.8	101.79	55.12		2.7	79.80	55.08		17.5	29.73	43.62		2.4	49.65	29.97
	16.8	100.31	55.26		3.7	78.02	54.94		18.5	29.40	43.27		3.4	50.97	29.74
	17.8	98.83	55.41		4.7	76.22	54.79		19.5	29.22	42.92		4.4	52.28	29.53
	18.8	97.29	55.57		5.7	74.42	54.62		20.5	29.16	42.59		5.4	53.53	29.34
	19.8	95.64	55.73		6.7	72.67	54.44		21.5	29.17	42.27		6.4	54.70	29.15
	20.8	93.87	55.90		7.7	70.98	54.24		22.5	29.18	41.96		7.4	55.81	28.95
	21.8	91.96	56.04		8.7	69.38	54.03		23.5	29.17	41.67		8.4	56.87	28.75
	22.8	89.97	56.17		9.7	67.87	53.81		24.5	29.10	41.39		9.4	57.94	28.53
	23.8	87.97	56.26		10.7	66.45	53.60		25.5	28.99	41.10		10.4	59.07	28.30
	24.8	86.02	56.33		11.7	65.12	53.38		26.5	28.83	40.81		11.4	60.30	28.06
	25.8	84.15	56.37		12.6	63.84	53.18		27.5	28.66	40.51		12.4	61.67	27.81
	26.8	82.38	56.41		13.6	62.58	52.99		28.5	28.50	40.20		13.4	63.17	27.58
	27.8	80.70	56.45		14.6	61.31	52.80		29.5	28.37	39.88		14.4	64.77	27.36
	28.8	79.06	56.50		15.6	59.98	52.63		30.5	28.30	39.54		15.4	66.42	27.16
	29.8	77.43	56.56		16.6	58.58	52.45	Maj	1.5	28.32	39.20		16.4	68.07	26.98
	30.8	75.76	56.62		17.6	57.09	52.26		2.5	28.45	38.86		17.4	69.68	26.82
	31.8	74.04	56.68		18.6	55.57	52.05		3.5	28.68	38.52		18.4	71.23	26.67
Luty	1.8	72.23	56.75		19.6	54.05	51.82		4.5	29.02	38.18		19.4	72.71	26.53
	2.8	70.34	56.81		20.6	52.62	51.56		5.5	29.44	37.86		20.4	74.13	26.38
	3.7	68.38	56.86		21.6	51.33	51.28		6.5	29.91	37.55		21.4	75.51	26.23
	4.7	66.37	56.89		22.6	50.19	51.00		7.5	30.40	37.26		22.4	76.89	26.07
	5.7	64.32	56.90		23.6	49.19	50.72		8.5	30.86	36.98		23.4	78.30	25.90
	6.7	62.28	56.90		24.6	48.26	50.45		9.5	31.28	36.72		24.4	79.76	25.73
	7.7	60.27	56.88		25.6	47.36	50.19		10.5	31.62	36.45		25.4	81.29	25.55
	8.7	58.30	56.84		26.6	46.44	49.95		11.5	31.91	36.18		26.4	82.90	25.38
	9.7	56.41	56.80		27.6	45.48	49.71		12.5	32.19	35.89		27.4	84.61	25.21
	10.7	54.60	56.75		28.6	44.47	49.47		13.5	32.49	35.58		28.4	86.40	25.05
	11.7	52.86	56.70		29.6	43.42	49.23		14.5	32.89	35.26		29.3	88.26	24.91
	12.7	51.18	56.65		30.6	42.33	48.98		15.5	33.42	34.93		30.3	90.16	24.79
	13.7	49.53	56.61		31.6	41.23	48.71		16.5	34.09	34.60	Lipiec	1.3	92.04	24.69
	14.7	47.88	56.58	Kwiecień	1.6	40.14	48.43		17.5	34.91	34.28		2.3	93.88	24.62
	15.7	46.17	56.56		2.6	39.10	48.13		18.5	35.81	33.98		3.3	95.62	24.55

Dwukrotne dołowanie 5.V, dwukrotne górowanie 4.XI .
Miejsca średnie 2015.5 $\alpha = 2^h 50^m 52^s.21$ $\delta = +89^\circ 19' 47''.46$

MIEJSKA POZORNE Biegunowej (2^m02) 2015
w momencie jej górowania w południku Greenwich

UT1	α_{app}^γ	δ_{app}	UT1	α_{app}^γ	δ_{app}	UT1	α_{app}^γ	δ_{app}	UT1	α_{app}^γ	δ_{app}
	$2^h 50^m$	$+89^\circ 19'$		$2^h 52^m$	$+89^\circ 19'$		$2^h 53^m$	$+89^\circ 19'$		$2^h 53^m$	$+89^\circ 19'$
Lipiec	3.3	35. ^s 62	24."55	Sierpień	18.2	02. ^s 70	25." ^s 03	Paźdz.	3.1	19. ^s 77	35." ^s 21
	4.3	37.28	24.48		19.2	04.54	25.13		4.1	21.21	35.54
	5.3	38.86	24.41		20.2	06.44	25.23		5.1	22.55	35.88
	6.3	40.42	24.32		21.2	08.40	25.34		6.1	23.79	36.22
	7.3	42.01	24.22		22.2	10.42	25.46		7.1	24.91	36.56
	8.3	43.69	24.11		23.2	12.48	25.59		8.1	25.96	36.90
	9.3	45.47	23.99		24.2	14.55	25.75		9.1	26.94	37.23
	10.3	47.38	23.88		25.2	16.59	25.92		10.1	27.89	37.55
	11.3	49.38	23.78		26.2	18.56	26.12		11.1	28.84	37.86
	12.3	51.44	23.71		27.2	20.43	26.32		12.1	29.80	38.16
	13.3	53.51	23.65		28.2	22.18	26.53		13.1	30.80	38.46
	14.3	55.54	23.62		29.2	23.84	26.74		14.1	31.84	38.76
	15.3	57.51	23.59		30.2	25.44	26.92		15.1	32.93	39.07
	16.3	59.40	23.58		31.2	27.07	27.09		16.1	34.04	39.39
	17.3	61.21	23.57	Wrzesień	1.2	28.76	27.25		17.0	35.15	39.72
	18.3	62.98	23.56		2.2	30.57	27.40		18.0	36.24	40.07
	19.3	64.71	23.54		3.2	32.48	27.56		19.0	37.28	40.43
	20.3	66.44	23.51		4.2	34.46	27.74		20.0	38.22	40.81
	21.3	68.20	23.47		5.2	36.45	27.94		21.0	39.05	41.19
	22.3	70.01	23.44		6.2	38.40	28.16		22.0	39.77	41.57
	23.3	71.88	23.40		7.2	40.28	28.39		23.0	40.38	41.95
	24.3	73.84	23.36		8.2	42.07	28.64		24.0	40.92	42.30
	25.3	75.87	23.34		9.2	43.77	28.89		25.0	41.46	42.64
	26.3	77.97	23.33		10.2	45.37	29.14		26.0	42.05	42.97
	27.3	80.10	23.34		11.1	46.91	29.38		27.0	42.73	43.28
	28.3	82.24	23.37		12.1	48.41	29.62		28.0	43.51	43.60
	29.3	84.33	23.42		13.1	49.89	29.84		29.0	44.36	43.94
	30.3	86.35	23.49		14.1	51.39	30.07		30.0	45.22	44.29
	31.3	88.26	23.57		15.1	52.92	30.28		31.0	46.01	44.66
Sierpień	1.3	90.07	23.64		16.1	54.49	30.50	Listopad	1.0	46.69	45.05
	2.3	91.82	23.70		17.1	56.12	30.72		2.0	47.25	45.45
	3.3	93.56	23.75		18.1	57.79	30.96		3.0	47.68	45.84
	4.3	95.36	23.78		19.1	59.49	31.20		4.0	48.01	46.22
	5.2	97.25	23.80		20.1	61.21	31.46		5.0	48.26	46.60
	6.2	99.26	23.83		21.1	62.90	31.74		6.0	48.46	46.96
	7.2	101.37	23.86		22.1	64.53	32.04		7.0	48.64	47.31
	8.2	103.53	23.92		23.1	66.06	32.35		8.0	48.83	47.66
	9.2	105.69	24.00		24.1	67.49	32.66		9.0	49.04	47.99
	10.2	107.83	24.10		25.1	68.80	32.98		10.0	49.28	48.32
	11.2	109.90	24.21		26.1	70.02	33.28		11.0	49.57	48.66
	12.2	111.89	24.33		27.1	71.21	33.56		12.0	49.88	49.00
	13.2	113.79	24.46		28.1	72.44	33.83		13.0	50.20	49.35
	14.2	115.61	24.59		29.1	73.76	34.08		14.0	50.50	49.72
	15.2	117.39	24.71		30.1	75.18	34.34		15.0	50.75	50.10
	16.2	119.15	24.82	Paźdz.	1.1	76.70	34.61		16.0	50.91	50.49
	17.2	120.91	24.93		2.1	78.25	34.90		17.0	50.95	50.89
	18.2	122.70	25.03		3.1	79.77	35.21		18.0	50.87	51.28

δ	$+89^\circ 19' 10.0'$	$+89^\circ 19' 20.0'$	$+89^\circ 19' 30.0'$	$+89^\circ 19' 40.0''$	$+89^\circ 19' 50.0''$	$+89^\circ 20' 00.0''$	$+89^\circ 20' 10.0''$	$+89^\circ 20' 20.0''$
sec δ	84.1917	84.5367	84.8846	85.2353	85.5890	85.9456	86.3052	86.6678
tan δ	84.1858	84.5308	84.8787	85.2295	85.5832	85.9398	86.2994	86.6620

MIEJSKA POZORNE 1H Draconis (4^m29) 2015
w momencie jej górowania w południku Greenwich

UT1	α_{app}^γ	δ_{app}	UT1	α_{app}^γ	δ_{app}	UT1	α_{app}^γ	δ_{app}	UT1	α_{app}^γ	δ_{app}	
	9 ^h 39 ^m	+81°15'		9 ^h 39 ^m	+81°15'		9 ^h 39 ^m	+81°15'		9 ^h 39 ^m	+81°15'	
Styczeń	1.1	11. ^s 00	08." ^s 20	Luty	16.0	14. ^s 46	19." ^s 90	Kwiecień	2.9	12. ^s 13	32." ^s 85	
	2.1	11.12	08.34		17.0	14.49	20.20		3.9	12.01	33.08	
	3.1	11.25	08.48		18.0	14.52	20.53		4.9	11.89	33.29	
	4.1	11.39	08.63		19.0	14.54	20.87		5.9	11.77	33.49	
	5.1	11.53	08.79		20.0	14.54	21.22		6.9	11.65	33.68	
	6.1	11.66	08.98		21.0	14.53	21.56		7.9	11.53	33.84	
	7.1	11.79	09.18		22.0	14.50	21.90		8.9	11.41	34.00	
	8.1	11.92	09.40		23.0	14.47	22.21		9.9	11.31	34.14	
	9.1	12.04	09.63		24.0	14.44	22.50		10.9	11.21	34.29	
	10.1	12.15	09.87		25.0	14.42	22.78		11.8	11.11	34.44	
	11.1	12.25	10.12		26.0	14.40	23.06		12.8	11.01	34.60	
	12.1	12.34	10.36		27.0	14.39	23.34		13.8	10.91	34.78	
	13.1	12.43	10.59		28.0	14.38	23.62		14.8	10.81	34.96	
	14.1	12.52	10.82		29.0	14.37	23.92		15.8	10.69	35.14	
	15.1	12.61	11.04	Marzec	2.0	14.35	24.22		16.8	10.56	35.32	
	16.1	12.70	11.25		3.0	14.33	24.54		17.8	10.42	35.48	
	17.1	12.79	11.45		4.0	14.31	24.87		18.8	10.27	35.61	
	18.1	12.90	11.65		5.0	14.27	25.20		19.8	10.13	35.72	
	19.1	13.01	11.87		5.9	14.23	25.53		20.8	10.00	35.81	
	20.1	13.12	12.10		6.9	14.17	25.86		21.8	09.87	35.88	
	21.1	13.23	12.36		7.9	14.11	26.18		22.8	09.76	35.96	
	22.1	13.33	12.64		8.9	14.05	26.48		23.8	09.64	36.04	
	23.1	13.42	12.93		9.9	13.98	26.77		24.8	09.53	36.12	
	24.1	13.49	13.24		10.9	13.92	27.05		25.8	09.42	36.22	
	25.1	13.55	13.53		11.9	13.85	27.31		26.8	09.30	36.32	
	26.1	13.61	13.82		12.9	13.80	27.57		27.8	09.18	36.43	
	27.1	13.66	14.09		13.9	13.74	27.82		28.8	09.05	36.54	
	28.0	13.71	14.34		14.9	13.70	28.07		29.8	08.91	36.64	
	29.0	13.77	14.59		15.9	13.65	28.34		30.8	08.77	36.73	
	30.0	13.83	14.84		16.9	13.61	28.62	Maj	1.8	08.63	36.81	
	31.0	13.90	15.10		17.9	13.56	28.91		2.8	08.48	36.87	
Luty	1.0	13.97	15.36		18.9	13.49	29.21		3.8	08.33	36.91	
	2.0	14.03	15.64		19.9	13.41	29.52		4.8	08.19	36.94	
	3.0	14.10	15.94		20.9	13.32	29.81		5.8	08.06	36.94	
	4.0	14.16	16.25		21.9	13.22	30.08		6.8	07.93	36.94	
	5.0	14.21	16.57		22.9	13.12	30.32		7.8	07.81	36.94	
	6.0	14.25	16.90		23.9	13.02	30.55		8.8	07.70	36.93	
	7.0	14.28	17.23		24.9	12.93	30.76		9.8	07.59	36.94	
	8.0	14.30	17.56		25.9	12.85	30.97		10.8	07.48	36.96	
	9.0	14.32	17.89		26.9	12.77	31.18		11.8	07.36	36.99	
	10.0	14.33	18.20		27.9	12.69	31.40		12.8	07.24	37.02	
	11.0	14.34	18.50		28.9	12.61	31.63		13.8	07.10	37.05	
	12.0	14.36	18.79		29.9	12.53	31.86		14.8	06.96	37.06	
	13.0	14.37	19.06		30.9	12.44	32.11		15.8	06.81	37.05	
	14.0	14.40	19.34		31.9	12.35	32.36		16.8	06.66	37.01	
	15.0	14.43	19.61	Kwiecień	1.9	12.24	32.60		17.7	06.52	36.96	
	16.0	14.46	19.90		2.9	12.13	32.85		18.7	06.39	36.88	
										2.6	01.86	29.82
										3.6	01.81	29.56

Dwukrotne dołowanie 16.VIII, dwukrotne górowanie 15.II .
Miejsca średnie 2015.5 $\alpha = 9^h39^m11.^s22$ $\delta = +81^\circ15'21.^s88$

MIEJSKA POZORNE 1H Draconis (4^m.29) 2015
w momencie jej górowania w południku Greenwich

UT1	α_{app}^γ	δ_{app}	UT1	α_{app}^γ	δ_{app}	UT1	α_{app}^γ	δ_{app}	UT1	α_{app}^γ	δ_{app}
Lipiec	9 ^h 39 ^m	+81°15'	Sierpień	9 ^h 39 ^m	+81°15'	Paźdz.	9 ^h 39 ^m	+81°14'	Listopad	9 ^h 39 ^m	+81°14'
	3.6 01 ^s 81	29 ^{''} 56		18.5 00 ^s 98	15 ^{''} 37		3.4 04 ^s 42	60 ^{''} 40		18.2 11 ^s 19	51 ^{''} 55
	4.6 01.77	29.32		19.5 01.00	15.04		4.4 04.55	60.09		19.2 11.37	51.50
	5.6 01.72	29.09		20.5 01.01	14.70		5.4 04.68	59.80		20.2 11.53	51.46
	6.6 01.66	28.86		21.5 01.03	14.35		6.4 04.82	59.52		21.2 11.69	51.42
	7.6 01.59	28.63		22.5 01.06	13.99		7.4 04.96	59.26		22.2 11.84	51.39
	8.6 01.52	28.38		23.5 01.10	13.62		8.4 05.09	59.02		23.2 11.99	51.34
	9.6 01.44	28.11		24.5 01.14	13.25		9.4 05.22	58.78		24.2 12.13	51.28
	10.6 01.37	27.82		25.5 01.20	12.87		10.4 05.34	58.55		25.2 12.29	51.20
	11.6 01.31	27.52		26.5 01.27	12.51		11.3 05.46	58.32		26.2 12.45	51.12
	12.6 01.26	27.20		27.5 01.34	12.17		12.3 05.57	58.09		27.2 12.62	51.04
	13.6 01.22	26.88		28.5 01.41	11.84		13.3 05.69	57.86		28.2 12.80	50.98
	14.6 01.19	26.56		29.5 01.47	11.53		14.3 05.80	57.61		29.2 12.98	50.93
	15.6 01.16	26.25		30.5 01.52	11.23		15.3 05.93	57.35		30.2 13.17	50.91
	16.6 01.14	25.95		31.5 01.57	10.92		16.3 06.05	57.09	Grudzień	1.2 13.34	50.91
	17.6 01.11	25.67		1.5 01.61	10.60		17.3 06.19	56.83		2.2 13.52	50.93
	18.6 01.08	25.39		2.5 01.65	10.27		18.3 06.34	56.57		3.2 13.68	50.96
	19.6 01.05	25.12		3.5 01.69	09.91		19.3 06.49	56.32		4.2 13.84	51.00
	20.6 01.01	24.85		4.4 01.75	09.54		20.3 06.65	56.08		5.2 13.99	51.04
	21.6 00.97	24.57		5.4 01.81	09.17		21.3 06.81	55.86		6.2 14.14	51.07
	22.6 00.93	24.28		6.4 01.89	08.80		22.3 06.97	55.66		7.2 14.28	51.10
	23.6 00.89	23.98		7.4 01.97	08.44		23.3 07.12	55.48		8.2 14.42	51.13
	24.6 00.85	23.67		8.4 02.06	08.10		24.3 07.27	55.31		9.2 14.57	51.15
	25.6 00.81	23.34		9.4 02.15	07.77		25.3 07.41	55.14		10.2 14.73	51.16
	26.6 00.79	23.00		10.4 02.23	07.45		26.3 07.54	54.96		11.2 14.89	51.18
	27.6 00.77	22.65		11.4 02.32	07.15		27.3 07.67	54.77		12.2 15.06	51.20
	28.6 00.76	22.29		12.4 02.40	06.85		28.3 07.80	54.56		13.2 15.23	51.24
	29.5 00.77	21.94		13.4 02.47	06.56		29.3 07.94	54.33		14.2 15.41	51.29
	30.5 00.78	21.61		14.4 02.54	06.26		30.3 08.10	54.11		15.2 15.58	51.37
	31.5 00.79	21.29		15.4 02.61	05.96		31.3 08.26	53.89		16.2 15.75	51.46
Sierpień	1.5 00.80	20.98	Listopad	16.4 02.68	05.65	1.3 08.43	53.69	17.2 15.91	51.58	18.2 16.06	51.70
	2.5 00.80	20.69		17.4 02.75	05.32		2.3 08.60	53.52			
	3.5 00.80	20.40		18.4 02.83	04.99		3.3 08.78	53.36			
	4.5 00.78	20.10		19.4 02.92	04.65		4.3 08.94	53.22			
	5.5 00.76	19.78		20.4 03.01	04.31		5.3 09.10	53.09			
	6.5 00.75	19.44		21.4 03.12	03.97		6.3 09.26	52.98			
	7.5 00.74	19.08		22.4 03.23	03.64		7.3 09.41	52.86			
	8.5 00.74	18.71		23.4 03.35	03.32		8.3 09.56	52.75			
	9.5 00.75	18.34		24.4 03.48	03.02		9.3 09.70	52.63			
	10.5 00.77	17.97		25.4 03.60	02.74		10.3 09.84	52.51			
	11.5 00.80	17.62		26.4 03.71	02.47		11.3 09.99	52.38			
	12.5 00.84	17.27		27.4 03.81	02.21		12.3 10.14	52.24			
	13.5 00.87	16.94		28.4 03.90	01.95		13.3 10.30	52.10			
	14.5 00.90	16.62		29.4 03.99	01.66		14.3 10.47	51.96			
	15.5 00.93	16.30		30.4 04.08	01.36		15.3 10.64	51.83			
	16.5 00.95	15.99		1.4 04.18	01.05		16.2 10.82	51.72			
	17.5 00.97	15.68		2.4 04.30	00.72		17.2 11.01	51.62			
	18.5 00.98	15.37		3.4 04.42	00.40		18.2 11.19	51.55			

δ	+81°14'40".0	+81°14'50".0	+81°15'00".0	+81°15'10".0	+81°15'20".0	+81°15'30".0	+81°15'40".0	+81°15'50".0
sec δ	6.5695	6.5715	6.5736	6.5757	6.5778	6.5798	6.5819	6.5840
tan δ	6.4929	6.4950	6.4971	6.4992	6.5013	6.5034	6.5055	6.5076

MIEJSKA POZORNE ε Ursae Minoris (4^m.23) 2015
w momencie jej górowania w południku Greenwich

UT1	α_{app}^γ	δ_{app}	UT1	α_{app}^γ	δ_{app}	UT1	α_{app}^γ	δ_{app}	UT1	α_{app}^γ	δ_{app}
	16 ^h 44 ^m	+82°00'		16 ^h 44 ^m	+82°00'		16 ^h 44 ^m	+82°00'		16 ^h 44 ^m	+82°00'
Styczeń	1.4	18 ^s 11	36 ^{''} 24	Luty	16.3	23 ^s 46	25 ^{''} 35	Kwiecień	3.2	30 ^s 59	27 ^{''} 12
	2.4	18.17	35.93		17.3	23.61	25.20		4.2	30.73	27.32
	3.4	18.22	35.60		18.3	23.77	25.05		5.2	30.87	27.54
	4.4	18.28	35.27		19.3	23.94	24.93		6.2	31.00	27.77
	5.4	18.35	34.93		20.3	24.11	24.82		7.2	31.12	28.00
	6.4	18.42	34.58		21.3	24.28	24.75		8.2	31.24	28.23
	7.4	18.51	34.24		22.3	24.45	24.71		9.2	31.35	28.45
	8.4	18.59	33.90		23.3	24.61	24.68		10.1	31.46	28.67
	9.4	18.69	33.57		24.3	24.77	24.66		11.1	31.57	28.87
	10.4	18.78	33.25		25.3	24.92	24.64		12.1	31.68	29.06
	11.4	18.88	32.96		26.3	25.07	24.61		13.1	31.80	29.25
	12.4	18.98	32.67		27.3	25.22	24.57		14.1	31.91	29.45
	13.4	19.08	32.40		28.3	25.37	24.52		15.1	32.04	29.65
	14.4	19.18	32.15	Marzec	1.3	25.53	24.47		16.1	32.16	29.88
	15.4	19.27	31.89		2.3	25.69	24.42		17.1	32.27	30.14
	16.4	19.36	31.63		3.3	25.86	24.38		18.1	32.39	30.42
	17.4	19.46	31.37		4.2	26.03	24.35		19.1	32.49	30.71
	18.4	19.55	31.09		5.2	26.20	24.34		20.1	32.58	31.01
	19.4	19.65	30.79		6.2	26.37	24.34		21.1	32.67	31.30
	20.4	19.75	30.49		7.2	26.54	24.36		22.1	32.75	31.58
	21.4	19.87	30.18		8.2	26.71	24.40		23.1	32.83	31.85
	22.4	19.99	29.88		9.2	26.87	24.45		24.1	32.91	32.10
	23.4	20.12	29.61		10.2	27.03	24.52		25.1	33.00	32.35
	24.4	20.25	29.36		11.2	27.19	24.59		26.1	33.08	32.60
	25.4	20.38	29.14		12.2	27.34	24.66		27.1	33.17	32.86
	26.3	20.51	28.93		13.2	27.49	24.72		28.1	33.26	33.12
	27.3	20.64	28.74		14.2	27.63	24.77		29.1	33.35	33.40
	28.3	20.76	28.55		15.2	27.78	24.82		30.1	33.43	33.69
	29.3	20.88	28.35		16.2	27.93	24.85	Maj	1.1	33.51	33.99
	30.3	21.00	28.15		17.2	28.09	24.89		2.1	33.59	34.31
Luty	31.3	21.13	27.94		18.2	28.25	24.93		3.1	33.66	34.64
	1.3	21.25	27.72		19.2	28.42	25.00		4.1	33.72	34.97
	2.3	21.39	27.49		20.2	28.58	25.09		5.1	33.78	35.30
	3.3	21.53	27.27		21.2	28.74	25.22		6.1	33.83	35.63
	4.3	21.67	27.06		22.2	28.90	25.36		7.1	33.87	35.94
	5.3	21.82	26.85		23.2	29.05	25.52		8.1	33.92	36.24
	6.3	21.98	26.67		24.2	29.19	25.68		9.1	33.96	36.52
	7.3	22.13	26.50		25.2	29.32	25.83		10.1	34.01	36.80
	8.3	22.29	26.34		26.2	29.46	25.97		11.1	34.06	37.07
	9.3	22.44	26.21		27.2	29.59	26.11		12.1	34.11	37.36
	10.3	22.59	26.09		28.2	29.73	26.23		13.1	34.16	37.65
	11.3	22.74	25.97		29.2	29.87	26.36		14.1	34.21	37.97
	12.3	22.89	25.86		30.2	30.01	26.49		15.1	34.26	38.31
	13.3	23.03	25.75		31.2	30.16	26.62		16.0	34.29	38.67
	14.3	23.17	25.63	Kwiecień	1.2	30.30	26.77		17.0	34.32	39.03
	15.3	23.31	25.50		2.2	30.45	26.94		18.0	34.34	39.39
	16.3	23.46	25.35		3.2	30.59	27.12		19.0	34.35	39.74
Lipiec									1.9	32.71	53.28
									2.9	32.61	53.51
									3.9	32.52	53.72

Dwukrotne dołowanie 2.XII, dwukrotne górowanie 2.VI.
Miejsca średnie 2015.5 $\alpha = 16^h 44^m 25^s.93$ $\delta = +82^\circ 00' 34\overset{''}{.}71$

MIEJSKA POZORNE ε Ursae Minoris (4^m.23) 2015
w momencie jej górowania w południku Greenwich

UT1		α_{app}^γ	δ_{app}												
		16 ^h 44 ^m	+82°00'			16 ^h 44 ^m	+82°00'			16 ^h 44 ^m	+82°00'			16 ^h 44 ^m	+82°00'
Lipiec	3.9	32.52	53. ^{''} 72	Sierpień	18.8	26. ^s 27	61. ^{''} 17	Paźdz.	3.7	18. ^s 47	58. ^{''} 59	Listopad	18.5	12. ^s 96	46. ^{''} 35
	4.9	32.42	53.93		19.8	26.11	61.25		4.7	18.30	58.41		19.5	12.90	45.98
	5.9	32.34	54.15		20.8	25.95	61.32		5.7	18.14	58.21		20.5	12.85	45.62
	6.9	32.25	54.39		21.8	25.78	61.40		6.7	17.98	57.99		21.5	12.80	45.28
	7.9	32.15	54.64		22.8	25.60	61.46		7.7	17.83	57.78		22.5	12.75	44.95
	8.9	32.06	54.90		23.8	25.43	61.52		8.7	17.69	57.56		23.5	12.70	44.64
	9.9	31.95	55.18		24.8	25.25	61.55		9.6	17.54	57.35		24.5	12.64	44.33
	10.9	31.84	55.45		25.8	25.07	61.56		10.6	17.40	57.15		25.5	12.58	44.02
	11.9	31.72	55.71		26.8	24.89	61.54		11.6	17.26	56.95		26.5	12.52	43.69
	12.9	31.59	55.96		27.8	24.72	61.52		12.6	17.12	56.76		27.5	12.46	43.34
	13.9	31.46	56.18		28.8	24.55	61.48		13.6	16.98	56.57		28.5	12.41	42.97
	14.9	31.34	56.39		29.8	24.39	61.45		14.6	16.84	56.38		29.5	12.36	42.59
	15.9	31.21	56.58		30.8	24.23	61.44		15.6	16.69	56.19		30.5	12.33	42.20
	16.9	31.09	56.76		31.8	24.07	61.44		16.6	16.54	55.98	Grudzień	1.5	12.30	41.81
	17.9	30.97	56.94	Wrzesień	1.8	23.90	61.46		17.6	16.39	55.76		2.5	12.28	41.43
	18.9	30.85	57.12		2.7	23.73	61.49		18.6	16.24	55.53		3.5	12.26	41.06
	19.9	30.73	57.30		3.7	23.55	61.50		19.6	16.10	55.27		4.5	12.24	40.70
	20.9	30.61	57.49		4.7	23.37	61.51		20.6	15.96	55.00		5.5	12.23	40.35
	21.9	30.49	57.69		5.7	23.19	61.49		21.6	15.83	54.71		6.5	12.22	40.01
	22.9	30.37	57.89		6.7	23.00	61.45		22.6	15.70	54.42		7.5	12.21	39.67
	23.9	30.24	58.10		7.7	22.82	61.40		23.6	15.58	54.14		8.5	12.20	39.34
	24.9	30.10	58.31		8.7	22.65	61.32		24.6	15.46	53.87		9.5	12.18	39.01
	25.9	29.96	58.51		9.7	22.47	61.24		25.6	15.35	53.61		10.5	12.17	38.67
	26.9	29.81	58.70		10.7	22.31	61.16		26.6	15.23	53.37		11.5	12.16	38.31
	27.8	29.66	58.88		11.7	22.14	61.08		27.6	15.11	53.14		12.5	12.15	37.94
	28.8	29.51	59.03		12.7	21.98	61.00		28.6	14.99	52.91		13.5	12.14	37.56
	29.8	29.35	59.16		13.7	21.82	60.93		29.6	14.85	52.66		14.5	12.15	37.16
	30.8	29.21	59.27		14.7	21.65	60.86		30.6	14.73	52.39		15.5	12.16	36.76
	31.8	29.06	59.37		15.7	21.49	60.80		31.6	14.60	52.10		16.5	12.18	36.37
Sierpień	1.8	28.92	59.47		16.7	21.32	60.74	Listopad	1.6	14.48	51.79		17.5	12.21	35.98
	2.8	28.79	59.59		17.7	21.15	60.68		2.6	14.37	51.47		18.5	12.24	35.61
	3.8	28.65	59.72		18.7	20.97	60.61		3.6	14.26	51.15		19.5	12.27	35.27
	4.8	28.51	59.86		19.7	20.80	60.53		4.6	14.16	50.82		20.5	12.30	34.94
	5.8	28.36	60.02		20.7	20.62	60.43		5.6	14.07	50.50		21.4	12.33	34.62
	6.8	28.20	60.18		21.7	20.44	60.31		6.6	13.98	50.19		22.4	12.36	34.31
	7.8	28.04	60.33		22.7	20.26	60.17		7.6	13.89	49.88		23.4	12.38	33.98
	8.8	27.87	60.46		23.7	20.09	60.02		8.6	13.80	49.59		24.4	12.40	33.64
	9.8	27.71	60.57		24.7	19.93	59.85		9.6	13.72	49.30		25.4	12.43	33.29
	10.8	27.54	60.66		25.7	19.77	59.68		10.6	13.63	49.01		26.4	12.46	32.92
	11.8	27.37	60.74		26.7	19.61	59.52		11.6	13.54	48.72		27.4	12.51	32.54
	12.8	27.21	60.80		27.7	19.46	59.38		12.6	13.44	48.43		28.4	12.56	32.16
	13.8	27.05	60.86		28.7	19.31	59.25		13.6	13.35	48.12		29.4	12.62	31.79
	14.8	26.89	60.91		29.7	19.15	59.14		14.5	13.26	47.79		30.4	12.68	31.43
	15.8	26.74	60.96		30.7	18.98	59.03		15.5	13.18	47.45		31.4	12.75	31.08
	16.8	26.59	61.02	Paźdz.	1.7	18.81	58.90		16.5	13.10	47.10		32.4	12.82	30.75
	17.8	26.43	61.09		2.7	18.64	58.76		17.5	13.02	46.73		33.4	12.89	30.43
	18.8	26.27	61.17		3.7	18.47	58.59		18.5	12.96	46.35		34.4	12.96	30.13

δ	+82°00'10.0	+82°00'20.0	+82°00'30.0	+82°00'40.0	+82°00'50.0	+82°01'00.0	+82°01'10.0	+82°01'20.0
sec δ	7.1878	7.1903	7.1927	7.1952	7.1977	7.2002	7.2027	7.2052
tan δ	7.1179	7.1204	7.1229	7.1254	7.1279	7.1304	7.1329	7.1354

MIEJSKA POZORNE δ Ursae Minoris (4^m.36) 2015
w momencie jej górowania w południku Greenwich

UT1	α_{app}^γ	δ_{app}	UT1	α_{app}^γ	δ_{app}	UT1	α_{app}^γ	δ_{app}	UT1	α_{app}^γ	δ_{app}
	$17^h 27^m$	$+86^\circ 34'$		$17^h 27^m$	$+86^\circ 34'$		$17^h 27^m$	$+86^\circ 34'$		$17^h 27^m$	$+86^\circ 34'$
Styczeń	1.4	01.12	35. ^{''} 35	Luty	16.3	10. ^s 68	23. ^{''} 10	Kwiecień	3.2	27. ^s 09	22. ^{''} 28
	2.4	01.17	35.04		17.3	10.99	22.90		4.2	27.45	22.42
	3.4	01.21	34.71		18.3	11.32	22.70		5.2	27.80	22.58
	4.4	01.27	34.38		19.3	11.68	22.52		6.2	28.14	22.75
	5.4	01.33	34.03		20.3	12.05	22.36		7.2	28.46	22.93
	6.4	01.42	33.67		21.3	12.42	22.23		8.2	28.77	23.11
	7.4	01.52	33.31		22.3	12.80	22.13		9.2	29.06	23.29
	8.4	01.64	32.96		23.3	13.15	22.05		10.2	29.34	23.46
	9.4	01.78	32.61		24.3	13.50	21.97		11.2	29.62	23.62
	10.4	01.93	32.28		25.3	13.83	21.90		12.2	29.90	23.77
	11.4	02.09	31.96		26.3	14.16	21.81		13.2	30.19	23.91
	12.4	02.26	31.65		27.3	14.48	21.73		14.2	30.49	24.06
	13.4	02.43	31.36		28.3	14.81	21.63		15.2	30.81	24.21
	14.4	02.59	31.08	Marzec	1.3	15.15	21.53		16.2	31.13	24.39
	15.4	02.74	30.80		2.3	15.50	21.42		17.2	31.45	24.59
	16.4	02.89	30.53		3.3	15.87	21.32		18.2	31.76	24.82
	17.4	03.03	30.25		4.3	16.24	21.23		19.2	32.05	25.07
	18.4	03.17	29.95		5.3	16.63	21.16		20.1	32.31	25.32
	19.4	03.31	29.64		6.3	17.03	21.10		21.1	32.56	25.58
	20.4	03.47	29.31		7.3	17.42	21.05		22.1	32.79	25.82
	21.4	03.66	28.97		8.3	17.81	21.03		23.1	33.01	26.05
	22.4	03.87	28.65		9.3	18.20	21.02		24.1	33.23	26.27
	23.4	04.11	28.34		10.3	18.58	21.03		25.1	33.46	26.49
	24.4	04.36	28.05		11.3	18.94	21.04		26.1	33.70	26.70
	25.4	04.61	27.79		12.3	19.29	21.06		27.1	33.94	26.91
	26.4	04.86	27.55		13.3	19.63	21.07		28.1	34.19	27.13
	27.4	05.10	27.32		14.3	19.96	21.07		29.1	34.44	27.37
	28.4	05.33	27.10		15.2	20.30	21.06		30.1	34.69	27.62
	29.4	05.55	26.87		16.2	20.64	21.04	Maj	1.1	34.94	27.88
	30.4	05.78	26.64		17.2	21.00	21.02		2.1	35.17	28.16
	31.4	06.00	26.39		18.2	21.37	21.00		3.1	35.39	28.45
Luty	1.4	06.24	26.14		19.2	21.76	21.01		4.1	35.60	28.75
	2.4	06.49	25.88		20.2	22.16	21.04		5.1	35.78	29.05
	3.4	06.75	25.62		21.2	22.56	21.10		6.1	35.95	29.35
	4.4	07.03	25.36		22.2	22.94	21.18		7.1	36.10	29.64
	5.4	07.33	25.11		23.2	23.30	21.28		8.1	36.24	29.92
	6.3	07.64	24.87		24.2	23.65	21.39		9.1	36.38	30.18
	7.3	07.96	24.66		25.2	23.98	21.49		10.1	36.53	30.43
	8.3	08.28	24.45		26.2	24.30	21.58		11.1	36.68	30.68
	9.3	08.61	24.27		27.2	24.62	21.66		12.1	36.85	30.93
	10.3	08.92	24.10		28.2	24.95	21.73		13.1	37.03	31.20
	11.3	09.23	23.94		29.2	25.29	21.80		14.1	37.20	31.49
	12.3	09.53	23.78		30.2	25.64	21.88		15.1	37.37	31.81
	13.3	09.83	23.63		31.2	25.99	21.96		16.1	37.52	32.14
	14.3	10.11	23.46	Kwiecień	1.2	26.35	22.05		17.1	37.64	32.48
	15.3	10.39	23.29		2.2	26.72	22.16		18.1	37.74	32.82
	16.3	10.68	23.10		3.2	27.09	22.28		19.1	37.82	33.16
										2.9	35.99
										3.9	35.79
											47.44

Dwukrotne dołowanie 13.XII, dwukrotne górowanie 13.VI .
Miejsca średnie 2015.5 $\alpha = 17^h 27^m 17.03$ $\delta = +86^\circ 34' 31.30$

MIEJSKA POZORNE δ Ursae Minoris (4^m.36) 2015
w momencie jej górowania w południku Greenwich

UT1		α_{app}^γ	δ_{app}	UT1		α_{app}^γ	δ_{app}	UT1		α_{app}^γ	δ_{app}	UT1		α_{app}^γ	δ_{app}
		17 ^h 27 ^m	+86°34'			17 ^h 27 ^m	+86°34'			17 ^h 26 ^m	+86°34'			17 ^h 26 ^m	+86°34'
Lipiec	3.9	35.79	47".44	Sierpień	18.8	22 ^s 45	57".01	Paźdz.	3.7	63 ^s 68	57".48	Listopad	18.6	48 ^s 19	47".88
	4.9	35.61	47.68		19.8	22.09	57.14		4.7	63.24	57.37		19.6	47.97	47.54
	5.9	35.44	47.93		20.8	21.72	57.28		5.7	62.82	57.24		20.6	47.77	47.22
	6.9	35.27	48.19		21.8	21.34	57.42		6.7	62.40	57.10		21.6	47.59	46.91
	7.9	35.10	48.46		22.8	20.94	57.55		7.7	62.01	56.94		22.6	47.41	46.62
	8.9	34.93	48.76		23.8	20.53	57.66		8.7	61.63	56.79		23.6	47.22	46.34
	9.9	34.73	49.06		24.8	20.11	57.76		9.7	61.26	56.64		24.6	47.02	46.07
	10.9	34.51	49.37		25.8	19.68	57.84		10.7	60.89	56.50		25.5	46.80	45.80
	11.9	34.27	49.67		26.8	19.26	57.90		11.7	60.53	56.36		26.5	46.58	45.51
	12.9	34.02	49.96		27.8	18.85	57.94		12.7	60.17	56.23		27.5	46.36	45.21
	13.9	33.75	50.23		28.8	18.45	57.97		13.7	59.81	56.10		28.5	46.14	44.88
	14.9	33.48	50.48		29.8	18.07	58.00		14.7	59.43	55.97		29.5	45.94	44.53
	15.9	33.21	50.71		30.8	17.70	58.04		15.7	59.05	55.85		30.5	45.77	44.17
	16.9	32.95	50.93		31.8	17.33	58.11		16.7	58.66	55.71	Grudzień	1.5	45.61	43.81
	17.9	32.70	51.15	Wrzesień	1.8	16.95	58.19		17.7	58.26	55.56		2.5	45.48	43.46
	18.9	32.45	51.36		2.8	16.56	58.27		18.7	57.86	55.39		3.5	45.36	43.11
	19.9	32.21	51.58		3.8	16.14	58.36		19.6	57.46	55.20		4.5	45.25	42.77
	20.9	31.97	51.81		4.8	15.71	58.43		20.6	57.07	54.99		5.5	45.14	42.44
	21.9	31.73	52.05		5.8	15.27	58.49		21.6	56.70	54.77		6.5	45.05	42.12
	22.9	31.48	52.29		6.8	14.83	58.52		22.6	56.35	54.54		7.5	44.94	41.81
	23.9	31.21	52.54		7.8	14.39	58.54		23.6	56.01	54.31		8.5	44.84	41.50
	24.9	30.93	52.79		8.8	13.96	58.53		24.6	55.69	54.09		9.5	44.73	41.19
	25.9	30.64	53.04		9.8	13.54	58.52		25.6	55.38	53.89		10.5	44.61	40.87
	26.9	30.32	53.28		10.8	13.13	58.50		26.6	55.06	53.70		11.5	44.49	40.54
	27.9	29.99	53.51		11.8	12.73	58.48		27.6	54.73	53.53		12.5	44.38	40.20
	28.9	29.65	53.72		12.8	12.34	58.47		28.6	54.38	53.36		13.5	44.27	39.83
	29.9	29.31	53.91		13.7	11.96	58.46		29.6	54.02	53.17		14.5	44.19	39.46
	30.9	28.97	54.07		14.7	11.57	58.46		30.6	53.65	52.97		15.5	44.12	39.07
	31.9	28.65	54.22		15.7	11.18	58.46		31.6	53.29	52.74		16.5	44.07	38.69
Sierpień	1.9	28.34	54.37	16.7	10.78	58.46	Listopad	1.6	52.93	52.49		17.5	44.05	38.31	
	2.9	28.04	54.53	17.7	10.37	58.47		2.6	52.60	52.23		18.5	44.04	37.95	
	3.9	27.75	54.71	18.7	09.95	58.47		3.6	52.28	51.95		19.5	44.04	37.61	
	4.9	27.45	54.90	19.7	09.51	58.46		4.6	51.98	51.68		20.5	44.04	37.29	
	5.9	27.13	55.11	20.7	09.07	58.43		5.6	51.70	51.41		21.5	44.04	36.98	
	6.9	26.80	55.32	21.7	08.62	58.39		6.6	51.43	51.14		22.5	44.02	36.67	
	7.8	26.44	55.53	22.7	08.18	58.32		7.6	51.16	50.88		23.5	43.99	36.36	
	8.8	26.07	55.72	23.7	07.74	58.24		8.6	50.90	50.63		24.5	43.95	36.03	
	9.8	25.69	55.90	24.7	07.32	58.14		9.6	50.64	50.39		25.5	43.92	35.68	
	10.8	25.31	56.05	25.7	06.92	58.03		10.6	50.37	50.15		26.5	43.91	35.32	
	11.8	24.93	56.19	26.7	06.53	57.94		11.6	50.09	49.91		27.5	43.91	34.95	
	12.8	24.55	56.31	27.7	06.16	57.86		12.6	49.81	49.66		28.5	43.94	34.57	
	13.8	24.19	56.42	28.7	05.78	57.79		13.6	49.53	49.41		29.5	43.99	34.19	
	14.8	23.83	56.53	29.7	05.39	57.74		14.6	49.24	49.13		30.5	44.05	33.82	
	15.8	23.48	56.64	30.7	04.98	57.70		15.6	48.96	48.84		31.5	44.13	33.47	
	16.8	23.14	56.75	Paźdz.	1.7	04.55	57.65		16.6	48.68	48.53		32.4	44.22	33.13
	17.8	22.80	56.88		2.7	04.12	57.58		17.6	48.43	48.21		33.4	44.32	32.80
	18.8	22.45	57.01		3.7	03.68	57.48		18.6	48.19	47.88		34.4	44.41	32.48

δ	+86°34'10".0	+86°34'20".0	+86°34'30".0	+86°34'40".0	+86°34'50".0	+86°35'00".0	+86°35'10".0	+86°35'20".0
sec δ	16.7116	16.7251	16.7387	16.7522	16.7658	16.7794	16.7931	16.8067
tan δ	16.6816	16.6952	16.7088	16.7224	16.7360	16.7496	16.7633	16.7770

MIEJSKA POZORNE 36H Cephei (4^m71) 2015
w momencie jej górowania w południku Greenwich

UT1	α_{app}^γ	δ_{app}	UT1	α_{app}^γ	δ_{app}	UT1	α_{app}^γ	δ_{app}	UT1	α_{app}^γ	δ_{app}	
	22 ^h 54 ^m	+84°25'		22 ^h 54 ^m	+84°25'		22 ^h 54 ^m	+84°25'		22 ^h 54 ^m	+84°25'	
Styczeń	1.7	14. ^s 02	58." ^s 21	Luty	16.5	07. ^s 14	47." ^s 88	Kwiecień	3.4	08. ^s 34	33." ^s 39	
	2.7	13.83	58.12		17.5	07.04	47.57		4.4	08.47	33.10	
	3.7	13.63	58.04		18.5	06.95	47.25		5.4	08.61	32.82	
	4.7	13.42	57.94		19.5	06.86	46.90		6.4	08.76	32.55	
	5.7	13.21	57.83		20.5	06.80	46.55		7.4	08.91	32.30	
	6.7	12.99	57.70		21.5	06.75	46.19		8.4	09.07	32.07	
	7.7	12.77	57.55		22.5	06.72	45.85		9.4	09.22	31.85	
	8.7	12.55	57.39		23.5	06.70	45.52		10.4	09.37	31.64	
	9.7	12.34	57.21		24.5	06.69	45.21		11.4	09.51	31.43	
	10.6	12.14	57.01		25.5	06.68	44.91		12.4	09.64	31.22	
	11.6	11.95	56.82		26.5	06.66	44.62		13.4	09.77	31.00	
	12.6	11.77	56.62		27.5	06.64	44.32		14.4	09.90	30.76	
	13.6	11.60	56.43		28.5	06.61	44.02		15.4	10.03	30.51	
	14.6	11.43	56.24	Marzec	1.5	06.58	43.70		16.4	10.19	30.26	
	15.6	11.27	56.06		2.5	06.55	43.38		17.4	10.35	30.01	
	16.6	11.11	55.90		3.5	06.53	43.04		18.4	10.54	29.79	
	17.6	10.95	55.74		4.5	06.50	42.69		19.4	10.73	29.58	
	18.6	10.78	55.57		5.5	06.49	42.33		20.4	10.94	29.40	
	19.6	10.59	55.40		6.5	06.49	41.97		21.4	11.13	29.24	
	20.6	10.40	55.21		7.5	06.50	41.62		22.4	11.33	29.09	
	21.6	10.21	54.99		8.5	06.52	41.26		23.4	11.51	28.94	
	22.6	10.02	54.75		9.5	06.56	40.92		24.4	11.68	28.79	
	23.6	09.84	54.48		10.5	06.60	40.60		25.4	11.85	28.64	
	24.6	09.68	54.21		11.5	06.65	40.28		26.4	12.02	28.47	
	25.6	09.54	53.95		12.5	06.69	39.98		27.4	12.19	28.30	
	26.6	09.41	53.69		13.5	06.74	39.69		28.4	12.37	28.12	
	27.6	09.29	53.45		14.5	06.78	39.40		29.4	12.55	27.94	
	28.6	09.17	53.21		15.5	06.81	39.11		30.3	12.74	27.77	
	29.6	09.05	52.98		16.5	06.84	38.81	Maj	1.3	12.95	27.60	
	30.6	08.92	52.75		17.5	06.86	38.50		2.3	13.16	27.45	
	31.6	08.79	52.52		18.5	06.89	38.16		3.3	13.38	27.31	
Luty	1.6	08.65	52.27		19.5	06.93	37.82		4.3	13.60	27.19	
	2.6	08.51	52.01		20.5	07.00	37.47		5.3	13.82	27.10	
	3.6	08.36	51.74		21.5	07.08	37.13		6.3	14.05	27.01	
	4.6	08.23	51.45		22.5	07.17	36.81		7.3	14.26	26.94	
	5.6	08.09	51.14		23.5	07.28	36.52		8.3	14.47	26.88	
	6.6	07.97	50.83		24.4	07.38	36.24		9.3	14.66	26.81	
	7.6	07.86	50.50		25.4	07.49	35.97		10.3	14.85	26.74	
	8.6	07.76	50.18		26.4	07.58	35.71		11.3	15.04	26.65	
	9.6	07.67	49.87		27.4	07.67	35.44		12.3	15.23	26.55	
	10.6	07.59	49.56		28.4	07.76	35.17		13.3	15.43	26.45	
	11.6	07.52	49.26		29.4	07.84	34.89		14.3	15.65	26.35	
	12.6	07.45	48.98		30.4	07.93	34.60		15.3	15.88	26.27	
	13.6	07.38	48.70		31.4	08.02	34.30		16.3	16.12	26.20	
	14.6	07.31	48.43	Kwiecień	1.4	08.12	34.00		17.3	16.36	26.17	
	15.6	07.23	48.16		2.4	08.22	33.69		18.3	16.61	26.15	
	16.5	07.14	47.88		3.4	08.34	33.39		19.3	16.85	26.15	
										3.2	26.38	30.77
										4.2	26.54	31.00

Dwukrotne dołowanie 6.III, dwukrotne górowanie 4.IX .
Miejsca średnie 2015.5 $\alpha = 22^h 54^m 13.^s 83$ $\delta = +84^\circ 25' 44.^s 89$

MIEJSKA POZORNE 36H Cephei (4^m.71) 2015
w momencie jej górowania w południku Greenwich

UT1	α_{app}^γ	δ_{app}	UT1	α_{app}^γ	δ_{app}	UT1	α_{app}^γ	δ_{app}	UT1	α_{app}^γ	δ_{app}
	22 ^h 54 ^m	+84°25'		22 ^h 54 ^m	+84°25'		22 ^h 54 ^m	+84°26'		22 ^h 54 ^m	+84°26'
Lipiec	4.2	26.54	31".00	Sierpień	19.0	31".98	44".94	Paźdz.	3.9	30".81	01".89
	5.2	26.69	31.22		20.0	32.04	45.28		4.9	30.70	02.27
	6.2	26.85	31.42		21.0	32.11	45.64		5.9	30.58	02.62
	7.2	27.01	31.62		22.0	32.17	46.01		6.9	30.45	02.97
	8.2	27.18	31.82		23.0	32.22	46.39		7.9	30.32	03.29
	9.2	27.37	32.04		24.0	32.27	46.79		8.9	30.19	03.60
	10.2	27.56	32.28		25.0	32.30	47.19		9.9	30.06	03.91
	11.2	27.75	32.54		26.0	32.33	47.60		10.9	29.93	04.20
	12.1	27.94	32.82		27.0	32.33	47.99		11.9	29.81	04.50
	13.1	28.12	33.12		28.0	32.33	48.37		12.9	29.69	04.79
	14.1	28.28	33.42		29.0	32.31	48.73		13.9	29.58	05.10
	15.1	28.43	33.71		30.0	32.31	49.07		14.9	29.46	05.41
	16.1	28.57	34.00		31.0	32.31	49.41		15.9	29.35	05.73
	17.1	28.70	34.28	Wrzesień	1.0	32.32	49.75		16.9	29.22	06.06
	18.1	28.83	34.56		2.0	32.34	50.10		17.9	29.09	06.39
	19.1	28.96	34.82		3.0	32.36	50.48		18.9	28.95	06.72
	20.1	29.09	35.08		4.0	32.39	50.87		19.9	28.80	07.05
	21.1	29.22	35.34		5.0	32.40	51.27		20.9	28.63	07.36
	22.1	29.36	35.60		6.0	32.41	51.68		21.9	28.46	07.66
	23.1	29.50	35.87		7.0	32.40	52.09		22.9	28.28	07.93
	24.1	29.65	36.16		8.0	32.37	52.48		23.9	28.10	08.19
	25.1	29.80	36.46		9.0	32.34	52.87		24.9	27.93	08.43
	26.1	29.95	36.78		10.0	32.30	53.25		25.9	27.77	08.68
	27.1	30.09	37.11		11.0	32.25	53.61		26.9	27.63	08.93
	28.1	30.22	37.46		12.0	32.20	53.96		27.9	27.49	09.20
	29.1	30.33	37.81		13.0	32.16	54.30		28.9	27.35	09.48
	30.1	30.43	38.16		14.0	32.12	54.64		29.8	27.20	09.78
	31.1	30.52	38.50		15.0	32.08	54.98		30.8	27.04	10.08
Sierpień	1.1	30.60	38.83		16.0	32.05	55.33		31.8	26.86	10.37
	2.1	30.68	39.13		17.0	32.02	55.69		Listopad	1.8	26.68
	3.1	30.76	39.43		18.0	31.99	56.06			2.8	26.48
	4.1	30.86	39.73		19.0	31.96	56.44			3.8	26.28
	5.1	30.97	40.03		20.0	31.92	56.83			4.8	26.07
	6.1	31.08	40.35		21.0	31.86	57.22			5.8	25.87
	7.1	31.20	40.70		22.0	31.80	57.62			6.8	25.67
	8.1	31.31	41.06		23.0	31.72	58.01			7.8	25.48
	9.1	31.41	41.43		23.9	31.63	58.39			8.8	25.30
	10.1	31.50	41.81		24.9	31.53	58.75			9.8	25.12
	11.1	31.57	42.19		25.9	31.43	59.08			10.8	24.94
	12.1	31.64	42.56		26.9	31.34	59.41			11.8	24.76
	13.1	31.69	42.93		27.9	31.25	59.73			12.8	24.58
	14.1	31.74	43.28		28.9	31.18	60.05			13.8	24.39
	15.1	31.78	43.61		29.9	31.11	60.39			14.8	24.19
	16.1	31.83	43.95		30.9	31.05	60.75			15.8	23.98
	17.1	31.88	44.27	Paźdz.	1.9	30.98	61.13			16.8	23.76
	18.0	31.93	44.60		2.9	30.90	61.51			17.8	23.53
	19.0	31.98	44.94		3.9	30.81	61.89			18.8	23.30
											14.12

δ	+84°25'20.0"	+84°25'30.0"	+84°25'40.0"	+84°25'50.0"	+84°26'00.0"	+84°26'10.0"	+84°26'20.0"	+84°26'30.0"
sec δ	10.2884	10.2935	10.2986	10.3037	10.3089	10.3140	10.3191	10.3243
tan δ	10.2397	10.2448	10.2500	10.2551	10.2602	10.2654	10.2706	10.2757

**Wektor barycentrycznej pozycji [au] i prędkości [au/doba] Ziemi
oraz wektor heliocentrycznej pozycji [au] Ziemi — 2015**
($\times 10^{-9}$) w momencie 0^h TCB daty

Data		X_B	Y_B	Z_B	\dot{X}_B	\dot{Y}_B	\dot{Z}_B	X_H	Y_H	Z_H
XII	31	-151085532	890347994	385830424	-17264078	-2530873	-1096573	-153922584	891082831	386298470
I	1	-168324140	887679121	384673990	-17212292	-2806696	-1216223	-171165170	888409118	385140044
	2	-185508433	884734959	383398123	-17155456	-3081449	-1335438	-188353434	885460109	383862182
	3	-202633386	881516584	382003264	-17093621	-3355119	-1454204	-205482353	882236882	382465325
	4	-219694018	878025087	380489869	-17026816	-3627692	-1572509	-222546944	878740527	380949930
	5	-236685367	874261571	378858405	-16955057	-3899152	-1690338	-239542246	874972148	379316463
	6	-253602481	870227161	377109356	-16878345	-4169477	-1807675	-256463307	870932868	377565409
	7	-270440403	865923006	375243226	-16796671	-4438635	-1924498	-273305170	866623837	375697271
	8	-287194164	861350293	373260539	-16710020	-4706586	-2040785	-290062865	862046243	373712573
	9	-303858777	856510255	371161844	-16618373	-4973277	-2156508	-306731407	857201317	371611865
	10	-320429237	851404179	368947720	-16521710	-5238649	-2271638	-323305789	852090348	369395725
	11	-336900519	846033418	366618776	-16420013	-5502636	-2386142	-339780987	846714688	367064763
	12	-353267579	840399393	364175655	-16313263	-5765166	-2499987	-356151957	841075757	364619621
	13	-369525354	834503599	361619034	-16201441	-6026161	-2613137	-372413636	835175051	362060976
	14	-385668763	828347610	358949625	-16084525	-6285540	-2725555	-388560943	829014144	359389541
	15	-401692699	821933086	356168182	-15962491	-6543215	-2837201	-404588770	822594696	356606068
	16	-417592029	815261780	353275495	-15835309	-6799086	-2948033	-420491986	815918459	353711348
	17	-433361590	808335553	350272403	-15702946	-7053037	-3058003	-436265426	808987295	350706221
	18	-448996183	801156392	347159796	-15565371	-7304929	-3167053	-451903893	801803191	347591576
	19	-464490589	793726437	343938624	-15422568	-7554596	-3275120	-467402164	794368286	344368364
	20	-479839580	786048005	340609908	-15274548	-7801848	-3382131	-482755016	786684897	341037604
	21	-495037963	778123614	337174739	-15121365	-8046479	-3488010	-497957253	778755543	337600389
	22	-510080622	769955989	333634290	-14963122	-8288285	-3592682	-513003760	770582948	334057889
	23	-524962571	761548047	329989799	-14799973	-8527086	-3696082	-527889550	762170030	330411346
	24	-539678993	752902865	326242567	-14632099	-8762744	-3798158	-542609806	753519866	326662058
	25	-554225260	744023638	322393936	-14459695	-8995167	-3898876	-557159900	744635649	322811368
	26	-568596935	734913627	318445276	-14282945	-9224306	-3998214	-571535396	735520641	318860646
	27	-582789755	725576128	314397972	-14102010	-9450141	-4096160	-585732030	726178140	314811278
	28	-596799605	716014446	310253421	-13917027	-9672673	-4192710	-599745687	716611448	310664658
	29	-610622496	706231882	306013020	-13728108	-9891907	-4287859	-613572378	706823867	306422186
	30	-624254540	696231727	301678171	-13535344	-10107854	-4381603	-627208214	696818690	302085264
	31	-637691928	686017267	297250282	-13338810	-10320521	-4473940	-640649389	686599199	297655297
II	1	-650930924	675591778	292730764	-13138567	-10529910	-4564862	-653892163	676168675	293133698
	2	-663967843	664958540	288121033	-12934665	-10736021	-4654362	-666932854	665530393	288521884
	3	-676799048	654120832	283422516	-12727145	-10938846	-4742432	-679767823	654687636	283821281
	4	-689420938	643081947	278636650	-12516039	-11138372	-4829059	-692393469	643643695	279033326
	5	-701829941	631845194	273764884	-12301376	-11334579	-4914229	-704806222	632401879	274159468
	6	-714022513	620413906	268808683	-12083180	-11527436	-4997925	-717002536	620965522	269201173
	7	-725995130	608791449	263769531	-11861470	-11716910	-5080129	-728978888	609337990	264159922
	8	-737744289	596981229	258648930	-11636269	-11902956	-5160820	-740731775	597522687	259037220
	9	-749266510	584986695	253448404	-11407595	-12085527	-5239973	-752257715	585523065	253834590
	10	-760558329	572811352	248169503	-11175470	-12264567	-5317566	-763553247	573342627	248553582
	11	-771616304	560458759	242813801	-10939911	-12440016	-5393570	-774614928	560984932	243195771
	12	-782437012	547932539	237382901	-10700936	-12611807	-5467958	-785439333	548453605	237762758
	13	-793017042	535236391	231878435	-10458560	-12779861	-5540696	-796023054	535752341	232256176
	14	-803353002	522374093	226302070	-10212797	-12944088	-5611749	-806362697	522884923	226677693

**Wektor barycentrycznej pozycji [au] i prędkości [au/doba] Ziemi
oraz wektor heliocentrycznej pozycji [au] Ziemi — 2015**
($\times 10^{-9}$) w momencie 0^h TCB daty

Data	X_B	Y_B	Z_B	\dot{X}_B	\dot{Y}_B	\dot{Z}_B	X_H	Y_H	Z_H
II	-813441514	509349528	220655512	-9963667	-13104376	-5681074	-816454884	509855230	221029013
	-823279224	496166698	214940514	-9711201	-13260592	-5748621	-826296261	496667267	215311891
	-832862823	482829752	209158881	-9455456	-13412581	-5814334	-835883519	483325181	209528130
	-842189076	469343001	203312477	-9196532	-13560174	-5878152	-845213425	469833284	203679596
	-851254876	455710926	197403227	-8934577	-13703204	-5940019	-854282870	456196056	197768212
	-860057286	441938160	191433107	-8669789	-13841535	-5999885	-863088917	442418130	191795956
	-868593587	428029454	185404134	-8402398	-13975073	-6057719	-871628846	428504259	185764845
	-876861293	413989624	179318350	-8132639	-14103782	-6113508	-879900174	414459256	179676918
	-884858149	399823497	173177799	-7860733	-14227672	-6167255	-887900644	400287951	173534222
	-892582106	385535872	166984517	-7586867	-14346786	-6218971	-895628207	385995141	167338793
	-900031281	371131496	160740527	-7311192	-14461185	-6268675	-903080980	371585574	161092652
	-907203927	356615054	154447832	-7033827	-14570929	-6316384	-910257216	357063934	154797804
	-914098405	341991172	148108419	-6754870	-14676073	-6362113	-917155276	342434848	148456234
	-920713162	327264425	141724261	-6474398	-14776665	-6405876	-923773608	327702891	142069917
III	1 -927046720	312439346	135297320	-6192482	-14872744	-6447682	-930110732	312872595	135640813
	2 -933097666	297520431	128829548	-5909183	-14964341	-6487538	-936165236	297948457	129170876
	3 -938864644	282512149	122322892	-5624557	-15051482	-6525450	-941935765	282934945	122662052
	4 -944346353	267418945	115779295	-5338653	-15134188	-6561422	-947421017	267836505	116116284
	5 -949541540	252245246	109200695	-5051518	-15212473	-6595456	-952619737	252657564	109535510
	6 -954448992	236995470	102589029	-4763192	-15286346	-6627551	-957530716	237402539	102921668
	7 -959067540	221674025	95946238	-4473714	-15355809	-6657707	-962152781	222075839	96276697
	8 -963396047	206285324	89274263	-4183117	-15420857	-6685919	-966484798	206681877	89602539
	9 -967433412	190833787	82575050	-3891435	-15481479	-6712180	-970525665	191225072	82901141
	10 -971178566	175323849	75850555	-3598701	-15537654	-6736483	-974274313	175709860	76174457
	11 -974630474	159759970	69102742	-3304946	-15589354	-6758815	-977729705	160140702	69424453
	12 -977788130	144146643	62333588	-3010204	-15636544	-6779162	-980890837	144522088	62653104
	13 -980650565	128488401	55545085	-2714510	-15679176	-6797508	-983756741	128858554	55862404
	14 -983216844	112789831	48739245	-2417901	-15717190	-6813832	-986326480	113154684	49054365
	15 -985486077	97055585	41918104	-2120424	-15750512	-6828107	-988599164	97415133	42231021
	16 -987457422	81290400	35083724	-1822138	-15779051	-6840304	-990573953	81644637	35394436
	17 -989130112	65499113	28238202	-1523130	-15802699	-6850386	-992250077	65848032	28546705
	18 -990503482	49686670	21383670	-1223521	-15821343	-6858316	-993626873	50030265	21689962
	19 -991577008	33858132	14522297	-923474	-15834873	-6864062	-994703816	34196397	14826375
	20 -992350353	18018655	7656283	-623198	-15843209	-6867597	-995480570	18351585	7958144
	21 -992823405	2173457	787843	-322927	-15846315	-6868914	-995957022	2501044	1087484
	22 -992996290	-13672236	-6080808	-22904	-15844207	-6868021	-996133298	-13349997	-5783390
	23 -992869368	-29513242	-12947471	276653	-15836954	-6864944	-996009759	-29196357	-12652278
	24 -992443202	-45344464	-19809979	575558	-15824658	-6859718	-995586967	-45032939	-19517014
	25 -991718516	-61160915	-26666204	873672	-15807433	-6852384	-994865646	-60854757	-26375470
	26 -990696156	-76957725	-33514058	1170890	-15785393	-6842981	-993846643	-76656939	-33225558
	27 -989377061	-92730130	-40351488	1467133	-15758641	-6831543	-992530895	-92434723	-40065225
	28 -987762236	-108473465	-47176477	1762340	-15727265	-6818102	-990919409	-108183443	-46892453
	29 -985852744	-124183145	-53987034	2056459	-15691343	-6802684	-989013247	-123898513	-53705252
	30 -983649696	-139854659	-60781193	2349444	-15650942	-6785311	-986813519	-139575423	-60501656
	31 -981154248	-155483556	-67557011	2641251	-15606120	-6766005	-984321384	-155209722	-67279722
IV 1	-978367600	-171065444	-74312566	2931839	-15556933	-6744785	-981538038	-170797019	-74037527

**Wektor barycentrycznej pozycji [au] i prędkości [au/doba] Ziemi
oraz wektor heliocentrycznej pozycji [au] Ziemi — 2015**
($\times 10^{-9}$) w momencie 0^h TCB daty

Data	X_B	Y_B	Z_B	\dot{X}_B	\dot{Y}_B	\dot{Z}_B	X_H	Y_H	Z_H	
IV	2	-975290988	-186595982	-81045950	3221173	-15503428	-6721669	-978464720	-186332971	-80773164
	3	-971925683	-202070876	-87755278	3509219	-15445651	-6696673	-975102700	-201813285	-87484748
	4	-968272988	-217485872	-94438675	3795951	-15383640	-6669811	-971453281	-217233707	-94170403
	5	-964334228	-232836754	-101094282	4081344	-15317425	-6641095	-967517788	-232590020	-100828272
	6	-960110753	-248119328	-107720250	4365378	-15247028	-6610534	-963297571	-247878032	-107456504
	7	-955603930	-263329420	-114314737	4648035	-15172462	-6578134	-958793997	-263093568	-114053258
	8	-950815148	-278462862	-120875907	4929294	-15093726	-6543898	-954008454	-278232459	-120616697
	9	-945745817	-293515479	-127401920	5209130	-15010810	-6507823	-948942353	-293290531	-127144983
	10	-940397371	-308483080	-133890939	5487515	-14923690	-6469906	-943597129	-308263593	-133636277
	11	-934771283	-323361447	-140341115	5764409	-14832334	-6430137	-937974252	-323147426	-140088730
	12	-928869067	-338146320	-146750591	6039760	-14736694	-6388505	-932075239	-337937771	-146500488
	13	-922692300	-352833389	-153117499	6313497	-14636716	-6344995	-925901665	-352630319	-152869678
	14	-916242641	-367418284	-159439951	6585526	-14532337	-6299592	-919455191	-367220698	-159194416
	15	-909521859	-381896575	-165716045	6855720	-14423496	-6252278	-912737583	-381704478	-165472800
	16	-902531865	-396263772	-171943867	7123921	-14310144	-6203045	-905750754	-396077171	-171702913
	17	-895274746	-410515351	-178121495	7389936	-14192258	-6151890	-898496790	-410334251	-177882835
	18	-887752790	-424646783	-184247011	7653557	-14069858	-6098826	-890977981	-424471191	-184010648
	19	-879968500	-438653583	-190318520	7914573	-13943009	-6043882	-883196826	-438483504	-190084457
	20	-871924577	-452531354	-196334161	8172793	-13811821	-5987099	-875156030	-452366793	-196102401
	21	-863623897	-466275825	-202292123	8428065	-13676433	-5928531	-866858466	-466116788	-202062668
	22	-855069467	-479882872	-208190646	8680277	-13537000	-5868232	-858307143	-479729366	-207963499
	23	-846264386	-493348527	-214028028	8929357	-13393671	-5806257	-849505159	-493200555	-213803192
	24	-837211812	-506668961	-219802617	9175259	-13246581	-5742655	-840455671	-506526530	-219580095
	25	-827914936	-519840476	-225512810	9417956	-13095852	-5677470	-831161871	-519703592	-225292604
	26	-818376975	-532859486	-231157042	9657428	-12941586	-5610741	-821626976	-532728153	-230939155
	27	-808601160	-545722501	-236733788	9893661	-12783877	-5542502	-811854216	-545596725	-236518223
	28	-798590737	-558426119	-242241553	10126641	-12622806	-5472785	-801846839	-558305905	-242028312
	29	-788348966	-570967018	-247678876	10356356	-12458451	-5401620	-791608102	-570852372	-247467961
	30	-777879117	-583341950	-253044321	10582795	-12290884	-5329036	-781141278	-583232876	-252835736
V	1	-767184469	-595547738	-258336484	10805954	-12120173	-5255059	-770449643	-595444241	-258130230
	2	-756268303	-607581268	-263553983	11025831	-11946378	-5179714	-759536480	-607483354	-263350064
	3	-745133899	-619439485	-268695464	11242431	-11769555	-5103025	-748405069	-619347158	-268493882
	4	-733784531	-631119384	-273759591	11455761	-11589747	-5025009	-737058683	-631032648	-273560348
	5	-722223464	-642617994	-278745046	11665831	-11406983	-4945683	-725500588	-642536854	-278548144
	6	-710453954	-653932370	-283650523	11872649	-11221281	-4865055	-713734038	-653856831	-283455965
	7	-698479250	-665059576	-288474725	12076216	-11032641	-4783133	-701762284	-664989642	-288282513
	8	-686302609	-675996669	-293216358	12276520	-10841051	-4699917	-689588583	-675932345	-293026494
	9	-673927306	-686740688	-297874127	12473536	-10646489	-4615405	-677216208	-686681977	-297686613
	10	-661356649	-697288645	-302446734	12667215	-10448923	-4529593	-664648470	-697235553	-302261573
	11	-648594010	-707637521	-306932878	12857489	-10248320	-4442477	-651888738	-707590050	-306750071
	12	-635642838	-717784264	-311331253	13044262	-10044653	-4354055	-638940463	-717742420	-311150803
	13	-622506692	-727725799	-315640553	13227414	-9837903	-4264327	-625807204	-727689585	-315462462
	14	-609189264	-737459042	-319859476	13406803	-9628071	-4173303	-612492651	-737428462	-319683745
	15	-595694395	-746980924	-323986732	13582266	-9415187	-4080999	-599000648	-746955981	-323813364
	16	-582026096	-756288421	-328021057	13753636	-9199317	-3987446	-585335204	-756269120	-327850053
	17	-568188541	-765378596	-331961221	13920753	-8980563	-3892685	-571500493	-765364941	-331792584

**Wektor barycentrycznej pozycji [au] i prędkości [au/doba] Ziemi
oraz wektor heliocentrycznej pozycji [au] Ziemi — 2015**
($\times 10^{-9}$) w momencie 0^h TCB daty

Data	X_B	Y_B	Z_B	\dot{X}_B	\dot{Y}_B	\dot{Z}_B	X_H	Y_H	Z_H
V	18 -554186055	-774248631	-335806042	14083476	-8759062	-3796770	-557500840	-774240625	-335639773
	19 -540023088	-782895857	-339554395	14241701	-8534972	-3699760	-543340696	-782893503	-339390497
	20 -525704175	-791317769	-343205219	14395360	-8308463	-3601720	-529024596	-791321071	-343043692
	21 -511233903	-799512030	-346757511	14544417	-8079698	-3502708	-514557125	-799520993	-346598359
	22 -496616877	-807476463	-350210330	14688867	-7848829	-3402782	-499942891	-807491088	-350053553
	23 -481857701	-815209031	-353562787	14828720	-7615988	-3301991	-485186496	-815229322	-353408387
	24 -466960962	-822707822	-356814040	14963995	-7381294	-3200382	-470292528	-822733783	-356662020
	25 -451931230	-829971036	-359963290	15094713	-7144850	-3097993	-455265556	-830002670	-359813651
	26 -436773047	-836996970	-363009778	15220898	-6906748	-2994861	-440110123	-837034280	-362862521
	27 -421490936	-843784009	-365952777	15342573	-6667075	-2891022	-424830752	-843826999	-365807904
	28 -406089396	-850330623	-368791597	15459762	-6425912	-2786508	-409431941	-850379296	-368649110
	29 -390572899	-856635361	-371525579	15572492	-6183334	-2681351	-393918162	-856689719	-371385479
	30 -374945888	-862696843	-374154094	15680795	-5939412	-2575580	-378293860	-862756889	-374016383
	31 -359212773	-868513758	-376676543	15784707	-5694209	-2469222	-362563444	-868579495	-376541223
VI	1 -343377923	-874084851	-379092351	15884272	-5447775	-2362301	-346731282	-874156282	-378959422
	2 -327445664	-879408910	-381400963	15979533	-5200147	-2254834	-330801700	-879486038	-381270428
	3 -311420279	-884484752	-383601841	16070530	-4951342	-2146834	-314778983	-884567580	-383473701
	4 -295306015	-889311202	-385694456	16157294	-4701361	-2038308	-298667377	-889399733	-385568713
	5 -279107096	-893887078	-387678283	16239839	-4450189	-1929257	-282471107	-893981313	-387554937
	6 -262827746	-898211174	-389552795	16318154	-4197799	-1819680	-266194394	-898311117	-389431848
	7 -246472210	-902282260	-391317466	16392201	-3944162	-1709573	-249841486	-902387913	-391198919
	8 -230044788	-906099076	-392971766	16461914	-3689257	-1598939	-233416682	-906210441	-392855621
	9 -213549858	-909660349	-394515170	16527200	-3433077	-1487783	-216924359	-909777430	-394401429
	10 -196991899	-912964810	-395947161	16587951	-3175637	-1376117	-200368998	-913087608	-395835825
	11 -180375508	-916011216	-397267242	16644044	-2916978	-1263965	-183755195	-916139735	-397158311
	12 -163705405	-918798383	-398474939	16695354	-2657172	-1151357	-167087670	-918932625	-398368415
	13 -146986435	-921325211	-399569818	16741760	-2396318	-1038336	-150371269	-921465177	-399465702
	14 -130223554	-923590713	-400551490	16783160	-2134546	-924953	-133610946	-923736406	-400449784
	15 -113421811	-925594046	-401419621	16819473	-1872004	-811264	-116811752	-925745468	-401320326
	16 -96586321	-927334518	-402173937	16850647	-1608855	-697332	-99978803	-927491672	-402077053
	17 -79722236	-928811608	-402814224	16876663	-1345265	-583218	-83117247	-928974496	-402719754
	18 -62834711	-930024956	-403340333	16897530	-1081396	-468984	-66232243	-930193579	-403248277
	19 -45928883	-930974356	-403752171	16913278	-817394	-354685	-49328926	-931148717	-403662530
	20 -29009847	-931659743	-404049698	16923953	-553392	-240371	-32412392	-931839845	-403962473
	21 -12082649	-932081179	-404232923	16929610	-289507	-126088	-15487687	-932267022	-404148116
VII	22 4847721	-932238830	-404301897	16930308	-25840	-11875	1440201	-932430417	-404219509
	23 21776334	-932132962	-404256710	16926105	237517	102229	18366340	-932330296	-404176741
	24 38698317	-931763927	-404097486	16917058	500482	216192	35285858	-931967008	-404019938
	25 55608855	-931132155	-403824384	16903227	762976	329980	52193941	-931340987	-403749258
	26 72503196	-930238155	-403437594	16884671	1024928	443564	69085835	-930452739	-403364891
	27 89376644	-929082502	-402937335	16861454	1286272	556914	85956846	-929302840	-402867055
	28 106224574	-927665835	-402323853	16833646	1546948	670004	102802347	-927891928	-402255999
	29 123042431	-925988844	-401597420	16801321	1806912	782813	119617784	-926220695	-401531992
	30 139825735	-924052260	-400758326	16764553	2066131	895324	136398678	-924289870	-400695325
	1 156570081	-921856833	-399806875	16723416	2324597	1007526	153140622	-922100205	-399746302
	2 173271131	-919403313	-398743377	16677970	2582320	1119417	169839278	-919652449	-398685233

**Wektor barycentrycznej pozycji [au] i prędkości [au/doba] Ziemi
oraz wektor heliocentrycznej pozycji [au] Ziemi — 2015**
 $(\times 10^{-9})$ w momencie 0^h TCB daty

Data		X_B	Y_B	Z_B	\dot{X}_B	\dot{Y}_B	\dot{Z}_B	X_H	Y_H	Z_H
VII	3	189924596	-916692432	-397568143	16628251	2839328	1230999	186490359	-916947333	-397512429
	4	206526211	-913724883	-396281480	16574266	3095660	1342278	203089597	-913985552	-396228196
	5	223071696	-910501325	-394883687	16515985	3351353	1453258	219632715	-910767763	-394832835
	6	239556729	-907022384	-393375062	16453347	3606427	1563939	236115388	-907294593	-393326644
	7	255976909	-903288678	-391755910	16386264	3860877	1674311	252533218	-903566660	-391709926
	8	272327743	-899300849	-390026549	16314638	4114664	1784354	268881709	-899584607	-389983000
	9	288604638	-895059594	-388187323	16238370	4367717	1894035	285156270	-895349128	-388146210
	10	304802906	-890565694	-386238614	16157372	4619934	2003313	301352212	-890861008	-386199938
	11	320917781	-885820046	-384180847	16071575	4871190	2112141	317464770	-886121142	-384144609
	12	336944440	-880823680	-382014500	15980933	5121347	2220463	333489119	-881130559	-381980702
	13	352878025	-875577770	-379740107	15885426	5370251	2328223	349420403	-875890434	-379708750
	14	368713670	-870083646	-377358260	15785056	5617750	2435363	365253755	-870402098	-377329344
	15	384446525	-864342790	-374869606	15679852	5863691	2541826	380984326	-864667032	-374843133
	16	400071780	-858356831	-372274851	15569865	6107932	2647558	396607304	-858686865	-372250822
	17	415584684	-852127538	-369574751	15455162	6350339	2752508	412117939	-852463366	-369553167
	18	430980558	-845656804	-366770110	15335821	6590795	2856632	427511554	-845998428	-366750972
	19	446254809	-838946632	-363861776	15211930	6829198	2959889	442783553	-839294056	-363845086
	20	461402932	-831999123	-360850633	15083578	7065456	3062243	457929432	-832352348	-360836392
	21	476420509	-824816462	-357737602	14950856	7299490	3163661	472944774	-825175490	-357725811
	22	491303217	-817400909	-354523633	14813854	7531230	3264114	487825255	-817765742	-354514293
	23	506046821	-809754789	-351209704	14672662	7760612	3363576	502566640	-810125430	-351202817
	24	520647175	-801880489	-347796821	14527371	7987579	3462020	517164783	-802256940	-347792387
	25	535100227	-793780452	-344286012	14378073	8212080	3559423	531615633	-794162715	-344284033
	26	549402019	-785457165	-340678328	14224866	8434072	3655767	545915230	-785845242	-340678804
	27	563548691	-776913155	-336974837	14067851	8653523	3751033	560059716	-777307048	-336977771
	28	577536486	-768150971	-333176624	13907130	8870419	3845212	574045333	-768550682	-333182015
	29	591361747	-759173167	-329284778	13742800	9084765	3938298	587868426	-759578698	-329292628
	30	605020911	-749982282	-325300390	13574946	9296588	4030296	601525428	-750393636	-325310701
	31	618510486	-740580817	-321224546	13403628	9505936	4121213	615012849	-740997995	-321237319
VIII	1	631827020	-730971217	-317058319	13228867	9712866	4211064	628327239	-731394221	-317073554
	2	644967067	-721155873	-312802769	13050645	9917430	4299859	641465148	-721584705	-312820468
	3	657927137	-711137135	-308458951	12868903	10119657	4387601	654423089	-711571797	-308479114
	4	670703673	-700917341	-304027920	12683561	10319537	4474281	667197503	-701357835	-304050549
	5	683293030	-690498861	-299510751	12494532	10517017	4559874	679784747	-690945190	-299535846
	6	695691483	-679884137	-294908547	12301742	10712008	4644344	692181095	-680336301	-294936110
	7	707895243	-669075715	-290222452	12105142	10904390	4727648	704382758	-669533717	-290252483
	8	719900490	-658076271	-285453658	11904712	11094030	4809733	716385914	-658540113	-285486159
	9	731703394	-646888617	-280603410	11700460	11280785	4890547	728186736	-647358301	-280638381
	10	743300148	-635515710	-275673004	11492421	11464515	4970040	739781416	-635991237	-275710447
	11	754686992	-623960641	-270663788	11280651	11645085	5048160	751166193	-624442015	-270703704
	12	765860230	-612226636	-265577157	11065222	11822368	5124861	762337371	-612713857	-265619547
	13	776816247	-600317040	-260414554	10846225	11996248	5200099	773291337	-600810110	-260459418
	14	787551524	-588235309	-255177461	10623759	12166621	5273835	784024569	-588734231	-255224801
	15	798062645	-575984998	-249867397	10397933	12333393	5346033	794533654	-576489774	-249917214
	16	808346307	-563569750	-244485918	10168860	12496484	5416662	804815286	-564080381	-244538213
	17	818399322	-550993279	-239034606	9936659	12655828	5485694	814866279	-551509768	-239089380

**Wektor barycentrycznej pozycji [au] i prędkości [au/doba] Ziemi
oraz wektor heliocentrycznej pozycji [au] Ziemi — 2015**
($\times 10^{-9}$) w momencie 0^h TCB daty

Data	X_B	Y_B	Z_B	\dot{X}_B	\dot{Y}_B	\dot{Z}_B	X_H	Y_H	Z_H
VIII 18	828218621	-538259364	-233515069	9701447	12811365	5553108	824683564	-538781712	-233572323
	19	837801252	-525371834	-227928938	9463343	12963049	5618881	834264187	-525900044
	20	847144382	-512334564	-222277861	9222463	13110839	5682996	843605317	-512868638
	21	856245293	-499151464	-216563503	8978926	13254704	5745438	852704235	-499691404
	22	865101386	-485826473	-210787546	8732847	13394618	5806195	861558343	-486372281
	23	873710180	-472363550	-204951678	8484348	13530566	5865256	870165158	-472915229
	24	882069314	-458766665	-199057600	8233547	13662541	5922616	878522321	-459324217
	25	890176548	-445039788	-193107013	7980567	13790555	5978274	886627591	-445603215
	26	898029759	-431186866	-187101618	7725520	13914637	6032235	894478844	-431756170
	27	905626933	-417211808	-181043105	7468508	14034838	6084512	902074068	-417786991
	28	912966145	-403118461	-174933149	7209605	14151227	6135123	909411337	-403699527
	29	920045525	-388910599	-168773406	6948847	14263883	6184091	916488781	-389497548
	30	926863218	-374591916	-162565509	6686225	14372878	6231434	923304544	-375184752
	31	933417337	-360166048	-156311076	6421689	14478257	6277163	929856741	-360764772
IX 1	939705934	-345636608	-150011722	6155167	14580017	6321275	936143423	-346241224	-150103807
	2	945726983	-331007236	-143669073	5886584	14678109	6363747	942162564	-331617746
	3	951478397	-316281645	-137284785	5615889	14772437	6404546	947912077	-316898052
	4	956958052	-301463657	-130860553	5343066	14862880	6443628	953389837	-302085963
	5	962163828	-286557223	-124398118	5068139	14949308	6480946	958593725	-287185431
	6	967093646	-271566423	-117899264	4791163	15031592	6516456	963521663	-272200534
	7	971745497	-256495460	-111365822	4512220	15109614	6550116	968171640	-257135479
	8	976117463	-241348650	-104799661	4231410	15183269	6581888	972541738	-241994579
	9	980207732	-226130407	-98202687	3948844	15252467	6611739	976630146	-226782248
	10	984014607	-210845229	-91576832	3664645	15317127	6639642	980435168	-211502985
	11	987536519	-195497688	-84924060	3378938	15377183	6665571	983955233	-196161362
	12	990772024	-180092417	-78246354	3091854	15432579	6689507	987188898	-180762012
	13	993719813	-164634100	-71545717	2803530	15483268	6711430	990134854	-165309619
	14	996378715	-149127461	-64824168	2514102	15529216	6731329	992791929	-149808907
	15	998747696	-133577256	-58083737	2223709	15570399	6749193	995159090	-134264631
	16	1000825858	-117988256	-51326463	1932489	15606802	6765015	997235439	-118681564
	17	1002612443	-102365246	-44554389	1640579	15638420	6778792	999020218	-103064490
	18	1004106830	-86713010	-37769560	1348114	15665257	6790524	1000512805	-87418193
	19	1005308531	-71036322	-30974022	1055229	15687325	6800213	1001712713	-71747447
	20	1006217192	-55339941	-24169814	762056	15704648	6807865	1002619588	-56057011
	21	1006832590	-39628596	-17358968	468724	15717260	6813490	1003233206	-40351615
	22	1007154630	-23906977	-10543506	175360	15725206	6817102	1003553473	-24635947
	23	1007183339	-8179718	-3725429	-117919	15728552	6818721	1003580416	-8914643
	24	1006918854	7548620	3093281	-411012	15727378	6818373	1003314172	6807737
	25	1006361403	23273563	9910671	-703842	15721779	6816087	1002754968	22526718
	26	1005511272	38990738	16724821	-996369	15711859	6811898	1001903091	38237927
	27	1004368766	54695872	23533842	-1288596	15697712	6805835	1000758845	53937093
	28	1002934166	70384774	30335873	-1580565	15679402	6797918	999322513	69620023
	29	1001207701	86053297	37129063	-1872340	15656951	6788155	997594322	85282569
	30	999189530	101697284	43911563	-2163985	15630322	6776533	995574431	100920577
X 1	996879762	117312523	50681500	-2455536	15599438	6763026	993262951	116529832	50513923
	2	994278490	132894707	57436975	-2746988	15564193	6747600	990659973	132106029
									57266857

**Wektor barycentrycznej pozycji [au] i prędkości [au/doba] Ziemi
oraz wektor heliocentrycznej pozycji [au] Ziemi — 2015**
($\times 10^{-9}$) w momencie 0^h TCB daty

	Data	X_B	Y_B	Z_B	\dot{X}_B	\dot{Y}_B	\dot{Z}_B	X_H	Y_H	Z_H
X	3	991385836	148439418	64176048	-3038287	15524475	6730219	987765621	147644749	64003388
	4	988201995	163942132	70896749	-3329347	15480183	6710849	984580087	163141468	70721545
	5	984727260	179398231	77597074	-3620053	15431232	6689464	981103667	178591567	77419324
	6	980962050	194803021	84274998	-3910276	15377558	6666044	977336778	193990354	84094700
	7	976906914	210151756	90928478	-4199880	15319114	6640574	973279972	209333082	90745630
	8	972562543	225439648	97555459	-4488725	15255869	6613044	968933936	224614963	97370059
	9	967929763	240661886	104153879	-4776672	15187801	6583450	964299499	239831184	103965924
	10	963009546	255813639	110721671	-5063578	15114901	6551790	959377632	254976918	110531160
	11	957803003	270890076	117256770	-5349300	15037168	6518064	954169445	270047330	117063701
	12	952311388	285886366	123757112	-5633696	14954609	6482277	948676195	285037591	123561482
	13	946536101	300797692	130220639	-5916621	14867243	6444436	942899280	299942883	130022447
	14	940478685	315619259	136645303	-6197930	14775097	6404553	936840243	314758412	136444546
	15	934140827	330346306	143029069	-6477482	14678211	6362643	930500772	329479416	142825746
	16	927524354	344974118	149369919	-6755136	14576635	6318724	923882693	344101181	149164026
	17	920631232	359498032	155665855	-7030758	14470428	6272818	916987974	358619043	155457390
	18	913463558	373913453	161914902	-7304219	14359662	6224951	909818710	373028408	161703864
	19	906023555	388215865	168115114	-7575396	14244421	6175154	902377125	387324759	167901500
	20	898313564	402400835	174264577	-7844178	14124798	6123460	894665560	401503664	174048385
	21	890336031	416464035	180361413	-8110465	14000898	6069906	886686461	415560793	180142641
	22	882093494	430401245	186403782	-8374176	13872840	6014534	878442366	429491929	186182427
	23	873588558	444208370	192389889	-8635255	13740748	5957388	869935881	443292975	192165949
	24	864823870	457881438	198317983	-8893678	13604747	5898514	861169652	456959960	198091456
	25	855802084	471416600	204186356	-9149456	13464954	5837953	852146334	470489034	203957239
	26	846525825	484810110	209993337	-9402634	13321452	5775736	842868550	483876451	209761629
	27	836997662	498058285	215737283	-9653274	13174288	5711882	833338872	497118529	215502981
	28	827220103	511157464	221416557	-9901437	13023456	5646394	823559806	510211607	221179660
	29	817195603	524103958	227029522	-10147155	12868907	5579259	813533808	523151995	226790026
	30	806926610	536894014	232574520	-10390420	12710568	5510458	803263325	535935942	232332425
	31	796415601	549523803	238049876	-10631174	12548360	5439970	792750835	548559617	237805178
XI	1	785665131	561989423	243453893	-10869322	12382218	5367778	781998893	561019118	243206590
	2	774677864	574286914	248784860	-11104745	12212099	5293872	771010163	573310486	248534951
	3	763456594	586412289	254041064	-11337308	12037983	5218251	759787438	585429734	253788546
	4	752004247	598361548	259220792	-11566874	11859872	5140920	748333646	597372862	258965663
	5	740323891	610130706	264322339	-11793306	11677782	5061891	736651853	609135884	264064596
	6	728418724	621715797	269344013	-12016471	11491745	4981179	724745259	620714835	269083656
	7	716292080	633112893	274284141	-12236240	11301799	4898801	712617196	632105787	274021166
	8	703947420	644318108	279141068	-12452482	11107991	4814780	700271126	643304854	278875474
	9	691388334	655327607	283913161	-12665070	10910376	4729138	687710640	654308200	283644945
	10	678618540	666137612	288598813	-12873877	10709016	4641902	674939454	665112049	288327974
	11	665641883	676744414	293196444	-13078774	10503984	4553103	661961416	675712690	292922980
	12	652462337	687144384	297704508	-13279636	10295365	4462773	648780496	686106495	297428416
	13	639083996	697333980	302121492	-13476342	10083255	4370950	635400792	696289922	301842770
	14	625511075	707309766	306445926	-13668778	9867764	4277679	621826517	706259535	306164572
	15	611747897	717068422	310676382	-13856841	9649015	4183004	608061994	716012014	310392394
	16	597798882	726606753	314811482	-14040439	9427139	4086976	594111643	725544164	314524858
	17	583668532	735921705	318849901	-14219500	9202279	3989649	579979967	734852930	318560639

**Wektor barycentrycznej pozycji [au] i prędkości [au/doba] Ziemi
oraz wektor heliocentrycznej pozycji [au] Ziemi — 2015**
($\times 10^{-9}$) w momencie 0^h TCB daty

Data	X_B	Y_B	Z_B	\dot{X}_B	\dot{Y}_B	\dot{Z}_B	X_H	Y_H	Z_H
XI	18 569361413	745010366	322790366	-14393970	8974583	3891079	565671531	743935402	322498464
	19 554882135	753869975	326631663	-14563814	8744201	3791322	551190946	752788818	326337119
	20 540235329	762497922	330372633	-14729026	8511283	3690435	536542842	761410567	330075446
	21 525425621	770891742	334012174	-14889624	8275970	3588472	521731846	769798187	333712341
	22 510457604	779049106	337549235	-15045652	8038387	3485482	506762552	777949345	337246753
	23 495335818	786967792	340982809	-15197176	7798629	3381504	491639497	785861822	340677677
	24 480064728	794645660	344311923	-15344273	7556757	3276566	476367147	793533477	344004139
	25 464648725	802080609	347535626	-15487011	7312791	3170683	460949896	800962210	347225188
	26 449092143	809270539	350652975	-15625436	7066715	3063857	445392075	808145919	350339881
	27 433399288	816213323	353663025	-15759554	6818492	2956085	429697991	815082479	353347274
	28 417574481	822906794	356564827	-15889332	6568081	2847361	413871963	821769721	356246416
	29 401622095	829348746	359357428	-16014697	6315453	2737683	397918368	828205442	359036356
	30 385546589	835536958	362039877	-16135554	6060602	2627057	381841662	834387418	361716141
XII	1 369352526	841469214	364611231	-16251793	5803545	2515498	365646410	840313435	364284830
	2 353044578	847143327	367070569	-16363305	5544324	2403027	349337282	845981305	366741500
	3 336627528	852557160	369416990	-16469982	5282995	2289670	332919063	851388891	369085252
	4 320106260	857708638	371649625	-16571723	5019629	2175461	316396636	856534119	371315216
	5 303485759	862595764	373767638	-16668434	4754304	2060432	299774985	861414992	373430556
	6 286771099	867216620	375770228	-16760024	4487105	1944621	283059187	866029591	375430472
	7 269967448	871569379	377656632	-16846405	4218122	1828066	266254406	870376089	377314199
	8 253080056	875652303	379426125	-16927489	3947454	1710807	249365895	874452750	379081014
	9 236114263	879463761	381078025	-17003192	3675206	1592888	232398994	878257940	380730235
	10 219075494	883002229	382611697	-17073428	3401496	1474357	215359127	881790137	382261224
	11 201969255	886266308	384026552	-17138118	3126453	1355265	198251801	885047942	383673396
	12 184801130	889254739	385322058	-17197192	2850223	1235669	181082598	888030095	384966217
	13 167576762	891966411	386497742	-17250594	2572964	1115630	163857163	890735487	386139214
	14 150301844	894400380	387553192	-17298288	2294846	995213	146581189	893163173	387191976
	15 132982092	896555876	388488065	-17340263	2016045	874487	129260390	895312381	388124159
	16 115623221	898432301	389302085	-17376531	1736736	753517	111900483	897182516	388935486
	17 98230919	900029234	389995040	-17407133	1457086	632369	94507156	898773155	389625748
	18 80810822	901346412	390566784	-17432133	1177252	511105	77086045	900084038	390194797
	19 63368493	902383722	391017229	-17451614	897370	389779	59642711	901115048	390642545
	20 45909400	903141173	391346337	-17465676	617550	268438	42182624	901866196	390968955
	21 28438912	903618871	391554112	-17474424	337877	147120	24711153	902337589	391174031
	22 10962289	903816993	391640594	-17477962	58404	25853	7233557	902529403	391257811
	23 -6515307	903735753	391605842	-17476383	-220846	-95345	-10245001	902441852	391220355
	24 -23988793	903375375	391449929	-17469753	-499873	-216466	-27719440	902075160	391061738
	25 -41453142	902736076	391172938	-17458110	-778692	-337503	-45184730	901429544	390782041
	26 -58903344	901818055	390774952	-17441457	-1057318	-458453	-62635862	900505203	390381347
	27 -76334378	900621501	390256062	-17419767	-1335757	-579309	-80067816	899302327	389859749
	28 -93741183	899146607	389616369	-17392991	-1613996	-700057	-97475531	897821107	389217345
	29 -111118645	897393588	388855991	-17361070	-1891999	-820676	-114853892	896061760	388454255
	30 -128461586	895362707	387975070	-17323940	-2169710	-941139	-132197722	894024548	387570620
	31 -145764770	893054290	386973776	-17281545	-2447056	-1061413	-149501784	891709798	386566612
I	1 -163022904	890468745	385852319	-17233834	-2723951	-1181461	-166760785	889117917	385442438
	2 -180230650	887606569	384610944	-17180761	-3000303	-1301242	-183969388	886249401	384198345

**Wpółrzędne bieguna *CIP* (IAU2006) w odniesieniu do bieguna *GCRS* — 2015
 $(\times 10^{-9})$ w momencie $0^h TT$ daty**

Data	<i>X</i>	<i>Y</i>	Data	<i>X</i>	<i>Y</i>	Data	<i>X</i>	<i>Y</i>	Data	<i>X</i>	<i>Y</i>		
XII 31	1466195	-48622	I 1	1479038	-45836	IV 2	1486774	-44023	V 18	1495714	-48503		
1	1466530	-48780		16	1479438	-45695	3	1486771	-44029	19	1496099	-48751	
2	1466934	-48909		17	1479799	-45466	4	1486765	-44099	20	1496533	-48924	
3	1467385	-48980		18	1480077	-45183	5	1486778	-44230	21	1496974	-49012	
4	1467856	-48976		19	1480249	-44900	6	1486835	-44412	22	1497389	-49023	
5	1468315	-48898		20	1480326	-44680	7	1486952	-44624	23	1497751	-48980	
6	1468737	-48757		21	1480350	-44564	8	1487138	-44841	24	1498049	-48909	
7	1469102	-48575		22	1480377	-44559	9	1487392	-45032	25	1498284	-48840	
8	1469404	-48376		23	1480455	-44639	10	1487699	-45170	26	1498464	-48795	
9	1469643	-48188		24	1480608	-44759	11	1488033	-45237	27	1498605	-48795	
10	1469832	-48032		25	1480836	-44871	12	1488361	-45226	28	1498729	-48849	
11	1469987	-47925		26	1481121	-44940	13	1488647	-45149	29	1498858	-48964	
12	1470131	-47875		27	1481435	-44945	14	1488861	-45035	30	1499018	-49134	
13	1470287	-47885	III 1	28	1481749	-44881	15	1488989	-44931	31	1499230	-49344	
14	1470481	-47947		1482035	-44754	16	1489043	-44886	VI 1	1499510	-49573		
15	1470734	-48042		2	1482275	-44583	17	1489057	-44939	2	1499866	-49790	
16	1471061	-48146		3	1482457	-44388	18	1489084	-45101	3	1500289	-49962	
17	1471467	-48222		4	1482576	-44193	19	1489172	-45350	4	1500758	-50061	
18	1471937	-48234		5	1482640	-44024	20	1489351	-45639	5	1501235	-50073	
19	1472439	-48154		6	1482660	-43900	21	1489620	-45914	6	1501683	-50003	
20	1472923	-47973		7	1482657	-43833	22	1489954	-46132	7	1502065	-49876	
21	1473340	-47712		8	1482654	-43831	23	1490316	-46272	8	1502364	-49734	
22	1473653	-47421		9	1482673	-43888	24	1490669	-46334	9	1502580	-49621	
23	1473861	-47160		10	1482738	-43991	25	1490984	-46332	10	1502738	-49579	
24	1473993	-46980		11	1482863	-44120	26	1491245	-46291	11	1502878	-49628	
25	1474098	-46902		12	1483056	-44248	27	1491443	-46236	12	1503045	-49765	
26	1474225	-46916		13	1483314	-44345	28	1491584	-46193	13	1503276	-49966	
27	1474408	-46992		14	1483621	-44385	29	1491676	-46183	14	1503592	-50189	
28	1474664	-47088		15	1483950	-44347	30	1491738	-46223	15	1503990	-50387	
29	1474987	-47163		16	1484261	-44228	V 1	1491791	-46323	16	1504448	-50523	
30	1475359	-47188		17	1484516	-44045		2	1491858	-46485	17	1504931	-50576
31	1475753	-47147		18	1484682	-43838		3	1491965	-46700	18	1505399	-50547
II 1	1476142	-47034		19	1484753	-43663		4	1492130	-46951	19	1505824	-50450
	2	1476499	-46859	20	1484752	-43573		5	1492366	-47211	20	1506185	-50313
	3	1476805	-46639	21	1484731	-43598		6	1492675	-47451	21	1506478	-50165
	4	1477048	-46399	22	1484744	-43730		7	1493043	-47641	22	1506709	-50033
	5	1477228	-46164	23	1484832	-43928		8	1493445	-47757	23	1506891	-49938
	6	1477352	-45957	24	1485008	-44141		9	1493848	-47792	24	1507046	-49896
	7	1477436	-45797	25	1485258	-44319		10	1494215	-47754	25	1507195	-49911
	8	1477500	-45695	26	1485551	-44435		11	1494515	-47672	26	1507363	-49983
	9	1477569	-45655	27	1485854	-44478		12	1494735	-47586	27	1507574	-50100
	10	1477665	-45670	28	1486136	-44453		13	1494878	-47541	28	1507844	-50245
	11	1477810	-45726	29	1486376	-44377		14	1494974	-47576	29	1508187	-50390
	12	1478019	-45801	30	1486560	-44272		15	1495064	-47709	30	1508602	-50503
	13	1478300	-45865	31	1486683	-44162		16	1495197	-47934	VII 1	1509072	-50553
	14	1478647	-45887	IV 1	1486751	-44073		17	1495409	-48215		2	1509568

**Wpółrzędne bieguna *CIP* (IAU2006) w odniesieniu do bieguna *GCRS* — 2015
 $(\times 10^{-9})$ w momencie $0^h TT$ daty**

Data	<i>X</i>	<i>Y</i>	Data	<i>X</i>	<i>Y</i>	Data	<i>X</i>	<i>Y</i>	Data	<i>X</i>	<i>Y</i>	
VII 3	1510046	-50388	VIII 18	1521847	-46429	X 3	1529310	-45478	XI 18	1538905	-48874	
4	1510466	-50188		1521890	-46382	4	1529633	-45552	19	1539182	-48782	
5	1510798	-49956		1521956	-46391	5	1529943	-45550	20	1539383	-48707	
6	1511037	-49743		1522066	-46441	6	1530209	-45487	21	1539523	-48690	
7	1511204	-49595		1522233	-46512	7	1530417	-45388	22	1539636	-48762	
8	1511338	-49537		1522464	-46579	8	1530561	-45281	23	1539768	-48934	
9	1511487	-49572		1522757	-46614	9	1530644	-45191	24	1539968	-49187	
10	1511688	-49677		1523097	-46592	10	1530680	-45140	25	1540264	-49475	
11	1511966	-49813		1523458	-46491	11	1530687	-45143	26	1540659	-49742	
12	1512322	-49937		1523801	-46307	12	1530687	-45208	27	1541125	-49941	
13	1512740	-50011		1524085	-46057	13	1530703	-45333	28	1541618	-50047	
14	1513190	-50011		1524279	-45782	14	1530758	-45508	29	1542091	-50061	
15	1513638	-49931		1524376	-45538	15	1530866	-45716	30	1542511	-50007	
16	1514052	-49779		1524401	-45378	16	1531038	-45932	XII 1	1542860	-49917	
17	1514408	-49578	IX	1	1524404	-45330	17	1531274	-46131	2	1543137	-49823
18	1514695	-49356		1524440	-45386	18	1531563	-46288	3	1543353	-49753	
19	1514915	-49142		1524548	-45507	19	1531886	-46384	4	1543525	-49727	
20	1515079	-48959		1524740	-45643	20	1532215	-46408	5	1543676	-49756	
21	1515206	-48825		1525004	-45746	21	1532521	-46365	6	1543830	-49843	
22	1515317	-48749		1525312	-45788	22	1532772	-46272	7	1544009	-49983	
23	1515437	-48732		1525631	-45755	23	1532948	-46166	8	1544235	-50163	
24	1515589	-48764		1525928	-45652	24	1533046	-46092	9	1544521	-50362	
25	1515790	-48832		1526179	-45496	25	1533087	-46098	10	1544875	-50554	
26	1516056	-48912		1526370	-45310	26	1533116	-46212	11	1545292	-50712	
27	1516392	-48975		1526495	-45121	27	1533188	-46430	12	1545757	-50809	
28	1516789	-48991		1526560	-44954	28	1533346	-46717	13	1546242	-50829	
29	1517226	-48932		1526579	-44830	29	1533607	-47014	14	1546713	-50768	
30	1517666	-48784		1526571	-44763	30	1533954	-47266	15	1547138	-50643	
31	1518066	-48552		1526560	-44759	31	1534347	-47439	16	1547492	-50482	
VIII 1	1518385	-48268		1526569	-44813	XI 1	1534742	-47523	17	1547766	-50326	
2	1518605	-47983		1526617	-44914	2	1535102	-47531	18	1547972	-50218	
3	1518736	-47753		1526719	-45042	3	1535403	-47491	19	1548139	-50188	
4	1518816	-47616		1526884	-45175	4	1535637	-47431	20	1548309	-50249	
5	1518895	-47582		1527109	-45286	5	1535807	-47380	21	1548526	-50392	
6	1519019	-47631		1527385	-45350	6	1535925	-47362	22	1548824	-50582	
7	1519215	-47724		1527690	-45348	7	1536010	-47394	23	1549215	-50772	
8	1519489	-47816		1527994	-45270	8	1536082	-47484	24	1549685	-50914	
9	1519827	-47868		1528261	-45124	9	1536166	-47633	25	1550202	-50974	
10	1520201	-47853		1528457	-44936	10	1536284	-47835	26	1550720	-50939	
11	1520579	-47762		1528565	-44752	11	1536455	-48072	27	1551198	-50821	
12	1520930	-47602		1528592	-44628	12	1536690	-48322	28	1551609	-50649	
13	1521230	-47389		1528573	-44607	13	1536992	-48559	29	1551942	-50458	
14	1521465	-47150		1528566	-44702	14	1537353	-48756	30	1552203	-50279	
15	1521633	-46912		1528623	-44888	15	1537753	-48891	31	1552408	-50139	
16	1521741	-46701	X	1	1528772	-45115	16	1538166	-48952	I 1	1552579	-50052
17	1521805	-46536		1529010	-45326	17	1538560	-48940	2	1552741	-50023	

W roku 2015 średnia wartość parametru s wyniesie $8.0 \pm 0.5 \text{ mas}$ ($s = 3.88 \times 10^{-8} \text{ rad}$)

MIEJSKA POZORNE (IRS) GWIAZD w 2015
w momencie 0^h UT1

UT1	β Cassiopeiae		α Cassiopeiae		β Ceti		γ Cassiopeiae	
	2^m28	F2	2^m24	K0	2^m04	K0	2^m15	B0p
	α_{app}^{CIO}	δ_{app}	α_{app}^{CIO}	δ_{app}	α_{app}^{CIO}	δ_{app}	α_{app}^{CIO}	δ_{app}
Styczeń		0^h09^m	$+59^\circ13'$	0^h40^m	$+56^\circ37'$	0^h43^m	$-17^\circ53'$	0^h56^m
	1.0	13.8549	75."289	36.9509	26."435	34.2079	83."950	52.8259
	8.0	13.5518	74.937	36.6705	26.331	34.0439	84.234	52.5137
	15.0	13.2573	74.030	36.3887	25.680	33.8822	84.709	52.1941
	22.0	12.9704	73.218	36.1133	25.125	33.7241	84.706	51.8816
Luty	29.0	12.7109	71.866	35.8538	24.020	33.5736	84.876	51.5811
	5.0	12.4590	70.548	35.6004	22.956	33.4358	84.674	51.2861
	12.0	12.2452	68.786	35.3739	21.423	33.3072	84.635	51.0168
	19.0	12.0481	67.199	35.1638	20.061	33.1925	84.117	50.7660
Marzec	26.0	11.9054	65.236	34.9964	18.281	33.0910	83.739	50.5594
	5.0	11.7759	63.383	34.8418	16.611	33.0104	83.038	50.3664
	12.0	11.7050	61.282	34.7361	14.644	32.9427	82.461	50.2258
	19.0	11.6514	59.458	34.6493	12.947	32.8952	81.448	50.1075
Kwiecień	26.0	11.6668	57.484	34.6221	11.037	32.8627	80.531	50.0550
	2.0	11.6915	55.706	34.6064	09.324	32.8547	79.367	50.0153
	9.0	11.7815	53.903	34.6491	07.522	32.8594	78.284	50.0415
	16.0	11.8785	52.445	34.7033	06.067	32.8864	76.857	50.0821
Maj	23.0	12.0446	51.056	34.8210	04.609	32.9265	75.485	50.1955
	30.0	12.2076	49.907	34.9402	03.403	32.9904	73.979	50.3109
	7.0	12.4293	48.921	35.1152	02.293	33.0632	72.524	50.4916
	14.0	12.6410	48.276	35.2869	01.541	33.1566	70.860	50.6703
Czerwiec	21.0	12.9109	47.862	35.5151	00.951	33.2581	69.232	50.9157
	28.0	13.1614	47.661	35.7301	00.599	33.3790	67.614	51.1469
	4.0	13.4560	47.745	35.9900	00.474	33.5028	66.031	51.4324
	11.0	13.7233	48.090	36.2303	00.640	33.6419	64.408	51.6971
Lipiec	18.0	14.0314	48.756	36.5130	01.072	33.7826	62.814	52.0139
	25.0	14.3059	49.540	36.7686	01.656	33.9354	61.391	52.3005
	2.0	14.6069	50.663	37.0542	02.536	34.0838	59.996	52.6255
	9.0	14.8678	51.917	37.3069	03.586	34.2398	58.729	52.9140
Sierpień	16.0	15.1502	53.518	37.5850	04.944	34.3902	57.486	53.2358
	23.0	15.3903	55.099	37.8263	06.322	34.5435	56.564	53.5160
	30.0	15.6396	57.025	38.0818	08.015	34.6848	55.651	53.8170
	6.0	15.8426	58.931	38.2967	09.732	34.8250	55.000	54.0721
Wrzesień	13.0	16.0482	61.162	38.5194	11.753	34.9526	54.352	54.3406
	20.0	16.2096	63.227	38.7014	13.647	35.0735	54.129	54.5621
	27.0	16.3643	65.606	38.8824	15.842	35.1758	53.869	54.7872
	3.0	16.4732	67.822	39.0207	17.915	35.2684	53.943	54.9632
Paźdz.	10.0	16.5676	70.311	39.1504	20.259	35.3433	53.969	55.1336
	17.0	16.6217	72.502	39.2403	22.338	35.4031	54.456	55.2574
	24.0	16.6552	74.952	39.3155	24.681	35.4406	54.822	55.3684
	1.0	16.6490	77.113	39.3511	26.770	35.4620	55.530	55.4330
Listopad	8.0	16.6144	79.474	39.3640	29.077	35.4637	56.103	55.4749
	15.0	16.5481	81.430	39.3425	31.004	35.4457	57.101	55.4755
	22.0	16.4502	83.570	39.2948	33.138	35.4056	57.872	55.4491
	29.0	16.3240	85.316	39.2155	34.904	35.3474	58.936	55.3843
Grudzień	5.0	16.1606	87.173	39.1037	36.815	35.2724	59.768	55.2842
	12.0	15.9787	88.549	38.9677	38.261	35.1778	60.937	55.1533
	19.0	15.7598	90.016	38.7985	39.836	35.0669	61.781	54.9859
	26.0	15.5305	91.013	38.6123	40.955	34.9409	62.843	54.7954
	3.0	15.2627	92.022	38.3904	42.130	34.8058	63.602	54.5642
	10.0	14.9955	92.516	38.1605	42.793	34.6565	64.596	54.3197
	17.0	14.6944	93.011	37.8986	43.501	34.5012	65.209	54.0382
	24.0	14.4078	93.018	37.6413	43.714	34.3379	65.961	53.7575
	31.0	14.0904	92.948	37.3539	43.896	34.1767	66.401	53.4405
								85.504

MIEJSKA POZORNE (IRS) GWIAZD w 2015
w momencie 0^h UT1

UT1	β Andromedae		δ Cassiopeiae		ε Cassiopeiae		α Arietis		
	2 ^m 07	M0	2 ^m 66	A5	3 ^m 35	B2	2 ^m 01	K2	
	α_{app}^{CIO}	δ_{app}	α_{app}^{CIO}	δ_{app}	α_{app}^{CIO}	δ_{app}	α_{app}^{CIO}	δ_{app}	
Styczeń		1 ^h 09 ^m	+35°41'	1 ^h 26 ^m	+60°18'	1 ^h 54 ^m	+63°44'	2 ^h 07 ^m	+23°31'
	1.0	49.1787	68.684	04.1701	60.967	45.5941	49.656	16.0603	60.602
	8.0	48.9917	68.537	03.8740	61.295	45.2801	50.283	15.9046	60.519
	15.0	48.7994	67.934	03.5610	61.079	44.9359	50.377	15.7379	60.073
	22.0	48.6103	67.515	03.2544	60.937	44.5988	50.526	15.5700	59.858
Luty	29.0	48.4263	66.634	02.9494	60.218	44.2513	50.090	15.3987	59.261
	5.0	48.2474	65.885	02.6485	59.525	43.9067	49.667	15.2296	58.862
	12.0	48.0805	64.731	02.3636	58.318	43.5694	48.709	15.0635	58.108
	19.0	47.9254	63.825	02.0973	57.247	43.2531	47.857	14.9053	57.641
	26.0	47.7920	62.550	01.8658	55.687	42.9654	46.476	14.7581	56.827
Marzec	5.0	47.6702	61.455	01.6474	54.217	42.6916	45.165	14.6209	56.249
	12.0	47.5745	60.081	01.4740	52.366	42.4601	43.427	14.4995	55.379
	19.0	47.4947	59.028	01.3248	50.752	42.2576	41.894	14.3926	54.855
	26.0	47.4480	57.760	01.2346	48.825	42.1148	39.985	14.3076	54.077
	2.0	47.4143	56.726	01.1589	47.082	41.9890	38.247	14.2372	53.571
Kwiecień	9.0	47.4137	55.573	01.1449	45.151	41.9285	36.257	14.1904	52.879
	16.0	47.4268	54.787	01.1494	43.551	41.8926	34.578	14.1597	52.570
	23.0	47.4765	53.949	01.2236	41.841	41.9326	32.720	14.1564	52.119
	30.0	47.5351	53.368	01.3037	40.392	41.9819	31.121	14.1668	51.952
	7.0	47.6263	52.814	01.4482	38.944	42.1038	29.461	14.2032	51.704
Maj	14.0	47.7239	52.613	01.5963	37.868	42.2348	28.173	14.2523	51.827
	21.0	47.8548	52.490	01.8115	36.860	42.4428	26.888	14.3286	51.907
	28.0	47.9864	52.587	02.0175	36.125	42.6442	25.894	14.4140	52.230
	4.0	48.1446	52.814	02.2800	35.542	42.9127	25.000	14.5223	52.558
	11.0	48.2994	53.312	02.5277	35.296	43.1698	24.464	14.6365	53.179
Czerwiec	18.0	48.4798	53.970	02.8307	35.242	43.4935	24.071	14.7733	53.826
	25.0	48.6514	54.747	03.1081	35.403	43.7921	23.930	14.9118	54.618
	2.0	48.8408	55.709	03.4283	35.808	44.1448	23.995	15.0671	55.464
	9.0	49.0174	56.812	03.7172	36.453	44.4667	24.341	15.2203	56.477
	16.0	49.2092	58.112	04.0443	37.359	44.8379	24.917	15.3885	57.559
Lipiec	23.0	49.3842	59.390	04.3332	38.365	45.1686	25.642	15.5505	58.644
	30.0	49.5671	60.876	04.6485	39.658	45.5364	26.633	15.7214	59.812
	6.0	49.7299	62.354	04.9213	41.057	45.8590	27.783	15.8824	61.001
	13.0	49.8969	64.035	05.2133	42.742	46.2105	29.205	16.0493	62.284
	20.0	50.0415	65.548	05.4597	44.382	46.5114	30.639	16.2029	63.419
Sierpień	27.0	50.1841	67.271	05.7157	46.317	46.8308	32.362	16.3565	64.662
	3.0	50.3021	68.847	05.9238	48.212	47.0972	34.101	16.4938	65.787
	10.0	50.4139	70.621	06.1320	50.386	47.3708	36.122	16.6278	67.031
	17.0	50.5004	72.099	06.2927	52.371	47.5895	38.010	16.7426	68.000
	24.0	50.5759	73.784	06.4463	54.633	47.8075	40.183	16.8491	69.108
Paźdz.	1.0	50.6255	75.209	06.5522	56.713	47.9702	42.227	16.9345	69.989
	8.0	50.6601	76.819	06.6404	59.040	48.1194	44.534	17.0084	71.021
	15.0	50.6697	78.044	06.6840	61.048	48.2146	46.572	17.0598	71.695
	22.0	50.6612	79.468	06.7050	63.294	48.2903	48.867	17.0958	72.549
	29.0	50.6292	80.544	06.6839	65.225	48.3143	50.889	17.1091	73.100
Listopad	5.0	50.5764	81.788	06.6310	67.347	48.3070	53.129	17.1053	73.837
	12.0	50.5027	82.592	06.5414	69.042	48.2522	54.979	17.0788	74.175
	19.0	50.4075	83.574	06.4182	70.909	48.1631	57.027	17.0333	74.729
	26.0	50.2957	84.150	06.2653	72.345	48.0336	58.669	16.9677	74.931
	3.0	50.1623	84.858	06.0733	73.889	47.8617	60.452	16.8834	75.339
Grudzień	10.0	50.0167	85.107	05.8599	74.929	47.6573	61.747	16.7813	75.337
	17.0	49.8516	85.497	05.6103	76.059	47.4128	63.156	16.6613	75.566
	24.0	49.6823	85.463	05.3527	76.680	47.1499	64.059	16.5291	75.422
	31.0	49.4961	85.507	05.0583	77.316	46.8444	65.003	16.3819	75.468

MIEJSKA POZORNE (IRS) GWIAZD w 2015
w momencie 0^h UT1

UT1	α Persei		γ Camelopardalis		α Tauri		β Orionis			
	1 m 79	F5	4 m 59	A2	0 m 87	Aldebaran	K5	0 m 18	Rigel	B8p
	α_{app}^{CIO}	δ_{app}	α_{app}^{CIO}	δ_{app}	α_{app}^{CIO}	δ_{app}	α_{app}^{CIO}	δ_{app}		
	3 h 24 m	+49 $^\circ$ 54'	3 h 51 m	+71 $^\circ$ 22'	4 h 35 m	+16 $^\circ$ 32'	5 h 14 m	-8 $^\circ$ 11'		
Styczeń	1.0	39.9780	52.771	16.3912	41.236	62.2067	11.249	30.7180	18.644	
	8.0	39.8151	53.636	16.1239	42.820	62.1215	11.134	30.6428	19.716	
	15.0	39.6146	54.127	15.7616	44.025	62.0134	10.875	30.5524	20.812	
	22.0	39.4144	54.693	15.4071	45.232	61.8942	10.777	30.4407	21.714	
	29.0	39.1859	54.806	14.9748	45.947	61.7556	10.487	30.3155	22.650	
Luty	5.0	38.9555	54.985	14.5388	46.648	61.6093	10.412	30.1764	23.285	
	12.0	38.7093	54.714	14.0520	46.844	61.4499	10.117	30.0289	23.988	
	19.0	38.4743	54.551	13.5929	47.046	61.2880	10.047	29.8686	24.391	
	26.0	38.2361	53.899	13.1088	46.677	61.1186	09.718	29.7036	24.885	
Marzec	5.0	38.0060	53.352	12.6390	46.317	60.9507	09.650	29.5349	25.003	
	12.0	37.7847	52.365	12.1725	45.431	60.7823	09.315	29.3667	25.247	
	19.0	37.5846	51.563	11.7530	44.621	60.6208	09.266	29.1963	25.119	
	26.0	37.4054	50.328	11.3634	43.275	60.4647	08.931	29.0305	25.136	
Kwiecień	2.0	37.2417	49.275	11.0028	42.024	60.3188	08.901	28.8716	24.740	
	9.0	37.1072	47.873	10.6932	40.331	60.1838	08.600	28.7214	24.515	
	16.0	36.9971	46.754	10.4373	38.833	60.0630	08.645	28.5788	23.875	
	23.0	36.9251	45.320	10.2533	36.920	59.9579	08.416	28.4484	23.419	
	30.0	36.8693	44.152	10.1000	35.219	59.8686	08.526	28.3331	22.547	
Maj	7.0	36.8545	42.767	10.0288	33.223	59.7980	08.392	28.2326	21.875	
	14.0	36.8594	41.739	10.0007	31.537	59.7446	08.637	28.1465	20.784	
	21.0	36.9102	40.533	10.0673	29.598	59.7129	08.645	28.0772	19.905	
	28.0	36.9710	39.640	10.1514	27.962	59.6981	08.986	28.0281	18.650	
Czerwiec	4.0	37.0758	38.659	10.3300	26.192	59.7052	09.125	27.9962	17.619	
	11.0	37.1898	38.053	10.5283	24.798	59.7285	09.624	27.9823	16.218	
	18.0	37.3491	37.394	10.8258	23.312	59.7749	09.928	27.9863	15.049	
	25.0	37.5077	37.029	11.1176	22.159	59.8357	10.508	28.0119	13.599	
Lipiec	2.0	37.7067	36.681	11.5016	21.012	59.9176	10.917	28.0537	12.399	
	9.0	37.9020	36.659	11.8768	20.242	60.0110	11.609	28.1133	10.935	
	16.0	38.1357	36.682	12.3415	19.514	60.1250	12.146	28.1885	09.718	
	23.0	38.3568	36.917	12.7747	19.082	60.2476	12.849	28.2831	08.362	
	30.0	38.6101	37.245	13.2876	18.765	60.3871	13.406	28.3895	07.279	
Sierpień	6.0	38.8474	37.798	13.7650	18.761	60.5315	14.130	28.5100	06.077	
	13.0	39.1124	38.468	14.3127	18.906	60.6905	14.739	28.6407	05.120	
	20.0	39.3537	39.227	14.8057	19.255	60.8508	15.374	28.7851	04.192	
	27.0	39.6164	40.132	15.3592	19.796	61.0210	15.899	28.9342	03.535	
Wrzesień	3.0	39.8528	41.135	15.8553	20.548	61.1880	16.458	29.0905	02.908	
	10.0	40.1036	42.309	16.3968	21.524	61.3618	16.956	29.2492	02.495	
	17.0	40.3220	43.437	16.8652	22.582	61.5283	17.345	29.4132	02.259	
	24.0	40.5491	44.753	17.3701	23.888	61.6962	17.685	29.5727	02.246	
Paźdz.	1.0	40.7420	46.035	17.8008	25.274	61.8524	17.942	29.7305	02.382	
	8.0	40.9353	47.527	18.2485	26.934	62.0063	18.219	29.8815	02.649	
	15.0	41.0900	48.849	18.6104	28.542	62.1446	18.288	30.0280	03.186	
	22.0	41.2398	50.391	18.9807	30.429	62.2753	18.401	30.1604	03.832	
	29.0	41.3507	51.769	19.2657	32.249	62.3866	18.348	30.2820	04.691	
Listopad	5.0	41.4484	53.382	19.5381	34.355	62.4871	18.419	30.3882	05.542	
	12.0	41.5051	54.713	19.7186	36.272	62.5654	18.230	30.4810	06.685	
	19.0	41.5448	56.279	19.8792	38.462	62.6285	18.199	30.5524	07.772	
	26.0	41.5456	57.553	19.9521	40.419	62.6675	17.946	30.6060	09.080	
Grudzień	3.0	41.5231	59.053	19.9866	42.628	62.6897	17.920	30.6388	10.212	
	10.0	41.4630	60.174	19.9341	44.504	62.6871	17.610	30.6532	11.607	
	17.0	41.3790	61.508	19.8413	46.597	62.6655	17.557	30.6430	12.772	
	24.0	41.2640	62.435	19.6741	48.288	62.6200	17.239	30.6129	14.141	
	31.0	41.1220	63.537	19.4534	50.147	62.5565	17.215	30.5621	15.187	

MIEJSKA POZORNE (IRS) GWIAZD w 2015
w momencie 0^h UT1

UT1	α Aurigae			ε Orionis		α Orionis			β Aurigae	
	0 ^m 08	Capella	M1	1 ^m 69	B0	0 ^m 45	Betelgeuse	M2	1 ^m 90	A2
	α_{app}^{CIO}	δ_{app}		α_{app}^{CIO}	δ_{app}	α_{app}^{CIO}	δ_{app}		α_{app}^{CIO}	δ_{app}
	5 ^h 17 ^m	+46°00'		5 ^h 36 ^m	-1°11'	5 ^h 55 ^m	+7°24'		5 ^h 59 ^m	+44°56'
Styczeń	1.0	03.9855	37.188	13.7309	47.184	14.3294	20.890	53.7034	42.422	
	8.0	03.9269	38.208	13.6747	48.067	14.2910	20.303	53.6857	43.410	
	15.0	03.8208	39.086	13.6000	48.961	14.2304	19.718	53.6193	44.353	
	22.0	03.7098	39.999	13.5058	49.709	14.1525	19.233	53.5465	45.313	
	29.0	03.5543	40.671	13.3946	50.490	14.0532	18.715	53.4255	46.130	
Luty	5.0	03.3914	41.418	13.2693	51.012	13.9405	18.411	53.2956	47.023	
	12.0	03.1941	41.874	13.1320	51.605	13.8115	18.029	53.1263	47.705	
	19.0	03.0009	42.380	12.9828	51.954	13.6722	17.832	52.9582	48.412	
	26.0	02.7810	42.511	12.8252	52.405	13.5201	17.514	52.7564	48.817	
Marzec	5.0	02.5633	42.738	12.6629	52.524	13.3629	17.476	52.5545	49.311	
	12.0	02.3314	42.579	12.4979	52.782	13.1995	17.277	52.3309	49.466	
	19.0	02.1151	42.517	12.3310	52.722	13.0351	17.332	52.1198	49.683	
	26.0	01.8944	42.023	12.1657	52.828	12.8690	17.191	51.8957	49.499	
Kwiecień	2.0	01.6865	41.680	12.0057	52.557	12.7076	17.379	51.6824	49.449	
	9.0	01.4856	40.936	11.8525	52.476	12.5504	17.348	51.4679	49.007	
	16.0	01.3087	40.376	11.7066	52.022	12.4013	17.635	51.2758	48.704	
	23.0	01.1477	39.404	11.5711	51.776	12.2607	17.681	51.0910	47.982	
	30.0	01.0060	38.663	11.4492	51.133	12.1329	18.089	50.9253	47.466	
Maj	7.0	00.8880	37.572	11.3413	50.708	12.0179	18.252	50.7760	46.575	
	14.0	00.7963	36.761	11.2472	49.887	11.9174	18.777	50.6536	45.921	
	21.0	00.7344	35.608	11.1696	49.297	11.8327	19.042	50.5539	44.887	
	28.0	00.6920	34.755	11.1105	48.329	11.7654	19.674	50.4758	44.133	
Czerwiec	4.0	00.6831	33.636	11.0690	47.598	11.7163	20.051	50.4260	43.063	
	11.0	00.6960	32.859	11.0447	46.495	11.6842	20.789	50.4010	42.304	
	18.0	00.7454	31.834	11.0391	45.637	11.6717	21.267	50.4077	41.241	
	25.0	00.8086	31.132	11.0534	44.471	11.6776	22.067	50.4322	40.494	
Lipiec	2.0	00.9086	30.251	11.0856	43.559	11.7031	22.606	50.4906	39.503	
	9.0	01.0214	29.716	11.1346	42.360	11.7448	23.451	50.5668	38.848	
	16.0	01.1711	29.031	11.2011	41.410	11.8060	24.044	50.6775	37.977	
	23.0	01.3247	28.634	11.2854	40.275	11.8832	24.860	50.7977	37.406	
	30.0	01.5129	28.136	11.3842	39.411	11.9778	25.413	50.9519	36.664	
Sierpień	6.0	01.7028	27.934	11.4962	38.385	12.0847	26.166	51.1138	36.229	
	13.0	01.9247	27.673	11.6212	37.601	12.2075	26.687	51.3078	35.667	
	20.0	02.1390	27.616	11.7586	36.785	12.3407	27.298	51.5003	35.342	
	27.0	02.3818	27.532	11.9043	36.235	12.4861	27.658	51.7227	34.920	
Wrzesień	3.0	02.6144	27.655	12.0566	35.664	12.6371	28.094	51.9410	34.735	
	10.0	02.8704	27.806	12.2148	35.299	12.7976	28.339	52.1850	34.515	
	17.0	03.1072	28.056	12.3773	35.048	12.9607	28.540	52.4155	34.444	
	24.0	03.3632	28.355	12.5397	35.016	13.1281	28.539	52.6682	34.359	
Paźdz.	1.0	03.5972	28.757	12.7000	35.081	13.2925	28.501	52.9045	34.422	
	8.0	03.8435	29.274	12.8573	35.273	13.4580	28.352	53.1569	34.551	
	15.0	04.0598	29.787	13.0095	35.677	13.6168	28.060	53.3839	34.736	
	22.0	04.2834	30.432	13.1521	36.193	13.7707	27.668	53.6225	35.005	
	29.0	04.4743	31.073	13.2836	36.879	13.9125	27.161	53.8324	35.330	
Listopad	5.0	04.6650	31.913	13.4032	37.560	14.0462	26.669	54.0468	35.821	
	12.0	04.8167	32.653	13.5089	38.489	14.1644	25.986	54.2251	36.285	
	19.0	04.9633	33.602	13.5967	39.373	14.2690	25.348	54.4027	36.929	
	26.0	05.0692	34.435	13.6663	40.451	14.3538	24.556	54.5414	37.529	
Grudzień	3.0	05.1630	35.524	13.7174	41.366	14.4231	23.927	54.6724	38.376	
	10.0	05.2133	36.417	13.7491	42.518	14.4709	23.094	54.7603	39.106	
	17.0	05.2483	37.558	13.7585	43.461	14.4995	22.458	54.8366	40.080	
	24.0	05.2412	38.459	13.7467	44.601	14.5045	21.643	54.8692	40.890	
	31.0	05.2138	39.622	13.7149	45.437	14.4909	21.116	54.8846	41.977	

MIEJSKA POZORNE (IRS) GWIAZD w 2015
w momencie 0^h UT1

UT1	α Canis Maioris A*)			24H Camelopardalis		β Geminorum		ι Ursae Maioris		
	-1 m 44		Sirius	A0	4 m 55		K4	1 m 16	Pollux	K0
	α_{app}^{CIO}	δ_{app}			α_{app}^{CIO}	δ_{app}		α_{app}^{CIO}	δ_{app}	
		6 h 45 m	-16 $^\circ$ 44'		7 h 01 m	+76 $^\circ$ 56'		7 h 45 m	+27 $^\circ$ 58'	
Styczeń	1.0	03.6623	27 $''$ 461	33.7661	67 $''$ 004	29 s 1958	66 $''$ 200	28 s 8442	36 $''$ 993	
	8.0	03.6361	29.129	33.9433	68.986	29.2495	66.223	28.9947	37.483	
	15.0	03.5954	30.709	33.9420	71.051	29.2706	66.433	29.1019	38.323	
	22.0	03.5261	32.230	33.9423	73.073	29.2790	66.611	29.2005	39.106	
	29.0	03.4422	33.656	33.7529	75.039	29.2513	66.918	29.2464	40.172	
Luty	5.0	03.3360	34.846	33.5472	77.000	29.2100	67.319	29.2805	41.289	
	12.0	03.2196	35.976	33.1742	78.802	29.1367	67.771	29.2636	42.585	
	19.0	03.0808	36.908	32.8183	80.497	29.0538	68.225	29.2385	43.803	
	26.0	02.9339	37.798	32.3036	81.896	28.9392	68.651	29.1587	45.100	
Marzec	5.0	02.7737	38.337	31.7922	83.248	28.8165	69.204	29.0705	46.429	
	12.0	02.6109	38.883	31.1595	84.233	28.6695	69.653	28.9349	47.727	
	19.0	02.4354	39.130	30.5764	85.097	28.5209	70.136	28.7992	48.923	
	26.0	02.2602	39.412	29.8950	85.494	28.3516	70.440	28.6179	49.984	
Kwiecień	2.0	02.0827	39.275	29.2499	85.855	28.1834	70.901	28.4383	51.062	
	9.0	01.9108	39.221	28.5494	85.738	28.0032	71.131	28.2246	51.922	
	16.0	01.7367	38.798	27.9318	85.562	27.8313	71.453	28.0232	52.697	
	23.0	01.5712	38.486	27.2855	84.852	27.6523	71.487	27.7926	53.172	
	30.0	01.4136	37.726	26.7047	84.185	27.4838	71.725	27.5763	53.687	
Maj	7.0	01.2685	37.120	26.1340	83.028	27.3165	71.658	27.3434	53.861	
	14.0	01.1309	36.108	25.6641	81.936	27.1656	71.760	27.1349	54.019	
	21.0	01.0078	35.275	25.2269	80.336	27.0201	71.522	26.9152	53.783	
	28.0	00.9011	34.010	24.8664	78.895	26.8920	71.542	26.7201	53.649	
Czerwiec	4.0	00.8111	32.962	24.5673	77.027	26.7761	71.226	26.5256	53.118	
	11.0	00.7358	31.524	24.3654	75.357	26.6808	71.151	26.3626	52.666	
	18.0	00.6783	30.324	24.2395	73.273	26.6005	70.727	26.2048	51.797	
	25.0	00.6425	28.759	24.1799	71.453	26.5401	70.594	26.0760	51.103	
Lipiec	2.0	00.6246	27.476	24.2144	69.309	26.4992	70.125	25.9617	50.008	
	9.0	00.6253	25.879	24.3232	67.466	26.4790	69.932	25.8801	49.081	
	16.0	00.6436	24.569	24.5327	65.334	26.4793	69.411	25.8161	47.761	
	23.0	00.6856	23.018	24.7801	63.533	26.4979	69.175	25.7795	46.678	
	30.0	00.7432	21.809	25.1374	61.523	26.5394	68.615	25.7668	45.221	
Sierpień	6.0	00.8194	20.412	25.5340	59.868	26.5981	68.320	25.7824	43.991	
	13.0	00.9096	19.336	26.0395	58.059	26.6793	67.738	25.8238	42.426	
	20.0	01.0214	18.180	26.5446	56.601	26.7735	67.397	25.8856	41.130	
	27.0	01.1429	17.403	27.1612	55.052	26.8901	66.763	25.9765	39.512	
Wrzesień	3.0	01.2789	16.589	27.7769	53.861	27.0172	66.345	26.0872	38.150	
	10.0	01.4219	16.097	28.4960	52.654	27.1649	65.701	26.2273	36.535	
	17.0	01.5802	15.682	29.1734	51.775	27.3177	65.230	26.3774	35.197	
	24.0	01.7391	15.636	29.9521	50.923	27.4890	64.524	26.5577	33.617	
Paźdz.	1.0	01.9048	15.683	30.6871	50.397	27.6617	63.974	26.7455	32.299	
	8.0	02.0678	15.998	31.5085	49.985	27.8496	63.286	26.9623	30.837	
	15.0	02.2367	16.503	32.2476	49.849	28.0327	62.707	27.1760	29.647	
	22.0	02.3951	17.290	33.0661	49.858	28.2274	61.993	27.4168	28.329	
	29.0	02.5507	18.245	33.7970	50.126	28.4124	61.383	27.6502	27.273	
Listopad	5.0	02.6929	19.342	34.5862	50.620	28.6046	60.756	27.9073	26.205	
	12.0	02.8306	20.668	35.2546	51.313	28.7810	60.193	28.1464	25.399	
	19.0	02.9474	22.111	35.9698	52.245	28.9598	59.631	28.4051	24.604	
	26.0	03.0524	23.733	36.5553	53.328	29.1174	59.129	28.6392	24.058	
Grudzień	3.0	03.1355	25.311	37.1617	54.706	29.2728	58.750	28.8872	23.639	
	10.0	03.2057	27.095	37.6159	56.164	29.4022	58.398	29.1019	23.454	
	17.0	03.2485	28.792	38.0791	57.898	29.5247	58.182	29.3249	23.407	
	24.0	03.2740	30.640	38.3831	59.618	29.6168	57.971	29.5069	23.554	
	31.0	03.2744	32.251	38.6686	61.633	29.6979	58.000	29.6902	23.937	

*) Podwójna; efemerydy dotyczą gwiazdy jaśniejszej.

MIEJSKA POZORNE (IRS) GWIAZD w 2015
w momencie 0^h UT1

UT1	α Hydreae		α Leonis			9H Draconis		β Ursae Maioris	
	1 m 99		K3	1 m 36	Regulus	B7	4 m 86	K0	2 m 34
	α_{app}^{CIO}	δ_{app}	α_{app}^{CIO}	δ_{app}	α_{app}^{CIO}	δ_{app}	α_{app}^{CIO}	δ_{app}	α_{app}^{CIO}
	9 h 27 m	-8 $^\circ$ 43'	10 h 08 m	+11 $^\circ$ 53'	10 h 35 m	+75 $^\circ$ 37'	11 h 01 m	+56 $^\circ$ 17'	
Styczeń	1.0	34.4388	34.036	24.7818	25.118	34.1921	42.957	58.2555	45.262
	8.0	34.5294	35.703	24.9034	24.002	34.7765	43.523	58.5236	45.123
	15.0	34.6059	37.124	25.0088	23.239	35.2805	44.626	58.7646	45.528
	22.0	34.6617	38.742	25.1009	22.307	35.7732	45.691	58.9978	45.876
	29.0	34.6994	40.096	25.1708	21.735	36.1477	47.246	59.1875	46.753
Luty	5.0	34.7151	41.430	25.2251	21.172	36.5067	48.841	59.3675	47.676
	12.0	34.7147	42.531	25.2572	20.916	36.7365	50.808	59.4981	49.029
	19.0	34.6915	43.702	25.2731	20.560	36.9464	52.663	59.6152	50.289
	26.0	34.6509	44.655	25.2636	20.476	37.0007	54.789	59.6706	51.909
Marzec	5.0	34.5895	45.461	25.2381	20.471	37.0385	56.885	59.7142	53.534
	12.0	34.5147	46.107	25.1903	20.656	36.9262	59.108	59.6971	55.386
	19.0	34.4205	46.721	25.1285	20.785	36.8065	61.130	59.6699	57.076
	26.0	34.3136	47.211	25.0439	21.044	36.5266	63.160	59.5763	58.891
Kwiecień	2.0	34.1917	47.469	24.9479	21.419	36.2499	65.081	59.4780	60.647
	9.0	34.0628	47.669	24.8348	21.838	35.8347	66.886	59.3213	62.400
	16.0	33.9211	47.748	24.7139	22.246	35.4435	68.439	59.1667	63.943
	23.0	33.7742	47.814	24.5774	22.633	34.9165	69.770	58.9537	65.385
	30.0	33.6205	47.584	24.4371	23.170	34.4262	70.962	58.7498	66.731
Maj	7.0	33.4676	47.402	24.2879	23.614	33.8321	71.850	58.5003	67.877
	14.0	33.3102	47.017	24.1390	24.109	33.2996	72.511	58.2692	68.825
	21.0	33.1557	46.721	23.9835	24.458	32.6725	72.796	57.9955	69.499
	28.0	33.0033	46.084	23.8326	24.999	32.1150	72.978	57.7459	70.095
Czerwiec	4.0	32.8591	45.591	23.6818	25.338	31.4979	72.750	57.4684	70.360
	11.0	32.7188	44.836	23.5391	25.797	30.9716	72.383	57.2235	70.491
	18.0	32.5885	44.256	23.3988	26.019	30.3969	71.571	56.9550	70.249
	25.0	32.4684	43.320	23.2702	26.472	29.9120	70.746	56.7216	69.994
Lipiec	2.0	32.3626	42.617	23.1498	26.642	29.4104	69.475	56.4782	69.338
	9.0	32.2676	41.635	23.0434	26.984	29.0125	68.187	56.2757	68.646
	16.0	32.1879	40.902	22.9469	27.027	28.6094	66.454	56.0682	67.543
	23.0	32.1245	39.840	22.8670	27.322	28.2988	64.821	55.9000	66.518
	30.0	32.0792	39.097	22.8014	27.270	28.0076	62.762	55.7377	65.071
Sierpień	6.0	32.0493	38.110	22.7530	27.408	27.8159	60.807	55.6179	63.689
	13.0	32.0371	37.436	22.7199	27.208	27.6556	58.461	55.5090	61.908
	20.0	32.0447	36.506	22.7051	27.250	27.5744	56.324	55.4372	60.295
	27.0	32.0708	35.972	22.7078	26.901	27.5410	53.819	55.3840	58.280
Wrzesień	3.0	32.1138	35.272	22.7283	26.723	27.5892	51.527	55.3688	56.420
	10.0	32.1736	34.931	22.7663	26.193	27.6970	48.932	55.3774	54.211
	17.0	32.2528	34.436	22.8215	25.867	27.8593	46.641	55.4154	52.250
	24.0	32.3472	34.385	22.8947	25.133	28.0909	44.075	55.4817	49.945
Paźdz.	1.0	32.4561	34.260	22.9822	24.542	28.3753	41.812	55.5762	47.876
	8.0	32.5766	34.501	23.0860	23.619	28.7386	39.365	55.7033	45.545
	15.0	32.7121	34.686	23.2021	22.860	29.1245	37.300	55.8482	43.531
	22.0	32.8556	35.300	23.3329	21.730	29.5925	35.082	56.0272	41.273
	29.0	33.0071	35.906	23.4713	20.726	30.0754	33.247	56.2199	39.330
Listopad	5.0	33.1618	36.821	23.6211	19.463	30.6447	31.368	56.4485	37.248
	12.0	33.3232	37.735	23.7752	18.346	31.1983	29.927	56.6795	35.547
	19.0	33.4824	38.982	23.9371	16.963	31.8341	28.479	56.9445	33.739
	26.0	33.6407	40.238	24.0969	15.714	32.4372	27.465	57.2038	32.315
Grudzień	3.0	33.7917	41.669	24.2601	14.340	33.1179	26.551	57.4951	30.902
	10.0	33.9398	43.103	24.4175	13.120	33.7378	26.092	57.7694	29.911
	17.0	34.0750	44.705	24.5737	11.785	34.4232	25.755	58.0703	28.957
	24.0	34.2001	46.300	24.7170	10.601	35.0216	25.839	58.3418	28.414
	31.0	34.3089	47.881	24.8546	09.461	35.6718	26.137	58.6343	28.022

MIEJSKA POZORNE (IRS) GWIAZD w 2015
w momencie 0^h UT1

UT1	α Ursae Maioris			γ Ursae Maioris		ε Ursae Maioris		ζ Ursae Maioris	
	1 m 81	Dubhe	F7	2 m 41	A0	1 m 76	A0p	2 m 23	A2
	α_{app}^{CIO}	δ_{app}		α_{app}^{CIO}	δ_{app}	α_{app}^{CIO}	δ_{app}	α_{app}^{CIO}	δ_{app}
	11 h 03 m	+61 $^\circ$ 39'		11 h 53 m	+53 $^\circ$ 36'	12 h 53 m	+55 $^\circ$ 52'	13 h 23 m	+54 $^\circ$ 50'
Styczeń	1.0	52.4268	49. ^s 815	50.2975	21. ^s 343	53.8543	25. ^s 433	44. ^s 1225	34. ^s 593
	8.0	52.7420	49.791	50.5590	20.706	54.1271	24.337	44.3798	33.245
	15.0	53.0256	50.323	50.8090	20.641	54.4051	23.823	44.6503	32.465
	22.0	53.3011	50.806	51.0519	20.517	54.6770	23.266	44.9156	31.646
	29.0	53.5253	51.827	51.2675	20.984	54.9374	23.343	45.1787	31.465
Luty	5.0	53.7394	52.896	51.4751	21.495	55.1922	23.470	45.4376	31.332
	12.0	53.8950	54.398	51.6472	22.516	55.4243	24.171	45.6821	31.791
	19.0	54.0358	55.808	51.8047	23.454	55.6400	24.814	45.9107	32.204
	26.0	54.1032	57.575	51.9135	24.858	55.8171	26.019	46.1093	33.213
Marzec	5.0	54.1582	59.341	52.0098	26.274	55.9816	27.243	46.2957	34.248
	12.0	54.1406	61.329	52.0550	28.029	56.1007	28.912	46.4438	35.772
	19.0	54.1123	63.146	52.0856	29.632	56.2002	30.447	46.5708	37.178
	26.0	54.0044	65.078	52.0572	31.488	56.2433	32.361	46.6478	39.022
Kwiecień	2.0	53.8925	66.937	52.0202	33.285	56.2742	34.212	46.7113	40.806
	9.0	53.7101	68.781	51.9284	35.198	56.2489	36.301	46.7229	42.890
	16.0	53.5318	70.400	51.8312	36.893	56.2104	38.166	46.7179	44.759
	23.0	53.2827	71.903	51.6767	38.611	56.1102	40.185	46.6544	46.850
	30.0	53.0459	73.291	51.5246	40.212	56.0069	42.056	46.5845	48.788
Maj	7.0	52.7535	74.465	51.3250	41.720	55.8486	43.948	46.4609	50.812
	14.0	52.4845	75.421	51.1344	42.991	55.6911	45.563	46.3330	52.552
	21.0	52.1633	76.089	50.8973	44.093	55.4775	47.124	46.1492	54.305
	28.0	51.8721	76.658	50.6766	45.071	55.2748	48.498	45.9718	55.852
Czerwiec	4.0	51.5460	76.882	50.4218	45.796	55.0268	49.711	45.7476	57.295
	11.0	51.2600	76.954	50.1905	46.325	54.7956	50.656	45.5347	58.446
	18.0	50.9443	76.640	49.9283	46.553	54.5212	51.386	45.2763	59.438
	25.0	50.6712	76.296	49.6944	46.705	54.2716	51.953	45.0380	60.235
Lipiec	2.0	50.3845	75.541	49.4420	46.502	53.9906	52.231	44.7650	60.787
	9.0	50.1475	74.736	49.2236	46.187	53.7400	52.301	44.5173	61.094
	16.0	49.9028	73.511	48.9909	45.498	53.4624	52.053	44.2386	61.123
	23.0	49.7053	72.353	48.7937	44.816	53.2197	51.716	43.9911	61.022
	30.0	49.5130	70.770	48.5928	43.730	52.9608	51.010	43.7230	60.583
Sierpień	6.0	49.3717	69.244	48.4307	42.629	52.7407	50.192	43.4898	59.986
	13.0	49.2420	67.316	48.2703	41.134	52.5107	49.001	43.2420	59.039
	20.0	49.1562	65.554	48.1466	39.740	52.3205	47.823	43.0320	58.061
	27.0	49.0909	63.393	48.0324	37.934	52.1290	46.241	42.8158	56.694
Wrzesień	3.0	49.0708	61.388	47.9563	36.211	51.9792	44.654	42.6394	55.276
	10.0	49.0778	59.040	47.8957	34.114	51.8358	42.684	42.4646	53.480
	17.0	49.1191	56.945	47.8682	32.211	51.7322	40.836	42.3297	51.763
	24.0	49.1930	54.516	47.8614	29.927	51.6411	38.592	42.2026	49.648
Paźdz.	1.0	49.3002	52.333	47.8870	27.823	51.5898	36.458	42.1157	47.602
	8.0	49.4454	49.900	47.9388	25.405	51.5591	33.975	42.0451	45.194
	15.0	49.6110	47.798	48.0160	23.270	51.5638	31.725	42.0123	42.982
	22.0	49.8167	45.467	48.1219	20.830	51.5930	29.131	41.9999	40.408
	29.0	50.0383	43.468	48.2498	18.672	51.6549	26.776	42.0234	38.040
Listopad	5.0	50.3028	41.346	48.4100	16.305	51.7478	24.154	42.0745	35.375
	12.0	50.5695	39.624	48.5837	14.306	51.8671	21.880	42.1569	33.030
	19.0	50.8771	37.813	48.7891	12.127	52.0181	19.367	42.2685	30.416
	26.0	51.1776	36.406	49.0007	10.331	52.1888	17.229	42.4052	28.156
Grudzień	3.0	51.5174	35.026	49.2439	08.469	52.3942	14.955	42.5751	25.720
	10.0	51.8364	34.087	49.4840	07.048	52.6108	13.136	42.7632	23.726
	17.0	52.1886	33.202	49.7514	05.594	52.8588	11.220	42.9818	21.598
	24.0	52.5056	32.745	50.0036	04.590	53.1059	09.791	43.2073	19.956
	31.0	52.8494	32.452	50.2795	03.672	53.3830	08.382	43.4630	18.294

MIEJSKA POZORNE (IRS) GWIAZD w 2015
w momencie 0^h UT1

UT1	α Virginis			η Ursae Maioris		4 Ursae Minoris		α Bootis	
	0 ^m 98	Spica	B1	1 ^m 85	B3	4 ^m 80	K3	-0 ^m 05	Arcturus
	α_{app}^{CIO}	δ_{app}		α_{app}^{CIO}	δ_{app}	α_{app}^{CIO}	δ_{app}	α_{app}^{CIO}	δ_{app}
Styczeń		13 ^h 25 ^m	-11°14'	13 ^h 47 ^m	+49°13'	14 ^h 07 ^m	+77°28'	14 ^h 15 ^m	+19°05'
	1.0	12.8169	16.903	20.3350	66.231	57.3579	21.639	33.8122	73.611
	8.0	12.9768	18.397	20.5538	64.658	57.9725	20.206	33.9611	71.861
	15.0	13.1378	19.615	20.7892	63.621	58.6618	19.340	34.1209	70.509
	22.0	13.3002	21.173	21.0212	62.537	59.3345	18.479	34.2829	69.000
Luty	29.0	13.4581	22.391	21.2569	62.074	60.0419	18.271	34.4487	67.981
	5.0	13.6085	23.814	21.4896	61.647	60.7455	18.128	34.6127	66.896
	12.0	13.7518	24.876	21.7152	61.811	61.4456	18.601	34.7746	66.306
	19.0	13.8859	26.211	21.9271	61.932	62.1013	19.062	34.9295	65.595
	26.0	14.0082	27.151	22.1184	62.665	62.7087	20.159	35.0748	65.425
Marzec	5.0	14.1140	28.209	22.2985	63.423	63.2907	21.283	35.2102	65.219
	12.0	14.2069	28.889	22.4500	64.700	63.7929	22.940	35.3316	65.506
	19.0	14.2833	29.790	22.5817	65.871	64.2343	24.495	35.4391	65.656
	26.0	14.3438	30.314	22.6740	67.523	64.5585	26.543	35.5265	66.292
	2.0	14.3829	30.902	22.7525	69.123	64.8501	28.512	35.5992	66.867
Kwiecień	9.0	14.4072	31.164	22.7888	71.074	65.0095	30.835	35.6503	67.838
	16.0	14.4118	31.606	22.8075	72.823	65.1168	32.930	35.6852	68.623
	23.0	14.4005	31.748	22.7777	74.856	65.0678	35.307	35.6948	69.762
	30.0	14.3670	31.915	22.7386	76.742	65.0019	37.488	35.6896	70.792
	7.0	14.3208	31.849	22.6539	78.775	64.7834	39.804	35.6605	72.070
Maj	14.0	14.2556	31.916	22.5609	80.531	64.5451	41.795	35.6178	73.119
	21.0	14.1777	31.784	22.4199	82.364	64.1435	43.852	35.5499	74.366
	28.0	14.0811	31.633	22.2797	83.993	63.7580	45.634	35.4713	75.472
	4.0	13.9764	31.353	22.0984	85.576	63.2270	47.355	35.3714	76.669
	11.0	13.8570	31.143	21.9219	86.864	62.7198	48.717	35.2637	77.634
Czerwiec	18.0	13.7307	30.839	21.7048	88.053	62.0673	49.962	35.1352	78.643
	25.0	13.5918	30.456	21.5006	89.037	61.4693	50.926	35.0026	79.523
	2.0	13.4517	30.049	21.2646	89.826	60.7502	51.679	34.8545	80.355
	9.0	13.3034	29.640	21.0458	90.356	60.0962	52.106	34.7062	80.993
	16.0	13.1555	29.241	20.7985	90.655	59.3302	52.286	34.5441	81.543
Lipiec	23.0	13.0030	28.697	20.5744	90.805	58.6516	52.247	34.3855	82.015
	30.0	12.8571	28.237	20.3304	90.654	57.8849	51.897	34.2192	82.322
	6.0	12.7112	27.712	20.1133	90.321	57.2138	51.308	34.0603	82.498
	13.0	12.5731	27.303	19.8813	89.669	56.4721	50.392	33.8962	82.478
	20.0	12.4394	26.699	19.6800	88.959	55.8389	49.365	33.7431	82.452
Sierpień	27.0	12.3197	26.293	19.4712	87.882	55.1551	47.974	33.5906	82.164
	3.0	12.2083	25.788	19.2954	86.722	54.5838	46.465	33.4524	81.817
	10.0	12.1111	25.507	19.1188	85.196	53.9865	44.595	33.3178	81.186
	17.0	12.0266	25.015	18.9767	83.718	53.5066	42.744	33.2005	80.622
	24.0	11.9617	24.838	18.8396	81.845	53.0160	40.520	33.0920	79.717
Paźdz.	1.0	11.9118	24.553	18.7378	80.004	52.6429	38.319	33.0029	78.830
	8.0	11.8801	24.596	18.6483	77.793	52.2881	35.768	32.9253	77.595
	15.0	11.8666	24.442	18.5936	75.742	52.0491	33.380	32.8691	76.495
	22.0	11.8745	24.696	18.5553	73.314	51.8400	30.650	32.8283	75.007
	29.0	11.9009	24.845	18.5506	71.053	51.7420	28.106	32.8094	73.623
Listopad	5.0	11.9455	25.392	18.5686	68.467	51.7018	25.271	32.8073	71.871
	12.0	12.0094	25.757	18.6174	66.166	51.7649	22.748	32.8272	70.329
	19.0	12.0924	26.581	18.6910	63.562	51.8922	19.968	32.8661	68.405
	26.0	12.1917	27.275	18.7906	61.276	52.1089	17.548	32.9249	66.695
	3.0	12.3042	28.366	18.9184	58.773	52.4106	14.948	33.0017	64.664
Grudzień	10.0	12.4320	29.264	19.0672	56.684	52.7862	12.807	33.0967	62.935
	17.0	12.5712	30.586	19.2424	54.417	53.2428	10.534	33.2090	60.899
	24.0	12.7204	31.725	19.4292	52.614	53.7448	08.779	33.3342	59.202
	31.0	12.8736	33.170	19.6423	50.746	54.3376	06.988	33.4737	57.299

MIEJSKA POZORNE (IRS) GWIAZD w 2015
w momencie 0^h UT1

UT1	β Ursae Minoris		γ Ursae Minoris		α Coronae Borealis		ζ Ursae Minoris	
	2 ^m 07	K4	3 ^m 00	A3	2 ^m 22	A0	4 ^m 29	A3
	α_{app}^{CIO}	δ_{app}	α_{app}^{CIO}	δ_{app}	α_{app}^{CIO}	δ_{app}	α_{app}^{CIO}	δ_{app}
Styczeń		14 ^h 49 ^m	+74°05'	15 ^h 19 ^m	+71°46'	15 ^h 34 ^m	+26°39'	15 ^h 42 ^m
	1.0	49.7344	26.903	52.3955	40.906	31.9557	52.375	40.1430
	8.0	50.1600	25.100	52.7228	38.875	32.0780	50.422	40.5641
	15.0	50.6677	23.806	53.1348	37.304	32.2227	48.804	41.1256
	22.0	51.1635	22.528	53.5377	35.755	32.3729	47.108	41.6727
Luty	29.0	51.7137	21.871	54.0043	34.790	32.5398	45.867	42.3327
	5.0	52.2637	21.281	54.4727	33.892	32.7099	44.596	42.9968
	12.0	52.8368	21.298	54.9770	33.584	32.8891	43.811	43.7327
	19.0	53.3749	21.332	55.4517	33.312	33.0646	42.982	44.4246
Marzec	26.0	53.9020	22.022	55.9341	33.696	33.2415	42.715	45.1482
	5.0	54.4097	22.755	56.4004	34.135	33.4125	42.438	45.8495
	12.0	54.8777	24.063	56.8473	35.166	33.5778	42.698	46.5401
	19.0	55.2933	25.310	57.2469	36.166	33.7306	42.884	47.1590
Kwiecień	26.0	55.6384	27.114	57.5998	37.758	33.8702	43.628	47.7265
	2.0	55.9534	28.863	57.9243	39.314	33.9969	44.315	48.2514
	9.0	56.1803	31.043	58.1835	41.346	34.1055	45.481	48.6935
	16.0	56.3559	33.033	58.3924	43.219	34.1969	46.492	49.0563
Maj	23.0	56.4216	35.398	58.5157	45.526	34.2648	47.959	49.3049
	30.0	56.4640	37.582	58.6128	47.667	34.3171	49.286	49.5105
	7.0	56.3934	39.995	58.6177	50.099	34.3444	50.961	49.5877
	14.0	56.2921	42.102	58.5868	52.245	34.3549	52.391	49.6039
Czerwiec	21.0	56.0665	44.375	58.4523	54.627	34.3375	54.127	49.4727
	28.0	55.8398	46.372	58.3081	56.734	34.3065	55.649	49.3206
	4.0	55.4974	48.398	58.0643	58.937	34.2490	57.362	49.0227
	11.0	55.1567	50.058	57.8109	60.776	34.1796	58.775	48.7009
Lipiec	18.0	54.6981	51.694	57.4546	62.658	34.0830	60.334	48.2269
	25.0	54.2681	53.022	57.1137	64.218	33.9786	61.652	47.7678
	2.0	53.7354	54.217	56.6800	65.705	33.8507	63.010	47.1681
	9.0	53.2379	55.053	56.2664	66.816	33.7182	64.068	46.5883
Sierpień	16.0	52.6434	55.715	55.7640	67.810	33.5635	65.123	45.8724
	23.0	52.1060	56.108	55.3029	68.505	33.4087	65.962	45.2107
	30.0	51.4877	56.250	54.7652	68.996	33.2365	66.715	44.4283
	6.0	50.9325	56.099	54.2737	69.162	33.0680	67.210	43.7059
Wrzesień	13.0	50.3093	55.669	53.7161	69.089	32.8849	67.575	42.8775
	20.0	49.7648	55.063	53.2214	68.797	32.7101	67.791	42.1377
	27.0	49.1668	54.130	52.6722	68.211	32.5262	67.812	41.3067
	3.0	48.6508	53.010	52.1887	67.394	32.3541	67.651	40.5677
Paźdz.	10.0	48.1003	51.550	51.6670	66.259	32.1767	67.252	39.7612
	17.0	47.6418	50.037	51.2234	65.019	32.0154	66.793	39.0690
	24.0	47.1608	48.160	50.7516	63.431	31.8543	66.048	38.3228
	1.0	46.7722	46.233	50.3587	61.741	31.7123	65.214	37.6917
Listopad	8.0	46.3843	43.948	49.9578	59.695	31.5748	64.063	37.0367
	15.0	46.0940	41.751	49.6441	57.681	31.4599	62.944	36.5130
	22.0	45.8140	39.197	49.3311	55.307	31.3542	61.478	35.9779
	29.0	45.6291	36.755	49.1039	52.990	31.2731	60.035	35.5725
Grudzień	5.0	45.4779	33.989	48.8984	50.333	31.2049	58.235	35.1879
	12.0	45.4213	31.465	48.7820	47.862	31.1632	56.575	34.9415
	19.0	45.4052	28.647	48.6941	45.075	31.1379	54.552	34.7264
	26.0	45.4748	26.125	48.6890	42.535	31.1388	52.694	34.6419
	3.0	45.6037	23.372	48.7302	39.731	31.1580	50.504	34.6173
	10.0	45.8106	21.024	48.8504	37.284	31.2028	48.579	34.7207
	17.0	46.0758	18.494	49.0173	34.625	31.2669	46.348	34.8861
	24.0	46.3991	16.444	49.2480	32.408	31.3530	44.445	35.1593
	31.0	46.7916	14.303	49.5368	30.061	31.4577	42.305	35.5147

MIEJSKA POZORNE (IRS) GWIAZD w 2015
w momencie 0^h UT1

UT1	β Herculis		β Draconis		γ Draconis		χ Draconis		
	2 ^m 78	G8	2 ^m 79	G2	2 ^m 24	K5	3 ^m 55	F7	
	α_{app}^{CIO}	δ_{app}	α_{app}^{CIO}	δ_{app}	α_{app}^{CIO}	δ_{app}	α_{app}^{CIO}	δ_{app}	
Styczeń	16 ^h 30 ^m	+21°27'	17 ^h 29 ^m	+52°17'	17 ^h 56 ^m	+51°29'	18 ^h 19 ^m	+72°44'	
	1.0	04.3975	30.734	57.7872	30.291	08.8152	21.154	56.0812	28.034
	8.0	04.4857	28.836	57.8346	27.818	08.8342	18.687	56.0486	25.503
	15.0	04.5987	27.171	57.9395	25.511	08.9109	16.324	56.1512	23.019
	22.0	04.7212	25.451	58.0479	23.249	08.9922	14.016	56.2517	20.600
Luty	29.0	04.8648	24.089	58.2114	21.310	09.1305	11.970	56.4894	18.387
	5.0	05.0153	22.688	58.3825	19.419	09.2774	09.972	56.7388	16.227
	12.0	05.1800	21.699	58.5972	17.926	09.4709	08.321	57.1044	14.370
	19.0	05.3455	20.687	58.8059	16.539	09.6604	06.792	57.4528	12.652
	26.0	05.5192	20.181	59.0499	15.675	09.8898	05.742	57.9052	11.378
Marzec	5.0	05.6907	19.654	59.2914	14.892	10.1181	04.778	58.3521	10.203
	12.0	05.8628	19.634	59.5535	14.651	10.3721	04.327	58.8724	09.517
	19.0	06.0263	19.567	59.7969	14.498	10.6095	03.990	59.3500	08.974
	26.0	06.1841	20.049	60.0497	14.957	10.8624	04.245	59.8798	09.012
	2.0	06.3311	20.468	60.2882	15.447	11.1022	04.545	60.3795	09.118
Kwiecień	9.0	06.4663	21.383	60.5224	16.501	11.3435	05.403	60.8993	09.782
	16.0	06.5862	22.168	60.7281	17.542	11.5576	06.280	61.3540	10.502
	23.0	06.6891	23.445	60.9191	19.161	11.7632	07.742	61.8068	11.817
	30.0	06.7762	24.576	61.0881	20.697	11.9469	09.137	62.2109	13.094
	7.0	06.8431	26.107	61.2325	22.711	12.1115	11.029	62.5865	14.885
Maj	14.0	06.8923	27.409	61.3459	24.569	12.2445	12.794	62.8885	16.586
	21.0	06.9182	29.083	61.4273	26.886	12.3510	15.043	63.1449	18.799
	28.0	06.9276	30.528	61.4863	28.986	12.4335	17.092	63.3489	20.835
	4.0	06.9133	32.240	61.5080	31.423	12.4830	19.509	63.4895	23.270
	11.0	06.8834	33.649	61.5038	33.569	12.5044	21.658	63.5648	25.466
Czerwiec	18.0	06.8286	35.288	61.4584	36.015	12.4886	24.144	63.5665	28.032
	25.0	06.7608	36.654	61.3974	38.143	12.4542	26.318	63.5283	30.301
	2.0	06.6702	38.151	61.2941	40.450	12.3800	28.711	63.4072	32.824
	9.0	06.5693	39.323	61.1753	42.384	12.2868	30.740	63.2422	34.997
	16.0	06.4462	40.582	61.0138	44.449	12.1531	32.943	62.9912	37.380
Lipiec	23.0	06.3164	41.580	60.8480	46.152	12.0111	34.777	62.7244	39.393
	30.0	06.1682	42.585	60.6410	47.887	11.8290	36.686	62.3686	41.515
	6.0	06.0170	43.294	60.4317	49.226	11.6402	38.196	61.9974	43.234
	13.0	05.8495	43.960	60.1839	50.541	11.4134	39.721	61.5404	45.004
	20.0	05.6833	44.421	59.9452	51.508	11.1914	40.880	61.0974	46.388
Sierpień	27.0	05.5056	44.780	59.6712	52.379	10.9336	41.984	60.5697	47.748
	3.0	05.3332	44.906	59.4088	52.887	10.6829	42.708	60.0574	48.709
	10.0	05.1527	44.875	59.1165	53.235	10.4013	43.307	59.4695	49.574
	17.0	04.9821	44.721	58.8470	53.297	10.1383	43.591	58.9261	50.089
	24.0	04.8087	44.363	58.5518	53.152	09.8479	43.704	58.3111	50.457
Paźdz.	1.0	04.6491	43.862	58.2818	52.722	09.5786	43.503	57.7424	50.480
	8.0	04.4907	43.104	57.9939	52.024	09.2891	43.062	57.1166	50.282
	15.0	04.3503	42.317	57.7413	51.135	09.0314	42.391	56.5640	49.809
	22.0	04.2164	41.241	57.4760	49.955	08.7583	41.456	55.9610	49.087
	29.0	04.1037	40.130	57.2484	48.608	08.5199	40.315	55.4348	48.117
Listopad	5.0	04.0011	38.695	57.0172	46.929	08.2746	38.859	54.8767	46.842
	12.0	03.9227	37.333	56.8317	45.184	08.0728	37.290	54.4176	45.401
	19.0	03.8588	35.638	56.6479	43.113	07.8694	35.409	53.9360	43.654
	26.0	03.8206	34.044	56.5116	41.040	07.7122	33.479	53.5578	41.808
	3.0	03.7988	32.114	56.3859	38.633	07.5622	31.220	53.1780	39.633
Grudzień	10.0	03.8035	30.383	56.3116	36.329	07.4631	29.010	52.9151	37.451
	17.0	03.8268	28.339	56.2515	33.733	07.3753	26.510	52.6586	34.977
	24.0	03.8750	26.560	56.2417	31.347	07.3386	24.169	52.5201	32.612
	31.0	03.9415	24.509	56.2530	28.704	07.3204	21.561	52.4081	29.970

MIEJSKA POZORNE (IRS) GWIAZD w 2015
w momencie 0^h UT1

UT1	α Lyrae			ν Draconis		σ Sagittarii		τ Draconis	
	0 ^m 03	Vega	A0	4 ^m 82	K0	2 ^m 05	B2	4 ^m 45	K3
	α_{app}^{CIO}	δ_{app}		α_{app}^{CIO}	δ_{app}	α_{app}^{CIO}	δ_{app}	α_{app}^{CIO}	δ_{app}
Styczeń		18 ^h 36 ^m	+38°47'	18 ^h 53 ^m	+71°18'	18 ^h 55 ^m	-26°16'	19 ^h 14 ^m	+73°22'
	1.0	38.9030	62.628	22.1903	71.743	23.9946	28.944	24.6565	70.823
	8.0	38.8924	60.422	22.0859	69.268	24.0169	28.726	24.4893	68.415
	15.0	38.9244	58.226	22.1061	66.750	24.0518	28.541	24.4607	65.909
	22.0	38.9653	56.101	22.1266	64.301	24.1212	28.308	24.4329	63.473
Luty	29.0	39.0502	54.132	22.2783	61.966	24.2028	28.057	24.5542	61.091
	5.0	39.1456	52.203	22.4424	59.680	24.3116	27.896	24.6895	58.753
	12.0	39.2780	50.526	22.7212	57.616	24.4281	27.663	24.9579	56.585
	19.0	39.4134	48.981	22.9887	55.705	24.5732	27.453	25.2156	54.575
	26.0	39.5822	47.823	23.3638	54.165	24.7241	27.118	25.6015	52.885
Marzec	5.0	39.7540	46.739	23.7370	52.729	24.8926	26.943	25.9865	51.300
	12.0	39.9492	46.094	24.1910	51.729	25.0616	26.597	26.4710	50.111
	19.0	40.1370	45.579	24.6107	50.901	25.2491	26.354	26.9197	49.110
	26.0	40.3417	45.591	25.0945	50.614	25.4343	25.896	27.4513	48.616
	2.0	40.5388	45.646	25.5531	50.414	25.6253	25.671	27.9559	48.221
Kwiecień	9.0	40.7420	46.218	26.0459	50.753	25.8091	25.210	28.5099	48.345
	16.0	40.9277	46.836	26.4813	51.191	25.9997	24.947	29.0010	48.595
	23.0	41.1126	48.009	26.9318	52.220	26.1805	24.422	29.5214	49.424
	30.0	41.2809	49.125	27.3370	53.242	26.3554	24.206	29.9906	50.266
	7.0	41.4394	50.731	27.7309	54.792	26.5167	23.729	30.4581	51.637
Maj	14.0	41.5743	52.242	28.0552	56.301	26.6736	23.546	30.8465	52.998
	21.0	41.6938	54.244	28.3526	58.347	26.8150	23.091	31.2158	54.904
	28.0	41.7925	56.058	28.5970	60.250	26.9405	23.003	31.5233	56.692
	4.0	41.8698	58.267	28.7950	62.589	27.0483	22.656	31.7878	58.933
	11.0	41.9228	60.235	28.9265	64.733	27.1425	22.664	31.9740	61.008
Czerwiec	18.0	41.9512	62.575	29.0015	67.291	27.2181	22.415	32.1057	63.521
	25.0	41.9600	64.612	29.0313	69.579	27.2704	22.545	32.1818	65.784
	2.0	41.9410	66.919	28.9928	72.172	27.3041	22.425	32.1879	68.380
	9.0	41.9021	68.881	28.9040	74.446	27.3182	22.663	32.1315	70.680
	16.0	41.8344	71.070	28.7427	76.983	27.3140	22.668	31.9997	73.275
Lipiec	23.0	41.7530	72.892	28.5561	79.161	27.2826	23.007	31.8329	75.522
	30.0	41.6423	74.855	28.2913	81.505	27.2352	23.102	31.5824	77.969
	6.0	41.5195	76.426	28.0007	83.459	27.1663	23.499	31.2955	80.038
	13.0	41.3686	78.080	27.6332	85.517	27.0832	23.690	30.9249	82.246
	20.0	41.2130	79.357	27.2670	87.183	26.9735	24.117	30.5488	84.061
Sierpień	27.0	41.0307	80.655	26.8228	88.878	26.8545	24.313	30.0860	85.942
	3.0	40.8464	81.569	26.3809	90.167	26.7170	24.710	29.6183	87.416
	10.0	40.6384	82.431	25.8673	91.410	26.5730	24.938	29.0695	88.877
	17.0	40.4365	82.955	25.3838	92.275	26.4080	25.281	28.5476	89.948
	24.0	40.2141	83.387	24.8308	93.041	26.2439	25.425	27.9458	90.953
Paźdz.	1.0	40.0009	83.489	24.3099	93.434	26.0688	25.657	27.3729	91.571
	8.0	39.7720	83.420	23.7306	93.646	25.8982	25.781	26.7309	92.038
	15.0	39.5605	83.086	23.2098	93.535	25.7164	25.906	26.1486	92.156
	22.0	39.3376	82.561	22.6361	93.213	25.5479	25.903	25.5023	92.089
	29.0	39.1360	81.797	22.1251	92.594	25.3786	25.892	24.9206	91.699
Listopad	5.0	38.9288	80.773	21.5764	91.694	25.2258	25.864	24.2907	91.048
	12.0	38.7500	79.588	21.1130	90.564	25.0732	25.754	23.7520	90.131
	19.0	38.5706	78.144	20.6206	89.149	24.9457	25.627	23.1744	88.944
	26.0	38.4237	76.598	20.2196	87.568	24.8272	25.417	22.6959	87.552
	3.0	38.2819	74.753	19.8079	85.663	24.7348	25.304	22.1982	85.844
Grudzień	10.0	38.1772	72.894	19.5026	83.676	24.6519	25.054	21.8182	84.007
	17.0	38.0818	70.769	19.1950	81.398	24.6017	24.904	21.4288	81.884
	24.0	38.0256	68.733	18.9982	79.151	24.5668	24.605	21.1641	79.742
	31.0	37.9836	66.428	18.8180	76.616	24.5611	24.510	20.9113	77.307

MIEJSKA POZORNE (IRS) GWIAZD w 2015
w momencie 0^h UT1

UT1	ι Cygni		α Aquilae			κ Cephei		α Cygni		
	3 m 76	A5	0 m 76	Altair	A7	4 m 38	B9	1 m 25	Deneb	A2
	α_{app}^{CIO}	δ_{app}	α_{app}^{CIO}	δ_{app}		α_{app}^{CIO}	δ_{app}	α_{app}^{CIO}	δ_{app}	
Styczeń	19 ^h 29 ^m	+51°45'	19 ^h 50 ^m	+8°54'		20 ^h 07 ^m	+77°45'	20 ^h 41 ^m	+45°19'	
	1.0	16. ^s 8847	56.343	43.4651	40.687	30. ^s 3931	38.058	09. ^s 1274	79." ^s 245	
	8.0	16.8031	54.063	43.4263	39.574	30.0096	35.904	08.9979	77.371	
	15.0	16.7792	51.664	43.4104	38.351	29.8021	33.514	08.9111	75.233	
	22.0	16.7620	49.355	43.4124	37.271	29.5976	31.193	08.8332	73.217	
Luty	29.0	16.8077	47.075	43.4399	36.180	29.5936	28.773	08.8061	71.060	
	5.0	16.8644	44.847	43.4846	35.133	29.6086	26.381	08.7910	68.965	
	12.0	16.9774	42.763	43.5511	34.163	29.8110	24.018	08.8240	66.849	
	19.0	17.0923	40.851	43.6330	33.346	30.0073	21.820	08.8648	64.938	
	26.0	17.2621	39.229	43.7363	32.710	30.3951	19.802	08.9563	63.145	
Marzec	5.0	17.4359	37.714	43.8514	32.106	30.7867	17.885	09.0559	61.471	
	12.0	17.6525	36.569	43.9821	31.749	31.3373	16.250	09.1985	60.018	
	19.0	17.8595	35.621	44.1209	31.516	31.8510	14.834	09.3406	58.812	
	26.0	18.1028	35.153	44.2724	31.610	32.5097	13.825	09.5231	57.945	
	2.0	18.3376	34.782	44.4274	31.689	33.1379	12.937	09.7037	57.206	
Kwiecień	9.0	18.5943	34.908	44.5881	32.117	33.8678	12.501	09.9135	56.858	
	16.0	18.8281	35.168	44.7480	32.580	34.5214	12.250	10.1108	56.716	
	23.0	19.0756	35.983	44.9103	33.439	35.2544	12.529	10.3323	57.042	
	30.0	19.3022	36.811	45.0669	34.187	35.9199	12.872	10.5397	57.433	
	7.0	19.5290	38.152	45.2193	35.311	36.6206	13.727	10.7592	58.284	
Maj	14.0	19.7236	39.490	45.3628	36.337	37.2151	14.652	10.9553	59.223	
	21.0	19.9111	41.357	45.4991	37.753	37.8233	16.124	11.1581	60.657	
	28.0	20.0707	43.103	45.6222	38.942	38.3413	17.541	11.3376	62.034	
	4.0	20.2125	45.295	45.7332	40.475	38.8354	19.441	11.5130	63.855	
	11.0	20.3198	47.326	45.8295	41.773	39.2143	21.258	11.6589	65.606	
Czerwiec	18.0	20.4045	49.788	45.9115	43.407	39.5529	23.554	11.7963	67.801	
	25.0	20.4615	51.995	45.9760	44.713	39.8014	25.661	11.9067	69.799	
	2.0	20.4888	54.536	46.0232	46.304	39.9821	28.164	12.0004	72.171	
	9.0	20.4860	56.782	46.0531	47.563	40.0605	30.440	12.0640	74.322	
	16.0	20.4511	59.324	46.0649	49.079	40.0609	33.078	12.1081	76.818	
Lipiec	23.0	20.3954	61.511	46.0582	50.212	39.9927	35.413	12.1274	78.997	
	30.0	20.3040	63.908	46.0324	51.565	39.8291	38.028	12.1217	81.454	
	6.0	20.1920	65.925	45.9900	52.546	39.5926	40.311	12.0907	83.579	
	13.0	20.0442	68.091	45.9291	53.700	39.2565	42.815	12.0334	85.927	
	20.0	19.8872	69.854	45.8521	54.473	38.8879	44.942	11.9581	87.880	
Sierpień	27.0	19.6934	71.701	45.7575	55.403	38.4105	47.222	11.8541	90.006	
	3.0	19.4918	73.139	45.6505	55.978	37.9000	49.113	11.7332	91.737	
	10.0	19.2558	74.580	45.5279	56.643	37.2822	51.075	11.5837	93.565	
	17.0	19.0244	75.622	45.3948	56.976	36.6752	52.629	11.4266	94.967	
	24.0	18.7599	76.624	45.2491	57.401	35.9585	54.204	11.2407	96.432	
Paźdz.	1.0	18.5026	77.235	45.0979	57.529	35.2548	55.375	11.0496	97.487	
	8.0	18.2167	77.719	44.9375	57.664	34.4491	56.470	10.8318	98.516	
	15.0	17.9505	77.845	44.7747	57.546	33.7001	57.167	10.6189	99.129	
	22.0	17.6591	77.818	44.6072	57.444	32.8533	57.753	10.3814	99.696	
	29.0	17.3913	77.463	44.4436	57.129	32.0705	57.960	10.1531	99.880	
Listopad	5.0	17.1049	76.875	44.2792	56.738	31.2050	57.967	09.9042	99.927	
	12.0	16.8533	76.012	44.1223	56.186	30.4428	57.622	09.6743	99.610	
	19.0	16.5884	74.911	43.9702	55.572	29.6089	57.059	09.4280	99.152	
	26.0	16.3635	73.598	43.8318	54.847	28.8922	56.196	09.2070	98.386	
	3.0	16.1333	71.995	43.7017	53.977	28.1264	55.050	08.9755	97.407	
Grudzień	10.0	15.9511	70.252	43.5883	53.056	27.5076	53.660	08.7772	96.167	
	17.0	15.7691	68.250	43.4883	52.014	26.8541	52.003	08.5737	94.736	
	24.0	15.6397	66.216	43.4098	50.998	26.3642	50.203	08.4103	93.143	
	31.0	15.5185	63.907	43.3468	49.795	25.8672	48.109	08.2485	91.314	

MIEJSKA POZORNE (IRS) GWIAZD w 2015
w momencie 0^h UT1

UT1	α Cephei		β Cephei		11 Cephei		ε Pegasi	
	2 ^m 45	A7	3 ^m 23	B2	4 ^m 55	K0	2 ^m 38	K2
	α_{app}^{CIO}	δ_{app}	α_{app}^{CIO}	δ_{app}	α_{app}^{CIO}	δ_{app}	α_{app}^{CIO}	δ_{app}
Styczeń	21 ^h 18 ^m	+62°38'	21 ^h 28 ^m	+70°37'	21 ^h 41 ^m	+71°22'	21 ^h 44 ^m	+9°56'
	1.0	08.5413	76.850	02.9007	56.378	20 ^s 3806	70.962	08.3552
	8.0	08.2914	75.083	02.5348	54.708	19.9835	69.402	08.2462
	15.0	08.1055	72.946	02.2563	52.634	19.6724	67.412	08.1547
	22.0	07.9268	70.903	01.9851	50.638	19.3690	65.499	08.0780
Luty	29.0	07.8278	68.602	01.8248	48.344	19.1771	63.255	08.0242
	5.0	07.7409	66.339	01.6783	46.073	18.9992	61.030	07.9870
	12.0	07.7331	63.949	01.6432	43.636	18.9348	58.606	07.9720
	19.0	07.7326	61.752	01.6164	41.378	18.8804	56.361	07.9738
Marzec	26.0	07.8190	59.566	01.7133	39.094	18.9539	54.051	08.0003
	5.0	07.9138	57.499	01.8198	36.916	19.0381	51.846	08.0429
	12.0	08.0857	55.565	02.0376	34.839	19.2389	49.709	08.1064
	19.0	08.2539	53.898	02.2490	33.023	19.4354	47.834	08.1838
Kwiecień	26.0	08.4984	52.495	02.5716	31.440	19.7500	46.160	08.2820
	2.0	08.7372	51.250	02.8849	30.016	20.0563	44.647	08.3908
	9.0	09.0356	50.346	03.2870	28.911	20.4585	43.427	08.5145
	16.0	09.3120	49.702	03.6571	28.071	20.8301	42.483	08.6451
Maj	23.0	09.6418	49.491	04.1081	27.648	21.2905	41.930	08.7889
	30.0	09.9473	49.405	04.5240	27.362	21.7158	41.525	08.9351
	7.0	10.2869	49.770	04.9937	27.519	22.2022	41.546	09.0876
	14.0	10.5866	50.302	05.4062	27.861	22.6312	41.770	09.2387
Czerwiec	21.0	10.9125	51.332	05.8620	28.698	23.1110	42.475	09.3937
	28.0	11.1992	52.386	06.2615	29.581	23.5329	43.243	09.5428
	4.0	11.4936	53.907	06.6781	30.937	23.9782	44.479	09.6893
	11.0	11.7374	55.448	07.0221	32.337	24.3486	45.780	09.8268
Lipiec	18.0	11.9820	57.466	07.3733	34.224	24.7325	47.566	09.9594
	25.0	12.1810	59.368	07.6593	36.023	25.0478	49.283	10.0793
	2.0	12.3659	61.691	07.9309	38.256	25.3536	51.438	10.1888
	9.0	12.4987	63.874	08.1277	40.380	25.5806	53.505	10.2839
Sierpień	16.0	12.6119	66.454	08.3022	42.917	25.7896	55.993	10.3671
	23.0	12.6829	68.784	08.4162	45.231	25.9336	58.274	10.4332
	30.0	12.7238	71.446	08.4923	47.899	26.0428	60.920	10.4835
	6.0	12.7198	73.838	08.5037	50.322	26.0823	63.341	10.5167
Wrzesień	13.0	12.6817	76.510	08.4709	53.048	26.0798	66.077	10.5335
	20.0	12.6128	78.827	08.3937	55.439	26.0279	68.492	10.5319
	27.0	12.5034	81.369	08.2626	58.080	25.9234	71.171	10.5121
	3.0	12.3629	83.549	08.0862	60.377	25.7681	73.521	10.4753
Paźdz.	10.0	12.1796	85.878	07.8515	62.845	25.5548	76.058	10.4210
	17.0	11.9821	87.785	07.5957	64.905	25.3153	78.193	10.3502
	24.0	11.7391	89.800	07.2770	67.092	25.0122	80.473	10.2620
	1.0	11.4836	91.400	06.9390	68.874	24.6848	82.354	10.1606
Listopad	8.0	11.1826	93.015	06.5365	70.688	24.2911	84.287	10.0440
	15.0	10.8869	94.181	06.1405	72.055	23.8992	85.769	09.9163
	22.0	10.5465	95.330	05.6802	73.419	23.4407	87.268	09.7756
	29.0	10.2163	96.051	05.2322	74.352	22.9903	88.332	09.6290
Grudzień	5.0	09.8447	96.661	04.7231	75.184	22.4751	89.313	09.4730
	12.0	09.5003	96.836	04.2509	75.569	21.9935	89.837	09.3144
	19.0	09.1191	96.882	03.7231	75.830	21.4523	90.253	09.1505
	26.0	08.7740	96.538	03.2441	75.683	20.9573	90.246	08.9905
	3.0	08.3991	95.986	02.7186	75.328	20.4111	90.047	08.8296
	10.0	08.0749	95.072	02.2627	74.587	19.9329	89.440	08.6763
	17.0	07.7283	93.961	01.7701	73.644	19.4137	88.643	08.5270
	24.0	07.4439	92.578	01.3636	72.395	18.9803	87.515	08.3920
	31.0	07.1476	90.945	00.9346	70.891	18.5200	86.139	08.2652

MIEJSKA POZORNE (IRS) GWIAZD w 2015
w momencie 0^h UT1

UT1	24 Cephei		α Piscis Austrini		α Pegasi		γ Cephei		
	4 ^m 79 G8		1 ^m 17 Fomalhaut		2 ^m 49 B9		3 ^m 21 K1		
	α_{app}^{CIO}	δ_{app}	α_{app}^{CIO}	δ_{app}	α_{app}^{CIO}	δ_{app}	α_{app}^{CIO}	δ_{app}	
	22 ^h 09 ^m	+72°24'	22 ^h 57 ^m	-29°32'	23 ^h 04 ^m	+15°17'	23 ^h 39 ^m	+77°42'	
Styczeń	1.0	18.2368	76''.490	41.4571	39''.031	44.0190	18''.065	13.7096	79''.588
	8.0	17.7826	75.171	41.3124	38.747	43.8731	17.377	12.9786	79.172
	15.0	17.4070	73.374	41.1758	38.607	43.7388	16.346	12.2930	78.171
	22.0	17.0404	71.649	41.0589	37.996	43.6142	15.597	11.6231	77.220
	29.0	16.7815	69.529	40.9543	37.507	43.5084	14.557	11.0461	75.707
Luty	5.0	16.5366	67.421	40.8760	36.724	43.4157	13.695	10.4837	74.181
	12.0	16.4053	65.048	40.8088	36.047	43.3433	12.618	10.0374	72.204
	19.0	16.2877	62.847	40.7691	34.966	43.2857	11.860	09.6238	70.361
	26.0	16.3022	60.507	40.7424	33.962	43.2533	10.963	09.3652	68.150
	Marzec	5.0	16.3295	58.265	40.7462	32.771	43.2365	10.252	09.1297
Kwiecień	12.0	16.4806	56.021	40.7597	31.639	43.2434	09.485	09.0551	63.644
	19.0	16.6329	54.042	40.8029	30.205	43.2651	09.050	09.0077	61.524
	26.0	16.9140	52.191	40.8560	28.801	43.3125	08.641	09.1433	59.290
	2.0	17.1898	50.507	40.9382	27.337	43.3730	08.404	09.2868	57.223
	9.0	17.5737	49.057	41.0254	25.888	43.4548	08.257	09.5992	55.178
Maj	16.0	17.9319	47.900	41.1398	24.279	43.5467	08.403	09.9077	53.454
	23.0	18.3933	47.078	41.2582	22.662	43.6596	08.704	10.3911	51.855
	30.0	18.8215	46.426	41.4002	21.129	43.7790	09.117	10.8473	50.476
	7.0	19.3249	46.160	41.5405	19.582	43.9131	09.717	11.4485	49.321
	14.0	19.7730	46.131	41.7021	18.044	44.0498	10.504	12.0015	48.488
Czerwiec	21.0	20.2872	46.550	41.8603	16.478	44.1995	11.518	12.6952	47.952
	28.0	20.7423	47.067	42.0337	15.147	44.3477	12.531	13.3211	47.616
	4.0	21.2346	48.033	42.1982	13.787	44.5019	13.775	14.0505	47.630
	11.0	21.6501	49.111	42.3751	12.602	44.6508	15.055	14.6909	47.889
	18.0	22.0928	50.660	42.5414	11.382	44.8036	16.580	15.4248	48.538
Lipiec	25.0	22.4623	52.184	42.7124	10.532	44.9473	17.963	16.0598	49.296
	2.0	22.8338	54.146	42.8673	09.635	45.0884	19.580	16.7522	50.459
	9.0	23.1209	56.070	43.0245	09.045	45.2173	21.075	17.3297	51.741
	16.0	23.4007	58.421	43.1648	08.409	45.3417	22.798	17.9511	53.431
	23.0	23.6078	60.606	43.2986	08.231	45.4511	24.242	18.4599	55.101
Sierpień	30.0	23.7885	63.173	43.4106	07.970	45.5505	25.905	18.9827	57.172
	6.0	23.8911	65.558	43.5149	08.086	45.6331	27.316	19.3838	59.217
	13.0	23.9587	68.280	43.5981	08.123	45.7042	28.922	19.7823	61.637
	20.0	23.9670	70.712	43.6648	08.641	45.7570	30.148	20.0728	63.895
	27.0	23.9277	73.436	43.7070	09.014	45.7944	31.575	20.3391	66.510
Wrzesień	3.0	23.8275	75.863	43.7334	09.755	45.8132	32.669	20.4939	68.959
	10.0	23.6719	78.511	43.7381	10.362	45.8160	33.925	20.6054	71.711
	17.0	23.4795	80.772	43.7197	11.397	45.8001	34.751	20.6278	74.172
	24.0	23.2247	83.216	43.6785	12.203	45.7661	35.764	20.5930	76.912
	Paźdz.	1.0	22.9347	85.276	43.6178	13.305	45.7151	36.411	20.4705
Listopad	8.0	22.5768	87.427	43.5397	14.200	45.6466	37.193	20.2720	82.011
	15.0	22.2101	89.128	43.4372	15.416	45.5626	37.546	20.0133	84.260
	22.0	21.7740	90.886	43.3194	16.319	45.4612	38.068	19.6716	86.685
	29.0	21.3354	92.204	43.1836	17.413	45.3480	38.232	19.2782	88.705
	5.0	20.8268	93.480	43.0403	18.238	45.2198	38.503	18.7881	90.811
Grudzień	12.0	20.3419	94.280	42.8771	19.257	45.0827	38.383	18.2762	92.429
	19.0	19.7914	95.009	42.7111	19.915	44.9329	38.404	17.6690	94.099
	26.0	19.2783	95.289	42.5337	20.657	44.7801	38.105	17.0597	95.283
	3.0	18.7060	95.410	42.3621	21.119	44.6186	37.876	16.3518	96.424
	10.0	18.1945	95.084	42.1796	21.659	44.4580	37.323	15.6725	97.040
	17.0	17.6341	94.595	42.0089	21.848	44.2927	36.877	14.9064	97.590
	24.0	17.1548	93.725	41.8357	22.035	44.1355	36.185	14.2021	97.640
	31.0	16.6400	92.626	41.6815	21.994	43.9784	35.517	13.4198	97.540

MIEJSCA POZORNE (IRS) Biegunowej ($1^{\circ}97'$) 2015
w momencie 0^h UT1

UT1		α_{app}^{CIO}	δ_{app}	UT1		α_{app}^{CIO}	δ_{app}	UT1		α_{app}^{CIO}	δ_{app}	UT1		α_{app}^{CIO}	δ_{app}
Styczeń	1	138.453	52.392	Luty	16	119. ^s 113	56.573	Kwiecień	3	51.931	48.017	Maj	19	49. ^s 282	33.830
	2	137.253	52.606		17	117.261	56.556		4	50.990	47.704		20	50.210	33.557
	3	136.023	52.830		18	115.302	56.528		5	50.148	47.384		21	51.103	33.299
	4	134.727	53.062		19	113.269	56.477		6	49.410	47.061		22	51.938	33.050
	5	133.339	53.298		20	111.225	56.397		7	48.775	46.740		23	52.717	32.803
	6	131.849	53.531		21	109.241	56.288		8	48.225	46.428		24	53.451	32.553
	7	130.261	53.756		22	107.371	56.159		9	47.735	46.128		25	54.166	32.295
	8	128.591	53.969		23	105.630	56.019		10	47.268	45.840		26	54.887	32.029
	9	126.863	54.165		24	103.999	55.880		11	46.788	45.565		27	55.645	31.753
	10	125.105	54.344		25	102.436	55.747		12	46.265	45.298		28	56.465	31.469
	11	123.346	54.505		26	100.896	55.625		13	45.680	45.031		29	57.367	31.181
	12	121.612	54.651		27	99.340	55.510		14	45.036	44.757		30	58.368	30.893
	13	119.923	54.785		28	97.739	55.400		15	44.365	44.466	Czerwiec	31	59.471	30.609
	14	118.293	54.911	Marzec	1	96.079	55.290		16	43.717	44.154		1	60.670	30.337
	15	116.725	55.036		2	94.359	55.174		17	43.157	43.820		2	61.942	30.080
	16	115.207	55.164		3	92.588	55.047		18	42.736	43.472		3	63.253	29.843
	17	113.715	55.303		4	90.786	54.907		19	42.473	43.120		4	64.561	29.626
	18	112.205	55.454		5	88.978	54.749		20	42.351	42.775		5	65.827	29.425
	19	110.627	55.616		6	87.191	54.575		21	42.322	42.445		6	67.023	29.233
	20	108.935	55.783		7	85.454	54.384		22	42.328	42.133		7	68.145	29.042
	21	107.109	55.944		8	83.789	54.179		23	42.323	41.835		8	69.212	28.843
	22	105.165	56.088		9	82.212	53.966		24	42.276	41.546		9	70.267	28.631
	23	103.155	56.204		10	80.730	53.748		25	42.178	41.261		10	71.364	28.403
	24	101.148	56.291		11	79.335	53.532		26	42.034	40.973		11	72.552	28.162
	25	99.202	56.352		12	78.012	53.321		27	41.862	40.677		12	73.865	27.917
	26	97.351	56.398		13	76.733	53.120	Maj	28	41.685	40.371		13	75.311	27.676
	27	95.596	56.437		14	75.461	52.930		29	41.532	40.053		14	76.868	27.448
	28	93.913	56.479		15	74.159	52.750		30	41.428	39.724		15	78.496	27.241
	29	92.265	56.527		16	72.793	52.574		1	41.401	39.386		16	80.143	27.055
	30	90.612	56.583		17	71.348	52.393		2	41.468	39.042		17	81.764	26.888
	31	88.917	56.647		18	69.835	52.198		3	41.643	38.697		18	83.326	26.735
Luty	1	87.155	56.713		19	68.298	51.979		4	41.925	38.356		19	84.820	26.590
	2	85.314	56.778		20	66.804	51.734		5	42.301	38.026		20	86.253	26.444
	3	83.392	56.835		21	65.421	51.465		6	42.745	37.710		21	87.644	26.294
	4	81.402	56.880		22	64.185	51.182		7	43.221	37.411		22	89.021	26.137
	5	79.366	56.908		23	63.095	50.898		8	43.690	37.127		23	90.413	25.972
	6	77.311	56.919		24	62.116	50.622		9	44.119	36.856		24	91.848	25.800
	7	75.265	56.911		25	61.194	50.359		10	44.487	36.589		25	93.348	25.624
	8	73.256	56.885		26	60.280	50.108		11	44.795	36.319		26	94.929	25.447
	9	71.304	56.847		27	59.339	49.866		12	45.066	36.038		27	96.601	25.275
	10	69.426	56.798		28	58.350	49.627		13	45.346	35.741		28	98.362	25.113
	11	67.623	56.746		29	57.312	49.386		14	45.689	35.426		29	100.195	24.966
	12	65.892	56.694		30	56.232	49.138		15	46.147	35.097		30	102.074	24.840
	13	64.211	56.649		31	55.128	48.879		16	46.751	34.764	Lipiec	1	103.958	24.734
	14	62.549	56.614	Kwiecień	1	54.025	48.606		17	47.499	34.436		2	105.803	24.650
	15	60.865	56.590		2	52.950	48.319		18	48.360	34.123		3	107.573	24.579
	16	59.113	56.573		3	51.931	48.017		19	49.282	33.830		4	109.250	24.514

MIEJSCA POZORNE (IRS) Biegunowej ($1^{\circ}97'$) 2015
w momencie 0^h UT1

UT1	α_{app}^{CIO}	δ_{app}	UT1	α_{app}^{CIO}	δ_{app}	UT1	α_{app}^{CIO}	δ_{app}	UT1	α_{app}^{CIO}	δ_{app}
Lipiec	4	2^h49^m 49.250	$89^\circ19'$ 24.514	Sierpień	19	2^h51^m 16.298	$89^\circ19'$ 25.115	Paźdz.	4	2^h52^m 32.991	$89^\circ19'$ 35.521
	5	50.846	24.444		20	18.190	25.215		5	34.337	35.860
	6	52.403	24.362		21	20.144	25.322		6	35.574	36.205
	7	53.975	24.264		22	22.154	25.440		7	36.707	36.549
	8	55.617	24.152		23	24.203	25.573		8	37.753	36.887
	9	57.367	24.035		24	26.266	25.725		9	38.739	37.218
	10	59.236	23.921		25	28.306	25.898		10	39.692	37.539
	11	61.208	23.819		26	30.287	26.090		11	40.638	37.850
	12	63.248	23.736		27	32.173	26.295		12	41.602	38.155
	13	65.309	23.674		28	33.946	26.506		13	42.601	38.456
	14	67.348	23.633		29	35.616	26.710		14	43.641	38.758
	15	69.330	23.608		30	37.227	26.901		15	44.722	39.066
	16	71.237	23.594		31	38.843	27.073		16	45.829	39.385
	17	73.068	23.583	Wrzesień	1	40.530	27.231		17	46.940	39.718
	18	74.839	23.570		2	42.321	27.384		18	48.027	40.066
	19	76.574	23.552		3	44.218	27.543		19	49.055	40.429
	20	78.302	23.526		4	46.184	27.718		20	49.996	40.806
	21	80.051	23.493		5	48.171	27.914		21	50.827	41.189
	22	81.846	23.456		6	50.129	28.130		22	51.540	41.572
	23	83.704	23.417		7	52.021	28.363		23	52.149	41.947
	24	85.637	23.381		8	53.822	28.608		24	52.692	42.307
	25	87.646	23.354		9	55.528	28.858		25	53.226	42.647
	26	89.721	23.340		10	57.146	29.108		26	53.812	42.971
	27	91.841	23.344		11	58.693	29.354		27	54.493	43.288
	28	93.974	23.369		12	60.196	29.593		28	55.272	43.608
	29	96.079	23.416		13	61.681	29.824		29	56.114	43.944
	30	98.112	23.481		14	63.176	30.047		30	56.955	44.300
	31	100.046	23.556		15	64.703	30.266		31	57.736	44.674
Sierpień	1	101.876	23.632		16	66.275	30.484	Listopad	1	58.410	45.063
	2	103.630	23.697		17	67.899	30.705		2	58.960	45.458
	3	105.366	23.747		18	69.569	30.936		3	59.388	45.851
	4	107.146	23.780		19	71.270	31.179		4	59.712	46.238
	5	109.018	23.804		20	72.980	31.439		5	59.958	46.615
	6	111.002	23.828		21	74.668	31.716		6	60.155	46.979
	7	113.085	23.863		22	76.301	32.012		7	60.332	47.332
	8	115.233	23.915		23	77.845	32.321		8	60.515	47.674
	9	117.399	23.988		24	79.278	32.637		9	60.722	48.010
	10	119.540	24.081		25	80.597	32.953		10	60.964	48.344
	11	121.621	24.192		26	81.827	33.257		11	61.244	48.679
	12	123.622	24.314		27	83.020	33.544		12	61.550	49.022
	13	125.537	24.441		28	84.244	33.813		13	61.862	49.377
	14	127.377	24.568		29	85.555	34.071		14	62.150	49.744
	15	129.163	24.690		30	86.974	34.328		15	62.381	50.126
	16	130.921	24.805	Paźdz.	1	88.481	34.597		16	62.523	50.518
	17	132.680	24.913		2	90.023	34.885		17	62.551	50.916
	18	134.465	25.015		3	91.543	35.194		18	62.458	51.313
	19	136.298	25.115		4	92.991	35.521		19	62.252	51.701
Styczeń								Styczeń	1	29.574	65.124
									2	28.052	65.329
									3	26.567	65.523
									4	25.128	65.712

MIEJSCA POZORNE (IRS) 1H Draconis (4^m.28) 2015
 w momencie 0^h UT1

UT1	α_{app}^{CIO}	δ_{app}	UT1	α_{app}^{CIO}	δ_{app}	UT1	α_{app}^{CIO}	δ_{app}	UT1	α_{app}^{CIO}	δ_{app}
	9 ^h 38 ^m	81°15'		9 ^h 38 ^m	81°15'		9 ^h 38 ^m	81°15'		9 ^h 38 ^m	81°15'
Styczeń	1	24.613	08.026	Luty	16	27.685	19.739	Kwiecień	3	25.114	32.716
	2	24.724	08.164		17	27.708	20.043		4	24.996	32.947
	3	24.840	08.304		18	27.727	20.368		5	24.872	33.163
	4	24.961	08.454		19	27.738	20.711		6	24.746	33.362
	5	25.084	08.619		20	27.737	21.062		7	24.619	33.543
	6	25.208	08.802		21	27.723	21.409		8	24.494	33.708
	7	25.330	09.003		22	27.698	21.742		9	24.374	33.861
	8	25.448	09.221		23	27.666	22.055		10	24.258	34.008
	9	25.560	09.452		24	27.633	22.350		11	24.148	34.154
	10	25.664	09.692		25	27.602	22.632		12	24.041	34.307
	11	25.762	09.936		26	27.575	22.908		13	23.936	34.470
	12	25.852	10.179		27	27.551	23.186		14	23.829	34.646
	13	25.937	10.416		28	27.530	23.471		15	23.715	34.830
	14	26.017	10.645	Marzec	1	27.509	23.767		16	23.592	35.016
	15	26.096	10.864		2	27.488	24.074		17	23.458	35.191
	16	26.176	11.073		3	27.462	24.393		18	23.315	35.346
	17	26.259	11.277		4	27.431	24.720		19	23.169	35.476
	18	26.348	11.480		5	27.393	25.053		20	23.023	35.579
	19	26.443	11.693		6	27.348	25.386		21	22.882	35.665
	20	26.542	11.925		7	27.294	25.714		22	22.747	35.740
	21	26.640	12.181		8	27.234	26.033		23	22.619	35.815
	22	26.733	12.461		9	27.168	26.340		24	22.496	35.895
	23	26.815	12.758		10	27.099	26.631		25	22.375	35.984
	24	26.884	13.061		11	27.030	26.908		26	22.253	36.082
	25	26.942	13.359		12	26.961	27.172		27	22.129	36.187
	26	26.992	13.644		13	26.896	27.427		28	22.000	36.294
	27	27.037	13.914		14	26.835	27.678		29	21.866	36.401
	28	27.082	14.171		15	26.779	27.933		30	21.726	36.502
	29	27.129	14.422		16	26.726	28.198	Maj	1	21.581	36.592
	30	27.180	14.672		17	26.672	28.479		2	21.432	36.667
	31	27.235	14.927		18	26.613	28.775		3	21.281	36.725
Luty	1	27.292	15.194		19	26.544	29.080		4	21.130	36.763
	2	27.349	15.475		20	26.464	29.384		5	20.982	36.783
	3	27.404	15.772		21	26.371	29.675		6	20.839	36.789
	4	27.455	16.083		22	26.270	29.943		7	20.702	36.786
	5	27.500	16.405		23	26.167	30.188		8	20.572	36.781
	6	27.538	16.735		24	26.065	30.413		9	20.448	36.780
	7	27.567	17.067		25	25.967	30.625		10	20.327	36.790
	8	27.589	17.397		26	25.874	30.834		11	20.206	36.810
	9	27.604	17.720		27	25.786	31.046		12	20.080	36.840
	10	27.614	18.033		28	25.700	31.266		13	19.947	36.872
	11	27.621	18.334		29	25.613	31.495		14	19.806	36.897
	12	27.627	18.623		30	25.524	31.734		15	19.657	36.905
	13	27.635	18.903		31	25.431	31.979		16	19.504	36.890
	14	27.647	19.177	Kwiecień	1	25.332	32.228		17	19.350	36.849
	15	27.664	19.453		2	25.227	32.475		18	19.202	36.785
	16	27.685	19.739		3	25.114	32.716		19	19.060	36.707
									2	14.159	29.845
									3	14.099	29.577
									4	14.042	29.324

MIEJSCA POZORNE (IRS) 1H Draconis (4^m.28) 2015
 w momencie 0^h UT1

UT1	α_{app}^{CIO}	δ_{app}	UT1	α_{app}^{CIO}	δ_{app}	UT1	α_{app}^{CIO}	δ_{app}	UT1	α_{app}^{CIO}	δ_{app}
Lipiec	4	14.042	29.324	Sierpień	19	12.867	15.064	Paźdz.	4	16.132	60.063
	5	13.985	29.085		20	12.880	14.732		5	16.257	59.762
	6	13.924	28.856		21	12.895	14.387		6	16.386	59.478
	7	13.855	28.627		22	12.913	14.029		7	16.516	59.212
	8	13.780	28.389		23	12.938	13.662		8	16.646	58.962
	9	13.701	28.134		24	12.970	13.288		9	16.772	58.724
	10	13.621	27.857		25	13.012	12.913		10	16.896	58.492
	11	13.544	27.560		26	13.062	12.545		11	17.015	58.264
	12	13.475	27.247		27	13.120	12.190		12	17.132	58.033
	13	13.414	26.925		28	13.182	11.853		13	17.246	57.796
	14	13.362	26.603		29	13.243	11.535		14	17.361	57.552
	15	13.319	26.288		30	13.299	11.230		15	17.477	57.299
	16	13.280	25.983		31	13.347	10.927		16	17.597	57.040
	17	13.245	25.691	Wrzesień	1	13.388	10.615		17	17.724	56.776
	18	13.210	25.409		2	13.426	10.285		18	17.857	56.513
	19	13.173	25.134		3	13.464	09.936		19	17.998	56.257
	20	13.133	24.863		4	13.509	09.571		20	18.145	56.013
	21	13.090	24.588		5	13.561	09.198		21	18.298	55.786
	22	13.044	24.307		6	13.623	08.825		22	18.451	55.579
	23	12.997	24.015		7	13.693	08.461		23	18.603	55.392
	24	12.950	23.709		8	13.770	08.109		24	18.750	55.218
	25	12.905	23.387		9	13.850	07.773		25	18.888	55.049
	26	12.865	23.052		10	13.932	07.451		26	19.019	54.875
	27	12.832	22.705		11	14.014	07.142		27	19.145	54.685
	28	12.808	22.350		12	14.093	06.842		28	19.272	54.477
Sierpień	29	12.794	21.997		13	14.168	06.546		29	19.404	54.255
	30	12.788	21.651		14	14.241	06.250		30	19.544	54.029
	31	12.788	21.321		15	14.311	05.949		31	19.694	53.809
	1	12.791	21.008		16	14.380	05.639	Listopad	1	19.851	53.604
	2	12.790	20.710		17	14.450	05.320		2	20.012	53.420
	3	12.782	20.419		18	14.523	04.990		3	20.175	53.256
	4	12.767	20.123		19	14.601	04.653		4	20.337	53.111
	5	12.747	19.813		20	14.686	04.310		5	20.495	52.981
	6	12.726	19.484		21	14.780	03.966		6	20.649	52.862
	7	12.707	19.134		22	14.881	03.629		7	20.799	52.748
	8	12.694	18.770		23	14.990	03.304		8	20.944	52.634
	9	12.690	18.398		24	15.103	02.996		9	21.085	52.518
	10	12.696	18.026		25	15.218	02.708		10	21.226	52.395
	11	12.709	17.661		26	15.330	02.437		11	21.366	52.265
	12	12.729	17.307		27	15.435	02.176		12	21.510	52.129
	13	12.752	16.967	Paźdz.	28	15.532	01.912		13	21.658	51.989
	14	12.777	16.639		29	15.622	01.635		14	21.812	51.851
	15	12.800	16.322		30	15.711	01.340		15	21.973	51.719
	16	12.821	16.011		1	15.804	01.026		16	22.139	51.600
	17	12.839	15.700		2	15.904	00.703		17	22.310	51.499
	18	12.854	15.386		3	16.013	00.378		18	22.483	51.419
	19	12.867	15.064		4	16.132	00.063		19	22.653	51.360
Styczeń								Styczeń	1	28.937	53.318
									2	29.049	53.512
									3	29.155	53.702
									4	29.259	53.885

MIEJSCA POZORNE (IRS) ε Ursae Minoris (4^m.21) 2015
 w momencie 0^h UT1

UT1	α_{app}^{CIO}	δ_{app}	UT1	α_{app}^{CIO}	δ_{app}	UT1	α_{app}^{CIO}	δ_{app}	UT1	α_{app}^{CIO}	δ_{app}
Styczeń	1	16 ^h 43 ^m 31.802	82°00' 36.300	Luty	16	16 ^h 43 ^m 36.717	82°00' 25.330	Kwiecień	3	16 ^h 43 ^m 43.638	82°00' 27.027
	2	31.843	35.994		17	36.858	25.180		4	43.779	27.225
	3	31.884	35.677		18	37.008	25.031		5	43.915	27.439
	4	31.928	35.347		19	37.170	24.896		6	44.045	27.663
	5	31.977	35.007		20	37.339	24.786		7	44.166	27.895
	6	32.035	34.660		21	37.509	24.707		8	44.279	28.126
	7	32.102	34.312		22	37.677	24.656		9	44.384	28.353
	8	32.177	33.969		23	37.837	24.624		10	44.486	28.570
	9	32.261	33.635		24	37.989	24.602		11	44.585	28.776
	10	32.350	33.314		25	38.135	24.579		12	44.686	28.971
	11	32.444	33.009		26	38.276	24.550		13	44.791	29.161
	12	32.539	32.720		27	38.417	24.513		14	44.902	29.354
	13	32.634	32.445		28	38.561	24.469		15	45.019	29.558
	14	32.725	32.181	Marzec	1	38.708	24.420		16	45.139	29.784
	15	32.813	31.925		2	38.862	24.371		17	45.258	30.036
	16	32.896	31.668		3	39.021	24.327		18	45.369	30.313
	17	32.975	31.406		4	39.186	24.293		19	45.470	30.606
	18	33.053	31.131		5	39.355	24.274		20	45.559	30.906
	19	33.133	30.841		6	39.527	24.272		21	45.638	31.200
	20	33.220	30.537		7	39.699	24.289		22	45.711	31.483
	21	33.319	30.227		8	39.868	24.324		23	45.780	31.752
	22	33.430	29.923		9	40.033	24.375		24	45.851	32.010
	23	33.552	29.639		10	40.192	24.437		25	45.925	32.261
	24	33.680	29.380		11	40.345	24.506		26	46.002	32.511
	25	33.810	29.149		12	40.491	24.576		27	46.084	32.765
	26	33.936	28.940		13	40.632	24.641	Maj	28	46.168	33.028
	27	34.057	28.744		14	40.769	24.697		29	46.253	33.304
	28	34.172	28.553		15	40.907	24.743		30	46.337	33.593
	29	34.282	28.359		16	41.048	24.780		1	46.417	33.898
	30	34.392	28.157		17	41.196	24.815		2	46.492	34.216
	31	34.502	27.946		18	41.353	24.857		3	46.559	34.544
Luty	1	34.617	27.727		19	41.516	24.918		4	46.617	34.878
	2	34.739	27.503		20	41.683	25.007		5	46.666	35.211
	3	34.867	27.279		21	41.847	25.126		6	46.707	35.537
	4	35.004	27.061		22	42.003	25.269		7	46.742	35.851
	5	35.148	26.853		23	42.148	25.426		8	46.773	36.151
	6	35.297	26.660		24	42.284	25.585		9	46.805	36.438
	7	35.449	26.485		25	42.413	25.739		10	46.840	36.715
	8	35.603	26.327		26	42.539	25.883		11	46.880	36.990
	9	35.756	26.186		27	42.664	26.017		12	46.925	37.272
	10	35.905	26.060		28	42.792	26.144		13	46.973	37.570
	11	36.050	25.944		29	42.925	26.269		14	47.021	37.889
	12	36.189	25.833		30	43.062	26.397		15	47.063	38.229
	13	36.324	25.721	Kwiecień	31	43.203	26.533		16	47.096	38.586
	14	36.454	25.602		1	43.347	26.682		17	47.117	38.950
	15	36.584	25.472		2	43.493	26.846		18	47.126	39.312
	16	36.717	25.330		3	43.638	27.027		19	47.126	39.661
Lipiec									2	45.057	53.228
									3	44.942	53.457
									4	44.833	53.673

MIEJSCA POZORNE (IRS) ε Ursae Minoris (4^m.21) 2015
w momencie 0^h UT1

UT1	α_{app}^{CIO}	δ_{app}	UT1	α_{app}^{CIO}	δ_{app}	UT1	α_{app}^{CIO}	δ_{app}	UT1	α_{app}^{CIO}	δ_{app}
	16 ^h 43 ^m	82°00'		16 ^h 43 ^m	82°00'		16 ^h 43 ^m	82°00'		16 ^h 43 ^m	82°00'
Lipiec	4	44.833	53.673	Sierpień	19	38.205	61.121	Paźdz.	4	30.132	58.474
	5	44.730	53.886		20	38.041	61.200		5	29.955	58.282
	6	44.633	54.107		21	37.871	61.279		6	29.786	58.075
	7	44.538	54.343		22	37.694	61.352		7	29.625	57.861
	8	44.442	54.596		23	37.511	61.415		8	29.471	57.643
	9	44.338	54.864		24	37.322	61.462		9	29.323	57.428
	10	44.225	55.139		25	37.131	61.489		10	29.180	57.218
	11	44.102	55.412		26	36.939	61.493		11	29.040	57.015
	12	43.969	55.674		27	36.752	61.478		12	28.900	56.820
	13	43.830	55.918		28	36.572	61.448		13	28.758	56.630
	14	43.687	56.143		29	36.401	61.414		14	28.612	56.442
	15	43.545	56.348		30	36.237	61.387		15	28.463	56.252
	16	43.407	56.538		31	36.077	61.377		16	28.309	56.055
	17	43.273	56.718	Wrzesień	1	35.916	61.386		17	28.152	55.845
	18	43.144	56.895		2	35.747	61.406		18	27.994	55.619
	19	43.019	57.073		3	35.569	61.430		19	27.836	55.374
	20	42.896	57.257		4	35.383	61.445		20	27.682	55.110
	21	42.773	57.449		5	35.190	61.444		21	27.534	54.831
	22	42.647	57.648		6	34.995	61.421		22	27.396	54.542
	23	42.518	57.854		7	34.801	61.378		23	27.267	54.252
	24	42.382	58.064		8	34.612	61.317		24	27.146	53.970
	25	42.238	58.272		9	34.428	61.242		25	27.030	53.703
	26	42.086	58.474		10	34.250	61.160		26	26.914	53.455
	27	41.927	58.663		11	34.079	61.075		27	26.793	53.221
	28	41.763	58.835		12	33.913	60.993		28	26.663	52.991
	29	41.595	58.985		13	33.750	60.916		29	26.526	52.753
	30	41.429	59.113		14	33.588	60.846		30	26.384	52.497
	31	41.267	59.223		15	33.424	60.783		31	26.243	52.218
Sierpień	1	41.114	59.324		16	33.258	60.723	Listopad	1	26.106	51.918
	2	40.968	59.428		17	33.087	60.664		2	25.978	51.603
	3	40.827	59.544		18	32.910	60.601		3	25.858	51.278
	4	40.686	59.677		19	32.728	60.528		4	25.748	50.950
	5	40.541	59.826		20	32.542	60.442		5	25.646	50.625
	6	40.387	59.984		21	32.354	60.337		6	25.550	50.307
	7	40.224	60.142		22	32.165	60.212		7	25.458	49.997
	8	40.051	60.289		23	31.981	60.067		8	25.368	49.696
	9	39.873	60.418		24	31.803	59.906		9	25.278	49.402
	10	39.692	60.528		25	31.633	59.736		10	25.186	49.114
	11	39.512	60.617		26	31.473	59.568		11	25.090	48.826
	12	39.335	60.689		27	31.319	59.412		12	24.991	48.534
	13	39.163	60.749		28	31.168	59.274		13	24.890	48.232
	14	38.996	60.803		29	31.012	59.154		14	24.786	47.916
	15	38.835	60.856		30	30.848	59.042		15	24.685	47.582
	16	38.678	60.912	Paźdz.	1	30.675	58.926		16	24.587	47.232
	17	38.522	60.975		2	30.496	58.797		17	24.497	46.867
	18	38.365	61.045		3	30.313	58.646		18	24.416	46.493
	19	38.205	61.121		4	30.132	58.474		19	24.345	46.118
								Styczeń	1	23.780	30.825
									2	23.847	30.501
									3	23.913	30.190
									4	23.977	29.889

MIEJSCA POZORNE (IRS) δ Ursae Minoris (4^m35) 2015
w momencie 0^h UT1

UT1	α_{app}^{CIO}	δ_{app}	UT1	α_{app}^{CIO}	δ_{app}	UT1	α_{app}^{CIO}	δ_{app}	UT1	α_{app}^{CIO}	δ_{app}
Styczeń	1	14.885	35.401	Luty	16	23.975	23.084	Kwiecień	3	40.168	22.194
	2	14.918	35.093		17	24.266	22.888		4	40.532	22.333
	3	14.949	34.775		18	24.582	22.689		5	40.887	22.489
	4	14.983	34.443		19	24.925	22.499		6	41.228	22.658
	5	15.029	34.098		20	25.290	22.331		7	41.551	22.837
	6	15.093	33.744		21	25.666	22.193		8	41.856	23.020
	7	15.176	33.385		22	26.040	22.083		9	42.144	23.200
	8	15.281	33.027		23	26.401	21.995		10	42.419	23.373
	9	15.406	32.676		24	26.745	21.919		11	42.687	23.535
	10	15.548	32.335		25	27.074	21.845		12	42.956	23.686
	11	15.702	32.008		26	27.393	21.767		13	43.234	23.830
	12	15.863	31.696		27	27.709	21.680		14	43.527	23.973
	13	16.026	31.398		28	28.028	21.585		15	43.835	24.127
	14	16.184	31.112	Marzec	1	28.357	21.484		16	44.155	24.299
	15	16.335	30.835		2	28.698	21.381		17	44.477	24.498
	16	16.475	30.559		3	29.055	21.280		18	44.788	24.724
	17	16.604	30.280		4	29.426	21.187		19	45.078	24.971
	18	16.727	29.988		5	29.810	21.106		20	45.342	25.227
	19	16.853	29.680		6	30.203	21.041		21	45.581	25.483
	20	16.992	29.356		7	30.600	20.995		22	45.803	25.730
	21	17.156	29.022		8	30.995	20.966		23	46.016	25.964
	22	17.350	28.690		9	31.384	20.955		24	46.228	26.186
	23	17.573	28.371		10	31.761	20.958		25	46.447	26.400
	24	17.816	28.075		11	32.125	20.969		26	46.674	26.612
	25	18.068	27.806		12	32.473	20.984		27	46.910	26.826
	26	18.316	27.560		13	32.808	20.996		28	47.155	27.048
	27	18.554	27.329		14	33.135	21.001		29	47.405	27.282
	28	18.780	27.104		15	33.459	20.995		30	47.655	27.529
	29	18.995	26.879	Maj	16	33.790	20.979		1	47.900	27.793
	30	19.206	26.646		17	34.135	20.957		2	48.135	28.072
	31	19.418	26.403		18	34.502	20.940		3	48.354	28.364
	1	19.637	26.151		19	34.889	20.938		4	48.554	28.664
	2	19.871	25.892		20	35.288	20.962		5	48.732	28.967
	3	20.121	25.629		21	35.687	21.016		6	48.890	29.267
	4	20.391	25.369		22	36.074	21.098		7	49.031	29.558
	5	20.679	25.117		23	36.439	21.196		8	49.162	29.836
	6	20.982	24.876		24	36.783	21.301		9	49.291	30.100
	7	21.297	24.651		25	37.109	21.403		10	49.426	30.353
	8	21.618	24.443	Kwiecień	26	37.425	21.496		11	49.571	30.603
	9	21.941	24.253		27	37.739	21.580		12	49.731	30.857
	10	22.258	24.078		28	38.057	21.655		13	49.900	31.125
	11	22.568	23.914		29	38.385	21.727		14	50.073	31.414
	12	22.865	23.758		30	38.724	21.800		15	50.238	31.726
	13	23.151	23.602		31	39.074	21.879		16	50.384	32.058
	14	23.427	23.441		1	39.434	21.968		17	50.504	32.402
	15	23.698	23.269	Lipiec	2	39.800	22.072		18	50.596	32.747
	16	23.975	23.084		3	40.168	22.194		19	50.665	33.084
									4	48.165	47.401

MIEJSCA POZORNE (IRS) δ Ursae Minoris (4^m35) 2015
w momencie 0^h UT1

UT1	α_{app}^{CIO}	δ_{app}	UT1	α_{app}^{CIO}	δ_{app}	UT1	α_{app}^{CIO}	δ_{app}	UT1	α_{app}^{CIO}	δ_{app}
	17^h26^m	$86^\circ34'$		17^h26^m	$86^\circ34'$		17^h25^m	$86^\circ34'$		17^h25^m	$86^\circ34'$
Lipiec	4	48.165	47.401	Sierpień	19	34.399	56.970	Paźdz.	4	75.311	57.379
	5	47.971	47.643		20	34.038	57.107		5	74.867	57.259
	6	47.791	47.890		21	33.662	57.245		6	74.437	57.122
	7	47.621	48.150		22	33.270	57.381		7	74.022	56.975
	8	47.448	48.429		23	32.861	57.509		8	73.625	56.822
	9	47.264	48.724		24	32.436	57.623		9	73.243	56.668
	10	47.059	49.030		25	32.001	57.719		10	72.873	56.519
	11	46.829	49.338		26	31.562	57.793		11	72.511	56.375
	12	46.576	49.639		27	31.128	57.846		12	72.150	56.239
	13	46.304	49.926		28	30.707	57.882		13	71.787	56.109
	14	46.021	50.194		29	30.306	57.910		14	71.416	55.982
	15	45.736	50.443		30	29.925	57.944		15	71.035	55.856
	16	45.454	50.676		31	29.555	57.992		16	70.643	55.723
	17	45.181	50.897	Wrzesień	1	29.185	58.058		17	70.241	55.580
	18	44.919	51.113		2	28.802	58.140		18	69.831	55.422
	19	44.667	51.329		3	28.398	58.229		19	69.420	55.245
	20	44.421	51.550		4	27.972	58.312		20	69.014	55.049
	21	44.176	51.779		5	27.529	58.382		21	68.619	54.834
	22	43.927	52.016		6	27.077	58.432		22	68.243	54.607
	23	43.670	52.262		7	26.622	58.462		23	67.889	54.375
	24	43.399	52.513		8	26.173	58.472		24	67.556	54.147
	25	43.110	52.766		9	25.735	58.467		25	67.237	53.933
	26	42.802	53.016		10	25.311	58.451		26	66.922	53.738
	27	42.474	53.257		11	24.901	58.432		27	66.597	53.559
	28	42.129	53.482		12	24.502	58.413		28	66.254	53.387
	29	41.773	53.688		13	24.112	58.398		29	65.892	53.210
	30	41.415	53.871		14	23.725	58.389		30	65.515	53.017
	31	41.065	54.035		15	23.337	58.388		31	65.135	52.802
Sierpień	1	40.731	54.187		16	22.943	58.392	Listopad	1	64.761	52.565
	2	40.416	54.339		17	22.537	58.398		2	64.403	52.309
	3	40.115	54.501		18	22.119	58.403		3	64.064	52.041
	4	39.818	54.680		19	21.687	58.401		4	63.746	51.766
	5	39.514	54.876		20	21.242	58.386		5	63.447	51.491
	6	39.192	55.085		21	20.788	58.355		6	63.164	51.220
	7	38.847	55.296		22	20.330	58.304		7	62.892	50.956
	8	38.481	55.501		23	19.876	58.232		8	62.626	50.701
	9	38.097	55.692		24	19.435	58.141		9	62.361	50.453
	10	37.702	55.863		25	19.011	58.039		10	62.092	50.210
	11	37.304	56.015		26	18.609	57.935		11	61.816	49.970
	12	36.911	56.148		27	18.225	57.841		12	61.531	49.727
	13	36.527	56.268		28	17.849	57.764		13	61.238	49.476
	14	36.155	56.379		29	17.467	57.706		14	60.938	49.211
	15	35.795	56.488		30	17.069	57.659		15	60.639	48.929
	16	35.444	56.599	Paźdz.	1	16.650	57.612		16	60.345	48.629
	17	35.097	56.715		2	16.211	57.555		17	60.065	48.312
	18	34.751	56.839		3	15.762	57.478		18	59.804	47.982
	19	34.399	56.970		4	15.311	57.379		19	59.566	47.647
								Styczeń	1	55.246	33.193
									2	55.335	32.859
									3	55.426	32.537
									4	55.514	32.224

MIEJSCA POZORNE (IRS) 36H Cephei (4^m.70) 2015
w momencie 0^h UT1

UT1	α_{app}^{CIO}	δ_{app}	UT1	α_{app}^{CIO}	δ_{app}	UT1	α_{app}^{CIO}	δ_{app}	UT1	α_{app}^{CIO}	δ_{app}
Styczeń	1	22 ^h 53 ^m 28.003	84°25' 57.944	Luty	16	22 ^h 53 ^m 20.639	84°25' 47.710	Kwiecień	3	22 ^h 53 ^m 21.518	84°25' 33.196
	2	27.802	57.860		17	20.534	47.418		4	21.643	32.897
	3	27.593	57.776		18	20.430	47.105		5	21.780	32.610
	4	27.376	57.687		19	20.335	46.769		6	21.924	32.337
	5	27.151	57.585		20	20.256	46.416		7	22.073	32.081
	6	26.921	57.468		21	20.198	46.058		8	22.222	31.842
	7	26.690	57.331		22	20.159	45.706		9	22.368	31.618
	8	26.462	57.176		23	20.133	45.369		10	22.508	31.405
	9	26.239	57.004		24	20.114	45.049		11	22.641	31.196
	10	26.025	56.819		25	20.096	44.743		12	22.766	30.985
	11	25.821	56.624		26	20.073	44.446		13	22.886	30.765
	12	25.628	56.426		27	20.044	44.150		14	23.008	30.533
	13	25.445	56.229		28	20.010	43.850		15	23.137	30.288
	14	25.270	56.037	Marzec	1	19.972	43.542		16	23.281	30.036
	15	25.099	55.853		2	19.934	43.222		17	23.443	29.786
	16	24.930	55.679		3	19.899	42.889		18	23.621	29.549
	17	24.756	55.514		4	19.871	42.544		19	23.812	29.334
	18	24.573	55.353		5	19.852	42.190		20	24.007	29.145
	19	24.380	55.188		6	19.844	41.830		21	24.199	28.978
	20	24.177	55.009		7	19.849	41.470		22	24.384	28.825
	21	23.969	54.806		8	19.866	41.114		23	24.559	28.678
	22	23.765	54.577		9	19.894	40.766		24	24.726	28.529
	23	23.573	54.324		10	19.931	40.431		25	24.888	28.375
	24	23.398	54.056		11	19.972	40.109		26	25.049	28.212
	25	23.242	53.786		12	20.014	39.802		27	25.213	28.042
	26	23.101	53.521		13	20.053	39.506		28	25.382	27.865
	27	22.969	53.268		14	20.086	39.218		29	25.560	27.686
	28	22.841	53.028		15	20.111	38.930		30	25.747	27.509
	29	22.711	52.796		16	20.130	38.634	Maj	1	25.945	27.339
	30	22.575	52.567		17	20.147	38.325		2	26.151	27.180
	31	22.433	52.336		18	20.168	37.998		3	26.366	27.037
	1	22.285	52.097		19	20.202	37.656		4	26.584	26.912
	2	22.134	51.845		20	20.254	37.306		5	26.802	26.808
	3	21.982	51.578		21	20.327	36.961		6	27.016	26.720
	4	21.833	51.294		22	20.416	36.632		7	27.222	26.647
	5	21.690	50.995		23	20.515	36.324		8	27.419	26.581
	6	21.558	50.684		24	20.617	36.037		9	27.606	26.515
	7	21.437	50.366		25	20.715	35.765		10	27.786	26.442
	8	21.327	50.044		26	20.806	35.501		11	27.965	26.359
	9	21.230	49.724		27	20.890	35.237		12	28.148	26.265
	10	21.143	49.410		28	20.969	34.969		13	28.341	26.164
	11	21.062	49.106		29	21.046	34.692		14	28.548	26.063
	12	20.986	48.814		30	21.125	34.405		15	28.770	25.972
	13	20.908	48.532		31	21.209	34.109		16	29.005	25.902
	14	20.827	48.258	Kwiecień	1	21.301	33.806		17	29.245	25.856
	15	20.737	47.987		2	21.404	33.501		18	29.483	25.835
	16	20.639	47.710		3	21.518	33.196		19	29.714	25.834
								Lipiec	1	38.527	29.925
									2	38.693	30.173
									3	38.847	30.417
									4	38.991	30.649

MIEJSCA POZORNE (IRS) 36H Cephei (4^m.70) 2015
w momencie 0^h UT1

UT1	α_{app}^{CIO}	δ_{app}	UT1	α_{app}^{CIO}	δ_{app}	UT1	α_{app}^{CIO}	δ_{app}	UT1	α_{app}^{CIO}	δ_{app}
	22 ^h 53 ^m	84°25'		22 ^h 53 ^m	84°25'		22 ^h 53 ^m	84°26'		22 ^h 53 ^m	84°26'
Lipiec	4	38.991	30.649	Sierpień	19	44.098	44.609	Paźdz.	4	42.668	01.609
	5	39.134	30.867		20	44.156	44.954		5	42.549	01.981
	6	39.281	31.072		21	44.215	45.311		6	42.420	02.339
	7	39.438	31.272		22	44.270	45.683		7	42.285	02.680
	8	39.607	31.476		23	44.319	46.068		8	42.148	03.006
	9	39.786	31.692		24	44.357	46.464		9	42.012	03.318
	10	39.971	31.929		25	44.381	46.867		10	41.879	03.619
	11	40.155	32.187		26	44.391	47.271		11	41.752	03.915
	12	40.333	32.465		27	44.387	47.667		12	41.629	04.210
	13	40.499	32.758		28	44.373	48.048		13	41.511	04.508
	14	40.651	33.057		29	44.355	48.410		14	41.395	04.813
	15	40.791	33.356		30	44.343	48.756		15	41.277	05.127
	16	40.919	33.649		31	44.341	49.093		16	41.155	05.449
	17	41.041	33.933	Wrzesień	1	44.352	49.433		17	41.025	05.779
	18	41.160	34.206		2	44.373	49.787		18	40.884	06.113
	19	41.281	34.470		3	44.396	50.160		19	40.730	06.446
	20	41.405	34.730		4	44.414	50.551		20	40.563	06.772
	21	41.534	34.989		5	44.421	50.955		21	40.386	07.084
	22	41.669	35.253		6	44.414	51.366		22	40.201	07.378
	23	41.809	35.525		7	44.393	51.774		23	40.015	07.652
	24	41.951	35.811		8	44.360	52.175		24	39.834	07.907
	25	42.093	36.112		9	44.317	52.563		25	39.664	08.152
	26	42.232	36.430		10	44.269	52.938		26	39.507	08.396
	27	42.362	36.764		11	44.218	53.299		27	39.359	08.650
	28	42.481	37.110		12	44.170	53.650		28	39.215	08.922
	29	42.586	37.463		13	44.125	53.994		29	39.067	09.210
	30	42.675	37.815		14	44.085	54.336		30	38.906	09.508
	31	42.752	38.157		15	44.049	54.679		31	38.730	09.806
Sierpień	1	42.822	38.482		16	44.017	55.029	Listopad	1	38.539	10.095
	2	42.894	38.791		17	43.986	55.389		2	38.337	10.368
	3	42.973	39.089		18	43.952	55.759		3	38.129	10.621
	4	43.065	39.385		19	43.912	56.141		4	37.918	10.856
	5	43.168	39.690		20	43.863	56.532		5	37.708	11.072
	6	43.278	40.013		21	43.802	56.929		6	37.503	11.276
	7	43.388	40.355		22	43.728	57.325		7	37.304	11.470
	8	43.491	40.717		23	43.639	57.715		8	37.110	11.660
	9	43.583	41.091		24	43.539	58.092		9	36.922	11.850
	10	43.662	41.472		25	43.434	58.450		10	36.738	12.044
	11	43.727	41.853		26	43.328	58.790		11	36.555	12.244
	12	43.780	42.226		27	43.231	59.114		12	36.368	12.452
	13	43.824	42.590		28	43.147	59.434		13	36.176	12.667
	14	43.864	42.941		29	43.074	59.761		14	35.974	12.884
	15	43.904	43.282		30	43.008	60.104		15	35.761	13.100
	16	43.945	43.615	Paźdz.	1	42.941	60.466		16	35.535	13.307
	17	43.991	43.944		2	42.864	60.843		17	35.299	13.500
	18	44.042	44.274		3	42.774	61.227		18	35.057	13.674
	19	44.098	44.609		4	42.668	61.609		19	34.813	13.826
								Styczeń	1	24.825	15.106
									2	24.610	14.968
									3	24.404	14.830
									4	24.205	14.697

Przybliżony azymut Biegunowej 2015

φ	20°	25°	30°	35°	40°	45°	50°	55°	60°	φ
<i>s</i>										<i>s</i>
2 ^h 51 ^m	00°00'	00°00'	00°00'	00°00'	00°00'	00°00'	00°00'	00°00'	00°00'	2 ^h 51 ^m
3 11	00 04	00 04	00 04	00 04	00 05	00 05	00 06	00 06	00 07	2 31
3 31	00 07	00 08	00 08	00 09	00 09	00 10	00 11	00 12	00 14	2 11
3 51	00 11	00 12	00 12	00 13	00 14	00 15	00 16	00 18	00 21	1 51
4 11	00 15	00 15	00 16	00 17	00 18	00 20	00 22	00 24	00 28	1 31
4 31	00 18	00 19	00 20	00 21	00 22	00 24	00 27	00 30	00 35	1 11
4 51	00 21	00 22	00 23	00 25	00 26	00 29	00 32	00 36	00 41	0 51
5 11	00 25	00 26	00 27	00 28	00 30	00 33	00 36	00 41	00 47	0 31
5 31	00 28	00 29	00 30	00 32	00 34	00 37	00 41	00 46	00 53	0 11
5 51	00 30	00 31	00 33	00 35	00 37	00 41	00 45	00 50	00 58	23 51
6 11	00 33	00 34	00 36	00 38	00 40	00 44	00 48	00 54	01 02	23 31
6 31	00 35	00 36	00 38	00 40	00 43	00 47	00 52	00 58	01 07	23 11
6 51	00 37	00 39	00 40	00 43	00 46	00 50	00 55	01 01	01 10	22 51
7 11	00 39	00 40	00 42	00 45	00 48	00 52	00 57	01 04	01 14	22 31
7 31	00 40	00 42	00 44	00 46	00 49	00 54	00 59	01 06	01 16	22 11
7 51	00 41	00 43	00 45	00 48	00 51	00 55	01 01	01 08	01 18	21 51
8 11	00 42	00 44	00 46	00 48	00 52	00 56	01 02	01 09	01 19	21 31
8 31	00 43	00 44	00 46	00 49	00 52	00 57	01 02	01 10	01 20	21 11
8 51	00 43	00 44	00 46	00 49	00 52	00 57	01 03	01 10	01 20	20 51
9 11	00 43	00 44	00 46	00 49	00 52	00 57	01 02	01 10	01 20	20 31
9 31	00 42	00 44	00 46	00 48	00 52	00 56	01 01	01 09	01 19	20 11
9 51	00 41	00 43	00 45	00 47	00 51	00 55	01 00	01 07	01 17	19 51
10 11	00 40	00 42	00 44	00 46	00 49	00 53	00 58	01 05	01 15	19 31
10 31	00 39	00 40	00 42	00 44	00 47	00 51	00 56	01 03	01 12	19 11
10 51	00 37	00 38	00 40	00 42	00 45	00 49	00 54	01 00	01 09	18 51
11 11	00 35	00 36	00 38	00 40	00 43	00 46	00 51	00 57	01 05	18 31
11 31	00 33	00 34	00 35	00 37	00 40	00 43	00 47	00 53	01 01	18 11
11 51	00 30	00 31	00 33	00 35	00 37	00 40	00 44	00 49	00 56	17 51
12 11	00 27	00 28	00 30	00 31	00 33	00 36	00 40	00 44	00 51	17 31
12 31	00 24	00 25	00 26	00 28	00 30	00 32	00 35	00 40	00 45	17 11
12 51	00 21	00 22	00 23	00 24	00 26	00 28	00 31	00 35	00 40	16 51
13 11	00 18	00 19	00 20	00 21	00 22	00 24	00 26	00 29	00 33	16 31
13 31	00 15	00 15	00 16	00 17	00 18	00 19	00 21	00 24	00 27	16 11
13 51	00 11	00 11	00 12	00 13	00 13	00 15	00 16	00 18	00 20	15 51
14 11	00 07	00 08	00 08	00 08	00 09	00 10	00 11	00 12	00 14	15 31
14 31	00 04	00 04	00 04	00 04	00 05	00 05	00 05	00 06	00 07	15 11
14 51	00 00	00 00	00 00	00 00	00 00	00 00	00 00	00 00	00 00	14 51

Przybliżona odległość zenitalna Biegunowej 2015

$$\delta = 89^\circ 19'$$

t	Δz	t									
$0^h 00^m$	-42'	$24^h 00^m$	$3^h 57^m$	-21'	$20^h 03^m$	$6^h 00^m$	+ 0'	$18^h 00^m$	$8^h 04^m$	+21'	$15^h 56^m$
0 27	-41	23 33	4 03	-20	19 57	6 05	+ 1	17 55	8 10	+22	15 50
0 57	-40	23 03	4 10	-19	19 50	6 11	+ 2	17 49	8 17	+23	15 43
1 16	-39	22 44	4 16	-18	19 44	6 17	+ 3	17 43	8 24	+24	15 36
1 32	-38	22 28	4 22	-17	19 38	6 22	+ 4	17 38	8 31	+25	15 29
1 45	-37	22 15	4 28	-16	19 32	6 28	+ 5	17 32	8 38	+26	15 22
1 57	-36	22 03	4 34	-15	19 26	6 34	+ 6	17 26	8 46	+27	15 14
2 08	-35	21 52	4 40	-14	19 20	6 39	+ 7	17 21	8 53	+28	15 07
2 18	-34	21 42	4 46	-13	19 14	6 45	+ 8	17 15	9 01	+29	14 59
2 27	-33	21 33	4 52	-12	19 08	6 51	+ 9	17 09	9 09	+30	14 51
2 36	-32	21 24	4 58	-11	19 02	6 56	+10	17 04	9 18	+31	14 42
2 45	-31	21 15	5 03	-10	18 57	7 02	+11	16 58	9 27	+32	14 33
2 53	-30	21 07	5 09	- 9	18 51	7 08	+12	16 52	9 36	+33	14 24
3 01	-29	20 59	5 15	- 8	18 45	7 14	+13	16 46	9 46	+34	14 14
3 09	-28	20 51	5 21	- 7	18 39	7 20	+14	16 40	9 57	+35	14 03
3 16	-27	20 44	5 26	- 6	18 34	7 26	+15	16 34	10 08	+36	13 52
3 23	-26	20 37	5 32	- 5	18 28	7 32	+16	16 28	10 21	+37	13 39
3 30	-25	20 30	5 37	- 4	18 23	7 38	+17	16 22	10 35	+38	13 25
3 37	-24	20 23	5 43	- 3	18 17	7 44	+18	16 16	10 53	+39	13 07
3 44	-23	20 16	5 49	- 2	18 11	7 51	+19	16 09	11 17	+40	12 43
3 51	-22	20 09	5 54	- 1	18 06	7 57	+20	16 03	12 00		12 00
3 57		20 03	6 00		18 00	8 04		15 56			

$$\delta = 89^\circ 20'$$

t	Δz	t									
$0^h 00^m$	-41'	$24^h 00^m$	$4^h 00^m$	-20'	$20^h 00^m$	$6^h 06^m$	+ 1'	$17^h 54^m$	$8^h 14^m$	+22'	$15^h 46^m$
0 27	-40	23 33	4 07	-19	19 53	6 11	+ 2	17 49	8 21	+23	15 39
0 58	-39	23 02	4 13	-18	19 47	6 17	+ 3	17 43	8 28	+24	15 32
1 17	-38	22 43	4 20	-17	19 40	6 23	+ 4	17 37	8 35	+25	15 25
1 33	-37	22 27	4 26	-16	19 34	6 29	+ 5	17 31	8 43	+26	15 17
1 46	-37	22 14	4 32	-16	19 28	6 34	+ 6	17 26	8 51	+27	15 09
1 58	-36	22 02	4 38	-15	19 22	6 40	+ 7	17 20	8 59	+28	15 01
2 09	-35	21 51	4 44	-14	19 16	6 46	+ 8	17 14	9 07	+29	14 53
2 19	-34	21 41	4 50	-13	19 10	6 52	+ 9	17 08	9 16	+30	14 44
2 29	-33	21 31	4 56	-12	19 04	6 58	+10	17 02	9 25	+31	14 35
2 38	-32	21 22	5 02	-11	18 58	7 04	+11	16 56	9 34	+32	14 26
2 47	-31	21 13	5 08	- 9	18 52	7 10	+12	16 50	9 44	+33	14 16
2 55	-30	21 05	5 14	- 8	18 46	7 16	+13	16 44	9 55	+34	14 05
3 03	-29	20 57	5 20	- 7	18 40	7 22	+14	16 38	10 07	+35	13 53
3 11	-27	20 49	5 25	- 6	18 35	7 28	+15	16 32	10 20	+36	13 40
3 19	-26	20 41	5 31	- 5	18 29	7 35	+16	16 25	10 34	+37	13 26
3 26	-25	20 34	5 37	- 4	18 23	7 41	+17	16 19	10 52	+38	13 08
3 33	-25	20 27	5 43	- 3	18 17	7 47	+18	16 13	11 16	+39	12 44
3 40	-24	20 20	5 48	- 2	18 12	7 54	+19	16 06	12 00		12 00
3 47	-23	20 13	5 54	- 1	18 06	8 00	+20	16 00			
3 54	-22	20 06	6 00	+ 0	18 00	8 07	+21	15 53			
4 00	-21	20 00	6 06		17 54	8 14		15 46			

$$z' = (90^\circ - \varphi) + \Delta z$$

Szerokość geograficzna z wysokości Biegunowej 2015

$$\varphi = h + V_I + V_{II}$$

Tablica poprawek V_I

t	p	$39'40''$	$40'00''$	$40'20''$	$40'40''$	p	t	p	$39'40''$	$40'00''$	$40'20''$	$40'40''$	p	t
0 ^h 0	-39'40"	-40'00"	-40'20"	-40'40"	24 ^h 0	6 ^h 0	+00'14"	+00'14"	+00'14"	+00'14"	+00'14"	18 ^h 0		
1	-39 39	-39 59	-40 19	-40 39	23.9	1	+01 16	+01 17	+01 18	+01 18	+01 18	17.9		
2	-39 37	-39 57	-40 17	-40 37	8	2	+02 18	+02 20	+02 21	+02 22	+02 22	8		
3	-39 33	-39 53	-40 12	-40 32	7	3	+03 20	+03 22	+03 24	+03 26	+03 26	7		
4	-39 27	-39 47	-40 07	-40 26	6	4	+04 22	+04 25	+04 27	+04 29	+04 29	6		
5	-39 19	-39 39	-39 59	-40 19	5	5	+05 24	+05 27	+05 30	+05 33	+05 33	5		
6	-39 10	-39 30	-39 50	-40 10	4	6	+06 26	+06 29	+06 32	+06 36	+06 36	4		
7	-39 00	-39 19	-39 39	-39 59	3	7	+07 27	+07 31	+07 35	+07 39	+07 39	3		
8	-38 47	-39 07	-39 27	-39 46	2	8	+08 28	+08 32	+08 37	+08 41	+08 41	2		
0.9	-38 33	-38 53	-39 12	-39 32	23.1	6.9	+09 29	+09 33	+09 38	+09 43	+09 43	17.1		
1.0	-38 18	-38 37	-38 57	-39 16	23.0	7.0	+10 29	+10 34	+10 40	+10 45	+10 45	17.0		
1	-38 01	-38 20	-38 39	-38 58	22.9	1	+11 29	+11 34	+11 40	+11 46	+11 46	16.9		
2	-37 42	-38 01	-38 20	-38 39	8	2	+12 28	+12 34	+12 41	+12 47	+12 47	8		
3	-37 22	-37 41	-38 00	-38 18	7	3	+13 27	+13 34	+13 40	+13 47	+13 47	7		
4	-37 00	-37 19	-37 37	-37 56	6	4	+14 25	+14 32	+14 40	+14 47	+14 47	6		
5	-36 37	-36 55	-37 14	-37 32	5	5	+15 23	+15 30	+15 38	+15 46	+15 46	5		
6	-36 12	-36 30	-36 48	-37 07	4	6	+16 19	+16 28	+16 36	+16 44	+16 44	4		
7	-35 46	-36 04	-36 22	-36 40	3	7	+17 16	+17 25	+17 33	+17 42	+17 42	3		
8	-35 18	-35 36	-35 53	-36 11	2	8	+18 11	+18 21	+18 30	+18 39	+18 39	2		
1.9	-34 48	-35 06	-35 24	-35 41	22.1	7.9	+19 06	+19 16	+19 26	+19 35	+19 35	16.1		
2.0	-34 18	-34 35	-34 52	-35 09	22.0	8.0	+20 00	+20 10	+20 21	+20 31	+20 31	16.0		
1	-33 46	-34 03	-34 20	-34 37	21.9	1	+20 54	+21 04	+21 15	+21 25	+21 25	15.9		
2	-33 12	-33 29	-33 45	-34 02	8	2	+21 46	+21 57	+22 08	+22 19	+22 19	8		
3	-32 37	-32 53	-33 10	-33 26	7	3	+22 37	+22 49	+23 00	+23 12	+23 12	7		
4	-32 01	-32 17	-32 33	-32 49	6	4	+23 28	+23 40	+23 52	+24 04	+24 04	6		
5	-31 23	-31 39	-31 55	-32 10	5	5	+24 17	+24 30	+24 42	+24 54	+24 54	5		
6	-30 44	-31 00	-31 15	-31 31	4	6	+25 06	+25 19	+25 32	+25 44	+25 44	4		
7	-30 04	-30 19	-30 34	-30 49	3	7	+25 54	+26 07	+26 20	+26 33	+26 33	3		
8	-29 23	-29 37	-29 52	-30 07	2	8	+26 40	+26 54	+27 07	+27 21	+27 21	2		
2.9	-28 40	-28 54	-29 09	-29 23	21.1	8.9	+27 26	+27 39	+27 53	+28 07	+28 07	15.1		
3.0	-27 56	-28 10	-28 24	-28 38	21.0	9.0	+28 10	+28 24	+28 38	+28 53	+28 53	15.0		
1	-27 11	-27 25	-27 38	-27 52	20.9	1	+28 53	+29 08	+29 22	+29 37	+29 37	14.9		
2	-26 25	-26 38	-26 51	-27 05	8	2	+29 35	+29 50	+30 05	+30 20	+30 20	8		
3	-25 38	-25 51	-26 03	-26 16	7	3	+30 16	+30 31	+30 46	+31 01	+31 01	7		
4	-24 49	-25 02	-25 14	-25 27	6	4	+30 55	+31 11	+31 26	+31 42	+31 42	6		
5	-24 00	-24 12	-24 24	-24 36	5	5	+31 33	+31 49	+32 05	+32 21	+32 21	5		
6	-23 10	-23 22	-23 33	-23 45	4	6	+32 10	+32 26	+32 43	+32 59	+32 59	4		
7	-22 19	-22 30	-22 41	-22 52	3	7	+32 46	+33 02	+33 19	+33 35	+33 35	3		
8	-21 27	-21 37	-21 48	-21 59	2	8	+33 20	+33 37	+33 54	+34 11	+34 11	2		
3.9	-20 34	-20 44	-20 54	-21 04	20.1	9.9	+33 53	+34 10	+34 27	+34 44	+34 44	14.1		
4.0	-19 40	-19 50	-19 59	-20 09	20.0	10.0	+34 25	+34 42	+34 59	+35 17	+35 17	14.0		
1	-18 45	-18 54	-19 04	-19 13	19.9	1	+34 55	+35 12	+35 30	+35 48	+35 48	13.9		
2	-17 50	-17 58	-18 07	-18 16	8	2	+35 23	+35 41	+35 59	+36 17	+36 17	8		
3	-16 53	-17 02	-17 10	-17 19	7	3	+35 51	+36 09	+36 27	+36 45	+36 45	7		
4	-15 57	-16 05	-16 12	-16 20	6	4	+36 17	+36 35	+36 53	+37 11	+37 11	6		
5	-14 59	-15 07	-15 14	-15 21	5	5	+36 41	+36 59	+37 18	+37 36	+37 36	5		
6	-14 01	-14 08	-14 15	-14 22	4	6	+37 04	+37 22	+37 41	+38 00	+38 00	4		
7	-13 02	-13 09	-13 15	-13 22	3	7	+37 25	+37 44	+38 03	+38 22	+38 22	3		
8	-12 03	-12 09	-12 15	-12 21	2	8	+37 45	+38 04	+38 23	+38 42	+38 42	2		
4.9	-11 03	-11 09	-11 14	-11 20	19.1	10.9	+38 03	+38 22	+38 41	+39 01	+39 01	13.1		
5.0	-10 03	-10 08	-10 13	-10 18	19.0	11.0	+38 20	+38 39	+38 58	+39 18	+39 18	13.0		
1	-09 03	-09 07	-09 12	-09 16	18.9	1	+38 35	+38 54	+39 14	+39 33	+39 33	12.9		
2	-08 02	-08 06	-08 10	-08 13	8	2	+38 49	+39 08	+39 28	+39 47	+39 47	8		
3	-07 00	-07 04	-07 07	-07 11	7	3	+39 01	+39 20	+39 40	+40 00	+40 00	7		
4	-05 59	-06 02	-06 05	-06 08	6	4	+39 11	+39 31	+39 51	+40 10	+40 10	6		
5	-04 57	-05 00	-05 02	-05 04	5	5	+39 20	+39 40	+40 00	+40 19	+40 19	5		
6	-03 55	-03 57	-03 59	-04 01	4	6	+39 27	+39 47	+40 07	+40 27	+40 27	4		
7	-02 53	-02 54	-02 56	-02 57	3	7	+39 33	+39 53	+40 13	+40 33	+40 33	3		
8	-01 51	-01 52	-01 52	-01 53	2	8	+39 37	+39 57	+40 17	+40 37	+40 37	2		
5.9	-00 49	-00 49	-00 49	-00 49	18.1	11.9	+39 39	+39 59	+40 19	+40 39	+40 39	12.1		
6.0	+00 14	+00 14	+00 14	+00 14	18.0	12.0	+39 40	+40 00	+40 20	+40 40	+40 40	12.0		

t	h	20°	30°	40°
0 ^h	0''	0''	0''	0''
1	-1	-1	-1	0
2	-3	-2	-2	-1
3	-6	-4	-4	-2
4	-10	-6	-6	-2
5	-12	-8	-8	-3
6	-13	-8	-8	-3
7	-12	-8	-8	-3
8	-10	-6	-6	-2
9	-6	-4	-4	-2
10	-3	-2	-2	-1
11	-1	-1	0	0
12	0	0	0	0
13	-1	-1	0	0
14	-3	-2	-1	0
15	-6	-4	-2	0
16	-10	-6	-2	0
17	-12	-8	-3	0
18	-13	-8	-3	0
19	-12	-8	-3	0
20	-10	-6	-2	0
21	-6	-4	-2	0
22	-3	-2	-1	0
23	-1	-1	0	0
24	0	0	0	0

t	h	40°	50°	60°
0 ^h	0''	0''	0''	0''
1	0	0	0	+1
2	-1	+1	+1	+4
3	-2	+2	+2	+7
4	-2	+3	+3	+11
5	-3	+4	+4	+14
6	-3	+4	+4	+15
7	-3	+4	+4	+14
8	-2	+3	+3	+11
9	-2	+2	+2	+7
10	-1	+1	+1	+4
11	0	0	0	+1
12	0	0	0	0
13	0	0	0	+1
14	-1	+1	+1	+4
15	-2	+2	+2	+7
16	-2	+3	+3	+11
17	-3	+4	+4	+14
18	-3	+4	+4	+15
19	-3	+4	+4	+14
20	-2	+3	+3	+11
21	-2	+2	+2	+7
22	-1	+1	+1	+4
23	0	0	0	+1
24	0	0	0	0

Współczynniki do wzorów interpolacyjnych

Stirling				Bessel				Newton				
n	$\frac{n^2}{2}$	$\frac{n(n^2-1)}{6}$	$\frac{n^2(n^2-1)}{24}$	n	$\frac{n(n-1)}{2}$	$\frac{n(n-1)(n-\frac{1}{2})}{6}$	$\frac{n(n^2-1)(n-2)}{24}$	n	$\binom{n}{2}$	$\binom{n}{3}$	$\binom{n}{4}$	$\binom{n}{5}$
0.00	0.00000	0.0000	0.0000	0.00	0.00000	0.0000	0.0000	0.00	0.00000	0.0000	0.0000	0.0000
0.01	+0.00005	-0.0017	0.0000	0.01	-0.00495	+0.0008	+0.0008	0.01	-0.00495	+0.0033	-0.0025	+0.0020
0.02	+0.00020	-0.0033	0.0000	0.02	-0.00980	+0.0016	+0.0016	0.02	-0.00980	+0.0065	-0.0048	+0.0038
0.03	+0.00045	-0.0050	0.0000	0.03	-0.01455	+0.0023	+0.0025	0.03	-0.01455	+0.0096	-0.0071	+0.0056
0.04	+0.00080	-0.0067	-0.0001	0.04	-0.01920	+0.0029	+0.0033	0.04	-0.01920	+0.0125	-0.0093	+0.0074
0.05	+0.00125	-0.0083	-0.0001	0.05	-0.02375	+0.0036	+0.0041	0.05	-0.02375	+0.0154	-0.0114	+0.0090
0.06	+0.00180	-0.0100	-0.0001	0.06	-0.02820	+0.0041	+0.0048	0.06	-0.02820	+0.0182	-0.0134	+0.0106
0.07	+0.00245	-0.0116	-0.0002	0.07	-0.03255	+0.0047	+0.0056	0.07	-0.03255	+0.0209	-0.0153	+0.0121
0.08	+0.00320	-0.0132	-0.0003	0.08	-0.03680	+0.0052	+0.0064	0.08	-0.03680	+0.0236	-0.0172	+0.0135
0.09	+0.00405	-0.0149	-0.0003	0.09	-0.04095	+0.0056	+0.0071	0.09	-0.04095	+0.0261	-0.0190	+0.0148
0.10	+0.00500	-0.0165	-0.0004	0.10	-0.04500	+0.0060	+0.0078	0.10	-0.04500	+0.0285	-0.0207	+0.0161
0.11	+0.00605	-0.0181	-0.0005	0.11	-0.04895	+0.0064	+0.0086	0.11	-0.04895	+0.0308	-0.0223	+0.0173
0.12	+0.00720	-0.0197	-0.0006	0.12	-0.05280	+0.0067	+0.0093	0.12	-0.05280	+0.0331	-0.0238	+0.0185
0.13	+0.00845	-0.0213	-0.0007	0.13	-0.05655	+0.0070	+0.0100	0.13	-0.05655	+0.0352	-0.0253	+0.0196
0.14	+0.00980	-0.0229	-0.0008	0.14	-0.06020	+0.0072	+0.0106	0.14	-0.06020	+0.0373	-0.0267	+0.0206
0.15	+0.01125	-0.0244	-0.0009	0.15	-0.06375	+0.0074	+0.0113	0.15	-0.06375	+0.0393	-0.0280	+0.0216
0.16	+0.01280	-0.0260	-0.0010	0.16	-0.06720	+0.0076	+0.0120	0.16	-0.06720	+0.0412	-0.0293	+0.0225
0.17	+0.01445	-0.0275	-0.0012	0.17	-0.07055	+0.0078	+0.0126	0.17	-0.07055	+0.0430	-0.0304	+0.0233
0.18	+0.01620	-0.0290	-0.0013	0.18	-0.07380	+0.0079	+0.0132	0.18	-0.07380	+0.0448	-0.0316	+0.0241
0.19	+0.01805	-0.0305	-0.0014	0.19	-0.07695	+0.0080	+0.0138	0.19	-0.07695	+0.0464	-0.0326	+0.0249
0.20	+0.02000	-0.0320	-0.0016	0.20	-0.08000	+0.0080	+0.0144	0.20	-0.08000	+0.0480	-0.0336	+0.0255
0.21	+0.02205	-0.0335	-0.0018	0.21	-0.08295	+0.0080	+0.0150	0.21	-0.08295	+0.0495	-0.0345	+0.0262
0.22	+0.02420	-0.0349	-0.0019	0.22	-0.08580	+0.0080	+0.0155	0.22	-0.08580	+0.0509	-0.0354	+0.0267
0.23	+0.02645	-0.0363	-0.0021	0.23	-0.08855	+0.0080	+0.0161	0.23	-0.08855	+0.0522	-0.0362	+0.0273
0.24	+0.02880	-0.0377	-0.0023	0.24	-0.09120	+0.0079	+0.0166	0.24	-0.09120	+0.0535	-0.0369	+0.0278
0.25	+0.03125	-0.0391	-0.0024	0.25	-0.09375	+0.0078	+0.0171	0.25	-0.09375	+0.0547	-0.0376	+0.0282
0.26	+0.03380	-0.0404	-0.0026	0.26	-0.09620	+0.0077	+0.0176	0.26	-0.09620	+0.0558	-0.0382	+0.0286
0.27	+0.03645	-0.0417	-0.0028	0.27	-0.09855	+0.0076	+0.0180	0.27	-0.09855	+0.0568	-0.0388	+0.0289
0.28	+0.03920	-0.0430	-0.0030	0.28	-0.10080	+0.0074	+0.0185	0.28	-0.10080	+0.0578	-0.0393	+0.0292
0.29	+0.04205	-0.0443	-0.0032	0.29	-0.10295	+0.0072	+0.0189	0.29	-0.10295	+0.0587	-0.0398	+0.0295
0.30	+0.04500	-0.0455	-0.0034	0.30	-0.10500	+0.0070	+0.0193	0.30	-0.10500	+0.0595	-0.0402	+0.0297
0.31	+0.04805	-0.0467	-0.0036	0.31	-0.10695	+0.0068	+0.0197	0.31	-0.10695	+0.0602	-0.0405	+0.0299
0.32	+0.05120	-0.0479	-0.0038	0.32	-0.10880	+0.0065	+0.0201	0.32	-0.10880	+0.0609	-0.0408	+0.0300
0.33	+0.05445	-0.0490	-0.0040	0.33	-0.11055	+0.0063	+0.0205	0.33	-0.11055	+0.0615	-0.0411	+0.0302
0.34	+0.05780	-0.0501	-0.0043	0.34	-0.11220	+0.0060	+0.0208	0.34	-0.11220	+0.0621	-0.0413	+0.0302
0.35	+0.06125	-0.0512	-0.0045	0.35	-0.11375	+0.0057	+0.0211	0.35	-0.11375	+0.0626	-0.0414	+0.0303
0.36	+0.06480	-0.0522	-0.0047	0.36	-0.11520	+0.0054	+0.0214	0.36	-0.11520	+0.0630	-0.0416	+0.0303
0.37	+0.06845	-0.0532	-0.0049	0.37	-0.11655	+0.0051	+0.0217	0.37	-0.11655	+0.0633	-0.0416	+0.0302
0.38	+0.07220	-0.0542	-0.0051	0.38	-0.11780	+0.0047	+0.0219	0.38	-0.11780	+0.0636	-0.0417	+0.0302
0.39	+0.07605	-0.0551	-0.0054	0.39	-0.11895	+0.0044	+0.0222	0.39	-0.11895	+0.0638	-0.0417	+0.0301
0.40	+0.08000	-0.0560	-0.0056	0.40	-0.12000	+0.0040	+0.0224	0.40	-0.12000	+0.0640	-0.0416	+0.0300
0.41	+0.08405	-0.0568	-0.0058	0.41	-0.12095	+0.0036	+0.0226	0.41	-0.12095	+0.0641	-0.0415	+0.0298
0.42	+0.08820	-0.0577	-0.0061	0.42	-0.12180	+0.0032	+0.0228	0.42	-0.12180	+0.0641	-0.0414	+0.0296
0.43	+0.09245	-0.0584	-0.0063	0.43	-0.12255	+0.0029	+0.0229	0.43	-0.12255	+0.0641	-0.0412	+0.0294
0.44	+0.09680	-0.0591	-0.0065	0.44	-0.12320	+0.0025	+0.0231	0.44	-0.12320	+0.0641	-0.0410	+0.0292
0.45	+0.10125	-0.0598	-0.0067	0.45	-0.12375	+0.0021	+0.0232	0.45	-0.12375	+0.0639	-0.0408	+0.0289
0.46	+0.10580	-0.0604	-0.0070	0.46	-0.12420	+0.0017	+0.0233	0.46	-0.12420	+0.0638	-0.0405	+0.0287
0.47	+0.11045	-0.0610	-0.0072	0.47	-0.12455	+0.0012	+0.0233	0.47	-0.12455	+0.0635	-0.0402	+0.0284
0.48	+0.11520	-0.0616	-0.0074	0.48	-0.12480	+0.0008	+0.0234	0.48	-0.12480	+0.0632	-0.0398	+0.0280
0.49	+0.12005	-0.0621	-0.0076	0.49	-0.12495	+0.0004	+0.0234	0.49	-0.12495	+0.0629	-0.0395	+0.0277
0.50	+0.12500	-0.0625	-0.0078	0.50	-0.12500	0.0000	+0.0234	0.50	-0.12500	+0.0625	-0.0391	+0.0273
$u = u_0 + n\Delta_0^I + \frac{n^2}{2}\Delta_0^{II} + \frac{n(n^2-1)}{6}\Delta_0^{III} + \frac{n^2(n^2-1)}{24}\Delta_0^{IV} + \dots$				$u = u_0 + n\Delta_{1/2}^I + \frac{n(n-1)}{2}\Delta_{1/2}^{II} + \frac{n(n-1)(n-\frac{1}{2})}{6}\Delta_{1/2}^{III} + \frac{n(n-1)(n-2)}{24}\Delta_{1/2}^{IV} + \dots$				$u = u_0 + n\Delta_{1/2}^I + \binom{n}{2}\Delta_1^{II} + \binom{n}{3}\Delta_{3/2}^{III} + \binom{n}{4}\Delta_2^{IV} + \binom{n}{5}\Delta_{5/2}^V + \dots$ $\binom{n}{2} = \frac{n(n-1)}{2}, \quad \binom{n}{3} = \frac{n(n-1)(n-2)}{6}$ $\binom{n}{4} = \frac{n(n-1)(n-2)(n-3)}{24}, \dots$				
$\Delta_0^I = \frac{1}{2}(\Delta_{-1/2}^I + \Delta_{1/2}^I),$ $\Delta_0^{III} = \frac{1}{2}(\Delta_{-1/2}^{III} + \Delta_{1/2}^{III}), \dots$				$\Delta_{1/2}^{II} = \frac{1}{2}(\Delta_0^{II} + \Delta_1^{II}),$ $\Delta_{1/2}^{IV} = \frac{1}{2}(\Delta_0^{IV} + \Delta_1^{IV}), \dots$				$u_{-2} \Delta_{-3/2}^I \Delta_{-1}^{II}$ $u_0 \Delta_{-1/2}^I \Delta_0^{II} \Delta_{-1/2}^{III} \Delta_0^{IV}$ $u_1 \Delta_{1/2}^I \Delta_1^{II} \Delta_{1/2}^{III} \Delta_1^{IV} \Delta_{1/2}^V$ $u_2 \Delta_{3/2}^I \Delta_2^{II} \Delta_{3/2}^{III} \Delta_2^{IV}$ $u_3 \Delta_{5/2}^I$				

Refrakcja normalna R_0 (Radau)
 i ekstynkcja średnia E_0

z'	R_0	E_0	z'	R_0	E_0	z'	R_0	E_0
0°	00''00	0.25	50°00'	1'11".51	0.86	0.39	70°00'	2'43".78
1	01.05	0.25	20	1 12.37	0.86		2 46.75	2.97
2	02.10	0.25	40	1 13.23	0.87		2 49.81	3.06
3	03.15	0.25	51 00	1 14.10	0.88	0.40	2 52.97	3.16
4	04.20	0.25	20	1 14.98	0.89		2 56.23	3.26
	1.05		40	1 15.87	0.92		2 59.61	3.38
5	05.25	0.25	52 00	1 16.79	0.92	0.41	3 03.10	3.49
6	06.31	0.25	20	1 17.71	0.94		3 06.71	3.61
7	07.38	0.25	40	1 18.65	0.95		3 10.46	3.75
8	08.45	0.25	53 00	1 19.60	0.98	0.41	3 14.34	3.88
9	09.52	0.25	20	1 20.58	0.97		3 18.37	4.03
	1.08		40	1 21.55	1.01		3 22.55	4.18
10	10.60	0.25	54 00	1 22.56	1.01	0.42	3 26.89	4.34
11	11.68	0.25	20	1 23.57	1.03		3 31.40	4.51
12	12.77	0.26	40	1 24.60	1.04		3 36.10	4.70
13	13.87	0.26	55 00	1 25.64	1.07	0.43	3 41.00	4.90
14	14.98	0.26	20	1 26.71	1.09		3 46.09	5.09
	1.12		40	1 27.80	1.09		3 51.42	5.33
15	16.10	0.26	56 00	1 28.89	1.12	0.45	3 56.97	5.55
16	17.23	0.26	20	1 30.01	1.14		4 02.78	5.81
17	18.37	0.26	40	1 31.15	1.16		4 08.86	6.08
18	19.53	0.26	57 00	1 32.31	1.18	0.46	4 15.23	6.37
19	20.69	0.26	20	1 33.49	1.20		4 21.9	6.7
	1.18		40	1 34.69	1.20		4 28.9	7.0
20	21.87	0.27	58 00	1 35.92	1.23	0.47	4 36.3	7.4
21	23.07	0.27	20	1 37.16	1.24		4 44.0	7.7
22	24.28	0.27	40	1 38.43	1.27		4 52.2	8.2
23	25.51	0.27	59 00	1 39.73	1.30	0.48	5 00.8	8.6
24	26.75	0.27	20	1 41.05	1.32		5 09.9	9.1
	1.27		40	1 42.39	1.34		5 19.6	9.7
25	28.02	0.28	60 00	1 43.76	1.37	0.50	5 29.8	10.2
26	29.31	0.28	20	1 45.16	1.40		5 40.6	10.8
27	30.61	0.28	40	1 46.59	1.43		5 52.2	11.6
28	31.95	0.28	61 00	1 48.04	1.45	0.51	6 04.5	12.3
29	33.31	0.29	20	1 49.53	1.52		6 17.7	13.2
	1.38		40	1 51.05	1.55		6 31.7	14.0
30	34.69	0.29	62 00	1 52.60	1.59	0.53	6 46.8	15.1
31	36.10	0.29	20	1 54.19	1.62		7 03.0	16.2
32	37.54	0.29	40	1 55.81	1.66		7 20.4	17.4
33	39.01	0.30	63 00	1 57.47	1.68	0.55	7 39.3	18.9
34	40.52	0.30	20	1 59.15	1.74		7 59.7	20.4
	1.54		40	2 00.89	1.78		8 21.9	22.2
35	42.06	0.30	64 00	2 02.67	1.82	0.57	8 46.1	24.2
36	43.64	0.31	20	2 04.49	1.86		9 12.5	26.4
37	45.26	0.31	40	2 06.35	1.90		9 41.6	29.1
38	46.92	0.32	65 00	2 08.25	1.95	0.59	10 13.5	31.9
39	48.64	0.32	20	2 10.20	2.00		10 48.9	35.4
	1.76		40	2 12.20	2.06		11 28.1	39.2
40	50.40	0.33	66 00	2 14.26	2.10	0.62	12 11.8	43.7
41	52.21	0.33	20	2 16.36	2.17		13 00.9	49.1
42	54.07	0.34	40	2 18.53	2.21		13 56.2	55.3
43	56.00	0.34	67 00	2 20.74	2.29	0.64	14 58.8	62.6
44	57.98	0.35	20	2 23.03	2.33		16 10.2	71.4
	2.06		40	2 25.36	2.42		17 32.1	81.9
45	60.04	0.35	68 00	2 27.78	2.47	0.66	19 06.6	94.5
46	62.17	0.36	20	2 30.25	2.55		20 56.4	109.8
47	64.37	0.37	40	2 32.80	2.63		23 05.1	128.7
48	66.67	0.37	69 00	2 35.43	2.70	0.69	25 37.0	151.9
49	69.04	0.38	20	2 38.13	2.79		28 37.6	180.6
	2.47		40	2 40.92	2.86		32 14.2	216.6
50	71.51	0.39	70 00	2 43.78	2.86	0.72	36 36.0	261.8
							41 54.7	318.7
							48 25.5	390.8
							56 27.5	482.0
							91 00	

Współczynniki do obliczania refrakcji całkowitej

t [°C]	A	H	B	H	B	z'	α	R_1	β
- 30°	+0.1291	649 ^{mm}	-0.1461	720 ^{mm}	-0.0526	45°	1.000	0'	1.000
- 29	1243	650	1447	721	0513	46	1.001	2	1.001
- 28	1195	651	1434	722	0500	47	1.001	4	1.002
- 27	1148	652	1421	723	0487	48	1.001	6	1.004
- 26	1101	653	1408	724	0474	49	1.001	8	1.008
- 25	+0.1054	654	-0.1395	725	-0.0461	50	1.002	10	1.012
- 24	1008	655	1382	726	0447	51	1.002	12	1.017
- 23	0962	656	1368	727	0434	52	1.002	14	1.023
- 22	0917	657	1355	728	0421	53	1.002	16	1.029
- 21	0872	658	1342	729	0408	54	1.002	18	1.035
- 20	+0.0827	659	-0.1329	730	-0.0395	55	1.002	20	1.041
- 19	0782	660	1316	731	0382	56	1.003	22	1.048
- 18	0738	661	1303	732	0368	57	1.003	24	1.055
- 17	0694	662	1289	733	0355	58	1.003	26	1.062
- 16	0651	663	1276	734	0342	59	1.003	28	1.069
- 15	+0.0608	664	-0.1263	735	-0.0329	60	1.004	30	1.076
- 14	0565	665	1250	736	0316	61	1.004	32	1.083
- 13	0523	666	1237	737	0303	62	1.004	34	1.091
- 12	0481	667	1224	738	0289	63	1.004	36	1.098
- 11	0439	668	1211	739	0276	64	1.005	38	1.106
- 10	+0.0398	669	-0.1197	740	-0.0263	65	1.005		
- 9	0357	670	1184	741	0250	66	1.006		
- 8	0316	671	1171	742	0237	67	1.007	z' odl. zenit. pozorna	
- 7	0275	672	1158	743	0224	68	1.007	t temp. zewnętrzna	
- 6	0235	673	1145	744	0211	69	1.008	(w stopniach Celsjusza)	
- 5	+0.0195	674	-0.1132	745	-0.0197	70	1.009		
- 4	0155	675	1118	746	0184	71	1.010	H ciśnienie atm.	
- 3	0116	676	1105	747	0171	72	1.011	(w milimetrach Hg)	
- 2	0077	677	1092	748	0158	73	1.013		
- 1	+0.0038	678	1079	749	0145	74	1.015		
0	0.0000	679	-0.1066	750	-0.0132	75	1.017		
+ 1	-0.0038	680	1053	751	0118	76	1.020		
+ 2	0076	681	1039	752	0105	77	1.023		
+ 3	0114	682	1026	753	0092	78	1.026		
+ 4	0151	683	1013	754	0079	79	1.031	A wsp. temp. t	
+ 5	-0.0188	684	-0.1000	755	-0.0066	80	1.037	B wsp. ciśn. H	
+ 6	0225	685	0987	756	0053	81	1.045	α, β, γ współczynniki	
+ 7	0261	686	0974	757	0039	82	1.055		
+ 8	0298	687	0961	758	0026	83	1.069		
+ 9	0334	688	0947	759	-0.0013	84	1.087		
+ 10	-0.0369	689	-0.0934	760	0.0000	85	1.114	Dla $z' < 80^\circ$	
+ 11	0405	690	0921	761	+0.0013	86	1.152		
+ 12	0440	691	0908	762	0026	87	1.210	$\gamma = 1.000$	
+ 13	0475	692	0895	763	0039	88	1.299		
+ 14	0510	693	0882	764	0053	89	1.444		
+ 15	-0.0545	694	-0.0868	765	+0.0066	90	1.677	Dla $z' < 45^\circ$	
+ 16	0579	695	0855	766	0079			$\alpha = 1.000$	
+ 17	0613	696	0842	767	0092			$\beta = 1.000$	
+ 18	0647	697	0829	768	0105			$\gamma = 1.000$	
+ 19	0680	698	0816	769	0118				
+ 20	-0.0714	699	-0.0803	770	+0.0132				
+ 21	0747	700	0789	771	0145				
+ 22	0780	701	0776	772	0158				
+ 23	0812	702	0763	773	0171				
+ 24	0845	703	0750	774	0184				
+ 25	-0.0877	704	-0.0737	775	+0.0197				
+ 26	0909	705	0724	776	0211				
+ 27	0941	706	0711	777	0224				
+ 28	0972	707	0697	778	0237				
+ 29	1004	708	0684	779	0250				
+ 30	-0.1035	709	-0.0671	780	+0.0263				
+ 31	1066	710	0658	781	0276				
+ 32	1097	711	0645	782	0289				
+ 33	1127	712	0632	783	0303				
+ 34	1158	713	0618	784	0316				
+ 35	-0.1188	714	-0.0605	785	+0.0329				
+ 36	1218	715	0592	786	0342				
+ 37	1248	716	0579	787	0355				
+ 38	1277	717	0566	788	0368				
+ 39	1307	718	0553	789	0382				
+ 40	-0.1336	719	-0.0539	790	+0.0395				

z'	γ
80°	$1 - 0.00002 \cdot t$
81	$1 - 0.00004 \cdot t$
82	$1 - 0.00006 \cdot t$
83	$1 - 0.00008 \cdot t$
84	$1 - 0.00011 \cdot t$
85	$1 - 0.00016 \cdot t$
86	$1 - 0.00025 \cdot t$
87	$1 - 0.00038 \cdot t$
88	$1 - 0.00062 \cdot t$
89	$1 - 0.00108 \cdot t$
90	$1 - 0.00187 \cdot t$

Zestawienie gwiazdozbiorów

Nazwa łacińska (z końcówką dopełniacza)	Skrót nazwy łac.	Nazwa polska	Granice położenia na sferze niebieskiej			Liczba gwiazd jaśn. od 6
			α	δ		
Andromed-a, -ae	And	Andromeda	22 ^h 56 ^m 2 ^h 36 ^m	+21°4	+52°9	100
Antli-a, -ae	Ant	Pompa	9 25 11 03	-24.3	-40.1	20
Ap-us, -odis	Aps	Rajski Ptak	13 45 18 17	-67.5	-82.9	20
Aquar-ius, -ii	Aqr	Wodnik	20 36 23 54	+3.1	-25.3	90
Aquil-a, -ae	Aql	Orzeł	18 38 20 36	-11.9	+18.6	70
Ar-a, -ae	Ara	Ołtarz	16 31 18 06	-45.5	-67.6	30
Arie-s, -tis	Ari	Baran	1 44 3 27	+10.2	+30.9	50
Aurig-a, -ae	Aur	Woźnica	4 35 7 27	+27.9	+56.1	90
Boot-es, -is	Boo	Wolarz	13 33 15 47	+7.6	+55.2	90
Cael-um, -i	Cae	Rylec	4 18 5 03	-27.1	-48.8	10
Camelopardal-is, -is	Cam	Żyrafa	3 11 14 25	+52.8	+85.1	50
Can-cer, -cri	Cnc	Rak	7 53 9 19	+6.8	+33.3	60
Can-es, -um Venatic-i, -orum	CVn	Psy Gończe	12 04 14 05	+28.0	+52.7	30
Can-is, -is Maior, -is	CMa	Wielki Pies	6 09 7 26	-11.0	-33.2	80
Can-is, -is Minor, -is	CMi	Mały Pies	7 04 8 09	-0.1	+13.2	20
Capricorn-us, -i	Cap	Koziorożec	20 04 21 57	-8.7	-27.8	50
Carin-a, -ae	Car	Kil	6 02 11 18	-50.9	-75.2	110
Cassiopei-a, -ae	Cas	Kasjopea	22 56 3 36	+46.4	+77.5	90
Centaur-us, -i	Cen	Centaur	11 03 14 59	-29.9	-64.5	150
Cephe-us, -i	Cep	Cefeusz	20 01 8 30	+53.1	+88.5	60
Cet-us, -i	Cet	Wieloryb	23 55 3 21	-25.2	+10.2	100
Chamaele-on, -onis	Cha	Kameleon	7 32 13 48	-75.2	-82.8	20
Circin-us, -i	Cir	Cyrkiel	13 35 15 26	-54.3	-70.4	20
Columb-a, -ae	Col	Gołąb	5 03 6 28	-27.2	-43.0	40
Com-a, -ae Berenices	Com	Warkocz Bereniki	11 57 13 33	+13.8	+33.7	50
Coron-a, -ae Australis	CrA	Korona Południowa	17 55 19 15	-37.0	-45.6	25
Coron-a, -ae Borealis	CrB	Korona Północna	15 14 16 22	+25.8	+39.8	20
Corv-us, -i	Crv	Kruk	11 54 12 54	-11.3	-24.9	15
Crater, -is	Crt	Puchar	10 48 11 54	-6.5	-24.9	20
Cru-x, -cis	Cru	Krzyż	13 53 12 55	-55.5	-64.5	30
Cygn-us, -i	Cyg	Łabędź	19 07 22 01	+27.7	+61.2	150
Delphin-us, -i	Del	Delfin	20 13 21 06	+2.2	+20.8	30
Dorad-o, -us	Dor	Złota Ryba	3 52 6 36	-48.8	-70.1	20
Draco, -nis	Dra	Smok	9 18 21 00	+47.7	+86.0	80
Equule-us, -i	Equ	Źrebię	20 54 21 23	+2.2	+12.9	10
Eridan-us, -i	Eri	Erydan	1 22 5 09	+0.1	-58.1	100
Forn-ax, -acis	For	Piec	1 44 3 48	-24.0	-39.8	35
Gemin-i, -orum	Gem	Bliźnięta	5 57 8 06	+10.0	+35.4	70
Gru-s, -is	Gru	Żuraw	21 25 23 25	-36.6	-56.6	30
Hercul-es, -is	Her	Herkules	15 47 18 56	+3.9	+51.3	140
Horolog-ium, -ii	Hor	Zegar	2 12 4 18	-39.8	-67.2	20
Hydr-a, -ae	Hya	Hydra	8 08 14 58	+6.8	-35.3	130
Hydr-us, -i	Hyi	Wąż Morski	0 02 4 33	-58.1	-82.1	20
Ind-us, -i	Ind	Indianin	20 25 23 25	-45.4	-74.7	20
Lacert-a, -ae	Lac	Jaszczurka	21 55 22 56	+34.9	+56.8	35
Leo, -nis	Leo	Lew	9 18 11 56	-6.4	+33.3	70
Leo, -nis Minor, -is	LMi	Mały Lew	9 19 11 04	+23.1	+41.7	20
Lep-us, -oris	Lep	Zajac	4 54 6 09	-11.0	-27.1	40

Zestawienie gwiazdozbiorów

Nazwa łacińska (z końcówką dopełniacza)	Skrót nazwy łac.	Nazwa polska	Granice położenia na sferze niebieskiej			Liczba gwiazd jaśn. od 6
			α	δ		
Libr-a, -ae	Lib	Waga	14 ^h 18 ^m 15 ^h 59 ^m	-0°3	-29°9	50
Lup-us, -i	Lup	Wilk	14 13 16 05	-29.8	-55.3	70
Lyn-x, -cis	Lyn	Ryś	6 13 9 40	+33.4	+62.0	60
Lyr-a, -ae	Lyr	Lutnia	18 12 19 26	+25.6	+47.7	45
Mens-a, -ae	Men	Góra Stołowa	3 20 7 37	-69.9	-85.0	15
Microscop-ium, -ii	Mic	Mikroskop	20 25 21 25	-27.7	-45.4	20
Monocer-os, -otis	Mon	Jednoróżec	5 54 8 08	-11.0	+11.9	85
Musc-a, -ae	Mus	Mucha	11 17 13 46	-64.5	-75.2	30
Norm-a, -ae	Nor	Węgielnica	15 25 16 31	-42.2	-60.2	20
Octan-s, -tis	Oct	Oktant	0 00 24 00	-74.7	-90.0	35
Ophiuch-us, -i	Oph	Wężownik	15 58 18 42	+14.3	-30.1	100
Orion, -is	Ori	Orion	4 41 6 23	-11.0	+23.0	120
Pavo, -nis	Pav	Paw	17 37 21 30	-56.8	-75.0	45
Pegas-us, -i	Peg	Pegaz	21 06 0 13	+2.2	+36.3	100
Perse-us, -i	Per	Perseusz	1 26 4 46	+30.9	+58.9	90
Phoeni-x, -cis	Phe	Feniks	23 24 2 24	-39.8	-58.2	40
Pictor, -is	Pic	Malarz, właściw. Sztaluga	4 32 6 51	-43.1	-64.1	30
Pisc-es, -ium	Psc	Ryby	22 49 2 04	-6.6	+33.4	75
Piscis Austrin-us, -i	PsA	Ryba Południowa	21 25 23 04	-25.2	-36.7	25
Pupp-is, -is	Pup	Rufa	6 02 8 26	-11.0	-50.8	140
Pyx-is, -idis	Pyx	Kompas	8 26 9 26	-17.3	-37.0	25
Reticul-um, -i	Ret	Sieć, właściw. Siatka Rombowa	3 14 4 35	-53.0	-67.3	15
Sagitt-a, -ae	Sge	Strzała	18 56 20 18	+16.0	+21.4	15
Sagittar-ius, -ii	Sgr	Strzelec	17 41 20 25	-11.8	-45.4	115
Scorp-ius, -ii	Sco	Skorpion	15 44 17 55	-8.1	-45.6	100
Sculptor, -is	Scl	Rzeźbiarz, właściw. Warsztat Rzeźbiarski	23 04 1 44	-25.2	-39.8	30
Scut-um, -i (Sobiescianum)	Sct	Tarcza (Sobieskiego)	18 18 18 56	-4.0	-16.0	20
Serpen-s, -tis	Ser	Wąż	15 08 18 56	+25.7	-16.0	60
Sextan-s, -tis	Sex	Sekstans	9 39 10 49	+6.6	-11.3	25
Taur-us, -i	Tau	Byk	3 20 5 58	+0.1	+30.9	125
Telescop-ium, -ii	Tel	Teleskop	18 06 20 26	-45.4	-56.9	30
Triangul-um, -i	Tri	Trójkąt	1 29 2 48	+25.4	+37.0	15
Triangul-um, -i Austral-e, -is	TrA	Trójkąt Południowy	14 50 17 09	-60.3	-70.3	20
Tucan-a, -ae	Tuc	Tukan	22 05 1 22	-56.7	-75.7	25
Urs-a, -ae Maior, -is	UMa	Wielka Niedźwiedzica	8 05 14 27	+28.8	+73.3	125
Urs-a, -ae Minor, -is	UMi	Mała Niedźwiedzica	0 00 24 00	+65.6	+90.0	20
Vel-a, -orum	Vel	Żagle	8 02 11 24	-37.0	-57.0	110
Virg-o, -inis	Vir	Panna	11 35 15 08	+14.6	-22.2	95
Volan-s, -tis	Vol	Ryba Latająca	6 35 9 02	-64.2	-75.0	20
Vulpecul-a, -ae	Vul	Lis	18 56 21 28	+19.5	+29.4	45

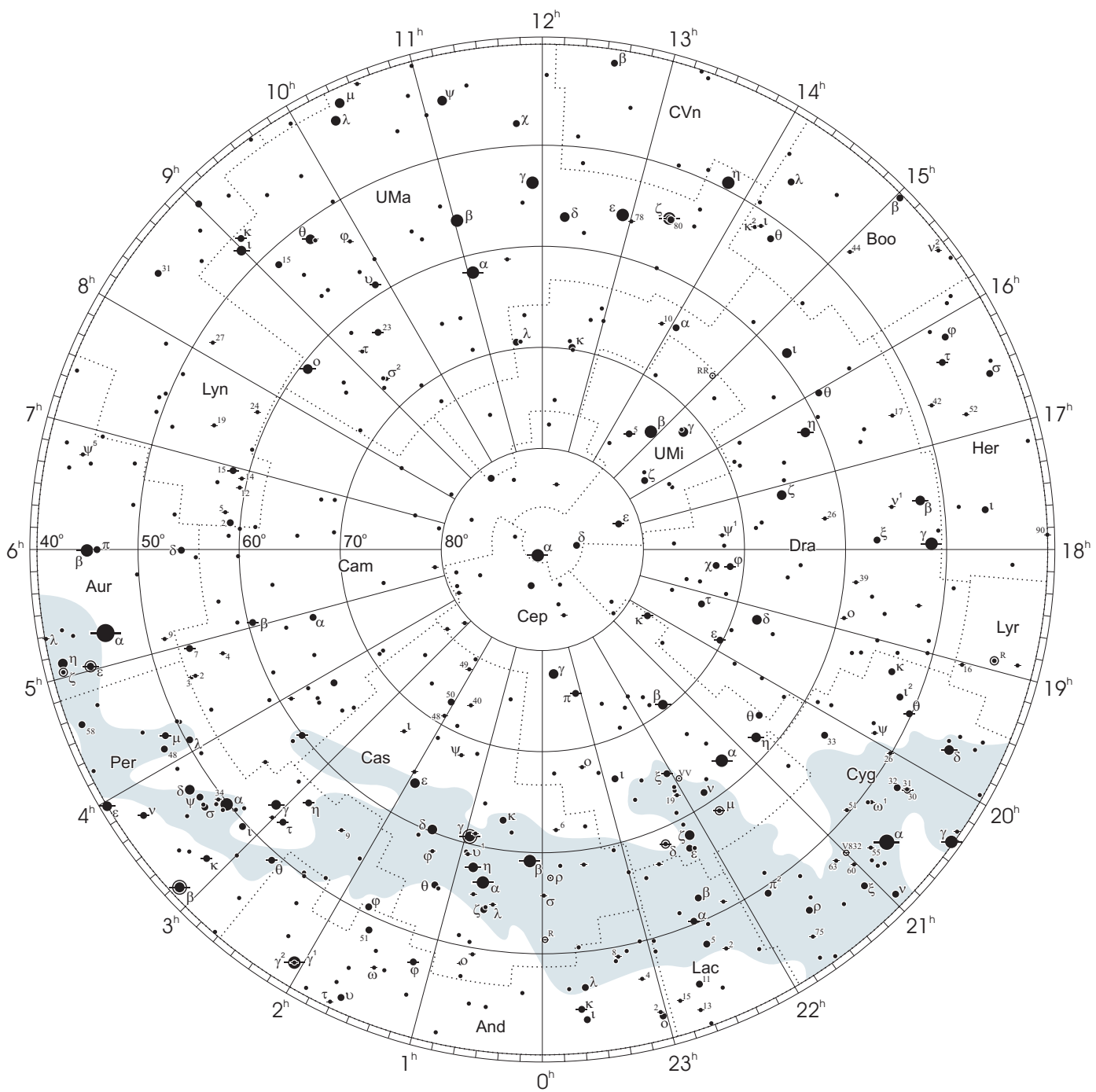
Gwiazdozbiory Carina, Puppis, Pyxis i Vela poprzednio tworzyły jeden gwiazdozbiór Argo navis (Okręt Argo).

Gwiazdozbiór Serpens bywa dzielony na: Serpens caput (Głowa Węża) i Serpens cauda (Ogon Węża). Numeracja gwiazd jest jednolita w łącznym gwiazdozbiorze.

Wcześniej podziały na gwiazdozbiory były najpierw związane tylko z ugrupowaniami jaśniejszych gwiazd, następnie z obszarami nieba dość nieregularnymi bez wyraźnie sprecyzowanych granic.

Mapa nieba

otoczenie bieguna północnego sfery niebieskiej

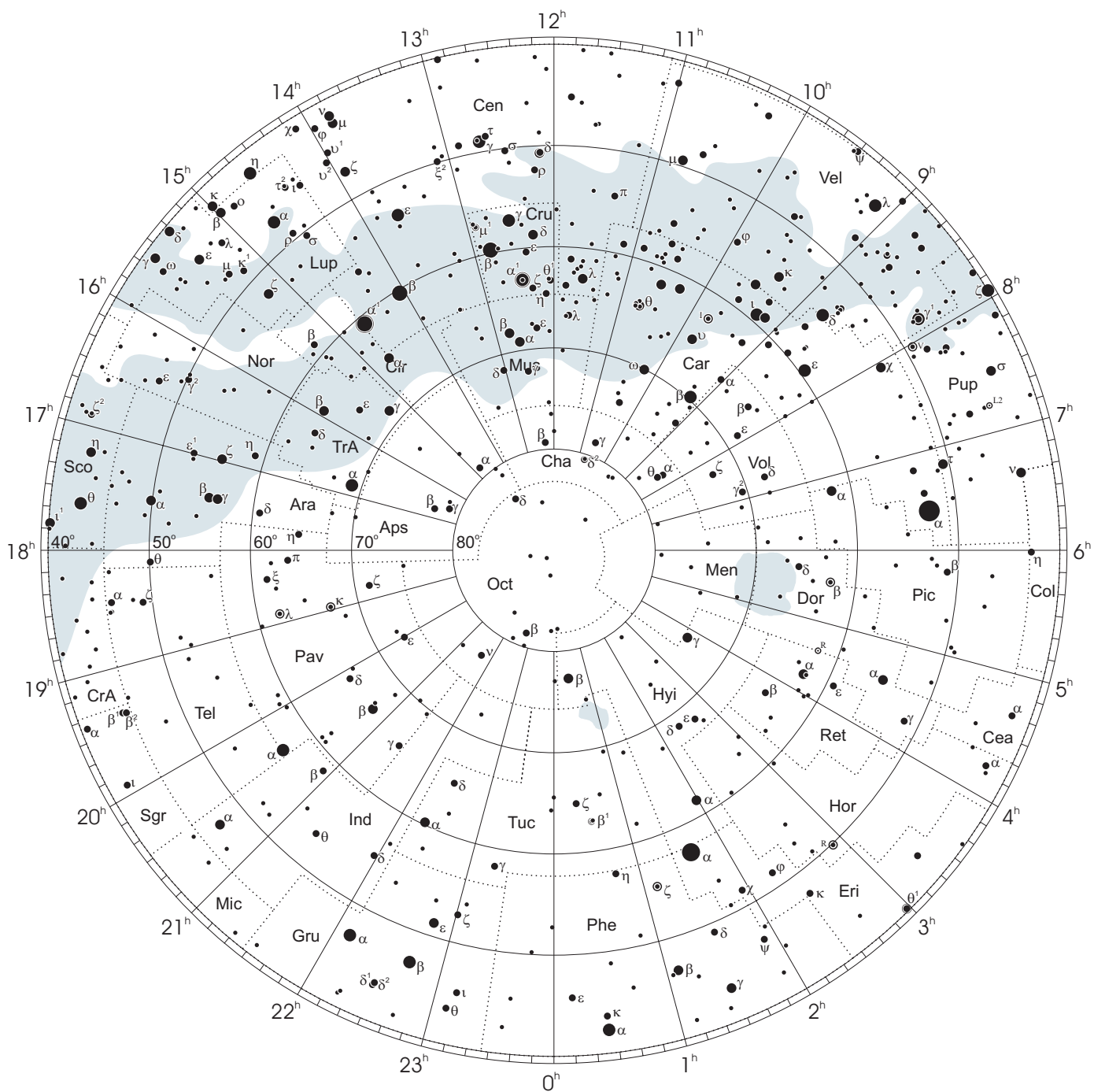


● 1 ● 2 ● 3 ● 4 ● 5

wielkości gwiazdowe

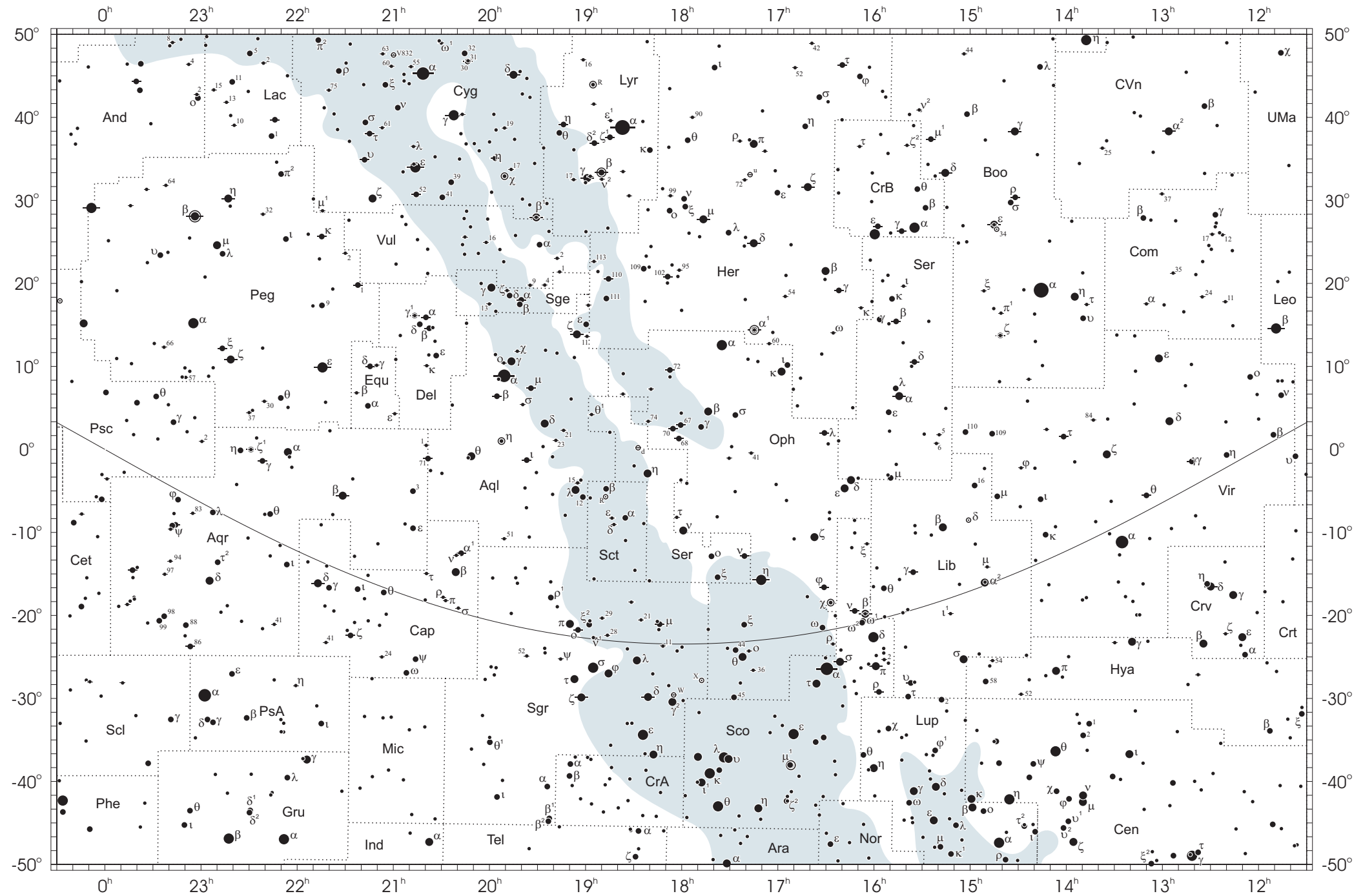
Mapa nieba

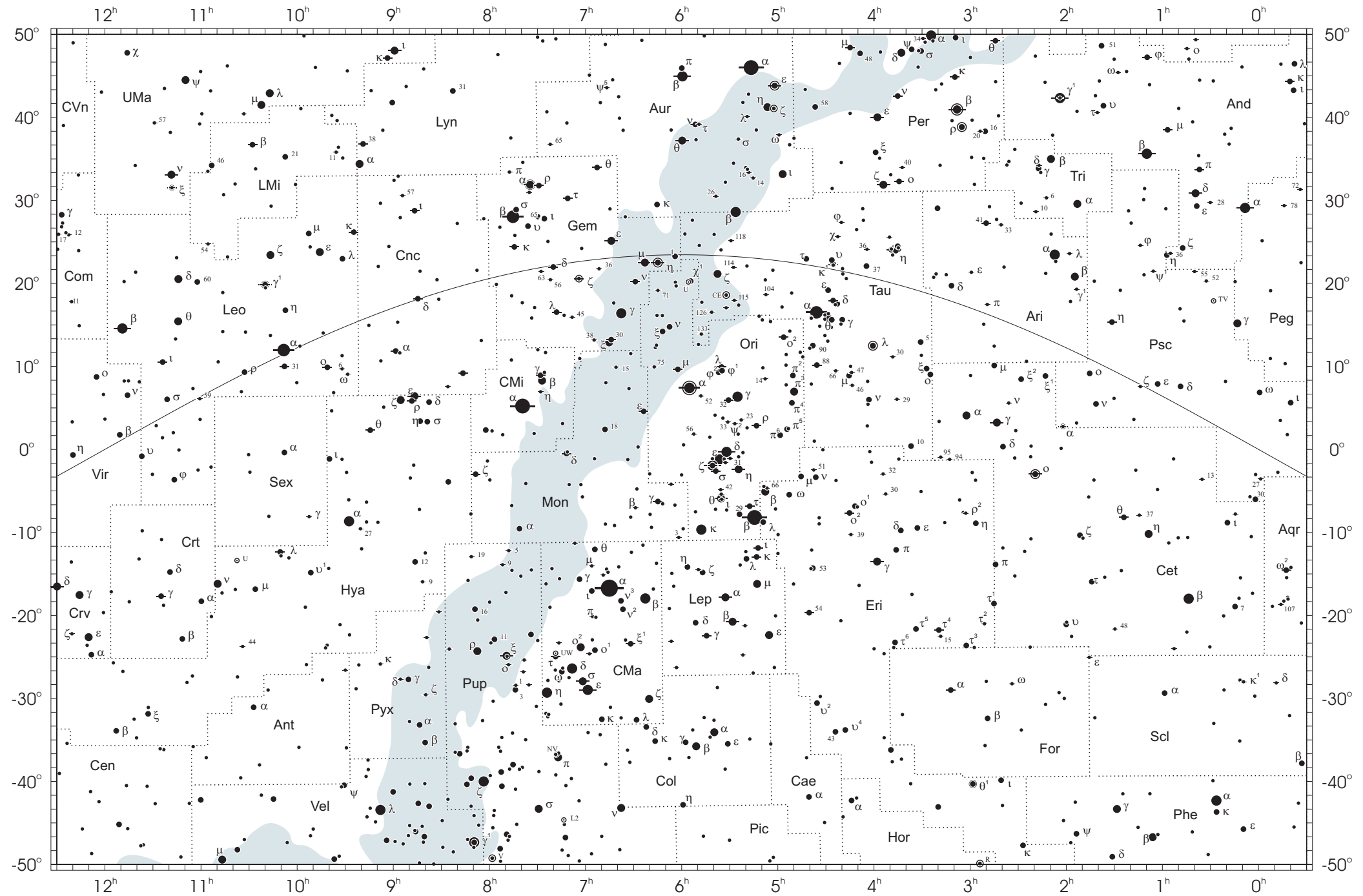
otoczenie bieguna południowego sfery niebieskiej



• 1 • 2 • 3 • 4 • 5

wielkości gwiazdowe





NIEKTÓRE STAŁE, DEFINICJE I WZORY ASTRONOMICZNE I GEODEZYJNE

System stałych astronomicznych i geodezyjnych oraz niektóre wzory podawane w kolejnych tomach Rocznika Astronomicznego (RA) oparte były na uchwałach podejmowanych przez Zgromadzenia Generalne (ZG) Międzynarodowej Unii Astronomicznej (IAU) i Międzynarodowej Unii Geodezji i Geofizyki (IUGG). Uchwały były zazwyczaj przygotowywane przez grupy robocze odpowiednich komisji tych unii, których zadaniem było opracowanie spójnego systemu stałych, najbardziej zbliżających teorię ruchu Ziemi i ciał niebieskich do wyników obserwacji astronomicznych. Rozwój metod i technik pozyskiwania danych wymuszał bowiem udoskonalanie teorii i rewizję poszczególnych stałych systemu. Wyrazem tego były stopniowo wprowadzane zmiany na mocy uchwał ZG IAU (Hamburg, 1964; Praga, 1967) oraz IUGG (Lucerna, 1967; Grenoble, 1975). Uchwałą XVI ZG IAU w Grenoble (1976) ustanowiono nowy, spójny i odpowiadający współcześnie uzyskiwanym dokładnościom „System Stałych Astronomicznych IAU1976”. Kilka lat później, XVII ZG IUGG (Canberra, 1979) ustanowiło jako oficjalny „Geodezyjny System Odniesienia 1980” (GRS80). Na mocy kolejnych uchwał ZG IAU (Montreal, 1979; Patras, 1982) wprowadzono szereg poprawek i ustalono, że tak powstały system (stałe astronomiczne i model precesji IAU1976 oraz teoria nutacji IAU1980) ma obowiązywać w pracach astronomicznych począwszy od 1984 r.

W konfrontacji z osiągnięciami nowych technik obserwacyjnych system stałych astronomicznych IAU1976 wkrótce okazał się niedostatecznie dokładny i w 1991 roku ZG IAU w Buenos Aires ustanowiło nowy system, który na następnym ZG IAU (Haga, 1994) został zarekomendowany do powszechnego stosowania w obliczeniach astronomicznych¹⁾. Na tym samym Zgromadzeniu Generalnym, stwierdzając potrzebę poprawienia stałych nutacji i precesji, polecono Międzynarodowej Służbie Ruchu Obrotowego Ziemi (IERS) opracowanie w trybie pilnym modelu nutacji i precesji na okres przejściowy, lepiej pasującego do obserwacji uzyskiwanych technikami VLBI i LLR.

Powołane na wspomnianych wyżej Zgromadzeniach Generalnych grupy robocze do spraw stałych fundamentalnych, układów odniesienia i ruchu obrotowego Ziemi, w tym działające również na płaszczyźnie międzynarodowej (IAU i IUGG), w porozumieniu z IERS i zgodne z zaleceniami XXIII ZG IAU (Kyoto, 1997), kontynuowały prace nad poprawieniem spójności systemu stałych astronomicznych, definicją jednostek, wartościami stałych podstawowych i stałych pochodnych oraz ujednoliceniem stosowanych algorytmów. Wyniki tych prac, ukierunkowane na:

- utrzymywanie w stanie aktualności Międzynarodowego Niebieskiego Systemu Odniesienia *ICRS* w powiązaniu z układem odniesienia katalogu Hipparcos, jako podstawowej realizacji *ICRS* dla astrometrii optycznej,
- powiązanie układu odniesienia Systemu Słonecznego z systemem *ICRS*,
- śledzenie stanu oceanu światowego i rozszerzenie badań nad atmosferą, tak aby ich wpływ na nieregularność obrotu Ziemi mógł być modelowany poprawniej niż obecnie,
- śledzenie zmian położenia środka ciężkości Ziemi,
- poprawienie spójności wewnętrznej parametrów orientacji Ziemi oraz układów odniesienia ziemskiego i niebieskiego, były przedmiotem obrad ZG IUGG (Birmingham, 1999) i IAU (Manchester, 2000). Na XXIII ZG IAU (Kyoto, 1997) przyjęto nową obowiązującą definicję Międzynarodowego Niebieskiego Układu Odniesienia (*ICRF*).

XXIV ZG IAU (Manchester, 2000) uściśliło definicje systemów odniesienia, Czasu Ziemskego (*TT*), a także określenia wzajemnych relacji pomiędzy systemami. Zaleciło ono zastąpienie od 1 stycznia 2003 r. modelu precesji IAU1976 oraz teorii nutacji IAU1980 nowym modelem precesyjno–nutacyjnym IAU2000A²⁾. Ustalenia te zostały zaaprobowane przez XXIII ZG IUGG w Sapporo w 2003 r. Wprowadzenie nowego modelu precesyjno–nutacyjnego wiązało się z nowymi, spójnymi z nim, definicjami Pośredniego Bieguna Niebieskiego (*CIP*), który zastąpił Efemerydalny Biegun Niebieski (*CEP*) oraz definicjami Niebieskiego Efemerydalnego Punktu Początkowego (*CEO*) i Ziemskego Efemerydalnego Punktu Początkowego (*TEO*) — przemianowanymi przez XXVI ZG IAU (Praga, 2006) odpowiednio na Niebieski Pośredni Punkt Początkowy (*CIO*) i Ziemska Pośrednia Punkt Początkowy (*TIO*). Na tym samym zgromadzeniu przyjęto rezolucje ustalające orientacje osi *BCRS* i *GCRS*, uściślające definicję *TDB* oraz wprowadzające nowy model precesji P03, który od 1 stycznia 2009 r. zastąpił część precesyjną modelu precesyjno–nutacyjnego IAU2000. XXIV ZG IUGG (Perugia, 2007) zaaprobovalo ustalenia ZG IAU z Pragi i dodatkowo wprowadziło Geocentryczny Ziemska System Odniesienia *GTRS*, który został zdefiniowany w zgodności z Rezolucją B1.3 ZG IAU w 2000 r. oraz uzupełniło definicję Międzynarodowego Ziemskego Systemu Odniesienia *ITRS* jako szczególnego Geocentrycznego Ziemskego Systemu Odniesienia *GTRS*, którego orientacja jest operacyjnie utrzymywana w ciągłości z poprzednimi uzgodnieniami międzynarodowymi (orientacja BIH). Na mocy Rezolucji B3 XXVII ZG IAU w Rio de Janeiro w 2009 r. druga realizacja Międzynarodowego Niebieskiego Układu Odniesienia *ICRF2* zastąpiła od 1 stycznia 2010 r. *ICRF* jako fundamentalna astrometryczna realizacja *ICRS*. To samo zgromadzenie w Rezolucji B2 określiło nowe stałe astronomiczne IAU2009 oraz strategię ich aktualizacji. W 2011 roku *ICRF2* został również przyjęty przez XXV ZG IUGG (Melbourne, Rezolucja 3). Na mocy Rezolucji B2 XXVIII ZG IAU (Pekin, 2012) wprowadzono nową definicję długości jednostki astronomicznej nadając jej oznaczenie *au*. Jednostkę astronomiczną uznano za pomocniczą stałą definiującą natomiast stałą grawitacyjną Gaussa *k* usunięto ze stałych astronomicznych.

¹⁾ Szczegółowy opis tego systemu, zmiany definicji oraz wartości numerycznych stałych astronomicznych zostały przedstawione na stronach 136 ÷ 144 Rocznika Astronomicznego na 1992 rok.

²⁾ Dokładny opis ustaleń XXIV ZG IAU przedstawiono na stronach 214÷221 Rocznika Astronomicznego na 2004 rok.

Zasadnicze różnice w definicjach systemów odniesienia

Systemy używane do 1991 roku	Systemy obowiązujące od 2003 roku
1. Ogólne	
podstawy teoretyczne: mechanika newtonowska (z poprawkami relatywistycznymi)	podstawy teoretyczne: mechanika relatywistyczna
zapewnienie dokładności na poziomie milisekundy łuku (mas)	zapewnienie dokładności na poziomie mikrosekundy łuku (μas)
2. Systemy niebieskie	
system odniesienia: FK5	system odniesienia: ICRS <ul style="list-style-type: none"> – BCRS — dla Układu Słonecznego – GCRS — dla powiązania z ziemskim systemem odniesienia i monitorowania EOP
FK5 — dynamiczny układ odniesienia (określony na podstawie rozwiązania planetarnych równań ruchu i zdefiniowany poprzez pozycje jasnych gwiazd)	ICRF — kinematyczny układ odniesienia (zdefiniowany poprzez pozycje obiektów pozagalaktycznych)
FK5 — nieustalone położenie względem układu inercjalnego — określane na epokę katalogu.	ICRF — kinematycznie ustalone położenie względem układu inercjalnego (ruchy własne obiektów pozagalaktycznych — uznane za zaniedbywalnie małe)
kierunki osi odniesione do określonych na epokę: bieguna FK5 (definiującego płaszczyznę równika) i kierunku równonocy wiosennej (wyznaczonego przez przecięcie płaszczyzn równika i ekiptyki)	kierunki osi odniesione do ustalonych: bieguna ICRF (niemal pokrywający się z CEP FK5 na epokę J2000.0) i początku liczenia rektascensji w ICRS (niemal pokrywający się z kierunkiem równonocy wiosennej FK5 na epokę J2000.0)
3. System pośredni	
kierunki osi pośredniego systemu niebieskiego odniesione do CEP (definiującego płaszczyznę prawdziwego równika) i kierunku równonocy wiosennej (wyznaczonego przez przecięcie płaszczyzn prawdziwego równika i ekiptyki)	kierunki osi pośredniego systemu niebieskiego określone przez CIP (niemal pokrywający się z CEP FK5 na epokę J2000.0) i CIO (niemal pokrywający się z kierunkiem równonocy wiosennej FK5 na epokę J2000.0) — w latach 2003–2006 pod nazwą CEO
kierunek osi <i>x</i> pośredniego systemu ziemsiego określony przez przecięcie płaszczyzny chwilowego południka Greenwich z równikiem CEP	kierunek osi <i>x</i> pośredniego systemu ziemsiego określony przez TIO (przecięcie chwilowego południka zerowego ITRS z równikiem CIP) — w latach 2003–2006 pod nazwą TEO
relacja pomiędzy niebieskim i ziemskim pośrednim systemem odniesienia wyrażona w funkcji prawdziwego czasu gwiazdowego Greenwich (GST)	relacja pomiędzy niebieskim i ziemskim pośrednim systemem odniesienia wyrażona w funkcji Kąta Obrotu Ziemi (ERA)
4. System ziemski	
kierunki osi systemu CTS określone przez CIO* i zerowy południk BIH	kierunki osi systemu ITRS określone przez biegun IERS ITRS oraz zerowy południk ITRS

Ośrodkи zrzeszone w uniach IAU i IUGG są także zachęcane do prowadzenia badań pionowych i poziomych ruchów skorupy ziemskiej, do prac nad łącznym opracowywaniem obserwacji uzyskiwanych za pomocą różnych technik pomiarowych i do ściślejszej współpracy z grupami roboczymi tych unii. Do upowszechniania przyjętych standardów (konwencji) zobowiązano IERS³⁾.

Stale astronomiczne zamieszczone w niniejszym Roczniku zostały zaczerpnięte z aktualnej jesienią 2012 r. strony internetowej (http://maia.usno.navy.mil/NSFA/NSFA_cbe.html) Grupy Roboczej „Standardy Numeryczne Astronomii Fundamentalnej”. Są to wartości obowiązujące obecnie przy obliczeniach wymagających największej precyzji. Dodatkowo zamieszczono uzupełniającą listę stałych i wielkości pomocniczych — niektóre odniesione do poprzednio obowiązujących systemów. Mogą one być stosowane w obliczeniach nie wymagających najwyższych dokładności.

³⁾ Dane szczegółowe na temat ewolucji systemu stałych astronomicznych można uzyskać m.in. na stronach internetowych IAU (<http://www.iau.org>) oraz IERS (<http://www.iers.org>).

Jednostki astronomiczne

- Jednostkami długości, masy i czasu są jednostki międzynarodowego systemu jednostek (SI), mianowicie: metr (m), kilogram (kg) i sekunda (s).
- Astronomiczną jednostką czasu jest doba (d). Jest to interwał czasu wynoszący 86 400 sekund SI. Przez stulecie juliańskie (JC — Julian Century) jest rozumiany interwał czasu wynoszący 36 525 dób.
- Astronomiczną jednostką masy jest masa Słońca (M_S).
- Astronomiczną jednostką długości, opartą na średniej odległości Ziemia—Słońce, jest długość (au) wynosząca dokładnie 149 597 870 700 m

System stałych astronomicznych IAU2009

Stałe definiujące

Naturalne stałe definiujące

Prędkość światła w próżni

$$c = 299\,792\,458 \text{ } ms^{-1}$$

Pomocnicze stałe definiujące

Współczynnik zmiany skali czasu od TT do TCG

$$L_G = 6.969\,290\,134 \times 10^{-10}$$

Współczynnik zmiany skali czasu od TCB do TDB

$$L_B = 1.550\,519\,768 \times 10^{-8}$$

Stała początkowa przy przejściu od TCB do TDB

$$TDB_0 = -6.55 \times 10^{-5} \text{ } s$$

Astronomiczna jednostka długości

$$au = 1.495\,978\,707\,00 \times 10^{11} \text{ } m$$

Kąt Obrotu Ziemi w epoce J2000.0

$$\theta_0 = 0.779\,057\,273\,264\,0 \times 2\pi \text{ } rad$$

Tempo zmian Kąta Obrotu Ziemi

$$d\theta/dt = 1.002\,737\,811\,911\,354\,48 \times 2\pi \text{ } rad \cdot doba_{UT1}^{-1}$$

Najlepsze współczesne oszacowania

Naturalne stałe mierzalne

Stała grawitacyjna

$$G = 6.674\,28 \times 10^{-11} \pm 6.7 \times 10^{-15} \text{ } m^3 kg^{-1} s^{-2}$$

Inne stałe

Współczynnik zmiany skali czasu od TCG do TCB

$$L_C = 1.480\,826\,867\,41 \times 10^{-8} \pm 2 \times 10^{-17}$$

Stałe ciał Systemu Słonecznego

Parametr masy Słońca

$$GM_S = 1.327\,124\,420\,99 \times 10^{20} \pm 1 \times 10^{10} \text{ } m^3 s^{-2}$$

zgodny z TCB

$$GM_S = 1.327\,124\,400\,41 \times 10^{20} \pm 1 \times 10^{10} \text{ } m^3 s^{-2}$$

zgodny z TDB

$$a_E = 6.378\,136\,6 \times 10^6 \pm 1 \times 10^{-1} \text{ } m$$

Równikowy promień Ziemi⁴⁾

$$J_2 = 1.082\,635\,9 \times 10^{-3} \pm 1 \times 10^{-10}$$

Współczynnik dynamiczny figury Ziemi⁴⁾

$$dJ_2/dt = -3.0 \times 10^{-9} \pm 6 \times 10^{-10} \text{ } stulecie^{-1}$$

Zmiana wiekowa współczynnika J_2

$$GM_E = 3.986\,004\,418 \times 10^{14} \pm 8 \times 10^5 \text{ } m^3 s^{-2}$$

Geocentryczna stała grawitacyjna⁴⁾

$$GM_E = 3.986\,004\,415 \times 10^{14} \pm 8 \times 10^5 \text{ } m^3 s^{-2}$$

zgodna z TCB

$$GM_E = 3.986\,004\,356 \times 10^{14} \pm 8 \times 10^5 \text{ } m^3 s^{-2}$$

zgodna z TT

$$W_0 = 6.263\,685\,60 \times 10^7 \pm 5 \times 10^{-1} \text{ } m^2 s^{-2}$$

zgodna z TDB

$$\omega = 7.292\,115 \times 10^{-5} \text{ } rad s^{-1}$$

Potencjał siły ciężkości na geoidzie⁴⁾

$$M_M/M_E = 1.230\,003\,71 \times 10^{-2} \pm 4 \times 10^{-10}$$

Prędkość kątowa Ziemi⁴⁾

$$M_S/M_{Me} = 6.023\,6 \times 10^6 \pm 3 \times 10^2$$

Stosunek masy Księżyca do masy Ziemi

$$M_S/M_{Mv} = 4.085\,237\,19 \times 10^5 \pm 8 \times 10^{-3}$$

Stosunek masy Słońca do masy Merkurego

$$M_S/M_{Ma} = 3.098\,703\,59 \times 10^6 \pm 2 \times 10^{-2}$$

Stosunek masy Słońca do masy Wenus

$$M_S/M_J = 1.047\,348\,644 \times 10^3 \pm 1.7 \times 10^{-5}$$

Stosunek masy Słońca do masy Marsa

$$M_S/M_{Sa} = 3.497\,901\,8 \times 10^3 \pm 1 \times 10^{-4}$$

Stosunek masy Słońca do masy Jowisza

$$M_S/M_U = 2.290\,298 \times 10^4 \pm 3 \times 10^{-2}$$

Stosunek masy Słońca do masy Saturna

$$M_S/M_N = 1.941\,226 \times 10^4 \pm 3 \times 10^{-2}$$

Stosunek masy Słońca do masy Urana

$$M_S/M_P = 1.365\,66 \times 10^8 \pm 2.8 \times 10^4$$

Stosunek masy Słońca do masy Neptuna

$$M_S/M_{Eris} = 1.191 \times 10^8 \pm 1.4 \times 10^6$$

Stosunek masy Słońca do masy Plutona

Stosunek masy Słońca do masy Eris

⁴⁾ Por. z inną, przyjętą przez IUGG wartością wg GRS80.

Stosunek masy Ceres do masy Słońca	$M_{Ceres}/M_S = 4.72 \times 10^{-10} \pm 3 \times 10^{-12}$
Stosunek masy Pallas do masy Słońca	$M_{Pallas}/M_S = 1.03 \times 10^{-10} \pm 3 \times 10^{-12}$
Stosunek masy Vesta do masy Słońca	$M_{Vesta}/M_S = 1.35 \times 10^{-10} \pm 3 \times 10^{-12}$
Nachylenie ekliptyki do równika w epoce J2000.0	$\varepsilon = 8.^{\prime\prime}438\,140\,6 \times 10^4 \pm 1 \times 10^{-3}$

Wielkości uzupełniające i dodatkowe

Stała grawitacyjna Gaussa	$k = 0.017\,202\,098\,95$
Czas pokonywania przez światło astronomicznej jednostki długości	$\tau_{au} = 499.004\,783\,806\,1\,s$
Precesja ogólna w długości w epoce J2000.0 na stulecie juliańskie	$p = 5028.^{\prime\prime}796195$
Stała nutacji w epoce J2000.0	$N = 9.^{\prime\prime}2025$
Stała aberracji rocznej dla epoki J2000.0	$K = 20.^{\prime\prime}49552$
Paralaksa Słońca ($\pi_S = a_E/au$)	$\pi_S = 8.^{\prime\prime}794\,148$
Spłaszczenie Ziemi ⁴⁾	$f = 1/298.256\,42$
Współczynnik dynamiczny Słońca	$J_{2S} = 2 \times 10^{-7}$
Masa Słońca ($M_S = GM_S \cdot G^{-1}$)	$M_S = 1.98842 \times 10^{30}\ kg$
Stosunek masy Słońca do masy Ziemi ($M_S/M_E = GM_S(GM_E)^{-1}$)	$M_S/M_E = 332\,946.04$
Stosunek masy Słońca do masy układu Ziemia—Księżyca	
$M_S/(M_E + M_M) = GM_S/(GM_E + M_M/M_E \cdot GM_E)$	$M_S/(M_E + M_M) = 328\,901$

Stałe Międzynarodowej Unii Geodezji i Geofizyki (IUGG) (dotyczące figury Ziemi GRS80)

Stałe definiujące (dokładnie)

Równikowy promień Ziemi	$a_e = 6\,378\,137\ m$
Geocentryczna stała grawitacyjna	$GM = 3.986\,005 \times 10^{14}\ m^3 s^{-2}$
Współczynnik dynamiczny figury Ziemi	$J_2 = 1.082\,63 \times 10^{-3}$
Prędkość kątowa obrotu Ziemi	$\omega = 7.292\,115 \times 10^{-5}\ rad\ s^{-1}$

Stałe pochodne

Spłaszczenie Ziemi	$f = 1/298.257\,222\,101$
Przyspieszenie normalne siły ciężkości na równiku	$\gamma_e = 9.780\,326\,771\,5\ ms^{-2}$
Przyspieszenie normalne siły ciężkości na biegunie	$\gamma_p = 9.832\,186\,368\,5\ ms^{-2}$
Normalny potencjał siły ciężkości na elipsoidzie (potencjał siły ciężkości na geoidzie $W_0 = U_0$)	$U_0 = 6\,263\,686.085\,0 \times 10\ m^2 s^{-2}$
Geopotencjalny współczynnik skali ($R_0 = GM/W_0$)	$R_0 = 6\,363\,672.461\ m$
Współczynniki harmoniczne rozwinięcia potencjału siły ciężkości Ziemi w szereg funkcji kulistych	$J_4 = -2.370\,912\,22 \times 10^{-6}$ $J_6 = 0.006\,083\,47 \times 10^{-6}$ $J_8 = 0.000\,014\,27 \times 10^{-6}$

Geodezyjne elipsoidy odniesienia

Nazwa elipsoidy	$a [m]$	$b [m]$	f^{-1}	f	e^2
Bessel (1841)	6 377 397	6 356 079	299.15	0.003 342 8	0.006 674 4
Clarke (1880)	6 378 249	6 356 515	293.47	0.003 407 5	0.006 803 4
Hayford (1909) International (1924)	6 378 388	6 356 912	297.0	0.003 367	0.006 723
Krasovski (1940)	6 378 245	6 356 863	298.3	0.003 352	0.006 693
SAO III (1966)	6 378 165	6 356 780	298.25	0.003 352 9	0.006 694 5
GRS67	6 378 160.0	6 356 774.5	298.247	0.003 352 92	0.006 694 61
WGS72	6 378 135	6 356 751	298.26	0.003 352 8	0.006 694 3
IAU1976	6 378 140.0	6 356 755.3	298.257	0.003 352 81	0.006 694 38
GRS80	6 378 137.0000	6 356 752.3141	298.257 222 101	0.003 352 810 681 18	0.006 694 380 022 90
WGS84	6 378 137.0000	6 356 752.3142	298.257 223 563	0.003 352 810 664 75	0.006 694 379 990 15

Niektóre wzory modelu precesji IAU1976 (T liczone jest w stuleciach juliańskich od epoki J2000.0)

Precesja w rektascensji na stulecie juliańskie

$$m = 4612.^{\prime\prime}4362 + 2.^{\prime\prime}79312T - 0.^{\prime\prime}000278T^2 \quad (1)$$

Precesja w deklinacji na stulecie juliańskie

$$n = 2004.^{\prime\prime}3109 - 0.^{\prime\prime}85330T - 0.^{\prime\prime}000217T^2 \quad (2)$$

Średnie nachylenie ekiptyki

$$\varepsilon = 84381.^{\prime\prime}448 - 46.^{\prime\prime}8150T - 0.^{\prime\prime}00059T^2 + 0.^{\prime\prime}001813T^3 \quad (3)$$

Poprawka punktu równonocnego przy przejściu z systemu FK4 do FK5⁵⁾

$$E = 0.^{\circ}0775 + 0.^{\circ}085T \quad (4)$$

Niektóre wzory modelu precesyjno-nutacyjnego IAU2006 (T liczone jest w stuleciach juliańskich od epoki J2000.0)

Precesja — kąty Eulera

$$\zeta_A = -2306.^{\prime\prime}083227T - 0.^{\prime\prime}2988499T^2 - 0.^{\prime\prime}01801828T^3 + 0.^{\prime\prime}000005971T^4 + 0.^{\prime\prime}0000003173T^5 \quad (5)$$

$$\theta_A = 2004.^{\prime\prime}191903T - 0.^{\prime\prime}4294934T^2 - 0.^{\prime\prime}04182264T^3 - 0.^{\prime\prime}000007089T^4 - 0.^{\prime\prime}0000001274T^5 \quad (6)$$

$$z_A = -2306.^{\prime\prime}077181T - 1.^{\prime\prime}0927348T^2 - 0.^{\prime\prime}01826837T^3 + 0.^{\prime\prime}000028596T^4 + 0.^{\prime\prime}0000002904T^5 \quad (7)$$

Precesja w długości ($\dot{p}_A \equiv p$)

$$p_A = 5028.^{\prime\prime}796195T + 1.^{\prime\prime}1054348T^2 + 0.^{\prime\prime}00007964T^3 - 0.^{\prime\prime}000023857T^4 + 0.^{\prime\prime}0000000383T^5 \quad (8)$$

Precesja księżycowo-słoneczna ($\dot{\psi}_A \equiv p_1$)

$$\psi_A = 5038.^{\prime\prime}481507T - 1.^{\prime\prime}0790069T^2 - 0.^{\prime\prime}00114045T^3 + 0.^{\prime\prime}000132851T^4 - 0.^{\prime\prime}0000000951T^5 \quad (9)$$

Precesja planetarna ($\dot{\chi}_A \equiv p_2$)

$$\chi_A = 10.^{\prime\prime}556403T - 2.^{\prime\prime}3814292T^2 - 0.^{\prime\prime}00121197T^3 + 0.^{\prime\prime}000170663T^4 - 0.^{\prime\prime}0000000560T^5 \quad (10)$$

Precesja w rektascensji na stulecie juliańskie ($m = \dot{\zeta}_A + \dot{z}_A$)

$$m = 4612.^{\prime\prime}160408 + 2.^{\prime\prime}7831694T + 0.^{\prime\prime}108859950T^2 - 0.^{\prime\prime}000138268T^3 - 0.^{\prime\prime}0000030385T^4 \quad (11)$$

Precesja w deklinacji na stulecie juliańskie ($n = \dot{\theta}_A$)

$$n = 2004.^{\prime\prime}191903 - 0.^{\prime\prime}8589868T - 0.^{\prime\prime}12546792T^2 - 0.^{\prime\prime}000028356T^3 - 0.^{\prime\prime}000000637T^4 \quad (12)$$

Średnie nachylenie Ekiptyki

$$\varepsilon_A = 84381.^{\prime\prime}406 - 46.^{\prime\prime}836769t - 0.^{\prime\prime}0001831T^2 + 0.^{\prime\prime}00200340T^3 - 0.^{\prime\prime}000000576T^4 - 0.^{\prime\prime}0000000434T^5 \quad (13)$$

Wzory na zamianę jednostek czasu gwiazdowego średniego i średniego czasu słonecznego

$$\begin{aligned} \text{interwał czasu gwiazdowego średniego} &= 1.002737909350795 + 5.9006 \times 10^{-11}T - 5.9 \times 10^{-15}T^2 \\ \text{interwał czasu słonecznego średniego} &= 0.997269566329084 - 5.8684 \times 10^{-11}T + 5.9 \times 10^{-15}T^2 \\ \text{interwał czasu gwiazdowego średniego} & \end{aligned} \quad (14)$$

Do przeliczenia interwałów czasu wyrażonego w jednostkach czasu średniego słonecznego na interwały czasu wyrażonego w jednostkach czasu średniego gwiazdowego oraz do zamiany w stronę przeciwną wykorzystuje się w praktyce zależność, że liczba dób gwiazdowych w roku zwrotnikowym jest dokładnie o jedno więcej niż liczby dób słonecznych

$$\begin{aligned} \text{rok zwrotnikowy} &= 366.242198797 \text{ średnich dób gwiazdowych} \\ &= 365.242198797 \text{ średnich dób słonecznych} \end{aligned}$$

Relację pomiędzy jednostką czasu słonecznego i jednostką czasu gwiazdowego wyraża współczynnik proporcjonalności

$$1 + \mu = \frac{366.242198797}{365.242198797} = 1.0027379093 \quad (15)$$

stąd

$$[\text{interwał czasu}]_{\text{śr. cz. gw.}} = (1 + \mu) \times [\text{interwał czasu}]_{\text{śr. cz. sl.}} \quad (16)$$

Podobnie dla przejścia od jednostek czasu gwiazdowego do jednostek czasu słonecznego

$$[\text{interwał czasu}]_{\text{śr. cz. sl.}} = 1/(1 + \mu) \times [\text{interwał czasu}]_{\text{śr. cz. gw.}}$$

lub

$$[\text{interwał czasu}]_{\text{śr. cz. sl.}} = (1 - \mu') \times [\text{interwał czasu}]_{\text{śr. cz. gw.}} \quad (17)$$

gdzie $\mu' = 0.0027304336$

⁵⁾ Aby otrzymać rektascensję w systemie FK5, poprawkę należy dodać do rektascensji wyrażonej w systemie FK4.

OBJAŚNIENIA

CZEŚĆ OGÓLNA

W ostatnich 35 latach zaszły ważne zmiany w poznaniu ruchu obrotowego Ziemi — nastąpił ogromny postęp w zakresie osiąganych precyzji i rozdzielczości czasowych obserwacji, jak również w strategiach i technologii ich opracowywania. Istotną zmianą jest także fakt, że począwszy od 1980 roku ruch bieguna jest monitorowany w sposób ciągły przy użyciu VLBI i dostarczane są aktualne pozycje bieguna w odniesieniu do układu niebieskiego. Używanie układu odniesienia opartego na równiku niebieskim (określonym przez średnią w sensie ruchów bieguna oś obrotu Ziemi) oraz punkcie początkowym zdefiniowanym położeniem ekiptyki (punkt średniej równonocy wiosennej) stawało się coraz trudniejsze, a nawet prowadziło do degradacji precyzji osiąganej w obserwacjach astronomicznych, szczególnie, że istniało kilka реализациj punktu równonocy: dynamiczne i katalogowe. Dodatkowo konstrukcja katalogów nie zapewniała całkowitej eliminacji obrotu definiowanych przez nie układów odniesienia. W ślad za postępem w dziedzinie obserwacji, w latach 1990–1999 nastąpiła również ogromna poprawa w modelowaniu teoretycznym, osiągającym dokładności na poziomie μas .

1. SYSTEMY ODNIESIENIA

XXI Zgromadzenie Generalne IAU (Buenos Aires, 1991) przyjęło w Rezolucji A4 pakiet 9 spójnych Rekomendacji specyfikujących nowe niebieskie systemy odniesienia w czterowymiarowej czasoprzestrzeni i związane z nimi skale czasu z uwzględnieniem ogólnej teorii względności. W Rekomendacji 1 zaleciło ono zdefiniowanie w ramach ogólnej teorii względności kilku układów współrzędnych ($x^0 = ct, x^1, x^2, x^3$) w czasoprzestrzeni w taki sposób, aby w każdym układzie współrzędnych o początku w barycentrum dowolnego zbioru mas, kwadrat interwału ds między zdarzeniami, był wyrażony co najmniej ze stopniem przybliżenia podanym według wzoru:

$$ds^2 = -c^2 d\tau^2 = -(1 - 2U/c^2)(dx^0)^2 + (1 + 2U/c^2)[(dx^1)^2 + (dx^2)^2 + (dx^3)^2] \quad (18)$$

gdzie t jest współrzędną czasową (czasem współrzędnych⁶⁾), τ jest czasem własnym (nazywanym również czasem prawdziwym) danego punktu w przestrzeni (czas pomiędzy dwoma zdarzeniami występującymi w tym samym punkcie przestrzeni), a U jest sumą potencjału grawitacyjnego tego układu mas oraz, generowanego przez ciała zewnętrzne względem układu, potencjału pływowego zanikającego w barycentrum. Interwał ds z formalnego punktu widzenia może być traktowany jako odległość dwóch punktów w abstrakcyjnej czterowymiarowej przestrzeni z wprowadzoną przez Minkowskiego geometrią pseudo-euklidesową. W Rekomendacji 2 zasygnalizowana została potrzeba zdefiniowania barycentrycznego systemu współrzędnych o początku w środku mas Układu Słonecznego z czasem współrzędnych barycentrycznych TCB (Rekom. 3) oraz geocentrycznego systemu odniesienia o początku w środku mas Ziemi z czasem współrzędnych geocentrycznych TCG (Rekom. 3). Jednocześnie zalecono aby te systemy nie podlegały obrotom względem zbioru odległych obiektów pozagalaktycznych, aby współrzędne czasowe tych systemów były wyprowadzone ze skali czasu realizowanej przez działające na Ziemi zegary atomowe oraz aby jednostkami fizycznymi w tych systemach były jednostki SI. Sformułowano również czterowymiarową transformację pomiędzy TCB i TCG. Za czas odniesienia dla pozornych, geocentrycznych efemeryd przyjęto czas ziemski TT oraz określono relację między TCG i TT (Rekom. 4). Dodatkowo w Rekomendacji 7 zalecono aby nowy, barycentryczny system odniesienia był możliwie bliski równikowi i punktowi równonocy wiosennej systemu FK5 odniesionym do epoki J2000.0, tj. aby podstawowa płaszczyzna tego systemu (płaszczyzna xy odpowiadająca płaszczyźnie równika niebieskiego w katalogowych systemach odniesienia) znalazła się możliwie blisko płaszczyzny średniego równika na epokę J2000.0, zaś punkt początkowy liczenia rektascensji CEO (odpowiednik punktu równonocy wiosennej w katalogowych układach odniesienia, czyli kierunek osi x) znalazł się możliwie blisko dynamicznej równonocy wiosennej na epokę J2000.0. W tej samej rezolucji podkreślono, że utworzony system ma być dostępny dla astrometrii w zakresie fal radiowych i widma widzialnego.

⁶⁾ Czas współrzędnych nie jest mierzalny.

Międzynarodowy Niebieski System Odniesienia (ICRS) zdefiniowany oraz przyjęty w Rezolucji B2 XXIII Zgromadzenia Generalnego IAU (Kyoto, 1997) („The extragalactic reference system of the International Earth Rotation Service (ICRS)”, Arias E.F. et al., A&A 303, 604 (1995)) jest od 1 stycznia 1998 roku obowiązującym niebieskim systemem odniesienia. Kinematyczną realizacją ICRS przeznaczoną do zastosowań praktycznych jest **Międzynarodowy Niebieski Układ Odniesienia (ICRF)**. Ta sama rezolucja zatwierdziła **katalog Hipparcos** jako podstawową realizację ICRS w zakresie widma optycznego. Uchwalona trzy lata później przez XXIV Zgromadzenie Generalne IAU Rezolucja B1.3 (Manchester, 2000) określa ponadto definicję ICRS dopasowaną do wyższych wymagań dokładnościowych oraz do współczesnego formalizmu ogólnej teorii względności, wprowadzając **Barycentryczny Niebieski System Odniesienia (BCRS)** oraz **Geocentryczny Niebieski System Odniesienia (GCRS)**, a także transformację między tymi systemami.

ICRS jest systemem kinematycznym, ponieważ jest zdefiniowany poprzez pozycje odległych obiektów pozagalaktycznych; dodatkowo ruchy własne tych obiektów są znacznie mniejsze aniżeli dokładność obserwacji tych obiektów. W systemie ICRS, kierunki do obiektów w odległych galaktykach nie podlegają globalnemu obrotowi względem tych obiektów. Zgodnie z definicją jest on czasoprzestrzennym systemem niezależnym od położenia osi obrotu Ziemi, a także od położenia osi ekleptyki. Czasoprzestrzeń w ICRS jest określona geometrycznie za pomocą tensora metrycznego (oddziennie dla BCRS i dla GCRS) w ujęciu ogólnej teorii względności. Zgodnie z Rezolucją 2 XXVI Zgromadzenia Generalnego IAU (Praga, 2006) dla wszystkich praktycznych zastosowań przyjmuje się orientację BCRS zgodnie z orientacją osi ICRS. Orientacja GCRS jest wyznaczana z orientacji BCRS zorientowanej względem ICRS. Osie tych systemów spełniają kinematyczny warunek zerowego wzajemnego obrotu. Oba systemy mają też różne czasy współrzędnych: TCB i TCG. Odpowiadające sobie osie systemów BCRS i GCRS są wzajemnie powiązane współczynnikiem skali. Ponadto BCRS jest z założenia systemem kinematycznie ustalonym. Nie jest on odniesiony do epoki, która byłaby związana z pozycją osi systemu jak to ma miejsce w przypadku systemu katalogowego, np. FK5. Pozycje w systemie ICRS odgrywają rolę stosowanych dotychczas średnich pozycji katalogowych odniesionych do średniego równika i średniej równonocy wiosennej na standardową epokę, lecz w ich wypadku epoka we wspomnianym sensie nie ma zastosowania. Zmienność pozycji w systemie ICRS spowodowana jest wyłącznie ruchem własnym gwiazd z uwzględnieniem prędkości radialnej. Orientacja geocentrycznego systemu niebieskiego GCRS używanego do transformacji między systemami niebieskim i ziemskim, w stosunku do BCRS spełnia kinematyczny warunek braku globalnego obrotu geocentrycznych kierunków do obiektów realizujących ICRS. GCRS jest zatem nieobracającym się systemem geocentrycznym przeznaczonym do monitorowania parametrów ruchu obrotowego Ziemi EOP. System ten nie podlega globalnej rotacji i nie zależy już od ruchu Ziemi, jak to miało miejsce w przypadku FK5.

ICRF został zdefiniowany z dokładnością około $30 \mu\text{as}$ poprzez pozycje 212 definiujących radioźródeł, określone w oparciu o obserwacje VLBI. Umowny biegun ICRS, nazwany Konwencjonalnym Biegunem Odniesienia CRP (kierunek prostopadły do podstawowej płaszczyzny układu — płaszczyzny xy) choć jest bardzo zbliżony do średniego bieguna na epokę J2000.0 to jednak dokładnie się z nim nie pokrywa. Bieguny te są wzajemnie przesunięte o 17.1 mas w kierunku 0° i 5.1 mas w kierunku 90° . Podobna zgodność zachodzi pomiędzy umownym biegunem ICRS i biegunem katalogu FK5. Ocenia się ją na $\pm 50 \text{ mas}$. Punkt początkowy liczenia rektascensji w ICRS, który określa kierunek osi x tego systemu, jest przesunięty w stosunku do punktu równonocy katalogu FK5 o $22.9 \pm 2.3 \text{ mas}$.

Na mocy Rezolucji B3 XXVII Zgromadzenia Generalnego IAU w Rio de Janeiro w 2009 r. druga realizacja Międzynarodowego Niebieskiego Układu Odniesienia ICRF2 zastąpiła od 1 stycznia 2010 r. ICRF jako fundamentalna astrometryczna realizacja ICRS. ICRF2 jest zdefiniowany poprzez precyzyjnie wyznaczone pozycje 3414 zwartych astronomicznych radioźródeł. Jego poziom szumów nie przekracza $40 \mu\text{as}$, zaś stabilność jego osi kształtuje się na poziomie $10 \mu\text{as}$. Dopasowania ICRF2 do ICRS dokonano przy użyciu 138 stabilnych radioźródeł, wspólnych dla ICRF2 i ICRF-Ext2. ICRF2 będzie utrzymywany przy wykorzystaniu 295 nowych definiujących radioźródeł wybranych w oparciu o kryterium stabilności oraz braku rozwiniętej wewnętrznej struktury źródła. Stabilność wspomnianych 295 definiujących radioźródeł oraz ich bardziej równomierny rozkład na sferze niebieskiej eliminują dwie najpoważniejsze słabości ICRF.

Ziemski system odniesienia jest systemem przestrzennym obracającym się wraz z Ziemią. W systemie tym pozycje punktów związanych z powierzchnią Ziemi są określone przez współrzędne, które podlegają jedynie małym zmianom w czasie spowodowanym przez efekty geofizyczne (ruchy tektoniczne, deformacje płynowe). Realizacją ziemskiego systemu odniesienia jest ziemski układ odniesienia określony przez zbiór punktów o precyzyjnie wyznaczonych współrzędnych oraz ich zmianach w czasie, w ziemskim systemie odniesienia.

Konwencjonalny Ziemska System Odniesienia (CTRS) został zdefiniowany w Rezolucji 2 XX Zgromadzenia Generalnego IUGG (Wiedeń, 1991). Zgodnie z przyjętą rezolucją CTRS jest quasi-kartezjańskim systemem zdefiniowanym przez przestrzenny obrót względem nieobracającego się systemu geocentrycznego (*GCRS* — zdefiniowany przez IAU). Czasem współrzędnych CTRS jest *TCG* — czas współrzędnych *GCRS*. Początkiem CTRS jest środek mas Ziemi określony z uwzględnieniem oceanów i atmosfery. CTRS jest systemem kinematycznym nie podlegającym globalnemu, residualnemu obrotowi względem ruchów poziomych na powierzchni Ziemi.

Geocentryczny Ziemska System Odniesienia (GTRS) stanowi uściślenie CTRS, a jednocześnie dopasowanie ziemskiego systemu odniesienia do jednolitego formalizmu użytego do zdefiniowania niebieskich systemów odniesienia. GTRS został zatwierdzony w Rezolucji 2 XXIV Zgromadzenia Generalnego IUGG (Perugia, 2007) jako system czasoprzeszczenny zdefiniowany w zgodności Rezolucją B1.3 Zgromadzenia Generalnego IAU w 2000 r.

Międzynarodowy Ziemska System Odniesienia (ITRS) jest określony przez zbiór zaleceń i ustaleń wraz z opisem modeli niezbędnych do zdefiniowania początku, skali, orientacji i zmienności w czasie CTRS monitorowanego przez IERS. Jest to system geocentryczny, którego jednostką długości jest metr (SI). W myśl postanowień IUGG i IAU (1991) skala ITRS jest spójna z czasem współrzędnych geocentrycznych TCG. Orientacja ITRS została początkowo zdefiniowana przez orientację BIH 1984.0, zaś jej zmienność w czasie jest określona poprzez zastosowanie warunku, iż globalna suma poziomych ruchów tektonicznych nie zawiera składowych obrotu. Zgodnie z Rezolucją 2 Zgromadzenia Generalnego IUGG (Perugia, 2007) ITRS jest zdefiniowany jako szczególny Geocentryczny Ziemska System Odniesienia (GTRS), którego orientacja jest operacyjnie utrzymywana w ciągłości z poprzednimi uzgodnieniami międzynarodowymi (orientacja BIH) oraz przyjęty jako preferowany GTRS do zastosowań naukowych i praktycznych. Praktycznymi realizacjami ITRS są międzynarodowe ziemskie układy odniesienia ITRF. Poszczególne rozwiązania ITRF (ITRF88, ITRF89, ... ITRF96, ITRF97, ITRF2000, ITRF2005 i ITRF2008) są opracowywane przez ośrodki obliczeniowe IERS w oparciu o obserwacje VLBI, LLR, SLR, GPS i DORIS. Każde kolejne rozwiązanie ITRF zawiera pozycje i prędkości stacji obserwacyjnych oraz pełną macierz kowariancji. Rozwój sieci ITRF w okresie ostatnich kilkunastu lat (5-krotny wzrost liczby stacji obserwacyjnych i poprawa ich przestrzennego rozkładu) oraz poprawa precyzji wyznaczenia pozycji i prędkości stacji dzięki zwiększaniu materiału obserwacyjnego i ulepszaniu strategii i metod opracowania obserwacji powodują znaczącą poprawę w kolejnych rozwiązaniach ITRF. Parametry transformacji pomiędzy układami ITRF są wyznaczane przez IERS i publikowane w IERS Conventions.

Transformacja pomiędzy ziemskim systemem odniesienia (do niego odnoszą się obserwacje) a niebieskim systemem odniesienia (system quasi-inercjalny, w którym podawane są pozycje gwiazd) tradycyjnie jest wykonywana w trzech zasadniczych etapach. W pierwszym etapie **system obserwacyjny** zdefiniowany przez „równik obserwacyjny” i „zerowy południk obserwacyjny” jest przeprowadzany przy pomocy parametrów opisujących ruch bieguna ziemskiego w **system pośredni** zdefiniowany przez „równik pośredni” i „zerowy południk pośredni”. Następnym krokiem jest **obrót** systemu pośredniego wokół osi „równika pośredniego” o kąt reprezentujący obrót Ziemi wokół własnej osi. Obrócony w ten sposób system pośredni staje się geocentrycznym systemem niebieskim, do którego odnoszą się tzw. miejsca pozorne. W ostatnim kroku system pośredni (a dokładniej utworzony w poprzednim kroku geocentryczny system niebieski) jest przeprowadzany w **system quasi-inercjalny** przy pomocy parametrów opisujących precesję i nutację. W transformacji są uwzględniane dodatkowo efekty aberracji i paralaksy, ruch własny gwiazd i efekty relatywistyczne.

Do 1980 roku rolę „równika obserwacyjnego” odgrywał równik tzw. międzynarodowego średniego bieguna północnego Ziemi *CIO** zdefiniowanego przez szerokości astronomiczne 5 obserwatoriów uczestniczących w Międzynarodowej Służbie Szerokości ILS, umieszczonych na równoleżniku $39^{\circ}09'$, zaś „zerowemu południkowi obserwacyjnemu” odpowiadał średni południk Greenwich zdefiniowany przez długości astronomiczne około 50 obserwatoriów uczestniczących w programie BIH. Tak zdefiniowany równik *CIO** i „zerowy południk obserwacyjny” okrełyły kierunki osi konwencjonalnego systemu ziemskiego *CTS* (od 1967 roku — *GRS67*). „Równikowi pośredniemu” odpowiadał równik chwilowy, którego oś stanowiła chwilowa oś obrotu Ziemi, zaś chwilowy południk Greenwich służył jako „zerowy południk pośredni”. Parametry ruchu bieguna wykorzystywane do przeprowadzenia bieguna *CIO** w biegun chwilowy były dostarczane przez Międzynarodową Służbę Ruchu Bieguna IPMS (poprzedniczkę IERS). Obrót systemu pośredniego odbywał się wokół chwilowej osi obrotu Ziemi o kąt równy prawdziwemu czasowi gwiazdowemu Greenwich *GST* (lub *GAST*) będącemu nielinową funkcją *UT1*. Przeprowadzał on system ziemski w system niebieski, w którym była wyrażona pozycja pozorna i, po usunięciu wpływu aberracji rocznej i paralaksy rocznej, tzw. pozycja prawdziwa (barycentryczna). Uwzględnienie następnie nutacji prowadziło do transformacji do systemu niebieskiego, w którym była wyrażona tzw. pozycja średnia na epokę obserwacji,

zaś uwzględnienie precesji wiązało się z kolejną transformacją systemu niebieskiego z epoki obserwacji do epoki katalogu fundamentalnego (FK4, a od 1984 r. FK5).

Opisana powyżej procedura transformacji systemu ziemskiego do niebieskiego uległa zasadniczym zmianom na skutek postępu w monitorowaniu ruchu obrotowego Ziemi oraz rozwoju teorii opisujących zjawiska precesji (model IAU1976) i nutacji (teoria nutacji IAU1980), odnoszących się do Niebieskiego Bieguna Efemerydalnego *CEP*. *CEP* został zdefiniowany jako biegun pośredniego systemu odniesienia (pomiędzy systemem ziemskim i niebieskim), który rozdziela ruch bieguna ziemskiego systemu odniesienia na dwie części. Część niebieska dotyczyła ruchu *CEP* względem niebieskiego systemu odniesienia z uwzględnieniem wszystkich wyrazów długookresowych (precesja/nutacja wymuszona) i zawierała wyrazy o okresach dłuższych od 2 dób (tj. o częstotliwościach pomiędzy -0.5 i $+0.5$ cykli na dobę gwiazdową). Część ziemska dotyczyła ruchu *CEP* względem ziemskiego systemu odniesienia z uwzględnieniem wszystkich wyrazów długookresowych (ruch bieguna) i zawierała wyrazy o okresach dłuższych od 2 dób (tj. o częstotliwościach pomiędzy -0.5 i $+0.5$ cykli na dobę gwiazdową). Podobnie jak poprzednio rolę „równika obserwacyjnego” oraz „zerowego południka obserwacyjnego” odgrywały odpowiednio równik *CIO** i średni południk Greenwich BIH konwencjonalnego systemu ziemskiego. Miejsce chwilowego równika jako „równika pośredniego” zajął odpowiednio równik określony przez bliski chwilowemu biegunowi Ziemi *IRP* Niebieski Biegun Efemerydalny *CEP*, którego parametry położenia względem bieguna konwencjonalnego systemu ziemskiego początkowo były dostarczane przez IPMS, a następnie od 1988 roku przez IERS. Miejsce chwilowego południka Greenwich jako „zerowego południka pośredniego” zajął chwilowy południk określony poprzez uwzględnienie poprawki z tytułu ruchu bieguna do południka Greenwich BIH konwencjonalnego systemu ziemskiego GRS80. Obrót systemu pośredniego odbywał się wokół osi *CEP* albo o kąt równy *GST* w odniesieniu do punktu równonocy wiosennej, albo o kąt równy tzw. Kątowi Obrotu Ziemi *ERA* występującemu również pod nazwą kąta gwiazdowego (w odniesieniu do Niebieskiego Efemerydalnego Punktu Początkowego *CEO* — nieobracającego się punktu początkowego na równiku *CEP* — odpowiednika punktu równonocy wiosennej jako punktu początkowego, od którego liczona jest rektascensja). Obrót ten przeprowadzał pośredni system ziemski w system niebieski. Podobnie jak w procedurze sprzed 1980 roku, po usunięciu wpływu aberracji rocznej i paralaksy rocznej, uwzględnienie nutacji i precesji, według jednak bardziej dokładnych teorii dopasowanych do definicji *CEP*, a także ruchu własnego i efektów relatywistycznych przeprowadzało kolejno system pośredni w system niebieski na epokę obserwacji, a następnie na epokę katalogu.

Kolejne zmiany w procedurze transformacji systemu ziemskiego do niebieskiego zaszły w wyniku dalszego wzrostu dokładności teorii do poziomu μas , jaki nastąpił w latach 1990–1999 oraz rosnących wymagań dokładnościowych. Definicja *CEP* przestała być spójna z precyzją i rozdzielczością przestrzenną współczesnych technik obserwacyjnych, a także z dokładnością teorii i częstotliwością włączonych w nie wyrazów. Pełniejsze wykorzystanie opracowanej przez Guinot koncepcji kinematycznie zdefiniowanego punktu nazwanego Nieobracającym się Punktem Początkowym *NRO* posłużyło do sformułowania bardziej rozwiniętej definicji *CEP* — Pośredniego Bieguna Niebieskiego *CIP* oraz *CEO*, a także zdefiniowania punktu początkowego dla długości w systemie ziemskim, któremu nadano nazwę Ziemsiego Efemerydalnego Punktu Początkowego *TEO*. Opracowano również spójną z tymi definicjami nową łączną teorię precesyjno–nutacyjną IAU2000, definicję *CIP* oraz definicję parametrów opisujących ruch bieguna. Parametry ruchu bieguna dają się obecnie wyznaczać z dokładnością lepszą od milisekundy łuku na podstawie kilkugodzinnych obserwacji GPS i VLBI. Jednocześnie wyrazy o okresach dobowych i sub–dobowych występujące zarówno w opisie nutacji jak i ruchu bieguna dają się wyznaczyć z dokładnością mikrosekund łuku. Aby sprostać wysokim wymaganiom dokładnościowym dotychczas stosowany w modelowaniu matematycznym rozdział zjawiskowy pomiędzy nutacją swobodną i wymuszoną został zastąpiony rozdziałem uwzględniającym charakterystykę częstotliwościową oddzielnych składowych tych efektów. Zgodnie z Rezolucją B1.7 IAU (Manchester, 2000) Pośredni Biegun Niebieski *CIP* rozdziela ruch bieguna ziemskiego systemu odniesienia w niebieskim systemie odniesienia na dwie części, z których jedna w postaci modelu matematycznego zawiera wyrazy precesyjne oraz część wyrazów nutacji wymuszonej, druga zaś wyrazy nutacji swobodnej, wyznaczane przez IERS jako parametry ruchu bieguna, efekty pływów oceanicznych oraz pozostałe wyrazy nutacji wymuszonej. Część zawierająca wszystkie wyrazy o okresach dłuższych od 2 dób (tj. o częstotliwościach pomiędzy -0.5 i $+0.5$ cykli na dobę gwiazdową) została określona jako precesja/nutacja, czyli ruch *CIP* względem systemu niebieskiego *GCRS*. Część zaś zawierająca wszystkie wyrazy ruchu wstecznego spoza pasma dobowego (tj. o częstotliwościach mniejszych od -1.5 i większych od -0.5 cykli na dobę gwiazdową) została określona jako ruch bieguna, czyli ruch *CIP* względem systemu ziemskiego *ITRS*.

Od 1 stycznia 2003 roku, na mocy Rezolucji B1.7 IAU (Manchester, 2000), obowiązuje nowa procedura transformacji systemu ziemskiego w system niebieski. Jako „równik obserwacyjny” przyjmuje się równik *ITRS*, zaś południk zerowy *ITRS* odgrywa rolę „zerowego południka obserwacyjnego”. Biegunem systemu pośredniego *IRS* jest Pośredni Biegun Niebieski

CIP, którego parametry położenia względem bieguna *ITRS* są obliczane w oparciu o dane dostarczane przez IERS. Transformacja *ITRS* do *IRS_{ZIEMSKI}* określa położenie *TEO* (dokładna realizacja chwilowego zerowego południka pośredniego) na równiku *CIP* zgodnie z kinematyczną definicją *NRO* w *ITRS* gdy *CIP* porusza się względem *ITRS* pod wpływem ruchu bieguna. Obrót systemu pośredniego *IRS* odbywa się wokół osi *CIP* o kąt równy **Kątowi Obrotu Ziemi (ERA)** będącemu liniową funkcją *UT1* i przeprowadza system *IRS_{ZIEMSKI}* w system *IRS_{NEBIESKI}*, w którym jest określone miejsce pozorne. Uwzględnienie precesji/nutacji według teorii IAU2000 przeprowadza ten system do Geocentrycznego Niebieskiego Systemu Odniesienia *GCRS*. Dodatkowo z *GCRS* do Barycentrycznego Niebieskiego Systemu Odniesienia *BCRS* przechodzi się przez zastosowanie post-newtonowskiej transformacji współrzędnych narzuconej przez formę odpowiednich tensorów metrycznych obu systemów (Rezolucja B1.3 IAU, 2000).

Na mocy Rezolucji 1 Zgromadzenia Generalnego IAU (Praga, 2006) dokonano kolejnej modyfikacji procedury transformacji systemu ziemskiego w system niebieski. Polega ona na zastąpieniu części precesyjnej modelu precesyjno–nutacyjnego IAU2000 teorią precesyjną P03. Zmodyfikowana procedura transformacji obowiązuje od 1 stycznia 2009 r. Z kolei, na mocy Rezolucji 2 IAU (Praga, 2006) terminy *CEO* i *TEO* zostały zastąpione odpowiednio przez *CIO* — Niebieski Pośredni Punkt Początkowy i *TIO* — Ziemska Pośrednia Punkt Początkowa.

Zależność pomiędzy wektorem jednostkowym \mathbf{e}_{ITRS} w *ITRS* i jego obrazem \mathbf{e}_{GCRS} w *GCRS* wyraża się przez transformację

$$\mathbf{e}_{GCRS} = Q(t) R(t) W(t) \mathbf{e}_{ITRS} \quad (19)$$

gdzie $W(t)$, $R(t)$ i $Q(t)$ są macierzami transformacji wyrażającymi odpowiednio ruch *CIP* względem systemu ziemskiego *ITRS*, obrót systemu pośredniego *IRS* wokół osi *CIP* oraz ruch *CIP* względem systemu niebieskiego *GCRS*. Parametr czasowy t jest zdefiniowany następująco:

$$t = (JD(TT) - 2000 \text{ styczeń } 1^d 12^h TT) \text{ dób} / 36\,525 \quad (20)$$

zgodnie z Rezolucją C7 IAU (Haga, 1994), która zaleciła aby epoka J2000.0 była zdefiniowana w środku mas Ziemi i aby 2000 styczeń $1^d 12^h TT = JD 2\,451\,545.0 TT$.

Macierze transformacji pomiędzy systemami ziemskim i niebieskim dają się wyrazić w funkcji macierzy obrotowych $R_1(\xi_1)$, $R_2(\xi_2)$ i $R_3(\xi_3)$ reprezentujących obroty odpowiednio wokół osi x , y i z układu o kąty ξ_1 , ξ_2 , ξ_3 dodatnie w kierunku przeciwnym do ruchu wskazówek zegara w przypadku stosowania układów prawoskrętnych. I tak

$$R_1(\xi_1) = \begin{pmatrix} 1 & 0 & 0 \\ 0 & \cos \xi_1 & \sin \xi_1 \\ 0 & -\sin \xi_1 & \cos \xi_1 \end{pmatrix} \quad R_2(\xi_2) = \begin{pmatrix} \cos \xi_2 & 0 & -\sin \xi_2 \\ 0 & 1 & 0 \\ \sin \xi_2 & 0 & \cos \xi_2 \end{pmatrix} \quad R_3(\xi_3) = \begin{pmatrix} \cos \xi_3 & \sin \xi_3 & 0 \\ -\sin \xi_3 & \cos \xi_3 & 0 \\ 0 & 0 & 1 \end{pmatrix} \quad (21)$$

Macierz $W(t)$ ma postać

$$W(t) = R_3(-s') R_2(x_p) R_1(y_p) \quad (22)$$

gdzie x_p i y_p są współrzędnymi *CIP* w *ITRS* na epokę t i są zdefiniowane jako

$$(x_p, y_p) = (x_{IERS}, y_{IERS}) + (\Delta x, \Delta y)_{\text{tidal}} + (\Delta x, \Delta y)_{\text{nutation}} \quad (23)$$

przy czym (x_{IERS}, y_{IERS}) są współrzędnymi bieguna dostarczanymi przez IERS (dostępne w biuletynach IERS), $(\Delta x, \Delta y)_{\text{tidal}}$ są składowymi płynowymi wynikającymi z płynów oceanicznych, zaś $(\Delta x, \Delta y)_{\text{nutation}}$ są wyłączonymi z modelu precesyjno–nutacyjnego IAU2006 składowymi nutacji wymuszanej. Poprawki $(\Delta x, \Delta y)_{\text{tidal}}$ z tytułu dobowych i sub-dobowych efektów ruchu bieguna wywołanych płynami oceanicznymi można obliczyć korzystając z procedury dostępnej na stronach internetowych IERS (<http://www.iers.org>). Wielkości $(\Delta x, \Delta y)_{\text{nutation}}$ reprezentujące dobowe i sub-dobowe wyrazy nutacyjne w ruchu bieguna można obliczyć korzystając z parametrów podanych w tablicy 5.1 IERS Conventions 2003. Wielkość s' określa spowodowaną przez ruch *CIP* względem *ITRS* zmianę pozycji *TIO* na równiku *CIP* zgodnie z wyrażeniem

$$s'(t) = \frac{1}{2} \int_{t_0}^t (x_p \dot{y}_p - \dot{x}_p y_p) dt \quad (24)$$

Ponieważ wielkość s' jest bardzo mała (rzędu 0.1 mas/stulecie) można ją wyznaczyć z przybliżonego wzoru

$$s'(t) = -0.0015 (a_c^2/1.2 + a_a^2) t \quad (25)$$

gdzie a_c i a_a są średnimi amplitudami (w sekundach łuku) odpowiednio ruchu Chandlера i rocznego w badanym okresie od t_0 do t , przy czym t jest wyrażone w stuleciach juliańskich. Korzystając z aktualnych, średnich amplitud ruchów Chandlера i rocznego $s' = -47 \mu\text{as} \times t$.

Macierz $R(t)$ ma postać

$$R(t) = R_3(-\theta) \quad (26)$$

gdzie θ jest Kątem Obrotu Ziemi ERA, który oblicza się w oparciu o UTC (wyznaczone z TT) oraz dostarczanych przez IERS poprawek $[UT1 - UTC]_{\text{IERS}}$ jako liniowa funkcja $UT1$

$$\theta(T_u) = 2\pi (0.779\,057\,273\,264\,0 + 1.002\,737\,811\,911\,354\,48 T_u) \quad (27)$$

gdzie

$$T_u = JD(UT1) - 2\,451\,545.0 \quad (28)$$

oraz

$$UT1 = UTC + [UT1 - UTC]_{\text{IERS}} \quad (29)$$

Macierz $Q(t)$ ma postać

$$Q(t) = R_3(-E)R_2(-d)R_3(E)R_3(s) \quad (30)$$

gdzie E i d są współrzędnymi sferycznymi CIP w GCRS. Składowe wektora jednostkowego CIP w GCRS, w układzie kartezjańskim mają postać

$$\begin{aligned} X &= \sin d \cos E \\ Y &= \sin d \sin E \\ Z &= \cos d \end{aligned} \quad (31)$$

Parametr s jest wielkością określającą zmianę w czasie położenia CIO na równiku CIP spowodowaną przez ruch CIP względem GCRS. Z zachowaniem dokładności na poziomie 1 μas parametr ten wyraża się wzorem

$$s(t) = -\frac{1}{2}[X(t)Y(t) - X(t_0)Y(t_0)] + \int_{t_0}^t \dot{X}(t)Y(t)dt - ([\sigma_0 N_0] - [\Sigma_0 N_0]) \quad (32)$$

gdzie $t_0 = \text{J2000.0}$

W celu zapewnienia ciągłości 1 stycznia 2003 roku z obliczeniami wykonywanymi w oparciu o poprzednie procedury precesyjno-nutacyjne, dla stałej $s_0 = [\sigma_0 N_0] - [\Sigma_0 N_0]$ przyjmuje się wartość $+94 \mu\text{as}$ ($[\sigma_0 N_0]$ odpowiada kątowi pomiędzy σ_0 — pozycją CIO na równiku CIP na epokę J2000.0 i N_0 — węzłem wstępującym równika CIP w równik GCRS na epokę J2000.0, zaś $[\Sigma_0 N_0]$ odpowiada kątowi pomiędzy Σ_0 — kierunkiem osi x , czyli początkiem liczenia rektascensji na równiku GCRS i N_0). Wartość stałej s_0 nie ulega zmianie przy przejściu od modelu precesyjno-nutacyjnego IAU2000 do modelu IAU2006.

Macierz $Q(t)$ można przedstawić w funkcji współrzędnych X , Y CIP w GCRS w postaci

$$Q(t) = \begin{pmatrix} 1 - aX^2 & -aXY & X \\ -aXY & 1 - aY^2 & Y \\ -X & -Y & 1 - a(X^2 + Y^2) \end{pmatrix} R_3(s) \quad (33)$$

gdzie $a = 1/(1 + \cos d)$ lub z dokładnością 1 μas $a = \frac{1}{2} + \frac{1}{8}(X^2 + Y^2)$.

Współrzędne X , Y CIP w GCRS oparte na modelu precesyjno-nutacyjnym IAU2006 są obliczane ze wzorów:

$$\begin{aligned} X &= -0.^{\prime\prime}016\,617 + 2004.^{\prime\prime}191\,898 t - 0.^{\prime\prime}429\,782\,9 t^2 - 0.^{\prime\prime}198\,618\,34 t^3 + 0.^{\prime\prime}000\,007\,578 t^4 + 0.^{\prime\prime}000\,005\,928\,5 t^5 \\ &+ \sum_{i,k} [(A_{ls})_{i,k} \sin(ARG) t^k + (A'_{ls})_{i,k} \cos(ARG) t^k] \\ &+ \sum_{i,k} [(A_{pl})_{i,k} \sin(ARG) t^k + (A'_{pl})_{i,k} \cos(ARG) t^k] \end{aligned} \quad (34)$$

$$\begin{aligned} Y &= -0.^{\prime\prime}006\,951 - 0.^{\prime\prime}025\,896 t - 22.^{\prime\prime}407\,274\,7 t^2 + 0.^{\prime\prime}001\,900\,59 t^3 + 0.^{\prime\prime}001\,112\,526 t^4 + 0.^{\prime\prime}000\,000\,135\,8 t^5 \\ &+ \sum_{i,k} [(B_{ls})_{i,k} \sin(ARG) t^k + (B'_{ls})_{i,k} \cos(ARG) t^k] \\ &+ \sum_{i,k} [(B_{pl})_{i,k} \sin(ARG) t^k + (B'_{pl})_{i,k} \cos(ARG) t^k] \end{aligned} \quad (35)$$

gdzie parametr t jest określony wzorem (20), a ARG jest funkcją fundamentalnych argumentów teorii nutacji (argumenty Delauneya). Dla nutacji księżycowo–słonecznej (ls) ARG jest funkcją liniową 5 zmiennych: średniej anomalii Księżyca l , średniej anomalii Słońca l' , średniej długości Księżyca pomniejszonej o średnią długość węzła wstępującego Księżyca F , średniej elongacji Księżyca ze Słońca D i średniej długości węzła wstępującego Księżyca Ω . Dla nutacji planetarnej (pl) ARG jest funkcją liniową 14 zmiennych, w skład których obok wyżej wymienionych wchodzą dodatkowo długości 8 planet: Merkurego, Wenus, Ziemi, Marsa, Jowisza, Saturna, Urana i Neptuna, a także całkowita precesja w długości. Współczynniki szeregow dla obliczenia współrzędnych X i Y są dostępne na stronie internetowej IERS Convention Centre na <ftp://maia.usno.navy.mil/conv2000/chapter5/>. Do dnia wydania Rocznika na stronach IERS były dostępne współczynniki rozwinięcia tylko dla modelu precesyjno–nutacyjnego IAU2000.

Na podstawie porównań z obserwacjami VLBI, dokładność współrzędnych X , Y otrzymywanych z modelu IAU2000 jest szacowana na około 0.2 mas. Międzynarodowa Służba Ruchu Obrotowego Ziemi i Systemów Odniesienia (IERS) publikuje więc na bieżąco, wynikające z obserwacji, poprawki δX , δY (dane EOP C04 dostępne na stronach internetowych IERS (<ftp://ftp.iers.org/products/eop/long-term/>)). Poprawki te zawierają m.in. nieuwzględniany w modelu precesyjno–nutacyjnym wpływ tzw. nutacji swobodnej jądra Ziemi. Do dnia wydania Rocznika publikowane przez IERS poprawki odnosili się do modelu IAU2000A.

Położenie bieguna CIP , uwzględniające poprawki δX , δY wyraża się wzorami:

$$\tilde{X} = X + \delta X, \quad \tilde{Y} = Y + \delta Y \quad (36)$$

co jest równoważne zastąpieniu macierzy precesyjno–nutacyjnej Q przez macierz obrotu \tilde{Q}

$$\tilde{Q} = \begin{pmatrix} 1 & 0 & \delta X \\ 0 & 1 & \delta Y \\ -\delta X & -\delta Y & 1 \end{pmatrix} Q \quad (37)$$

Przy dokładnych obliczeniach miejsc pozornych obiektów niebieskich należy uwzględniać poprawki relatywistyczne z tytułu opóźnienia propagacji światła w polu grawitacyjnym Słońca oraz z tytułu grawitacyjnego zakrzywienia światła. Oznaczając przez \mathbf{E}_B , \mathbf{Q}_B i \mathbf{S}_B barycentryczne wektory wodzące (ICRS), odpowiednio Ziemi (E), obiektu niebieskiego (Q) i Słońca (S), heliocentryczne wektory wodzące Ziemi i obiektu Q można zapisać jako

$$\mathbf{E} = \mathbf{E}_B(t) - \mathbf{S}_B(t) \quad \mathbf{Q} = \mathbf{Q}_B(t - \Delta t_{lt}) - \mathbf{S}_B(t - \Delta t_{lt}) \quad (38)$$

zaś geocentryczny wektor wodzący obiektu Q ma postać

$$\mathbf{P} = \mathbf{Q}_B(t - \Delta t_{lt}) - \mathbf{E}_B(t) \quad (39)$$

gdzie Δt_{lt} jest poprawką do czasu z tytułu czasu propagacji światła (light time). Poprawkę tę oblicza się ze wzoru

$$\Delta t_{lt} = \frac{P}{c} + \frac{2GM_S}{c^3} \ln \frac{(E + P + Q)}{(E - P + Q)} \quad (40)$$

gdzie $E = |\mathbf{E}|$, $Q = |\mathbf{Q}|$ oraz $P = |\mathbf{P}|$, c jest prędkością światła, a GM_S — heliocentryczną stałą grawitacyjną. Poprawkę tę można obliczyć z mniejszą dokładnością z uproszczonego wzoru

$$\Delta t_{lt} = \frac{R}{\pi c} \quad (41)$$

gdzie R — oznacza promień orbity Ziemi (przybliżenie P), a π — paralaksę roczną obiektu Q.

Oznaczając przez \mathbf{e}^E , \mathbf{e}^Q i \mathbf{e}^P odpowiednio wektory jednostkowe o kierunkach wektorów \mathbf{E} , \mathbf{Q} i \mathbf{P} , tj. $\mathbf{e}^E = \mathbf{E}/E$, $\mathbf{e}^Q = \mathbf{Q}/Q$ i $\mathbf{e}^P = \mathbf{P}/P$, efekt grawitacyjnego zakrzywienia światła wyraża się w postaci poprawki $\Delta \mathbf{e}^P$ do geocentrycznego wektora jednostkowego \mathbf{e}^P obiektu Q następująco:

$$\Delta \mathbf{e}^P = \frac{2GM_S}{c^2 E} \cdot \frac{(\mathbf{e}^P \cdot \mathbf{e}^Q)\mathbf{e}^E - (\mathbf{e}^E \cdot \mathbf{e}^P)\mathbf{e}^Q}{1 + (\mathbf{e}^E \cdot \mathbf{e}^Q)} \quad (42)$$

BCRS

Pozycja “średnia barycentryczna”: α, δ w **ICRF/Hipparcos**
 $T_{0,TCB}$

ruch własny

Pozycja “średnia barycentryczna”: α, δ w **BCRF**
 T_{TCB}

czas propagacji światła

grawitacyjne zakrzywienie światła

aberracja roczna

paralaksa roczna

TCB - TCG

$GCRS \leftrightarrow BCRS$
transformacja Lorentza

GCRS

Pozycja “średnia geocentryczna”: α, δ w **GCRF**
 T_{TCG}

precesja/nutacja IAU2006

$IRS_{NIEBIESKI} \leftrightarrow GCRS$

Pozycja pozorna: α, δ w **IRS_{NIEBIESKI}** (odniesiona do **CIP** i **CIO**)
 T_{TCG}

ruch obrotowy Ziemi (ERA)

$IRS_{ZIEMSKI} \leftrightarrow IRS_{NIEBIESKI}$

TCG - TT

ruch bieguna (x_p, y_p)

$ITRS \leftrightarrow IRS_{ZIEMSKI}$

ITRS

Pozycja geocentryczna w układzie **ITRF**
 T_{TT}

paralaksa dobowa

aberracja dobowa

refrakcja

efekty lokalne

TT - TAI

UTC - TAI

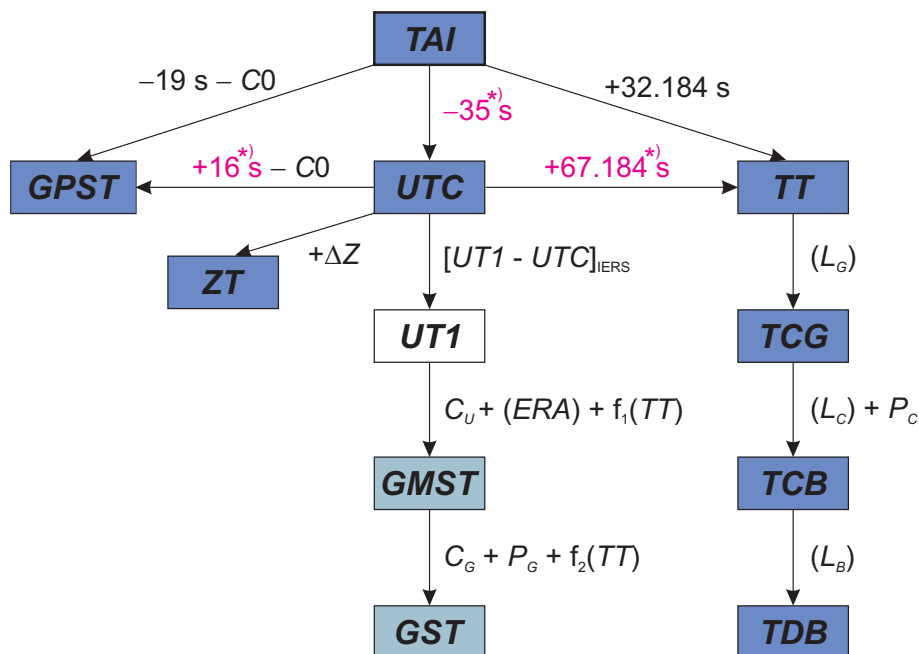
$LTRS \leftrightarrow ITRS$

Pozycja topocentryczna w lokalnym ziemskim układzie odniesienia **LTRF**
 T_{UTC}

Rys. 1 Schemat procesu transformacji od systemów niebieskich do ziemskich

2. SYSTEMY CZASU

Do praktycznego pomiaru czasu są wykorzystywane zjawiska przebiegające okresowo. Odstępy czasu są wyrażane liczbą zawartych w nich okresów przyjętego za wzorzec czasu zjawiska. Do połowy XX wieku podstawą pomiaru czasu był ruch obrotowy Ziemi. Czas astronomiczny oparty o ruch obrotowy Ziemi nosi nazwę **czasu obrotowego**. Szczególnymi rodzajami czasu obrotowego są czas słoneczny, dla którego „zegarem” jest ruch obrotowy Ziemi względem Słońca, odmierzany kątem godzinnym Słońca oraz czas gwiazdowy, dla którego „zegarem” jest ruch obrotowy Ziemi względem punktu równonocy wiosennej, odmierzany kątem godzinnym punktu równonocy wiosennej. W zadanym momencie czas obrotowy w dwóch różnych punktach na powierzchni Ziemi jest różny — z wyjątkiem sytuacji gdy punkty te leżą na tym samym południku geograficznym⁷⁾. Różnica czasu obrotowego w dwóch punktach na Ziemi odpowiada różnicy długości geograficznej tych punktów. Za podstawową jednostkę czasu obrotowego przyjęto sekundę średniego czasu słonecznego, zdefiniowaną jako $1/86\,400$ części średniej doby słonecznej. Skala czasu obrotowego jest niejednostajna. W 1954 roku X Generalna Konferencja Wag i Miar (Conférence Général des Poids et Mesures) zdefiniowała jako podstawę pomiaru czasu bardziej jednostajną astronomiczną skalę czasu — **czasu newtonowskiego** (czasu fizycznego) opartego na ruchu orbitalnym Ziemi wokół Słońca. Ruch orbitalny Ziemi został opisany w Tablicach Słońca Newcomba, które zawierają model matematyczny pozornego ruchu Słońca na epokę 1900.0, opracowany na podstawie obserwacji astronomicznych z XVIII i XIX wieku. Czas ten nazwano Czasem Efemeryd (ET) i za jego jednostkę wynikającą z długości okresu obiegu Ziemi wokół Słońca na epokę 1900.0 przyjęto tzw. sekundę efemerydalną. Definicja ta została ratyfikowana przez XI Generalną Konferencję Wag i Miar w 1960 roku.



Rys. 2 Współcześnie stosowane skale czasu i ich wzajemne relacje

^{*)} Wartości obowiązujące w okresie od 1 lipca 2012 do co najmniej 30 czerwca 2015.

Jednostka czasu oparta na wzorcu astronomicznym wkrótce przestała zadowalać rosnące potrzeby fizyki i techniki. Wzorcem doskonalszym od astronomicznego, pod względem jednostajności skali czasowej, okazał się wzorzec atomowy. W 1971 roku za podstawę pomiaru czasu na Ziemi przyjęto zdefiniowaną na 59–ej sesji Międzynarodowego Komitetu Miar (1970) i zaaprobowaną przez XIV Generalną Konferencję Wag i Miar (1971) skalę Międzynarodowego Czasu Atomowego (TAI).

Międzynarodowy Czas Atomowy (TAI lub IAT) (*Temps Atomique International lub International Atomic Time*) jako najbardziej jednostajny stanowi podstawę współczesnych skali czasu. TAI jest czasem opartym na wzorcu atomowym (nie związanym z ruchem Ziemi) i jest odmierzany przez zsynchronizowane zegary atomowe rozmieszczone w laboratoriach na całym świecie. Skala czasu TAI jest wypadkową wskazań tych zegarów. Wzorce atomowe wykorzystują zjawisko przejść kwantowych między poziomami energetycznymi atomów lub cząsteczek. Uchwała XIII Generalnej Konferencji Wag i Miar z

⁷⁾ Przez pojęcie południka geograficznego, długości oraz szerokości geograficznej rozumie się południk astronomiczny oraz odpowiednie współrzędne astronomiczne — w odróżnieniu od południka geodezyjnego oraz długości i szerokości geodezyjnej.

1967 roku zdefiniowała sekundę czasu atomowego i uznała ją za podstawową jednostkę czasu w międzynarodowym systemie jednostek SI. Na mocy definicji jest ona „trwaniem 9 192 631 770 okresów odpowiadających rezonansowej częstotliwości przejścia pomiędzy dwoma nadsubtelnymi ($F=4$, $M=0$) i ($F=3$, $M=0$) poziomami stanu podstawowego $2S\frac{1}{2}$ atomu cezu 133”. Interwał czasu odpowiadający tak zdefiniowanej sekundzie czasu atomowego jest równy sekundzie efemerydalnej. Czas atomowy został zatem wyskalowany do związanego z epoką 1900.0 czasu astronomicznego efemerydalnego.

Niezależne od TAI skale czasu atomowego są tworzone dla potrzeb systemów globalnej nawigacji satelitarnej. Wśród nich najpowszechniej używaną jest skala czasu GPS.

Czas GPS (GPST) (GPS Time) jest czasem atomowym używanym w systemie globalnej nawigacji satelitarnej GPS. Podstawą skali czasu GPS są atomowe zegary pokładowe umieszczone na satelitach GPS, zegary atomowe znajdujące się w ośrodkach sterowania systemem GPS oraz zegary atomowe US Naval Observatory. Skala czasu GPS jest bardzo zbliżona do skali czasu TAI i zsynchronizowana ze skalą UTC na epokę 1980 styczeń $6^d 0^h UTC$. Związek pomiędzy Międzynarodowym Czasem Atomowym a czasem GPS jest następujący:

$$TAI - GPST = 19^s + C0 \quad (43)$$

gdzie 19 s jest stałą różnicą między TAI i UTC na epokę 1980 styczeń $6^d 0^h UTC$, a $C0$ zmienną w czasie poprawką rzędu 10 ns wynikającą z korzystania w obu systemach z różnych zegarów atomowych.

Błędy realizowania skali czasu TAI wynikające z niedoskonałości zegarów atomowych nie zawsze są zaniedbywalne. Uznano zatem za konieczne zdefiniowanie idealnej formy TAI , którą po uwzględnieniu przesunięcia 32.184 s realizuje tzw. Czas Ziemska (TT).

Czas Ziemska (TT) (Terrestrial Time lub Temps Terrestre) został zatwierdzony przez XXI Zgromadzenie Generalne IAU (Buenos Aires, 1991) (Rezolucja A4) jako skala czasu przeznaczona do praktycznego odmierzania czasu na Ziemi, w szczególności jako czas odniesienia dla pozornych, geocentrycznych efemeryd (czas ziemski praktycznie wprowadzony był w 1976 roku jako Ziemska Czas Dynamiczny (TDT), który z dniem 1 stycznia 1977 roku zastąpił Czas Efemeryd (ET)). TT jest zdefiniowany jako skala czasu różniąca się od skali czasu współrzędnych geocentrycznych TCG o współczynnik L_G będący funkcją potencjału siły ciężkości na geoidzie. Z uwagi na niedostateczną dokładność wyznaczenia potencjału siły ciężkości na geoidzie oraz zmienność w czasie pola siły ciężkości Ziemi XXIV Zgromadzenie Generalne IAU (Manchester, 2000) (Rezolucja B1.9) przyjęło stałą wartość współczynnika L_G , określona na podstawie ustalonej wartości potencjału siły ciężkości, i uznalo ją za jedną ze stałych definiujących obowiązujące systemy astronomiczne i geodezyjne.

Związek pomiędzy Międzynarodowym Czasem Atomowym, a Czasem Ziemskim jest następujący:

$$TT - TAI = 32.184 \quad (44)$$

zaś relację pomiędzy Czasem Ziemskim, a czasem współrzędnych geocentrycznych wyraża wzór

$$TCG - TT = L_G \times (JD - 2\,443\,144.5) \times 86\,400 \quad (45)$$

gdzie

$$L_G = 6.969\,290\,134 \times 10^{-10} \quad (46)$$

Wzór (45) gwarantuje zgodność jednostki pomiaru TT z sekundą SI na bardzo bliskiej geoidzie powierzchni ustalonego potencjału siły ciężkości.

Czas współrzędnych geocentrycznych (TCG) (Temps Coordonnée Géocentrique lub Geocentric Coordinate Time), wprowadzony przez XXI Zgromadzenie Generalne IAU (Buenos Aires, 1991) (Rezolucja A4), jest czasem w czterowymiarowej czasoprzestrzeni — Niebieskim Geocentrycznym Systemie Odniesienia (GCRS) (Geocentric Celestial Reference System), który porusza się w przestrzeni wraz z ruchem orbitalnym Ziemi wokół barycentrum Układu Słonecznego, przy czym kierunek osi tego systemu pozostaje niezmienny w odniesieniu do systemu inercjalnego (praktycznie BCRS). Czas ten należy do zdefiniowanej w Rezolucji B1.5 XXIV Zgromadzenia Generalnego IAU (Manchester, 2000) metryki relatywistycznej GCRS. W tej samej rezolucji znajduje się definicja Niebieskiego Barycentrycznego Systemu Odniesienia (BCRS) oraz związanego z nim czasu współrzędnych barycentrycznych.

Czas współrzędnych barycentrycznych (TCB) (*Temps Coordonnée Barycentrique lub Barycentric Coordinate Time*) jest czasem współrzędnych czterowymiarowego Niebieskiego Barycentrycznego Systemu Odniesienia (BCRS) (*Barycentric Celestial Reference System*), który jest traktowany jako system quasi-inercjalny. Czas ten należy do metryki relatywistycznej niebieskiego systemu barycentrycznego. Zależność pomiędzy TCB i TCG jest wyrażona za pomocą pełnej 4-wymiarowej transformacji Lorentza (Rezolucja B1.5). W przybliżeniu (z dokładnością 10^{-14}) można używać wyrażenia

$$TCB - TCG = L_C \times (JD - 2\,443\,144.5) \times 86\,400 + c^{-2} \mathbf{v}_e (\mathbf{x} - \mathbf{x}_e) + P \quad (47)$$

gdzie

$$L_C = 1.480\,826\,867\,41 \times 10^{-8} \pm 2 \times 10^{-17} \quad (48)$$

zaś \mathbf{x}_e i \mathbf{v}_e oznaczają wektory barycentrycznej pozycji i prędkości środka mas Ziemi, \mathbf{x} jest wektorem barycentrycznej pozycji obserwatora, a P przedstawia wyrazy okresowe, których łączna amplituda nie przekracza $1.6\ ms$ (Rezolucja B1.6).

XVI Zgromadzenie Generalne IAU (Grenoble, 1976) wprowadziło, obok skali Ziemskego Czasu Dynamicznego *TDT* również skalę czasu dynamicznego odniesionego do barycentrum Układu Słonecznego. Czas ten nazwano Barycentrycznym Czasem Dynamicznym.

Barycentryczny Czas Dynamiczny (TDB) (*Temps Dynamique Barycentrique lub Barycentric Dynamical Time*) jest czasem atomowym używanym od 1984 roku jako argument efemeryd, np. Księżyca, planet, odniesionych do barycentrum Układu Słonecznego, a także jako argument precesji. TDB może być określony jako argument w algorytmach efemerydalnych DE405/LE405 opracowanych przez JPL (efemerydy planetarne zazwyczaj są wyrażane w funkcji czasu T_{eph} , który jest bardzo zbliżony do TDB). TDB różni się od *TDT* o wyrazy okresowe spowodowane ruchem orbitalnym Ziemi w polu grawitacyjnym Słońca, Księżyca i planet. Różnica ta, zawierająca efekty relatywistyczne, nie przekracza $2\ ms$.

Uznając potrzebę zachowania spójności ze skalą czasu T_{eph} , XXVI Zgromadzenie Generalne IAU (Praga, 2006) (Rezolucja 3) wprowadziło nową definicję *TDB* opartą na *TCB*

$$TDB = TCB - L_B \times (JD_{TCB} - T_0) \times 86\,400 + TDB_0 \quad (49)$$

gdzie

$$L_B = 1.550\,519\,768 \times 10^{-8} \quad T_0 = 2\,443\,144.500\,372\,5 \quad TDB_0 = -6.55 \times 10^{-5} \quad (50)$$

są stałymi definiującymi⁸⁾.

Wzorce atomowe nie dostarczają żadnych charakterystycznych momentów, jakie dawałyby możliwość stworzenia naturalnej skali czasu atomowego. Początek skali czasu atomowego musi być obrany umownie przez nawiązanie do skali o trwałej ciągłości. Aspekt chronologiczny metrologii czasu wymaga zegara wzorcowego, który gwarantowałby pomiary bardzo wielkich interwałów czasu i zapewniał skalę dla zdarzeń bardzo odległych w przeszłości i w przyszłości. Naturalnymi skalami czasu są skale czasu astronomicznego. W szczególności, naturalną skalą czasu jest skala czasu obrotowego słonecznego, do której odnoszą się pojęcia dnia i nocy i z którą wiąże się cykl biologiczny żywych organizmów na Ziemi. W skali czasu słonecznego są wyrażane nie wymagające wysokiej precyzji efemerydy ciał niebieskich.

Czas słoneczny (Solar Time) jest definiowany jako tzw. czas słoneczny prawdziwy lub czas słoneczny średni. Czas słoneczny prawdziwy odmiera się geocentrycznym kątem godzinnym środka tarczy słonecznej, zwiększonym o 12 godzin (modulo 24^h). Czas słoneczny średni mierzy się kątem godzinnym tzw. Słońca średniego, tj. punktu na równiku o rekta-scensji równej średniej długości ekleptycznej Słońca prawdziwego, również zwiększonym o 12 godzin (modulo 24^h). Czas słoneczny, jako czas obrotowy, może być czasem miejscowym lub tzw. czasem Greenwich⁹⁾. Pierwszy jest odmierzany kątem godzinnym odniesionym do południka miejscowego, drugi, odniesionym do południka londyńskiego obserwatorium w Greenwich. Czas słoneczny Greenwich różni się od czasu słonecznego miejscowego o długość geograficzną λ południka miejscowego, która na wschód od Greenwich przybiera wartości dodatnie¹⁰⁾

$$\text{czas słoneczny miejscowy} = \text{czas słoneczny Greenwich} + \lambda \quad (51)$$

⁸⁾ W Rezolucji B2 ZG IAU 2009 wielkość T_0 nie została zaliczona do stałych definiujących.

⁹⁾ Na Konferencji Miedzynarodowej w Washington D.C. w 1884 roku południk przechodzący przez obserwatorium w Greenwich został przyjęty jako południk zerowy dla odliczania długości geograficznej, a także dla odliczania czasu.

¹⁰⁾ Wg uchwały IAU (Patras, 1982), Rezolucja C4.

Czas słoneczny prawdziwy jest to czas jaki daje się bezpośrednio wyznaczyć z obserwacji Słońca. Czas słoneczny średni, jako bardziej zbliżony do jednostajnego, jest stosowany w obliczeniach astronomicznych. Znajduje on również zastosowanie w nawigacji i geodezji.

Zależność między rodzajami czasu słonecznego wyraża się za pomocą tzw. równania czasu

$$\text{czas słoneczny prawdziwy} - \text{czas słoneczny średni} = E \quad (52)$$

gdzie E jest nazywane równaniem czasu¹¹⁾.

Począjąc od 1 stycznia 1925 roku średni czas słoneczny Greenwich (*Greenwich Mean Time — GMT* o początku doby w południe), używany w obliczeniach astronomicznych został zastąpiony tzw. czasem uniwersalnym.

Czas uniwersalny (UT lub TU) (*Universal Time* lub *Temps Universel*) to średni czas słoneczny (odniesiony do ruchu dobowego Słońca średniego) południka geograficznego Greenwich.

W dalszej części objaśnień na stronie 180 zostały przedstawione historyczne odmiany czasu uniwersalnego $UT0$, $UT1$ i $UT2$, z których obecnie stosuje się jedynie skalę czasu $UT1$.

Definicję $UT1$, obowiązującą od 2003 roku, przyjęto na mocy Rezolucji B1.8 XXIV Zgromadzenia Generalnego IAU (Manchester, 2000). Zgodnie z tą rezolucją, i po uwzględnieniu zmian terminologicznych wprowadzonych na mocy Rezolucji 2 XXVI Zgromadzenia Generalnego IAU (Praga, 2006), $UT1$ jest zdefiniowany jako funkcja liniowa Kąta Obrotu Ziemi (ERA , oznaczanego także grecką literą θ), który jest kątem w płaszczyźnie równika CIP pomiędzy wektorami jednostkowymi skierowanymi od osi CIP do Niebieskiego Pośredniego Punktu Początkowego (CIO) i Ziemsiego Pośredniego Punktu Początkowego (TIO)

$$\theta(T_u) = 2\pi (0.779\,057\,273\,264\,0 + 1.002\,737\,811\,911\,354\,48 T_u) \quad (53)$$

gdzie T_u w funkcji $UT1$ dane jest wzorem (28), zaś $UT1$ jest otrzymywane, zgodnie ze wzorem (29), poprzez dodanie do UTC wyznaczanej przez IERS poprawki $[UT1 - UTC]_{IERS}$.

Definicja $UT1$ (wzór (53)) zapewnia ciągłość tej skali czasu. Zawarta w niej liniowa zależność $UT1$ od Kąta Obrotu Ziemi (ERA) świadczy o tym, że $UT1$ można interpretować jako miarę rzeczywistego ruchu obrotowego Ziemi wokół CIP (nie jak w poprzednio stosowanej definicji wokół chwilowego bieguna lub bieguna CEP) względem średniego Słońca. Pochodna $UT1$ względem czasu jest proporcjonalna do prędkości kątowej obrotu Ziemi ω .

Utrzymywanie skali dokładnego czasu i udostępnianie ich użytkownikom leży w gestii powołanej w tym celu służby czasu. Służba czasu polegała na wyznaczaniu czasu w oparciu o obserwacje gwiazd oraz na kontroli poprawek i niejednostajności wzorców czasu. Odpowiednią do tego celu skalą czasu jest astronomiczna skala gwiazdowego czasu obrotowego. Czas gwiazdowy służył również do określania relacji pomiędzy ziemskim układem odniesienia i niebieskim układem odniesienia.

Czas gwiazdowy (Sidereal Time) może być prawdziwy (s_v), quasi-prawdziwy (s_q), lub średni (s), podobnie jak punkt równonocy wiosennej, którego ruch go definiuje. Odpowiednio więc prawdziwy punkt równonocy wiosennej jest to punkt przecięcia się na sferze niebieskiej ekiptyki z prawdziwym równikiem, tj. z równikiem, którego położenie zależy od precesji i nutacji (w długości). Stosowane do 2003 roku modele nutacji pozwalały wyróżniać nutację długą ($\Delta\Psi$) i krótkookresową ($d\Psi$) w długości. Istniało zatem pojęcie quasi-prawdziwego punktu równonocy wiosennej. Był to punkt przecięcia na sferze niebieskiej ekiptyki z tzw. quasi-prawdziwym równikiem, którego położenie zależało od precesji i nutacji długookresowej (nie zależało od nutacji krótkookresowej). Średni punkt równonocy wiosennej jest to punkt przecięcia na sferze niebieskiej ekiptyki z tzw. średnim równikiem, tj. równikiem, którego położenie w przestrzeni podlega zmianom tylko pod wpływem precesji księżycowo-słonecznej. Czas gwiazdowy prawdziwy jest to czas jaki daje się bezpośrednio wyznaczyć z obserwacjami gwiazd. Czas gwiazdowy średni, jako bardziej zbliżony do jednostajnego, jest stosowany w obliczeniach astronomicznych.

Zależności między rodzajami czasu gwiazdowego były przedstawiane za pomocą następujących wzorów:

$$\begin{aligned} s_q &= s + \Delta\Psi \cos \varepsilon \\ s_v &= s + (\Delta\Psi + d\Psi) \cos \varepsilon \end{aligned} \quad (54)$$

gdzie ε oznacza nachylenie ekiptyki do równika, a $\Delta\Psi \cos \varepsilon$ i $d\Psi \cos \varepsilon$ przedstawiają długą- i krótkookresową nutację punktu równonocy wiosennej na równiku (w rektascensji).

¹¹⁾ Równanie czasu jest funkcją o wartościach oscylujących w okresie roku pomiędzy -15 a $+17$ minut.

Podobnie jak w przypadku czasu słonecznego czas gwiazdowy Greenwich różni się od czasu gwiazdowego miejscowego o długość geograficzną λ południka lokalnego, która na wschód od Greenwich przybiera wartości dodatnie

$$\text{czas gwiazdowy lokalny} = \text{czas gwiazdowy Greenwich} + \lambda \quad (55)$$

Do 2003 roku średni czas gwiazdowy Greenwich był formalnie zdefiniowany jako nieliniowa funkcja $UT1$. Funkcja ta była oparta na wyrażeniu podanym przez Newcomba dla rektascensji średniego Słońca, określającym relację pomiędzy $UT1$ a średnim czasem gwiazdowym Greenwich ($GMST$) o 0^h $UT1$. Od 2003 roku średni czas uniwersalny $UT1$ jest odniesiony do osi obrotu Ziemi określonej przez Pośredni Biegum Niebieski $CIP^{12)}$. Czas $UT1$ można więc uważać za kątową miarę rzeczywistego obrotu Ziemi wokół osi CIP .

Spójna z nową definicją $UT1$ (wzór (53)) jest nowa definicja średniego czasu gwiazdowego Greenwich $GMST$, która w zgodzie z najnowszym, obowiązującym od 1 stycznia 2009 r. modelem precesji P03, przyjmuje postać

$$GMST = 0''014\,506 + \theta + 4612''156\,534 t + 1.''391\,581\,7 t^2 - 0'''000\,000\,44 t^3 - 0'''000\,029\,956 t^4 - 0'''000\,000\,036\,8 t^5 \quad (56)$$

gdzie t jest dane wzorem (20).

Przyjęty przez IAU, do stosowania od 2003 roku, model precesyjno–nutacyjny IAU2000 nie wyróżnia już nutacji długookresowej. Związek pomiędzy prawdziwym (GST) oraz średnim ($GMST$) czasem gwiazdowym Greenwich wyraża się wzorem

$$GST = GMST + Eq \quad (57)$$

przy czym Eq jest to równanie równonocy.

Po wprowadzeniu modelu precesyjno–nutacyjnego IAU2000 równanie równonocy opisywane było wzorem

$$Eq = \Delta\psi \cos \varepsilon_A + \sum_k [(C'_{s,0})_k \sin \alpha_k + (C'_{c,0})_k \cos \alpha_k] - 0'''000\,000\,87 t \sin \Omega \quad (58)$$

gdzie ε_A jest nachyleniem eklipytyki poprawionym o zmiany precesyjne zdefiniowane w modelu IAU2000; $\Delta\psi$ to „całkowita” (bez podziału na składowe długookresową i krótkookresową) nutacja w dлиosci odniesiona do eklipytyki zadanej epoki, skąd $\Delta\psi \cos \varepsilon_A$ jest „klasycznym równaniem równonocy”. Pozostałe dwa człony po prawej stronie (58) stanowią uzupełnienie „równania równonocy”, zapewniające ciągłość prawdziwego czasu gwiazdowego Greenwich po przejściu na nową jego definicję oraz spójność z pozostałymi wielkościami systemu IAU2000. Parametry α_k i Ω oraz wartości współczynników $(C'_{s,0})_k$ i $(C'_{c,0})_k$ są podane w IERS Technical Note 32 „IERS Conventions (2003)”, a także w wersji elektronicznej wraz z pełną numeryczną reprezentacją GST na stronie internetowej <http://maia.usno.navy.mil/ch5tables.html>.

Po zastąpieniu modelu IAU2000 nowym modelem precesyjno–nutacyjnym IAU2006 wartość równania równonocy wyznacza się jako różnicę czasu gwiazdowego prawdziwego oraz czasu gwiazdowego średniego

$$Eq = GST - GMST \quad (59)$$

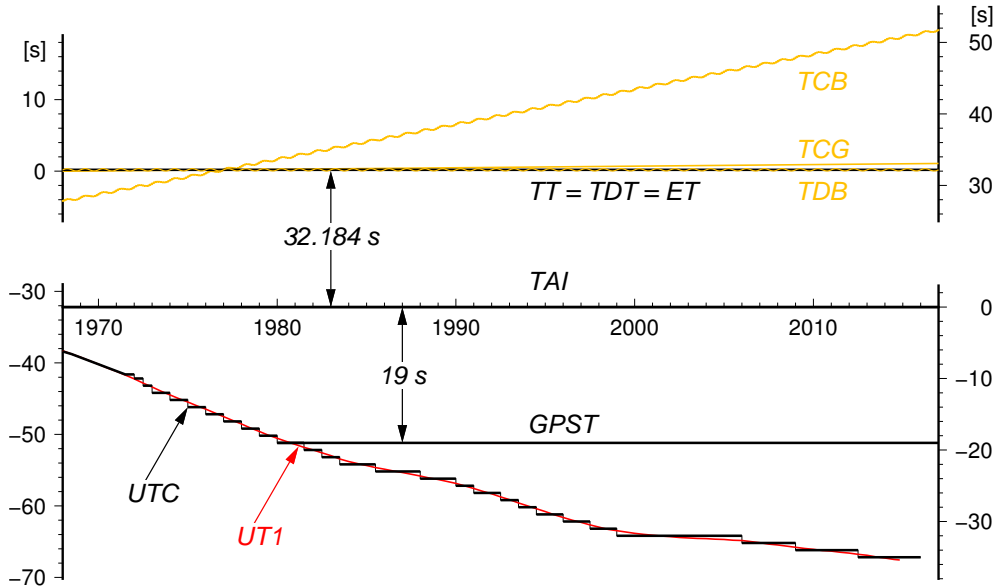
przy czym czas gwiazdowy prawdziwy jest obliczony bezpośrednio, wychodząc od pełnej macierzy precesyjno–nutacyjnej IAU2006 oraz tzw. równania początków (equation of origins). Podejście to jest równoważne poprzednio stosowanemu podejściu z użyciem modelu IAU2000.

Rolę jaką odgrywał czas gwiazdowy w transformacji pomiędzy układami ziemskim i niebieskim przejął Kąt Obrotu Ziemi (ERA), który nie jest obarczony wpływem precesji i nutacji. W nowym wyrażeniu na GST w funkcji czasu kąt θ (ERA) jest wyrażony w funkcji $UT1$, zaś pozostałe człony reprezentujące efekt precesji i nutacji w rektascensji są odniesione do skali czasu TDB (praktycznie do TT). Zgodnie z nową definicją $GMST$ nie jest już kątem godzinnym średniej równonocy wiosennej na południku Greenwich. Należy zauważyć, że wprowadzanie w przeszłości nowych poprawionych modeli precesyjno–nutacyjnych spowoduje konieczność formułowania nowych wyrażeń dla $GMST$. Także „równanie równonocy” nie prowadzi do prawdziwej rektascensji średniej równonocy. Obecna rola czasu gwiazdowego ogranicza się do umożliwienia zachowania ciągłości w obliczeniach astronomicznych. W szczególności $\theta(J2000.0) = GMST(J2000.0)$, zaś różnica $GST - \theta$ określa rektascensję CIO , a tym samym położenie punktu równonocy wiosennej na równiku CIP .

¹²⁾ Biegum CIP znajduje się bardzo blisko bieguna chwilowej osi obrotu Ziemi.

Dynamiczny Czas Gwiazdowy (SDT) (*Sidereal Dynamical Time*) jest odpowiednikiem TT w grupie skali czasu gwiazdowego. Definiuje się go dokładnie tak samo jak średni czas gwiazdowy Greenwich (GMST) tyle, że w odniesieniu do skali Czasu Ziemskego, tj. we wzorze (56) kąt θ powinien być obliczony zgodnie z (53), przy czym argument $T_u = JD(TT) - 2\,451\,545.0$. Otrzymany w ten sposób SDT jest czasem średnim. Dynamiczny czas gwiazdowy prawdziwy otrzymuje się poprzez dodanie nutacji w rektascensji $\Delta\psi \cos\varepsilon_A$ do dynamicznego czasu gwiazdowego średniego.

Używana w służbie czasu skala czasu astronomicznego obrotowego jest nie tylko niejednostajna ale z uwagi na spowalnianie prędkości obrotowej Ziemi (rok słoneczny ulega skracaniu w tempie 0.2–1.2 sekundy na rok), spowodowanej efektami pływowymi, wykazuje dodatkowo nieliniowy trend w stosunku do jednostajnej skali czasu atomowego. Wprowadzona w 1964 roku skala Czasu Uniwersalnego Koordynowanego jest bliską aproksymacją niejednostajnego czasu obrotowego uniwersalnego UT1 skalą czasu atomowego.



Rys. 3 Zależności pomiędzy niektórymi stosowanymi skalami czasu

Czas Uniwersalny Koordynowany (UTC lub TUC) (potocznie — *Universal Time Coordinated*, poprawnie — *Coordinated Universal Time* lub *Temps Universel Coordonnée*), jako najbardziej zbliżony do czasu słonecznego średniego na południku Greenwich, czas przedziałami jednostajny, stanowi od 1964 roku podstawę czasu cywilnego utrzymywanej początkowo przez BIH a następnie od 1988 roku przez Sekcję Czasu BIPM w Paryżu (do 1964 roku czas cywilny opierał się na skali czasu słonecznego średniego Greenwich GMT zwanej również czasem uniwersalnym UT). Lokalne realizacje UTC są prowadzone przez narodowe laboratoria czasu. Pierwotnie utrzymywano skalę czasu koordynowanego w pobliżu aktualnej przeciętnej wartości skali czasu uniwersalnego średniego UT1 (dopuszczalne odchylenie 5×10^{-9}), zachowując różnicę obu czasów — w granicach 0.1 sekundy. Zmiany wprowadzano skokami z zastosowaniem zmiennej częstotliwości UTC. Od stycznia 1972 roku zaniechano jednak zmian częstotliwości UTC i zwiększo tolerancję różnic UT1 – UTC. Wskazania Czasu Uniwersalnego Koordynowanego mogą teraz odbiegać o mniej niż 1 sekundę od UT1 i różnić się od jednocześnie wskazań Międzynarodowego Czasu Atomowego (TAI) tylko o całkowitą liczbę sekund. Zmiany mające zapobiec większemu niż 1 sekunda oddaleniu czasu koordynowanego od czasu uniwersalnego są dokonywane poprzez dodanie tzw. sekundy przestępnej (leap second) 31 grudnia lub 30 czerwca. Od 1 lipca 2012 roku różnica ta wynosi¹³⁾:

$$TAI - UTC = 35^s \quad (60)$$

Różnice $[UT1 - UTC]$, a także $[UT1 - TAI]$, określające relacje pomiędzy skalą czasu astronomicznego obrotowego i skalami czasu atomowego są regularnie wyznaczane przez IERS na podstawie obserwacji VLBI, GPS, SLR i DORIS, a następnie publikowane w biuletynach IERS (<http://www.iers.org>).

¹³⁾ Wprowadzenie sekundy przestępnej jest każdorazowo ogłasza w wydawanym przez IERS biuletynie C; (<ftp://hpiers.obspm.fr/eop-pc/bul/bulc/>).

Zestawienie okresów, w których obowiązywał w Polsce czas letni

od 1946.IV.14	0^h	CSE	do 1946.X.07	2^h	CSE	od 1991.III.31	2^h	CSE	do 1991.IX.29	2^h	CSE
od 1947.V.04	2^h	CSE	do 1947.X.05	2^h	CSE	od 1992.III.29	2^h	CSE	do 1992.IX.27	2^h	CSE
od 1948.IV.18	2^h	CSE	do 1948.X.03	2^h	CSE	od 1993.III.28	2^h	CSE	do 1993.IX.26	2^h	CSE
od 1949.IV.10	2^h	CSE	do 1949.X.02	2^h	CSE	od 1994.III.27	2^h	CSE	do 1994.IX.25	2^h	CSE
od 1957.VI.02	1^h	CSE	do 1957.IX.29	1^h	CSE	od 1995.III.26	2^h	CSE	do 1995.IX.24	2^h	CSE
od 1958.III.30	1^h	CSE	do 1958.IX.28	1^h	CSE	od 1996.III.31	2^h	CSE	do 1996.X.27	2^h	CSE
od 1959.V.31	1^h	CSE	do 1959.X.04	1^h	CSE	od 1997.III.30	2^h	CSE	do 1997.X.26	2^h	CSE
od 1960.IV.03	1^h	CSE	do 1960.X.02	1^h	CSE	od 1998.III.29	2^h	CSE	do 1998.X.25	2^h	CSE
od 1961.V.28	1^h	CSE	do 1961.X.01	1^h	CSE	od 1999.III.28	2^h	CSE	do 1999.X.31	2^h	CSE
od 1962.V.27	1^h	CSE	do 1962.IX.30	1^h	CSE	od 2000.III.26	2^h	CSE	do 2000.X.29	2^h	CSE
od 1963.V.26	1^h	CSE	do 1963.IX.29	1^h	CSE	od 2001.III.25	2^h	CSE	do 2001.X.28	2^h	CSE
od 1964.V.31	1^h	CSE	do 1964.IX.27	1^h	CSE	od 2002.III.31	2^h	CSE	do 2002.X.27	2^h	CSE
od 1977.IV.03	1^h	CSE	do 1977.IX.25	1^h	CSE	od 2003.III.30	2^h	CSE	do 2003.X.26	2^h	CSE
od 1978.IV.02	1^h	CSE	do 1978.X.01	1^h	CSE	od 2004.III.28	2^h	CSE	do 2004.X.31	2^h	CSE
od 1979.IV.01	1^h	CSE	do 1979.IX.30	1^h	CSE	od 2005.III.27	2^h	CSE	do 2005.X.30	2^h	CSE
od 1980.IV.06	1^h	CSE	do 1980.IX.28	1^h	CSE	od 2006.III.26	2^h	CSE	do 2006.X.29	2^h	CSE
od 1981.III.29	1^h	CSE	do 1981.IX.27	1^h	CSE	od 2007.III.25	2^h	CSE	do 2007.X.28	2^h	CSE
od 1982.III.28	1^h	CSE	do 1982.IX.26	1^h	CSE	od 2008.III.30	2^h	CSE	do 2008.X.26	2^h	CSE
od 1983.III.27	1^h	CSE	do 1983.IX.25	1^h	CSE	od 2009.III.29	2^h	CSE	do 2009.X.25	2^h	CSE
od 1984.III.25	1^h	CSE	do 1984.IX.30	1^h	CSE	od 2010.III.28	2^h	CSE	do 2010.X.31	2^h	CSE
od 1985.III.31	1^h	CSE	do 1985.IX.30	1^h	CSE	od 2011.III.27	2^h	CSE	do 2011.X.30	2^h	CSE
od 1986.III.30	1^h	CSE	do 1986.IX.28	1^h	CSE	od 2012.III.25	2^h	CSE	do 2012.X.28	2^h	CSE
od 1987.III.29	1^h	CSE	do 1987.IX.27	1^h	CSE	od 2013.III.31	2^h	CSE	do 2013.X.27	2^h	CSE
od 1988.III.27	1^h	CSE	do 1988.IX.25	1^h	CSE	od 2014.III.30	2^h	CSE	do 2014.X.26	2^h	CSE
od 1989.III.26	1^h	CSE	do 1989.IX.24	1^h	CSE	od 2015.III.29	2^h	CSE	do 2015.X.25	2^h	CSE
od 1990.III.25	2^h	CSE	do 1990.IX.30	2^h	CSE						

Kierując się względami praktycznymi, związanymi z posługiwaniem się czasem w życiu codziennym, na Konferencji Międzynarodowej w Washington D.C. w 1884 roku wprowadzono czas strefowy. Dokonano w tym celu podziału Ziemi na 24 południkowe strefy godzinne, każda o szerokości 15° . Granice stref dostosowano do wygody i życzenia mieszkańców poszczególnych regionów (w USA określono je dopiero w 1918 roku). Wewnątrz strefy obowiązuje jednolity czas strefowy. Południki strefowe przebiegające przez środek stref czasowych: 0° , 15° , 30° , ..., w kierunku na wschód od Greenwich poszczególnie numerowane odpowiednio liczbami całkowitymi: 0, 1, 2, ..., przypisując każdemu południkowi strefowemu odpowiednią liczbę ΔZ .

Czas strefowy (ZT) (Zonal Time) jest to czas koordynowany (atomowy) południków strefowych. ZT jest przesunięty względem UTC (do 1964 roku względem czasu astronomicznego obrotowego GMT lub UT) o całkowitą (w większości wypadków) liczbę ΔZ godzin, tj.:

$$ZT = UTC + \Delta Z \quad (61)$$

Poszczególne kraje opierają rachubę swego czasu urzędowego przeważnie na najbliższym południku strefowym. W Polsce podstawowym czasem urzędowym jest czas środkowoeuropejski (CSE), czyli czas południka oddalonego o 15° na wschód od Greenwich (jest to w przybliżeniu południk Zgorzelca). W innych państwach ustalony czas urzędowy obowiązuje nierzadko na obszarze kilku stref czasowych lub bywa przesunięty od odpowiedniego czasu strefowego o 30 lub 15 minut. W niektórych krajach w okresie letnim jest wprowadzany tzw. czas letni. Przy przechodzeniu z czasu zimowego na letni wskazówki zegarów są przesuwane o 1 godzinę do przodu, a przy powrocie na czas zimowy są o 1 godzinę cofane. W Polsce czas letni (czyli czas wschodnioeuropejski — czas południka $30^\circ E$) obowiązywał od wiosny do jesieni w latach 1946–1949 i 1957–1964, a począwszy od 1977 roku jest wprowadzany corocznie¹⁴⁾. Relacja między letnim i zimowym czasem urzędowym w Polsce a Czasem Uniwersalnym Koordynowanym przedstawia się następująco:

¹⁴⁾ Dane na rok bieżący: Rozp. Prezesa Rady Ministrów z 5 stycznia 2012 r. w sprawie wprowadzenia i odwołania czasu letniego środkowoeuropejskiego w latach 2012–2016, Dz. U. z dnia 12 stycznia 2012 r., poz. 33.

$$\begin{aligned} \text{czas letni} &= \text{czas wschodnioeuropejski} = UTC + 2^h \\ \text{czas zimowy} &= \text{czas środkowoeuropejski (CSE)} = UTC + 1^h \end{aligned}$$

W zagadnieniach, w których nie jest wymagana lepsza od 1 sekundy dokładność rejestracji czasu, czas środkowoeuropejski koordynowany można utożsamiać ze średnim słonecznym czasem środkowoeuropejskim. W przypadkach jednak, w których są wyższe wymagania dokładności rejestracji czasu, np. przy precyzyjnych wyznaczeniach astronomicznych azymutu, należy rozróżnić skalę czasu koordynowanego (atomowego) od skali czasu obrotowego.

W przeszłości istotną rolę odgrywały także inne, niestosowane obecnie, skale czasów. Do końca lat 30-tych XX wieku czas uniwersalny *UT* był uważany za jednostajną skalę czasu. Nieregularności *UT* dostrzeżono dopiero dzięki zastosowaniu zegarów kwarcowych, a później zegarów atomowych. Na podstawie analizy źródeł tych nieregularności, w miejsce czasu *UT* wprowadzono trzy jego reprezentacje, przy czym pojęcie czasu *UT* pozostawało nadal w użyciu przy określaniu czasu uniwersalnego gdy nie była wymagana wysoka dokładność:

UT0 (lub ***TU0***) — czas uniwersalny prawdziwy — wyznaczany bezpośrednio (po uwzględnieniu równania czasu) z obserwacji astronomicznych średni czas słoneczny średniego południka Greenwich, od którego były odmierzane długości geograficzne. Płaszczyzna średniego południka Greenwich była określona przez dwa kierunki: kierunek linii pionu w Greenwich oraz kierunek równoległy do średniej osi obrotu Ziemi¹⁵⁾, która łączy średnie biegury geograficzne. Prawdziwy czas uniwersalny można było uważać za kątową miarę rzeczywistego obrotu Ziemi wokół średniej osi obrotu.

UT1 (lub ***TU1***) — czas uniwersalny średni — średni czas słoneczny chwilowego południka Greenwich, odniesionego do chwilowej osi obrotu Ziemi¹⁶⁾ (czas uniwersalny średni, w którym zostały uwzględnione okresowe zmiany wywołane strefową składową pływów oznaczano przez *UT1R* — okresowości 5 – 35 dób, *UT1S* — okresowości 5 dób – 18.6 lat oraz *UT1D* — okresowości dobowe i krótsze: IERS Technical Note 21, 1996). Średni czas uniwersalny można było uważać za kątową miarę rzeczywistego obrotu Ziemi wokół chwilowej osi obrotu, która łączy chwilowe biegury geograficzne.

UT2 (lub ***TU2***) — czas uniwersalny quasi-jednostajny — średni czas słoneczny chwilowego południka Greenwich uwolniony od sezonowych nieregularności ruchu obrotowego Ziemi. Quasi-jednostajny czas uniwersalny można było uważać za kątową miarę „uśrednionego” obrotu Ziemi wokół chwilowej osi obrotu¹⁷⁾.

Podane definicje reprezentacji systemów czasu uniwersalnego obowiązywały do 2003 roku. Zależności między zdefiniowanymi powyżej systemami czasu uniwersalnego można przedstawić za pomocą następujących wzorów:

$$UT1 = UT0 + \Delta\lambda \quad (62)$$

$$UT2 = UT0 + \Delta\lambda + \Delta T_s = UT1 + \Delta T_s \quad (63)$$

Znaczenie poprawek $\Delta\lambda$ i ΔT_s , które reprezentują odpowiednio efekt ruchu bieguna oraz sezonowe nieregularności ruchu obrotowego Ziemi zdefiniowano w części szczegółowej objaśnień RA (patrz wzory (75) i (76)).

Czasem astronomicznym bardziej jednostajnym od czasu obrotowego był Czas Efemeryd.

Czas Efemeryd (ET lub TE) (Ephemeris Time lub Temps des Ephémérides) zwany również czasem efemerydalnym, wprowadzony w 1954 roku, był czasem słonecznym lecz nie związanym z ruchem obrotowym Ziemi, a z jej ruchem orbitalnym wokół Słońca. Nieco później definicję *ET* związano również z ruchem orbitalnym Księżyca wokół Ziemi. Nie istnieje wzorzec podstawowy reprodukujący dobę *ET*. Miarą Czasu Efemeryd jest pozycja Słońca, a dokładnie jego długość ekliptyczna. Sekundę Czasu Efemeryd, która do 1967 roku była podstawową jednostką czasu, określa się jako 1/31 556 925.974 7 część roku zwrotnikowego¹⁸⁾ epoki 1900 styczeń 0^d 12^h Czasu Efemeryd.

¹⁵⁾ W latach 1967–1988 średnia oś obrotu Ziemi była określona przez międzynarodowy umowny średni biegun północny Ziemi *CIO**. Obecnie jest ona określona przez biegun *ITRS*.

¹⁶⁾ W latach 1988–2002 oś chwilowa była utożsamiana z osią bieguna *CEP*, od roku 2003 — z osią bieguna *CIP*.

¹⁷⁾ W latach 1988–2002 oś chwilowa była utożsamiana z osią bieguna *CEP*, od roku 2003 — z osią bieguna *CIP*.

¹⁸⁾ Rok zwrotnikowy jest to odstęp czasu pomiędzy dwoma kolejnymi przejściami środka masy Ziemi przez płaszczyznę, którą tworzy środek Słońca, punkt równonocy wiosennej i kierunek bieguna ekliptyki (w ciągu roku zwrotnikowego długość ekliptyczna Słońca zmienia się o 360°).

Niestalość jednostek czasów słonecznego i gwiazdowego związanych z ruchem obrotowym Ziemi wynika nie tylko ze zmian sezonowych ΔT_s w prędkości kątowej ruchu obrotowego Ziemi ale także z powodu zmian wiekowych i okresowych ΔT tego ruchu. Zależność między Czasem Efemeryd a czasem uniwersalnym jest następująca:

$$ET = UT2 + \Delta T \quad (64)$$

gdzie ΔT jest poprawką, której dokładną wartość można było otrzymać *ex post*, i to ze znacznym opóźnieniem wynikającym z konieczności opracowania pewnego okresu obserwacji długości ekiptycznej Księżyca i porównaniu z efemerydą. Poprawkę tę otrzymuje się na mocy wzorów:

$$\begin{aligned} \Delta T &= 24^s.349 + 72^s.318T + 29^s.950T^2 + 1^s.82144B''/1'' \\ B'' &= \lambda_{obs} - [\lambda_{Br.} + 4''.65 + 12''.96T + 5''.22T^2 - 10''.71 \sin(240^\circ.7 + 140^\circ.0T)] \end{aligned} \quad (65)$$

We wzorach (65) T oznacza liczbę stuleci juliańskich liczonych od momentu 1900 styczeń $0^d 12^h$ UT1, zaś B'' jest to tzw. fluktuacja, która przedstawia różnicę: zaobserwowana długość ekiptyczna Księżyca (λ_{obs}) pomniejszona o jej wartość wziętą z tablic Browna ($\lambda_{Br.}$), poprawiona o stałą i uzupełniona wiekowymi i okresowymi przyspieszeniami ruchu Księżyca. Dodać należy, że niejednostajność czasu słonecznego zaznacza się również w ruchu planet wewnętrznych. Ułożone przez Newcomba tablice Słońca z argumentem „czas uniwersalny” pozostają w mocy ze zmianą jedynie nazwy argumentu „czas uniwersalny” na „Czas Efemeryd”.

W roku 2015, zgodnie z przewidywaniami zawartymi w buletynach IERS, można przyjmować następującą przybliżoną relację między Czasem Efemeryd a czasem uniwersalnym:

$$ET = UT1 + 67^s \quad (66)$$

Wadą Czasu Efemeryd jest jego zależność od podlegającej udoskonaleniom teorii ruchu Księżyca, a także nieuwzględnienie w nim efektów wynikających z ogólnej teorii względności. ET był używany jako argument równań ruchu ciał niebieskich układu słonecznego do 1984 roku, kiedy to został zastąpiony zdefiniowanym przez XVI Zgromadzenie Generalne IAU (Grenoble, 1976) (Rezolucja 5) Ziemskim Czasem Dynamicznym.

Ziemska Czas Dynamiczny (TDT) (*Temps Dynamique Terrestre lub Terrestrial Dynamical Time*) był czasem atomowym odniesionym do środka mas Ziemi i zdefiniowanym następująco:

$$TDT = TAI + 32^s.184 \quad (67)$$

TDT był używany jako argument efemeryd dla obserwacji z powierzchni Ziemi. Przesunięcie skali czasu TDT w stosunku do TAI o 32.184 s, odpowiadające różnicy między ET i TAI 1977 styczeń $1^d 0^h$, zostało wprowadzone w celu zachowania ciągłości liczenia czasu przy przejściu od ET do TDT . Tablice Słońca Newcomba pozostały zatem nadal w mocy ze zmianą nazwy argumentu „Czas Efemeryd” na „Ziemska Czas Dynamiczny”. Tak jak w przypadku ET , w roku 2015 można przyjmować przybliżoną relację między Ziemskim Czasem Dynamicznym a czasem uniwersalnym:

$$TDT = UT1 + 67^s \quad (68)$$

Na mocy Rezolucji 4 XXI Zgromadzenia Generalnego IAU (Buenos Aires, 1991) Ziemska Czas Dynamiczny został zastąpiony równoważnym mu Czasem Ziemskim (TT), tj.:

$$TT \equiv TDT \quad (69)$$

Astronomiczna rachuba czasu stosowana do długich jego odstępów (lat, stuleci) wiąże się z ruchem orbitalnym Ziemi. Okres pomiędzy dwoma kolejnymi przejściami środka Ziemi przez płaszczyznę utworzoną przez środek Słońca, punkt równonocy wiosennej oraz kierunek bieguna ekiptyki jest nazwany rokiem zwrotnikowym. Zawiera on $365.242\,198\,79 - 0.000\,006\,14 \times t$ dób, gdzie t oznacza liczbę stuleci juliańskich od epoki 1900 styczeń $0^d 12^h$ Czasu Efemeryd czyli od południa 31 grudnia 1899 r. Interwał czasu odpowiadający $1/31\,556\,925.974\,7$ części roku zwrotnikowego na tę epokę został przyjęty jako sekunda Czasu Efemeryd, a następnie został uznany jako podstawowa jednostka czasu atomowego i miara sekundy SI.

Data juliańska (JD) (*Julian Date*) jest ciągłą rachubą dni wprowadzoną w XVI wieku. Za początek tzw. okresu juliańskiego, od którego liczy się dni juliańskie, przyjęto moment -4712 styczeń $1^d\ 12^h$ czyli południe 1 stycznia 4713 p.n.e. Pierwotnie data juliańska była odniesiona do skali średniego czasu słonecznego, a do niedawna, do 1997 roku do *UT1*. Niekiedy specyfikowano daty juliańskie w odniesieniu do Czasu Efemeryd *ET* i wówczas oznaczano je jako *JED* (*Julian Ephemeris Date*). Doba juliańska zawsze rozpoczyna się o $12^h 00^m 00^s$, a jej długość odpowiada 24 godzinom lub 1440 minutom lub 86 400 sekundom skali czasu, do której została odniesiona. I tak, na przykład doba juliańska odniesiona do skali *UT1* odpowiada 86 400 sekundom *UT1*, czyli średniego czasu słonecznego, zaś doba juliańska odniesiona do *ET* odpowiada 86 400 sekundom efemerydalnym. Moment 1900 styczeń $1^d\ 12^h$ *UT1* odpowiada $JD(UT1) 2\ 415\ 021.0$, zaś epoka J2000.0 (2000 styczeń $1^d\ 12^h$ *UT1*) odpowiada $JD(UT1) 2\ 451\ 545.0$.

XXIII Zgromadzenie Generalne IAU (Kyoto, 1997) na mocy Rezolucji B1 zaleciło aby data juliańska była wyrażana w skali Czasu Ziemskiego *TT*. W przypadku odniesienia daty juliańskiej do innej niż *TT* skali czasu, np. *UT1*, należy więc w myśl tej rezolucji stosować oznaczenie $JD(UT1)$.

Dla skrócenia zapisu i uproszczenia obliczeń, w końcu lat 1950, wprowadzono tzw. zmodyfikowaną datę juliańską (*MJD*) (*Modified Julian Date*). Zazwyczaj korzysta się z następującej definicji *MJD*:

$$MJD = JD - 2\ 400\ 000.5 \quad (70)$$

Początek *MJD* pokrywa się z początkiem doby, tj. 0^h odpowiedniej skali czasu. Rok juliański odpowiada 365.25 dobom juliańskim, zaś stulecie juliańskie odpowiada 36 525 dobom juliańskim.

Juliańska data gwiazdowa (JSD) (*Julian Sidereal Date*) zwana również Datą Gwiazdową Greenwich (*GSD*) (*Greenwich Sidereal Date*) jest odpowiednikiem daty juliańskiej, odniesionej do skali czasu gwiazdowego. *JSD* jest definiowany jako interwał czasu liczony w dobach gwiazdowych, określonych przez punkt równonocy na daną epokę, jaki upłynął na południu Greenwich od początku doby gwiazdowej, w której wypada moment *JD 0.0*. Przykładowo *JSD 2 421 633.0* odpowiada momentowi 1899 grudzień $31^d\ 17^h 21^m 07.2^s$ *UT1* (*JD 2 415 020.223*). Przybliżone zależności pomiędzy rachubami *JD* i *JSD* wyglądają następująco:

$$JSD = +0.671 + 1.002\ 737\ 909\ 3 \times JD$$

$$JD = -0.669 + 0.997\ 269\ 566\ 4 \times JSD$$

CZEŚĆ SZCZEGÓLOWA

Czas gwiazdowy Greenwich i Kąt Obrotu Ziemi (str. 8÷11)

Średni czas gwiazdowy Greenwich $GMST$ o zerowej godzinie czasu uniwersalnego średniego $UT1$ obliczono w odstępach dobowych według wzoru (56) zatwierdzonego uchwałą Międzynarodowej Unii Astronomicznej (Manchester, 2000) (Rezolucja B1.8). Wzór ten uwzględnia poprawkę związaną z obowiązującym od 2003 roku przejściem od punktu równonocy wiosennej (ekwinokcja) systemu FK5 do CEO (obecnie CIO) w IRS oraz przejściem od modelu precesyjno–nutacyjnego IAU2000 do modelu IAU2006 i zapewnia ciągłość w $UT1$, wyznaczanym z obserwacji astronomicznych i satelitarnych

$$GMST \text{ o } 0^h UT1 = 2\pi(0.779\,057\,273\,264\,0 + 1.002\,737\,811\,911\,354\,48T_u) + \\ + 0.^{\prime\prime}014\,506 + 4612.^{\prime\prime}156\,534\,t + 1.^{\prime\prime}391\,581\,7\,t^2 - 0.^{\prime\prime}000\,000\,44\,t^3 - 0.^{\prime\prime}000\,029\,956\,t^4 - 0.^{\prime\prime}000\,000\,036\,8\,t^5 \quad (71)$$

gdzie T_u jest wyrażony w dobach juliańskich¹⁹⁾ odniesionych do skali czasu $UT1$

$$T_u = JD(UT1) - 2\,451\,545.0 \quad (72)$$

zaś parametr t jest wyrażony w stuleciach juliańskich odniesionych do skali czasu TT

$$t = (JD(TT) - 2000 \text{ styczeń } 1^d\,12^h\,TT) / 36\,525 \quad (73)$$

Argumenty $UT1$ i TT we wzorach (72) i (73) wyznacza się w oparciu o UTC z następujących zależności:

$$\begin{aligned} UT1 &= UTC + [UT1 - UTC]_{IERS} \\ TT &= UTC + 67.^s184 \end{aligned}$$

gdzie różnica $[UT1 - UTC]_{IERS}$ jest wyznaczanym przez IERS parametrem ruchu obrotowego Ziemi²⁰⁾.

Przy obliczaniu prawdziwego czasu gwiazdowego Greenwich GST stosowano wzory zatwierdzonej uchwałą IAU (Praha, 2006) teorii precesyjno–nutacyjnej IAU2006 (Rezolucja 1).

Wartości równania równonocy Eq otrzymuje się jako różnicę prawdziwego czasu gwiazdowego GST i średniego czasu gwiazdowego Greenwich $GMST$, zgodnie z zależnością (59).

Kąt Obrotu Ziemi (ERA) θ zgodnie z Rezolucją B1.8 IAU (Manchester, 2000) jest obliczany wg wzoru (27).

Przykłady

- 1) Wyrazić moment 2015 sierpień $26^h\,8^m\,48^s.0000$ czasu wschodnioeuropejskiego w średnim i prawdziwym czasie gwiazдовym południka Borowej Góry; rachunek należy prowadzić do $0.^s0001$.

Czas wschodnioeuropejski	$8^h\,48^m\,30.^s0000$
minus redukcja strefowa ΔZ	$-2\,00\,00.0000$
UTC	$6\,48\,30.0000$
plus poprawka $[UT1 - UTC]_{IERS}$	-0.6800 ze str. 41 (interpolowane)
$UT1$	$6\,48\,29.3200$
plus redukcja $UT1$ na śr. czas gw.	$+1\,07.1043$ a)
Δs interwał cz. śr. gw. odp. $UT1$	$6\,49\,36.4243$
$GMST$ o 0^h $UT1$	$+22\,15\,42.7541$ ze str. 10
$GMST$ w zadanym momencie	$5\,05\,19.1784$
plus długość geogr. BG	$+1\,24\,08.9140$ b)
śr. czas gwiazdowy BG	$6\,29\,28.0924$
plus równanie równonocy Eq	$+0.1047$ c)
prawdziwy czas gwiazdowy BG	$6\,29\,28.1971$

a) $6\,48\,29.3200 = 24\,509.^s3200$; $24\,509.^s3200 \times 0.002\,737\,909\,3 = 67.^s1043$ (patrz wzór na str. 164).

19) Data juliańska na 0^h TT każdego dnia roku 2015 jest podana w trzeciej kolumnie w tablicach pozycji Słońca na str. 12÷19.

20) Poprawki do czasu uniwersalnego są podane w tablicach na str. 40÷41.

- b) Wg uchwały IAU (Patras, 1982) (Rezolucja C4), długości geograficzne na wschód od Greenwich przybierają znak dodatni. Długość geograficzna BG wynosi $1^h 24^m 08.^s 9140$ (str. 7).
- c) Ze str. 10 wypisujemy podane na 0^h czasu UT1 na okalające daty wartości równonocy Eq, a następnie tworzymy różnice

25	$+0.^s 1009$		
2015.VIII.26 ^d	0^h	$UT1$	$+0.1039$
27	$+0.1063$	$+0.0024$	$-0.^s 0006$
28	$+0.1069$	$+0.0006$	-0.0018

Posłużymy się wzorem interpolacyjnym Bessela

$$u = u_0 + n\Delta_{1/2}^I + \frac{n(n-1)}{4} (\Delta_0^{II} + \Delta_1^{II}) + \dots$$

w którym pomijamy wyrazy zawierające trzecie i dalsze różnice, ponieważ nie mają one tu znaczenia praktycznego. Otrzymujemy

$$\begin{aligned} u_0 &= +0.^s 1039 \\ n = \frac{6^h 48^m 29.^s 3}{24^h} &= +0.2837 \quad n\Delta_{1/2}^I = +0.0007 \\ \frac{n(n-1)}{4} &= -0.0508 \quad \frac{n(n-1)}{4} (\Delta_0^{II} + \Delta_1^{II}) = +0.0001 \\ \hline u &= +0.1047 \end{aligned}$$

Jeżeli rachunek zamiany czasów prowadzimy do $0.^s 001$, to równanie równonocy wystarczy interpolować liniowo, a redukcję czasu średniego słonecznego do czasu średniego gwiazdowego można wykonać korzystając ze wzoru (16).

- 2) Wyrazić moment 2015 sierpień $26^d 6^h 29^m 28.^s 1971$ prawdziwego czasu gwiazdowego południka Borowej Góry w czasie środkowoeuropejskim i w czasie wschodnioeuropejskim; rachunek należy prowadzić do $0.^s 0001$.

Prawdziwy czas gw. BG	$6^h 29^m 28.^s 1971$	
minus długość geogr. BG	$-1^h 24^m 08.^s 9140$	ze str. 7
<i>GST</i>	$5^h 05^m 19.^s 2831$	
minus równanie równonocy Eq	-0.1047 a)	
<i>GMST</i> w zadanym momencie	$5^h 05^m 19.^s 1784$	
minus <i>GMST</i> o 0^h <i>UT1</i>	$-22^m 15^s 42.7541$	ze str. 10
Δs – interwał cz. śr. gw. od 0^h <i>UT1</i>	$6^h 49^m 36.4243$	
minus red. int. Δs na odp. int. <i>UT1</i>	$-1^h 07.^s 1043$ b)	
<i>UT1</i>	$6^h 48^m 29.3200$	
minus poprawka $[UT1 - UTC]_{IERS}$	$+0.6800$	ze str. 41 (interpolowane)
<i>UTC</i>	$6^h 48^m 30.0000$	
plus redukcja strefowa ΔZ	$+1^h 00^m 00.0000$	
czas środkowoeuropejski	$7^h 48^m 30.0000$	
plus redukcja strefowa ΔZ	$+1^h 00^m 00.0000$	
czas wschodnioeuropejski	$8^h 48^m 30.0000$	

- a) Równanie równonocy interpolujemy jak w przykładzie poprzednim. Do obliczenia współczynnika n potrzebna jest znajomość a priori *UT1* w zadanym momencie. Jednakże niedokładność rzędu $0.^s 1$ nie stanowi przeszkody, toteż potrzebną wartość czasu *UT1* można obliczyć w następujący sposób:

czas gwiazdowy Greenwich	$5^h 05^m 32$	
minus czas gwiazdowy Gr. o 0^h <i>UT1</i>	$-22^m 15.71$	
Δs – interwał czasu gw. od 0^h <i>UT1</i>	$6^h 49.61$	
minus red. int. Δs na odp. int. <i>UT1</i>	-1.12	wzór (17)
<i>UT1</i>	$6^h 48.49$	

Następnie obliczamy współczynnik interpolacyjny: $n = \frac{6^h 48.^m 49}{24^h} = +0.2837$

Dalej postępujemy jak w przykładzie poprzednim.

- b) $6^h 49^m 36.^s 4243 = 24576.^s 4243; 24576.^s 4243 \times 0.0027304336 = 67.^s 1043$ (patrz wzór (17)).

Jeżeli obliczenia zamiany czasów są prowadzone do $0.^s 001$, to równanie równonocy Eq wystarczy interpolować liniowo, przy czym do obliczenia współczynnika interpolacyjnego n zadowalająca jest znajomość czasu uniwersalnego do $0.^h 1$, a zamianę średniego czasu gwiazdowego na średni czas słoneczny można wykonać korzystając ze wzoru (14).

- 3) Obliczyć wartość Kąta Obrotu Ziemi na moment 2015 sierpień 26^d 8^h 48^m 30^s.0000 czasu śródnowo-europejskiego; rachunek prowadzić do 0.^s0001.

CSE	8 ^h 48 ^m 30 ^s .0000
minus redukcja strefowa ΔZ	<u>-1 00 00.0000</u>
UTC	7 48 30.0000
plus poprawka $[UT1 - UTC]_{\text{IERS}}$	<u>- 0.6800</u> ze str. 41
UT1	7 48 29.3200

Wartość Kąta Obrotu Ziemi można teraz obliczyć korzystając bezpośrednio ze wzoru (27) na str. 170, przyjmując $T_u = JD(UT1) - J2000.0 = 2\,457\,260.5 + \frac{7\,48\,29.3200}{24^h} - 2\,451\,545.0 = 5\,715.825\,339\,352$ oraz biorąc wartość Kąta Obrotu Ziemi θ modulo 2π i wyrażając ją w jednostkach czasu

$$\theta = 6^h 04^m 40.^s 9143$$

lub za pomocą liniowej interpolacji wartości θ , podanych w czwartej kolumnie tablicy na str. 10 Rocznika

$$\theta = \theta_0 + n\Delta_0^I, \quad \text{gdzie } n = \frac{7^h 48^m 29.^s 3200}{24^h} = +0.325\,339\,352$$

	θ	Δ_0^I
2015 sierpień 26 ^d 0 ^h UT1	22 ^h 14 ^m 54 ^s .6362	$24^h 03^m 56.^s 5470$
27	$24^h + 22\ 18\ 51.1832$	
θ_0	= 22 ^h 14 ^m 54 ^s .6362	
$n\Delta_0^I$	+ 7 49 46.2781	
θ	= 6 04 40.9143	

Słońce (str. 12÷19)

Początkiem okresu juliańskiego, od którego liczy się daty juliańskie (*JD*), jest moment -4712 styczeń 1^d 12^h *TT* czyli południe *TT* 1 stycznia 4713 r. p.n.e.

Pozorne współrzędne równikowe (*CIP*) Słońca: rektascensja (α_{app}^{CIO}) odniesiona do *CIO*, rektascensja (α_{app}^γ) odniesiona do punktu równonocy wiosennej i deklinacja (δ_{app}), obliczone w odstępach dobowych w skali czasu *TT*. Zawierają one wpływ aberracji rocznej. Zgodnie z zaleceniem IAU, *CIO* (poprzednio określany jako *CEO*) zastąpił punkt równonocy wiosennej jako punkt początkowy liczenia rektascensji. Wynikająca stąd różnica w rektascensji Słońca wynosi średnio w roku 2015: $\alpha_{app}^{CIO} - \alpha_{app}^\gamma \approx -48.^s2$. Wartość deklinacji nie ulega zmianie.

W kolejnych kolumnach tablic zawarto:

- $V_\delta/1^h$, przemianę deklinacji pozornej Słońca na jedną godzinę;
- R , widomy kątowy promień tarczy słonecznej, obliczony przy założeniu, że liniowa średnica tarczy słonecznej $D_\odot = 1.392 \times 10^9\ m$;
- π , horyzontalną paralaksę równikową Słońca;
- E , równanie czasu — jest to różnica pomiędzy rektascensją Słońca średniego i rektascensją środka tarczy Słońca prawdziwego. Jest to także różnica pomiędzy kątem godzinnym środka Słońca prawdziwego i kątem godzinnym Słońca średniego. Uwaga: w tablicach podano równanie czasu E zwiększone o 12^h;
- $V_E/1^h$, przemianę równania czasu na jedną godzinę.

Wschody i zachody Słońca odnoszą się do momentów wschodu i zachodu górnego brzegu tarczy słonecznej w Warszawie (Obserwatorium Politechniki) w czasie śródnowo-europejskim ($UTC + 1^h$). W obliczeniach uwzględniono refrakcję średnią i paralaksę Słońca. Chcąc wyrazić wschody i zachody w czasie wschodnio-europejskim, który w Polsce jest czasem letnim, należy do momentów podanych w Roczniku dodać jedną godzinę.

Przykład obliczenia pozornych współrzędnych równikowych Słońca

- 4) Obliczyć pozorne współrzędne równikowe Słońca w Niebieskim Pośrednim Systemie Odniesienia $IRS_{\text{NIEBIESKI}}$ na moment 2015 sierpień 26^d 8^h48^m30^s czasu wschodnioeuropejskiego za pomocą wzoru interpolacyjnego Stirlinga

$$u = u_0 + n\Delta_0^I + \frac{n^2}{2}\Delta_0^{II} + \dots$$

Ze str. 17 Rocznika wypisujemy, podane na 0^h czasu TT, wartości α_{app}^{CIO} oraz δ_{app} na okalające daty i tworzymy różnice

	α_{app}^{CIO}	δ_{app}
25	10 ^h 13 ^m 16 ^s .439	+10°56'21".66
	+220 ^s .004	-1240".62
2015.VIII.26 ^d 0 ^h TT	10 16 56.443	-0 ^s .417 +10 35 41.04 -10".00
	+219.587	-1250.62
27	10 20 36.030	+10 14 50.42

Zadany moment podany jest w czasie wschodnioeuropejskim. Argumentem w tablicach Słońca jest natomiast Czas Ziemi TT, toteż w tymże czasie należy wyrazić zadany moment jeszcze przed rozpoczęciem rachunku interpolacyjnego. Przeliczenie to wykonuje się w sposób następujący:

czas wschodnioeuropejski	8 ^h 48 ^m 30 ^s .000
minus redukcja strefowa ΔZ	-2 00 00.000
UTC	6 48 30.000
plus ($TAI - UTC$)	+ 35.000 wzór (60)
TAI	6 49 05.000
plus ($TT - TAI$)	+ 32.184 wzór (44)
TT	6 49 37.184

Teraz można obliczyć współczynnik interpolacyjny

$$n = \frac{6^h 49^m 37^s 184}{24^h} = +0.284\,458$$

skąd

$$\frac{n^2}{2} = +0.0405$$

Obliczenie współrzędnych przebiega następująco:

	α_{app}^{CIO}	δ_{app}
u_0	= 10 ^h 16 ^m 56 ^s .443	+10°35'41".04
$n\Delta_0^I$	= + 1 02.5226	- 5 54.327
$\frac{n^2}{2}\Delta_0^{II}$	= - 0.0169	- 0.405
u	= 10 ^h 17 ^m 58 ^s .949	+10°29'46".31

Deklinację pozorną można także obliczyć posługując się przemianami zamieszczonymi w następnej za deklinacją kolumnie, na mocy wzoru

$$u = u_0 + np \left[V_0 + \frac{n}{2}\Delta_0^I(V_0) + \dots \right]$$

Tym razem, poszukując deklinacji na ten sam moment co poprzednio, wypisujemy ze str. 17, oprócz wartości δ_{app} , także jej przemiany na jedną godzinę, $V_\delta/1^h$ na okalające daty, a następnie tworzymy różnice przemian

25	-51".477	-0".424
2015.VIII.26 ^d 0 ^h TT	-51.901	-0.410
27	-52.311	

Współczynnik interpolacyjny pozostaje taki sam jak poprzednio, tj. $n = +0.284\,458$.

Współczynnik p , który przedstawia stosunek interwału funkcji u , do interwału jej przemiany V , równa się

$$p = \frac{24^h}{1^h} = 24$$

Dalszy rachunek przebiega następująco:

$\frac{n}{2}$	= +0.1422	V_0	= -51".901	δ_0	= +10°35'41".04
np	= +6.8270	$\frac{n}{2}\Delta_0^I(V_0)$	= - 0.059	npV	= - 5 54.731
		V	= -51".960	δ	= +10°29'46".31

Przykłady przeliczenia kąta godzinnego Słońca prawdziwego (obserwowany)

- 5) Znaleźć kąt godzinny Słońca prawdziwego względem południka Borowej Góry na moment 2015 sierpień 26^d 8^h48^m30^s czasu wschodnioeuropejskiego.

Kąt godzinny Słońca prawdziwego oblicza się ze wzoru $t = T + E - \mu\Delta T'$, gdzie T jest czasem średnim słonecznym odniesionym do południka lokalnego, E efemerydальным równaniem czasu, a $\mu\Delta T'$ poprawką związaną z przejściem pomiędzy czasem TT , w którym jest wyrażone równanie czasu, a czasem $UT1$. Wielkość $\mu = 0.002\,737\,909\,350\,795$ (por. wzór ze str. 164), zaś $\Delta T'$ jest zdefiniowana za pomocą wzoru

$$\Delta T' = TT - UT1$$

Przy przeliczaniu kąta godzinnego Słońca prawdziwego w 2015 roku z dokładnością 0^s005 wystarczy przyjąć $\Delta T' = 67^s$, skąd $\mu\Delta T' = 0^s.183$.

Czas wschodnioeuropejski	8 ^h 48 ^m 30 ^s .000
minus redukcja strefowa ΔZ	- 2 00 00.000
UTC	6 48 30.000
plus $[UT1 - UTC]_{IERS}$	- 0.680 ze str. 41 (interpolowane)
$UT1$	6 48 29.320
plus długość geograficzna BG	+ 1 24 08.914 ze str. 7
średni czas słoneczny BG	8 12 38.234
minus $\mu\Delta T'$	- 0.183
kąt godz. Sł. śr. wzgl. połud. BG minus 12 ^h	8 12 38.051
plus równanie czasu plus 12 ^h	11 58 02.976 ^{a)}
kąt godzinny Słońca prawdz. wzgl. południka BG	20 10 41.027

^{a)} Wyrażamy, zadany w czasie wschodnioeuropejskim moment, w TT

Czas wschodnioeuropejski	8 ^h 48 ^m 30 ^s .000
minus redukcja strefowa ΔZ	- 2 00 00.000
UTC	6 48 30.000
plus $(TAI - UTC)$	+ 35.000 wzór (60)
TAI	6 49 05.000
plus $(TT - TAI)$	+ 32.184 wzór (44)
TT	6 49 37.184

Ze str. 17 Rocznika wypisujemy na najbliższą północ TT zwiększone o 12 godzin równanie czasu oraz przemiany równania czasu na okalające daty, a następnie obliczamy pierwsze różnice przemian

25 2015.VIII.26 ^d 0 ^h TT	11 ^h 57 ^m 58 ^s .193	+0 ^s .6804	+0 ^s .0177
27		+0.6981	+0 ^s .0171
		+0.7152	

liczymy współczynniki

$$n = \frac{6\,49\,37.184}{24^h} = +0.284\,458, \quad \frac{n}{2} = +0.1422, \quad p = \frac{24^h}{1^h} = 24, \quad np = +6.8270$$

i obliczamy interpolowaną wartość równania czasu

$$E + 12^h = 11^h 57^m 58.^s.193 + 6.8270 (0.^s.6981 + 0.1422 \times 0.^s.0174) = 11^h 58^m 02.^s.976$$

- 6) Wyrazić w czasie uniwersalnym średnim $UT1$ moment, w którym w dniu 26 sierpnia 2015 roku kąt godzinny Słońca prawdziwego względem południka Borowej Góry wynosi 20^h10^m41^s.027.

Kąt godz. Słońca prawdz. wzgl. południka BG	20 ^h 10 ^m 41 ^s .027
minus długość geogr. Borowej Góry	- 1 24 08.914 ze str. 7
kąt godz. Słońca prawdz. wzgl. poł. Greenwich	18 46 32.113
minus $(E + 12^h)$	- 11 58 02.976 ^{a)}
kąt godz. Sł. śr. wzgl. poł. Greenwich minus 12 ^h	6 48 29.137
plus $\mu\Delta T'$	+ 0.183 zob. przykład poprzedni
$UT1$	6 48 29.320

- a) Do obliczenia równania czasu potrzeba znać a priori czas TT w zadanym momencie, ale niedokładność paru sekund nie ma znaczenia. Przybliżoną w tych granicach wartość czasu TT obliczamy w sposób następujący:

kąt godz. Słońca prawdz. wzgl. poł. Greenwich minus $(E + 12^h)$	$\begin{array}{r} 18^h 46^m 32^s.11 \\ -11^h 58^m 02.95 \text{ b)} \\ \hline 6^h 48^m 29.16 \end{array}$	
kąt godz. Sł. śr. wzgl. poł. Greenwich minus 12^h plus $\mu\Delta T'$	$\begin{array}{r} 0.18 \\ + 6^h 48^m 29.34 \\ \hline 6^h 48^m 30.02 \end{array}$	zob. przykład poprzedni
$UT1$ minus $[UT1 - UTC]_{IERS}$	$\begin{array}{r} 0.68 \\ + 6^h 49^m 05.02 \\ \hline 6^h 49^m 35.00 \end{array}$	ze str. 41 (interpolowane)
UTC plus $(TAI - UTC)$	$\begin{array}{r} 35.00 \\ + 6^h 49^m 32.18 \\ \hline 6^h 49^m 37.20 \end{array}$	wzór (60)
TAI plus $(TT - TAI)$	$\begin{array}{r} 32.18 \\ + 6^h 49^m 37.20 \\ \hline 6^h 49^m 37.20 \end{array}$	wzór (44)

- b) Do obliczenia przybliżonej wartości równania czasu współczynnik interpolacyjny np określamy na podstawie wartości kąta godzinnego Słońca względem południka Greenwich zmniejszonej o 12^h , czyli przybliżonej (błędnej głównie o wartość równania czasu minus $\Delta T'$) wartości czasu TT . Możemy tak zrobić, ponieważ przemiany równania czasu są podane na $0^h TT$, a zatem $n = TT/24^h$, przy czym są to przemiany godzinowe, zatem $p = 24^h/1^h$. Tak więc

$$np \simeq \frac{\text{czas sl. pr. Greenwich}}{1^h} = \frac{18^h 47^m - 12^h}{1^h} = 6.8$$

Przybliżoną wartość równania czasu (zwiększoną o 12^h) interpolujemy liniowo, korzystając z danych ze str. 17, podobnie jak w przykładzie poprzednim

$$E + 12^h = 11^h 57^m 58.19 + 6.8 \times 0^s.70 = 11^h 58^m 02^s.95$$

Z tą prowizoryczną wartością równania czasu kończymy rachunek przybliżonej wartości czasu TT . Następnie liczymy dokładnie współczynniki interpolacyjne

$$n = \frac{6^h 49^m 37^s.20}{24^h} = +0.284458, \quad \frac{n}{2} = +0.1422, \quad np = +6.8270$$

a wreszcie ostateczną wartość równania czasu, z którą kończymy obliczenia zasadnicze. Tu również korzystamy z danych ze str. 17, użytych w przykładzie poprzednim

$$E + 12^h = 11^h 57^m 58^s.193 + 6.8270 (0^s.6981 + 0.1422 \times 0^s.0174) = 11^h 58^m 02^s.976$$

Pozorne współrzędne równikowe Słońca w układzie równikowym związanym z punktem równonocy wiosennej oblicza się według tego samego schematu z wykorzystaniem wielkości α_{app}^{γ} w miejsce α_{app}^{CIO} .

Księżyca (str. 20÷27)

Pozorne współrzędne równikowe (CIP) Księżyca: rektascensja (α_{app}^{CIO}) odniesiona do CIO, rektascensja (α_{app}^{γ}) odniesiona do punktu równonocy wiosennej i deklinacja (δ_{app}), obliczone w odstępach dobowych w skali czasu TT .

W kolejnych kolumnach tablic zawarto:

- $V_{\delta}/1^h$, przemianę deklinacji pozornej Księżyca na jedną godzinę;
- R , pozorny promień tarczy Księżyca;
- π , horyzontalną paralaksę równikową Księżyca;
- Wiek Księżyca, interwał czasu liczony w dobach od nowiu.

Wschody i zachody Księżyca odnoszą się do momentów wschodu i zachodu górnego brzegu tarczy Księżyca w Warszawie (Obserwatorium Politechniki) w czasie śródnowo-europejskim ($UTC + 1^h$). W obliczeniach uwzględniono refrakcję średnią i paralaksę Księżyca na dany moment. Chcąc wyrazić wschody, górowania i zachody w czasie wschodnio-europejskim, który w Polsce jest czasem letnim, należy momenty podane w Roczniku zwiększyć o jedną godzinę. Godzina 24 otrzymana z dodawania byłaby wtedy godziną 0 dnia następnego.

Pozorne położenie Słońca (str. 28)

Momenty wstępowania Słońca w poszczególne znaki Zodiaku podano w czasie TT , który w tym wypadku można uzupełniać z czasem uniwersalnym.

Planety (str. 28÷29)

Pozorne współrzędne równikowe: rektascensja (α_{app}^{CIO}) i deklinacja (δ_{app}) planet: Merkurego, Wenus, Marsa obliczone w odstępach 10 dniowych zaś Jowisza, Saturna, Urana i Neptuna w odstępach 20 dniowych, w skali czasu TT. Są one odniesione do równika CIP oraz do CIO.

W kolejnych kolumnach tablic zawarto:

- π , horyzontalną paralaksę równikową planety;
- R , pozorny promień tarczy planety.

Fazy Księżyca, perigeum, apogeum (str. 29)

Momenty osiągnięcia faz są podane do 1 minuty, momenty przejścia Księżyca przez perigeum i apogeum do 1 godziny.

Lunacja to cykl faz Księżyca pomiędzy dwoma kolejnymi nowiami. Czas trwania lunacji nosi nazwę miesiąca synodycznego i zwykle oba te pojęcia są utożsamiane. Zgodnie z propozycją Browna lunacje są numerowane kolejno od 17 stycznia 1923 roku (w nawiasach podano numery kolejnych lunacji).

Paralaksa Księżyca w perigeum i apogeum przyjmuje wartości ekstremalne.

Tablice do obliczania czasu wschodu i zachodu Słońca i Księżyca poza Warszawą (str. 30÷31)

Momenty wschodu i zachodu Słońca oraz Księżyca w Warszawie, wyrażone w czasie śródkowieuropejskim, podano w tablicach na str. 12÷27. Czas wschodu i zachodu Słońca w innych miejscowościach Polski można obliczyć korzystając z danych zawartych w tablicy ze str. 30, a czas wschodu i zachodu Księżyca korzystając z danych z tablicy ze str. 31. Tablice te zawierają poprawki, jakie należy dodać (algebraicznie) do czasu wschodu i zachodu tych ciał niebieskich w Warszawie (z uwzględnieniem uwag zamieszczonych u dołu str. 30 i 31), aby otrzymać momenty wschodu i zachodu w CSE w innych miejscowościach.

Przykład obliczenia momentów wschodów i zachodów poza Warszawą

- 7) Obliczyć w czasie śródkowieuropejskim momenty wschodu i zachodu Słońca oraz Księżyca w dniu 10 marca 2015 roku w Kaliszu.

Ze str. 13 Rocznika dla Słońca i str. 21 dla Księżyca dostajemy

	Słońce	Księżyc
	wschód zachód	wschód górow.zachód
III.10	6 ^h 03 ^m 17 ^h 31 ^m	22 ^h 37 ^m 2 ^h 46 ^m 7 ^h 50 ^m
III.11		3 ^h 32 ^m

Obliczamy dla Księżyca odstępy czasu τ , przy czym τ_E jest to odstęp czasu między wschodem a następującym po nim górowaniem, zaś τ_W przedstawia odstęp czasu między poprzedzającym dany zachód górowaniem a momentem zachodu

$$\tau_E = 3^h32^m - 22^h37^m = 4^h55^m, \quad \tau_W = 7^h50^m - 2^h46^m = 5^h04^m$$

Do obliczeń przyjmujemy współrzędne geograficzne Kalisza

$$\varphi = +51^\circ 46' \quad \lambda = 18^\circ 06' = +1^h12^m4$$

Najpierw interpolujemy dla szerokości geograficznej Kalisza dane ze str. 30 i 31, i układamy dla nich tabelki poprawek. Dla Słońca interpolujemy w wierszach okalających dat, a dla wschodu Księżyca w wierszach najbliższych τ (dla zachodu Księżyca przyjmujemy tę samą wyinterpolowaną wartość z przeciwnym znakiem). Obliczamy także różnicę długości geograficznych Kalisz—Warszawa. Długość geograficzną Warszawy przyjmujemy przy tym równą $+1^h24^m0$, tj. równą długości Obserwatorium Politechniki Warszawskiej (str. 7), do którego odnoszą się momenty wschodów i zachodów Słońca i Księżyca w Warszawie.

	Słońce		Księżyc		długość geogr.
	wsch.	zach.	τ	wsch.	Kalisz
III.02	-0 ^m 6	+0 ^m 6	4 ^h 50 ^m	-1 ^m 4	1 ^h 12 ^m 4
III.12	-0 ^m 2	+0 ^m 2	5 ^h 00 ^m	-1 ^m 2	W-wa Obs. PW 1 24.0
			5 ^h 10 ^m	-1 ^m 0	- $\Delta\lambda$ +11.6

Poprawki na zadaną datę i dla odstępów czasu τ interpolujemy liniowo. Wyinterpolowane poprawki dodajemy algebraicznie wraz z różnicą długości (długość Warszawy minus długość Kalisza) do danych dla Warszawy. Wyniki otrzymujemy w czasie śródka europejskim.

		Słońce		Księżyc	
		wschód	zachód	wschód	zachód
III.10	Warszawa cz. śr. eur.	$6^h 03^m$	$17^h 31^m$	$22^h 37^m$	$7^h 50^m$
	poprawka w szerokości	-0.3	+0.3	-1.4	+1.0
	poprawka w długości	+11.6	+11.6	+11.6	+11.6
III.10	Kalisz cz. śr. eur.	$6^h 14^m$	$17^h 43^m$	$22^h 47^m$	$8^h 03^m$

Poprawki do obliczeń momentów początku brzasku i końca zmierzchu cywilnego w Warszawie (str. 31)

Podano poprawki dla Warszawy 3 razy w miesiącu. Na inne dni wystarczy interpolować liniowo. Błąd wyniku końcowego nie przekracza 2 minut.

Odległość zenitalną środka Słońca w momentach początku brzasku i końca zmierzchu cywilnego przyjęto równą $96^{\circ}30'$.

Wschód i zachód Słońca w niektórych miastach Polski (str. 32÷33)

Podano w czasie śródka europejskim momenty wschodu i zachodu górnego brzegu tarczy słonecznej we wszystkie niedziele dla następujących miast polskich: Białegostoku, Bydgoszczy, Gdańska, Katowic, Kielc, Koszalina, Krakowa, Lublina, Łodzi, Olsztyna, Opola, Poznania, Rzeszowa, Szczecina, Wrocławia i Zielonej Góry.

Wschód i zachód Słońca w niektórych stolicach europejskich (str. 34)

Podano w czasie śródka europejskim momenty wschodu i zachodu górnego brzegu tarczy słonecznej dwa razy w miesiącu dla następujących stolic europejskich: Aten, Belgradu, Berlina, Budapesztu, Bukaresztu, Helsinek, Lizbony, Londynu, Madrytu, Moskwy, Paryża, Pragi, Rzymu, Sofii, Sztokholmu i Wiednia.

Kalendarz Astronomiczny (str. 35)

Kalendarz Astronomiczny umożliwia odczytanie momentów wschodu i zachodu w Warszawie w czasie śródka europejskim: Słońca, Merkurego, Wenus, Marsa, Jowisza i Saturna, a także początku brzasku cywilnego i astronomicznego oraz końca zmierzchu cywilnego i astronomicznego.

Konfiguracje planet (str. 37)

Tablica konfiguracji planet zawiera momenty koniunkcji planet Układu Słonecznego ze Słońcem, Księżykiem oraz koniunkcji wzajemnych, a także momenty elongacji planet wewnętrznych i opozycji planet zewnętrznych.

Koniunkcja oznacza moment, w którym odległość kątowa na sferze niebieskiej dwóch ciał jest minimalna.

Elongacja i opozycja oznaczają z kolei największą, względną, kątową odległość planety i Słońca na sferze niebieskiej.

Dwie ostatnie kolumny tablicy przedstawiają, odpowiednio, odległość kątową i położenie danej planety w stosunku do drugiego, wymienionego ciała Układu Słonecznego w momencie koniunkcji gdzie: N — oznacza, że wartość deklinacji planety jest większa niż wartość deklinacji drugiego ciała, S — przeciwnie.

Zaćmienia Słońca i Księżyca (str. 38÷39)

Podano ogólne informacje o zaćmieniach Słońca i Księżyca. Dane liczbowe dotyczące zaćmień Słońca i Księżyca zaczerpnięto ze stron internetowych NASA (F. Espenak, J. Anderson, <http://eclipse.gsfc.nasa.gov/eclipse.html>).

Współrzędne bieguna **CIP** („chwilowego” bieguna północnego Ziemi) oraz poprawka do czasu uniwersalnego (str. 40÷41)

Współrzędne x_{IERS} , y_{IERS} Niebieskiego Bieguna Pośredniego **CIP** („chwilowego” bieguna północnego Ziemi) na lata 2013–2014 podano w pięciodniowych interwałach wraz z datą oraz zmodyfikowaną datą juliańską (*MJD*). Są one wyrażone w układzie płaskich współrzędnych prostokątnych o początku w *IRP* (IERS Reference Pole) w systemie *ITRS*. Do roku 1987 początkiem tego układu był *CIO** (Conventional International Origin) w systemie *BTS* (BIH Terrestrial System).

Współrzędne te (nie wyrównywane) zostały obliczone na podstawie wykonanych różnymi technikami obserwacji, których wyniki są przekazywane do IERS i sprowadzone do wspólnego układu za pomocą odpowiednich, systematycznych, właściwych dla danej techniki poprawek. Oś x tego układu jest styczna do południka zerowego *ITRS* (*IRM* — IERS Reference Meridian) ze zwrotem w kierunku Greenwich, a oś y jest skierowana na zachód. Relacje pomiędzy λ_0 , φ_0 i A_0 , oznaczającymi odpowiednio długość, szerokość i azymut, odniesione do *IRP* oraz λ_{CIP} , φ_{CIP} i A_{CIP} , oznaczającymi chwilowe współrzędne i azymut odniesione do **CIP** (bardzo bliskiego chwilowemu biegunowi Ziemi), wyrażają następujące wzory:

$$\begin{aligned}\lambda_0 &= \lambda_{\text{CIP}} - \frac{1}{15} (x'' \sin \lambda_0 + y'' \cos \lambda_0) \tan \varphi_0 \\ \varphi_0 &= \varphi_{\text{CIP}} - (x'' \cos \lambda_0 - y'' \sin \lambda_0) \\ A_0 &= A_{\text{CIP}} - (x'' \sin \lambda_0 + y'' \cos \lambda_0) \sec \varphi_0\end{aligned}\tag{74}$$

We wzorach (74) długości geograficzne punktów leżących na wschód od Greenwich mają wartości dodatnie, a azymuty liczy się od północy zgodnie z ruchem wskazówek zegara. Wielkości x'' i y'' odpowiadają współrzednym płaskim x_{IERS} , y_{IERS} bieguna **CIP** wyrażonym w sekundach łuku.

Poprawkę $\Delta\lambda = UT1 - UT0$, która służy do przejścia od czasu uniwersalnego południka *TIO* w *IRS* do czasu uniwersalnego południka zerowego *ITRS* Greenwich, można odnaleźć w pierwszym ze wzorów (74). Mamy mianowicie

$$\Delta\lambda = UT1 - UT0 = -\frac{1}{15} (x'' \sin \lambda_0 + y'' \cos \lambda_0) \tan \varphi_0\tag{75}$$

Oprócz współrzędnych bieguna **CIP** tablica zawiera także różnice $UT1 - UTC$. Pozwalają one na przejście od Czasu Uniwersalnego Koordynowanego *UTC* do średniego czasu uniwersalnego *UT1*.

Wielkości $\Delta T_s = UT2 - UT1$, które przedstawiają sezonowe nieregularności ruchu obrotowego Ziemi, są przedstawiane od szeregu lat za pomocą wzoru

$$\Delta T_s = +0^s.022 \sin 2\pi\tau - 0^s.012 \cos 2\pi\tau - 0^s.006 \sin 4\pi\tau + 0^s.007 \cos 4\pi\tau\tag{76}$$

We wzorze (76) τ oznacza część roku, jaka upłynęła od jego początku do zadanego momentu.

Współrzędne bieguna **CIP** są odniesione do układu o początku w *IRP*, przy czym do opracowania końcowych wyników $UT1 - UTC$ są przyjmowane wyrównane współrzędne w systemie *ITRS*.

Dane dotyczące bieguna **CIP** oraz różnice $UT1 - UTC$ na koniec roku 2013 i większą część roku 2014 zamieszczono na str. 40. Dane stanowią wynik obliczeń prowadzonych na bieżąco przez IERS, aktualizowanych dwa razy w tygodniu i publikowanych jako tzw. rozwiązanie C04²¹⁾ oraz w wydawanych co miesiąc przez IERS biuletynach B²²⁾. Tablica zawiera dane dostępne w chwili wydawania Rocznika.

Przybliżone, przewidywane, dostępne w chwili wydawania Rocznika, współrzędne bieguna **CIP** oraz różnice $UT1 - UTC$ na koniec roku 2014 i znaczną część roku 2015 zostały przedstawione w tablicy na str. 41. Dane te za-czerpnięto z biuletynu A²³⁾, wydanego przez IERS Rapid Service/Prediction Center w US Naval Observatory i podano z dokładnością do dwóch cyfr znaczących.

²¹⁾ Dane te są dostępne pod adresem internetowym: <ftp://ftp.iers.org/products/eop/long-term/>.

²²⁾ Biuletyny B są dostępne pod adresem internetowym: <ftp://hpiers.obspm.fr/eop-pc/bul/bulc/>.

²³⁾ Biuletyny A są dostępne pod adresem internetowym: <ftp://maia.usno.navy.mil/ser7/ser7.dat>.

Sygnały czasu (str. 42)

Podano aktualne informacje o wybranych, europejskich i światowych radiostacjach nadających całodobowo sygnały czasu. Dane te zostały zaczerpnięte z *BIPM Annual Report on Time Activities*, Vol. 8, 2013, wydawanego corocznie przez Bureau International des Poids et Mesures, w Sèvres oraz stron internetowych wybranych stacji nadawczych.

Poprawki do momentów emisji sygnałów względem Czasu Uniwersalnego Koordynowanego *UTC* są z reguły zanie-dbywalne w porównaniu do błędów znajomości czasu propagacji fal radiowych.

W Polsce sygnały czasu są nadawane przez rozgłośnie Polskiego Radia z Głównego Urzędu Miar, który wysyła sygnały złożone z sześciu krótkich znaków fonicznych, następujących po sobie w odstępach sekundowych. Początek ostatniego znaku oznacza równą godzinę z dokładnością większą niż 1 ms.

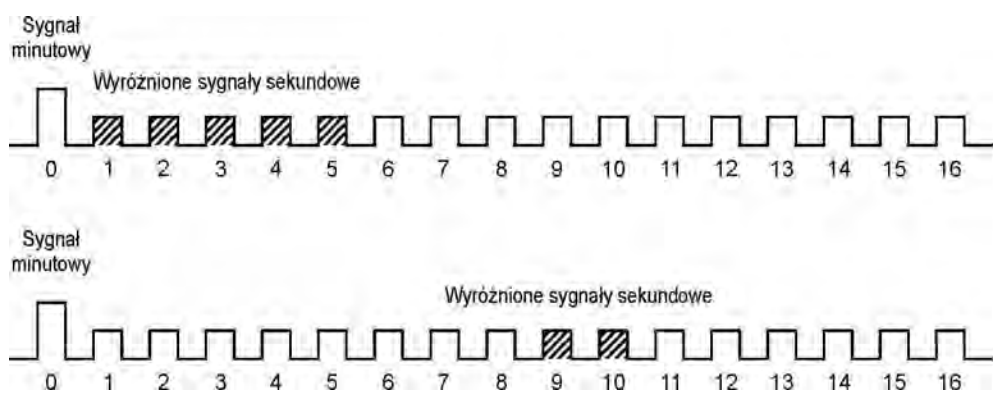
Z sygnałów Polskiego Radia można korzystać przy wyznaczeniach azymutu astronomicznego metodą kąta godzinnego Polaris. Poprawki tych sygnałów względem czasu koordynowanego, a także poprawki propagacyjne na obszarze Polski, są przy tym zaniedbywalne. Do momentu emisji należy jedynie wprowadzać wartości *DUT1*²⁴⁾ i przy przejściach do czasu południka Greenwich pamiętać o różnicę między czasem uniwersalnym a czasem urzędowym

$$DUT1 = UT1 - UTC \quad (77)$$

Większość emitowanych sygnałów dokładnego czasu zawiera w sobie informację o wartości poprawki *DUT1*, wyrażonej w $0^s1^{25})$. Dodatnia wartość *DUT1* jest wskazywana przez wyróżnienie następujących po sobie n sygnałów sekundowych po sygnale oznaczającym pełną minutę. Ujemna wartość *DUT1* jest wskazywana przez n następujących po sobie, wyróżnionych sygnałów sekundowych, począwszy od dziewiątej sekundy po impulsie oznaczającym pełną minutę

$$DUT1 = n \times 0^s1 \quad (78)$$

Impulsy sekundowe sygnalizujące wartość poprawki *DUT1* są wyróżniane np.: przez przedłużenie sygnału, podwojenie, lub zmianę jego tonu. Na rys. 4 przedstawiono kodowanie poprawek $DUT1 = 0^s5$ oraz $DUT1 = -0^s2$.



Rys. 4 Kodowanie poprawek *DUT1*

Mapa deklinacji magnetycznej (str. 43)

Z mapy deklinacji magnetycznej na epokę 2015.5 można wyinterpolować przybliżoną wartość deklinacji magnetycznej dla dowolnego punktu na obszarze Polski. Aby otrzymać wartość deklinacji na inną epokę, należy ekstrapolować liniowo z uwzględnieniem podanej zmiany rocznej. Epoka, na którą dokonuje się ekstrapolacji nie powinna odbiegać bardziej niż 5 lat od epoki mapy deklinacji.

²⁴⁾ Informacje o wartościach poprawek *DUT1* są publikowane w biuletynie D IERS (<ftp://hpiers.obspm.fr/eop-pc/bul/buld/>).

²⁵⁾ Niektóre stacje jak np. RWM i RBU kodują w sygnałach czasu dodatkową informację (*dUT1*), pozwalającą na określenie różnicy czasu *UT1 – UTC* z dokładnością do 0^s02 .

Miejsca średnie gwiazd (str. 44÷62)

Miejsca średnie ($\alpha_{2015.5}$, $\delta_{2015.5}$) gwiazd wybranych z katalogu FK5 (*Fifth Fundamental Catalogue*), ich przemiany roczne VA_α , VA_δ oraz roczne ruchy własne μ_α , μ_δ , obliczono zgodnie z uchwałą IAU (Grenoble, 1976) (patrz str. 160 niniejszego RA), to znaczy w systemie stałych IAU1976, wychodząc z pozycji katalogowych FK5, odniesionych do epoki J2000.0 i ekwinokcja FK5. Miejsca średnie gwiazd są podane na epokę 2015.5. Wybór zawiera 475 gwiazd północnej półkuli niebieskiej, w tym 460 gwiazd o deklinacji nie większej niż 81° i 15 gwiazd bliskobiegunowych, których deklinacje przekraczają 81° oraz 474 gwiazdy południowej półkuli niebieskiej, z których 5 leży blisko bieguna południowego.

Jasności gwiazd o deklinacjach zawartych w granicach od -81° do $+81^\circ$ nie przekraczają $5^m 68$. Oznaczenia *pr*, *sq*, *cg*, umieszczone przy numerach gwiazd (wg FK5), odnoszą się do gwiazd podwójnych i oznaczają odpowiednio: *praecedens* — poprzedzająca, *sequens* — następująca, *centrum gravitatis* — środek mas. Znak * przy numerze gwiazdy (wg FK5) oznacza, że w Roczniku są podane również jej pozycje pozorne. W kolumnie jasności gwiazdowych (magnitudo) literą *v* oznaczono gwiazdy zmienne — jasności gwiazd pochodzą z katalogu FK4. Tablice zawierają ponadto typy widmowe (Sp) gwiazd oraz ich paralaksy (π) zaczerpnięte z katalogu FK5.

Barycentryczne pozycje gwiazd w systemie ICRS (BCRS) (str. 63÷81)

Tablice barycentrycznych pozycji gwiazd, zgodnie z Rezolucją B2 XXIII Zgromadzenia Generalnego IAU (Kyoto, 1997), zostały opracowane na podstawie katalogu Hipparcos uznanego za podstawową realizację ICRS w zakresie widma optycznego. Tablice zawierają te same gwiazdy, których miejsca średnie na epokę J2015.5 zamieszczono w tablicach na str. 44÷62. Zamieszczone w niniejszym Roczniku Astronomicznym barycentryczne pozycje ICRF gwiazd na epokę J2000.0 obliczono korzystając z ich pozycji podanych w katalogu Hipparcos (odniesionego do epoki J1991.25), w oparciu o tzw. „standardowy model ruchu gwiazd” (zakładający ich prostoliniowy ruch w trójwymiarowej przestrzeni), z uwzględnieniem ruchów własnych w rektascencji i deklinacji (Hipparcos) oraz prędkości radialnych. Katalog Hipparcos nie zawiera danych o prędkościach radialnych gwiazd. Prędkości radialne V_R większości gwiazd pochodzą więc z katalogu FK6, a w wypadku gwiazd, których on nie obejmuje, z katalogu FK5.

W tablicach barycentrycznych pozycji gwiazd dla każdej gwiazdy podano jej numer katalogowy według katalogu Hipparcos (HIP) oraz według katalogu FK5, jasność gwiazdy (magnitudo), jej pozycję barycentryczną α_{ICRF} i δ_{ICRF} oraz ruchy własne μ_α i μ_δ , przeliczone na epokę J2000.0, a także paralaksę roczną π oraz typ widmowy (Sp). Wszystkie powyższe dane zaczerpnięte zostały z katalogu Hipparcos.

Oznaczenia *pr*, *sq*, *cg* umieszczone przy numerach gwiazd (HIP) odnoszą się do gwiazd podwójnych i oznaczają, podobnie jak w tablicach miejsc średnich, odpowiednio: *praecedens* — poprzedzająca, *sequens* — następująca, *centrum gravitatis* — środek mas. Znak * przy numerze gwiazdy (HIP) oznacza, że w Roczniku są podane również jej pozycje pozorne. W kolumnie jasności gwiazdowych (magnitudo) literą *v* oznaczono gwiazdy zmienne.

W przypadku gwiazd podwójnych o wyróżniającej się jasności, np. Syriusz lub Bieguna, ich pozycje barycentryczne odnoszą się do środka mas układu podwójnego.

Wielkości redukcyjne (str. 82÷89)²⁶⁾

Wielkości redukcyjne podano w odstępach dobowych na 0^h Dynamicznego Czasu Gwiazdowego SDT. Służą one do obliczania miejsc pozornych α_{app}^γ , δ_{app} .

Współrzędne pozorne gwiazdy oblicza się następująco:

$$\begin{aligned}\alpha_{app}^\gamma &= \alpha_0 + (A + A')a + (B + B')b + Cc + Dd + E + \mu_\alpha \tau + I_\alpha \tan^2 \delta_0 \\ \delta_{app} &= \delta_0 + (A + A')a' + (B + B')b' + Cc' + Dd' + \mu_\delta \tau + I_\delta \tan \delta_0\end{aligned}\tag{79}$$

gdzie α_0 , δ_0 to miejsca średnie na środek roku, a wielkości redukcyjne A , A' , B , B' odnoszą się do precesji i nutacji

$$\begin{aligned}A + A' &= n\tau + (\Delta\Psi + d\Psi) \sin \varepsilon & A' &= d\Psi \sin \varepsilon \\ B + B' &= -(\Delta\varepsilon + d\varepsilon) & B' &= -d\varepsilon\end{aligned}\tag{80}$$

²⁶⁾ W świetle uchwały IAU (Montreal, 1979), metoda tu opisywana nie może być stosowana w obliczeniach wymagających wysokiej precyzji (patrz str. 160 niniejszego RA).

C i D są to wielkości redukcyjne uwzględniające aberrację roczną

$$\begin{aligned} C &= 1191''28616 \dot{Y} \\ D &= -1191''28616 \dot{X} \end{aligned} \quad (81)$$

przy czym \dot{X}, \dot{Y} to składowe barycentrycznego wektora prędkości Ziemi w jednostkach astronomicznych na dobę, a n oznacza precesję roczną w deklinacji (str. 7) wyrażoną w sekundach łuku. Ułamek τ przedstawia część roku zwrotnikowego od środka roku do danego momentu. W pierwszej połowie roku jest on ujemny, a w drugiej dodatni.

Współczynniki a, b, c, d i a', b', c', d' są obliczane ze wzorów

$$\begin{aligned} a &= \frac{1}{15} \left(\frac{m}{n} + \tan \delta \sin \alpha \right) & a' &= \cos \alpha \\ b &= \frac{1}{15} \tan \delta \cos \alpha & b' &= -\sin \alpha \\ c &= \frac{1}{15} \sec \delta \cos \alpha & c' &= \tan \varepsilon \cos \delta - \sin \delta \sin \alpha \\ d &= \frac{1}{15} \sec \delta \sin \alpha & d' &= \sin \delta \cos \alpha \end{aligned} \quad (82)$$

gdzie m oznacza precesję roczną w rektascensji (str. 7) wyrażoną w sekundach łuku.

Ruch własny gwiazdy μ_α w rektascensji i μ_δ w deklinacji jest podany w tablicach miejsc średnich.

Wielkość redukcyjną E oblicza się ze wzoru

$$E = \frac{p_2}{p_1} (\Delta\Psi + d\Psi) \quad (83)$$

gdzie p_1 oznacza roczną precesję równika, a p_2 roczną precesję ekiptyki (str. 7).

Miejsca pozorne gwiazd, których paralaksa roczna jest nie mniejsza niż $0''.010$, oblicza się z uwzględnieniem wpływu tej ostatniej, w myśl następujących zależności:

$$\begin{aligned} c_\pi - c &= +0.05318\pi''d & c'_\pi - c' &= +0.05318\pi''d' \\ d_\pi - d &= -0.04476\pi''c & d'_\pi - d' &= -0.04476\pi''c' \end{aligned} \quad (84)$$

Wartości paralaks zamieszczone w tablicach na str. 44–62 wzięto z *General Catalogue of Trigonometric Stellar Parallaxes (Yale University Observatory, New Haven, Conn., 1952)*.

Przy obliczaniu miejsc pozornych gwiazd znacznie oddalonych od równika uwzględnia się wyrazy drugiego rzędu $I_\alpha \tan^2 \delta_0$ oraz $I_\delta \tan \delta_0$. Dla gwiazd o deklinacjach $\delta \approx 70^\circ$ wyrazy te mogą osiągać wartość około $0''.01$, a dla $\delta \approx 80^\circ$ wartość około $0''.02$.

Występujące tu współczynniki I_α i I_δ oblicza się ze wzorów

$$I_\alpha = \frac{1}{15} PQ \sin 1'', \quad I_\delta = -\frac{1}{2} P^2 \sin 1'' \quad (85)$$

przy czym wielkości P i Q dane są wzorami

$$P = (A \pm D) \sin \alpha + (B \pm C) \cos \alpha, \quad Q = (A \pm D) \cos \alpha - (B \pm C) \sin \alpha \quad (86)$$

(dla gwiazd o $\delta > 0^\circ$ należy brać znaki górne).

Nutację w długości $\Delta\Psi$, $d\Psi$ i nutację w nachyleniu $\Delta\varepsilon$, $d\varepsilon$, a następnie wielkości redukcyjne A, A', B, B', C, D i E oraz czas gwiazdowy prawdziwy obliczono w systemie IAU1976 i w odniesieniu do standardowej epoki J2000.0.

Miejsca pozorne gwiazd²⁷⁾ (str. 90÷113)

W pierwszej części tablic podano w odstępach co 10 dób gwiaźdzowych miejsca pozorne α_{app}^γ i δ_{app} w momencie górowania w południku Greenwich 48 gwiazd nieba północnego i 8 gwiazd nieba południowego z katalogu FK5. Zostały one wybrane spośród gwiazd, których pozycje średnie na epokę 2015.5 zawarto w tablicach na stronach 44÷62. Przy nazwach gwiazd zamieszczono dodatkowo ich wielkości gwiaźdzowe i typy widmowe. U dołu kolumny każdej gwiazdy zamieszczono: miejsca średnie na środek roku, współczynniki $\sec \delta$ i $\tan \delta$ pomocne przy redukcji obserwacji przejść gwiazd przez południk, dzień, w którym przypada dwukrotne górowanie w południku Greenwich oraz wartości stałych redukcyjnych a, a', b, b' , służące do dodatkowego uwzględnienia krótkookresowej części nutacji, pominiętej w efemerydach tych gwiazd, według wzorów

$$\begin{aligned}\Delta\alpha_{app}^\gamma &= A'a + B'b \\ \Delta\delta_{app} &= A'a + B'b'\end{aligned}\quad (87)$$

W drugiej części, w odstępach dobowych zamieszczono efemerydy miejsc pozornych α_{app}^γ i δ_{app} Polaris i czterech innych gwiazd bliskobiegunowych: 1H Dra, ε UMi, δ UMi, 36H Cep. Efemerydy gwiazd okolobiegunowych zawierają już krótkookresową część nutacji. U dołu stronic podano daty dwukrotnego górowania²⁸⁾ oraz dolowania, miejsca średnie na środek roku, a także współczynniki $\sec \delta$ i $\tan \delta$ w odstępach co 10'' wartości deklinacji.

Przykłady obliczenia miejsc pozornych

- 8) Obliczyć przy użyciu wzoru interpolacyjnego Stirlinga, na podstawie tablic miejsc pozornych gwiazd, współrzędne pozorne gwiazdy α Cygni (FK5 777) na moment 2015 października $21^d 16^h 00^m 00^s$ UT1.

Ze str. 101 Rocznika wypisujemy α_{app}^γ i δ_{app} na okalające daty oraz obliczamy pierwsze i drugie różnice

	α_{app}^γ		δ_{app}
2015.X.06 ^d .8	$20^h 41^m 59^s.304$		$+45^\circ 20' 38''44$
	−0.265		+1.01
16.7	59.039	−0.008	39.45
	−0.273		−0.50
26.7	58.766		+0.51
			39.96

Z dołu tej samej strony wypisujemy ponadto stałe redukcyjne, potrzebne do obliczenia wpływu krótkookresowej części nutacji

$$a = +0.102 \quad b = +0.044 \quad a' = +0.649 \quad b' = +0.761$$

Wielkości redukcyjne A' i B' , potrzebne do tego samego celu, bierzemy ze str. 88

	A'		B'
2015.X.20 ^d .919	+0''.038		+0''.042
	+0.014		−0.035
21.917	+0.052	−0.015	+0.007
	−0.001		−0.039
22.914	+0.051		−0.032

Należy najpierw wyrazić zadany moment w średnim czasie gwiaźdzowym Greenwich

$$\begin{array}{lcl} UT1 & & 16^h 00^m \\ \text{plus redukcja } UT1 \text{ na śr. czas gw.} & + & 3 \text{ wzór (16)} \\ \Delta s \text{ interwał czasu śr. gw. odp. } UT1 & & 16 03 \\ GMST o } 0^h \text{ UT1} & + & 1 56 \text{ ze str. 11} \\ \text{GMST w zadanym momencie} & & 17 59 \end{array}$$

-
- 27) Porównanie wartości miejsc pozornych (odniesionych zarówno do CIO jak i punktu równonocy) opartych na danych katalogowych FK5 oraz Hipparcos wykazuje w wypadku niektórych gwiazd duże rozbieżności. Rozbieżności te mają swoje źródło w systematycznych błędach pozycji zawartych w katalogu FK5 i osiągają niekiedy wartość nawet kilkuset mas. Dokonana w trakcie przygotowania Rocznika wstępna analiza danych prezentowanych w niniejszych tablicach wskazuje, że wspomniane rozbieżności dotyczą w szczególności gwiazd o numerach katalogowych FK5: 257 (α CMa), 335 (ι UMi), 417 (ζ UMi) i 893 (γ Cep). Pozycje pozorne tych gwiazd wyznaczone w oparciu o katalog FK5 należy traktować ze szczególną ostrożnością.
- 28) Niezgodność tej daty z wynikającą z momentów górowania z pierwszej kolumny jest pozorna i wynika z zaokrągleń tych ostatnich do jednego miejsca po przecinku.

Współczynnik interpolacji obliczamy jako podzieloną przez 10^d (interwał z jakim tablicowane są w Roczniku miejsca pozorne) różnicę pomiędzy wyrażonym w czasie gwiazdowym momentem zadanym (data oraz czas gwiazdowy) a najbliższym momentem, dla którego została podana w Roczniku pozycja pozorna gwiazdy, tj. datą oraz czasem $UT1$ (ułamek doby) wyrażonym w skali czasu gwiazdowego. Ponieważ pozycje pozorne są podawane na moment górowania gwiazdy, moment czasu gwiazdowego efemerydy jest równy rektascensji gwiazdy.

Czas gwiazdowy Greenwich w zadanym momencie	2015.X.21	$17^h 59^m$
epoka efemerydy (cz. gw. Gr. w momencie górowania = rektascensja)	2015.X.17	20 42
	$+4 \quad 21 \quad 17$	
współczynnik interpolacyjny	$n = \frac{+4^d \ 21^h 17^m}{10^d} = +0.48868$	

Współczynnik do interpolowania wielkości redukcyjnych obliczamy w sposób następujący: od zadanego momentu, określonego liczbą dni miesiąca oraz ułamkiem doby, odpowiadającym czasowi uniwersalnemu średniemu $UT1$, odejmujemy najbliższą datę (złożoną z liczby dni miesiąca i ułamka doby, odpowiadającego czasowi uniwersalnemu średniemu $UT1$), na którą są podane w Roczniku wielkości redukcyjne, a w końcu, aby prowadzić interpolację w dziedzinie czasu gwiazdowego, otrzymaną różnicę dzielimy przez współczynnik 0.998 wzór (14).

Zadany moment	$21^d 16^h 00^m UT1 = 21.667 \quad UT1$
epoka efemerydy	$21.917 \quad UT1$
różnica	$-0.250 \quad \text{cz. śr. s.l.}$
współczynnik interpolacyjny	$n = \frac{-0.250}{0.998} = -0.251$

A oto rachunek interpolacyjny za pomocą wzoru Stirlinga

$$\begin{aligned}\alpha_{app}^\gamma &= 20^h 41^m 59^s.039 + 0.4887 (-0.5 \times 0^s.538 - 0.5 \times 0.4887 \times 0^s.008) = 20^h 41^m 58^s.907 \\ \delta_{app} &= +45^\circ 20' 39''.45 + 0.4887 (0.5 \times 1''.52 - 0.5 \times 0.4887 \times 0''.50) = +45^\circ 20' 39''.76 \\ A' &= +0''.052 - 0.251 (0.5 \times 0''.013 + 0.5 \times 0.251 \times 0''.015) = +0''.050 \\ B' &= +0''.007 - 0.251 (-0.5 \times 0''.074 + 0.5 \times 0.251 \times 0''.004) = +0''.016\end{aligned}$$

W ostatniej części rachunku uwzględniamy w myśl wzorów (87) wpływ krótkookresowej części nutacji, którego nie obejmują współrzędne pozorne publikowane w Roczniku

α_{app}^γ bez kr. nut.	$20^h 41^m 58^s.907$	δ_{app} bez kr. nut.	$+45^\circ 20' 39''.76$		
$A'a$	+	0.0051	$A'a'$	+	0.032
$B'b$	+	0.0007	$B'b'$	+	0.012
α_{app}^γ	$20^h 41^m 58^s.913$	δ_{app}	$+45^\circ 20' 39''.80$		

- 9) Obliczyć współrzędne równikowe pozorne α_{app}^γ i δ_{app} gwiazdy α Cygni (FK5 777) na moment 2015 października $21^d 16^h 00^m 00^s UT1$, wychodząc z miejsc średnich na środek roku.

Najpierw, ze str. 59 Rocznika (gwiazda nr FK5 777), wypisujemy współrzędne równikowe średnie i ruchy własne na epokę 2015.5 oraz paralaksę

$$\begin{aligned}\alpha_{2015.5} &= 20^h 41^m 57^s.648 & \delta_{2015.5} &= +45^\circ 20' 10''.79 \\ \mu_\alpha &= +0.0003 & \mu_\delta &= +0.002 \\ \pi &= 0''.000\end{aligned}$$

Dalej ze str. 88 wypisujemy wielkości redukcyjne oraz obliczamy pierwsze i drugie różnice. Na zadany moment interpolujemy za pomocą wzoru Stirlinga

UT1	τ	A + A'	B + B'	C	D	E
X.20 ^d .919	+0 ^a .3013	+5''.514	+8''.995	+16''.658	+9''.705	-0 ^s .0002
		+53	-19	-153	+313	
21.917	+0.3040	+5.567	-16	+8.976	-3	-0.0002
		+37	-22	-158	+310	
22.914	+0.3067	+5.604	+8.954	+16.347	+10.328	-0.0002

Wielkości redukcyjne są podane w Roczniku dla każdej doby na 0^h Dynamicznego Czasu Gwiazdowego ale w pierwszej kolumnie tablic podano także $UT1$ odpowiadający momentowi 0^h Dynamicznego Czasu Gwiazdowego. Dzięki temu można obliczyć współczynnik interpolacyjny na moment wyrażony w czasie uniwersalnym bez potrzeby przeliczania go na czas gwiazdowy Greenwich. Wystarczy $UT1$ momentu zadanego zamienić na ułamek doby i odjąć od niego $UT1$ z pierwszej kolumny, najbliższego zadanemu momentowi, a różnicę podzielić przez interwał argumentu

$$\begin{array}{ll} \text{moment zadanego} & 2015.X.21^{d}667 \quad UT1 \\ \text{epoka efemerydy} & 2015.X.21.917 \quad UT1 \\ \hline \text{różnica} & -0.250 \quad \text{cz. sr. sl.} \\ \text{współczynnik interpolacyjny} & n = \frac{-0.250}{0.998} = -0.251 \end{array}$$

Wyniki interpolacji za pomocą wzoru Stirlinga są następujące:

$$\begin{aligned} \tau &= +0.3033 \\ A + A' &= +5.''555 \\ B + B' &= +8.''981 \\ C &= +16.''544 \\ D &= +9.''940 \\ E &= -0.''0002 \end{aligned}$$

Korzystając ze wzorów (82) i (84) obliczamy stałe redukcyjne

$$\begin{array}{ll} a = +0.10214 & a' = +0.6493 \\ b = +0.04380 & b' = +0.7605 \\ c_\pi = +0.06160 & c'_\pi = +0.8456 \\ d_\pi = -0.07215 & d'_\pi = +0.4618 \end{array}$$

Końcowe obliczenia wykonujemy wg wzorów (79), przy czym wyrazy drugiego rzędu są zaniedbywalne

$$\begin{array}{lll} \alpha_0 & 20^h41^m57^s.648 & \delta_0 & +45^\circ20'10.''79 \\ (A + A')a & + 0.5674 & (A + A')a' & + 3.607 \\ (B + B')b & + 0.3934 & (B + B')b' & + 6.830 \\ Cc_\pi & + 1.0191 & Cc'_\pi & + 13.990 \\ Dd_\pi & - 0.7171 & Dd'_\pi & + 4.590 \\ E & - 0.0002 & \mu_\alpha \tau & + 0.001 \\ \mu_\alpha \tau & + 0.0001 & \mu_\delta \tau & + 0.001 \\ \alpha_{app}^\gamma & 20^h41^m58^s.911 & \delta_{app} & +45^\circ20'39.''81 \end{array}$$

Barycentryczna pozycja i prędkość oraz heliocentryczna pozycja Ziemi (str. 114÷121)

W tablicach podano, obliczone w oparciu o zalecane do stosowania przez IAU efemerydy JPL DE405, barycentryczne współrzędne kartezjańskie X_B^E, Y_B^E, Z_B^E środka mas Ziemi wyrażone w jednostkach astronomicznych, składowe prędkości orbitalnej Ziemi $\dot{X}_B^E, \dot{Y}_B^E, \dot{Z}_B^E$ wyrażone w jednostkach astronomicznych na dobę oraz heliocentryczne współrzędne kartezjańskie X_H^E, Y_H^E, Z_H^E środka mas Ziemi wyrażone w jednostkach astronomicznych. Dane podano w odstępach dobowych odniesionych do TCB.

Współrzędne bieguna niebieskiego CIP IAU2006 (str. 122÷123)

Tablice zawierają współrzędne X, Y bieguna niebieskiego CIP (IAU2006) w odniesieniu do bieguna GCRS na 2015 rok wyrażone w radianach, w odstępach dobowych, w czasie TT. Współrzędne bieguna niebieskiego CIP wraz z podaną na końcu tablic średnią wartością parametru s na 2015 rok mogą służyć do konstrukcji precesyjno–nutacyjnej macierzy obrotu, zgodnie z wzorem:

$$Q = \begin{pmatrix} Q_{11} & Q_{12} & Q_{13} \\ Q_{21} & Q_{22} & Q_{23} \\ Q_{31} & Q_{23} & Q_{33} \end{pmatrix} = \begin{pmatrix} 1 - aX^2 + saXY & s(1 - aX^2) - aXY & X \\ -s(1 - aY^2) - aXY & 1 - aY^2 - saXY & Y \\ -X + sY & -Y - sX & 1 - a(X^2 + Y^2) \end{pmatrix} \quad (88)$$

zgodnie z oznaczeniami wzoru (33).

Macierz Q jest macierzą obrotową przeprowadzającą wektor gwiazdy wyrażony w systemie IRS_{NEBIESKI} do systemu GCRS. Chcąc dokonać przejścia odwrotnego, jak to ma miejsce np. przy obliczaniu miejsc pozornych, należy posługiwać się macierzą transponowaną Q^T .

Miejsca pozorne ($IRS_{\text{NIEBIESKI}}$) gwiazd²⁹⁾ (str. 124÷147)

W pierwszej części podano w odstępach co 7 dób na moment $0^h UT1$ miejsca pozorne α_{app}^{CIO} i δ_{app} 48 gwiazd nieba północnego i 8 gwiazd nieba południowego, z zaznaczeniem przy nazwach gwiazd ich wielkości gwiazdowych i typów widmowych. Są to te same gwiazdy, dla których podano pozycje pozorne odniesione do punktu równonocy systemu FK5 na str. 90÷113. W przypadku gwiazd podwójnych (Syriusz, Biegunowa) pozycje pozorne zostały obliczone dla środków mas układów, a następnie zredukowane do środka optycznego tych układów. Dokładność wyznaczenia miejsc pozornych ($IRS_{\text{NIEBIESKI}}$) dla Syriusza i Biegunowej odbiega od dokładności pozycji pozostałych gwiazd z tabeli i jest na poziomie $0''.10$.

Zgodnie z zaleceniami IAU proces obliczenia miejsca pozornego gwiazdy w $IRS_{\text{NIEBIESKI}}$ ze znanej barycentrycznej pozycji gwiazdy w $ICRF/Hipparcos$ składa się z trzech zasadniczych etapów: 1) poprawienie barycentrycznych współrzędnych gwiazdy w $BCRF$ o ruch własny, z uwzględnieniem prędkości radialnej, 2) wykonanie transformacji Lorentza, przeprowadzającej współrzędne barycentryczne gwiazdy do współrzędnych geocentrycznych i jednocześnie TCB w TCG , 3) przejście do $IRS_{\text{NIEBIESKI}}$ poprzez uwzględnienie precesji i nutacji, zgodnie z modelem precesyjno–nutacyjnym IAU2006. Dla uproszczenia, z zachowaniem dokładności RA, proces ten może być wykonywany w następujących etapach: 1) przeliczenie czasów, 2) przejście z $ICRF/Hipparcos$ do $BCRF$ poprzez uwzględnienie ruchu własnego gwiazdy (łącznie z uwzględnieniem prędkości radialnej), 3) przejście z $BCRF$ do $GCRF$ poprzez uwzględnienie paralaksy rocznej gwiazdy, 4) poprawienie pozycji w $GCRF$ o wpływ grawitacyjnego ugięcia światła, 5) poprawienie pozycji w $GCRF$ o wpływ aberracji rocznej, 6) przejście do $IRS_{\text{NIEBIESKI}}$ poprzez uwzględnienie efektu precesyjno–nutacyjnego.

1. Czas TCG można obliczyć z czasu TCB na podstawie zależności (patrz też wzór (47))

$$TCB - TCG = L_C \times (JD - 2\,443\,144.5) \times 86\,400 + c^{-2} \mathbf{v}_e(\mathbf{x} - \mathbf{x}_e) + P$$

wykorzystując składowe barycentrycznych wektorów pozycji i prędkości Ziemi podane w tablicach RA na str. 114÷121. Pierwszy wyraz w tym wzorze jest dominujący i na połowę 2015 roku wynosi 18.0 s. Ostatni człon P odnoszący się do wyrazów okresowych nie przekracza 0.0016 s. Człon środkowy, zależny od barycentrycznego położenia i prędkości Ziemi i obserwatora, przybiera wartości poniżej $1\,\mu\text{s}$.

Mając TCG można obliczyć TT ze wzoru (45). Na połowę roku 2015 różnica między TCG i TT wynosi 0.847 s.

2. Przejście od $ICRF/Hipparcos$ do $BCRF$ poprzez uwzględnienie ruchu własnego gwiazdy. Jednostkowy wektor barycentryczny \mathbf{p}_{ICRF} gwiazdy jest tworzony na podstawie barycentrycznej pozycji gwiazdy $(\alpha_{ICRF}, \delta_{ICRF}) \equiv (\alpha, \delta)$ z katalogu Hipparcos (barycentryczne pozycje gwiazd podane w niniejszym Roczniku Astronomicznym w tablicach na str. 63÷81 odpowiadają pozycji barycentrycznej w $ICRF$ na epokę J2000.0)

$$\mathbf{p}_{ICRF} = \begin{pmatrix} \cos \delta \cos \alpha \\ \cos \delta \sin \alpha \\ \sin \delta \end{pmatrix} \quad (89)$$

Barycentryczny wektor \mathbf{m} ruchu własnego gwiazdy ma postać

$$\mathbf{m}_{ICRF} = \begin{pmatrix} -\mu_{\alpha 0} \cos \delta \sin \alpha - \mu_{\delta 0} \sin \delta \cos \alpha + V_R \pi \cos \delta \cos \alpha \\ \mu_{\alpha 0} \cos \delta \cos \alpha - \mu_{\delta 0} \sin \delta \sin \alpha + V_R \pi \cos \delta \sin \alpha \\ \mu_{\delta 0} \cos \delta + V_R \pi \sin \delta \end{pmatrix} \quad (90)$$

gdzie $\mu_{\alpha 0}$ i $\mu_{\delta 0}$ oznaczają ruchy własne gwiazdy na stulecie juliańskie, prędkość radialna V_R jest wyrażona w jednostkach astronomicznych na stulecie juliańskie zaś paralaksa roczna π jest wyrażona w radianach.

Wektor pozycji barycentrycznej \mathbf{p}_{BCRF} gwiazdy w $BCRF$ otrzymuje się z zależności

$$\mathbf{p}_{BCRF} = \mathbf{p}_{ICRF} + t \mathbf{m}_{ICRF} \quad (91)$$

²⁹⁾ Dokładność współczesnych modeli układu słonecznego oraz modelu precesyjno–nutacyjnego powoduje, że prezentacja danych o pozycjach pozornych gwiazd, w tradycyjnej formie: tabel z kilkudniowym interwałem, nie jest możliwa bez utraty dokładności pozycji pozornych — zwłaszcza wartości interpolowanych. Zapewnienie odpowiedniej dokładności danych musiałoby się wiązać z koniecznością znacznego skrócenia kroku tablicowania, a tym samym ze znacznym wzrostem objętości Rocznika. Miejsca pozorne gwiazd w Pośrednim Systemie Odniesienia, można obliczyć na dowolny moment korzystając z Rocznika Astronomicznego „on-line”, dostępnego na stronach internetowych Centrum Geodezji i Geodynamiki IGiK, pod adresem: <http://www.igik.edu.pl>.

gdzie $t = (JD(TCB) - 2\ 451\ 545.0)/36\ 525$.

3. Przejście od $BCRF$ do $GCRF$ dokonuje się poprzez uwzględnienie paralaksy rocznej

$$\mathbf{p}_{GCRF} = \mathbf{p}_{BCRF} - \pi \mathbf{E}_B \quad (92)$$

gdzie \mathbf{E}_B jest barycentrycznym wektorem pozycji Ziemi, którego współrzędne X_B^E, Y_B^E, Z_B^E z krokiem dobowym w skali czasu TCB są podane w tablicach na str. 114÷121 niniejszego RA.

4. Poprawienie pozycji gwiazdy w $GCRF$ o wpływ grawitacyjnego zakrzywienia światła uzyskuje się dodając poprawkę $\Delta \mathbf{p}_{grav}$ (uproszczony wzór (42))

$$\Delta \mathbf{p}_{grav} = \frac{2GM_{\odot}}{c^2 E_H} \frac{\mathbf{e}_H^E - (\mathbf{e}_{GCRF}^p \mathbf{e}_H^E) \mathbf{e}_{GCRF}^p}{1 + (\mathbf{e}_{GCRF}^p \mathbf{e}_H^E)} \quad (93)$$

gdzie \mathbf{e}_{GCRF}^p i \mathbf{e}_H^E są znormalizowanymi wektorami \mathbf{p}_{GCRF} i \mathbf{E}_H : $\mathbf{e}_{GCRF}^p = \mathbf{p}_{GCRF}/|\mathbf{p}_{GCRF}|$, a $\mathbf{e}_H^E = \mathbf{E}_H/|\mathbf{E}_H|$. Wektor \mathbf{E}_H jest heliocentrycznym wektorem wodzącym środka mas Ziemi, którego współrzędne X_H^E, Y_H^E, Z_H^E z krokiem dobowym w skali czasu TCB są podane w tablicach na str. 114÷121 niniejszego RA

$$\mathbf{p}'_{GCRF} = \mathbf{e}_{GCRF}^p + \Delta \mathbf{p}_{grav} \quad (94)$$

5. Poprawienie pozycji w $GCRF$ o wpływ aberracji rocznej prowadzi do wyznaczenia właściwej pozycji \mathbf{p}''_{GCRF} gwiazdy w układzie geocentrycznym poruszającym się z prędkością \mathbf{V} w $BCRS$. Pozycję tę oblicza się ze wzoru

$$\mathbf{p}''_{GCRF} = \left(\beta^{-1} \mathbf{p}'_{GCRF} + \mathbf{V} + \frac{(\mathbf{p}'_{GCRF} \mathbf{V}) \mathbf{V}}{(1 + \beta^{-1})} \right) / (1 + \mathbf{p}'_{GCRF} \mathbf{V}) \quad (95)$$

gdzie $\beta = 1/\sqrt{1 - V^2}$, przy czym $V = |\mathbf{V}|$; wektor \mathbf{V} jest liniową funkcją wektora $\dot{\mathbf{E}}_B$ — prędkości środka mas Ziemi względem barycentrum Układu Słonecznego, którego współrzędne $\dot{X}_B^E, \dot{Y}_B^E, \dot{Z}_B^E$ z krokiem dobowym w skali czasu TCB są podane w tablicach na str. 114÷121 niniejszego RA

$$\mathbf{V} = \dot{\mathbf{E}}_B/c = 0.005\ 775\ 5 \dot{\mathbf{E}}_B \quad (96)$$

c jest prędkością światła wyrażoną w au/dobę.

6. Przejście od $GCRF$ do $IRS_{\text{NIEBIESKI}}$, w którym jest określona pozycja pozorna gwiazdy odbywa się poprzez uwzględnienie efektu precesyjno–nutacyjnego

$$\mathbf{p}_{IRS} = Q^T \mathbf{p}''_{GCRF} \quad (97)$$

gdzie Q jest macierzą precesyjno–nutacyjną (88), której elementy Q_{ij} z krokiem dobowym w skali czasu TCB są podane w tablicach na str. 122÷123 niniejszego RA³⁰⁾.

Pozycję pozorną $\alpha_{app}^{CIO}, \delta_{app}$ gwiazdy w $IRS_{\text{NIEBIESKI}}$ otrzymuje się ostatecznie ze współrzędnych kartezjańskich wektora $\mathbf{p}_{IRS} = (x_{IRS}, y_{IRS}, z_{IRS})^T$

$$\begin{aligned} \alpha_{app}^{CIO} &= \arctan(y_{IRS}/x_{IRS}) \\ \delta_{app} &= \arcsin(z_{IRS}/\sqrt{x_{IRS}^2 + y_{IRS}^2 + z_{IRS}^2}) \end{aligned} \quad (98)$$

Przykład obliczenia miejsc pozornych

- 10) Obliczyć współrzędne równikowe pozorne α_{app}^{CIO} i δ_{app} gwiazdy α Cygni (HIP 102098) w systemie $IRS_{\text{NIEBIESKI}}$ na moment 2015 października $21^d 16^h 00^m 00^s$ czasu $UT1$, wychodząc z jej pozycji w $ICRS$ na epokę J2000.0.

³⁰⁾ Poprawki δX i δY współrzędnych bieguna CIP (wzory (36) i (37)) nie przekraczają 0.2 mas i nie są uwzględniane w obliczeniach miejsc pozornych w Roczniku.

Dokonujemy zamiany czasu $UT1$ na TT , TCG i TCB ³¹⁾

$$\begin{array}{rcl}
 UT1 & & 16^h 00^m 00^s.0000 \\
 \text{minus } [UT1 - UTC]_{\text{IERS}} & - & -0.7300 \quad \text{ze str. 41 (interpolowane)} \\
 UTC & & 16 00 00.7300 \\
 \text{plus } (TAI - UTC) & + & 35.0000 \quad \text{wzór (60)} \\
 TAI & & 16 00 35.7300 \\
 \text{plus } (TT - TAI) & + & 32.1840 \quad \text{wzór (44)} \\
 TT & & 16 01 07.9140 \\
 \text{plus } (TCG - TT) & + & 0.8534 \quad \text{wzór (45)} \\
 TCG & & 16 01 08.7674 \\
 \text{plus } (TCB - TCG) & + & 18.1330 \quad \text{wzór (47)} \\
 TCB & & 16 01 26.9004
 \end{array}$$

Z tablicy na str. 78 Rocznika wypisujemy podane na epokę J2000.0 barycentryczne współrzędne α_{ICRF} i δ_{ICRF} oraz ruchy własne $\mu_{\alpha 0}$ i $\mu_{\delta 0}$, prędkość radialną V_R i paralaksę π

$$\begin{aligned}
 \alpha_{ICRF} &= 20^h 41^m 25^s.9147 \\
 \delta_{ICRF} &= +45^\circ 16' 49''.217 \\
 \pi &= 1.010 mas = 0.000 000 005 rad \\
 \mu_{\alpha 0} &= +0.1478 ms/rok = +0.000 001 075 rad/stulecie \\
 \mu_{\delta 0} &= +1.5500 mas/rok = +0.000 000 752 rad/stulecie \\
 V_R &= -4.5 km/s = -94.927 275 au/stulecie \quad (1 km/s = 21.094 95 au/stulecie)
 \end{aligned}$$

Zgodnie ze wzorem (89) tworzymy jednostkowy wektor barycentryczny \mathbf{p}_{ICRF} gwiazdy

$$\mathbf{p}_{ICRF} = \begin{pmatrix} 0.455\,649\,043 \\ -0.536\,182\,064 \\ 0.710\,558\,051 \end{pmatrix}$$

oraz, wykorzystując wzór (90) barycentryczny wektor \mathbf{m}_{ICRF} ruchu własnego gwiazdy

$$\mathbf{m}_{ICRF} = \begin{pmatrix} 0.000\,000\,019 \\ 0.000\,001\,146 \\ 0.000\,000\,199 \end{pmatrix}$$

Wyznaczamy parametr czasu t

$$t = (JD(TCB) - 2\,451\,545.0)/36\,525 = (2\,457\,317.167\,7 - 2\,451\,545.000\,0)/36\,525 = 0.158\,033\,338$$

i korzystając ze wzoru (91) obliczamy wektor pozycji barycentrycznej \mathbf{p}_{BCRF} gwiazdy w $BCRF$

$$\mathbf{p}_{BCRF} = \begin{pmatrix} 0.455\,649\,046 \\ -0.536\,181\,883 \\ 0.710\,558\,083 \end{pmatrix}$$

Z tablicy na str. 120 Rocznika wypisujemy współrzędne X_B^E , Y_B^E , Z_B^E barycentrycznego wektora pozycji Ziemi na okalające daty i dokonujemy interpolacji na moment TCB

obliczamy pierwsze i drugie różnice

	X_B^E	Y_B^E	Z_B^E
X.21	890 336 031	416 464 035	180 361 413
	-8 242 537	13 937 210	6 042 369
22	882 093 494	430 401 245	186 403 782
	-8 504 936	13 807 125	5 986 107
23	873 588 558	444 208 370	192 389 889

³¹⁾ Przedstawiona zamiana czasów ma na celu zwrócenie uwagi na fakt, że poszczególne dane, wykorzystywane w obliczeniach są tablicowane w dziedzinie różnych skal czasowych. W praktyce, różnice wynikające z rozróżnienia tych skal nie mają jednak wpływu na wyniki końcowe. We wszystkich obliczeniach w tym przykładzie można więc posługiwać się wyłącznie czasem UTC .

a następnie obliczamy współczynnik interpolacyjny n

zadany moment TCB	2015.X.21 ^d	$16^h 01^m 26.9004^s$
epoka efemerydy	2015.X.22	$0\ 00\ 00.0000$
różnica		$-7\ 58\ 33.0996$

$$\text{wsp. interpolacyjny } n = \text{różnica}/24 = -0.332\ 327\ 542$$

i za pomocą wzoru interpolacyjnego Stirlinga liczymy interpolowane na moment TCB współrzędne wektora \mathbf{E}_B

$$\begin{aligned} X_B^E &= [882\ 093\ 494 - \frac{1}{2} \cdot 0.332\ 327\ 542 \cdot (-8\ 242\ 537 - 8\ 504\ 936 + 262\ 399 \cdot 0.332\ 327\ 542)] \times 10^{-9} \\ Y_B^E &= [430\ 401\ 245 - \frac{1}{2} \cdot 0.332\ 327\ 542 \cdot (13\ 937\ 210 + 13\ 807\ 125 + 130\ 085 \cdot 0.332\ 327\ 542)] \times 10^{-9} \\ Z_B^E &= [186\ 403\ 782 - \frac{1}{2} \cdot 0.332\ 327\ 542 \cdot (6\ 042\ 369 + 5\ 986\ 107 + 56\ 262 \cdot 0.332\ 327\ 542)] \times 10^{-9} \end{aligned}$$

$$\mathbf{E}_B = \begin{pmatrix} 0.884\ 861\ 827 \\ 0.425\ 783\ 958 \\ 0.184\ 401\ 978 \end{pmatrix}$$

Przejście od $BCRF$ do $GCRF$ dokonuje się przy użyciu wzoru (92), po zastosowaniu którego uzyskujemy

$$\mathbf{p}_{GCRF} = \begin{pmatrix} 0.455\ 649\ 042 \\ -0.536\ 181\ 885 \\ 0.710\ 558\ 082 \end{pmatrix}$$

Z tablicy na str. 120 Rocznika wypisujemy współrzędne X_H^E , Y_H^E , Z_H^E heliocentrycznego wektora pozycji Ziemi na okalające daty i dokonujemy interpolacji na moment TCB odpowiadający momentowi $UT1$ przykładowu

obliczamy pierwsze i drugie różnice

	X_H^E	Y_H^E	Z_H^E
X.21	886 686 461	415 560 793	180 142 641
	-8 244 095	13 931 136	6 039 786
22	878 442 366	-262 390 429 491 929	-130 090 186 182 427 -56 264
	-8 506 485	13 801 046	5 983 522
23	869 935 881	443 292 975	192 165 949

i za pomocą wzoru interpolacyjnego Stirlinga, stosując wyznaczony uprzednio współczynnik interpolacyjny n liczymy interpolowane na moment TCB współrzędne wektora \mathbf{E}_H

$$\begin{aligned} X_H^E &= [878\ 442\ 366 - \frac{1}{2} \cdot 0.332\ 327\ 542 \cdot (-8\ 244\ 095 - 8\ 506\ 485 + 262\ 390 \cdot 0.332\ 327\ 542)] \times 10^{-9} \\ Y_H^E &= [429\ 491\ 929 - \frac{1}{2} \cdot 0.332\ 327\ 542 \cdot (13\ 931\ 136 + 13\ 801\ 046 + 130\ 090 \cdot 0.332\ 327\ 542)] \times 10^{-9} \\ Z_H^E &= [186\ 182\ 427 - \frac{1}{2} \cdot 0.332\ 327\ 542 \cdot (6\ 039\ 786 + 5\ 983\ 522 + 56\ 264 \cdot 0.332\ 327\ 542)] \times 10^{-9} \end{aligned}$$

$$\mathbf{E}_H = \begin{pmatrix} 0.881\ 211\ 216 \\ 0.424\ 876\ 661 \\ 0.184\ 181\ 482 \end{pmatrix}$$

Obliczamy długość E_H wektora \mathbf{E}_H ($E_H = |\mathbf{E}_H|$) i wektory jednostkowe $\mathbf{e}_{GCRF}^p = \mathbf{p}_{GCRF}/|\mathbf{p}_{GCRF}|$ i $\mathbf{e}_H^E = \mathbf{E}_H/|\mathbf{E}_H|$

$$E_H = 0.995\ 477\ 877$$

$$\mathbf{e}_{GCRF}^p = \begin{pmatrix} 0.455\ 649\ 076 \\ -0.536\ 181\ 925 \\ 0.710\ 558\ 135 \end{pmatrix} \quad \mathbf{e}_H^E = \begin{pmatrix} 0.885\ 214\ 264 \\ 0.426\ 806\ 734 \\ 0.185\ 018\ 157 \end{pmatrix}$$

Przyjmując $c = 299\ 792\ 458\ ms^{-1}$ i $GM_S = 1.327\ 124\ 4 \times 10^{20}\ m^3 s^{-2}$ (patrz stałe astronomicze str. 162) (przy czym $GM_S/c^2 = 9.870\ 63 \times 10^{-9} au$) i korzystając ze wzoru (93) otrzymujemy poprawkę o wpływ grawitacyjnego ugięcia światła

$$\Delta \mathbf{p}_{grav} = \begin{pmatrix} 0.000\ 000\ 011 \\ 0.000\ 000\ 009 \\ -0.000\ 000\ 001 \end{pmatrix}$$

a następnie dodając ją do wektora \mathbf{e}_{GCRF}^p (zgodnie ze wzorem (94)) otrzymujemy poprawioną pozycję gwiazdy w GCRF

$$\mathbf{p}'_{GCRF} = \begin{pmatrix} 0.455\,649\,087 \\ -0.536\,181\,916 \\ 0.710\,558\,134 \end{pmatrix}$$

Z tablicy na str. 120 Rocznika wypisujemy współrzędne \dot{X}_B^E , \dot{Y}_B^E , \dot{Z}_B^E barycentrycznego wektora prędkości Ziemi na okalające daty i dokonujemy interpolacji na moment TCB odpowiadający momentowi UT1 przykładowu

obliczamy pierwsze i drugie różnice

	\dot{X}_B^E	\dot{Y}_B^E	\dot{Z}_B^E
X.21	-8 110 465	14 000 898	6 069 906
22	-8 374 176	2 632 13 872 840	-128 058 -4 034 6 014 534 -55 372 -1 774
23	-8 635 255	13 740 748	-263 711 -261 079 -132 092 5 957 388

i za pomocą wzoru interpolacyjnego Stirlinga, stosując wyznaczony uprzednio współczynnik interpolacyjny n liczymy interpolowane na moment TCB współrzędne wektora $\dot{\mathbf{E}}_B$

$$\dot{X}_H^E = [-8 374 176 - \frac{1}{2} \cdot 0.332\,327\,542 \cdot (-263 711 - 261 079 - 2 632 \cdot 0.332\,327\,542)] \times 10^{-9}$$

$$\dot{Y}_H^E = [13 872 840 - \frac{1}{2} \cdot 0.332\,327\,542 \cdot (-128 058 - 132 092 + 4 034 \cdot 0.332\,327\,542)] \times 10^{-9}$$

$$\dot{Z}_H^E = [6 014 534 - \frac{1}{2} \cdot 0.332\,327\,542 \cdot (-55 372 - 57 146 + 1 774 \cdot 0.332\,327\,542)] \times 10^{-9}$$

$$\dot{\mathbf{E}}_B = \begin{pmatrix} -0.008\,286\,830 \\ 0.013\,915\,845 \\ 0.006\,033\,133 \end{pmatrix}$$

W dalszej kolejności posługując się wzorem (96) obliczamy wektor \mathbf{V} i jego długość V

$$\mathbf{V} = \begin{pmatrix} -0.000\,047\,861 \\ 0.000\,080\,371 \\ 0.000\,034\,844 \end{pmatrix}$$

$$V = 0.000\,099\,821$$

oraz $\beta = 1/\sqrt{1 - V^2}$, $\beta = 1.000\,000\,005$, które po wstawieniu do wzoru (95) prowadzą do wyznaczenia właściwej pozycji \mathbf{p}''_{GCRF} gwiazdy w układzie geocentrycznym

$$\mathbf{p}''_{GCRF} = \begin{pmatrix} 0.455\,619\,515 \\ -0.536\,123\,065 \\ 0.710\,621\,500 \end{pmatrix}$$

Z tablicy na str. 123 Rocznika wypisujemy współrzędne X i Y Niebieskiego Bieguna Pośredniego w GCRS na okalające daty i dokonujemy interpolacji na moment TT odpowiadający momentowi UT1 przykładowu

Obliczamy pierwsze i drugie różnice

	X	Y
X.21	1 532 521	-46 365
22	251 1 532 772 -75	93 -46 272 13
23	176 1 532 948	106 -46 166

a następnie obliczamy współczynnik interpolacyjny n

$$\begin{array}{lll} \text{zadany moment TT} & 2015.\text{X.21}^a & 16^h 01^m 07.^s.9140 \\ \text{epoka efemerydy} & \underline{2015.\text{X.22}} & \underline{0\ 00\ 00.0000} \\ \text{różnica} & & -7\ 58\ 52.0860 \end{array}$$

wsp. interpolacyjny $n = \frac{-7\ 58\ 52.0860}{24^h} = -0.332\,547\,292$ i za pomocą wzoru interpolacyjnego Stirlinga liczymy interpolowane na moment TT wartości X oraz Y składowych wektora jednostkowego CIP

$$X = [1 532 772 - \frac{1}{2} \cdot 0.332\,547\,292 \cdot (251 + 176 + 75 \cdot 0.332\,547\,292)] \times 10^{-9}$$

$$Y = [-46 272 - \frac{1}{2} \cdot 0.332\,547\,292 \cdot (93 + 106 - 13 \cdot 0.332\,547\,292)] \times 10^{-9}$$

Korzystając z wzorów (33) lub (88) oraz przyjmując średnią wartość parametru s dla roku 2015 podaną na str. 123 obliczamy wartości współczynników macierzy precesyjno–nutacyjnej Q (w obliczeniach wymagających dokładności nie lepszej niż 10 mas wpływ parametru s można zaniedbać przyjmując $s = 0$).

$$X^2 = 0.000\,002\,349, \quad XY = -0.000\,000\,071, \quad Y^2 = 0.000\,000\,002, \quad a = 0.500\,000\,294, \quad s = 0.000\,000\,039$$

$$1-aX^2 = 0.999\,998\,825, \quad aXY = -0.000\,000\,035, \quad 1-aY^2 = 0.999\,999\,999, \quad 1-a(X^2+Y^2) = 0.999\,998\,824$$

$$sX = sY = saXY = 0.000\,000\,000, \quad s(1-aX^2) = 0.000\,000\,039, \quad s(1-aY^2) = 0.000\,000\,039$$

$$Q = \begin{pmatrix} 0.999\,998\,825 & 0.000\,000\,074 & 0.001\,532\,697 \\ -0.000\,000\,003 & 0.999\,999\,999 & -0.000\,046\,305 \\ -0.001\,532\,697 & 0.000\,046\,305 & 0.999\,998\,824 \end{pmatrix}$$

Stosując wzór (97) obliczamy pozycję gwiazdy w IRS_{NEBIESKI}

$$\mathbf{p}_{IRS} = \begin{pmatrix} 0.454\,529\,814 \\ -0.536\,090\,125 \\ 0.711\,343\,817 \end{pmatrix}$$

a następnie korzystając z (98) otrzymujemy pozycję pozorną α_{app}^{CIO} , δ_{app} gwiazdy

$$\begin{aligned} \alpha_{app}^{CIO} &= 20^h 41^m 10^s.393 \\ \delta_{app} &= +45^\circ 20' 39''.69 \end{aligned}$$

Miejsca pozorne odniesione do równika CIP oraz do CIO różnią się od miejsc pozornych odniesionych do równika FK5 i punktu równonocy wiosennej. Jeśli jednak dokona się transformacji wyrażonej obrotem wokół CIP o kąt odpowiadający różnicy między prawdziwym czasem gwiazdowym GST i Kątem Obrotu Ziemi (ERA), to rozbieżność w miejscach pozornych zostanie zredukowana do nieznacznej zaledwie wielkości, która wynika z użycia, różnych w obu wypadkach, miejsc średnich i ruchów własnych gwiazd oraz różnych modeli precesyjno–nutacyjnych (do obliczenia pozycji pozornych odniesionych do równika CIP oraz do CIO są stosowane dane z katalogu Hipparcos oraz model precesyjno–nutacyjny IAU2006, zaś do obliczenia pozycji pozornych odniesionych do równika FK5 i punktu równonocy wiosennej są używane dane z katalogu FK5 oraz model IAU1976/IAU1980).

Przybliżony azymut Biegunowej (str. 148)³²⁾

Tablica zawiera przybliżone wartości azymutu Biegunowej, zestawione według dwóch argumentów: kąta godzinnego t Biegunowej i szerokości geograficznej φ .

Dla wartości kąta godzinnego t odczytanych z kolumny po lewej stronie, wartości w tablicy wyznaczają azymut liczony w kierunku przeciwnym do ruchu wskazówek zegara od kierunku północy (rzeczywisty azymut jest więc dopełnieniem podanych wartości do 360°); dla wartości t odczytanych z kolumny po prawej stronie tablicy, azymut jest liczony zgodnie z ruchem wskazówek zegara (tablica zawiera rzeczywiste wartości azymutu).

Przybliżona odległość zenitalna Biegunowej (str. 149)

Tablice służą do obliczania wartości pozornej odległości zenitalnej Polaris z dokładnością jednej minuty łuku według wzoru

$$z' = (90^\circ - \varphi) + \Delta z \quad (99)$$

Argumentem tablic jest kąt godzinny t Biegunowej. Odstępy argumentu są dobrane tak, aby następującym po sobie interwałom kąta godzinnego odpowiadały kolejne, zmieniające się skokami co 1 minutę łuku wielkości Δz . Tak więc znając kąt t wystarczy odszukać w tablicach interwał, w którym on się mieści i odczytać poprawkę Δz odpowiadającą temu interwałowi.

W poprawkach Δz uwzględniono refrakcję normalną dla $\varphi = 52^\circ$.

Odległość zenitalną Biegunową można obliczać przy pomocy omawianych tabel z dokładnością jednej minuty łuku w co najmniej dwudziestostopniowym pasie ($\varphi = 40^\circ \div 60^\circ$). Należy korzystać z tabeli, w której nagłówku znajduje się wartość deklinacji najbliższa deklinacji pozornej Polaris w zadanym momencie.

³²⁾ Obliczony wg wzoru: $\tan A = \frac{-\cos \delta \sin t}{\sin \delta \cos \varphi - \cos \delta \sin \varphi \cos t}$.

Szerokość geograficzna z wysokości Biegunowej (str. 150)

Podstawą tablic odnoszących się do wyznaczania szerokości geograficznej φ z pomiaru wysokości $h = 90^\circ - z$ Biegunowej, jest wzór

$$\varphi = h - p \cos t + \frac{1}{2} p^2 \sin^2 t \tan h \sin 1'' - \dots \quad (100)$$

w którym $p = 90^\circ - \delta$ oznacza odległość biegunową a t kąt godzinny Biegunowej. Wzór ten można przedstawić w następującej postaci:

$$\begin{aligned} \varphi &= h + V_I + V_{II} \\ V_I &= -p \cos t + \frac{1}{2} p^2 \sin^2 t \sin 1'', \quad V_{II} = \frac{1}{2} p^2 \sin^2 t (\tan h - 1) \sin 1'' \end{aligned} \quad (101)$$

Wartości wyrazu V_I , w zależności od argumentów p oraz t , zawiera tablica główna, zaś wartości wyrazu V_{II} (oddziennie dla $h < 40^\circ$ i $h > 40^\circ$), w zależności od h i t , zawierają tablice pomocnicze.

Współczynniki do wzorów interpolacyjnych (str. 151)

Tablice zawierają wartości współczynników do wzorów interpolacyjnych Stirlinga, Bessela i Newtona. Odnośnie wzory zostały umieszczone u dołu strony. Przy interpolowaniu do środka ($n = 0.5$) szczególnie korzystne jest stosowanie wzoru Bessela.

Refrakcja (str. 152÷153)

Tablica na str. 152 zawiera wartości refrakcji normalnej R_0 według Radau oraz ekstynkcji E_0 , w zależności od pozornej odległości zenitalnej z' gwiazd, w odstępach 1° dla z' od 0° do 50° i w odstępach $20'$ dla z' od 50° do 91° .

Na str. 153 podane są wartości współczynników:

A zależy od temperatury t w ${}^\circ C$,

B zależy od ciśnienia H w $mm\ Hg$,

α zależy od pozornej odległości zenitalnej z' ,

β zależy od R_1 ,

γ zależy od odległości zenitalnej z' i temperatury t .

W celu wyznaczenia refrakcji całkowitej stosuje się następujące wzory:

$$R_1 = R_0(1 + A\alpha\gamma) \quad (102)$$

$$R = R_1(1 + B\beta) \quad (103)$$

Przykład obliczenia wpływu refrakcji atmosferycznej

- 11) Dane: zaobserwowane odległości zenitalne z' , temperatura zewnętrzna t oraz ciśnienie atmosferyczne H (wskazanie barometru). Obliczyć wpływ refrakcji atmosferycznej R i znaleźć rzeczywistą odległość zenitalną $z = z' + R$.

z'	$t [{}^\circ C]$	$H [mm]$	A	α	γ	$(1 + A\alpha\gamma)$	R_0
$44^\circ 09' 18'' = 44.16$	+19.8	763.2	-0.0707	1.000	1.00000	0.92930	$0' 58.3 = 58.3$
$73^\circ 45' 42'' = 73.76$	-4.2	748.5	+0.0163	1.015	1.00000	1.01654	$3^\circ 23.8 = 203.8$
$81^\circ 12' 38'' = 81.21$	+10.9	752.5	-0.0401	1.047	0.99952	0.95804	$6^\circ 12.8 = 372.8$

R_1	B	β	$(1 + B\beta)$	R	z
$54.2 = 0.90$	+0.0042	1.000	1.00420	54.4	$44^\circ 10' 12''$
$207.2 = 3.45$	-0.0152	1.002	0.98477	204.0	$73^\circ 49' 06''$
$357.2 = 5.95$	-0.0098	1.004	0.99016	353.7	$81^\circ 18' 32''$

Zestawienie gwiazdozbiorów (str. 154÷155)

Zestawienie gwiazdozbiorów podano w oparciu o Atlas Nieba Gwiaździstego (J. Dobrzycki, A. Dobrzycki, PWN 1989).

Mapa nieba gwiaździstego (str. 156÷159)

Mapę sporządzono na podstawie *Bright Star Catalogue, 5th Revised Edition*. Mapa obejmuje gwiazdy jaśniejsze od 5 wielkości gwiazdowej. Współrzędne gwiazd odnoszą się do epoki J2000.0. Gwiazdy zmienne zaznaczono kółkami, zaś gwiazdy podwójne kreską. Oznaczenia literowe oraz liczbowe gwiazd podano dla gwiazd jaśniejszych od 4 wielkości gwiazdowej oraz wszystkich gwiazd zmiennych i podwójnych. Granice gwiazdozbiorów podano na podstawie *Catalogue of Constellation Boundary Data*, (A.C. Davenhall i S.K. Leggett, 1990), będącego przeliczoną na epokę J2000.0 wersją *Delimitation Scientifique des Constellations*, (E. Delporte, 1930).

Niektóre stałe, definicje, wzory astronomiczne i geodezyjne (str. 160÷164)

Dane zamieszczone w tym dziale zaczerpnięto z IERS Technical Note 21 (lipiec 1996) i Journal of Geodesy, Vol. 74, No 1 (2000), a także z IERS Technical Note 32 „IERS Conventions 2003”, IAU Bulletin 88 „Resolutions of the XXIVth General Assembly” oraz z Rezolucji XXVI ZG IAU (Praga, 2006), a także Rezolucji XXVII ZG IAU (Rio de Janeiro, 2009).

Vulpecula.

Delphinus.

PEGASUS.

Andromeda.

vulcus.

Aquarius.

Pegasus.

Colurus

Aquinoctiorum.

Falundo.

20

22

Cancer.

24

26

28

Sorudo.